

*image  
not  
available*

Astr. Un.  
132 <sup>P</sup> (118)

Schumacher  
246



<36611783360018

<36611783360018

Bayer. Staatsbibliothek





# ASTRONOMISCHE NACHRICHTEN,

h e r a u s g e g e b e n

v o n

H. C. S c h u m a c h e r,

Conferenzrath, ordentlichem Professor der Astronomie in Copenhagen, Commandeur vom Dannebrog und Dannebrogsmann, Ritter des Königl. Schwed. Nordsternordens, des Königl. Preussischen Rothen Adlerordens zweiter Classe, des Kaiserl. Russischen St. Annen- und Stanislausordens zweiter Classe und der Ehrenlegion, Mitglieder der Königl. Gesellschaften der Wissenschaften in Copenhagen, London, Edinburgh, Stockholm, Göttingen und Upsala, der Königl. astron. Gesellschaft in London, der americanischen Gesellschaft der Wissenschaften in Philadelphia, der physiographischen Gesellschaft in Lund, und der naturforschenden Gesellschaft in Danzig, Ehrenmitglieder der Königl. Gesellschaft der Wissenschaften in Dublin, der meteorolog. Gesellschaft in London, der Society of useful arts in Edinburgh, der mathematischen Gesellschaft in Hamburg und der naturforschenden Gesellschaft in Rostock, Correspondenten des Französischen Instituts, der Kaiserl. Academie der Wissenschaften in St. Petersburg, der Königl. Gesellschaften der Wissenschaften in Berlin, Brüssel, Neapel, Padua, Palermo und Turin.

---

A c h t z e h n t e r B a n d.

Mit einem Inhaltsverzeichniß, Register und 5 Kupfertafeln.

---

A l t o n a 1841.

gedruckt in der Hammerich- und Lesser'schen Buchdruckerei



# I n h a l t.

## Nr. 409.

Ueber die Sternwarte in Leiden, und die ersten daselbst angestellten Micrometer-Messungen. Von Herrn Professor *F. Kaiser*. 1.

## Nr. 410.

The Moons Right Ascension, Declination and Horizontal Parallax for the time of her transit over the meridian of Altona for the year 1841 with the logarithms of coefficients for facilitating the reduction to other Meridians 17. — Schreiben des Herrn *Rümker*, Directors der Hamburger Sternwarte, an den Herausgeber 23. — Bemerkungen über trigonometrische Nivellements, insbesondere über die terrestrische Strahlenbrechung. Von Herrn Professor Dr. *Grunert* zu Greifswald 25. — Sternbedeckungen 31.

## Nr. 411.

Nachrichten über die Kaiserliche Hauptsternwarte Pulkowa. Von dem Herausgeber 33. — Gang des Chronometers Kessels 131, von Herrn Professor *Gerling* 45. — Schreiben des Herrn Professors *Bache* an den Herausgeber 47.

## Nr. 412.

Schreiben des Herrn Professors *v. Boguslawski*, Directors der Breslauer Sternwarte, an den Herausgeber 49. — Sternbedeckungen beobachtet zu Breslau von 1839 October 29 bis 1840 April 11. 51. — Schreiben des Herrn *Fr. Fischer* an den Herausgeber 53. — The Moons Right Ascension, Declination and Horizontal Parallax for the time of her transit over the meridian of Altona for the year 1841 with the logarithms of coefficients for facilitating the reduction to other Meridians. (Beschluss). 55. — Briefe des Herrn *Dr. Bremker* und Herrn *Galle* an den Herausgeber 63. — Elemente des Cometen von Herrn Observator *Petersen* 33.

## Nr. 413.

Schreiben des Herrn Majors *Davis* an den Herausgeber 65. — Schreiben des Herrn *Rümker*, Directors der Hamburger Sternwarte, an den Herausgeber 67. — Schreiben des Herrn *Hofraths Schwabe* in Dessau, an den Herausgeber 67. — Schreiben des Herrn Professors *Encke*, Directors der Berliner Sternwarte, an den Herausgeber 69. — Marche du chronomètre Nr. 81 de *Hauts*, marchant un mois, appartenant à Son Excellence l'Amiral de *Greig* 69. — Schreiben des Herrn *Rümker*, Directors der Hamburger Sternwarte, an den Herausgeber 71. — Sternbedeckungen in Nordamerika beobachtet 73. — Jupiterstrahlen-Verfinsterungen auf der Altonaer Sternwarte beobachtet von Herrn Observator *Petersen* 77. — Plejadenbedeckung 1840 Dec. 7. 79. — Schreiben des Herrn Prof. *Mädler*, Directors der Dorpater Sternwarte, an den Herausgeber 79.

## Nr. 414.

Schreiben des Herrn *Airy*, Directors der Greenwich Sternwarte, an den Herausgeber 81. — Auszug aus einem Schreiben des Herrn Professors *Hansteen*, Directors der Sternwarte in Christiania, an den Herausgeber 83. — Auszug aus einem Schreiben des Herrn *Santini*, Directors der Sternwarte in Padua, an den Herausgeber 83. — Schreiben des Herrn *Koller*, Directors der Sternwarte in Kremsmünster, an den Herausgeber 85. — Schreiben des Herrn *Bianchi*, Directors der Sternwarte in Modena, an den Herausgeber 89. — Beschreibung eines neuen Micrometers. Von Herrn *Th. Clausen* 95.

## Nr. 415.

Ueber die Grundformeln der Dioptrik. Von Herrn Geh. Rath und Ritter *Bessel* 97. — Schreiben des Herrn *d'Abbadie* an den Herausgeber 107.

## Nr. 416.

Schreiben des Herrn Professors *Argelander*, Directors der Sternwarte in Bonn, an den Herausgeber 113. — Beobachtungen einiger veränderlichen Sterne im Jahre 1840. 113.

## Nr. 417.

Beobachtungen einiger veränderlichen Sterne im Jahre 1840. Von Herrn Professor *Argelander* (Beschluss.) 129. — Sternbedeckungen und Jupiterstrahlen-Verfinsterungen beobachtet in Bonn von Herrn Professor *Argelander* 133. — Beweise der beiden ersten Haupttheoreme der Dioptrik. Von Herrn *Thomas Clausen* 135. — Schreiben des Herrn Professors *Encke*, Directors der Berliner Sternwarte, an den Herausgeber 139. Positionen des 4ten Cometen von 1840 hergeleitet aus den Bonner Beobachtungen. Von Herrn Professor *Argelander* 139. Schreiben des Herrn *Hofraths Mädler*, Directors der Sternwarte in Dorpat, an den Herausgeber 141. — Schreiben des Herrn *Hofraths Gauss*, Directors der Göttinger Sternwarte, an den Herausgeber 143. — Beobachtung der Mondfinsternisse am 5ten Februar auf der Hamburger Sternwarte von Herrn *Rümker* 143.

## Nr. 418.

Beweis des von *Jacobi* gefundenen Lehrsatzes, dass ein flüssiges sich um die eine Axe drehendes Sphäroid von drei verschiedenen Hauptaxen in Gleichgewicht sein könne. Von Herrn *Thomas Clausen* 145. — Beobachtungen von Sonnenflecken im Jahre 1840 von Herrn *Hofrath Schwabe* 149. — Beobachtungen von Sonnenflecken auf der Altonaer Sternwarte. Von Herrn Observator *Petersen* 151. — Vermischte Nachrichten 159.

## Nr. 419.

Beobachtungen von Sonnenflecken auf der Altonaer Sternwarte. Von Herrn Observator *Petersen*. (Beschluss.) 161. — Eine Aufgabe aus der praktischen Geodäsie und deren Auflösung. Von Herrn Professor *Hansen* 165.

## Nr. 420.

Tafeln zur Reduction derjenigen Sterne, welche in den Zonen Aug. 19 bis Aug. 26. 1789 der Pariser Memoiren von 1789 vorkommen, auf den Anfang des Jahres 1790. Von Herrn *R. Kysenus* 177. — Schreiben des Herrn *Bertram*, Ingenieur-Geographen beim Königl. Preussischen Generalstab, an den Herausgeber 181. — Schreiben des Herrn *M. Koller*, Directors der Sternwarte in Kremsmünster, an den Herausgeber 183. — Beobachtungen am Meridiankreise der Sternwarte in Kremsmünster im Jahre 1839. Von Herrn *Reslhuber* 187. — Verbesserungen in Nr. 415. 191.

## Beil. zu Nr. 420.

Schreiben des Herrn *Rümker*, Directors der Hamburger Sternwarte, an den Herausgeber 193. — *Urban Jürgensens* Werk über die höhere Uhrmechanik 195. — Verbesserung in Nr. 418. 195.

## Nr. 421.

Ueber Fernrohre mit Glasspiegeln und deren Vorträge. Von Herrn Dr. *Barfufs* 197.

## Nr. 422.

Neue Untersuchung der Reductionselemente der Declinationen und Bestimmung der Declinationen der Fundamentaltsterne. Von Herrn Grh. Rath und Ritter *Bessel* 217.

## Nr. 423—425.

Ueber die Anwendung oculirender Elemente als Grundlage der Berechnung der Störungen eines Planeten, und über die unabhängigen Elemente der „*Fundamenta nova etc.*“ Von Herrn Professor und Ritter *Hansen* 237.

## Nr. 426.

Auszug aus einem Schreiben Sr. Excellenz des Herrn Staatsraths *p. Struve* an den Herausgeber 289. — Schreiben des Herrn Professors *Santini* an den Herausgeber 293. — *Calcolo di un' oculare Acromatico a tre lenti per Cannocheisti Astronomici, in cui sono distrutte, o molto attenuate le aberrazioni secondarie di rifrangibilità, e di sfericità riprodotte dalla rifrazione per le Lenti Oculari.* Von Herrn Prof. *Santini* 295.

## Nr. 427.

Vergleichung der neuen Königsberger Bestimmung der Declinationen der Fundamentaltsterne und einiger Circumpolsterne mit anderen Verzeichnissen. Von Hrn. Dr. *A. L. Borch* 305. Schreiben des Herrn *Runkler*, Directors der Hamburger Sternwarte, an den Herausgeber 307. — Verzeichniss von Sternen in der scheinbaren Bahn des October 1840 im Drachen entdeckten Cometen 309. — Schreiben des Herrn Prof. *Argelander*, Directors der Sternwarte in Bonn, an den Herausgeber 317. — Schreiben des Herrn Hofraths *Mädler*, Directors der Sternwarte in Dorpat, an den Herausgeber 317.

## Nr. 428.

Auszug aus einem Schreiben des Herrn Professors *A. Erman* an den Herausgeber 321. — Schreiben des Herrn Dr. *Max Weiss* an den Herausgeber 325. — Mondsterne und Sternbedeckungen auf der Cracauer Sternwarte im Jahre 1840 beobachtet 327. — Schreiben des Herrn Dr. *J. A. Streckwitz* an den Herausgeber 329. — Beobachtungen von Sternschnuppen zu Braunsberg in Ostpreussen. Von Herrn Professor *L. Zeller* 331. — Druckfehler in Nr. 422 der *Astr. Nachr.* 335.

## Nr. 429.

Schreiben des Herrn *Bianchi* an den Herausgeber 337. — Ueber die Bestimmung der Länge durch Höhen des Monds, ins-

besondere durch correspondirende oder überhaupt gleiche Mondhöhen. Von Herrn Professor Dr. *Grunert* in Greifswald 343.

## Nr. 430.

Verzeichniss von 53 Sternen der Plejaden, aus Beobachtungen mit dem Königsberger Heliotometer abgeleitet. Von Herrn Grh. Rath und Ritter *Bessel* 353. — Original-Beobachtungen des Halley'schen Cometen auf der Altonaei Sternwarte 1835. Von Herrn Observator und Ritter *Petersen* 355. — Schreiben des Herrn Hofraths *Mädler*, Directors der Sternwarte in Dorpat, an den Herausgeber 361. — Geometrische Auflösung der *Hansen'schen* Aufgabe: „Aus der Lage zweier bekannten Punkte, die Lage zweier unbekannten Punkte zu finden.“ Von Herrn *Thomas Clausen* 367. — Sternbedeckung 367. — Verbesserung 367.

## Nr. 431.

Scheinbare Positionen des Encke'schen Cometen bei seiner Wiederkehr im Jahre 1838 beobachtet auf der Hamburger Sternwarte. Von Herrn *Ch. Runkler* 369. — Schreiben des Herrn Registrars *Paschen* an den Herausgeber 373. — Auszug aus einem Schreiben des Herrn *C. v. Littrow*, Directors der Wiener Sternwarte 375. — Auszug aus einem Schreiben des Herrn Professors *Santini*, Ritters v. D., Directors der Sternwarte in Padua 375. — Ueber die Bestimmung der Längen durch Azimuthe des Monds, insbesondere auch durch Mondculminationen. Von Herrn Prof. Dr. *Grunert* zu Greifswald 375.

## Nr. 432.

Ueber die Bestimmung der Längen durch Azimuthe des Monds insbesondere auch durch Mondculminationen. Von Hrn. Professor Dr. *Grunert* in Greifswald (Herschfeld) 385. — Sternbedeckungen beobachtet auf der Sternwarte zu Leiden. Von Herrn *F. Kaiser*, Professor der Astronomie und Director der Sternwarte daselbst 389. — Sternbedeckungen vom Monde, beobachtet auf der Altonaei Sternwarte 391. — Schreiben des Herrn *Runkler*, Directors der Hamb. Sternwarte, an den Herausgeber 393. — Verzeichniss der Plejaden von *Runkler* 395. — Bedeckung der Venus vom Monde in Altona beobachtet 1841. Sept. 11. 399. — Schreiben des Herrn Directors *Runkler* an den Herausgeber 399. — Berichtigung 399. — Anzeige 399.

## Ueber die Sternwarte in Leiden, und die ersten daselbst angestellten Micrometer-Messungen.

Von Herrn Professor F. Kaiser.

Als ich am Ende des Jahres 1837 die Direction der Sternwarte, mit dem Unterrichte der Astronomie an der hiesigen Universität übernahm, waren die sich hier befindlichen Hülfsmittel zur Erfüllung meiner zweifachen Pflicht ganz ungenügend. Die Sternwarte bestand nur aus einigen Zimmern, in verschiedenen Stockwerken des Universitäts-Gebäudes vertheilt, unter welchen nur ein einziges, dessen Fußboden sich 65 Fuß über die Straße erhebt, eine hinlänglich freie Aussicht darbietet, während die übrigen nur die Aussicht nach Süden und Westen gestatten. Auf der Sternwarte wird eine Menge veralteter Instrumente des vergangenen Jahrhunderts aufbewahrt, aber an einigermaßen brauchbaren Instrumenten besaß sie nur zwei Uhren von *Knebel* in Amsterdam, einen Spiegel-Sextanten und einen kleinen terrestrischen Theodoliten von *Troughton* und *Simms*. Ich mußte daher, um wenigstens einigermaßen dem Zweck meines Rufes entsprechen zu können, eine beträchtliche Ausbesserung unserer ganz unbedeutenden astronomischen Hülfsmittel wünschen; und obsohlen es nöthig war, von der alten Sternwarte ganz abzugehen und eine neue zu errichten und auszurüsten, erlaubten die Umstände nicht, diesem Bedürfnisse der Wissenschaft bei uns Genüge zu leisten. Nur eine sehr mäßige Summe konnte vorläufig zum Ankauf einiger wenigen Instrumente und zur gehörigen Aufstellung angesetzt werden, und mir blieb nichts anders übrig, als diese so zweckmäßig als möglich zu benutzen.

Nicht nur wegen ihrer Kostspieligkeit war es mir nicht vergönnt, die hiesige Sternwarte mit Meridian-Instrumenten von hinreichenden Dimensionen zu versehen, sondern auch, weil die Höhe, die Anordnung und Schwäche des Gebäudes ihnen keine bequeme und hinreichend feste Stelle darboten kann. Nur tragbare Instrumente und ein einziges von etwas größeren Dimensionen, dessen Gebrauch keine absolute Ruhe voraussetzt, z. B. ein Heliometer, oder ein mit einem Micrometer versehener Refractor konnte gehörig aufgestellt werden; und noch wäre es ohne eine zweckmäßige Anordnung unmöglich geblieben, auch solche Apparate auf der hiesigen Sternwarte zu benutzen, wegen der außerordentlichen Schwäche und Beweglichkeit der beiden kleinen Zimmer auf der Sternwarte, die einzigen, von wo überhaupt Beobachtungen möglich sind. Beim Gehen des Beobachters zittert der ganze obere Theil des Gebäudes, und

wenn er seine Stelle auf dem Fußboden nur um ein paar Schritte ändert, ändert sich auch der Stand eines auf dem Fußboden ruhenden Instruments um ganze Minuten. Es war daher nöthig, den Instrumenten eine von dem Fußboden und von dem ganzen oberen Theile des Gebäudes abgesonderte Unterlage zu geben, wobei ich auf folgende Art verfahren bin.

Eine alte und solide zwei Fuß dicke Mauer umschließt die große Wendeltreppe des Universitäts-Gebäudes und bildet ein zehneckiges Thürmchen von 11 Fuß innern Durchmesser und 40 Fuß Höhe. Auf dem obern Ende dieser Mauer oder dieses Thürmchens hat man vor etwa 25 Jahren ein neues Thürmchen errichtet, dessen schwache Mauern aber nur einen Fuß dick sind, und das sich noch 40 Fuß über das Ende der ältern Mauer, also im Ganzen 80 Fuß über die Straße erhebt. Das neue Thürmchen enthält drei kleine, ebenfalls zehneckige Zimmer unmittelbar über einander, deren höchstes mit einer Drehkuppel versehen ist und mit dem unmittelbar darunter befindlichen Zimmerchen zur Beobachtung eingerichtet werden konnte. Auf dem oberen Ende der alten Mauer, wo sie, wegen ihrer größeren Dicke, einen Fuß nach innen hervorragt, sind vier Balken von starkem Eichenholz aufgestellt, welche, sich senkrecht erhehend, durch Oeffnungen in den zwei unteren Fußböden des neuen Thürmchens laufen und kurz unter dem Fußboden des obersten Zimmers enden, wo sie durch Querbalken und eiserne Schrauben auf das Solideste an einander verbunden sind. Am unteren Ende sind die Balken ein paar Fuß tief in die Mauer eingelassen, und in dem unteren der drei obengenannten Zimmer, welches zu Beobachtungen unnuß war, sind sie, ungefähr in ihrer Mitte, ebenfalls durch achsiale und Querbalken vereinigt. Auf dem oberen Querbalken sind hölzerne Blöcke aufgeschraubt, welche durch den Fußboden des obersten Zimmers laufen, und, sich wenig darüber erhehend, einen ganz isolirten Standort für ein Instrument von größeren Dimensionen geben. Zwei schiefe Balken, ebenfalls auf der alten Mauer ruhend, und auf das Solideste mit den übrigen Balken verbunden, enden in verticalen Balken, welche sich vier Fuß über den Fußboden des mittleren Zimmers erheben, und zur Aufnahme zweier tragbaren Instrumente dienen. Das ganze Balken-Gerippe kommt mit dem neuen und schwachen Thurm gar nicht in Berührung, und die Erfahrung hat schon gelehrt,

dafs es seinem Zwecke auf das Genaueste entspricht. Selbst die empfindlichsten Libellen bleiben jetzt, während der Beobachter sich hin und her bewegt, vollkommen ruhig, und da die alte Mauer durch umliegende Gebäude den Sonnenstrahlen weniger ausgesetzt ist, während die Balken gegen die Einwirkung der Sonnenstrahlen und der Witterung gänzlich geschützt sind, ist die Solidität der auf ihnen ruhenden Instrumente, auch für scharfe Bestimmungen hinreichend.

An kleinere Instrumenten hat die Sternwarte, ausser einigen andern von geringerem Werthe, eine astronomische Uhr aus dem optischen Institute, ein tragbares Passagen-Instrument von *Ertel* und Sohn (Nr. 10 des neuesten Verzeichnisses) und ein Universal-Instrument von *Ertel* (Nr. 21 dieses Verzeichnisses) gewonnen. Diese drei Instrumente sind in dem mittleren der drei oben genannten Zimmer aufgestellt. Das Universal-Instrument hat verschiedene Zwecke zu erfüllen, und das Passagen-Instrument dient vorzüglich zur Zeitbestimmung. Obschon sich noch ein Stockwerk über diese Instrumente erhebt, ist ihr Gebrauch nur sehr wenig beschränkt, denn über diesen Instrumenten ist im Fusaboden des obersten Zimmers eine Meridian-Klappe angebracht, durch welche man, mit wenigen Ausnahmen, jeden Theil des Meridians erblicken kann, wenn nur die Oeffnung der Drehkuppel so gestellt wird, dafs sie den freien Anblick auf die Gegend des Himmels, auf welcher das Fernrohr gerichtet ist, nicht mehr unterbricht. So hat das Passagen-Instrument, mit Ausnahme weniger Grade, den Meridian vom Horizont bis zur untern Culmination des Polaris frei, und überdies einige Grade unter dem Pole. Eine Klappe über dem Passagen-Instrument, in der Richtung von Osten nach Westen angebracht, leistet eine freie Aussicht im ersten Vertical bis auf 20° auf beiden Seiten des Zeniths, und hat mir schon im Jahre 1838 zur vorläufigen Bestimmung der Polhöhe der Sternwarte gedient, deren Resultate hier mitzutheilen mir nicht unangemessen vorkommt. Ich benutzte fünf Sterne, deren Declinationen von *Bessel* genau bestimmt sind, und deren eigene Bewegung durch Vergleichung mit *Bradley's* Bestimmungen hervorging. Zur Elimination des Fehlers der optischen Achse geschah für jeden Stern eine gleiche Anzahl Bestimmungen mit dem Kreise nach Osten als nach Westen. Sorgfältige Nivellirungen gaben den Stand der Achse und zeigten eine grössere Stabilität des Instrumentes, als sich bei einer so grossen Höhe und hölzernen Unterlagen erwarten liefs. Die Resultate sind folgende:

|                         | Polhöhe.      | Anz. d. Bestimm. |
|-------------------------|---------------|------------------|
| durch $\gamma$ Draconis | 52° 9' 28" 12 | 8                |
| $\delta$ Cygni.         | 28,85         | 8                |
| $\theta$ Cygni.         | 27,55         | 4                |
| c Cygni prec.           | 28,24         | 4                |
| c Cygni Seq.            | 27,93         | 3                |
| Wahrsch. Mittel         | 52° 9' 28,16  |                  |

Der wahrscheinliche Fehler jeder einzelnen Bestimmung bei ungeänderter Lage des Fernrohrs, mit Einbegriff der Unsicherheit der Declination, ergab sich zu 0"85, und der wahrscheinliche Fehler des Mittels aus allen 31 Bestimmungen zu 0"15. Die Original-Beobachtungen sind in meiner Schrift: *Het Observatorium te Leiden. Leiden, Hazenberg & Comp. 1838*, angeführt.

Das Passagen-Instrument, dessen optische Kraft hinreicht, um den Polaris am Mittage mit voller Schärfe zu zeigen, leistet unter günstigen Verhältnissen für die Zeitbestimmung so viel, als auf einer Sternwarte der zweiten Klasse gewünscht werden kann. Obschon das Instrument immer hinlänglich genau im Meridian bleibt, um Differential-Formeln anwenden zu können, halte ich es für nöthig, bei jeder Zeitbestimmung Sterne von sehr verschiedenen Declinationen zu benutzen, um jedesmal die kleine azimuthale Abweichung bestimmen und aus den Resultaten zusammensetzen zu können. Wenige Proben von Zeit-Bestimmungen, unter ungünstigen Umständen erhalten, finden sich in Nr. 391 der *Astronomischen Nachrichten*.

Meine Absicht mit der Ausbesserung der Sternwarte war besonders dahin gerichtet, dieselbe für genaue relative Bestimmungen einzurichten. Das obere Zimmer bot eine, wenn gleich nur schwache, jedoch ziemlich gute Stelle für ein Instrument von grösseren Dimensionen dar, und ich hätte sehr gewünscht daselbst einen grösseren Heliometer von 8 Fufs Brennweite aufstellen zu können, aber die Kostspieligkeit eines solchen Instruments erlaubte dies nicht. Ich fürchtete, dafs ein Heliometer von beträchtlich kleiner optischer Kraft die Beobachtungen allzusehr beschränken möchte, und bestimmte mich daher zu einem Refractor von 8 Fufs Brennweite und 6 Zoll Oeffnung, parallactisch montirt, nebst Uhrwerk und einem vollständigen Micrometer. Ein solcher Refractor war im optischen Institute vorrätig und ging schon im September 1838 nach unserer Sternwarte ab. Die grossen Instrumente für Pulkowa, die damals in Arbeit waren, verzögerten sehr die Anfertigung des Micrometers, welches ich erst im August des vergangenen Jahres erhielt.

Kurz nach dem Empfang des Refractors habe ich mich beschäftigt dieses Instrument, und besonders seine optische Kraft, den atrengeten Prüfungen zu unterwerfen, und es hat sich der berühmten Stiftung, aus welcher es hervorgegangen ist, allerdings würdig gezeigt. Ich bin überzeugt, dafs es dem achtern Heliometer vom Herrn Geh. Rath Prof. *Bessel* in optischer Kraft gar nicht nachsteht, und dafs es von dem Dorpater Refractor weniger verschieden ist, als man bei einem so beträchtlichen Unterschieden in Dimensionen erwarten konnte. Einige Proben mögen dies erläutern. Der lichtschwache Begleiter des Rigels

ist mehrmals nicht nur von mir, sondern auch von verschiedenen meiner Zuhörer ohngefähr eine Stunde vor dem Untergang der Sonne deutlich gesehen. Die Begleiter von *a Bootis* und *a Herculis*, besonders der erste, zeigen sich bei jeder ziemlich heitern Tagesstunde außerordentlich scharf und deutlich. Der fünfte Stern im Trapez des Orions wird bei günstiger Luft von jedem ohne Schwierigkeit erkannt; den nächsten aber habe ich noch nicht gesehen. Die äußerst schwachen Begleiter von 15 Monoc., Aldebaran, Pollux u. a. zeigen sich beim ersten Blick. Ohngeachtet des jetzigen immerwährend niedrigen Standes des Planeten Saturn, zeigen sich, auch bei weniger günstiger Luft, die Spaltung des Ringes, die Schatten und Streifen des Planeten mit großer Schärfe, und mehrmals habe ich alle fünf älteren Trabanten erkannt. Aeusserst schön zeigen sich die Trabanten Jupiters vor der Scheibe des Planeten, und die Präcision der Bilder wird auch durch die völlige Auflösung von Doppelsternen, wie 49 Cephei, 32 Orionis, 316 Cephei u. a. gezeigt. Die Doppelsterne *a Arietis*, 52 Arietis, 7 Tauri, bei welchen die Entfernung der Mittelpunkt ohngefähr eine halbe Secunde beträgt, zeigen sich länglich, und bei sehr günstiger Luft wie zwei Scheibchen in Berührung mit einander.  $\zeta$  Cancri ist noch entschieden dreifach, wenn die Oeffnung des Refractors auf  $\frac{3}{4}$  Zoll Durchmesser verringert wird. Ich glaube das Urtheil ansprechen zu dürfen, daß unser Refractor alle bekannten übrigen Fernrohre seiner Grösse übertrifft, die nicht aus dem optischen Institut hervorgegangen sind.

Es dauerte einige Zeit, bevor der Micrometer gehörig an das Fernrohr angebracht war, wozu ich aus München keine Anweisung erhalten hatte. Bei unserem Refractor fehlen die Biegungsstangen, welche bei größeren Instrumenten auch zur Herstellung des Gleichgewichts benützt werden, und das Gleichgewicht wurde beim Anbringen des Micrometers gänzlich gestört, da eine Kraft von eben 0,1 Kilogr. auf das Ocular wirkend, schon hinreicht, das Fernrohr um die Stundenschraube zu bewegen. Diesem Uebelstande war nicht durch das Aufhängen eines Gegengewichts am Objectiv-Ende abzuhelfen, weil das System von Gegengewichten dies nicht erlaubt und der Schwerpunkt des beweglichen Theils des Instruments ungeändert bleiben muß. Ich habe daher den Bleiring abgeändert, welcher sich, um das Objectiv und seine Fassung zu equilibriren, im Innern des Holzrohres am Ocular-Ende befindet. Diefes geschah aber nicht ohne Schwierigkeit, da der conische Ring sich gar nicht nach dem Objectiv-Ende ausziehen liefs, ohne die Bledungen im Innern des Rohrs zu entstellen, und nur schwerlich nach dem engern Ocular-Ende, ohne das Holzrohr zu beschädigen. Endlich gelang es doch, und das Gleichgewicht ist auf das vollkommenste hergestellt. Wird jetzt der Micrometer

ohne Lampen, oder was nur höchst selten der Fall ist, das Fernrohr ohne Micrometer angewandt, so wird das Ocular-Ende mit einem Gewicht beschwert. Für eine Beleuchtung des Feldes war in München nicht gesorgt, diese habe ich daher noch anbringen müssen; und da die Hageulachen Schlüssel keine Dienste leisten, wenn sie zu nahe auf die Schrauben senkrecht stehen, habe ich zwischen diesen und den Schrauben noch eine Vorrichtung angebracht, wodurch die Schlüssel sich bei jedem Stand des Fernrohrs anwenden lassen.

Viefältige und strenge Prüfungen haben die Ausführung des Micrometers als sehr ausgezeichnet erwiesen. Allein die wirkliche Entfernung der Fäden bei ihrer scheinbaren Coincidenz war zu groß, wodurch sie sich, bei Anwendung stärker Vergrößerungen, nicht gleichzeitig mit hinreichender Schärfe zeigen konnten. Die kleinste Entfernung der Fäden, welche in Dorpat nur 0,018 Par. Lin. beträgt, war hier 0,042 Par. Lin., d. h. acht mal die Dicke eines feinen Spinnen-Cocoon Fadens. Ich habe diesen Umstand ganz berichtigt, indem ich die Fäden-Platte mit etwas sehr dünnem Firnis belegte, und darüber neue Fäden einzog. Auch bei einer nur schwachen Beleuchtung der Fäden im dunkeln Felde bleibt das Feld nicht ganz dunkel, sondern wird auch der Rand des Feldes erleuchtet, was die Beobachtung lichtschwächerer Gegenstände sehr erschwert. Diesem muß noch abgeholfen werden. Uebrigens bin ich überzeugt, daß die Ausführung unsers Micrometers der des berühmten Dorpater Micrometers wenigstens in nichts nachsteht.

Den Werth der Umgänge der Micrometer-Schraube konnte ich bis heute, beim Mangel geeigneter Hilfsmittel, noch nicht mit aller Schärfe bestimmen. Ich habe mich anfangs mit Messungen mittelst des kleinen Verticalkreises des Universal-Instruments, und mit Sterndurchgängen begnügen müssen, welche der nöthigen Schärfe nicht fähig sind, wenn man die Messungen auf Entfernungen von 10' und darüber ausdehnen beabsichtigt, und sobald mir die nöthigen Apparate zu Gebote stehen, werde ich diese Bestimmung nach der sinreichen Methode wiederholen, welche Herr Geh. Rath Bessel, in Nr. 403 der *Astron. Nachrichten* empfohlen hat. Bis jetzt habe ich für die Schrauben-Umgänge folgende Werthe erhalten:

Durch 37 Messungen mit dem 6zölligen Verticalkreise des Universal-Instruments über einen Theil von 44 Umgängen in der Mitte der Schraube  $26^{\circ}21'22''$  Therm.  $35^{\circ}4''$ F.  
Durch 174 Sterndurchgänge mittels einem Münchener Ocular von 60maliger Vergrößerung über einen Theil in der Mitte der Schraube von 40 Umgängen.....  $26,2015$  Therm.  $56,5''$ F.

Durch 94 Sterndurchgänge mit einem achromatischen Ocular von Hrn. *Durwe* in Berlin mit 210maliger Vergrößerung, über einen Theil der Schraube von 24 Umgängen, von seiner Mitte zur rechten Seite..... 26°2094 Therm. 60°1F.

Durch 102 Sterndurchgänge mit dem nämlichen Ocular, über einen gleich großen Theil der Schraube, aber von der Mitte zur linken Seite genommen 26,2223 Therm. 55,2 F.

Das wahrscheinlichste Mittel für den Werth der Schrauben-Umgänge bei einem Thermometer-Stand von 55°2 Fahr. ist..... 26°2095

Die kleinen Unterschiede zwischen den verschiedenen Bestimmungen lassen sich gar nicht aus einer Unregelmäßigkeit in den Umgängen der Micrometer-Schraube erklären, und wenn solche Statt finden, werden sie sich wahrscheinlich nur bei den feinsten microscopischen Messungen zeigen. Obige Bestimmung ist für Doppelstern-Messungen hinreichend, aber erfordert, wie der Einfluss der Temperatur, für größere Entfernungen eine genauere Wiederholung.

Zu meiner ersten Arbeit mit dem Micrometer hatte ich die Messung der 39 Doppelsterne gewählt, welche sich vor einigen Jahren die besondere Aufmerksamkeit und Sorgfalt von *Bessel* und *Struve* erworben haben. Ich wünschte meine ersten Uebungen so zu wählen, daß sie nicht ganz unnütz seyn sollten, falls sie gelingen möchten, und überdies so, daß sie die Leistungen unseres Instruments für Doppelstern-Messungen auf das Genaueste anzeigen könnten. Gewissen Umständen zufolge war ich veranlaßt nicht eine ausgezeichnete Luft abzuwarten, sondern die Messungen überhaupt so oft fortzusetzen, als nur die Witterung das Messen nicht ganz

unmöglich machte; und obschon meine Messungen dieser Doppelsterne nicht weniger zahlreich als die *Besselschen* sind, umfassen sie nicht völlig sieben Monate, denn die ersten sind vom 4<sup>ten</sup> Nov. 1839, die letzten vom 28<sup>ten</sup> Mai 1840. Wie dieß in gelinden Wintern bei uns immer der Fall ist, war mir die Witterung sehr ungünstig. Nur vom 6<sup>ten</sup> bis zum 13<sup>ten</sup> Januar, und später vom 1<sup>ten</sup> bis zum 8<sup>ten</sup> März, gab es Frost und damit eine heitere und ziemlich ruhige Luft. Das Ende Januars und der ganze Monat Februar waren außerordentlich ungünstig, und wenn der Himmel sich für wenige Augenblicke aufhellte, konnten die Messungen doch nur unter heftigem Sturm vorgenommen werden. Der Monat April gab für das Auge vier sehr schöne Wochen, aber die Tage waren sehr warm, während die Nächte sehr kalt waren, und vielleicht aus dieser Ursache war den ganzen Monat hindurch das Zittern der Luft so heftig, daß es meistens unmöglich blieb die Messungen fortzusetzen. Im Mai war es meistens trübe.

Bei meinen Doppelstern-Messungen habe ich ohne Ausnahme die stärkste (416malige) Vergrößerung angewendet und immer sind alle nöthigen Vorsichtsmaassregeln in Acht gehalten. Alle Entfernungen beruhen auf doppelte Messungen, bei welchen ich den todten Gang der Schraube, obschon dieser hier zehnmal kleiner als in Dorpat ist, immer ganz eliminirte, und wenigstens an jedem verschiedenen Tage sind die Messungen auf einen anderen Theil der Schraube geführt. Ich lasse hier die Endresultate meiner Messungen folgen, bei welchen  $w$  den wahrscheinlichen Fehler jeder einzelnen Doppelmessung der Entfernung bezeichuet, aus der Vergleichung jeder einzelnen Messung, wie sie im Tagebuche vorkommt, mit dem Mittel aus allen Messungen des nämlichen Doppelsterns abgeleitet.  $W$  bezeichnet den wahrscheinlichen Fehler des hier angeführten Mittels.  $w'$  und  $W'$  bezeichnen dasselbe für die Positionswinkel, wobei diese GröÙe aber schon in Theile von Raumsecunden reducirt sind.

| Stern                  | Zeit.   | Entfernung. | Anz. d. Mess. | $w$   | $W$   | Positionswinkel. | Anz. d. Mess. | $w'$  | $W'$  |
|------------------------|---------|-------------|---------------|-------|-------|------------------|---------------|-------|-------|
| $\gamma$ Cassiopeæ     | 1840,14 | 8°977       | 29            | 0°087 | 0°016 | 95°81            | 37            | 0°109 | 0°018 |
| $\zeta$ Piscium        | 1840,00 | 23,338      | 29            | 0,143 | 0,026 | 63,6             | 46            | 0,139 | 0,020 |
| $\gamma$ Arietis       | 1840,01 | 8,700       | 41            | 0,083 | 0,013 | 179,40           | 49            | 0,098 | 0,014 |
| $\alpha$ Piscium       | 1840,03 | 3,640       | 27            | 0,092 | 0,018 | 333,04           | 41            | 0,055 | 0,009 |
| $\gamma$ Androm.       | 1840,07 | 10,302      | 27            | 0,116 | 0,022 | 61,60            | 32            | 0,121 | 0,021 |
| $\delta$ Trianguli     | 1840,05 | 3,481       | 27            | 0,104 | 0,020 | 77,07            | 39            | 0,063 | 0,010 |
| $\epsilon$ Camelopard. | 1840,17 | 10,060      | 28            | 0,104 | 0,018 | 306,18           | 36            | 0,132 | 0,022 |
| 118 Tauri              | 1840,13 | 5,050       | 26            | 0,111 | 0,022 | 196,13           | 31            | 0,065 | 0,012 |
| $\lambda$ Orionis      | 1840,05 | 4,555       | 28            | 0,097 | 0,018 | 42,87            | 40            | 0,076 | 0,012 |
| $\zeta$ Orionis        | 1840,14 | 2,729       | 24            | 0,089 | 0,018 | 148,79           | 33            | 0,056 | 0,010 |
| 41 Aurigæ              | 1840,17 | 7,805       | 31            | 0,091 | 0,016 | 352,80           | 32            | 0,106 | 0,018 |
| 36 Geminor.            | 1840,13 | 5,816       | 25            | 0,092 | 0,018 | 171,00           | 28            | 0,092 | 0,019 |
| 20 Lyncei              | 1840,17 | 14,896      | 26            | 0,082 | 0,016 | 258,24           | 33            | 0,096 | 0,016 |
| $\alpha$ Geminor.      | 1840,06 | 4,713       | 28            | 0,095 | 0,018 | 253,96           | 34            | 0,055 | 0,009 |
| $\zeta$ Cancri A. B.   | 1840,15 | 1,246       | 23            | 0,063 | 0,013 | 6,14             | 85            | 0,036 | 0,006 |



| Ster.                            | Zeit.   | Entfernung. | Ans. d. Mess. | $w$   | $W$   | Positionswinkel. | Ans. d. Mess. | $w'$  | $W'$  |
|----------------------------------|---------|-------------|---------------|-------|-------|------------------|---------------|-------|-------|
| $\zeta$ Cancr. $\frac{A+B}{2} C$ | 1840,16 | 5'134       | 30            | 0'085 | 0'015 | 148°56           | 31            | 0'077 | 0'014 |
| 2 $\phi$ Cancr                   | 1840,16 | 4,647       | 30            | 0,063 | 0,011 | 212,71           | 37            | 0,066 | 0,011 |
| 1 $\gamma$ Cancr                 | 1840,16 | 5,732       | 29            | 0,096 | 0,018 | 37,31            | 36            | 0,069 | 0,011 |
| $\gamma$ Leonis                  | 1840,15 | 2,895       | 30            | 0,101 | 0,018 | 107,63           | 38            | 0,038 | 0,006 |
| $\xi$ Ursae maj.                 | 1840,25 | 2,082       | 31            | 0,067 | 0,012 | 152,24           | 40            | 0,045 | 0,007 |
| $\gamma$ Virginis                | 1840,26 | 1,302       | 24            | 0,066 | 0,013 | 207,94           | 37            | 0,034 | 0,006 |
| $\xi$ Ursae maj.                 | 1839,93 | 14,316      | 33            | 0,092 | 0,016 | 146,85           | 49            | 0,100 | 0,014 |
| $\pi$ Bootis                     | 1840,26 | 5,815       | 28            | 0,082 | 0,015 | 99,49            | 36            | 0,049 | 0,008 |
| $\xi$ Bootis                     | 1840,29 | 1,199       | 28            | 0,047 | 0,009 | 307,76           | 37            | 0,020 | 0,003 |
| $\delta$ Bootis                  | 1840,05 | 2,805       | 33            | 0,086 | 0,015 | 319,96           | 39            | 0,056 | 0,009 |
| $\xi$ Bootis                     | 1840,26 | 6,703       | 25            | 0,110 | 0,026 | 325,09           | 34            | 0,099 | 0,017 |
| $\zeta$ Coronae                  | 1840,26 | 5,920       | 26            | 0,076 | 0,014 | 301,46           | 39            | 0,080 | 0,013 |
| $\alpha$ Herculis                | 1840,28 | 4,688       | 32            | 0,073 | 0,013 | 120,44           | 43            | 0,052 | 0,008 |
| p Ophiuchi                       | 1840,35 | 6,005       | 27            | 0,093 | 0,018 | 127,97           | 41            | 0,064 | 0,010 |
| 100 Herculis                     | 1840,33 | 13,670      | 26            | 0,095 | 0,018 | 183,21           | 36            | 0,103 | 0,017 |
| $\delta$ Lyrae                   | 1839,99 | 3,342       | 34            | 0,089 | 0,015 | 23,82            | 39            | 0,042 | 0,007 |
| $\delta$ Lyrae                   | 1839,99 | 2,709       | 28            | 0,078 | 0,015 | 151,00           | 43            | 0,046 | 0,008 |
| $\delta$ Serpentis               | 1840,36 | 21,387      | 26            | 0,111 | 0,022 | 104,41           | 32            | 0,140 | 0,025 |
| $\beta$ Cygni                    | 1840,29 | 34,136      | 28            | 0,106 | 0,020 | 55,31            | 34            | 0,161 | 0,028 |
| $\pi$ Aquilae                    | 1840,37 | 1,682       | 22            | 0,066 | 0,014 | 123,05           | 27            | 0,028 | 0,006 |
| $\gamma$ Delphini                | 1840,03 | 11,977      | 34            | 0,090 | 0,016 | 273,73           | 35            | 0,119 | 0,020 |
| $\delta$ Delphini                | 1840,05 | 16,014      | 25            | 0,110 | 0,022 | 97,10            | 33            | 0,098 | 0,017 |
| $\beta$ Cephei                   | 1840,13 | 13,591      | 26            | 0,104 | 0,020 | 250,95           | 41            | 0,146 | 0,022 |
| $\zeta$ Aquarii                  | 1840,01 | 3,486       | 29            | 0,094 | 0,017 | 353,69           | 39            | 0,041 | 0,007 |

Die wahrscheinlichen Fehler meiner einzelnen Bestimmungen sind kleiner, als sich beim Gebrauche eines solchen kleinen Instruments erwarten liefs. Nicht uninteressant ist die Vergleichung dieser Fehler mit denen der Messungen *Struve's* und *Bessels*. *Struve* giebt pag. LVIII in seinem unsterblichen Werke, *Mensurae Micrometricae*, eine Tafel der wahrscheinlichen Fehler seiner Messungen der verschiedenen Entfernungen, welche aber nicht für jede einzelne Bestimmung, sondern für das Resultat eines jeden Tages gelten. Die Anzahl der einzelnen Messungen ist dort nicht angeführt, aber natürlich beruht jede Entfernung auf wenigstens einer Doppelmessung, und jeder Positionswinkel auf wenigstens zwei Einstellungen (Mens. Micr. pag. XIX). Setzt man also voraus, daß jede Entfernung auf nur eine Doppelmessung, und jeder Positionswinkel auf nur zwei Einstellungen beruht, so erhält man bei *Struve* die folgenden wahrscheinlichen Fehler seiner einzelnen Bestimmungen, welche jedoch etwas kleiner als die wirklichen sind.

| Mittl. Entfernung. | $w$   | $w'$  | Mittl. Entfernung. | $w$   | $w'$  |
|--------------------|-------|-------|--------------------|-------|-------|
| 0'7                | 0'074 | 0'044 | 9'8                | 0'127 | 0'124 |
| 1,5                | 0,086 | 0,068 | 15,9               | 0,127 | 0,137 |
| 3,1                | 0,099 | 0,086 | 19,4               | 0,145 | 0,145 |
| 5,6                | 0,116 | 0,113 | 28,2               | 0,156 | 0,169 |

Aus dieser Tafel läßt sich der wahrscheinliche Fehler für jeden der von mir gemessenen Doppelsterne interpoliren, und daraus weiter die wahrscheinlichen Fehler für einen willkürlichen Doppelstern ableiten, daß aber nicht vollkommen geschehen kann, da die Zahl der einzelnen Messungen bei *Struve* nicht genau bekannt ist. Unter Voraussetzung, daß auf jeden Stern gleich viele Messungen ausgeführt sind, und daß die Zahl der Messungen, in Beziehung auf die Zahl der Doppelsterne, sehr groß ist, findet man:

*Struve.* *Kaiser.*

Wahrscheinl. Fehler bei jeder Entfernung 0'11530 0'0925

Wahrsch. Fehler bei jedem Positionswinkel 0,11225 0,08659

Für die Vergleichung mit *Bessels* Messungen läßt sich die genauere Formel  $w = 0,6745 \sqrt{\frac{\sum e^2}{n-1}}$  anwenden, da *Bessel*

(Astr. Nachr. Nr. 240) die mittlern Fehler jedes Resultats mit der Zahl seiner Bestimmungen angezeigt hat. Daraus findet man:

*Bessel.* *Kaiser.*

Wahrscheinl. Fehler bei jeder Entfernung 0'10767 0'09376

Wahrsch. Fehler bei jedem Positionswinkel 0,09757 0,09040

Obschon die Kleinheit der zufälligen Fehler meiner Messungen sehr genügend ist, schließt sie die Möglichkeit von

beträchtlichen constanten Fehlern nicht aus. Es hält auch schwer diese Fehler zu bestimmen, da die Resultate nur durch Messungen bekannt sind, welche unter sich nicht völlig übereinstimmen. Am natürlichsten ist es aber meine Messungen auch mit Micrometer-Messungen zu vergleichen, und dazu die Messungen von *Struve* anzuwenden, deren höchste Vollkommenheit auf das Vielfältigste erwiesen ist. Aber auch diese Vergleichung bleibt unvollkommen, da *Struve* die hier zu betrachtenden Doppelsterne schon vor ungefähr acht Jahren gemessen hat, und die Bewegungen meistens gar nicht, oder nur annähernd bekannt sind. Unter den hier erwähnten Doppelsternen finden sich sechzehn, welche *Struve* als nahe unveränderlich erkannt hat, und welche für die Vergleichung die meiste Sicherheit gewähren, nämlich  $\zeta$  Bootis,  $\pi$  Aquar.,  $\alpha$  Bootis,  $\iota$  Triang.,  $\alpha$  Pisc.,  $2\phi$  Cancri,  $\alpha$  Herculis,  $\iota$  18 Tauri,  $\gamma$  Bootis,  $\gamma$  Arctis,  $\lambda$  Camelop.,  $\gamma$  Andr.,  $\gamma$  Delph.,  $100$  Herc.,  $\zeta$  Urs. maj. und  $\theta$  Serpentinis. Bei sechs anderen Doppelsternen ist die Bewegung wahrscheinlich nur sehr gering, und es blieb mir nichts anders übrig, als auch diese als unveränderlich zu betrachten. Diese sind  $\iota\gamma$  Cancri,  $\zeta$  Coronae,  $41$  Aurigae,  $\beta$  Cephei,  $\zeta$  Piscium und  $\beta$  Cygni, von welchen besonders die drei letzten nur eine geringe Sicherheit in der Vergleichung gewähren. Bei sieben Doppelsternen habe ich die Aenderung aus den Messungen *Struve's* abgeleitet, namentlich bei  $\zeta$  Orionis,  $\gamma$  Leonis,  $\zeta$  Aquarii,  $\xi$  Bootis,  $\gamma$  Cassiop.  $20$  Lyncis und  $61$  Cygni, und bei vier anderen,  $\gamma$  Virg.,  $\xi$  Ursae maj.,  $\alpha$  Gemis. und  $\rho$  Ophiuchi, habe ich dazu die von *Mäder* berechneten Bahnen benutzt. Bei drei Doppelsternen,  $\delta$  Lyrae,  $\alpha$  Lyrae und  $\lambda$  Orionis, liefs sich die Gröfse der Bewegung gar nicht bestimmen, weshalb ich diese Gröfse ausschliesen mußte. Die Messung von  $\zeta$  Cancri  $\frac{A+B}{2}$  und  $C$  habe ich aus einer anderen Ursache ausgeschlossen. Nur diese zeigt eine beträchtliche Abweichung, die vielleicht von dem Umstande herrührt, dafs ich den dritten Stern unmittelbar mit der Mitte aus den übrigen verglichen habe. Um ganz unbefangenen arbeiten zu können, wollte ich keine Untersuchung anfangen, bevor die ganze Reihe von Messungen geschlossen war, und dadurch habe ich diese Abweichung zu spät entdeckt, um dies jetzt erklären zu können, was nachher ohne Schwierigkeit geschehen kann. Ich theile hier nur die Untersuchung der Entfernungen mit, weil diese der grössten Schwierigkeit unterworfen, und am meisten untersucht sind. Nennt man die Messungen *Struve's*  $\Sigma$ , die meinigen  $K$ , so hat man

| Stern.              | Entfernung. | $\Sigma - K$ |
|---------------------|-------------|--------------|
| $\zeta$ Bootis      | 1,2         | - 0,010      |
| $\zeta$ Cancri A. B | 1,2         | - 0,056      |
| $\gamma$ Virginis   | 1,3         | - 0,001      |

| Stern.               | Entfernung. | $\Sigma - K$ |
|----------------------|-------------|--------------|
| $\pi$ Aquile         | 1,6         | - 0,180      |
| $\xi$ Ursae maj.     | 2,1         | + 0,153      |
| $\zeta$ Orionis      | 2,7         | - 0,103      |
| $\alpha$ Bootis      | 2,8         | - 0,170      |
| $\gamma$ Leonis      | 2,9         | - 0,256      |
| $\iota$ Triangul.    | 3,5         | + 0,133      |
| $\zeta$ Aquarii      | 3,5         | - 0,172      |
| $\alpha$ Piscium     | 3,6         | - 0,004      |
| $2\phi$ Cancri       | 4,6         | - 0,084      |
| $\alpha$ Herculis    | 4,7         | - 0,040      |
| $\alpha$ Geminor.    | 4,7         | + 0,100      |
| $118$ Tauri          | 5,0         | - 0,166      |
| $1\gamma$ Cancri     | 5,7         | + 0,106      |
| $\gamma$ Bootis      | 5,8         | + 0,016      |
| $38$ Geminor.        | 5,8         | - 0,080      |
| $\zeta$ Coronae      | 5,9         | + 0,082      |
| $\rho$ Ophiuchi      | 6,0         | + 0,243      |
| $\zeta$ Bootis       | 6,7         | + 0,233      |
| $41$ Aurigae         | 7,8         | + 0,192      |
| $\gamma$ Arctis      | 8,7         | - 0,069      |
| $\gamma$ Cassiop.    | 9,0         | + 0,140      |
| $1$ Camelop.         | 10,1        | + 0,073      |
| $\gamma$ Androm.     | 10,3        | + 0,030      |
| $\gamma$ Delphoi     | 12,0        | - 0,034      |
| $\beta$ Cephei       | 13,6        | - 0,017      |
| $100$ Hercul.        | 13,7        | + 0,177      |
| $\zeta$ Ursae maj.   | 14,3        | + 0,052      |
| $20$ Lyncis          | 14,9        | - 0,190      |
| $61$ Cygni           | 16,0        | + 0,262      |
| $\theta$ Serpentinis | 21,7        | + 0,260      |
| $\zeta$ Piscium      | 23,3        | + 0,118      |
| $\beta$ Cygni        | 34,3        | + 0,159      |

Aus diesen Vergleichungen geht hervor, dafs meine Messungen im Mittel sehr nahe, wenigstens viel näher, als alle bekannten übrigen Micrometer-Messungen mit denen von *Struve* übereinstimmen. Nennt man, mit *Struve*, die Resultate aus der Reihe von Messungen von *Herschel* und *South* Sh, aus der Reihe von *South* S, aus der ersten Reihe von *Herschel* h, aus seiner zweiten Reihe h', aus der Reihe von *Davies* D, die Resultate der Heliometer-Messungen *Beaule's* B, und den wahrscheinlich übrigenbleibenden Unterschied für jeden Stern  $\nu$ , so hat man nach pag. CXXXVII der Mens. Microm.

|                       |               |
|-----------------------|---------------|
| $\Sigma =$ Sh - 0,588 | $\nu =$ 0,347 |
| $\Sigma =$ S - 0,428  | $\nu =$ 0,260 |
| $\Sigma =$ h - 0,312  | $\nu =$ 0,313 |
| $\Sigma =$ D - 0,196  | $\nu =$ 0,127 |
| $\Sigma =$ h' - 0,128 | $\nu =$ 0,207 |
| $\Sigma =$ B - 0,188  | $\nu =$ 0,082 |

Das Mittel aus den sechzehn nahe unveränderlichen Doppelsternen giebt:

$$\Sigma = K - 0,002 \quad \nu = 0,089$$

und das Mittel aus allen

$$\Sigma = K + 0,026 \quad \nu = 0,096$$

Die Unterschiede zwischen *Struve* und den übrigen Beobachtern sind gewöhnlich, nach einem bestimmten Gesetz von den Entfernungen abhängig. So hat man z. B. bei der ersten Reihe *Herschels*

| Mittl. Entf. | $\Sigma - h$ |
|--------------|--------------|
| 1'46         | +0'037       |
| 3,03         | +0,361       |
| 5,76         | +0,607       |
| 11,24        | +0,406       |
| 24,18        | +0,079       |

Ein Gesetz von gleicher Natur lässt sich aus meinen Messungen gar nicht ableiten. Theilt man die Sterne in drei Gruppen, so hat man:

| Mittl. Entf. | $\Sigma - K$ |                      |
|--------------|--------------|----------------------|
| 2'40         | -0'060       | aus 11 Doppelsternen |
| 5,36         | +0,020       | — 9 —                |
| 11,42        | +0,072       | — 12 —               |

Wobei nur drei Doppelsterne übrig bleiben, deren Vergleichung zu unsicher ist. Es könnte scheinen, dass ich die Entfernungen unter 5" etwas kleiner, die übrigen etwas größer als *Struve* bestimme, aber ich bin weit entfernt, dies als erwiesen zu erkennen, da die ungünstige Witterung, unter welcher ich manchmal gemessen habe, sehr leicht so kleine Abweichungen hervorbringen konnte, welche unter besseren Umständen auftröben. Diese scheinen auch die Messungen der Doppelsterne  $\rho$  Oph.,  $\xi$  Bootis,  $\delta$  Cygol und  $\theta$  Serpentis anzudeuten, bei welchen der Unterschied am größten ist, und welche ich durchgängig nur unter sehr ungünstigen Umständen messen konnte.

| Nr. | Zeit.         | Entfernung. | Zahl. | $w$   |
|-----|---------------|-------------|-------|-------|
| 1   | 1 Jan. 1840   | 5' 0'814    | 37    | 0'240 |
| 2   | 26 April 1840 | 5 14,774    | 39    | 0,226 |
| 3   | 26 April 1840 | 7 35,156    | 31    | 0,198 |
| 4   | 30 April 1840 | 9 17,981    | 35    | 0,244 |
| 5   | 1 Jan. 1840   | 10 20,176   | 33    | 0,320 |

Hieraus ergibt sich:

| Mittl. Entf. | $w$    | $w'$   |
|--------------|--------|--------|
| 17'29"6      | 0'2484 | 0'2711 |

Die Messungen *Struve's* gehen nicht über Entfernungen von 7' hinaus. Die wahrscheinlichen Fehler jedes Resultats, auf wenigstens drei Bestimmungen beruhend, sind  $W = 0'1937$ ,  $W' = 0'2034$ . Hieraus ergeben sich die folgenden Zahlen für die wahrscheinlichen Fehler jeder einzelnen Bestimmung, die, wie zuvor, etwas kleiner als die wirklichen sind:

| Mittl. Entf. | $w$    | $w'$   |
|--------------|--------|--------|
| 6'5"8        | 0'3355 | 0'3523 |

Selbst bei einer Entfernung von 10' 20" sind die wahrschein-

Die Ausdehnung der Micrometer-Messungen auf größere Entfernungen bleibt sehr beschränkt, wenn man bloß nicht-achromatische Oculare, wie die Münchener, anwendet. Schwierig wird man dann die Messungen auf Entfernungen ausdehnen, welche den Radius des Gesichtsfeldes überschreiten und zu bald wird man auf geringe Vergrößerungen geführt, welche keiner großen Schärfe mehr fähig sind. Daher hat Herr *Duwe* in Berlin auf meine Bitte zwei schöne achromatische Oculare für mich angefertigt, von welchen das eine an unserem Fernrohr eine 310malige Vergrößerung mit einem Gesichtsfelde von 7'3, das andere eine Vergrößerung von 210 mit einem Gesichtsfelde von 11'6 giebt. Diese Oculare haben gar keine Blendung, und doch ist das Feld in seiner vollen Ausdehnung anwendbar. Mit dem 210mal vergrößernden Oculare habe ich einige Proben von Messungen auf größere Entfernungen vorgenommen, welche aber, der ungünstigen Witterung wegen noch nicht zahlreich sind. Die Witterung hat mir noch nicht erlaubt, meinem Wunsch zufolge, die relative Lage mehrerer Sterne aus den Plejaden und den Praesepe *Gancri* micrometrisch zu bestimmen, und daher sind meine Messungen auf die wenigen Folgenden beschränkt geblieben, welche ich nur als Proben mittheilen kann. Der Kürze wegen bezeichne ich durch Nr. 1 die Sterne f und h Plejadum, durch Nr. 2  $\zeta$  und 35 Leonis, durch Nr. 3  $\delta$  1 a *Cancri* und 1052 Baily, durch Nr. 4 zwei kleine Sterne in der Nähe der letztgenannten, von welchen der eine sich bei 41 a *Cancri* befindet, auf 2' 14" Entfernung und 246° 21' Positionswinkel, der andere bei 1052 Baily auf 1' 32" Entfernung und 342° 4' Positionswinkel; durch Nr. 5 die Sterne c und e Plejadum.

| $W$   | Positionswinkel. | Zahl. | $w$   | $W'$  |
|-------|------------------|-------|-------|-------|
| 0'040 | 2° 56'17         | 36    | 0'260 | 0'043 |
| 0,038 | 342 55,16        | 41    | 0,282 | 0,044 |
| 0,035 | 350 32,56        | 34    | 0,172 | 0,029 |
| 0,041 | 3 9,08           | 37    | 0,345 | 0,057 |
| 0,055 | 304 27,87        | 38    | 0,247 | 0,040 |

lichen Fehler meiner Messungen nicht größer, und mit gleicher Schärfe hätte ich die Messungen bis auf 11' ausdehnen können, wenn nur die Witterung es erlaubt hätte. Die meist bekannten Messungen größerer Entfernungen sind die, durch welche *Bessel* die Parallaxe von 61 Cygni bestimmt hat. Unter Voraussetzung, dass bei *Bessel* keine Ursache vorhanden war, um so verschiedenen Tagen auch verschiedene Fehlerquellen zu befürchten, finden sich aus den Angaben *Bessels* in Nr. 365 und 402 der *Astron. Nachr.* für jede einzelne Doppelmessung die wahrscheinlichen Fehler

|              | Entfernung. | $w$          |
|--------------|-------------|--------------|
| beim Stern a | 7' 46"      | $w = 0'2959$ |
| beim Stern b | 11 44       | $w = 0,3512$ |

Ich halte daher meine eraten Proben für genügend, und hoffe künftig durch Anwendung von Ocularen bis zur 150maligen Vergrößerung die Messungen mit nur geringen Verlust an Schärfe bis auf 15' oder 16' ausdehnen zu können, obschon das Messen bei solchen Entfernungen äußerst mühsam wird, vorzüglich wenn das Instrument, wie hier, in der Mitte einer volkreichen Stadt, vieler Unruhe ausgesetzt ist.

Der am 25<sup>ten</sup> Jan. d. J. von Herrn *Galle* entdeckte Comet hat mir Veranlassung gegeben, einige Micrometer-Messungen an einem sehr lichtschwachen Gegenstande mit erleuchteten Fäden im dunkeln Felde vorzunehmen. Bei der höchst ungünstigen Witterung war damals an keine vollständige Beobachtungsreihe zu denken, und daher muß ich mich auch hier begnügen, durch einige Beobachtungen zu zeigen, was unser Refractor künftig bei Cometen-Beobachtungen leisten kann. — Ich konnte an dem Cometen keine Spur von Kern entdecken, und die oben erwähnte Beleuchtung des Randes vom Felde war bei den Beobachtungen sehr hinderlich.

Am 3<sup>ten</sup> Februar 1840 wurden zwölf Entfernungen und Positionswinkel des Cometen, in Beziehung auf einen Stern der 8<sup>ten</sup> Größe, gemessen, welche nach der Methode von Seiner Excellenz dem Herrn Staaterath v. *Struve* (Astr. Nachr. Nr. 266.) berechnet wurden. Nach Annahme eines Normal-Orts wurden zu dessen Verbesserung mit Hilfe der Ephemeride des Cometen von Herrn *Kysaeus* in Nr. 399 der Astr. Nachr. aus den Beobachtungen 12 Gleichungen abgeleitet, welche, nach der Methode der kleinsten Quadrate aufgelöst, den folgenden verbesserten Ort gaben:

Febr. 3. 7<sup>h</sup> 36' 50<sup>s</sup> Sternzeit Leiden.

Wahrsch. Fehler.

AR. Com. = AR. \* + 6' 43' 26.....0' 66 Bogen.

Decl. Com. = Decl. \* — 10 58,42.....0,46 —

Der wahrscheinliche Fehler einer jeden Gleichung war 0' 94

Vom 3<sup>ten</sup> bis zum 23<sup>ten</sup> Februar wurde der Comet nicht gesehen. Erst am 2<sup>ten</sup> März konnten auf's Neue Messungen angestellt werden. Es wurden zehn Entfernungen und Positionswinkel mit einem Stern 8,9 Gr. bestimmt, aus welchen folgender relativer Ort hervorging:

März 2. 6<sup>h</sup> 37' 6<sup>s</sup> Sternzeit Leiden.

Wahrsch. Fehler.

AR. Com. = AR. \* — 8' 55' 51.....0' 84 Bogen.

Decl. Com. = Decl. \* + 3 43,99.....0,71 —

Der wahrscheinliche Fehler einer jeden Gleichung war hier 1' 58.

Am 3<sup>ten</sup> März wurden auf bekannte Art 8 Unterschiede in AR. und 8 Unterschiede in Decl. des Cometen mit einem kleinen Stern bestimmt. Mit Hilfe der Ephemeride von *Kysaeus* ergab sich daraus für

März 3. 7<sup>h</sup> 15' 41<sup>s</sup> Sternzeit Leiden.

Wahrsch. Fehler.

AR. Com. = AR. \* + 21' 192 Zeit.....0' 056 Zeit.  
und für 7<sup>h</sup> 39' 54<sup>s</sup> Sternzeit Leiden.

Decl. Com. = Decl. \* — 7' 8' 79.....0' 50

Der wahrscheinliche Fehler jeder Bestimmung für die AR. ist 0' 156 Zeit, für die Decl. 1' 45.

Am 5<sup>ten</sup> März wurden zwischen dem Cometen und einem Stern der 7<sup>ten</sup> Größe 7 Unterschiede in AR. und 8 Unterschiede in Decl. bestimmt, aus welchen sich ergab:

März 5. 6<sup>h</sup> 41' 26<sup>s</sup> Sternzeit Leiden.

Wahrsch. Fehler.

AR. Com. = AR. \* — 3' 15' 451 Zeit....0' 025 Zeit.  
und für 7<sup>h</sup> 27' 46<sup>s</sup> Sternzeit Leiden.

Decl. Com. = Decl. \* — 6' 20' 11.....0,61

Der wahrscheinliche Fehler jeder Bestimmung für die AR. ist 0' 061 Zeit, und für die Decl. 1' 75.

Am 7<sup>ten</sup> März wurden bei niedrigem Stande des Cometen und Mondschein 10 Unterschiede in AR. und 12 Unterschiede in Decl. zwischen dem Cometen und einem Stern 9<sup>er</sup> Gr. bestimmt, aus welchen sich ergab:

März 7. 8<sup>h</sup> 6' 22<sup>s</sup> Sternzeit Leiden.

Wahrsch. Fehler.

AR. Com. = AR. \* — 17' 518 Zeit.....0' 052  
und für 8<sup>h</sup> 28' 28<sup>s</sup> Sternzeit Leiden,

Decl. Com. = Decl. \* + 3' 2' 31.....0,30.

Der wahrscheinl. Fehler jeder Bestimmung für die AR. ist hier 0' 167 Zeit, und für die Decl. 1' 05.

Aus diesem Allen geht hervor, daß die kleinen Dimensionen unsers Instruments nicht genauen Bestimmungen hinderlich sind. Nur die kleinen Erschütterungen, welche das Gebäude von außen erleidet, machen bisweilen die Messungen, vorzüglich für größere Entfernungen schwierig, doch ihnen ist nicht abzuhelfen. — Die Original-Messungen, deren Resultate hier angeführt sind, finden sich in einer Schrift, unter dem Titel: *Eerste metingen met den Mikrometer, volbragt op het Observatorium van Rykshoogeschool te Leiden. Leiden by H. W. Hazenberg en Comp. 1840*, zu deren Herausgabe ich vor kurzem veranlaßt ward.

F. Kaiser.

# ASTRONOMISCHE NACHRICHTEN.

N<sup>o</sup>. 410.

The Moons Right Ascension, Declination and Horizontal Parallax for the time of her transit over the meridian of Altona for the year 1841 with the logarithms of coefficients for facilitating the reduction to other Meridians.

## January.

| Date. | Rightascen.               | log a   | log b  | log c | Hor. Par. | log     | log β  | Declination. | log a'  | log b'  | log c' | Semidiam. |
|-------|---------------------------|---------|--------|-------|-----------|---------|--------|--------------|---------|---------|--------|-----------|
| 1     | 1 <sup>h</sup> 10' 18" 70 | 8,55549 | 2,2256 | 6,35  | 57 48' 6" | 6,8182  | 0,382  | +12° 26' 24" | 9,38603 | 2,99029 | 7,549  | 15' 45" 2 |
| 2     | 4 22 92                   | 8,59461 | 2,3441 | 6,19  | 58 46,5   | 6,7269  | 0,0029 | +18 0 31,2   | 9,33812 | 3,30269 | 7,659  | 16 1,0    |
| 3     | 3 52 92                   | 8,63735 | 2,3830 | 5,59  | 59 42,8   | 6,7923  | 0,7019 | +22 44 6,7   | 9,23615 | 3,51959 | 7,729  | 16 16,3   |
| 4     | 9 15 07                   | 8,67466 | 2,2902 | 6,54  | 60 31,6   | 6,6964  | 0,9599 | +26 5 17,8   | 9,01374 | 3,66729 | 7,659  | 16 29,6   |
| 5     | 5 19 18 07                | 8,69578 | 1,8258 | 6,75  | 61 6,8    | 6,4433  | 1,1129 | +27 31 51,1  | 8,15862 | 3,74039 | 7,179  | 16 39,2   |
| 6     | 30 57,11                  | 8,69375 | 1,9630 | 6,73  | 61 22,9   | 5,7878  | 1,1729 | +26 43 38,3  | 8,90319 | 3,72959 | 7,39   | 16 43,6   |
| 7     | 40 25,52                  | 8,67000 | 2,3009 | 6,42  | 61 17,1   | 6,29759 | 1,1569 | +23 43 57,6  | 9,21832 | 3,63129 | 7,72   | 16 42,0   |
| 8     | 45 5,92                   | 8,63335 | 2,3528 | 5,40  | 60 50,2   | 6,62229 | 1,0599 | +18 58 41,9  | 9,35499 | 3,44319 | 7,76   | 16 34,7   |
| 9     | 44 17,23                  | 8,59461 | 2,2843 | 6,27  | 60 6,3    | 6,76949 | 0,9039 | +13 4 12,8   | 9,41795 | 3,13139 | 7,70   | 16 22,7   |
| 10    | 38 44,12                  | 8,56190 | 2,1330 | 6,36  | 59 10,6   | 6,83519 | 0,5169 | +6 35 25,0   | 9,43934 | 2,36349 | 7,57   | 16 7,5    |
| 11    | 29 48,52                  | 8,53956 | 1,8821 | 6,35  | 58 10,1   | 6,84959 | 0,525  | +0 0 15,0    | 9,43374 | 2,7742  | 7,44   | 15 51,0   |
| 12    | 18 58,38                  | 8,52892 | 1,3452 | 6,29  | 57 10,1   | 6,82699 | 0,558  | -6 20 34,4   | 9,40774 | 3,0801  | 7,32   | 15 34,7   |
| 13    | 7 34,06                   | 8,52920 | 1,3613 | 6,18  | 56 15,3   | 6,77329 | 0,724  | -12 11 43,4  | 9,36289 | 3,2275  | 7,24   | 15 19,8   |
| 14    | 56 42,57                  | 8,53815 | 1,7493 | 6,00  | 55 28,4   | 6,66739 | 0,835  | -17 20 57,9  | 9,29589 | 3,3267  | 7,21   | 15 7,0    |
| 15    | 44 12 90                  | 8,55231 | 1,8606 | 5,42  | 54 51,5   | 6,56939 | 0,808  | -21 37 27,2  | 9,19702 | 3,4035  | 7,19   | 14 56,9   |
| 16    | 39 29,89                  | 8,56742 | 1,6398 | 5,79  | 54 24,2   | 6,41479 | 0,813  | -24 51 0,2   | 9,04269 | 3,4633  | 7,11   | 14 49,5   |
| 17    | 33 27,31                  | 8,57894 | 1,6304 | 6,13  | 54 6,5    | 6,18249 | 0,765  | -26 52 26,6  | 8,75985 | 3,5029  | 6,88   | 14 44,7   |
| 18    | 28 26,39                  | 8,58332 | 1,6887 | 6,25  | 53 57,5   | 5,78369 | 0,677  | -27 35 1,9   | 7,11829 | 3,5170  | 6,49   | 14 42,2   |
| 19    | 23 24,71                  | 8,57603 | 1,6601 | 6,19  | 53 55,7   | 5,2940  | 0,652  | -26 56 14,5  | 8,53182 | 3,5019  | 6,92   | 14 41,7   |
| 20    | 17 16,35                  | 8,56591 | 1,6958 | 5,95  | 54 0,6    | 5,9584  | 0,574  | -24 58 50,3  | 9,03054 | 3,4867  | 7,18   | 14 43,1   |
| 21    | 10 13,16                  | 8,54788 | 1,9585 | 4,77  | 54 11,1   | 6,1758  | 0,489  | -21 50 29,2  | 9,18470 | 3,3825  | 7,27   | 14 5,9    |
| 22    | 20 58 56,92               | 8,52875 | 1,9145 | 5,82  | 54 26,3   | 6,3066  | 0,489  | -17 42 12,8  | 9,27956 | 3,2799  | 7,30   | 14 50,1   |
| 23    | 21 46 40,02               | 8,51268 | 1,7606 | 6,07  | 54 46,1   | 6,4069  | 0,479  | -12 46 32,4  | 9,34006 | 3,1427  | 7,29   | 14 55,5   |
| 24    | 22 32 58,47               | 8,50324 | 1,3406 | 6,19  | 55 10,4   | 6,4892  | 0,498  | -7 16 16,9   | 9,37739 | 2,9474  | 7,29   | 15 2,1    |
| 25    | 23 18 45,16               | 8,50305 | 1,3323 | 6,26  | 55 39,4   | 6,5598  | 0,507  | -1 23 55,2   | 9,39691 | 2,5787  | 7,30   | 15 10,0   |
| 26    | 0 5 4,69                  | 8,51370 | 1,8504 | 6,30  | 56 13,2   | 6,6258  | 0,558  | +4 37 40,9   | 9,40024 | 2,2469  | 7,36   | 15 19,2   |
| 27    | 53 10,51                  | 8,53551 | 2,0935 | 6,32  | 56 52,3   | 6,6811  | 0,469  | +10 34 57,5  | 9,38567 | 2,9112  | 7,45   | 15 29,8   |
| 28    | 44 21,31                  | 8,56791 | 2,2436 | 6,24  | 57 35,8   | 6,7211  | 0,345  | +16 11 35,9  | 9,34672 | 3,2124  | 7,55   | 15 41,7   |
| 29    | 39 51,78                  | 8,60515 | 2,3230 | 5,82  | 58 22,5   | 6,7393  | 0,428  | +21 7 13,3   | 9,26830 | 3,4233  | 7,63   | 15 54,4   |
| 31    | 3 40 31,25                | 8,64299 | 2,3112 | 6,16  | 59 9,5    | 6,7272  | 0,317  | +24 56 35,1  | 9,11300 | 3,5807  | 7,64   | 16 7,2    |

## February.

|    |             |         |        |      |         |        |       |             |         |        |      |         |
|----|-------------|---------|--------|------|---------|--------|-------|-------------|---------|--------|------|---------|
| 1  | 4 46 8,18   | 8,67190 | 2,1286 | 6,59 | 59 53,2 | 6,6667 | 0,780 | +27 11 32,6 | 8,73842 | 3,6820 | 7,46 | 16 19,1 |
| 2  | 54 58,91    | 8,68366 | 0,9918 | 6,70 | 60 28,0 | 6,5229 | 0,956 | +27 28 2,9  | 8,52046 | 3,7191 | 5,38 | 16 28,6 |
| 3  | 7 4 4,42    | 8,67508 | 2,0563 | 6,58 | 60 49,3 | 6,1690 | 1,086 | +25 36 1,5  | 9,08331 | 3,6821 | 7,49 | 16 34,4 |
| 4  | 8 10 27,11  | 8,65007 | 2,2590 | 6,13 | 60 52,7 | 5,8270 | 1,093 | +21 45 46,0 | 9,29079 | 3,5674 | 7,49 | 16 35,4 |
| 5  | 9 12 26,88  | 8,61780 | 2,2674 | 5,87 | 60 37,7 | 6,4473 | 1,079 | +16 24 10,5 | 9,39371 | 3,5625 | 7,73 | 16 31,3 |
| 6  | 10 9 55,36  | 8,58555 | 2,1715 | 5,85 | 60 5,1  | 6,6683 | 0,969 | +10 5 5,2   | 9,44005 | 2,9943 | 7,67 | 16 22,4 |
| 7  | 11 3 44,08  | 8,56086 | 1,9857 | 6,31 | 59 18,7 | 6,7758 | 0,755 | +3 20 57,5  | 9,45133 | 2,0218 | 7,57 | 16 9,7  |
| 8  | 11 55 8,35  | 8,54611 | 1,6484 | 6,28 | 58 23,8 | 6,8205 | 0,257 | -8 21 4,2   | 9,43565 | 2,9784 | 7,46 | 15 54,8 |
| 9  | 12 45 25,35 | 8,54164 | 0,1334 | 6,20 | 57 26,1 | 6,8236 | 0,081 | -9 39 49,5  | 9,39953 | 3,2053 | 7,35 | 15 39,1 |
| 10 | 13 35 48,08 | 8,54596 | 1,5661 | 6,04 | 56 30,2 | 6,7903 | 0,046 | -15 18 56,3 | 9,33960 | 3,3269 | 7,26 | 15 23,8 |

## February.

| Date. | Rightascens.                                       | log a    | log b    | log c    | Hor. Par.             | log $\alpha$ | log $\beta$ | Declination.              | log a'   | log b'   | log c'   | Semidiam.             |
|-------|--|----------|----------|----------|-----------------------|--------------|-------------|---------------------------|----------|----------|----------|-----------------------|
| 11    | 14 <sup>h</sup> 26 <sup>m</sup> 53 <sup>s</sup> 95 | 8,55622  | 1,7607   | 5,66     | 55 <sup>o</sup> 40' 7 | 6,7196n      | 0,790       | -20 <sup>o</sup> 5' 24" 2 | 9,25052n | 3,4076   | 7,19     | 15 <sup>o</sup> 10' 3 |
| 12    | 15 19 28,55  | 8,56865  | 1,7773   | 5,51n    | 55 03,3               | 6,6119n      | 0,847       | -23 48 24,0               | 9,11606n | 3,4649   | 7,09     | 14 59,3               |
| 13    | 16 10 29,94  | 8,57911  | 1,6162   | 6,03n    | 54 30,3               | 6,4527n      | 0,871       | -26 19 1,0                | 8,90909n | 3,5024   | 6,88     | 14 51,2               |
| 14    | 17 8 30,93   | 8,58397  | 0,7911   | 6,18n    | 54 11,3               | 6,1971n      | 0,855       | -27 30 48,6               | 8,83407n | 3,5181   | 6,03     | 14 46,0               |
| 15    | 18 3 40,44   | 8,58117  | 1,5383n  | 6,17n    | 54 2,9                | 5,5950n      | 0,808       | -27 20 56,4               | 8,54534  | 3,5095   | 6,78n    | 14 43,7               |
| 16    | 18 57 59,37  | 8,57079  | 1,8289n  | 5,98n    | 54 41                 | 8,8078       | 0,740       | -25 51 0,9                | 8,94979  | 3,4754   | 7,09n    | 14 44,0               |
| 17    | 19 50 39,78  | 8,55500  | 1,9201n  | 5,38n    | 54 13,5               | 6,1775       | 0,651       | -23 7 0,9                 | 9,13859  | 3,4162   | 7,20n    | 14 46,6               |
| 18    | 20 41 18,37  | 8,53727  | 1,9026n  | 5,63     | 54 29,6               | 6,3411       | 0,542       | -19 18 17,8               | 9,25232  | 3,3315   | 7,27n    | 14 51,0               |
| 19    | 21 29 59,61  | 8,52140  | 1,7844n  | 5,99     | 54 50,9               | 6,4309       | 0,870       | -14 36 16,3               | 9,32533  | 3,2158   | 7,30n    | 14 56,8               |
| 20    | $\sigma$   | $\sigma$ | $\sigma$ | $\sigma$ | $\sigma$              | $\sigma$     | $\sigma$    | $\sigma$                  | $\sigma$ | $\sigma$ | $\sigma$ | $\sigma$              |
| 21    | 22 17 11,38  | 8,51079  | 1,4829n  | 6,13     | 55 15,8               | 6,4851       | 0,257       | - 9 13 23,5               | 9,37184  | 3,0487   | 7,32n    | 15 3,5                |
| 22    | 23 3 38,70   | 8,50803  | 0,8859   | 6,20     | 55 43,4               | 6,5222       | 0,127       | - 3 22 43,5               | 9,39001  | 2,7545   | 7,34n    | 15 11,1               |
| 23    | 28 50 18,17  | 8,51474  | 1,7090   | 6,25     | 56 13,0               | 6,5428       | 9,729       | + 2 41 59,3               | 9,40619  | 1,4419n  | 7,39n    | 15 19,1               |
| 24    | 0 38 14,45   | 8,53148  | 1,9904   | 6,26     | 56 33,5               | 6,5535       | 9,729       | + 8 45 51,4               | 9,39559  | 2,8448n  | 7,45n    | 15 27,5               |
| 25    | 1 28 36,59   | 8,55735  | 2,1547   | 6,20     | 57 14,8               | 6,5665       | 9,767       | +14 32 5,1                | 9,36169  | 3,1711n  | 7,52n    | 15 36,0               |
| 26    | 2 22 30,51   | 8,58963  | 2,2457   | 5,90     | 57 47,1               | 6,5754       | 8,826       | +19 41 8,2                | 9,29368  | 3,3794n  | 7,57n    | 15 44,8               |
| 27    | 3 20 43,60   | 8,62329  | 2,2546   | 5,88n    | 58 19,5               | 6,5700       | 9,826n      | +23 50 23,5               | 9,16631  | 3,3704n  | 7,58n    | 15 53,6               |
| 28    | 4 23 18,95   | 8,65128  | 2,1311   | 6,43n    | 58 50,9               | 6,5500       | 0,127n      | +26 35 25,7               | 8,90254  | 3,6330n  | 7,46n    | 16 2,2                |

## March.

|    |             |          |          |          |          |          |          |             |          |          |          |          |
|----|-------------|----------|----------|----------|----------|----------|----------|-------------|----------|----------|----------|----------|
| 1  | 5 29 10,11  | 8,66641  | 1,6324   | 6,60n    | 59 20,1  | 6,4949   | 0,558n   | +27 34 22,3 | 6,61919  | 3,6826n  | 6,93n    | 16 10,1  |
| 2  | 6 36 3,54   | 8,66462  | 1,8012n  | 6,56n    | 59 43,9  | 6,3667   | 0,750n   | +26 34 49,0 | 8,91814n | 3,6730n  | 7,21     | 16 16,6  |
| 3  | 7 41 26,63  | 8,64737  | 1,1372n  | 6,27     | 59 59,3  | 6,0657   | 0,890n   | +23 39 21,7 | 9,20069n | 3,6012n  | 7,55     | 16 20,8  |
| 4  | 8 43 31,59  | 8,62087  | 2,2004n  | 4,32     | 60 3,2   | 5,4868n  | 0,939n   | +19 5 19,6  | 9,33985n | 3,4636n  | 7,65     | 16 21,9  |
| 5  | 9 41 44,93  | 8,59281  | 2,1411n  | 6,10     | 59 53,7  | 6,2770n  | 0,959n   | +13 19 7,7  | 9,41211n | 3,2361n  | 7,65     | 16 19,3  |
| 6  | 10 36 34,36 | 8,56946  | 1,9856n  | 6,25     | 59 30,7  | 6,5326n  | 0,916n   | + 6 49 55,2 | 9,44506n | 2,7819n  | 7,61     | 16 13,0  |
| 7  | 11 29 0,03  | 8,55443  | 1,6924n  | 6,26     | 58 55,6  | 6,6667n  | 0,770n   | + 0 5 21,8  | 9,44780n | 2,5747   | 7,54     | 16 3,4   |
| 8  | 12 20 11,77 | 8,54885  | 0,6808n  | 6,20     | 58 11,7  | 6,7366n  | 0,525n   | - 6 30 10,0 | 9,42578n | 3,0807   | 7,47     | 15 51,5  |
| 9  | 13 11 15,26 | 8,55182  | 1,4915   | 6,06     | 57 22,8  | 6,7616n  | 9,604n   | -12 36 1,4  | 9,37949n | 3,2773   | 7,38     | 15 38,2  |
| 10 | 14 3 3,37   | 8,56089  | 1,7272   | 5,72     | 56 33,3  | 6,7484n  | 0,370    | -17 55 1,0  | 9,30495n | 3,3910   | 7,29     | 15 24,7  |
| 11 | 14 56 8,90  | 8,57253  | 1,7615   | 5,37n    | 55 47,2  | 6,7005n  | 0,639    | -22 13 2,2  | 9,24572n | 3,4635   | 7,17     | 15 12,1  |
| 12 | 15 50 38,06 | 8,58272  | 1,6185   | 5,99n    | 55 7,6   | 6,6095n  | 0,817    | -25 18 59,3 | 9,00910n | 3,5073   | 6,94     | 15 1,3   |
| 13 | 16 46 7,09  | 8,58778  | 0,9179   | 6,17n    | 54 78,6  | 6,4571n  | 0,859    | -27 5 15,7  | 8,56397n | 3,5256   | 6,22     | 14 53,1  |
| 14 | 17 41 47,60 | 8,58548  | 1,5043n  | 6,17n    | 54 18,3  | 6,2018n  | 0,871    | -27 28 27,4 | 8,10425  | 3,5188   | 6,74n    | 14 47,9  |
| 15 | 18 36 41,27 | 8,57568  | 1,8157n  | 6,00n    | 54 10,1  | 5,4868n  | 0,871    | -26 29 49,9 | 8,83288  | 3,4883   | 7,05n    | 14 45,7  |
| 16 | 19 29 59,32 | 8,56035  | 1,9171n  | 5,48n    | 54 12,9  | 6,9748   | 0,843    | -24 14 52,3 | 9,07326  | 3,4362   | 7,17n    | 14 46,4  |
| 17 | 20 21 16,40 | 8,54280  | 1,9076n  | 5,59     | 54 26,0  | 6,3090   | 0,750    | -20 52 6,8  | 9,20962  | 3,3647   | 7,22n    | 14 50,0  |
| 18 | 21 10 34,80 | 8,52679  | 1,7998n  | 5,97     | 54 47,5  | 6,4658   | 0,665    | -16 31 47,1 | 9,29721  | 3,2720   | 7,25n    | 14 55,8  |
| 19 | 21 58 20,47 | 8,51567  | 1,5291n  | 6,11     | 55 18,6  | 6,5528   | 0,469    | -11 24 57,5 | 9,35515  | 3,1457   | 7,28n    | 15 3,6   |
| 20 | 22 45 16,61 | 8,51203  | 0,5072   | 6,19     | 55 48,5  | 6,5982   | 0,188    | - 5 43 25,2 | 9,39152  | 2,9489   | 7,33n    | 15 12,6  |
| 21 | 23 32 18,18 | 8,51751  | 1,6561   | 6,23     | 56 23,5  | 6,6107   | 9,127n   | + 0 19 55,1 | 9,40927  | 2,4652   | 7,39n    | 15 22,0  |
| 22 | $\sigma$    | $\sigma$ | $\sigma$ | $\sigma$ | $\sigma$ | $\sigma$ | $\sigma$ | $\sigma$    | $\sigma$ | $\sigma$ | $\sigma$ | $\sigma$ |
| 23 | 0 20 27,77  | 8,53268  | 1,9557   | 6,24     | 56 58,3  | 6,5950   | 0,188n   | + 6 30 17,6 | 9,40788  | 2,6099n  | 7,47n    | 15 31,5  |
| 24 | 1 10 52,02  | 8,55673  | 2,1259   | 6,18     | 57 30,9  | 6,5556   | 0,370n   | +12 30 15,5 | 9,38342  | 3,0926n  | 7,54n    | 15 40,4  |
| 25 | 2 4 34,44   | 8,58716  | 2,2196   | 5,89     | 58 0,0   | 6,4941   | 0,489n   | +17 59 8,9  | 9,32684  | 3,3423n  | 7,59n    | 15 48,3  |
| 26 | 3 2 20,98   | 8,61921  | 2,2318   | 5,82n    | 58 24,6  | 6,4109   | 0,498n   | +22 33 10,1 | 9,21846  | 3,5084n  | 7,58n    | 15 55,0  |
| 27 | 4 4 16,44   | 8,64623  | 2,1153   | 6,40n    | 58 44,5  | 6,3033   | 0,516n   | +25 47 11,1 | 9,00612  | 3,6166n  | 7,46n    | 16 0,4   |
| 28 | 5 9 20,80   | 8,661128 | 1,6498   | 6,58n    | 58 59,6  | 6,1758   | 0,449n   | +27 19 3,8  | 8,39107  | 3,6694n  | 6,98n    | 16 4,5   |
| 29 | 6 15 29,83  | 8,66020  | 1,7538n  | 6,55n    | 59 10,4  | 5,9980   | 0,489n   | +26 35 59,7 | 9,75192n | 3,6642n  | 7,12     | 16 7,5   |
| 30 | 7 20 17,67  | 8,64395  | 2,1159n  | 6,29n    | 59 16,6  | 5,6317   | 0,542n   | +24 39 14,6 | 9,11942n | 3,6028n  | 7,49     | 16 9,2   |
| 31 | 8 21 56,81  | 8,61817  | 2,1909n  | 5,02n    | 59 17,5  | 5,4253n  | 0,659n   | +20 43 28,4 | 9,28572n | 3,4869n  | 7,59     | 16 9,4   |
|    | 9 19 49,46  |          |          |          | 59 11,7  |          |          | +13 31 31,6 |          |          |          | 16 7,8   |

## A p r i l .

| Date. | Rightascens.             | log a   | log b   | log c | Hor. Par. | log a   | log β  | Declination.   | log a'   | log b'  | log c' | Semidiam. |
|-------|--------------------------|---------|---------|-------|-----------|---------|--------|----------------|----------|---------|--------|-----------|
| 1     | 9 <sup>h</sup> 19' 49".6 | 8,59024 | 2,1415n | 6,96  | 59' 11".7 | 6,0320n | 0,689n | +15° 31' 31".6 | 9,37515n | 3,3095n | 7,60   | 16' 7".8  |
| 2     | 10 14 18,14              | 8,56647 | 1,9955n | 6,24  | 58 58,6   | 6,2991n | 0,750n | + 9 28 44,5    | 9,42128n | 3,0210n | 7,57   | 16 4,8    |
| 3     | 11 6 19,96               | 8,55080 | 1,7144n | 6,26  | 58 37,3   | 6,4623n | 0,683n | + 2 59 40,1    | 9,43770n | 2,1484n | 7,53   | 15 58,5   |
| 4     | 11 57 4,26               | 8,54475 | 0,7659  | 6,22  | 58 8,8    | 6,5680n | 0,639n | + 3 33 4,4     | 9,42994n | 2,8377  | 7,48   | 15 50,7   |
| 5     | 12 47 38,95              | 8,5472  | 1,5180  | 6,11  | 57 34,0   | 6,6317n | 0,370n | - 9 48 50,2    | 9,39896n | 3,1599  | 7,45   | 15 41,2   |
| 6     | 13 39 1,34               | 8,55782 | 1,7756  | 5,55  | 56 55,6   | 6,6612n | 0,030n | - 15 28 47,6   | 9,34165n | 3,3277  | 7,39   | 15 30,7   |
| 7     | 14 31 50,53              | 8,57125 | 1,8342  | 4,94  | 56 15,7   | 6,6618n | 0,030n | - 20 16 2,1    | 9,24958n | 3,4328  | 7,30   | 15 19,9   |
| 8     | 15 26 18,88              | 8,58385 | 1,7397  | 5,98  | 55 37,4   | 6,6234n | 0,525  | - 23 56 9,3    | 9,10309n | 3,4981  | 7,12   | 15 9,4    |
| 9     | 16 22 6,57               | 8,59144 | 1,3129  | 6,20n | 55 40,6   | 6,5450n | 0,665  | - 26 18 20,1   | 8,84497n | 3,5301  | 6,68   | 15 0,8    |
| 10    | 17 18 23,60              | 8,59112 | 1,3887n | 6,23n | 54 37,5   | 6,4128n | 0,775  | - 27 16 40,3   | 8,04190n | 3,5308  | 6,64n  | 14 53,1   |
| 11    | 18 14 4,67               | 8,58224 | 1,8125n | 6,11n | 54 19,9   | 6,1622n | 0,851  | - 26 50 59,1   | 8,66376  | 3,5035  | 7,05n  | 14 48,3   |
| 12    | 19 8 10,93               | 8,56657 | 1,9467n | 5,70n | 54 12,8   | 6,2396n | 0,883  | - 25 6 17,0    | 8,99242  | 3,4021  | 7,18n  | 14 46,4   |
| 13    | 20 0 7,85                | 8,54760 | 1,9563n | 5,47  | 54 17,0   | 6,0481  | 0,859  | - 22 11 14,4   | 9,15726  | 3,327   | 7,22n  | 14 47,5   |
| 14    | 20 49 52,05              | 8,52944 | 1,8700n | 5,96  | 54 32,0   | 6,3742  | 0,51   | - 18 16 9,1    | 9,26923  | 3,2981  | 7,21n  | 14 51,6   |
| 15    | 21 37 47,23              | 8,51588 | 1,6487n | 6,12  | 54 57,5   | 6,5417  | 0,755  | - 13 31 36,6   | 9,32704  | 3,1950  | 7,21n  | 14 58,6   |
| 16    | 22 24 36,98              | 8,50977 | 0,059n  | 6,21  | 55 31,5   | 6,6399  | 0,652  | - 8 8 6,9      | 9,37237  | 3,0534  | 7,25n  | 15 7,8    |
| 17    | 23 11 17,94              | 8,51341 | 1,5777  | 6,25  | 56 12,1   | 6,6960  | 0,382  | - 2 16 36,4    | 9,39981  | 2,8017  | 7,33n  | 15 18,9   |
| 18    | 23 58 55,85              | 8,52736 | 1,9337  | 6,28  | 56 56,2   | 6,7124  | 0,127n | + 3 50 24,8    | 9,40977  | 1,2043  | 7,43n  | 15 30,9   |
| 19    | 0 48 42,03               | 8,55127 | 1,2139  | 6,25  | 57 40,1   | 6,6950  | 0,357n | + 9 57 27,9    | 9,39901  | 2,8902n | 7,54n  | 15 42,9   |
| 20    | 1 41 47,81               | 8,58294 | 2,2420  | 6,06  | 58 20,6   | 6,6364  | 0,689n | + 15 44 45,8   | 9,35962  | 3,2482n | 7,62n  | 15 53,9   |
| 21    | σ                        | σ       | σ       | σ     | 58 53,9   | 6,5252  | 0,799n | + 20 47 40,1   | 9,27531  | 3,4649n | 7,65n  | 16 3,0    |
| 22    | 2 39 11,13               | 8,51783 | 2,2782  | 5,44n | 59 17,9   | 6,3377  | 0,855n | + 24 38 3,3    | 9,10799  | 3,6047n | 7,57n  | 16 9,5    |
| 23    | 3 41 11,80               | 8,54895 | 2,1972  | 6,38n | 59 31,3   | 5,9985  | 0,433n | + 26 49 2,7    | 9,11185  | 3,6779n | 7,21n  | 16 13,2   |
| 24    | 4 47 0,43                | 8,66824 | 1,8386  | 6,62n | 59 34,4   | 5,2836n | 0,780n | + 27 2 55,0    | 9,51077n | 3,6842n | 7,04   | 16 14,0   |
| 25    | 5 54 28,43               | 8,66997 | 1,6788  | 6,62n | 59 28,6   | 6,0367n | 0,639n | + 25 17 57,6   | 9,04734n | 3,6260n | 7,51   | 16 12,4   |
| 26    | 7 0 48,31                | 8,65404 | 2,1457n | 6,40n | 59 16,2   | 6,2439n | 0,525n | + 21 48 38,1   | 9,24624n | 3,5097n | 7,61   | 16 9,1    |
| 27    | 8 3 46,52                | 8,62608 | 2,2453n | 5,58n | 58 58,6   | 6,3513n | 0,382n | + 16 58 59,2   | 9,34814n | 3,6670n | 7,60   | 16 4,3    |
| 28    | 9 2 28,37                | 8,59434 | 2,2098n | 6,06  | 58 37,7   | 6,4205n | 0,317n | + 11 15 11,1   | 9,40109n | 3,0790n | 7,54   | 15 58,6   |
| 29    | 9 57 11,65               | 8,56618 | 2,0810n | 6,27  | 58 13,5   | 6,4701n | 0,206n | + 5 1 15,9     | 9,23242n | 2,5544n | 7,48   | 15 52,0   |
| 30    | 10 48 56,14              | 8,54632 | 1,8414n | 6,30  |           |         |        |                |          |         |        |           |

## M a y .

|    |             |         |         |       |         |         |        |              |          |         |       |         |
|----|-------------|---------|---------|-------|---------|---------|--------|--------------|----------|---------|-------|---------|
| 1  | 11 38 56,91 | 8,53688 | 1,2735n | 6,27  | 57 46,8 | 6,5122n | 0,273n | - 1 21 46,3  | 9,42282n | 2,5894  | 7,44  | 15 44,7 |
| 2  | 12 28 28,90 | 8,53781 | 1,4135  | 6,19  | 57 17,4 | 6,5464n | 0,056n | - 7 35 15,3  | 9,40140n | 3,1335  | 7,42  | 15 36,7 |
| 3  | 13 18 38,29 | 8,54731 | 1,7795  | 6,01  | 56 46,3 | 6,5646n | 9,700n | - 13 21 54,6 | 9,35707n | 2,2419  | 7,40  | 15 28,2 |
| 4  | 14 10 15,50 | 8,56211 | 1,8223  | 5,44  | 56 14,3 | 6,5700n | 9,127  | - 18 25 12,4 | 9,28308n | 3,3749  | 7,36  | 15 19,5 |
| 5  | 15 3 46,40  | 8,57784 | 1,8663  | 5,83n | 55 42,6 | 6,5528n | 0,168  | - 22 29 40,2 | 9,16448n | 3,4648  | 7,26  | 15 10,9 |
| 6  | 15 59 3,89  | 8,58971 | 1,6436  | 6,19n | 55 13,1 | 6,5107n | 0,382  | - 25 21 55,4 | 9,06431n | 3,5173  | 7,01  | 15 2,8  |
| 7  | 16 55 24,80 | 8,59337 | 0,5435n | 6,29n | 54 47,2 | 6,4337n | 0,566  | - 26 52 46,7 | 8,52722n | 3,5352  | 4,93  | 14 55,8 |
| 8  | 17 51 40,06 | 8,58817 | 1,7285n | 6,23n | 54 26,8 | 6,2953n | 0,683  | - 26 58 52,1 | 8,3942   | 3,5184  | 6,97n | 14 50,2 |
| 9  | 18 46 37,29 | 8,57382 | 1,9481n | 5,97n | 54 13,6 | 6,0178n | 0,770  | - 25 43 18,1 | 8,69841  | 3,4715  | 7,19n | 14 46,6 |
| 10 | 19 39 24,95 | 8,55400 | 2,0036n | 4,37n | 54 9,2  | 6,6656  | 0,822  | - 23 14 15,5 | 9,10235  | 3,4012  | 7,25n | 14 45,4 |
| 11 | 20 29 44,88 | 8,53310 | 1,9569n | 5,87  | 54 14,7 | 6,0949  | 0,851  | - 19 42 34,2 | 9,22638  | 3,3135  | 7,24n | 14 46,9 |
| 12 | 21 17 51,66 | 8,51552 | 1,8056n | 6,10  | 54 30,8 | 6,3960  | 0,855  | - 15 19 35,6 | 9,29647  | 3,2119  | 7,20n | 14 51,3 |
| 13 | 22 4 24,34  | 8,50488 | 1,4235n | 6,20  | 54 57,6 | 6,5700  | 0,839  | - 10 16 1,2  | 9,34746  | 3,0884  | 7,19n | 14 58,6 |
| 14 | 22 50 18,32 | 8,50376 | 1,2571  | 6,27  | 55 34,6 | 6,6814  | 0,745  | - 4 41 55,6  | 9,36071  | 2,9117  | 7,23n | 15 8,7  |
| 15 | 23 36 40,00 | 8,51371 | 1,8348  | 6,31  | 56 19,9 | 6,7534  | 0,632  | + 1 12 19,4  | 9,39856  | 2,5214  | 7,33n | 15 21,0 |
| 16 | 0 24 44,22  | 8,53506 | 2,0873  | 6,32  | 57 11,4 | 6,7878  | 0,002  | + 7 14 31,5  | 9,39947  | 2,4818n | 7,46n | 15 35,1 |
| 17 | 1 15 50,82  | 8,56651 | 2,2419  | 6,26  | 58 4,5  | 6,7858  | 0,168n | + 13 8 42,4  | 9,37764  | 3,0660n | 7,59n | 15 49,5 |
| 18 | 2 11 16,17  | 8,59456 | 2,3253  | 5,87  | 58 55,3 | 6,7425  | 0,724n | + 18 33 21,9 | 9,32037  | 3,3592n | 7,68n | 16 3,4  |
| 19 | 3 11 52,15  | 8,54278 | 2,3168  | 6,15n | 59 38,3 | 6,6370  | 0,923n | + 23 0 46,5  | 9,20023  | 3,5522n | 7,68n | 16 15,1 |
| 20 | σ           | σ       | σ       | σ     |         |         |        |              |          |         |       |         |

2\*

| M a y.   |                          |         |         |         |          |         |        |               |          |         |        |           |  |  |  |  |
|----------|--------------------------|---------|---------|---------|----------|---------|--------|---------------|----------|---------|--------|-----------|--|--|--|--|
| Date.    | Rightascens.             | log a   | log b   | log c   | Hor.Par. | log a   | log β  | Declination.  | log a'   | log b'  | log c' | Semidiam. |  |  |  |  |
| 21       | 4 <sup>h</sup> 17' 29.38 | 8,67218 | 2,1376  | 6,600   | 60' 8.9  | 6,4290  | 1,019n | +25° 59' 46.1 | 8,93802  | 3,6706n | 7,51n  | 16' 23.4  |  |  |  |  |
| 22       | 5 26 24.15               | 8,68413 | 0,9530  | 6,72n   | 60 24.1  | 5,9117  | 1,038n | +27 3 32.1    | 6,60817  | 3,7134n | 6,27n  | 16 27.6   |  |  |  |  |
| 23       | 6 35 32.21               | 8,67499 | 2,0797n | 6,60n   | 60 23.2  | 5,9955n | 0,990n | +26 0 32.1    | 8,93818n | 3,6793n | 7,46   | 16 27.3   |  |  |  |  |
| 24       | 7 41 48.26               | 8,64855 | 2,2823n | 6,15n   | 60 7.8   | 6,4010n | 0,890n | +22 59 59.8   | 9,20656n | 3,5723n | 7,66   | 16 23.1   |  |  |  |  |
| 25       | 8 43 26.87               | 8,61376 | 2,2915n | 5,9n    | 59 40.9  | 6,5556n | 0,665n | +18 26 55.0   | 9,33193n | 3,3968n | 7,67   | 16 15.8   |  |  |  |  |
| 26       | 9 40 16.68               | 8,57978 | 2,1972n | 6,27    | 59 7.0   | 6,6216n | 0,357n | +12 51 32.8   | 9,39410n | 3,1345n | 7,60   | 16 6.6    |  |  |  |  |
| 27       | 10 33 17.36              | 8,55314 | 2,0126n | 6,34    | 58 29.6  | 6,6462n | 0,729n | + 6 41 46.7   | 9,42010n | 2,6461n | 7,50   | 15 56.4   |  |  |  |  |
| 28       | 11 23 42.47              | 8,53716 | 1,6720n | 6,32    | 57 51.3  | 6,6427n | 0,905  | + 0 20 41.7   | 9,42175n | 2,4830  | 7,42   | 15 45.9   |  |  |  |  |
| 29       | 12 12 56.78              | 8,53237 | 0,9931  | 6,26    | 57 14.1  | 6,6252n | 0,056  | - 5 53 47.7   | 9,40348n | 2,9746  | 7,37   | 15 25.8   |  |  |  |  |
| 30       | 13 2 16.79               | 8,53820 | 1,6588  | 6,14    | 56 38.6  | 6,5988n | 0,241  | -11 43 28.6   | 9,36504n | 3,1861  | 7,35   | 15 16.1   |  |  |  |  |
| 31       | 13 52 41.14              | 8,55124 | 1,8657  | 5,85    | 56 5.6   | 6,5660n | 0,206  | -16 55 42.5   | 9,30153n | 3,3243  | 7,34   | 15 17.1   |  |  |  |  |
| J u n e. |                          |         |         |         |          |         |        |               |          |         |        |           |  |  |  |  |
| 1        | 14 44 53.57              | 8,56763 | 1,9090  | 5,27n   | 55 35.1  | 6,5237n | 0,370  | -21 15 29.6   | 9,20141n | 3,4237  | 7,29   | 15 8.8    |  |  |  |  |
| 2        | 15 39 3.91               | 8,58250 | 1,8031  | 6,07n   | 55 8.0   | 6,4692n | 0,370  | -24 29 27.9   | 9,03781n | 3,4913  | 7,14   | 15 1.4    |  |  |  |  |
| 3        | 16 34 46.11              | 8,59113 | 1,3439  | 6,28n   | 54 44.3  | 6,4000n | 0,459  | -26 26 42.4   | 8,72418n | 3,5257  | 6,70   | 14 55.0   |  |  |  |  |
| 4        | 17 30 59.83              | 8,59033 | 1,4874n | 6,30n   | 54 24.9  | 6,2914n | 0,550  | -27 0 59.9    | 7,72850  | 3,5252  | 6,72n  | 14 49.7   |  |  |  |  |
| 5        | 18 26 28.56              | 8,57962 | 1,8844n | 6,15n   | 54 10.8  | 6,1108n | 0,618  | -26 12 25.4   | 8,78780  | 3,4903  | 7,14n  | 14 45.8   |  |  |  |  |
| 6        | 19 20 5.53               | 8,56122 | 2,0072n | 5,69n   | 54 2.9   | 5,7119n | 0,683  | -24 7 15.3    | 9,04628  | 3,4254  | 7,26n  | 14 43.7   |  |  |  |  |
| 7        | 20 11 13.79              | 8,53927 | 2,0092n | 5,59    | 54 2.2   | 5,5687  | 0,734  | -20 55 56.7   | 9,18479  | 3,3365  | 7,28n  | 14 43.5   |  |  |  |  |
| 8        | 20 59 52.01              | 8,51842 | 1,9185n | 6,01    | 54 9.6   | 6,1336  | 0,780  | -16 50 35.5   | 9,27035  | 3,2288  | 7,25n  | 14 45.5   |  |  |  |  |
| 9        | 21 46 28.15              | 8,50280 | 1,7006n | 6,16    | 54 26.0  | 6,3919  | 0,826  | -12 3 0.0     | 9,32600  | 3,1013  | 7,20n  | 14 50.0   |  |  |  |  |
| 10       | 22 31 50.44              | 8,49565 | 0,9402n | 6,24    | 54 52.3  | 6,5591  | 0,822  | - 6 43 55.0   | 9,36209  | 2,9364  | 7,19n  | 14 57.2   |  |  |  |  |
| 11       | 23 17 0.52               | 8,49918 | 1,5936  | 6,29    | 55 28.5  | 6,6779  | 0,808  | - 1 3 21.7    | 9,38314  | 2,6556  | 7,23n  | 15 7.0    |  |  |  |  |
| 12       | 0 3 9.85                 | 8,51447 | 1,9661  | 6,33    | 56 14.2  | 6,7621  | 0,718  | + 4 48 17.3   | 9,38983  | 1,5894n | 7,34n  | 15 19.5   |  |  |  |  |
| 13       | 0 51 37.75               | 8,54135 | 2,1742  | 6,34    | 57 7.6   | 6,8147  | 0,510  | +10 38 37.6   | 9,37901  | 2,4422n | 7,18n  | 15 34.0   |  |  |  |  |
| 14       | 1 43 48.19               | 8,57789 | 2,3054  | 6,23    | 58 5.7   | 6,8343  | 0,514  | +16 11 8.0    | 9,34221  | 3,2046n | 7,61n  | 15 49.9   |  |  |  |  |
| 15       | 2 40 57.44               | 8,61950 | 2,3653  | 5,59    | 59 3.9   | 6,8156  | 0,551n | +21 3 11.8    | 9,26094  | 3,4442n | 7,69n  | 16 5.7    |  |  |  |  |
| 16       | 3 43 46.20               | 8,65841 | 2,3185  | 6,38n   | 59 56.7  | 6,7430  | 0,905n | +24 45 46.5   | 9,08977  | 3,6112n | 7,67n  | 16 20.1   |  |  |  |  |
| 17       | 4 51 36.20               | 8,68469 | 2,3075  | 6,70n   | 60 37.6  | 6,5827  | 1,062n | +26 47 18.6   | 8,63165  | 3,7069n | 7,39n  | 16 31.2   |  |  |  |  |
| 18       | 5 43 46.20               | 8,68469 | 2,3075  | 6,70n   | 60 37.6  | 6,5827  | 1,062n | +26 47 18.6   | 8,63165  | 3,7069n | 7,39n  | 16 31.2   |  |  |  |  |
| 19       | 6 2 2.90                 | 8,69034 | 1,5760n | 6,73n   | 61 1.5   | 6,2158  | 1,127n | +26 43 49.5   | 8,68374n | 3,7237n | 7,04   | 16 37.7   |  |  |  |  |
| 20       | 7 11 36.55               | 8,67426 | 2,2026n | 6,53n   | 61 5.6   | 5,8417n | 1,127n | +24 30 38.3   | 9,12855n | 3,6576n | 7,62   | 16 38.9   |  |  |  |  |
| 21       | 8 17 21.52               | 8,64298 | 2,3176n | 5,74n   | 60 50.0  | 6,4536n | 1,051n | +20 25 31.1   | 9,30560n | 3,5098n | 7,73   | 16 34.6   |  |  |  |  |
| 22       | 9 18 4.47                | 8,60672 | 2,2815n | 6.14    | 60 17.8  | 6,6540n | 0,998n | +15 0 2.4     | 9,39085n | 3,2687n | 7,70   | 16 25.9   |  |  |  |  |
| 23       | 10 14 6.00               | 8,57433 | 2,1518n | 6,34    | 59 33.9  | 6,7417n | 0,580n | + 8 47 54.1   | 9,42745n | 2,8391n | 7,60   | 16 13.9   |  |  |  |  |
| 24       | 11 6 36.84               | 8,55120 | 1,9212n | 6,35    | 58 44.2  | 6,7717n | 0,953n | + 2 18 1.6    | 9,43551n | 3,3308  | 7,49   | 16 0.3    |  |  |  |  |
| 25       | 11 57 2.75               | 8,53939 | 1,4463n | 6,30    | 57 53.1  | 6,7664n | 0,206  | - 4 6 56.4    | 9,41178n | 2,9626  | 7,39   | 15 46.4   |  |  |  |  |
| 26       | 12 46 45.93              | 8,53866 | 1,2894  | 6.21    | 57 4.3   | 6,7324n | 0,525  | -10 9 19.8    | 9,38081n | 3,1756  | 7,33   | 15 33.1   |  |  |  |  |
| 27       | 13 36 56.66              | 8,54689 | 1,7377  | 6.02    | 56 21.3  | 6,6811n | 0,558  | -15 34 32.7   | 9,32191n | 3,3060  | 7,29   | 15 21.1   |  |  |  |  |
| 28       | 14 28 26.66              | 8,56059 | 1,8611  | 5.42    | 55 41.7  | 6,6138n | 0,632  | -20 9 29.1    | 9,23198n | 3,4002  | 7,25   | 15 10.5   |  |  |  |  |
| 29       | 15 21 42.61              | 8,57525 | 1,8304  | 5,83n   | 55 9.4   | 6,3319n | 0,582  | -23 42 0.8    | 9,09103n | 3,4690  | 7,16   | 15 1.8    |  |  |  |  |
| 30       | 16 16 36.31              | 8,58606 | 1,5826  | 6,18n   | 54 42.9  | 6,4327n | 0,618  | -26 1 32.3    | 8,84248n | 3,5114  | 6,89   | 14 54.6   |  |  |  |  |
| 31       | 17 12 24.88              |         |         | 54 22.5 |          |         |        | -27 0 43.2    |          |         |        | 14 49.0   |  |  |  |  |

(Der Beschluss folgt.)

Schreiben des Herrn Rümcker, Directors der Hamburger Sternwarte, an den Herausgeber.

Hamburg 1840. Aug. 17.

Hiebei habe ich die Ehre, Ihnen meine Beobachtungen des ersten von Herrn Galle entdeckten Cometen zu senden, wobei ich die aus eigenen Beobachtungen abgeleiteten Oerter der verglichenen Sterne zum Grunde gelegt habe.

| 1839.   | Mittl. Hamb. Zeit.        | Scheinbare AR. des Com.    | Decl. des Com. | Ans. der Beob. |
|---------|---------------------------|----------------------------|----------------|----------------|
| Dec. 10 | 16 <sup>h</sup> 23' 39.93 | 13 <sup>h</sup> 52' 37.457 | +0° 27' 5.70   | 7              |
|         | 18 4 33.76                | 13 53 18.895               | 0 28 5.12      | 1              |



| 1839.        | Mittl. Hamb.<br>Zeit.    | Scheinbare<br>AR. des Com.  | Decl. des Com.             | Aus. der<br>Beob. |
|--------------|--------------------------|-----------------------------|----------------------------|-------------------|
| Dec. 14      | 16 <sup>h</sup> 22' 7.34 | 14 <sup>h</sup> 31' 59".396 | +1 <sup>o</sup> 39' 28".08 | 5                 |
| 25           | 19 4 17,89               | 16 13 56,081                | 3 22 6,28                  | 8                 |
| 28           | 18 36 30,58              | 16 37 37,126                | 3 18 46,68                 | 3                 |
| 19           | 14 44,16                 | 16 37 49,663                | 3 18 9,17                  | 2                 |
| 29           | 17 4 13,93               | 16 44 42,317                | 3 14 19,28                 | 3                 |
| 1840<br>Jan. |                          |                             |                            |                   |
| 4            | 17 49 15,85              | 17 26 17,213                | 2 23 30,42                 | 10                |
| 5            | 17 41 29,78              | 17 32 31,084                | 2 11 58,07                 | 4                 |
| 6            | 17 56 29,89              | 17 38 40,337                | 1 58 52,01                 | 16                |
| 8            | 18 18 9,53               | 17 50 28,758                | 1 30 54,70                 | 15                |
| 9            | 18 13 18,80              | 17 56 5,600                 | 1 16 21,12                 | 10                |
| 10           | 18 19 49,87              | 18 1 36,743                 | 1 0 51,49                  | 19                |
| 11           | 18 52 4,70               | 18 7 4,539                  | 0 45 4,37                  | 7                 |
| 12           | 18 18 25,36              | 18 12 9,719                 | 0 29 35,40                 | 16                |
| 13           | 18 32 14,97              | 18 17 18,786                | 0 13 1,21                  | 14                |
| 14           | 18 15 17,68              | 18 22 12,686                | 0 3 9,63                   | 8                 |
| 17           | 17 48 49,85              | 18 36 21,422                | 0 53 20,42                 | 4                 |
| 18           | 26 33,84                 | 18 36 28,285                | 0 53 41,99                 | 3                 |
| 19           | 18 43 46,66              | 18 45 26,533                | 1 27 12,03                 | 4                 |
| 21           | 18 37 1,19               | 18 53 58,738                | 1 59 42,44                 | 2                 |
| 22           | 18 38 58,60              | 18 58 6,639                 | 2 16 22,92                 | 1                 |
| Febr. 2      | 18 16 33,06              | 19 38 28,796                | 5 0 40,85                  | 1                 |
| 4            | 18 14 45,53              | 19 44 57,405                | 5 26 57,39                 | 1                 |

*Scheinbare Oerter der verglichenen Sterne am Tage der  
Vergleichung mit dem Cometen nach eigenen Beobach-  
tungen.*

|                 | Scheinb. AR.                | Scheinb. Decl.              |
|-----------------|-----------------------------|-----------------------------|
| 1836 Decbr. 10. | 13 <sup>h</sup> 51' 29".987 | + 0 <sup>o</sup> 36' 41".69 |
|                 | 13 51 32,694                | 0 49 44,42                  |
|                 | 13 54 22,953                | 0 49 10,05                  |
| 14.             | 14 28 24,131                | 1 45 19,35                  |
|                 | 14 30 6,264                 | 1 34 49,44                  |
|                 | 14 37 20,656                | 1 23 41,84                  |
|                 | 14 38 56,172                | 1 38 42,26                  |
| 25.             | 16 14 12,633                | 3 15 19,94                  |
|                 | 16 14 17,976                | 3 27 56,03                  |
| 28.             | 16 37 44,606                | 3 11 29,95                  |
|                 | 16 37 54,335                | 3 4 57,74                   |
| •               | 16 40 17,438                | 3 1 30,22                   |
| 29.             | 16 43 27,640                | 3 12 16,89                  |
|                 | 16 45 13,424                | 3 17 16,51                  |
| 1840 Jan. 4.    | 17 22 29,946                | 2 9 22,17                   |
|                 | 17 22 38,602                | 2 27 12,28                  |
|                 | 17 23 49,909                | 2 22 29,20                  |
|                 | 17 24 18,048                | 2 10 34,13                  |
|                 | 17 24 22,025                | 2 31 52,69                  |

|              | Scheinb. AR.                | Scheinb. Decl.             |
|--------------|-----------------------------|----------------------------|
| 1840 Jan. 5. | 17 <sup>h</sup> 30' 59".317 | + 2 <sup>o</sup> 8' 55".01 |
|              | 17 31 2,991                 | 2 7 19,08                  |
|              | 17 31 50,266                | 2 6 38,84                  |
| 6.           | 17 39 9,522                 | 1 53 20,01                 |
|              | 17 39 31,944                | 1 50 30,22                 |
|              | 17 40 39,371                | 1 49 1,42                  |
|              | 17 41 13,764                | 2 0 44,12                  |
|              | 17 44 27,507                | 1 45 0,75                  |
| 8.           | 17 47 59,205                | 1 27 31,08                 |
|              | 17 51 23,084                | 1 34 31,33                 |
|              | 17 52 13,499                | 1 37 16,71                 |
|              | 17 53 37,164                | 1 18 45,14                 |
| 9.           | 17 53 37,184                | 1 18 44,99                 |
|              | 17 56 25,938                | 1 13 54,69                 |
| 10.          | 18 0 26,800                 | 0 41 44,89                 |
|              | 18 1 31,193                 | 0 47 50,57                 |
|              | 18 2 15,637                 | 0 46 3,82                  |
|              | 18 3 32,293                 | 0 46 47,63                 |
|              | 18 5 33,517                 | 0 38 37,75                 |
| 11.          | 18 5 33,526                 | 0 38 37,66                 |
|              | 18 8 55,993                 | 0 57 9,76                  |
| 12.          | 18 9 57,366                 | 0 47 50,24                 |
|              | 18 10 29,575                | 0 41 40,95                 |
|              | 18 11 16,032                | 0 46 44,50                 |
| 13.          | 18 19 0,541                 | 0 6 13,50                  |
|              | 18 19 37,832                | 0 6 16,66                  |
|              | 18 21 4,867                 | 0 13 22,95                 |
| 14.          | 18 19 0,561                 | 0 6 13,31                  |
|              | 18 19 37,851                | 0 6 16,52                  |
|              | 18 21 4,885                 | 0 13 22,81                 |
|              | 18 22 25,701                | 0 16 26,05                 |
| 17.          | 18 38 12,035                | — 1 7 38,56                |
| 19.          | 18 40 58,875                | 1 9 82,47                  |
|              | 18 43 21,286                | 1 13 50,53                 |
| 21.          | 18 57 0,326                 | 1 45 3,59                  |
| 22.          | 18 58 37,937                | 1 58 41,10                 |
| Febr. 2.     | 19 33 20,046                | 4 39 35,04                 |
|              | 19 36 47,391                | 4 54 23,53                 |
| 4.           | 19 42 19,830                | 5 5 47,89                  |
|              | 19 45 45,551                | 5 27 34,24                 |

\* Häufig haben die Cometen, wenn die davon gemachten Beobachtungen gehörig reducirt sind, schon wieder an Interesse verloren. Sollte jedoch jemand gewonnen seyn, diesen und den zweiten von Herrn *Galle* entdeckten Cometen einer strengeren Berechnung zu unterwerfen, so glaube ich meine Beobachtungen dazu empfehlen zu dürfen. Bei der Reduction der Cometen-Beobachtungen bat Herr *Funk* assistirt.

*Rümker.*

Bemerkungen über trigonometrische Nivellements, insbesondere über die terrestrische Strahlenbrechung.  
Von Herrn Professor Dr. *Grunert* zu Greifswald.

Die beste Methode zur Bestimmung des Höhenunterschiedes zweier Punkte auf der Oberfläche der Erde ist bekanntlich die Methode der gleichzeitig gegenseitig gemessenen Zenithdistanzen,

von welcher neuerlich namentlich in Rußland und Preußen so schöne Anwendungen gemacht worden sind. Bezeichnet man die Höhen der beiden Punkte *A* und *A'* über dem Meere

durch  $h$  und  $h'$ , die in  $A$  gemessene Zenithdistanz von  $A'$  durch  $z$ , die gleichzeitig in  $A'$  gemessene Zenithdistanz von  $A$  durch  $z'$ , die entsprechenden Refractionen durch  $\Delta z$  und  $\Delta z'$ , die wahren Zenithdistanzen also durch  $z + \Delta z$  und  $z' + \Delta z'$ , den Halbmesser der Erde, welche wir hier als eine Kugel betrachten wollen, durch  $r$ , den Winkel  $ACA'$  am Mittelpunkte  $C$  der Erde durch  $C$ ; so liefert das Dreieck  $ACA'$ , wenn wir die Winkel  $CAA'$  und  $CAA'$  desselben durch  $A$  und  $A'$  bezeichnen, die Proportion

$$AC + A'C : AC - A'C = \cot \frac{1}{2} C : \tan \frac{1}{2} (A' - A),$$

oder, weil offenbar  $AC = r + h$ ,  $A'C = r + h'$ ,  $A = 180^\circ - (z + \Delta z)$ ,  $A' = 180^\circ - (z' + \Delta z')$  ist, die Proportion

$$2r + h + h' : h - h' = \cot \frac{1}{2} C : \tan \frac{1}{2} (z - z' + \Delta z - \Delta z'),$$

und folglich

$$h - h' = 2r \left( 1 + \frac{h + h'}{2r} \right) \tan \frac{1}{2} C \tan \frac{1}{2} (z - z' + \Delta z - \Delta z'),$$

wo man den Winkel  $C$  aus der gemessenen horizontalen Entfernung  $s$  der Punkte  $A$  und  $A'$  mittelst der Formel

$$C = \frac{s}{r} \cdot 206264'' \text{ oder } C = \frac{s}{r \sin 1''}$$

leicht findet.

Bei der Berechnung des Höhenunterschieds  $h - h'$  nach der obigen Formel gestattet man sich nun eine doppelte nur näherungsweise richtige Voraussetzung, indem man nämlich sowohl  $\frac{h + h'}{2r} = 0$ , als auch  $\Delta z - \Delta z' = 0$  oder  $\Delta z = \Delta z'$

$$h_0 - h_1 = 2r \left( 1 + \frac{h_0 + h_1}{2r} \right) \tan \frac{1}{2} C_{0,1} \tan \frac{1}{2} (z_{0,1} - z_{1,0} + \Delta z_{0,1} - \Delta z_{1,0}),$$

$$h_1 - h_2 = 2r \left( 1 + \frac{h_1 + h_2}{2r} \right) \tan \frac{1}{2} C_{1,2} \tan \frac{1}{2} (z_{1,2} - z_{2,1} + \Delta z_{1,2} - \Delta z_{2,1}),$$

$$h_2 - h_0 = 2r \left( 1 + \frac{h_2 + h_0}{2r} \right) \tan \frac{1}{2} C_{2,0} \tan \frac{1}{2} (z_{2,0} - z_{0,2} + \Delta z_{2,0} - \Delta z_{0,2}),$$

und durch Addition dieser drei Gleichungen ergibt sich die Gleichung

$$\begin{aligned} 0 = & \left( 1 + \frac{h_0 + h_1}{2r} \right) \tan \frac{1}{2} C_{0,1} \tan \frac{1}{2} (z_{0,1} - z_{1,0} + \Delta z_{0,1} - \Delta z_{1,0}) \\ & + \left( 1 + \frac{h_1 + h_2}{2r} \right) \tan \frac{1}{2} C_{1,2} \tan \frac{1}{2} (z_{1,2} - z_{2,1} + \Delta z_{1,2} - \Delta z_{2,1}) \\ & + \left( 1 + \frac{h_2 + h_0}{2r} \right) \tan \frac{1}{2} C_{2,0} \tan \frac{1}{2} (z_{2,0} - z_{0,2} + \Delta z_{2,0} - \Delta z_{0,2}). \end{aligned}$$

Bezeichnen wir jetzt die den gemessenen Zenithdistanzen  $z_{0,1}$ ,  $z_{1,2}$ ,  $z_{2,0}$ ,  $z_{1,0}$ ,  $z_{2,1}$ ,  $z_{0,2}$  entsprechenden Refractions-Coefficienten durch  $k_{0,1}$ ,  $k_{1,2}$ ,  $k_{2,0}$ ,  $k_{1,0}$ ,  $k_{2,1}$ ,  $k_{0,2}$ ; so ist nach der Theorie der terrestrischen Refraction

$$\Delta z_{0,1} = k_{0,1} \cdot C_{0,1} \quad \Delta z_{1,0} = k_{1,0} \cdot C_{1,0}$$

$$\Delta z_{1,2} = k_{1,2} \cdot C_{1,2} \quad \Delta z_{2,1} = k_{2,1} \cdot C_{2,1}$$

$$\Delta z_{2,0} = k_{2,0} \cdot C_{2,0} \quad \Delta z_{0,2} = k_{0,2} \cdot C_{0,2}$$

Nehmen wir nun an, daß die Refractions-Coefficienten den

setzt, und allen bis jetzt bekannten Höhenbestimmungen liegen diese Voraussetzungen zum Grunde. Auch scheint es in der That nicht, daß man sich von denselben, wenigstens von der letzteren, unabhängig machen kann, wenn man nur zwei Punkte mit einander verbindet, welches aber, wie es mir scheint, wohl möglich ist, wenn man drei Punkte mit einander verbindet und deren gegenseitige Zenithdistanzen beobachtet, wobei natürlich auch vorausgesetzt wird, daß die horizontalen Entfernungen dieser drei Punkte von einander durch eine vorhergegangene Triangulirung mit aller nur möglichen Genauigkeit bestimmt worden sind: Die nähere Erläuterung dieser an sich übrigen ganz einfachen Bemerkung ist der Zweck dieses kleinen Aufsatzes.

Bezeichnen wir die drei Punkte, deren Höhendifferenzen bestimmt werden sollen, jetzt durch  $A_0$ ,  $A_1$ ,  $A_2$ ; ihre Höhen über dem Meere durch  $h_0$ ,  $h_1$ ,  $h_2$ ; die den horizontalen Entfernungen  $A_0A_1$ ,  $A_1A_2$ ,  $A_2A_0$  entsprechenden Winkel am Mittelpunkte der Erde, deren Halbmesser wie oben durch  $r$  bezeichnet wird, durch  $C_{0,1}$ ,  $C_{1,2}$ ,  $C_{2,0}$ ; die in  $A_0$  gemessenen Zenithdistanzen von  $A_1$  und  $A_2$  durch  $z_{0,1}$  und  $z_{0,2}$ ; die in  $A_1$  gemessenen Zenithdistanzen von  $A_2$  und  $A_0$  durch  $z_{1,2}$  und  $z_{1,0}$ ; die in  $A_2$  gemessenen Zenithdistanzen von  $A_0$  und  $A_1$  durch  $z_{2,0}$  und  $z_{2,1}$ ; die diesen gemessenen Zenithdistanzen entsprechenden Refractionen aber der Reihe nach durch  $\Delta z_{0,1}$ ,  $\Delta z_{0,2}$ ,  $\Delta z_{1,2}$ ,  $\Delta z_{1,0}$ ,  $\Delta z_{2,0}$ ,  $\Delta z_{2,1}$ ; so haben wir nach dem Obigen die drei folgenden Gleichungen:

Dichten der Luft proportional sind, und bezeichnen den Refractions-Coefficienten für die Temperatur  $\vartheta_{\text{sm}}$  schmelzenden Eisens und die Höhe 0<sup>m</sup>.76 des metrischen Barometers durch  $k$ ; so ist, wenn die den gemessenen Zenithdistanzen  $z_{0,1}$ ,  $z_{1,0}$ ;  $z_{1,2}$ ,  $z_{2,1}$ ;  $z_{2,0}$ ,  $z_{0,2}$  entsprechenden Lufttemperaturen und sämmtlich auf die Temperatur des schmelzenden Eisens reducirten Barometerhöhen, erstere nach dem Centesimal-Thermometer, letztere nach dem metrischen Barometer, durch  $t_{0,1}$ ,  $b_{0,1}$ ;  $t_{1,0}$ ,  $b_{1,0}$ ;  $t_{1,2}$ ,  $b_{1,2}$ ;  $t_{2,1}$ ,  $b_{2,1}$ ;  $t_{2,0}$ ,  $b_{2,0}$ ;  $t_{0,2}$ ,  $b_{0,2}$  bezeichnet werden, und der Kürze wegen

$$\mu_{0,1} = \frac{b_{0,1}}{0^m.76 \cdot (1 + t_{0,1} \cdot 0.00375)}$$

$$\mu_{1,0} = \frac{b_{1,0}}{0^m.76 \cdot (1 + t_{1,0} \cdot 0.00375)}$$

$$\mu_{1,2} = \frac{b_{1,2}}{0^m.76 \cdot (1 + t_{1,2} \cdot 0.00375)}$$

$$\mu_{2,1} = \frac{b_{2,1}}{0,76 \cdot (1 + t_{2,1} \cdot 0,00375)}$$

$$\mu_{2,0} = \frac{b_{2,0}}{0,76 \cdot (1 + t_{2,0} \cdot 0,00375)}$$

$$\mu_{0,2} = \frac{b_{0,2}}{0,76 \cdot (1 + t_{0,2} \cdot 0,00375)}$$

gesetzt wird,

$$\begin{aligned} 0 = & \left(1 + \frac{h_0 + h_1}{2r}\right) \tan \frac{1}{2} C_{0,1} \tan \frac{1}{2} \left\{ z_{0,1} - z_{1,0} + k(\mu_{0,1} - \mu_{1,0}) C_{0,1} \right\} \\ & + \left(1 + \frac{h_1 + h_2}{2r}\right) \tan \frac{1}{2} C_{1,2} \tan \frac{1}{2} \left\{ z_{1,2} - z_{2,1} + k(\mu_{1,2} - \mu_{2,1}) C_{1,2} \right\} \\ & + \left(1 + \frac{h_2 + h_0}{2r}\right) \tan \frac{1}{2} C_{2,0} \tan \frac{1}{2} \left\{ z_{2,0} - z_{0,2} + k(\mu_{2,0} - \mu_{0,2}) C_{2,0} \right\} \end{aligned}$$

In dieser Gleichung sind die Größen  $\mu_{0,1}$ ,  $\mu_{1,0}$ ;  $\mu_{1,2}$ ,  $\mu_{2,1}$ ;  $\mu_{2,0}$ ,  $\mu_{0,2}$  sämtlich bekannt, wenn nur auf jeder Station zu denselben Zeiten, wo man die Zenithdistanzen misst, vorher sorgfältig unter einander verglichene Barometer und Thermometer mit allen dabei nöthigen Vorichtsmaassregeln beobachtet werden. Die Höhen  $h_0$ ,  $h_1$ ,  $h_2$  kann man mit einer, weil

$$\frac{h_0 + h_1}{2r}, \quad \frac{h_1 + h_2}{2r}, \quad \frac{h_2 + h_0}{2r}$$

sehr kleine Größen sind, hier hinreichenden Genauigkeit aus den auf den drei Stationen beobachteten Barometer- und Thermometer-Höhen und gleichzeitigen Barometer- und Thermometer-Beobachtungen am Meere nach den bekannten Formeln und Tafeln berechnen, so daß also hiernach die obige Gleichung nur noch die eine unbekannte Grösse  $k$  enthält, welche sich daher mittelst derselben bestimmen lassen muß.

Da in allen Fällen die Größen

$$k(\mu_{0,1} - \mu_{1,0}) C_{0,1}; \quad k(\mu_{1,2} - \mu_{2,1}) C_{1,2}; \quad k(\mu_{2,0} - \mu_{0,2}) C_{2,0}$$

nur sehr klein sind, so gelangt man zu der Bestimmung von  $k$  am leichtesten mittelst der folgenden Näherungsmethode. Weil

$$\tan g(x+y) = \frac{\tan g x + \tan g y}{1 - \tan g x \tan g y}$$

ist, so kann man, wenn  $y$  nur klein ist und in Theilen des der Einheit gleichen Radius ausgedrückt angenommen wird, näherungsweise mit Vernachlässigung aller Glieder von den die erste übersteigenden Ordnungen

$$\begin{aligned} \tan g(x+y) &= \frac{\tan g x + \tan g y}{1 - \tan g x \tan g y} = (1 - y \tan g x)^{-1} (\tan g x + y) \\ &= (1 + y \tan g x) (\tan g x + y) = \tan g x + y (1 + \tan g^2 x) \\ &= \tan g x + \frac{y}{\cos^2 x} \end{aligned}$$

setzen. Wendet man dies auf die obige Gleichung an, und setzt der Kürze wegen

$$\begin{aligned} k_{0,1} &= \mu_{0,1} \cdot k, \quad k_{1,0} = \mu_{1,0} \cdot k; \quad k_{1,2} = \mu_{1,2} \cdot k, \quad k_{2,1} = \mu_{2,1} \cdot k; \\ k_{2,0} &= \mu_{2,0} \cdot k, \quad k_{0,2} = \mu_{0,2} \cdot k; \end{aligned}$$

und folglich

$$\begin{aligned} \Delta z_{0,1} &= \mu_{0,1} \cdot k C_{0,1} & \Delta z_{1,0} &= \mu_{1,0} \cdot k C_{0,1} \\ \Delta z_{1,2} &= \mu_{1,2} \cdot k C_{1,2} & \Delta z_{2,1} &= \mu_{2,1} \cdot k C_{1,2} \\ \Delta z_{2,0} &= \mu_{2,0} \cdot k C_{2,0} & \Delta z_{0,2} &= \mu_{0,2} \cdot k C_{2,0} \end{aligned}$$

Führt man dies in die obige Gleichung ein, so wird dieselbe

$$\begin{aligned} M = & \left(1 + \frac{h_0 + h_1}{2r}\right) \tan g \frac{1}{2} C_{0,1} \tan g \frac{1}{2} (z_{0,1} - z_{1,0}) \\ & + \left(1 + \frac{h_1 + h_2}{2r}\right) \tan g \frac{1}{2} C_{1,2} \tan g \frac{1}{2} (z_{1,2} - z_{2,1}) \\ & + \left(1 + \frac{h_2 + h_0}{2r}\right) \tan g \frac{1}{2} C_{2,0} \tan g \frac{1}{2} (z_{2,0} - z_{0,2}) \end{aligned}$$

und

$$\begin{aligned} N = & \frac{(\mu_{0,1} - \mu_{1,0}) \left(1 + \frac{h_0 + h_1}{2r}\right) C_{0,1} \tan g \frac{1}{2} C_{0,1}}{\cos^2 \frac{1}{2} (z_{0,1} - z_{1,0})} \\ & + \frac{(\mu_{1,2} - \mu_{2,1}) \left(1 + \frac{h_1 + h_2}{2r}\right) C_{1,2} \tan g \frac{1}{2} C_{1,2}}{\cos^2 \frac{1}{2} (z_{1,2} - z_{2,1})} \\ & + \frac{(\mu_{2,0} - \mu_{0,2}) \left(1 + \frac{h_2 + h_0}{2r}\right) C_{2,0} \tan g \frac{1}{2} C_{2,0}}{\cos^2 \frac{1}{2} (z_{2,0} - z_{0,2})} \end{aligned}$$

so wird dieselbe

$$M + \frac{1}{2} N k = 0,$$

und giebt also

$$k = -\frac{2M}{N}$$

Bezeichnet man die horizontalen Entfernungen  $A_0 A_1$ ,  $A_1 A_2$ ,  $A_2 A_0$  durch  $a_{0,1}$ ,  $a_{1,2}$ ,  $a_{2,0}$ ; so ist

$$C_{0,1} = \frac{a_{0,1}}{r}, \quad C_{1,2} = \frac{a_{1,2}}{r}, \quad C_{2,0} = \frac{a_{2,0}}{r}$$

und folglich, weil, wie leicht erhellet,

$$\tan g \frac{1}{2} C_{0,1} = \frac{a_{0,1}}{2r}, \quad \tan g \frac{1}{2} C_{1,2} = \frac{a_{1,2}}{2r}, \quad \tan g \frac{1}{2} C_{2,0} = \frac{a_{2,0}}{2r}$$

gesetzt werden kann,

$$C_{0,1} \tan g \frac{1}{2} C_{0,1} = \frac{1}{2} \left( \frac{a_{0,1}}{r} \right)^2, \quad C_{1,2} \tan g \frac{1}{2} C_{1,2} = \frac{1}{2} \left( \frac{a_{1,2}}{r} \right)^2,$$

$$C_{2,0} \tan g \frac{1}{2} C_{2,0} = \frac{1}{2} \left( \frac{a_{2,0}}{r} \right)^2.$$

Setzt man also

$$M' = \frac{s_{0,1}}{r} \left(1 + \frac{h_0 + h_1}{2r}\right) \tan \frac{1}{2} (s_{0,1} - s_{1,0}) \\ + \frac{s_{1,2}}{r} \left(1 + \frac{h_1 + h_2}{2r}\right) \tan \frac{1}{2} (s_{1,2} - s_{2,1}) \\ + \frac{s_{2,0}}{r} \left(1 + \frac{h_2 + h_0}{2r}\right) \tan \frac{1}{2} (s_{2,0} - s_{0,2})$$

und

$$N' = \left(\frac{s_{0,1}}{r}\right)^2 \cdot \frac{(\mu_{0,1} - \mu_{1,0}) \left(1 + \frac{h_0 + h_1}{2r}\right)}{\cos^2 \frac{1}{2} (s_{0,1} - s_{1,0})} \\ + \left(\frac{s_{1,2}}{r}\right)^2 \cdot \frac{(\mu_{1,2} - \mu_{2,1}) \left(1 + \frac{h_1 + h_2}{2r}\right)}{\cos^2 \frac{1}{2} (s_{1,2} - s_{2,1})} \\ + \left(\frac{s_{2,0}}{r}\right)^2 \cdot \frac{(\mu_{2,0} - \mu_{0,2}) \left(1 + \frac{h_2 + h_0}{2r}\right)}{\cos^2 \frac{1}{2} (s_{2,0} - s_{0,2})}$$

$$h_0 - h_1 = 2r \left(1 + \frac{h_0 + h_1}{2r}\right) \tan \frac{1}{2} C_{0,1} \tan \frac{1}{2} \left\{ s_{0,1} - s_{1,0} + k(\mu_{0,1} - \mu_{1,0}) C_{0,1} \right\}$$

$$h_1 - h_2 = 2r \left(1 + \frac{h_1 + h_2}{2r}\right) \tan \frac{1}{2} C_{1,2} \tan \frac{1}{2} \left\{ s_{1,2} - s_{2,1} + k(\mu_{1,2} - \mu_{2,1}) C_{1,2} \right\}$$

$$h_2 - h_0 = 2r \left(1 + \frac{h_2 + h_0}{2r}\right) \tan \frac{1}{2} C_{2,0} \tan \frac{1}{2} \left\{ s_{2,0} - s_{0,2} + k(\mu_{2,0} - \mu_{0,2}) C_{2,0} \right\}.$$

In wie fern es nöthig seyn dürfte, bei diesen Rechnungen auch auf die sphärische Gestalt der Erde Rücksicht

so ist

$$k = -\frac{2M'}{N'}.$$

Dafs der auf diese Art gefundene Werth von  $k$  nur als ein erster Näherungswerth dieses Coefficienten zu betrachten ist, versteht sich von selbst, wie man aber von demselben zu neuen Näherungswerthen übergehen und sich überhaupt den wahren Werthe von  $k$  immer mehr und mehr und bis zu jedem beliebigen Grade nähern kann, bedarf an diesem Orte keiner weiteren Erläuterung.

Hat man auf diese Weise  $k$  gefunden, so erhält man die Höhendifferenzen  $h_0 - h_1$ ,  $h_1 - h_2$ ,  $h_2 - h_0$  mittelst der folgenden aus dem Obigen sich unmittelbar ergebenden Formeln:

zu nehmen, will ich jetzt nicht weiter untersuchen.

Grunert.

## Sternbedeckungen.

Von Herrn *Nobert* in Greifswalde habe ich folgende von ihm dort beobachtete Sternbedeckungen erhalten.

| 1840      | Greifsw. m. Zt.  |
|-----------|--|
| Januar 14 | Stern 51 Gr.* Eintr. 9 <sup>h</sup> 43' 46" 12. 7 19 = Plejad, 9 Stern 77 Gr. 10 7 19,92<br>Bei diesen Beob. war die Luft ungemün durchsichtig und der Mondrand ohne Wallung. Sie dürfen als gut gelungen betrachtet werden.                                 |
| März 15   | α Leonis Eintr. 8 21 34,25<br>Kurz vor dem Eintritte bewölkte sich der Himmel mit dünnen weissen Wolken, die den Stern nur matt durchscheinen liessen. Es ist deshalb wohl möglich, dafs der Stern um einige Zehnthelle der Sekunde früher verschwunden ist. |

Die Zeitbestimmungen zu diesen Beobachtungen sind an einem 2füßigen Passageinstrumente gemacht.

Herr *Nobert* findet mit einem, von ihm selbst verfertigten, Sextanten die Breite seines Hauses in Greifswalde 54° 5' 40".

Herr *Advocat Engelhardt* hat in Geira am 14<sup>ten</sup> Januar dieses J.hrs beobachtet:

Eintritt Asterop 2. 10<sup>h</sup> 6' 49" 63 m. Z. in Geira.

Herr *Observator Petersen* hat auf der Altonaer Sternwarte beobachtet:

| 1837 Juni 10.  | 12 Leon. Eintr.d.R. 16 <sup>h</sup> 1' 10" 95 = 10 <sup>h</sup> 45' 0" 04 | St. Zt. | Mittl. Zt.   |
|----------------|---|---------|--|
| — 20.          | 170 Capr. Austr.d.R. 18 56 34,0 = 13 0 85,3                               |         | unsicher wegen Dünste.   |
| Dec. 14.       | 26 Canc. Austr.d.R. 2 9 48,1 = 8 35 42,2                                  |         | unsicher wegen Dünste.   |
| 1838 März 10.  | 77 α Leon. Eintr.d.R. 11 45 9,5 = 12 32 21,05                             |         | der Stern verschwand nicht plötzlich, sondern verlor sich am hellen Mondrande. |
| —              | — Austr.h.R. 13 2 7,5 = 13 49 6,5   |         | wahrscheinlich zu spät.  |
| Dec. 22.       | 85h Aqu. Eintr.d.R. 0 39 35,54 = 6 36 13,99                               |         | scharf.  |
| —              | Austr.h.R. 1 39 47,4 = 7 36 16,0'   |         | zu spät.   |
| Anonyma        | Eintr.d.R. 1 30 51,80 = 7 27 21,85  |         | scharf.  |
| 1839 Febr. 19. | 47 Ariet. Eintr.d.R. 3 26 37,40 = 5 30 49,70                              |         | scharf.  |
| 1840 März 15.  | α Leonis Eintr.d.R. 7 36 45,64 = 8 2 56,06                                |         | scharf.  |
| —              | Austr.h.R. 8 43 29,9 = 9 9 29,4   |         | zu spät.   |

### Nachrichten über die Instrumente der Kaiserlichen Hauptsternwarte Pulkowa.

Von einer Reise nach St. Petersburg zurückgekehrt, zu der ich, um die neue in Pulkowa gegründete Sternwarte durch eigene Ansicht näher kennen zu lernen, eingeladen war, glaube ich den Lesern dieser Zeitschrift einen angenehmen Dienst zu erzeigen, wenn ich ihnen, bis die vollständige Beschreibung des Ganzen im ersten Bande der Beobachtungen erscheinen kann, schon jetzt über die trefflichen dort aufgestellten Instrumente vorläufige Notizen gebe. Aus dem im 13<sup>ten</sup> Bande der Astr. Nachrichten befindlichen Plane kann man die Einrichtung der Gebäude im Allgemeinen übersehen (nur vier kleine von dem Hauptgebäude getrennte Sternwarten sind hinzugekommen). Um aber von dieser wahrhaft großartigen Anstalt einen richtigen Begriff zu erhalten, reichen Zeichnungen nicht aus, man muß selbst kommen und selbst sehen, wenigstens wurden bei mir die großen Erwartungen, welche die ausführlichen Pläne, die ich hier schon früher sah, erregt hatten, durch das, was ich fand, bedeutend übertroffen. Es ist kaum möglich, ohne dort gewesen zu seyn, eine entsprechende Vorstellung von der erhabenen einfachen Schönheit der Gebäude und von der ernsten der Wissenschaft würdigen Pracht der inneren Einrichtung zu haben, bei der jeder zwecklose Luxus verschmäht, aber für Sicherheit und Bequemlichkeit der Beobachtungen nichts gespart ist. Noch weniger läßt sich durch Worte der Geist der Ordnung und Sauberkeit beschreiben, den der Staatsrath v. Struve in dies

große Ganze eingeführt hat und darin zu erhalten weiß. Man sieht, wohin man sich auch wendet, jedes Bedürfnis des Beobachters im voraus bedacht, jeden Hilfsapparat am rechten Orte, nichts, wo es nicht hingehört, umherliegend. Die unübertroffenen Instrumente mit, ich möchte sagen, liebender Sorgfalt benutzt und bewacht, lachen dem Auge in den herrlichen Sälen entgegen; jede mechanische Hülfsanordnung, wirkt leicht und fast geräuschlos, selbst die gewaltige Kuppel des großen Refractors kann von der zartesten Damenhand spielend bewegt werden. Um das freundliche Bild des Eindrucks, den Pulkowa auf mich gemacht hat, zu vervollständigen, setze ich noch hinzu, daß Verehrung, Eintracht und Freundschaft das gegenseitige Band seiner Bewohner knüpft, und daß alle dort Angestellte in glühendem Eifer für die Wissenschaft, und rastlosem Fleiße, dem schönen Beispiele, welches ihnen ihr berühmter Vorsteher giebt, nachzuemulern sich bestreben.

Ueber dem Portale des Haupteingangs sieht man nur die Jahreszahl der Vollendung. Keine Inschrift, so wollte der Erhabene Stifter es, nennt Seinen Namen. Es bedarf freilich, wo das Werk spricht, keiner Inschrift, und nie wird der Dank der Astronomen vergessen, wer ihrer Wissenschaft diesen bewundernswürdigen Tempel errichtete.

*Schumacher.*

### Kurze während meines Aufenthalts in Pulkowa gesammelte Notizen.

#### 1. Durchgangsinstrument im ersten Vertical, von den Gebrüdern Repsold.

Aufgestellt im Südsale. Beobachter: Herr Staatsrath v. Struve. Freie Oeffnung des Objectivs 6,25 Zoll. Brennweite 91 Zoll. Vergrößerung bei den Beobachtungen = 262. Länge der Axe 51,2 Zoll. Dicke der Zapfen 4,5 Zoll. Das Fernrohr am Ende der Axe. Die Rohrhälften conisch. Die Wasserwaage immer auf der Axe. 1 Pariser Linie auf der Wasserwaage = 0,94 Bogensecunden. Die Umlegung des Instruments aus der Lage F. N. (Fernrohr nach Norden) in die F. S. (Fernrohr nach Süden)

18r Bd.

kann in 16 Secunden ausgeführt werden. Im Brennpuncte befinden sich 2 horizontale Fäden in einer Bogenminute Abstand und 1 feste senkrechte, so wie ein durch eine Micrometerschraube beweglicher. 1 Umgang dieser Schraube ( $\approx$ ) = 28,5 Bogensecunden. Die festen senkrechten Fäden sind so aufgespannt, daß nach beiden Seiten vom mittlern (VI) an, der Abstand der nächsten (V u. VII) gleich  $4r = 114$  Bogensecunden, der der übrigen unter sich  $2r = 57$  Bogensecunden ist. So dienen die festen Fäden zugleich zur Ablesung der Umgänge der Micrometerschraube des beweglichen. Der Zweck des Instruments ist Bestimmung der Meridian-Zenith-Distanz der dem Scheitel nahe südlich vorbeigehenden Sterne. — Beträgt

dieselbe nur wenige Minuten, so wird der bewegliche Faden in dem Raume zwischen den Fäden V und VII gebracht, so z. B. bei  $v$  im grünen Büren, der jetzt noch  $60''$  nördlich vom Scheitel vorbeigeht. Die andern Sterne bis auf  $3^\circ$  Zenithdistanz werden so beobachtet, daß in der östlichen Verticalhälfte der Durchgang durch 5 Fäden in einer Lage (z. B. F. N.) genommen, und dann das Instrument umgelegt wird, so daß unmittelbar darauf der Durchgang in der andern Lage (F. S.) wiederum an denselben Fäden in entgegengesetzter Folge beobachtet werden kann. Hierbei fällt einzig der Durchgang des Mittelfadens aus, und der Abstand der Fäden von der Normalen zur Umdrehungsaxe wird vollständig eliminirt. So wie der Stern nachher in den Westvertical tritt, wird zuerst in der Lage F. S. an denselben 5 Fäden beobachtet, und nach abermaliger Umlegung wieder in der ersten F. N. An verschiedenen Tagen wird abwechselnd mit F. N. und F. S. begonnen. Daß die Figur der Zapfen auf die so gewonnenen Z. D. gar keinen Einfluß hat, wenn die Lagerflächen asymmetrisch zur Scheitellinie sind, ist leicht einzusehen. Den Künstlern gereicht indeß die Vollkommenheit, mit der sie diese ihres großen Durchmessers wegen schwer zu bearbeitenden Zapfen ausgeführt haben, zu großer Ehre. Bei einer vorläufigen in meiner Gegenwart gemachten Prüfung, bei der das durch den ganzen Kreis bewegte Fernrohr in 8 um  $45^\circ$  verschiedene Stellungen gebracht ward, veränderte sich der Stand der mit einem Querniveau versehenen Wasservage auf der Axe um kaum  $= 0''$  im Bogen. Uebrigens soll die Form jedes der Zapfen noch aufs genaueste durch einen Fühlniveau-Apparat untersucht werden.

Zur Berichtigung der optischen Axe gegen die Umdrehungsaxe werden 2 kleinere Passageninstrumente (dieselben die bei dem Meridiankreise gebraucht werden) innerhalb des Saales auf schweren Holzstativen, die auf isolirten Fundamenten stehen, in O. und W. aufgestellt. Herr Staatsrath v. Struve hat gefunden, daß die Abbiegung der Gesichtslinie durch die Wirkung der Schwere bei verticaler Stellung des Rohrs 3,5 Bogensecunden beträgt.

Pendeluhr von *Mutton* in London.

Zunächst wird dies Instrument von Herrn Staatsrath v. Struve zur Bestimmung der Constante der Aberration durch die Beobachtung verschiedener Sterne zur Zeit des Maximums und Minimums der Aberration in Declination angewandt.

Es ist schon in den Astr. Nachr. (Nr. 404.) eine Probe von den Leistungen dieses Instruments gegeben. Da aber bei den dort abgedruckten Beobachtungen von  $v$  Ursae majoris, der durch das Micrometer bewegliche Faden benutzt ward, so wird es nicht unpassend seyn, hier die Beobachtungen von

39 (b) Draconis aufzuführen, die an den festen Fäden gemacht sind.

| Datum<br>1840.                | Beobachtete<br>süd.<br>Z. D. | Mittlere<br>Z. D. für<br>1840,00. | Diff. vom<br>Mittel. |
|-------------------------------|------------------------------|-----------------------------------|----------------------|
| Aug. 20.                      | $1^\circ 3' 33'' 37$         | $1^\circ 3' 43'' 25$              | $+ 0'' 04$           |
| — 23.                         | 32,87                        | 43,31                             | $+ 0,10$             |
| — 25.                         | 32,38                        | 43,18                             | $- 0,03$             |
| — 26.                         | 32,09                        | 43,05                             | $- 0,16$             |
| — 27.                         | 32,29                        | 43,42                             | $+ 0,21$             |
| — 28.                         | 31,88                        | 43,17                             | $- 0,04$             |
| — 30.                         | 31,61                        | 43,21                             | 0,00                 |
| Sept. 7.                      | 30,39                        | 43,05                             | $- 0,16$             |
| — 24.                         | 29,28                        | 43,13                             | $- 0,08$             |
| — 25.                         | 29,48                        | 43,35                             | $+ 0,14$             |
| — 26.                         | 29,29                        | 43,18                             | $- 0,03$             |
| — 28.                         | 29,31                        | 43,23                             | $+ 0,02$             |
| Mittel $1^\circ 3' 43'' 21$ . |                              |                                   |                      |

Die Vergleichung der einzelnen Bestimmungen mit dem Mittel geben den wahrscheinlichen Fehler einer Zenithdistanz eines Tages 9,087.

## II. Meridiankreis, von den Gebrüdern *Repsold*.

Aufgestellt im Observatorium. Beobachter: *Sabler*.

Fernrohr von 83,2 Zoll Brennweite und 5,8 Zoll Oefnung. Vergrößerung im Gebrauche = 246. Objectiv und Ocular können an den beiden conischen Rohrhälften verwechselt werden, um die Biegung des Rohrs zu eliminiren. Die Axe hat 42 Zoll Länge. Auf ihr 2 Kreise, jeder von 48 Zoll Durchmesser zu 2 Minuten getheilt. Die beiden Microscopenträger sitzen nicht auf der Axe, sondern sind an den Lagern fest. Jeder hat 4 Microscope. Auf besondern Granitpfählen in Nord und Süd aufgestellt, befindet sich der Hülfapparat. Er besteht:

1. aus 2 cylindrischen Horizontalcollimatoren (deren Axen durch Libellen nivellirt werden) von 40 Zoll Brennweite und 1,9 Zoll Oefnung;
2. aus 2 Durchgangsinstrumenten von 3,1 Zoll Oefnung und 40 Zoll Brennweite, mit Fädenmicrometern versehen.

Die ersten geben die constante Richtung, von welcher alle Messungen in verticalem Sinne ausgehen. Die letzten dienen zur Berichtigung der optischen Axe des Meridiankreises, indem die Abweichung derselben von dem Perpendicular auf die Umdrehungsaxe direct an den Micrometern der Hülfasfernöhre gemessen wird; eine Operation, die bei jedesmaliger Anwendung schwerlich eine Unsicherheit von mehr als  $0'' 1$  im Bogen nachläßt.

Pendeluhr von *Tiede* in Berlin.

Die im Juli und August von Herrn Dr. *Sabler* auf beiden Kreisen, in beiden Culminationen und in beiden Lagen von Objectiv und Ocular beobachteten und mit den Collimatoren verglichenen Oerter des Polarsternes, geben für die Polhöhe unter Anwendung der Dorpater Strahlenbrechung:

durch Kreis A.  $59^{\circ}46'18''75$       durch Kreis B.  $59^{\circ}46'18''55$   
Mittel  $59^{\circ}46'18''65$ .

ein Resultat, das mit keiner andern constanten Unsicherheit behaftet ist, als der, welche aus einem etwanigen Theilungsfehler hervorgeht.

Es ist bekannt, dafs man die Amplitudo von  $180^{\circ}$ , welche die Horizontalcollimatoren darbieten, durch den Kreis, unabhängig von dessen Theilungsfehlern messen kann, weil nach der Drehung um  $180^{\circ}$  dieselben Striche unter die Microscope treten. Hieraus folgt, dafs die beiden Kreise des Instruments bei gleichzeitiger Anwendung für die Bestimmung dieser Amplitudo bis auf die Gränze der Genauigkeit der Ablesung an den Microscopen übereinstimmende Werthe hätten geben sollen. Die Beobachtung hat aber bei euerlei Lage von Objectiv und Ocular constante Unterschiede zwischen den an beiden gemessenen Amplituden mit grüßter Sicherheit erkennen lassen. Nachdem Herr Staatsrath v. *Struve* ihren Grund in einer unregelmäßigen Durchbiegung der Kreise erkannte, wurden die Beobachtungen mit umgesteckten Objectiv und Ocular wiederholt und traten nun wie erwartet mit entgegengesetzten Zeichen hervor. Es ist leicht einzusehen, dafs die Umsteckung von Ocular und Objectiv, aufser der Eliminirung der Biegung der Rohrhälften, auch jede von der Schwere hervorgerachte unregelmäßige Formänderung der Kreise unschädlich macht.

Der Meridiankreis der Gebrüder *Repsold* soll vorzugsweise zur Anfertigung eines Fixsterncatalogs angewandt werden, der die ohngefähr 13,000 Sterne bis zur  $7^{\text{ten}}$  Gröfse inclusive, die zwischen dem Nordpol und  $15^{\circ}$  südliche Abweichung sich befinden, jeden durch mehrfache Beobachtungen bestimmt, enthalten wird.

### III. Durchgangsinstrument im Meridian, von *Ertel*.

Aufgestellt im westlichen Saale. Beobachter: *Peters*.

Öffnung des Objectivs 5,8 Zoll. Brennweite 102 Zoll. Vergrößerung im gewöhnlichen Gebrauche  $\approx 292$ . Die Rohrhälften sind conisch. Objectiv und Ocular sind umzustecken. Die Länge der Axe ist 46 Zoll.

Die Figur der Zapfen ist durch einen vom Künstler mitgegebenen Apparat mit Fühlniveau vollständig untersucht und ermittelt worden, wodurch bei gehöriger Berücksichtigung die

mit diesem Instrumente beobachteten Unterschiede der geraden Aufsteigungen sich unabhängig sowohl von den Unvollkommenheiten der Zapfen, als auch von einer möglichen ungleichen Abnutzung derselben erhalten lassen, da diese Untersuchung, so oft es nöthig ist, wiederholt werden kann.

Pendeluhr von *Hauth* in St. Petersburg, mit einem Compensationspendel von Zink und Stahl, das in der eigenen mechanischen Werkstatt der Sternwarte ausgeführt worden ist. Die Uhr steht auf einem eisernen Stativ, das zugleich als Uhrkasten dient und hat 2 correspondirende Zifferblätter, das eine gegen das obige Instrument, das andere gegen den Vertikalkreis gewandt.

### IV. Vertikalkreis von *Ertel*.

Aufgestellt ebenfalls im westlichen Saale. Beobachter *Peters*.

Die Grundlage dieses Instruments bildet ein cylindrischer Granitblock von 52 Zoll Durchmesser. Das Instrument steht auf demselben an einer verticalen Säule durch die eine stählerne Axe durchgeht, und kann also in jedes Azimuth gebracht werden, wird aber nur in der Nähe des Meridians gebraucht.

Das Fernrohr hat 5,9 Zoll Öffnung bei nur 74 Zoll Brennweite. Vergrößerung im Gebrauche  $\approx 215$ . Objectiv und Ocular können am Rohre verwechselt werden. Die auf der optischen Axe senkrechten Durchschnitte der Rohrhälften sind Ellipsen, deren größere Axen in der Verticalebene liegen. Das Verhältniß der Axen ist der Mitte zunächst  $\approx 2:1$ , und nimmt von da gleichförmig ab, bis die Ellipsen, da wo die Objectiv- und Ocularfassungen ansetzen, in Kreise übergehen.

Der eingetheilte Kreis hat 43 Zoll Durchmesser, und giebt unmittelbar 2 Minuten an. Die Ablesung geschieht an 4 Microscopen, deren Träger mit dem Lagerstück der horizontalen Axe unveränderlich verbunden ist.

Als Hilfsapparat sind in N. und S. auf Granitpfeilern zwei Fernröhre von 2,1 Zoll Öffnung und 46 Zoll Brennweite aufgestellt, die auf einander gerichtet werden, um zur Bestimmung der Totalbiegung im Horizonte zu dienen, auch wird durch sie die optische Axe zur Umdrehungsaxe wie am Durchgangsinstrumente berichtet.

An diesem Instrumente werden direct doppelte Meridian-Zenithdistanzen der Sterne gemessen, indem es bei jeder Culmination in beiden Lagen gebraucht wird.

Die von Dr. *Peters* im Juni und Juli beobachteten Zenithdistanzen des Polarsterns geben folgende Polhöhen unter Anwendung der Dorpater Refraction:

## Lage I von Objectiv und Ocular.

| Obere Culmination.             |                                 |  | Abw. v. Mittel. | Untere Culmination.            |                                 |  | Abw. v. Mittel. |
|--------------------------------|---------------------------------|--|-----------------|--------------------------------|---------------------------------|--|-----------------|
| 1840 Juni 1                    | $\varphi = 59^{\circ}46'19''08$ |  | 0'41            | Juni 10                        | $\varphi = 59^{\circ}46'18''46$ |  | 0'62            |
| 10                             | 19,57                           |  | 0,08            | 13                             | 18,97                           |  | 0,11            |
| 13                             | 19,39                           |  | 0,10            | 14                             | 19,10                           |  | 0,02            |
| 14                             | 19,53                           |  | 0,04            | 17                             | 19,00                           |  | 0,08            |
| Juli 20                        | 19,72                           |  | 0,23            | Juli 22                        | 19,18                           |  | 0,10            |
| 23                             | 19,64                           |  | 0,15            | 25                             | 19,08                           |  | 0,00            |
| 24                             | 19,43                           |  | 0,06            | 27                             | 19,34                           |  | 0,26            |
| 26                             | 19,55                           |  | 0,06            | 28                             | 19,40                           |  | 0,32            |
| Mittel $59^{\circ}46'19''49$ . |                                 |  |                 | Mittel $59^{\circ}46'19''08$ . |                                 |  |                 |

## Lage II von Objectiv und Ocular.

|                                |                                 |      |                                |                                 |      |
|--------------------------------|---------------------------------|------|--------------------------------|---------------------------------|------|
| 1840 Juni 23                   | $\varphi = 59^{\circ}46'18''43$ | 0'23 | Juni 23                        | $\varphi = 59^{\circ}46'17''88$ | 0'22 |
| 24                             | 18,84                           | 0,18 | 24                             | 17,76                           | 0,34 |
| 26                             | 18,71                           | 0,05 | Juli 1                         | 18,21                           | 0,11 |
| 27                             | 18,64                           | 0,02 | 3                              | 18,08                           | 0,02 |
| 30                             | 18,36                           | 0,30 | 12                             | 18,23                           | 0,15 |
| Juli 1                         | 18,54                           | 0,12 | 13                             | 18,26                           | 0,16 |
| 3                              | 18,52                           | 0,14 | 14                             | 18,26                           | 0,16 |
| 4                              | 18,82                           | 0,16 | 16                             | 17,99                           | 0,11 |
| 6                              | 18,87                           | 0,20 | Mittel $59^{\circ}46'18''10$ . |                                 |      |
| 9                              | 18,69                           | 0,03 |                                |                                 |      |
| 11                             | 18,84                           | 0,18 |                                |                                 |      |
| Mittel $59^{\circ}46'18''66$ . |                                 |      |                                |                                 |      |

Es giebt also, wenn  $b$  den Einfluss der Biegung für die Richtung nach dem Pole, und wenn  $\Delta\delta$  die Verbesserung der Declination aus *Encke's* Ephemeride bedeuten:

$$\text{Lage I. } \varphi = 59^{\circ}46'19''28 + b \quad \Delta\delta = -0''205$$

$$\text{II. } \quad \quad \quad 18,38 - b \quad \quad \quad -0,280$$

$$\text{Endresultat } \varphi = 59^{\circ}46'18''83. \quad \Delta\delta = -0''242.$$

Der wahrscheinliche Fehler dieser beiden Endresultate ist 0,026, abgeleitet aus dem einer Zenithdistanz eines Tages gleich  $0^{\circ}142$ , wie er aus den Abweichungen vom Mittel sich ergibt.

Die beiden Instrumente III und IV sollen besonders zur Ermittlung der Fundamentalbestimmungen verwandt werden, namentlich zur Bestimmung der Lage der Aequinoctialpunkte durch sehr vollständige Sonnenbeobachtungen. In dieser Anwendung glaubt Herr Staatsrath v. *Struve* dem Verticalkreise an dem, seiner Natur nach, in jeder Culmination mehrere Zenithdistanzen in beiden Lagen gemessen werden können, einen entschiedenen Vorzug vor dem Meridiankreise einräumen zu müssen, während nur durch den Meridiankreis die Catalogisirung einer großen Anzahl von Sternen erfolgreich durchgeführt werden kann.

Anmerk. Die bisher genannten 4 Instrumente werden, wenn nicht beobachtet wird, durch Häuser aus Mahagoniholz, welche sich auf Rollen und Schienen bewegen und zwei offene Seiten haben, die aber auch durch Vorhänge geschlossen werden können, gegen Staub und Feuchtigkeit geschützt. Diese beweglichen Häuser bieten noch zwei Vortheile dar, erstlich daß bei plötzlich eintretendem Regen oder Schnee die Instrumente schneller bedacht wer-

den können, als es durch Schließung der Klappen möglich seyn würde; zweitens, daß man zur bessern Ausgleichung der Temperatur die Klappen ohne alle Gefahr für das Instrument längere Zeit geöffnet lassen kann.

Die Polhöhe von Pulkowa scheint schon innerhalb sehr enger Grenzen bestimmt zu seyn. Es giebt nämlich:

$$\text{der Repsold'sche Meridiankreis } 59^{\circ}46'18''65$$

$$\text{der Ertselsche Verticalkreis } 18,83$$

$$\text{Mittel } 59^{\circ}46'18''74$$

Beide Instrumente liegen genau auf demselben Parallel unter sich und mit dem Centro des rüthlaren großen Drehthurms, in welchem der große Refractor aufgestellt ist.

Der Ort des Durchgangsinstrumentes im ersten Vertical ist  $0^{\circ}67$  südlicher. Die mit diesem Instrumente beobachteten Zenithdistanzen würden gleichfalls zur Bestimmung der Polhöhe angewandt werden können, wenn wir Stern-Declinationen hätten, die der Genauigkeit der durch das *Repsold'sche* Durchgangsinstrument zu erhaltenden Resultate entsprächen.

Die Länge der Sternwarte von Pulkowa ist nach der Chronometerverbindung, die im Jahre 1833 zwischen Cronstadt und Lübeck durch den Herrn Generalleutnant v. *Schubert* ausgeführt ist, unter Zuziehung einer geodätischen Verbindung zwischen Cronstadt und Pulkowa:  $1^{\circ}52'3''2$  von Paris.

Es ist indessen zu bemerken, daß die vortreffliche Operation des Herrn Generalleutnants v. *Schubert* nicht allein die Ermittlung des Längenunterschiedes zwischen Petersburg und Altona zum Zweck hatte, sondern ihrer Bestimmung nach viele zwischenliegende Punkte mitnehmen mußte, wodurch die



er der Reisen länger und ihre Anzahl geringer ward, als für die Bestimmung eines einzigen Längenunterschiedes ersburg — Altona) nützlich gewesen wäre. In dieser Beziehung müßten neue und oft wiederholte Chronometerreisen, denen die Zeit unmittelbar von Pulkowa nach Altona (und gekehrt) übertragen würde, sehr wünschenswerth seyn. Die aufschiff-Verbindung zwischen Cronstadt und Travemünde ist dazu die beste Gelegenheit.

### Großer Refractor im optischen Institut zu München von Merz und Mahler angeführt.

gestellt auf dem größten, mittleren Drehuhme. Beobachter  
O. Struve.

Freie Oeffnung des Objectivs 14.93 Zoll. Brennweite 10 Fuß. Das Instrument ruht auf einer zum Stativ beuenen und polirten Granitmasse. Diese Aufstellung gewährt essentielle Vortheile vor der von *Fraunhofer* angewandten aufstellung auf einem hölzernen Stativ. Erstlich eine größere Festigkeit und Unveränderlichkeit des Standes, und zweitens eine größere Bequemlichkeit der Beobachtung in jeder Lage. An *Fraunhofers* hölzernen Stativ hinderte der von Ost nach West gehende Balken der Kreuzschwelle und dessen Verbindung mit dem senkrechten Gebälke die Beobachtung in der Nähe des Scheitels so sehr, daß nach Erfahrungen in Dorpat jede genaue Beobachtung zwischen dem Scheitel und 35° Z. D. unmöglich oder unbequem war, während bei der Aufstellung auf Stein in Pulkowa im Scheitel selbst mit derselben Bequemlichkeit beobachtet wird, wie an jedem gut aufgestellten Meridianinstrumente. Für die völlig bequeme Lage des Beobachters in allen Richtungen des Fernrohrs ist durch ein eigenthümliches auf 3 Rollen ganz leicht bewegliches Gerüst, welches von 30° Z. D. bis zum Horizonte ausreicht und durch zwei besondere Sessel bei Beobachtungen näher zum Scheitel genogrt.

Das Fernrohr hat 6 freie Oculare, zwei Ringmicrometer und zwei ganz gleiche Fadenmicrometer, damit wenn zufällig ein Faden reißen sollte, die Beobachtung durch das zweite Micrometer fortgesetzt werden kann.

Zu den Filarmicrometern sind 9 Oculare:

| Vergr.   | Feld. | Vergr.     | Feld. |
|----------|-------|------------|-------|
| I. 138   | 11,9  | VI. 858    | 2,1   |
| II. 207  | 9,0   | VII. 1169  | 1,9   |
| III. 309 | 6,7   | VIII. 1458 | 1,2   |
| IV. 412  | 4,0   | IX. 1822   | 1,1   |
| V. 708   | 3,1   |            |       |

Die Vergrößerungen sind mit dem bekannten *Ramsdenschen* Apparate bestimmt.

Nr. IV. = 412 ist die schwächste Vergrößerung, die bei den Micrometernmessungen der Doppelsterne gebraucht wird.

Nr. VI. = 858 ist die am häufigsten angewandte.

Nr. VIII. = 1458 wird in günstigen Fällen mit Erfolg benutzt.

Nr. IX. = 1822 ist bisher nicht bei Messungen angewandt worden.

Der Sucher hat 3,0 Zoll Oeffnung und 45,5 Zoll Brennweite.

Pendeluhr von *Hauth*.

Der große Refractor ist bisher vorzugsweise zur Fortführung der Messungen der Doppelsterne benutzt worden, indem Herr *O. Struve* theils Doppelsterne, an denen eine Bewegung erkannt oder vermuthet worden, regelmäßig verfolgt, theils die Messungen anderer Doppelsterne wiederholt, um die Pulkowaer Messungen mit den Dorpatern vergleichbar zu machen und neue Bewegungen aufzufinden. Hier zur Probe einige mit VI = 858 oder stärkerer Vergrößerung von *O. Struve* gemachte Micrometernmessungen:

| ♄ Cancri die beiden nächsten. |          |        | ♋ Ursae majoris. |        |         |
|-------------------------------|----------|--------|------------------|--------|---------|
| 1840,27                       | 0° 9' 6" | 4 7'   | 1840,34          | 2° 28' | 150° 1' |
| 29                            | 0,88     | 5,6    | 35               | 2,23   | 155,3   |
| 29                            | 0,73     | 5,5    | 41               | 2,20   | 156,7   |
| 29                            | 0,96     | 5,2    | 42               | 2,28   | 155,2   |
| 29                            | 0,96     | 5,7    | 43               | 2,22   | 155,0   |
| 31                            | 0,99     | 8,0    | 44               | 2,26   | 154,5   |
| 31                            | 0,99     | 8,3    |                  |        |         |
| Mittel 1840,29                | 0,924    | 6,14   | 1840,40          | 2,254  | 155,47  |
| ♍ Virginis.                   |          |        | ♌ Coronae.       |        |         |
| 1840,42                       | 1° 46'   | 25° 4' | 1840,47          | 0° 45' | 138° 3' |
| 43                            | 1,29     | 25,4   | 49               | 0,55   | 135,1   |
| 44                            | 1,27     | 25,0   | 51               | 0,54   | 135,8   |
| 47                            | 1,30     | 25,7   | 54               | 0,51   | 140,0   |
| 50                            | 1,24     | 25,6   | 57               | 0,57   | 133,4   |
| Mittel 1840,45                | 1,312    | 25,42  | 1840,52          | 0,524  | 136,52  |

Folgende Zusammenstellung der am Refractor in Dorpat und zuletzt in Pulkowa gemachten Messungen von ♍ Virginis nach den jährlichen Mitteln scheint besonders interessant:

| ♍ Virginis. |          |           |
|-------------|----------|-----------|
| Epoche.     | Distanz. | Richtung. |
| 1825,32     | 2,373    | 277° 55'  |
| ✓ 1828,38   | 2,070    | 271 30    |
| ✓ 1829,39   | 1,782    | 268 17    |
| ✓ 1831,36   | 1,492    | 260 55    |
| ✓ 1832,32   | 1,262    | 253 30    |
| ✓ 1833 37   | 1,056    | 245 32    |
| ✓ 1834,38   | 0,912    | 231 40    |
| ✓ 1835,38   | 0,514    | 195 29    |

| Epoche.   | Distanz. | Richtung. |
|-----------|----------|-----------|
| ✓ 1836,41 | 0°257    | 151°34'   |
| ✓ 1837,41 | 0,585    | 77 55     |
| ✓ 1838,43 | 0,601    | 51 5      |
| ✓ 1840,45 | 1,312    | 25 42     |

In 15,13 Jahren ist an diesem Sternenpaare eine Stellungsänderung von 252° 13' bei ihrem Durchgange durch das Perihelium beobachtet worden.

Zwei interessante Phänomene haben sich schon aus den Pulkowaer Beobachtungen mit dem großen Refractor dargestellt.

α Leonis war 1825 bis 1833 doppelt, ward aber immer schwieriger zu beobachten wegen fortschreitender Annäherung. 1838 war er in Dorpat einfach, vielleicht mit einer sehr schwachen Spur von Diformität. 1840 wurde in Pulkowa schon wieder das getrennte Sternenpaar gesehen.

Für Nr. 2173 Str. war aus Messungen von 1829 bis 1832 für 1830,84 die Relation: Distanz = 0°622, Richtung = 323°8 gefunden worden, wobei die Sterne etwas ungleich aber ausgezeichnet gelb oder golden erschienen. In den Jahren 1836 und 1837 wurde in Dorpat von Herrn Staatsrath v. *Struve* der Stern einfach mit großer Intensität der gelben Farbe gesehen. In Pulkowa sah O. *Struve* die getrennten Sterne ohne alle Schwierigkeit und maß für 1840,54 die Distanz 0°57 und die Richtung = 178°3. Der Winkelunterschied von 145°5 zeigt, daß zwischen 1832 und 1840 eine fast centrale Bedeckung der beiden Sterne statt gefunden hat.

#### VI. Das Heliometer, im optischen Institute zu München ausgeführt von *Merz* und *Mahler*.

Aufgestellt im östlichen kleineren Drehthürme. Beobachter: *Fuss*.

Aufstellung wie bei dem großen Refractor auf einem aus Granit gebauten Stativ.

Oeffnung des Objectivs 7,5 Zoll. Brennweite 10 Fufs. Im Ganzen ist das Instrument nach dem berühmten Königsberger Heliometer gearbeitet. Ihm eigen ist es, daß durch Anbringung eines kleinen Fernrohrs am Ocularende die Ablesung der Micrometerschrauben und mit Hilfe eines Spiegels auch die des Positionskreises vom Beobachter gemacht werden kann, ohne daß er seinen Ort zu verändern braucht, und daß es gleichfalls nicht nöthig ist, die Richtung des Fernrohrs bei den Ablesungen zu ändern.

Ogleich das Instrument schon aufgestellt ist, so werden die Beobachtungen an demselben erst dann angefangen werden, wenn die Untersuchungen der übrigen Instrumente ganz voll-

endet sind, weil dieser Apparat vor andern ein eigenthümliches Studium erfordert. Inzwischen hat Herr G. v. *Fuss* eine wichtige Reductionsarbeit ausgeführt, nämlich alle Sterne, die in *Hardings* Atlas bis zur 7ten Gröfße und zwischen dem Nordpol und — 15° südl. Declination sind, nach diesen Charten bestimmt und deren Position auf 1840 reducirt; ein Catalog, der als Grundlage der Arbeiten am Meridiankreise dienen soll.

An jedem dieser Instrumente sind nach der Aufstellung mehrere zu größerer Sicherheit und Bequemlichkeit der Beobachtungen dienende Veränderungen vorgenommen worden, die in der eigenen mechanischen Werkstatt der Sternwarte von den Herren *Pohrt* und *Wetzer* ausgeführt worden.

In einem der 8 innern Pfeiler des heizbaren Mittelsaales der Sternwarte, welche das Gewölbe tragen, auf dem der große Refractor ruht, ist eine durch Glashüllen verschließbare Nische angebracht, in der die nach Sternzeit gehende Normaluhr von *Kessels*, die noch in diesem Jahre erwartet wird, aufgestellt werden soll. Da in dieser Nische, der sie umgebenden großen Mauermasse wegen, nur sehr langsame Temperaturänderungen vorgehen können, so wird die in ihr befindliche Uhr zur Controlle des Ganges der übrigen Uhren innerhalb der täglichen Perioden dienen können. Die Vergleichung der übrigen ebenfalls nach Sternzeit gehenden Uhren mit der Normaluhr wird durch ein nach mittlerer Zeit gehendes Chronometer ausgeführt.

Im westlichen kleineren Thurne befindet sich ein Cometen-sucher aus München von 3,8 Zoll Oeffnung parallactisch aufgestellt.

Außerhalb der eigentlichen Sternwarte sind auf dem sie zunächst umgebenden Rasenplätzen nach SO., SW., NW und NO. vom Centro der Sternwarte aus, 4 kleinere Beobachtungshäuschen aufgerichtet, drei runde, mit auf Rollen und Eisenbahnen beweglicher Bedachung von 11 Fufs innerem Durchmesser, und ein viereckiges von 12 Fufs innerem Durchmesser mit einem Meridiandurchschnitte. Sie sollen zur Aufstellung kleinerer Instrumente dienen, theils um darin berichtigt und geprüft zu werden, theils um den sich bei der Sternwarte aufhaltenden jungen Astrologen und Officieren Gelegenheit zu geben, sich im Beobachten zu üben. In dem vier-eckigen Häuschen wird ein 4füßiges Durchgangsinstrument von *Ertel* aufgestellt. Es schien zweckmäßig, diese Übungs-locale gänzlich von der eigentlichen Sternwarte zu sondern. —

Alle Längenmaße sind in Russischen Fufs und Zollen angegeben, die bekanntlich mit den Englischen identisch sind.

S.

## Gang des Chronometers Kessels 1314.

Der vortreffliche Chronometer Kessels 1314, dessen schon mehrmals in den Astr. Nachr. Erwähnung geschehen, erfordert nach der Meinung des Künstlers jetzt besondere Aufmerksamkeit, da er nun so lange gegangen, daß ein Verderben des Oels zu befürchten und deshalb Reinigung im nächsten Frühjahr nöthig seyn könnte. Dies gab Veranlassung, die Beobachtungen der letzten Jahre zusammenzustellen, deren Ergebnisse hier folgen.

Der Chronometer hat in dieser Zeit grüestentheils ruhig gestanden und ist nur zuweilen eine Viertelstunde lang in der Stadt hin und hergetragen worden. Sein Stand gegen mittlere Zeit wurde je nach Bedürfnis durch correspondirende Sonnenhöhen bestimmt. Die Unsicherheit solcher Bestimmung schwankt nach vieljährigen Erfahrungen zwischen  $0^s$  und  $0^4$ . Vergleichen mit einer Pendeluhr nahm ich freilich auch von Zeit zu Zeit vor; sie konnten aber zu dieser Prüfung des Chronometers nicht dienen, da bis jetzt noch die Mittel fehlen, die Pendeluhr auf eine schärfere Weise mit dem Himmel zu vergleichen. Erst im künftigen Jahre, wenn das jetzt im Bau begriffene Local vollendet und ein kleines Passagen-Instrument aufgestellt seyn wird, darf ich hoffen, regelmäßig fortlaufende Zeitbestimmungen zu erhalten.

Meine bisherigen isolirten Beobachtungen waren folgende:

|     |                | K. 1314.         | M. Z.            |
|-----|----------------|------------------|------------------|
| 1.  | 1838 Jul. 14.  | $0^h 13' 9'' 16$ | $0^h 5' 24'' 82$ |
| 2.  | Aug. 12.       | $0 13 48,36$     | $0 4 48,36$      |
| 3.  | Octbr. 1.      | $0 1 15,70$      | $23 49 46,17$    |
| 4.  | 1839 März 9.   | $0 32 15,23$     | $0 10 52,37$     |
| 5.  | März 13.       | $0 31 29,25$     | $0 9 48,75$      |
| 6.  | April 11.      | $0 25 3,49$      | $0 1 10,80$      |
| 7.  | April 16.      | $0 24 8,36$      | $23 59 53,13$    |
| 8.  | Jul. 14.       | $0 37 8,94$      | $0 5 24,03$      |
| 9.  | Sept. 26.      | $0 29 49,62$     | $23 51 28,97$    |
| 10. | 1840 Febr. 14. | $1 6 34,18$      | $0 14 32,44$     |
| 11. | Mai 28.        | $1 0 39,85$      | $23 56 56,90$    |
| 12. | Aug. 1.        | $1 17 36,21$     | $0 5 59,19$      |
| 13. | Sept. 21.      | $1 10 51,33$     | $23 52 55,60$    |

Verwandle ich die Angaben des Chronometers in Decimalbrüche des Tages, ziehe die erste von allen übrigen ab, und bezeichne den Rest, die Zeit von Anfang, mit Z, benenne überdies die Differenz  $M.Z. - K.$ , den Stand des Chronometers mit dem Buchstaben s, und suche den jedesmaligen mittleren Gang g durch 'Division der Unterschiede dieser Größen, so habe ich folgende Tafel:

|       | $\overline{s}$ | $\overline{s}$ | $\overline{g}$ |
|-------|----------------|----------------|----------------|
| 1.    | 0,0000         | — $7' 44'' 34$ | — 2,609        |
| (2.)  | 29,0005        | — 9 0,00       | — 2,991        |
| 3.    | 78,9918        | — 11 29,53     | — 3,731        |
| 4.    | 238,0133       | — 21 22,86     | — 4,411        |
| (5.)  | 242,0128       | — 21 40,50     | — 4,559        |
| (6.)  | 271,0083       | — 23 52,69     | — 5,059        |
| (7.)  | 276,0077       | — 24 15,23     | — 5,052        |
| 8.    | 365,0167       | — 31 44,91     | — 5,348        |
| 9.    | 439,0116       | — 38 20,65     | — 5,823        |
| 10.   | 580,0371       | — 52 1,74      | — 6,743        |
| 11.   | 684,0330       | — 63 42,95     | — 7,292        |
| 12.   | 749,0448       | — 71 37,02     | — 7,427        |
| (13.) | 800,0401       | — 77 55,73     | — 7,422        |

Mit Ausnahme des letzten g, welches etwas kleiner ist, als nach den vorhergehenden zu erwarten war, zeigt sich hier eine so überaus regelmässige Zunahme des mittleren Ganges, daß es der Mühe werth schien zu versuchen, in wie weit sich wohl das Gesetz dieser Zunahme darstellen ließe.

Zu dem Ende machte ich einen Auszug aus der vorigen Tafel, indem ich die eben schon eingeklammerten Beobachtungen wegließ, die g aufs Neue berechnete, und daneben diejenigen Zeiten ansetzte, die dem arithmetischen Mittel der Beobachtungszeiten entsprechen. Dies gab:

|     | $\overline{s}$ | $\overline{g}$ |
|-----|----------------|----------------|
| 1.  | 39,4959        | — 2,851        |
| 3.  | 158,5026       | — 3,731        |
| 4.  | 301,5150       | — 4,898        |
| 9.  | 402,0142       | — 5,348        |
| 10. | 509,5244       | — 5,823        |
| 11. | 632,0351       | — 6,743        |
| 12. | 716,5389       | — 7,292        |

Die Differenzen der g dividirt durch die Differenzen der s stellen dann offenbar die mittlere tägliche Veränderung des mittleren täglichen Ganges dar, entsprechend den Zeiten, die wieder das Mittel aus obigen Mitteln sind, nämlich:

| $\overline{s}$ | $\frac{\Delta g}{\Delta s}$ |
|----------------|-----------------------------|
| 98,9992        | — 0,0073945                 |
| 230,0088       | — 0,0081600                 |
| 351,7646       | — 0,0044776                 |
| 455,7692       | — 0,0044181                 |
| 570,7797       | — 0,0075095                 |
| 674,2670       | — 0,0064967                 |

Hieraus ergibt sich nun drücklich, daß die Beschleunigung des täglichen Ganges im Allgemeinen, wenn gleich nicht constant, doch sehr regelmäßig war. Zugleich aber zeigt sich die Richtigkeit von Herrn Kessels Warnung: aufzumerken, ob sich

der Gang nicht jetzt ändern werde; denn nehme ich die letzte Beobachtung hinzu, so kommt noch

$$745,5407 - 0,0023274$$

was offenbar auf eine eintretende Abänderung in der bisherigen Folge hindeutet, und zu weiterer Untersuchung auffordert.

Die Gleichförmigkeit in dem Gange des Chronometers forderte zu dem Versuche auf, eine Formel aufzustellen, nach welcher sich der mittlere Gang für beliebige Zwischenzeiten berechnen ließe. Ich fand näherungsweise:

$$g = -2,204 - 0,0144634z + 0,0000247044z^2 - 0,00000002033z^3$$

und bedürften darnach die berechneten  $g$  der Correctionen:

$$\begin{aligned} & -0,113 \\ & +0,226 \\ & -0,022 \\ & -0,055 \\ & +0,026 \\ & -0,133 \\ & +0,072 \end{aligned}$$

eine Uebereinstimmung, welche, selbst abgesehen davon, daß sie durch eine genauere Rechnung wahrscheinlich noch bedeutend vergrößert werden könnte, bei diesen großen Zwischen-

zeiten von mehreren Monaten gewiß befriedigend genannt zu werden verdient.

Zur endlichen Prüfung, was sich denn wohl für die Genauigkeit einer Zeitangabe erwarten ließe, welche für eine Zwischenzeit bloß interpolirt wäre, gebrauchte ich die oben nicht mitbenutzten Beobachtungen, und fand, indem ich mittelst jener Näherungsformel jedesmal von der vorigen und der folgenden ausging, aus beiden Resultaten das Mittel nahm und dieses mit dem beobachteten Stande verglich, folgende an den berechneten Stand anzubringende Correctionen:

$$\begin{aligned} 2. & - 1^{\text{m}}02 \\ 5. & + 1,89 \\ 6. & + 4,33 \\ 7. & + 5,20 \end{aligned}$$

wodurch also die Thatsache festgestellt war, daß man mit diesem Chronometer die Zeit auf heiläufig 4<sup>te</sup> immer sicher hat, wenn man ihn auch nur alle Vierteljahr mit dem Himmel vergleicht.

Marburg, den 23<sup>ten</sup> Septbr. 1840.

*Gerling.*

### Schreiben des Herrn Professors *Bache* an den Herausgeber.

Philadelphia 1840. July 6.

Having learned in answer to an inquiry, addressed to Mr. Meyerstein and Professor Gauss that I may forward magnetic observations to the Professor through you, I take the liberty to trouble you with the inclosed requesting you will forward it to Göttingen. The paper contains the observations of the declinometer for August and November of 1839 and February 1840. I have now an observatory under way at the Giraud College, mounted with Prof. Gauss's instruments and with the vertical force instrument of Prof. Lloyd, making the bi-hourly observations and monthly term observations in concert with the British philosophers: the necessary meteorological instruments are also provided. There is a second

observatory acting in part in the same concert, namely that of Mr. Bud at Cambridge Massachusetts. The Philosophical society of our City has addressed Congress on the subject of making a national co-operation in the great scheme now in progress, the result of this application is however yet doubtful: it has the support in Congress of ex-President Adams and in the government of the enlightened secretary of war Mr. Poinsett.

Knowing the interest which you take in the extension of science I have thought these particulars might not be out of place.

*A. D. Bache.*

### I n h a l t.

- (zu Nr. 409.) Ueber die Sternwarte in Leiden, und die ersten daselbst angestellten Micrometer-Messungen Von Herrn Professor *F. Kaiser*. p. 1.  
 (zu Nr. 410.) The Moons Right Ascension, Declination and Horizontal Parallax for the time of her transit over the meridian of Altona for the year 1841 with the logarithms of coefficients for facilitating the reduction to other Meridians. p. 17.  
 Schreiben des Herrn *Rumker*, Directors der Hamburger Sternwarte, an den Herausgeber. p. 23.  
 Bemerkungen über trigonometrische Nivellements, insbesondere über die terrestrische Strahlenbrechung. Von Herrn Professor Dr. *Grunert* zu Greifswald. p. 25.  
 (zu Nr. 411.) Nachrichten über die Kaiserliche Hauptsternwarte Pulkowa. Von dem Herausgeber. p. 33.  
 Gang des Chronometers Kessels 1314., von Herrn Professor *Gerling*. p. 45.  
 Schreiben des Herrn Professors *Bache* an den Herausgeber. p. 57.

Altona 1840. November 12

# ASTRONOMISCHE NACHRICHTEN.

N<sup>o</sup>. 412.

Schreiben des Herrn Professors v. Boguslawski, Directors der Sternwarte in Breslau, an den Herausgeber.

Breslau 1840. Octbr. 18.

Das schon seit längerer Zeit zu astronomischen Beobachtungen äußerst ungünstige Wetter hat mir gewissermaßen Gelegenheit bieten wollen, meine Versäumnisse einzuholen, was aber demungeachtet noch nicht vollständig geschehen ist. Mir bleibt daher um so mehr das Bedauern, daß zwischen Sept. 28 und Oct. 3 völlig trüber Himmel verhindert hat, den eigentlichen Tag der größten Lichtstärke Mira's wirklich zu beobachten, während mir jetzt nur übrig bleibt, Zeit und das Lichtmaximum durch Rechnung zu finden. Jene liegt offenbar dem Sept. 28 näher, als dem Oct. 3. Die diesjährige Beobachtungsreihe umfaßt bis jetzt die Tage: Aug. 23. 24. 25. 26. 28. 30. 31, Sept. 1. 2. 3. 5. 9. 12. 17. 18. 21. 22. 23. 24. 28, Oct. 3. 6. 10. 13. Es bedarf nur noch der Bestimmung einiger Constanten durch Beobachtungen, um die vorjährige und diesjährige Reihe reduciren, und den Gang der Lichtstärke numerisch darstellen zu können. Man kann jedoch schon sehen, daß die Resultate, welche Herr Professor Argelander im vorigen Jahre durch Vergleichen mit bloßen Augen gefunden und in Nr. 398 der Astr. Nachr. dargelegt hat, in allen Stücken mit den hiesigen Ermittlungen harmoniren werden. Mira ist in diesem Jahre bei Weitem nicht so hell geworden, als im vorigen; in welchem Verhältnisse wird die Reduction ergeben.

An Sternschnuppenbeobachtungen wird wohl am 12<sup>ten</sup> und 13<sup>ten</sup> Novbr. d. J. eben so wenig zu denken seyn, als am 10<sup>ten</sup> August, höchstens am 13<sup>ten</sup> Novbr. Abends eine Stunde lang vor Aufgang des Mondes. — Ich habe Ihnen über dieses

November-System wieder einen neuen Fund zu melden: eine Beobachtung, die fast 1000 Jahre zurückdatirt. Herr Dr. Jacobi, Privatdocent an unserer Universität im Fache der Geschichte, ein Freund meines Sohnes, hat, nun auch aufmerksam geworden, in *Pertz Monumentis Germanie* I. 369 nachstehende merkwürdige Stelle beachtet. Die *Annales Fuldensis* erzählen daselbst ad annum 855:

Mense vero Octobri, xvj Kal. Novembres (i. e. October 17 a. St.) per totam noctem igniculi, instar speculorum, occidentem versus per aerem densissimae ferebantur.

Nimmt man hiernach an, die Haupterscheinung habe um Mitternacht Fuldaer mittl. Zeit statt gefunden, und stellt man sie mit der Beobachtung *A. v. Humboldts* 1799 Nov. 11 so zusammen, wie in Nr. 391 der Astr. Nachr. die von meinem Sohne aufgefundenen Prager Beobachtung von 1366 Oct. 21 a. St., so werden die daselbst aufgeführten Resultate nur um Kleinigkeiten geändert, die neuesten Beobachtungen aber noch viel besser dargestellt. Man erhält dadurch die jährliche Fortrückung des Oppositionspunktes in der Nähe des niedersteigenden Knotens = + 1'428 geocentrischer Länge, mithin die jährliche Verspätung der  $\mathcal{P} = 34^m 00$ , woraus die synodische Umlaufzeit  $365^d 6^h 22^m 79$ , die tropische  $365^d 6^h 57^m 57$ , und die siderische  $365^d 6^h 37^m 38$  in rückläufiger Bewegung folgt, so wie die halbe große Axe der Bahn = 1,0000357, etwa nur um 720 geogr. Meilen größer, als die der Erdbahn. Hiernach stellen sich die berechneten Erscheinungen zu den beobachteten folgendermaßen:

Berechnete mittl. Altonzer Zeit u. Länge

|             |          | der $\mathcal{P}$ |                                   |
|-------------|----------|-------------------|-----------------------------------|
| 855 a. St.  | Oct. 16. | 12 <sup>h</sup> 0 | 27 <sup>h</sup> 31 <sup>m</sup> 5 |
| 1366 —      | — 24.    | 13.5              | 39 41.2                           |
| 1799 n. St. | Nov. 11. | 20.9              | 49 39.5                           |
| 1832 —      | — 12.    | 15.5              | 50 46.7                           |
| 1833 —      | — 12.    | 21.8              | 50 48.1                           |
| 1834 —      | — 13.    | 4.2               | 50 49.5                           |
| 1836 —      | — 12.    | 16.9              | 50 52.4                           |
| 1838 —      | — 13.    | 5.6               | 50 53.2                           |
| 1839 —      | — 13.    | 11.9              | 50 56.7                           |

Beobachtet.

|          |                   |
|----------|-------------------|
| Oct. 16. | 12 <sup>h</sup> 0 |
| — 21.    | 15.7              |
| Nov. 11. | 20.9              |
| — 12.    | 13.5              |
| — 12.    | 21.5              |
| — 13.    | 22.0              |
| — 13.    | 16.0              |
| — 13.    | 15.5              |
| — 13.    | 12.5              |

*Pertz* Monum. Germanie I. 369.

*Script. rer. Bohem.* II. 389.

*A. v. Humboldt* Reise etc. II. 284.

Ermittelung und Zusammenstellung von Herrn Geh.

Rath *Bezel* in den Astr. Nachrichten Bd. XVI.

Nr. 381. p. 350.

Anm. 1836 Nov. 12 war es in Breslau die ganze Nacht hindurch trübe.

Beobachtet zu Breslau.

Künftig aber:  
Berechnete mittl. Altonaer Zeit und Länge  
der  $\rho$ .

|             |          |                   |           |
|-------------|----------|-------------------|-----------|
| 1840 n. St. | Nov. 12. | 18 <sup>h</sup> 3 | 50° 58' 1 |
| 1841 —      | — 13.    | 0,6               | 50 59,5   |
| 1842 —      | — 13.    | 7,0               | 51 0,9    |

Drei Tage nach dem Vollmond; ☾ Aufg. Nov. 13. 7<sup>h</sup> 12<sup>m</sup>.

Am Tage nach dem Neumonde.

Drei Tage nach dem ersten Viertel; ☾ Unterg. 15<sup>h</sup> 16<sup>m</sup>.

Den Unterschied von drei Tagen im Jahre 1366 darf man wohl nur als eine bloße Perturbationsfolge ansehen; oder er hat vielleicht einen ähnlichen Grund, wie der eine Tag Unterschied im Jahre 1836.

Zu den in der Anlage zusammengestellten Sternbedeckungen, welche hier von 1839 Oct. 29 bis 1840 April 11 beobachtet worden sind, füge ich noch als Nr. 205 von mir die Beobachtung des Eintritts eines Sterns 8<sup>gr</sup> In. in den dunkeln Mondrand 1840 Mai 3. 9<sup>h</sup> 20<sup>m</sup> 27<sup>s</sup> 45 mittlere oder 12<sup>h</sup> 11<sup>m</sup> 32<sup>s</sup> 81

Breslauer Sternzeit am 4<sup>1</sup>/<sub>2</sub> Fh. mit 36maliger Vergrößerung. Die Zeitbestimmung war durch Culminationsbeobachtung von  $\alpha$  Virginis gesichert und (wie gewöhnlich immer) durch Beobachtung des Polarsterns in beiden Lagen des nivellirten Passage-Instruments. Der bedeckte Stern steht: in *Bessel's* Z. Nr. 507 1832 Febr. 1. 5<sup>h</sup> 33<sup>m</sup> 39<sup>s</sup> 20 und Nr. 523 1832 Febr. 23. 5<sup>h</sup> 34<sup>m</sup> 26<sup>s</sup> 20, so wie auch in der Hist. Cel. p. 143 1795 Febr. 16. III. 5<sup>h</sup> 31<sup>m</sup> 49<sup>s</sup> 3.

v. Boguslawski.

Sternbedeckungen beobachtet zu Breslau von 1839 October 29 bis 1840 April 11.

| Nr. | 1839 u. 1840. | Breslauer<br>mittlere Zeit.                          | Sternzeit.   | Bedeckter<br>Stern. | Grö-<br>ße. | Phase. | Fern-<br>rohr.<br>grö-<br>ße. | Ver-<br>grö-<br>ße.    | Bemerkungen.   | Beobach-<br>ter.                            | Zeit best.<br>durch        |
|-----|---------------|--|--|---------------------|-------------|--------|-------------------------------|------------------------|--|---|----------------------------|
| 182 | October 29    | 12 <sup>h</sup> 17 <sup>m</sup> 35 <sup>s</sup> 97   | 24 <sup>h</sup> 47 <sup>m</sup> 57 <sup>s</sup> 87   | 83 $\gamma$ Cancri  | 6           | E. h.  | Fh.                           | 162                    | nicht ganz zu ver-<br>bürgen.  | Bogus-<br>lawski.                           | $\alpha$ Arietis.          |
| 183 |               | 12 53 58,45<br>12 54 59,55                           | 3 24 26,32<br>3 25 27,88                             |                     |             | A. d.  | Fh.                           | 72<br>64               | gute Beobachtung.<br>um 0 <sup>h</sup> 4 bis 0 <sup>h</sup> 8<br>unsicher u. vermuthl.<br>um 1 <sup>m</sup> gefehlt. | Bgl.<br>Ballo.                              | $\alpha$ Ceti              |
| 184 | December 11   | 4 25 4,76  | 21 43 41,00  | 49 $\delta$ Capric. | 3.4         | E. d.  | H.                            | 50                     | wegen Unsicher sehr<br>unsicher.   | Bgl.<br>Ballo.                              | $\gamma$ Tauri.            |
| 185 | December 12   | 4 25 6,22<br>7 50 31,47                              | 21 43 42,46<br>1 13 38,02                            | 176 Aquarii         | 7           | E. d.  | Fh.                           | 64<br>162              | desgleichen.<br>ausgezeichnet gute Be-<br>obachtung.   | Bgl.<br>Ballo.                              | $\beta$ Aquarii.           |
| 186 | Januar 11     | 7 50 32,31<br>4 47 58,60<br>4 47 58,21<br>4 48 0,09  | 1 13 38,86<br>0 8 51,96<br>0 8 51,58<br>0 8 53,46    | 63 $\delta$ Piscium | 5           | E. d.  | H.                            | 50<br>144<br>144<br>40 | plötzlich; gute Beob.<br>durch Störung unge-<br>nau.   | Bgl.<br>Ballo.<br>Ballo.<br>Wiede-<br>mann. | $\alpha$ Arietis.          |
| 187 |               | 5 50 57,46   | 1 12 1,13  |                     |             | A. h.  | H.                            | 70                     | anscheinend gute Be-<br>obachtung.   | Bgl.  |                            |
| 188 | Januar 13     | 5 50 55,86<br>8 51 48,15<br>8 51 48,75<br>8 51 48,42 | 1 11 59,55<br>4 21 14,65<br>4 21 15,25<br>4 21 14,92 | 34 $\mu$ Arietis    | 6           | E. d.  | Fh.                           | 40<br>72<br>40<br>64   | gute Beobachtung.<br>sehr genaue Beob.<br>sehr genau.<br>der Stern verschwand<br>plötzlich.                          | Bgl.<br>Wdm.<br>Bgl.<br>Wdm.                | $\alpha$ Tauri             |
| 190 | Januar 14     | 10 8 { 12,62<br>2,62                                 | 5 41 { 48,23<br>38,20                                | 19 (e) Plejad.      | 5           | E. d.  | Fh.                           | 48                     | etwas unsicher, weil<br>eben das Fernroh-<br>r bewegt werden mußte.  | Bgl.<br>Ballo.                              | $\beta$ Orionis.           |
| 191 |               | 10 8 1,48  | 5 41 37,06   | 18 (m) Plej.        | 7           | E. d.  | Fh.                           | 144                    | gute Beobachtung.  | Bgl.  | $\beta$ Tauri.             |
| 192 |               | 10 20 0,24<br>10 26 35,69                            | 5 53 37,79<br>6 0 14,32                              | 21 (k) Plej.        | 7           | E. d.  | Fh.                           | 48                     | sehr genaue Beob.<br>ebenfalls wegen Bewe-<br>gung des Fernrohrs<br>unsicher.  | Bgl.  | $\delta$ Orionis.          |
| 193 |               | 10 32 24,88  | 6 6 4,46   | 22 (l) Plej.        | 7           | E. d.  | Fh.                           | 48                     | sehr genaue Beob.  | Bgl.  | $\mu$ Gemin.               |
| 194 |               | 11 3 19,88   | 6 37 4,54  | 19 c (Plej.)        | 5           | A. h.  | Fh.                           | 48                     | nach Umständen gut.  | Bgl.  | $\sigma$ Canimi-<br>noris. |
| 195 |               | 11 4 0,29<br>11 4 0,68                               | 6 37 45,06<br>6 37 45,45                             | (147) (Plej.)       | 7.8         | E. d.  | Fh.                           | 48<br>144              | ziemlich gute Beob.<br>um 0 <sup>h</sup> 8 ungenau.  | Bgl.<br>Ballo.                              |                            |

| Nr. | 1839 u. 1840. | Breitauer   |   | Bedeckter Stern. | Grö-<br>ße. | Phase. | Fern-<br>rohr. | Ver-<br>grös. | Bemerkungen.   | Beobach-<br>ter.       | Zeit best.<br>durch                                |
|-----|---------------|---|---|------------------|-------------|--------|----------------|---------------|--|------------------------|--|
|     |               | mittlere Zeit.                                    | Sternzeit.  |                  |             |        |                |               |  |                        |  |
| 196 | Januar 16     | 7 <sup>h</sup> 18 <sup>m</sup> 19 <sup>s</sup> 89 | 2 <sup>h</sup> 59 <sup>m</sup> 20 <sup>s</sup> 72 | (236) Tauri      | 7           | E. d.  | H.             | 50            | plötzlich: sehr genaue Beobachtung.<br>nach Umständen gut.                   | Bgl.<br>Ballo.<br>Wdm. | } α Tauri.   |
|     |               | 7 18 21,51  | 2 59 22,34  |                  |             |        | fh.            | 144           |  |                        |  |
|     |               | 8 45 33,25  | 4 26 48,41  | 136 C Tauri      | 4           | E. d.  | fh.            | 40            |  |                        |  |
| 197 |               | 12 25 37,09                                       | 8 7 27,40   | (287) Auriga     | 7           | E. d.  | fh.            | 48            | nach Umständen gut.  | Bgl.                   | } α Hydræ.   |
| 198 | Februar 14    | 11 11 53,51                                       | 8 47 52,85  | 77 k Gemin.      | 4           | E. d.  | H.             | 50            | plötzlich: sehr genaue Beobachtung.<br>anscheinend gute Beobachtung.         | Bgl.<br>Bgl.<br>Ballo. |  |
| 199 |               | 12 6 52,46  | 9 43 0,83   |                  |             | A. h.  | H.             | 140           |  |                        |  |
| 200 | März 15       | 8 38 55,16  | 8 12 46,00  | 32 α Leonis      | 1           | E. d.  | H.             | 50            | sehr genaue Beob.<br>gute Beobachtung.                                       | Bgl.<br>Bgl.<br>Ballo. | } α Orionis.<br>γ Dracon.                          |
|     |               | 8 38 55,52  | 8 12 46,36  |                  |             |        | fh.            | 64            |  |                        |  |
|     |               | 8 38 56,30  | 8 12 46,19  |                  |             |        | fh.            |               |  |                        |  |
| 201 |               | 9 47 37,95  | 9 21 40,07  |                  |             | A. h.  | H.             | 70            | hinter dünn. Wolken:<br>doch anscheinend<br>ziemlich gute Beob.              | Bgl.<br>Wdm.           | } α u. β Gem.<br>α Cygni.<br>α Hydræ.<br>α Leonis. |
| 202 | April 7       | 9 47 57,58  | 9 21 59,76  | (287) Aur.       | 7           | E. d.  | H.             | 50            | sehr genaue Beob.  | Bgl.                   |  |
|     |               | 7 15 56,07  | 8 20 14,01  |                  |             |        | fh.            | 144           | gute Beobachtung.  | Ballo.                 |  |
|     |               | 7 15 55,25  | 8 20 13,18  |                  |             |        |                |               |  |                        | } α Hydræ.<br>α Virginis.                          |
| 203 | April 10      | 12 16 58,44                                       | 13 33 55,47                                       | 78 Cancri        | 7           | E. d.  | fh.            | 64            | Beob. wegen Wolken<br>um einige Secunden<br>ungenau.                         | Ballo.                 |  |
| 204 | April 11      | 11 10 26,17                                       | 12 31 8,83  | 27 α Leonis      | 5.6         | E. d.  | H.             | 50            | sehr scharfe Beob.;<br>kurz vorher nahm<br>das Licht des Sterns<br>etwas ab. | Bgl.<br>Rie-<br>mann.  |  |
|     |               | 11 10 28,47                                       | 12 31 11,14                                       |                  |             |        | fh.            | 64            |  |                        | } α u. β Vir-<br>ginis.<br>β Leonis.               |
|     |               |   |   |                  |             |        |                |               |  |                        |  |
|     |               |   |   |                  |             |        |                |               |  |                        |  |

Anm. Die Bedeutung der Abkürzungen ist Astr. Nachr. Bd. 17. Nr. 387. pag. 43 und 44 angegeben.  
Nr. 189. 1840 Jan. 13. 43 μ Arietis A. h. ist durch (noch unreducirte) Messungen bestimmt worden.

### Schreiben des Herrn Fr. Fischer an den Herausgeber.

Apenrade 1840. October 2.

Herr Professor und Ritter Hansen, in seiner Berechnung der Sternbedeckungen (Astr. Nachr. Nr. 394) hat bei Anführung meiner Beobachtung der Bedeckung von α Gemin. 1835 Aug. 19 das Zweifelszeichen verwechselt. Nicht der Austritt, sondern der Eintritt ist unsicher (vid. Astr. Nachr. Nr. 346), und da dieser in Rechnung genommen worden, ist auch ein abweichendes Resultat erhalten.

In diesem Jahre sind mir bis jetzt folgende Sternbedeckungen gelungen:

|                 |            |   |              |
|-----------------|------------|---|--------------|
| 1840 Januar 14. | e Plejadum | Eintr. 9 <sup>h</sup> 21 <sup>m</sup> 15 <sup>s</sup> 2 | Apenr. M. Z. |
|                 | c —        | Eintr. 9 50 45,3  | —            |
| März 15.        | α Leonis   | { Eintr. 8 1 39,5                                       | —            |
|                 |            | { Austr. 9 4 59,5                                       | —            |

Von correspondirenden Beobachtungen sind mir zur Zeit nur die von Herrn Rümker in Hamburg angestellten bekannt. Ich habe, den Nautical-Alm. anwendend, berechnet:

|           |          |                                       |   |
|-----------|----------|---------------------------------------|---|
| e Plejad. | Hamburg  | { Eintr. 39' 16" 45 + 1,66 s — 6,39 s | { Austr. (43 34,4 als zu spät beob. angeführt.) |
|           | Apenrade | Eintr. 37 30,26 + 1,66 s — 2,92 s     |   |
| c —       | Hamburg  | Eintr. 39 58,76 + 1,66 s — 0,90 s     |   |
|           | Apenrade | Austr. (40 33,06 auch zu spät beob.)  |   |
|           | Apenrade | Eintr. 37 34,28 + 1,66 s — 0,68 s     |   |
| α Leonis  | Hamburg  | Eintr. 40 13,86 + 1,81 s + 0,58 s     |   |
|           |          | Austr. 40 3,62 + 1,81 s — 1,02 s      |   |
|           | Apenrade | Eintr. 38 1,68 + 1,81 s + 0,77 s      |   |
|           |          | Austr. 37 59,82 + 1,81 s — 1,22 s     |   |

Die merkwürdige Feuerkugel, welche am 8<sup>ten</sup> Januar im ganzen Lande bemerkt worden ist, habe ich nicht gesehen, wohl aber vom Zimmer aus die durch dieselbe verursachte Erleuchtung äußerer Gegenstände, so wie ich auch die mehrere Minuten später erfolgte Detonation hörte. Die Zeit der Erscheinung hier war ungefähr 7<sup>h</sup> 56'; leicht hätte ich sowohl diese als das Intervall zwischen der Erscheinung und der Detonation genau bestimmen können, wenn ich nicht, durch frü-

beres Feuerwerk in einem benachbarten Garten irre gemacht, die Erscheinung als solches ansah, und erst bei dem rollenden Getöse aufmerksam wurde. Indem ich mich aber später an mehrere Stellen hinbegab, wo glaubwürdige Personen dies Meteor erlöschten sahen, habe ich folgende ziemlich zuverlässige Data erforscht. Die Kugel erschien in der Gegend bei  $\alpha$  und  $\beta$  Gemin., zog in der Zeit von mehreren Secunden von dort dem Zenith nahe vorbei, und erlosch in der Nähe von  $\zeta$  Cygni. Dieser letzte Punkt ist als sehr zuverlässig anzusehen, d. h. nach Verhältniß der bei solchen Erscheinungen zu gewinnenden Genauigkeit, indem die Angaben mehrerer Personen, die an verschiedenen, nicht sehr von einander entfernten Punkten das Verschwinden beobachteten, völlig übereinstimmend diese Stelle angaben; dagegen ist der Anfangspunct sehr unbestimmt. Der scheinbare Durchmesser wird, etwas verschieden, dem des Vollmondes gleich ausgehen. Die Kugel erschien

zuerst ganz rund, ohne Schweif; dieser entwickelte sich aber bald, erschien in blutrothem Lichte, Funken sprühend und war  $1\frac{1}{2}$  Grad lang. Das Licht der Kugel war hellgelblich und ruhig, das des Schweifes mehr zitternd und walleud. — Indem ich eine Zeitungsnachricht mit zu Hülfe nahm, der zufolge dies Verschwinden der Kugel in Altona beobachtet worden war, und den dort angegebenen, durchaus irrigen Stern  $\alpha$  Ophiuchi mit  $\alpha$  Lyra, als dem einzigen Stern  $1^{\circ}$  Größe in der bezeichneten Himmelsgegend, vertauschte, fand ich für den Ort, wo das Meteor im Zenith zerplatzte, die Polhöhe  $55^{\circ}4$ , Länge  $1^{\circ}9$  westlich von hier. Höhe der Kugel beim Zerspringen 20 Meilen. Es ist also keine Hoffnung vorhanden, Bruchstücke von derselben zu finden. Einzelne Nachrichten, die ich aus der Gegend von Ribe und von Faabø erhielt, lassen die Kugel westlich von diesen Oertern zerspringen, was mit den aus der genannten Berechnung erhaltenen Resultaten übereinstimmt.

*Fr. Fischer.*

The Moons Right Ascension, Declination and Horizontal Parallax for the time of her transit over the meridian of Altona for the year 1841 with the logarithms of coefficients for facilitating the reduction to other Meridians.

(Beschluß.)

July.

| Date. | Rightascens.                           | log a   | log b                | log c              | Hor. Par.             | log $\alpha$         | log $\beta$         | Declination.  | log a'                | log b'               | log c'             | Semidiam.               |
|-------|--|---------|----------------------|--------------------|-----------------------|----------------------|---------------------|---------------|-----------------------|----------------------|--------------------|-------------------------|
| 1     | 17 <sup>h</sup> 12' 24 <sup>s</sup> 88 | 8,58908 | 0,9575 $\frac{n}{n}$ | 6,28 $\frac{n}{n}$ | 54' 22 <sup>s</sup> 5 | 6,3115 $\frac{n}{n}$ | 0,550               | -27° 0' 43' 2 | 8,09145 $\frac{n}{n}$ | 3,5235               | 6,10 $\frac{n}{n}$ | 14' 49' 0 $\frac{n}{n}$ |
| 2     | 18 8 0,11                              | 8,58252 | 1,7590 $\frac{n}{n}$ | 6,22 $\frac{n}{n}$ | 54 7,5                | 6,1427 $\frac{n}{n}$ | 0,618               | -26 37 21,6   | 8,46669               | 3,5026               | 7,02 $\frac{n}{n}$ | 14 44,9                 |
| 3     | 19 2 11,43                             | 8,56729 | 1,9624 $\frac{n}{n}$ | 5,96 $\frac{n}{n}$ | 53 58,6               | 5,8417 $\frac{n}{n}$ | 0,582               | -24 55 16,3   | 8,87828               | 3,4497               | 7,22 $\frac{n}{n}$ | 14 42,5                 |
| 4     | 19 54 8,70                             | 8,54660 | 2,0137 $\frac{n}{n}$ | 4,37 $\frac{n}{n}$ | 53 55,5               | 5,2396 $\frac{n}{n}$ | 0,625               | -22 3 20,6    | 9 14922               | 3,3682               | 7,29 $\frac{n}{n}$ | 14 41,7                 |
| 5     | 20 43 34,53                            | 8,52475 | 1,9710 $\frac{n}{n}$ | 5,84               | 53 58,7               | 5,8697               | 0,646               | -18 13 22,2   | 9,24783               | 3,2615               | 7,29 $\frac{n}{n}$ | 14 42,5                 |
| 6     | 21 30 42,68                            | 8,50602 | 1,8320 $\frac{n}{n}$ | 6,08               | 54 8,5                | 6,1923               | 0,701               | -13 37 53,3   | 9,31025               | 3,1292               | 7,25 $\frac{n}{n}$ | 14 45,2                 |
| 7     | 22 16 10,66                            | 8,49396 | 1,5089 $\frac{n}{n}$ | 6,18               | 54 25,7               | 6,3826               | 0,695               | - 8 28 49,5   | 9,34968               | 2,9575               | 7,21 $\frac{n}{n}$ | 14 49,9                 |
| 8     | 23 0 51,31                             | 8,49120 | 1,0165               | 6,25               | 54 50,4               | 6,5267               | 0,775               | - 2 57 8,4    | 9,37250               | 2,6910               | 7,21 $\frac{n}{n}$ | 14 56,6                 |
| 9     | 23 45 46,17                            | 8,49398 | 1,7684               | 6,29               | 55 23,9               | 6,6404               | 0,745               | + 2 46 42,5   | 9,38115               | 1,6998               | 7,27 $\frac{n}{n}$ | 15 5,8                  |
| 10    | 0 32 13,22                             | 8,51908 | 2,0476               | 6,32               | 56 5,7                | 6,7253               | 0,724               | + 8 31 35,6   | 9,37470               | 2,6817               | 7,37 $\frac{n}{n}$ | 15 17,2                 |
| 11    | 1 21 25,07                             | 8,54952 | 2,2196               | 6,30               | 56 55,3               | 6,7882               | 0,618               | +14 4 10,4    | 9,34822               | 3,0706 $\frac{n}{n}$ | 7,50 $\frac{n}{n}$ | 15 30,7                 |
| 12    | 2 14 43,42                             | 8,58801 | 2,3249               | 6,10               | 57 51,0               | 6,8262               | 0,331               | +19 6 58,6    | 9,28994               | 3,3237 $\frac{n}{n}$ | 7,61 $\frac{n}{n}$ | 15 45,8                 |
| 13    | 3 13 13,44                             | 8,62914 | 2,3544               | 5,71 $\frac{n}{n}$ | 58 49,7               | 6,8301               | 0,201 $\frac{n}{n}$ | +23 16 51,6   | 9,17255               | 3,5135 $\frac{n}{n}$ | 7,67 $\frac{n}{n}$ | 16 1,8                  |
| 14    | 4 17 13,61                             | 8,66462 | 2,2590               | 6,49 $\frac{n}{n}$ | 59 46,0               | 6,7901               | 0,729 $\frac{n}{n}$ | +26 5 30,5    | 8,91374               | 3,6471 $\frac{n}{n}$ | 7,59 $\frac{n}{n}$ | 16 17,2                 |
| 15    | 5 25 36,16                             | 8,68517 | 1,8372               | 6,71 $\frac{n}{n}$ | 60 34,2               | 6,6837               | 1,005 $\frac{n}{n}$ | +27 4 36,5    | 7,34029 $\frac{n}{n}$ | 3,7154 $\frac{n}{n}$ | 7,13 $\frac{n}{n}$ | 16 30,3                 |
| 16    | 6 35 39,07                             | 8,68498 | 1,8426 $\frac{n}{n}$ | 6,67 $\frac{n}{n}$ | 61 7,5                | 6,4455               | 1,120 $\frac{n}{n}$ | +25 56 17,0   | 9,86538 $\frac{n}{n}$ | 3,7073 $\frac{n}{n}$ | 7,52               | 16 39,4                 |
| 17    | 7 44 1,41                              | 8,66547 | 2,2204 $\frac{n}{n}$ | 6,38 $\frac{n}{n}$ | 61 21,3               | 5,5478               | 1,166 $\frac{n}{n}$ | +22 42 52,0   | 9,23897 $\frac{n}{n}$ | 3,6184 $\frac{n}{n}$ | 7,67               | 16 43,2                 |
| 18    |  |         |                      |                    |                       |                      |                     |               |                       |                      |                    |                         |
| 19    | 8 48 25,71                             | 8,63445 | 2,2833 $\frac{n}{n}$ | 5,04               | 61 13,5               | 6,3248 $\frac{n}{n}$ | 1,131 $\frac{n}{n}$ | +17 47 3,2    | 9,36807 $\frac{n}{n}$ | 3,4403 $\frac{n}{n}$ | 7,75               | 16 41,0                 |
| 20    | 9 48 9,95                              | 8,60159 | 2,2172 $\frac{n}{n}$ | 6,21               | 60 45,7               | 6,6285 $\frac{n}{n}$ | 1,041 $\frac{n}{n}$ | +11 42 19,5   | 9,42920 $\frac{n}{n}$ | 3,1301 $\frac{n}{n}$ | 7,71               | 16 33,5                 |
| 21    | 10 43 50,92                            | 8,57437 | 2,0576 $\frac{n}{n}$ | 6,33               | 60 1,7                | 6,7631 $\frac{n}{n}$ | 0,830 $\frac{n}{n}$ | + 5 4 12,8    | 9,44924 $\frac{n}{n}$ | 2,2146 $\frac{n}{n}$ | 7,61               | 16 21,5                 |
| 22    | 11 36 42,27                            | 8,55680 | 1,7674 $\frac{n}{n}$ | 6,32               | 59 7,6                | 6,8192 $\frac{n}{n}$ | 0,406 $\frac{n}{n}$ | + 1 38 52,1   | 9,44069 $\frac{n}{n}$ | 2,8790               | 7,49               | 16 6,7                  |
| 23    | 12 28 5,53                             | 8,54991 | 0,9290 $\frac{n}{n}$ | 6,24               | 58 9,6                | 6,8288 $\frac{n}{n}$ | 0,867               | - 8 3 33,7    | 9,40893 $\frac{n}{n}$ | 3,1659               | 7,39               | 15 50,9                 |
| 24    | 13 19 14,79                            | 8,55252 | 1,4909               | 6,10               | 57 12,6               | 6,8043 $\frac{n}{n}$ | 0,534               | -13 52 5,4    | 9,35418 $\frac{n}{n}$ | 3,3078               | 7,80               | 15 35,4                 |
| 25    | 14 11 8,44                             | 8,56179 | 1,7410               | 5,74               | 56 20,6               | 6,7502 $\frac{n}{n}$ | 0,701               | -18 50 14,9   | 9,27114 $\frac{n}{n}$ | 3,3996               | 7,23               | 15 21,2                 |



## M a y.

| Date. | Rightascens.                                      | log a   | log b   | log c | Hor. Par.             | log $\alpha$ | log $\beta$ | Declination.             | log $\alpha'$ | log $\beta'$ | log $c'$ | Semidiam.                        |
|-------|---|---------|---------|-------|-----------------------|--------------|-------------|--------------------------|---------------|--------------|----------|----------------------------------|
| 26    | 15 <sup>h</sup> 4 <sup>m</sup> 21 <sup>s</sup> 80 | 8,57374 | 1,7704  | 5,48n | 55 <sup>°</sup> 36' 0 | 6,6704n      | 0,760       | -22 <sup>°</sup> 46' 7 0 | 9,14529n      | 3,4642       | 7,13     | 15 <sup>h</sup> 9 <sup>m</sup> 1 |
| 27    | 15 59 0,27  | 8,58388 | 1,6004  | 6,06n | 54 59,9               | 6,5673n      | 0,750       | -25 29 45,4              | 8,93-04n      | 3,5054       | 6,91     | 14 59,2                          |
| 28    | 16 54 35,6  | 8,58817 | 2,2808  | 6,22n | 54 32,2               | 6,4341n      | 0,748       | -26 54 4,4               | 8,47765n      | 3,5216       | 5,82     | 14 51,7                          |
| 29    | 17 50 13,45                                       | 8,58418 | 1,6314n | 6,21n | 54 12,8               | 6,2553n      | 0,701       | -26 56 7,1               | 8,43026       | 3,5096       | 6,88n    | 14 46,4                          |
| 30    | 18 44 48,20                                       | 8,57184 | 1,8990n | 6,03n | 54 0,9                | 5,9826n      | 0,671       | -25 38 7,6               | 8,90602       | 3,4686       | 7,16n    | 14 43,1                          |
| 31    | 19 37 26,97                                       | 8,55336 | 1,9875n | 5,47n | 53 56,0               | 5,2-10n      | 0,625       | -23 7 13,5               | 9,10648       | 3,4007       | 7,26n    | 14 41,8                          |

## A u g u s t.

|    |             |         |         |       |         |         |        |             |          |         |       |         |
|----|-------------|---------|---------|-------|---------|---------|--------|-------------|----------|---------|-------|---------|
| 1  | 20 27 43,23 | 8,53239 | 1,9767n | 5,63  | 53 57,4 | 5,7070  | 0,597  | -19 34 1,1  | 9,22247  | 3,3040  | 7,29n | 14 42,2 |
| 2  | 21 15 40,00 | 8,51288 | 1,8816n | 5,98  | 54 4,7  | 6,0700  | 0,582  | -15 10 42,6 | 9,29526  | 3,1799  | 7,28n | 14 44,2 |
| 3  | 22 1 44,46  | 8,49835 | 1,6670n | 6,12  | 54 17,7 | 6,2636  | 0,582  | -10 9 42,0  | 9,34109  | 3,0144  | 7,26n | 14 47,7 |
| 4  | 22 46 40,49 | 8,49153 | 0,9705n | 6,19  | 54 36,4 | 6,3970  | 0,582  | + 4 42 55,0 | 9,36778  | 2,7611  | 7,25n | 14 52,8 |
| 5  | 23 31 23,21 | 8,49429 | 1,5179  | 6,24  | 55 08,8 | 6,4981  | 0,582  | + 0 55 12,8 | 9,37483  | 2,0609  | 7,27n | 14 59,5 |
| 6  | 0 16 55,64  | 8,50751 | 1,8993  | 6,27  | 55 30,9 | 6,5834  | 0,611  | + 6 42 7,0  | 9,37467  | 2,5917n | 7,33n | 15 7,7  |
| 7  | 1 4 26,79   | 8,53103 | 2,1072  | 6,27  | 56 7,1  | 6,6585  | 0,618  | +12 16 6,0  | 9,35255  | 2,9969n | 7,42n | 15 17,5 |
| 8  | 1 55 8,59   | 8,56321 | 2,2376  | 6,17  | 56 49,4 | 6,7167  | 0,625  | +17 25 3,0  | 9,30480  | 3,2431n | 7,52n | 15 29,1 |
| 9  | 2 50 6,36   | 8,60037 | 2,3026  | 5,62  | 57 36,7 | 6,7581  | 0,406  | +21 50 3,9  | 9,21393  | 3,4289n | 7,59n | 15 42,0 |
| 10 | 3 49 58,99  | 8,63644 | 2,2795  | 6,17n | 58 27,6 | 6,7762  | 0,9127 | +25 8 2,6   | 9,03471  | 3,5708n | 7,59n | 15 55,8 |
| 11 | 4 54 28,71  | 8,66362 | 2,0935  | 6,55n | 59 18,6 | 6,7594  | 0,459n | +26 53 42,6 | 8,55427  | 3,6636n | 7,41n | 16 9,7  |
| 12 | 6 1 58,01   | 8,67500 | 1,1404n | 6,64n | 60 5,2  | 6,6904  | 0,443n | +26 45 46,5 | 8,6102n  | 3,6971n | 4,4n  | 16 22,4 |
| 13 | 7 9 48,38   | 8,66829 | 1,9683n | 6,52n | 60 41,5 | 6,5315  | 1,014n | +24 35 31,5 | 9,11992n | 3,6627n | 7,44  | 16 32,3 |
| 14 | 8 15 26,10  | 8,64732 | 2,1810n | 6,07n | 61 2,5  | 6,1391  | 1,109n | +20 32 9,1  | 9,30797n | 3,5544n | 7,67  | 16 38,0 |
| 15 | 9 17 24,40  | 8,61989 | 2,1695n | 5,82  | 61 45,5 | 5,9747n | 1,136n | +15 0 13,9  | 9,40471n | 3,3542n | 7,72  | 16 38,6 |
| 16 | 10 15 36,23 | 8,59387 | 2,0849n | 6,22  | 60 46,4 | 6,5021n | 1,074n | + 8 32 3,1  | 9,44930n | 2,9705n | 7,69  | 16 33,6 |
| 17 | 11 10 48,32 | 8,57466 | 1,8687n | 6,28  | 60 10,7 | 6,7000n | 0,963n | +1 40 16,2  | 9,45818n | 2,3574  | 7,61  | 16 23,9 |
| 19 | 12 4 10,08  | 8,56466 | 1,4105n | 6,24  | 59 21,4 | 6,7975n | 0,718n | + 5 6 17,9  | 9,43897n | 3,0697  | 7,51  | 16 10,5 |
| 20 | 12 56 52,41 | 8,56370 | 1,1620  | 6,12  | 58 24,3 | 6,8325n | 0,972n | -11 24 3,8  | 9,39404n | 3,2835  | 7,41  | 15 54,9 |
| 21 | 13 49 54,73 | 8,56966 | 1,6156  | 5,89  | 57 25,7 | 6,8247n | 0,345  | -16 54 21,8 | 9,32077n | 3,3991  | 7,30  | 15 39,0 |
| 22 | 14 43 56,29 | 8,57904 | 1,6910  | 5,05n | 56 30,3 | 6,7841n | 0,659  | -21 22 34,2 | 9,20932n | 3,4702  | 7,16  | 15 23,9 |
| 23 | 15 39 8,43  | 8,58765 | 1,5475  | 5,97n | 55 41,6 | 6,7109n | 0,794  | -24 37 36,2 | 9,03371n | 3,5125  | 6,92  | 15 10,6 |
| 24 | 16 35 10,88 | 8,59156 | 0,4419  | 6,17n | 55 2,1  | 6,6013n | 0,835  | -26 32 0,9  | 8,70300n | 3,5289  | 6,01  | 14 59,8 |
| 25 | 17 31 16,38 | 8,58816 | 1,5834n | 6,18n | 54 32,7 | 6,4500n | 0,826  | -27 2 43,6  | 7,88092  | 3,5195  | 6,82n | 14 51,8 |
| 26 | 18 26 25,39 | 8,57696 | 1,8676n | 6,03n | 54 13,6 | 6,2234n | 0,813  | -26 11 32,0 | 8,79754  | 3,4839  | 7,11n | 14 46,5 |
| 27 | 19 19 46,33 | 8,55973 | 1,9699n | 5,60n | 54 3,5  | 5,7999n | 0,750  | -24 4 47,4  | 9,04983  | 3,4242  | 7,22n | 14 43,9 |
| 28 | 20 10 50,34 | 8,53958 | 1,9730n | 5,47  | 54 2,1  | 5,4827  | 0,71n  | -20 52 6,3  | 9,18787  | 3,3413  | 7,26n | 14 43,5 |
| 29 | 20 59 36,04 | 8,52021 | 1,8957n | 5,92  | 54 8,4  | 6,0481  | 0,625  | -16 44 50,9 | 9,27395  | 3,2343  | 7,27n | 14 45,2 |
| 30 | 21 46 26,68 | 8,50495 | 1,7182n | 6,07  | 54 21,0 | 6,2482  | 0,529  | -11 54 54,1 | 9,32924  | 3,0927  | 7,26n | 14 48,6 |
| 31 | 22 31 58,17 | 8,49642 | 1,2734n | 6,14  | 54 38,7 | 6,3656  | 0,479  | - 6 34 8,2  | 9,36308  | 2,8826  | 7,27n | 14 53,4 |

## S e p t e m b e r.

|    |            |         |         |       |         |        |        |             |          |         |       |         |
|----|------------|---------|---------|-------|---------|--------|--------|-------------|----------|---------|-------|---------|
| 1  | 23 17 3,24 | 8,49643 | 1,2909  | 6,19  | 55 0,9  | 6,4464 | 0,394  | - 0 54 24,9 | 9,37968  | 2,434 8 | 7,29n | 14 59,5 |
| 2  | 0 2 37,89  | 8,50593 | 1,762   | 6,22  | 55 26,8 | 6,5037 | 0,331  | + 4 51 59,6 | 9,38001  | 2,4157n | 7,34n | 15 6,6  |
| 3  | 0 49 43,97 | 8,52484 | 2,0170  | 6,21  | 55 55,9 | 6,5507 | 0,310  | +10 31 46,2 | 9,36227  | 2,9376n | 7,41n | 15 14,5 |
| 4  | 1 39 24,98 | 8,55189 | 2,1580  | 6,13  | 56 28,0 | 6,5553 | 0,148  | +15 49 46,0 | 9,32083  | 3,1966n | 7,48n | 15 23,2 |
| 5  | 2 32 39,26 | 8,58417 | 2,2330  | 5,75  | 57 2,3  | 6,6141 | 0,206  | +20 28 12,2 | 9,24305  | 3,3822n | 7,53n | 15 32,6 |
| 6  | 3 30 5,32  | 8,61684 | 2,2302  | 5,93n | 57 38,9 | 6,6367 | 0,940  | +24 6 29,5  | 9,09888  | 3,5200n | 7,53n | 15 42,6 |
| 7  | 4 31 39,67 | 8,64354 | 2,1014  | 6,40n | 58 16,8 | 6,6473 | 0,970  | +26 22 34,1 | 8,78576  | 3,6149n | 7,41n | 15 52,9 |
| 8  | 5 36 17,58 | 8,65813 | 1,6357  | 6,55n | 58 54,9 | 6,6352 | 0,249n | +26 56 51,0 | 8,17082  | 3,6612n | 6,86n | 16 3,3  |
| 9  | 6 41 58,46 | 8,65751 | 1,6900n | 6,49n | 59 30,3 | 6,5807 | 0,618n | +25 38 14,4 | 8,97359n | 3,5528n | 7,16  | 16 12,9 |
| 10 | 7 46 30,69 | 8,64340 | 2,0505n | 6,20n | 59 59,5 | 6,4580 | 0,826n | +22 28 54,3 | 9,22266n | 3,5864n | 7,51  | 16 20,9 |

## September.

| Date. | Rightascens.                                      | log a   | log b   | log c | Hor. Par. | log α   | log β  | Declination. | log a'   | log b'  | log c' | Semidiam. |
|-------|---|---------|---------|-------|-----------|---------|--------|--------------|----------|---------|--------|-----------|
| 11    | 8 <sup>h</sup> 48 <sup>m</sup> 20 <sup>s</sup> 61 | 8,62155 | 2,1142n | 4,89  | 60 18,7   | 6,1791  | 0,953n | +17° 44' 20" | 9,35281n | 3,4650n | 7,63   | 16 26"    |
| 12    | 9 47 0,98   | 8,59893 | 2,0444n | 6,08  | 60 24,6   | 5,3307n | 1,033n | +11 49 8,4   | 9,42266n | 3,2275n | 7,66   | 16 27,7   |
| 13    | 10 42 58,44                                       | 8,58115 | 1,8550n | 6,22  | 60 14,6   | 6,3206n | 1,027n | + 5 11 54,8  | 9,45889n | 2,7230n | 7,64   | 16 25,0   |
| 14    |   |         |         |       |           |         |        |              |          |         |        |           |
| 15    | 11 37 9,62  | 8,57132 | 1,4331n | 6,22  | 59 48,9   | 6,5794n | 0,950n | — 1 38 39,0  | 9,45243n | 2,7359  | 7,59   | 16 18,0   |
| 16    | 12 30 39,77                                       | 8,57005 | 1,1155  | 6,13  | 59 10,0   | 6,7119n | 0,782n | — 11 55 56,8 | 9,42436n | 3,1714  | 7,52   | 16 7,4    |
| 17    | 13 24 27,93                                       | 8,57577 | 1,6175  | 5,89  | 58 21,4   | 6,7758n | 0,449n | — 14 16 35,4 | 9,36739n | 3,3558  | 7,43   | 15 54,1   |
| 18    | 14 19 15,70                                       | 8,58530 | 1,7130  | 4,56n | 57 28,5   | 6,7933n | 8,604n | — 19 21 13,5 | 9,27473n | 3,4598  | 7,30   | 15 39,7   |
| 19    | 15 15 17,76                                       | 8,59435 | 1,5959  | 5,95n | 56 35,6   | 6,7715n | 0,542  | — 23 14 28,8 | 9,12873n | 3,5188  | 7,08   | 15 25,3   |
| 20    | 16 12 16,09                                       | 8,59908 | 0,8189  | 6,18n | 55 47,7   | 6,7119n | 0,707  | — 25 46 2,5  | 8,87762n | 3,4343  | 6,44   | 15 12,2   |
| 21    | 17 9 22,94  | 8,59628 | 1,5645n | 6,21n | 55 7,4    | 6,6150n | 0,830  | — 26 51 10,1 | 8,18038n | 3,5373  | 6,79n  | 15 1,3    |
| 22    | 18 5 35,62  | 8,58532 | 1,8766n | 6,08n | 54 37,1   | 6,4593n | 0,871  | — 26 30 59,1 | 8,62761  | 3,5034  | 7,11n  | 14 53,0   |
| 23    | 18 59 58,00                                       | 8,56781 | 1,9890n | 5,68n | 54 17,8   | 6,2034n | 0,865  | — 24 51 46,2 | 8,97416  | 3,4459  | 7,22n  | 14 47,8   |
| 24    | 19 51 57,36                                       | 8,54698 | 1,9984n | 5,42  | 54 9,4    | 5,5618n | 0,835  | — 22 3 12,2  | 9,14172  | 3,3689  | 7,25n  | 14 45,5   |
| 25    | 20 41 30,09                                       | 8,52662 | 1,9282n | 5,91  | 54 11,2   | 5,8831  | 0,790  | — 18 16 28,0 | 9,24304  | 3,2738  | 7,24n  | 14 45,9   |
| 26    | 21 28 57,72                                       | 8,51017 | 1,7659n | 6,07  | 54 22,2   | 6,2439  | 0,712  | — 13 42 57,5 | 9,30677  | 3,1563  | 7,23n  | 14 48,9   |
| 27    | 22 14 59,17                                       | 8,50035 | 1,8939n | 6,15  | 54 40,9   | 6,4040  | 0,589  | — 8 33 47,0  | 9,35129  | 2,9951  | 7,24n  | 14 54,0   |
| 28    | 23 0 24,54  | 8,49897 | 1,1308  | 6,19  | 55 5,4    | 6,4929  | 0,449  | — 3 0 3,2    | 9,37589  | 2,7149  | 7,28n  | 15 0,7    |
| 29    | 23 46 10,45                                       | 8,50694 | 1,7357  | 6,21  | 55 34,1   | 6,5443  | 0,224  | + 2 46 27,6  | 9,38403  | 1,0434n | 7,35n  | 15 8,5    |
| 30    | 0 33 17,71  | 8,52417 | 1,9822  | 6,20  | 56 5,3    | 6,5666  | 9,729  | + 8 32 30,2  | 9,37421  | 2,8020n | 7,42n  | 15 17,0   |

## October.

|    |             |         |         |       |         |         |        |              |          |         |       |         |
|----|-------------|---------|---------|-------|---------|---------|--------|--------------|----------|---------|-------|---------|
| 1  | 1 22 47,91  | 8,54941 | 2,1282  | 6,11  | 56 37,3 | 6,5673  | 9,604n | +14 2 31,5   | 9,34150  | 3,1381n | 7,49n | 15 25,8 |
| 2  | 2 15 37,16  | 8,57985 | 2,2047  | 5,74  | 57 8,7  | 6,5507  | 0,056n | +18 58 6,4   | 9,27541  | 3,3480n | 7,54n | 15 34,3 |
| 3  | 3 12 22,37  | 8,61089 | 2,2041  | 5,88n | 57 38,4 | 6,5184  | 0,241n | +22 58 7,8   | 9,15293  | 3,4958n | 7,53n | 15 42,4 |
| 4  | 4 13 1,48   | 8,63653 | 2,0805  | 6,36n | 58 5,6  | 6,4793  | 0,188n | +25 40 26,8  | 8,90793  | 3,5941n | 7,40n | 15 49,8 |
| 5  | 5 16 35,56  | 8,65087 | 1,6381  | 6,52n | 58 30,4 | 6,4290  | 0,357n | +26 45 43,2  | 7,92376  | 3,6426n | 6,93n | 15 56,6 |
| 6  | 6 21 13,19  | 8,65072 | 1,6424  | 6,48n | 58 51,9 | 6,3645  | 0,317n | +26 2 47,0   | 8,83191  | 3,6387n | 7,05  | 16 2,4  |
| 7  | 7 24 48,44  | 8,63740 | 2,0270n | 6,21n | 59 10,2 | 6,2744  | 0,489n | +23 32 33,8  | 9,14357n | 3,5828n | 7,43  | 16 7,4  |
| 8  | 8 25 50,20  | 8,61614 | 2,1021n | 4,52n | 59 23,9 | 6,1029  | 0,604n | +19 27 45,9  | 9,29749n | 3,4754n | 7,55  | 16 11,2 |
| 9  | 9 23 47,68  | 8,59362 | 2,0420n | 6,04  | 59 31,6 | 6,5763  | 0,718n | +14 8 52,5   | 9,38332n | 3,3050n | 7,58  | 16 13,3 |
| 10 | 10 19 3,36  | 8,57555 | 1,8606n | 6,22  | 59 31,5 | 5,7310n | 0,808n | + 7 59 48,0  | 9,42817n | 3,0118n | 7,58  | 16 13,2 |
| 11 | 11 12 31,67 | 8,56544 | 1,4370n | 6,24  | 59 21,9 | 6,2323n | 0,847n | + 1 25 6,4   | 9,44306n | 1,7624n | 7,57  | 16 10,6 |
| 12 | 12 5 18,90  | 8,56437 | 1,2038  | 6,18  | 59 1,9  | 6,4675n | 0,843n | — 5 11 6,0   | 9,43173n | 2,9428  | 7,55  | 16 5,2  |
| 13 | 12 58 28,83 | 8,57129 | 1,6988  | 6,01  | 58 31,7 | 6,6001n | 0,707n | — 11 25 37,2 | 9,39345n | 3,2431  | 7,51  | 15 56,9 |
| 14 |             |         |         |       |         |         |        |              |          |         |       |         |
| 15 | 13 52 51,26 | 8,58326 | 1,8261  | 5,33  | 57 53,9 | 6,6765n | 0,574n | — 16 56 47,0 | 9,32278n | 3,4029  | 7,44  | 15 46,6 |
| 16 | 14 48 50,73 | 8,59595 | 1,7790  | 5,89n | 57 10,7 | 6,7114n | 0,905n | — 21 25 21,5 | 9,20674n | 3,4973  | 7,29  | 15 34,9 |
| 17 | 15 46 16,72 | 8,60458 | 1,4410  | 6,22n | 56 26,2 | 6,7082n | 0,105n | — 24 36 13,6 | 9,01300n | 3,5460  | 6,94  | 15 22,7 |
| 18 | 16 44 21,78 | 8,60525 | 1,3436n | 6,30n | 55 43,6 | 6,6694n | 0,582  | — 26 20 13,8 | 8,61476n | 3,5554  | 6,45n | 15 11,1 |
| 19 | 17 41 54,17 | 8,59635 | 1,8522n | 6,21n | 55 6,6  | 6,5834n | 0,760  | — 26 35 16,5 | 8,2864   | 3,5292  | 7,09n | 15 1,1  |
| 20 | 18 37 42,46 | 8,57905 | 2,0152n | 5,91n | 54 38,1 | 6,4392n | 0,822  | — 25 26 54,2 | 8,87251  | 3,4733  | 7,25n | 14 53,3 |
| 21 | 19 30 59,13 | 8,55676 | 2,0499n | 4,95  | 54 19,5 | 6,1833n | 0,875  | — 23 4 31,7  | 9,08549  | 3,3949  | 7,28n | 14 48,2 |
| 22 | 20 21 30,94 | 8,53377 | 1,9991n | 5,89  | 54 12,0 | 5,3066n | 0,887  | — 19 40 21,4 | 9,20524  | 3,3003  | 7,26n | 14 46,2 |
| 23 | 21 9 35,54  | 8,51117 | 1,8630n | 6,09  | 54 15,9 | 6,0343  | 0,851  | — 15 26 24,8 | 9,28106  | 3,1911  | 7,21n | 14 47,2 |
| 24 | 21 55 52,29 | 8,50116 | 1,5744n | 6,17  | 54 30,4 | 6,3524  | 0,804  | — 10 33 45,4 | 9,33099  | 3,0585  | 7,19n | 14 51,2 |
| 25 | 22 41 13,63 | 8,49697 | 0,4762  | 6,21  | 54 54,4 | 6,5161  | 0,734  | — 5 12 37,7  | 9,36277  | 2,8662  | 7,22n | 14 57,7 |
| 26 | 23 26 39,83 | 8,50282 | 1,6690  | 6,24  | 55 26,4 | 6,6082  | 0,542  | + 0 26 41,7  | 9,37914  | 2,4427  | 7,29n | 15 6,4  |
| 27 | 0 13 15,94  | 8,51886 | 1,9642  | 6,24  | 56 3,6  | 6,6552  | 0,288  | + 6 12 40,7  | 9,37934  | 2,4568n | 7,39n | 15 16,5 |
| 28 | 1 2 9,33    | 8,54408 | 2,1322  | 6,19  | 56 43,6 | 6,6694  | 9,303n | +11 51 13,7  | 9,35915  | 3,0008n | 7,49n | 15 27,6 |
| 29 | 1 54 23,92  | 8,57584 | 2,2275  | 5,94  | 57 23,3 | 6,4884  | 0,357n | +17 4 29,4   | 9,30944  | 3,2758n | 7,57n | 15 38,3 |
| 30 | 2 50 47,46  | 8,60953 | 2,2476  | 5,68n | 57 59,7 | 6,5966  | 0,550n | +21 30 32,1  | 9,21136  | 3,4612n | 7,89n | 15 48,2 |
| 31 | 3 51 29,61  | 8,63867 | 2,1522  | 6,36n | 58 30,8 | 6,5021  | 0,729n | +24 44 43,6  | 9,01805  | 3,5843n | 7,49n | 15 56,7 |
|    | 4 55 37,84  |         |         |       | 58 54,1 |         |        | +26 24 3,6   |          |         |       | 16 3,0  |

## November.

| Date. | Rightascens.             | log a   | log b   | log c | Hor. Par. | log a   | log β  | Declination. | log a'   | log b'  | log c' | Semidiam |
|-------|--------------------------|---------|---------|-------|-----------|---------|--------|--------------|----------|---------|--------|----------|
| 1     | 4 <sup>h</sup> 56' 37.84 | 8,65632 | 1,743   | 6,562 | 54' 54"   | 6,3468  | 0,734n | +26° 24' 36  | 8,50376  | 3,6487n | 7,12n  | 16' 30   |
| 2     | 6 1 14,39                | 8,65801 | 1,6030  | 6,56n | 59 9 2    | 6,1089  | 0,718n | +26 13 46,4  | 8,66562n | 3,6528n | 7,00   | 16 7,2   |
| 3     | 7 5 54,06                | 8,64424 | 2,0709  | 6,33n | 59 16,5   | 5,6433  | 0,677n | +24 12 49,9  | 9,07947n | 3,5980n | 7,45   | 16 9,2   |
| 4     | 8 7 44,07                | 8,62033 | 2,1681  | 6,42n | 59 16,8   | 5,4868n | 0,566n | +20 34 0,2   | 9,25832n | 3,4889n | 7,57   | 16 9,2   |
| 5     | 9 5 59,67                | 8,59376 | 2,1251  | 6,04  | 59 16,5   | 5,9415n | 0,474n | +15 38 39,5  | 9,35433n | 3,3235n | 7,57   | 16 7,8   |
| 6     | 10 0 59,26               | 8,57113 | 1,9739  | 6,25  | 59 1,9    | 6,1336n | 0,428n | +9 50 48,1   | 9,40542n | 3,0694n | 7,54   | 16 5,2   |
| 7     | 10 53 3',46              | 8,55682 | 1,6539  | 6,29  | 58 48,1   | 6,2690n | 0,484n | +3 33 35,6   | 9,42667n | 2,4970n | 7,51   | 16 1,4   |
| 8     | 11 45 12,34              | 8,55258 | 0,9598  | 6,26  | 58 29,8   | 6,3742n | 0,454n | -2 51 31,9   | 9,42402n | 2,6959  | 7,49   | 15 56,4  |
| 9     | 12 36 50,26              | 8,55800 | 1,6658  | 6,15  | 58 7,2    | 6,4606n | 0,507n | -9 4 21,1    | 9,39808n | 3,1081  | 7,48   | 15 50,3  |
| 10    | 13 29 35,62              | 8,57071 | 1,745   | 5,85  | 57 39,9   | 6,5326n | 0,429n | -14 45 17,1  | 9,34483n | 3,3121  | 7,46   | 15 42,8  |
| 11    | 14 24 10,05              | 8,58662 | 1,9110  | 5,46n | 57 8,6    | 6,5814n | 0,273n | -19 35 17,9  | 9,25416n | 3,4402  | 7,39   | 15 34,3  |
| 12    | 15 20 42,57              | 8,60061 | 1,7772  | 6,14n | 56 34,5   | 6,6076n | 0,905n | -23 17 4,0   | 9,10336n | 3,5191  | 7,22   | 15 25,0  |
| 13    | ♂                        | ♂       | ♂       | ♂     | ♂         | ♂       | ♂      | ♂            | ♂        | ♂       | ♂      | ♂        |
| 14    | 16 18 41,12              | 8,60761 | 1,0737  | 6,33n | 55 59,3   | 6,6045n | 0,030  | -25 37 10,1  | 8,82535n | 3,5546  | 6,65   | 15 15,4  |
| 15    | 17 16 55,98              | 8,60435 | 1,6724n | 6,33n | 55 25,6   | 6,5741n | 0,345  | -26 28 44,2  | 7,68906n | 3,5484  | 6,90n  | 15 6,2   |
| 16    | 18 14 1,93               | 8,59052 | 1,9806n | 6,16n | 54 55,3   | 6,5052n | 0,615  | -25 52 56,1  | 8,72923  | 3,5045  | 7,23n  | 14 58,0  |
| 17    | 19 8 48,26               | 8,56883 | 2,0770n | 5,61n | 54 31,1   | 6,3732n | 0,745  | -23 57 50,9  | 9,01936  | 3,4290  | 7,32n  | 14 51,4  |
| 18    | 20 0 39,63               | 8,54379 | 2,0676n | 5,71  | 54 15,1   | 6,1223n | 0,808  | -20 56 16,4  | 9,16506  | 3,3305  | 7,31n  | 14 47,0  |
| 19    | 20 49 39,01              | 8,52021 | 1,9753n | 6,05  | 54 8,7    | 5,0297n | 0,879  | -17 1 11,6   | 9,25244  | 3,2156  | 7,25n  | 14 45,3  |
| 20    | 21 36 18,78              | 8,50213 | 1,7809n | 6,17  | 54 13,5   | 6,0806  | 0,871  | -12 25 5,0   | 9,30811  | 3,0843  | 7,19n  | 14 46,6  |
| 21    | 22 21 29,27              | 8,49253 | 1,2832n | 6,23  | 54 29,4   | 6,3929  | 0,855  | -7 18 39,8   | 9,34451  | 2,9198  | 7,16n  | 14 50,9  |
| 22    | 23 6 11,61               | 8,49329 | 1,4172  | 6,26  | 54 56,0   | 6,5663  | 0,830  | -1 51 33,5   | 9,36577  | 2,6508  | 7,20n  | 14 58,2  |
| 23    | 23 51 33,41              | 8,50525 | 1,8758  | 6,29  | 53 32,6   | 6,6768  | 0,734  | +3 46 33,3   | 9,37324  | 0,2883  | 7,29n  | 15 8,1   |
| 24    | 0 38 47,31               | 8,52810 | 2,0975  | 6,28  | 56 17,2   | 6,7400  | 0,49   | +9 24 26,0   | 9,36443  | 2,7632n | 7,42n  | 15 20,3  |
| 25    | 1 29 7,67                | 8,56007 | 2,2344  | 6,19  | 57 6,4    | 6,7664  | 0,905  | +14 47 28,1  | 9,33244  | 3,1355n | 7,54n  | 15 33,7  |
| 26    | 2 23 42,04               | 8,59736 | 2,3024  | 5,65  | 57 56,7   | 6,7553  | 0,406n | +19 36 11,9  | 9,26266  | 3,3728n | 7,61n  | 15 47,4  |
| 27    | 3 23 11,08               | 8,63372 | 2,2803  | 6,18n | 58 43,3   | 6,7015  | 0,707n | +23 25 57,7  | 9,12294  | 3,5411n | 7,62n  | 16 0,1   |
| 28    | 4 27 17,46               | 8,66103 | 2,0896  | 6,56n | 59 22,3   | 6,5931  | 0,87n  | +25 49 3,5   | 8,80568  | 3,6458n | 7,43n  | 16 10,7  |
| 29    | 5 34 21,42               | 8,67199 | 0,9435  | 6,66n | 59 49,9   | 6,3816  | 0,978n | +26 24 15,9  | 8,22660n | 3,6828n | 5,83n  | 16 18,2  |
| 30    | 6 41 38,88               | 8,66407 | 2,0099n | 6,54n | 60 3,5    | 5,8731  | 0,975n | +25 0 40,6   | 8,99159n | 3,6491n | 7,42   | 16 22,0  |

## December.

|    |             |         |         |       |         |         |        |             |          |         |       |         |
|----|-------------|---------|---------|-------|---------|---------|--------|-------------|----------|---------|-------|---------|
| 1  | 7 46 29,94  | 8,64104 | 2,2139n | 6,09n | 60 50,1 | 5,9055n | 0,919n | +21 47 22,4 | 9,22433n | 3,5470n | 7,62  | 16 21,8 |
| 2  | 8 47 24,05  | 8,61096 | 2,2221n | 5,84  | 59 3,4  | 6,3127n | 0,785n | +17 6 48,3  | 9,33992n | 3,3770n | 7,64  | 16 18,4 |
| 3  | 9 44 13,91  | 8,58216 | 2,1223n | 6,24  | 59 28,6 | 6,4692n | 0,625n | +11 26 48,5 | 9,39606n | 3,1146n | 7,59  | 16 12,4 |
| 4  | 10 37 48,80 | 8,56061 | 1,9070n | 6,32  | 59 0,5  | 6,5435n | 0,338n | +5 14 4,3   | 9,42271n | 2,5788n | 7,52  | 16 4,8  |
| 5  | 11 29 23,46 | 8,54939 | 1,4304n | 6,30  | 58 29,1 | 6,5707n | 0,729  | -1 8 23,3   | 9,42205n | 2,6093  | 7,46  | 15 56,2 |
| 6  | 12 20 17,28 | 8,54900 | 1,3418  | 6,24  | 57 56,8 | 6,5727n | 0,903  | -7 20 54,0  | 9,39985n | 3,0450  | 7,42  | 15 47,4 |
| 7  | 13 11 42,59 | 8,55788 | 1,7806  | 6,07  | 57 24,7 | 6,5700n | 0,826  | -13 5 52,9  | 9,35436n | 2,9494  | 7,40  | 15 38,7 |
| 8  | 14 4 35,82  | 8,57270 | 1,9093  | 5,53  | 56 52,8 | 6,5598n | 0,940  | -18 6 43,1  | 9,27804n | 3,3834  | 7,38  | 15 30,0 |
| 9  | 14 59 27,17 | 8,58875 | 1,8455  | 5,87  | 56 22,1 | 6,5443n | 0,971  | -22 7 31,6  | 9,15517n | 3,4758  | 7,29  | 15 21,6 |
| 10 | 15 56 9,56  | 8,60064 | 1,6373  | 6,25n | 55 52,2 | 6,5282n | 0,069  | -24 54 15,7 | 8,94174n | 3,5309  | 7,03  | 15 13,5 |
| 11 | 16 53 54,01 | 8,60385 | 1,0546n | 6,35n | 55 24,0 | 6,5005n | 0,105  | -26 17 5,0  | 8,43443n | 3,5474  | 6,03n | 15 5,8  |
| 12 | ♂           | ♂       | ♂       | ♂     | ♂       | ♂       | ♂      | ♂           | ♂        | ♂       | ♂     | ♂       |
| 13 | 17 51 21,20 | 8,59618 | 1,4370n | 6,29n | 54 57,8 | 6,4571n | 0,357  | -26 12 48,2 | 8,51310  | 3,5240  | 7,09n | 14 58,7 |
| 14 | 18 47 8,04  | 8,57859 | 2,0355n | 6,02n | 54 35,0 | 6,3742n | 0,542  | -24 45 52,9 | 8,93878  | 3,4633  | 7,29n | 14 52,4 |
| 15 | 19 40 16,26 | 8,55473 | 2,0847n | 4,31n | 54 17,3 | 6,2396n | 0,601  | -22 6 53,1  | 9,12176  | 3,3712  | 7,34n | 14 47,6 |
| 16 | 20 30 26,05 | 8,52937 | 2,0434n | 5,89  | 54 5,6  | 5,9800n | 0,701  | -18 29 23,3 | 9,22558  | 3,2534  | 7,31n | 14 45,4 |
| 17 | 21 17 52,92 | 8,50712 | 1,9187n | 6,11  | 54 1,4  | 4,5407  | 0,804  | -14 7 8,9   | 9,28937  | 3,1134  | 7,25n | 14 43,3 |
| 18 | 22 3 17,13  | 8,49167 | 1,6614n | 6,19  | 54 6,6  | 6,0679  | 0,830  | -9 12 27,0  | 9,32916  | 2,9418  | 7,19n | 14 44,7 |
| 19 | 22 47 33,57 | 8,48361 | 0,4877n | 6,24  | 54 21,9 | 6,3820  | 0,875  | -3 55 53,3  | 9,35258  | 2,6973  | 7,16n | 14 48,9 |
| 20 | 23 31 45,96 | 8,49053 | 1,6441  | 6,28  | 54 48,3 | 6,5646  | 0,843  | +1 33 3,8   | 9,36282  | 2,0719  | 7,20n | 14 56,1 |

## December.

| Date. | Rightascens.             | log a   | log b           | log c         | Hor. Par. | log $\alpha$    | log $\beta$    | Declination.  | log a'           | log b'          | log c'        | Semidiam |
|-------|--------------------------|---------|-----------------|---------------|-----------|-----------------|----------------|---------------|------------------|-----------------|---------------|----------|
| 21    | 0 <sup>h</sup> 17' 4" 57 | 8,50697 | 1,9759          | 6,30          | 55' 25" 1 | 6,6 $\times$ 60 | 0,822          | + 7° 4' 48" 4 | 9,35961          | 2,5213 $\alpha$ | 7,30 $\alpha$ | 15' 6"   |
| 22    | 1 4 44,64                | 8,53428 | 2,1661          | 6,29          | 56 11,7   | 6,7707          | 0,718          | + 12 27 59,5  | 9,33904          | 2,9654 $\alpha$ | 7,43 $\alpha$ | 15 18,8  |
| 23    | 1 56 2,91                | 8,57020 | 2,2853          | 6,16          | 57 6,0    | 6,8196          | 0,439          | + 17 27 44,8  | 9,29165          | 3,2379 $\alpha$ | 7,56 $\alpha$ | 15 33,6  |
| 24    | 2 52 6,17                | 8,61019 | 2,3350          | 4,76          | 58 4,3    | 6,8322          | 9,780 $\alpha$ | + 21 43 58,8  | 9,19640          | 3,4415 $\alpha$ | 7,63 $\alpha$ | 15 49,5  |
| 25    | 3 53 26,32               | 8,64708 | 2,2830          | 6,34 $\alpha$ | 59 1,6    | 6,8023          | 0,662 $\alpha$ | + 24 51 13,6  | 8,99819          | 3,5894 $\alpha$ | 7,60 $\alpha$ | 16 5,1   |
| 26    | 4 59 24,91               | 8,67218 | 2,0177          | 6,63 $\alpha$ | 59 52,1   | 6,7206          | 0,905 $\alpha$ | + 26 22 9,7   | 8,38219          | 3,6778 $\alpha$ | 7,33 $\alpha$ | 16 18,9  |
| 27    | 6 7 54,04                | 8,67880 | 1,3512 $\alpha$ | 6,67 $\alpha$ | 60 30,6   | 6,5464          | 1,074 $\alpha$ | + 25 56 2,1   | 8,78517 $\alpha$ | 3,6947 $\alpha$ | 6,94          | 16 29,3  |
| 28    | 7 15 52,23               | 8,66612 | 2,1102 $\alpha$ | 6,48 $\alpha$ | 60 51,7   | 6,1299          | 1,109 $\alpha$ | + 23 28 26,4  | 9,15266 $\alpha$ | 3,6353 $\alpha$ | 7,56          | 16 35,1  |
| 29    | 8 20 45,78               | 8,63994 | 2,2413 $\alpha$ | 5,78 $\alpha$ | 60 53,8   | 5,9254 $\alpha$ | 1,088 $\alpha$ | + 19 14 32,8  | 9,31600 $\alpha$ | 3,4963 $\alpha$ | 7,70          | 16 35,7  |
| 30    | 9 21 26,34               | 8,60925 | 1,2110 $\alpha$ | 6,06          | 60 37,8   | 6,4473 $\alpha$ | 1,011 $\alpha$ | + 13 42 53,8  | 9,39760 $\alpha$ | 3,2604 $\alpha$ | 7,69          | 16 31,3  |
| 31    | 10 18 8,13               | 8,58212 | 2,0759 $\alpha$ | 6,29          | 60 6,7    | 6,6311 $\alpha$ | 0,830 $\alpha$ | + 7 25 37,6   | 9,43265 $\alpha$ | 2,8076 $\alpha$ | 7,62          | 16 22,8  |
|       | 11 11 53,85              |         |                 |               | 59 25,5   |                 |                | + 0 51 55,0   |                  |                 |               | 16 11,6  |

## Briefe des Herrn Dr. Bremicker und Herrn Galle an den Herausgeber.

Ich habe die Ehre, Ihnen die Anzeige zu machen, daß ich gestern Abend um 8<sup>h</sup> 25' einen schwachen Nebel etwas südlich von  $\alpha$  Draconis entdeckte, welchen ich heute um die selbe Zeit aus seinem Fortücken unter den Fixsternen als Cometen erkannte. Am gestrigen Tage war es mir, nur mit einem Cometen auserüstet, und eine halbe Stunde von der Sternwarte wohnend, nicht möglich, über den Character dieses Nebels zu entscheiden, da es schon 20 Minuten später, nachdem ich ihn zuerst gesehen, völlig bewölkt war.

Aus den so eben gemachten Beobachtungen mit dem großen Refractor der hiesigen Sternwarte ergab sich durch die Kreise dieses Instruments, mit deren Hülfe der Comet mit  $\alpha$  Draconis verglichen wurde, und nach einer vorläufigen Reduction, die Position

10<sup>h</sup> 17' 46" M. Berl. Zeit. AR. = 18<sup>h</sup> 41' 7" Decl. + 60° 55' mit der täglichen Veränderung von + 67" in AR. und + 4" in Decl.; beides im Bogen.

Die genaue Vergleichung des Cometen mit einem Sterne 7<sup>r</sup> Gr. am Faden-Micrometer des großen Refractors ist noch nicht reducirt, und Herr Galle, welcher so eben damit be-

schäftigt ist, hat mir versprochen, um alle Zögerung zu verhüten, die erhaltenen genaueren Resultate sofort Ihnen mitzutheilen.

Berlin, den 27<sup>ten</sup> October 1840, 11 Uhr Abends.

Bremicker.

Ich beehre mich, Ihnen die gestern und vorgestern gewonnenen Beobachtungen des von Herrn Dr. Bremicker entdeckten 4<sup>ten</sup> diesjährigen Cometen zu übersenden, welches folgende sind:

|          | M. Berl. Zt.            | AR. Com.     | Decl. Com.    |
|----------|-------------------------|--------------|---------------|
| Oct. 27. | 10 <sup>h</sup> 17' 46" | 280° 16' 37" | + 60° 35' 34" |
| 28.      | 8 25 11                 | 281 21 42,4  | + 60 56 5,8   |

Die erstere habe ich in Gemeinschaft mit Herrn Dr. Bremicker, die letztere in Gemeinschaft mit Herrn Professor Encke angestellt. Sie sind mit dem Fadenmicrometer des Refractors gemacht und beruhen beide auf der Vergleichung mit einem Stern 6<sup>r</sup> Gr., der sich in *Lalande's Observations à l'école militaire* 1789 gefunden hat.

Berlin, den 29<sup>ten</sup> October 1840.

G. Galle.

Elemente des Cometen von Herrn Observator Petersen am 3<sup>ten</sup> November erhalten.

Zeit des Perihels 1840 Nov. 15,9154 mittl. Alt. Zt.

log q.....0,160785

$\pi$ .....25° 17' 0"

$\Omega$ .....248 31 55

i.....57 29 50

direct.

Diese Elemente sind aus den Berliner Beobachtungen Octbr. 27. 28 und *Rümckers* Octbr. 31 ohne Abb. und Parallaxe berechnet und geben die Länge und Breite der mittl. Beob. auf ein paar Secunden genau.

S.

Altona 1840. November 19.

Schreiben des Herru Majors *Davis* an den Herausgeber.

London 1840. April 28. (Hiebei vier Kupfertafeln.)

Sir.

I trust the object of this letter will prove my excuse for intruding on your valuable time, but presuming the subject to be one in which you will feel an interest, I venture to hope the accompanying plates will not be unacceptable to your *Astronomical Magazine*. Being stationed with my Regiment at Armagh during the last summer (1839) enjoying the privilege of the acquaintance of Professor *Robinson*, of the observatory, I had an opportunity of drawing, with the aid of that gentleman's admirable instruments, the cluster of spots that in the end of the month of August and commencement of September attracted the attention of observers from their unusual size and number on the Sun's surface.

The obscurity which still envelops the causes of the Phenomena renders, it is presumed, any remarks on the subject not wholly uninteresting. Indeed if constant drawings were made and the natural history as it were of individual spots carefully chronicled following them through their daily changes of form and situation on the Sun's surface, very interesting data might be obtained on which to found some theory to account for the causes which operate to produce them. Dr. *Wilson's* observations went a great way to prove, that they are cavities in the luminous atmosphere surrounding the body of the Sun, and the changes of appearance in the spots (the originals of the engravings I have the honour to send) in every way confirmed his theory, in my humble opinion, as the true one.

With the utmost diffidence I would venture to assign some relation of appearance displayed by the spots as they appeared to me during the course of observation and without any comment leave it to you to judge of them as you think fit.

In plate 1, on the 30<sup>th</sup> August the spots were of such unusual size as to attract the attention of Dr. *Robinson* and were seen distinctly with the naked eye through light clouds. The Sun in the neighbourhood of the spots and generally in the vicinity of the equatorial parts displayed that peculiar apparent irregularity of surface similar to the appearance of a

sand ripple mark. The umbra presented that flat uniform tint very like the zenith sky when seen thro' small sharp openings in bright clouds, and the outward edges of the penumbra generally displayed bright streaky furrows, as if the surface of an elastic luminous matter removed from the surface of the umbra, was heaped up and of a higher level in the vicinity of the spots. The Penumbra was very various in tint and presented frequently very strange appearances. I allude to the inner ragged edges of the part of the spots which were frequently projected in long bridges over the surface of the umbra, which was frequently closed and obscured by this process and reformed by the reversal of it. In plates 2 and 3 this course is very visible and the change in form No. 2 plate (3) on the 3<sup>rd</sup> of Sept. where the form I allude to is withdrawing is very striking. Dr. *Robinson* assured me he had observed a bridge of the same kind shot across the umbra of a spot in the space of a few minutes, the distance from side to side of the umbra occupying a space equal to some thousands of miles of the Sun's surface. I confess from what I have seen I cannot but follow the theory of the working of elastic vapours on the luminous atmosphere of the Sun, as a very probable one, and in most of the drawings I have fancied I could trace some appearance to favour the impression. Thus the smaller spots are connected with the same cause that produces the larger ones and in figure 1, plate (3) 1, 2 and 3, plate (4) something like a perspective view of this may be observed.

H. S. Davis,

Major. H. R. M. 52 Regiment.

N. S. In Bezug auf die schönen dieser Nummer beigegebenen Abbildungen der Sonnenflecken, die ich der Güte des Herrn Majors *Davis* verdanke, ersuche ich die Leser dieses Blattes, welche es unter Kreuzband zugesandt erhalten, mir gefälligst eine Buchhändler-Adresse aufzugeben, damit sie ihre Platten in besserem Zustande erhalten, als es bei dieser Versendungsart möglich ist. Ich behalte deshalb die Platten für Postversendungen einstweilen zurück.

S.

Schreiben des Herrn *Rümcker*, Directors der Hamburger Sternwarte, an den Herausgeber.

Hamburg 1840. Novbr. 6.

Neuer Beobachtungen der verglichenen Sterne wegen habe ich kleine Veränderungen an den hier zusammengestellten Beobachtungen des Cometen angebracht.

|          | Mittl. Hamb.<br>Zeit.     | Scheinb. AR.<br>des Com. | Scheinb. Decl.<br>des Com. |         |
|----------|---------------------------|--------------------------|----------------------------|---------|
| Oct. 31. | 8 <sup>h</sup> 38' 36" 88 | 19° 0' 42" 750           | 60° 55' 30" 57             | gut.    |
| Nov. 1.  | 6 53 8,48                 | 19 5 42,584              | 60 54 37,90                | wolkig. |
| — 2.     | 10 28 10,97               | 19 12 4,840              | 60 52 8,93                 | wolkig. |
| — 3.     | 7 2 12,97                 | 19 16 59,837             | 60 50 41,12                | gut.    |
| — 4.     | 14 0 22,54                | 19 24 38,831             | 60 46 0,7                  | wolkig. |

Die Beobachtungen vom 5<sup>ten</sup> Novbr. sind noch nicht reducirt, weil ich den verglichenen Stern noch nicht beobachtet habe. Die scheinbaren Oerter der übrigen Sterne sind für den Vergleichungstag.

|          | Scheinb. AR.               | Scheinb. Decl. |
|----------|----------------------------|----------------|
| Oct. 31. | 18 <sup>h</sup> 58' 17" 32 | 61° 11' 45" 21 |
| Nov. 1.  | 19 5 6,12                  | 61 3 7,42      |
| Nov. 3.  | 19 16 0,39                 | 60 40 11,79    |
| — 4.     | 19 21 57,13                | 60 53 40,31    |

Elemente ohne Rücksicht auf Parallaxe.  
 T Novbr. 13,376506 mittl. Greenw. Zeit.  
 $\pi$  21° 35' 47,5 } vom mittlern Equin. 1840.  
 $\Omega$  248 39 17,5 }  
 log q 0,1758596  
 I 58 32 43 direct.

Ich bin so frei Ihnen zugleich hiemit meine letzten spärlichen Sternbedeckungen zuzustellen.

|                |                     | Mittl. Hamb. Zeit.                  |              |
|----------------|---------------------|-------------------------------------|--------------|
| 1840 April 11. | $\gamma$ Leonis     | Eintritt 10 <sup>h</sup> 34' 58" 29 |              |
|                |                     | 58,4                                | <i>Funk.</i> |
| — 22.          | $\tau$ Sagittarii   | — 16 13 20,77                       |              |
|                |                     | 20,6                                | <i>Funk.</i> |
| Mai 4.         | Anon.               | — 10 30 16,97                       |              |
|                |                     | 16,8                                | <i>Funk.</i> |
| Juni 3.        | $\eta$ Cancri       | — 9 48 30,98                        |              |
|                |                     | 31,0                                | <i>Funk.</i> |
| Aug. 24.       | $\alpha$ Cancri     | — 16 13 35,8                        |              |
|                |                     | 35,4                                | <i>Funk.</i> |
| — 24.          | $\alpha$ Cancri     | — 16 16 7,9                         |              |
|                |                     | 7,4                                 | <i>Funk.</i> |
| Oct. 16.       | $\gamma^1$ Geminor. | — 12 5 35,0                         |              |
| — 16.          | $\gamma^2$ Gemin.   | Austritt 13 3 18,55                 |              |

Herr *Funk* hat am 5<sup>ten</sup> April noch die Eintritte zweier andern Sterne beobachtet

9 32 24,8  
10 6 40,0

*Rümcker.*

Schreiben des Herrn Hofraths *Schwabe* an den Herausgeber.

Dessau 1840. November 13.

Ich erlaube mir die Bitte, folgende astronomische Instrumente in den Astr. Nachr. zum Verkaufe anzuzeigen. Sie gehörten dem unlängst in Seyda bei Wittenberg verstorbenen Superintendenten *Camenz*. Der Diaconus *Stich* in Seyda giebt darüber nähere Auskunft.

1. Ein *Fraunhofer'scher* Tubus von 6 Fuß Brennweite und 52 Linien Oeffnung mit Zubehör.....550 Thaler.
2. Ein *Fraunhofer'scher* Kometsucher von 24 Zoll Brennweite und 34 Linien Oeffnung.....35 Thaler.
3. Ein *Fraunhofer'sches* Filar-Micrometer.....30 Thaler.
4. Ein Tubus von 4 Fuß Brennweite und 33 Linien Oeffnung, dessen Objectiv von *Fraunhofer* ist. 100 Thaler.

5. Ein Zugfernrohr von *Ramsden* von 30 Zoll Brennweite, 22 Linien Oeffnung.....35 Thaler.

In diesem Jahre sind die Sonnenflecke sehr beachtenswerth, besonders zeichnet sich einer durch eine ungewöhnliche Beständigkeit aus, indem derselbe am 10<sup>ten</sup> November zum achten Male eintrat. Sein erster Eintritt geschah am 5<sup>ten</sup> Mai, den 16—17<sup>ten</sup> November wird er ungefähr in der Mitte der Sonne stehen, den 22<sup>sten</sup> d. M. austreten und wenn er ferner beständig bleibt, den 7<sup>ten</sup> December zum neunten Mal am östlichen Sonnenrande erscheinen. Eine nähere Nachricht darüber behalte ich mir für meinen Jahresbericht vor.

*S. H. Schwabe.*

Schreiben des Herrn Professors *Encke* an den Herausgeber.

Berlin 1840. Novbr. 21.

Den Cometen haben wir fleißig beobachtet, und da vielleicht der Mangel an Sternen, die nur in den Pariser Mémoires, nicht in der Hist. cél. beobachtet sind, andere Beobachter in der ersten Zeit abhalten kann, gleich Resultate zu erhalten, so setze ich Ihnen die Beobachtungen und Elemente her. Die benutzten Sterne sind wahrscheinlich sehr nahe richtig, denn zwei derselben hat Herr *Galle* hier beobachtet und fast genau das Resultat seiner Reductionen der Pariser Beobachtungen erhalten. Auch scheint die Zone, aus der sie genommen sind, gut beobachtet, denn eine von mir berechnete Tafel darüber giebt mit 12 Piazzischen Sternen gute Uebereinstimmung. Wäre es nicht der Mühe werth, diese Zonenbeobachtungen, die nicht allen Astronomen zugänglich sind, besonders abdrucken zu lassen und mit Tafeln ähnlich wie Ihre vortrefflichen für die Hist. cél. zu versehen? Bei den hohen Declinationen fehlt eine andere Reihe und ich bin mehreremale schon genöthigt gewesen mit Zeitverlust Sterne aus diesen Memoires zu nehmen.

Folgende Elemente sind an die Beobachtungen vom 27<sup>ten</sup> Octbr., 3<sup>ten</sup> und 12<sup>ten</sup> Novbr. angeschlossen mit Rücksicht auf alle Correctionen.

Durchgang. Novbr. 14,02994 Berlin. mittl. Zeit.

Länge des Perihels 22°24'55"8 M. Aeq. 1841

Ω

248 39 49,9

Neigung

58 19 24,9

Log. kleinst. Abstand 0,172843

Rechtfläufig.

Die Beobachtungen und die Vergleichen mit den Elementen sind folgende:

|        | M. Berl. Zt.            | AR Com.        | Decl. Com.     | Rechn. — Beob.<br>ΔAR. Δδ |
|--------|-------------------------|----------------|----------------|---------------------------|
| Oct 27 | 10 <sup>h</sup> 17' 46" | 280° 16' 33" 4 | +60° 55' 33" 4 | — 0"3 — 0"1               |
| 28     | 8 25 11                 | 281 21 38,1    | 60 56 4,4      | + 9,8 + 0,7               |
| 29     | 8 25 41                 | 282 35 21,9    | 60 56 17,1     | — 10,7 + 0,5              |
| 30     | 6 54 24                 | 283 43 38,6    | 60 56 12,4     | + 13,0 — 3,0              |
|        | 8 10 40                 | 283 49 44,2    | 60 56 8,5      | + 9,6 — 1,3               |
| 31     | 8 8 25                  | 285 8 1,1      | 60 55 32,0     | — 1,2 — 2,1               |
| Nov. 1 | 7 49 8                  | 286 27 37,9    | 60 54 28,4     | + 3,7 — 4,4               |
| 2      | 9 22 31                 | 287 56 25,3    | 60 52 37,3     | + 3,6 — 3,3               |
| 3      | 7 34 59                 | 289 16 0,4     | 60 50 34,6     | + 4,1 — 8,3               |
| 9      | 12 26 35                | 299 4 30,1     | 60 17 38,4     | + 7,6 + 1,7               |
| 11     | 7 27 8                  | 302 11 11,0    | 60 0 44,7      | + 8,2 — 0,4               |
| 12     | 8 34 55                 | 304 3 20,3     | 59 48 52,6     | — 0,8 — 2,0               |

Bei der Vergleichung hat Herr *Galle* auf alle Correctionen Rücksicht genommen.

Der Comet wird noch längere Zeit sichtbar bleiben, vielleicht sind deshalb die gewöhnlichen Constanten für die rechtwinklichten Coordinaten bezogen auf den Aequator Manchem angenehm. Es wird

$$x = [9,7850539] \sin(\nu + 97^\circ 6' 28'' 8)$$

$$y = [9,9987755] \sin(\nu + 12^\circ 43' 10,1)$$

$$z = [9,9010431] \sin(\nu + 103^\circ 59' 41,5)$$

wo die [ ] Logarithmen bedeuten.

*Encke.*

Marche du chronomètre Nr. 31 de *Hauth*, marchant un mois, appartenant à Son Excellence, Monsieur l'Amiral de Greig.

| L'an 1840.<br>vieux style.   | Avance journalière du<br>chronomètre par rapport<br>au tems moy. sol. | Différence de<br>la marche<br>moyenne. |
|------------------------------|---|--|
| Depuis le 6 Avril jusqu'au 9 | + 0"65  | — 0"30                                 |
| 9 — 20                       | + 0,52  | — 0,43                                 |
| 20 — 22                      | + 0,77  | — 0,18                                 |
| 22 — 25                      | + 0,54  | — 0,41                                 |
| 25 — 29                      | + 0,83  | — 0,12                                 |
| 29 — 2 Mal                   | + 0,67  | — 0,28                                 |
| 2 Mal — 6                    | + 1,31  | + 0,36                                 |
| 6 — 11                       | + 1,66  | + 0,71                                 |
| 11 — 17                      | + 1,69  | + 0,74                                 |
| 17 — 20                      | + 0,70  | — 0,25                                 |
| 20 — 25                      | + 0,68  | — 0,27                                 |
| 25 — 1 Juin                  | + 0,81  | — 0,14                                 |

| L'an 1840.<br>vieux style. | Avance journalière du<br>chronomètre par rapport<br>au tems moy. sol. | Différence de<br>la marche<br>moyenne. |
|----------------------------|---|--|
| Depuis le 1 Juin — 6       | + 1,32  | + 0,37                                 |
| 6 — 9                      | + 1,22  | + 0,27                                 |
| 9 — 13                     | + 1,06  | + 0,11                                 |
| Différence moyenne         |   | + 0"015                                |

Depuis le 6 Avril jusqu'au 13 Juin, c'est-à-dire en 68 jours, le chronomètre Nr. 31 de *Hauth* a gagné sur le tems moyen solaire + 1' 48" 4. Donc son Avance journalière moyenne a été dans cet intervalle de tems = + 0"954. On trouve dans la dernière colonne la différence journalière moyenne et actuelle; cette différence de l'Avance a été pour la plupart au

5 \*

dessous d'un quart de seconde, seulement deux fois elle a monté jusqu'à 0°71 et 0°74.

v. Wisniewski.

Der vorstehende Gang eines von Herrn *Hauth* in Petersburg verfertigten Chronometers, der, so viel ich weiß, der

erste ist, der einen Monat hindurch in einem Aufzuge geht, ist mir von dem Herrn Admiral *Greig* zur Bekanntmachung in diesen Blättern mitgetheilt worden. Die Beobachtungen sind von Herrn v. *Wisniewski* auf der Sternwarte der kaiserlichen Academie in St. Petersburg gemacht.

S.

Schreiben des Herrn *Rümcker*, Directors der Hamburger Sternwarte, an den Herausgeber.  
Hamburg 1840. Nov. 30.

Zuvörderst theile ich Ihnen folgende acharf beobachtete Sternbedeckungen mit.

1840 Nov. 15. 7 Leonis Austritt 12<sup>h</sup> 3' 15" 4 Hamb. m. Zt.  
— 16. 48 Leonis Austritt 17 24 47,7 — —

Wie Herr *Fischer* in Nr. 412 dieser Blätter dazu gekommen ist aus meinen am 14<sup>ten</sup> Januar beobachteten Sternbedeckungen unrichtige Resultate zu ziehen, kann ich nicht recht begreifen. Es scheint mir die von Herrn *Steckroński* in Nr. 408 bekannt gemachten Berechnungen dieser Beobachtungen, aus denen ihre Genauigkeit hinlänglich erhellt, hätten ihn aufmerksam machen und veranlassen können seine Rechnungen nachzusehen. Wahrscheinlich hat er die Sterne verwechselt, wenigstens wird dies dadurch wahrscheinlich, daß er den Austritt von e Plejad. als von mir zu spät bezeichnet anführt, was, wie Jeder in Nr. 396 der Astr. Nachr. nachsehen kann, keinesweges der Fall ist. Dagegen habe ich den Austritt von c Plejad. am angeführten Orte als bedeutend zu spät bezeichnet. Worin nun auch Herrn *Fischers* Fehler liegen mag, so wird er in seinem eigenen Interesse wohl thun seine Rechnungen zu wiederholen. Ich füge noch die bisher nicht publicirten von Herrn *Fluck* in Hamburg angestellten Beobachtungen dieser Bedeckungen hinzu.

|    |          |                                |
|----|----------|--------------------------------|
| m. | Eintritt | 9 <sup>h</sup> 48' 21" 9 M. Z. |
| b. | —        | 9 51 30,9 —                    |
| c. | —        | 10 2 10,8 —                    |

Zur Zeit des Austritts von c und e Plejadum war es bewölkt, dennoch halte ich den letzten Austritt für sehr scharf beobachtet.

Da außer von Apenrade und Hamburg auch von Craueu und Greifswald Beobachtungen dieser Bedeckungen in den Astron. Nachrichten enthalten sind, und mehr zu erwarten stehen, so könnten bei ihrer Berechnung die folgenden Meridianbeobachtungen des Mondes und einiger der Plejaden am 14<sup>ten</sup> Januar, wie auch dem vorhergehenden und folgenden, so wie auch am 15<sup>ten</sup> März, an welchem  $\alpha$  Leonis bedeckt wurde, von Nutzen seyn.

Scheinb. AR.      Scheinb. Decl.

|           |                            |                |   |
|-----------|----------------------------|----------------|---|
| Janr. 13. | 1 <sup>h</sup> 58' 10" 812 | 22° 42' 20" 37 | $\alpha$ Arietis.   |
|           | 2 22 3,361                 | 16 59 43,27    | $\gamma$ Arietis.   |
|           | 2 29 5,165                 | 18 52 14,90    | $\zeta$ I. Ut. Rd. für Refr. aber nicht für Parall. corr. |
|           | 2 33 22,161                | 19 19 42,54    | $\mu$ Ariet.  |
|           | 2 53 56,176                | —              | $\alpha$ Ceti.  |
|           | 3 2 30,507                 | 19 7 12,57     | $\delta$ Arietis.   |
|           | 3 14 53,410                | 24 9 20,00     | $\gamma$ Arietis.   |

Mit Annahme des Axenverhältnisses  $\frac{m}{M} = \frac{1}{293}$  ergibt sich hieraus die wahre Declination des Monds-Mittelpuncts 19° 42' 4" 6 zur Zeit der Culmination.

|           |                            |                |                         |
|-----------|----------------------------|----------------|-------------------------|
| Janr. 14. | 1 <sup>h</sup> 58' 10" 573 | 22° 42' 20" 11 | $\alpha$ Arietis.       |
|           | 3 14 53,414                | 24 9 21,60     | $\gamma$ Arietis.       |
|           | 3 30 29,280                | 23 32 23,76    | $\zeta$ I Unterer Rand. |
|           | 3 35 19,484                | 23 47 3,06     | $\gamma$ Plejadum.      |
|           | 3 37 59,734                | 23 47 29,83    | Plejadam.               |
|           | 3 39 51,673                | 23 53 23,31    | Plejadam.               |
|           | 3 55 16,170                | 21 38 31,96    | $\alpha^1$ Tauri.       |
|           | 3 55 53,740                | —              | $\alpha^1$ Tauri.       |
|           | 4 16 46,080                | 22 26 52,20    | $\nu$ Tauri.            |
|           | 4 26 46,193                | 16 11 3,58     | Aldebaran.              |

woraus sich 24° 18' 24" 4 für wahre Declination des Mondes zur Culminationzeit ergibt.

|           |                            |               |                         |
|-----------|----------------------------|---------------|-------------------------|
| Janr. 15. | 3 <sup>h</sup> 35' 19" 540 | 23° 47' 2" 17 | Plejadam.               |
|           | 3 37 59,672                | 23 47 28,98   | Plejadam.               |
|           | 3 40 26,246                | 23 51 36,59   | Anon.                   |
|           | 3 55 16,025                | 21 38 31,26   | $\alpha^1$ Tauri.       |
|           | 4 16 46,188                | 22 26 51,88   | $\nu$ Tauri.            |
|           | 4 26 46,412                | 16 11 2,24    | Aldebaran.              |
|           | 4 36 36,781                | 26 34 40,96   | $\zeta$ I Unterer Rand. |
|           | 5 4 54,950                 | —             | $\alpha$ Aurigae.       |
|           | 5 16 12,951                | 28 28 5,95    | $\beta$ Tauri.          |
|           | 5 28 23,630                | 30 23 35,05   | $\iota$ Aurigae.        |

woraus sich 27° 18' 3" 16 für die Mondes-Declination ergibt. Diese 3 Declinationen stimmen beinahe vollkommen mit den Mondstafeln. Obige Plejaden-Orter ergeben sich aus dem *Besselischen* Verzeichniß Nr. 387 der Astr. Nachr., so wie Herr *Steckroński* sie angegeben hat.



|               | Scheinb. AR.   | Scheinb. Decl. |                 |
|---------------|----------------|----------------|-----------------|
| 1840 März 15. | 9° 22' 37" 524 | 23° 40' 9" 01  | λ Leonis.       |
|               | 9 36 47,969    | 24 30 25,67    | α Leonis.       |
|               | 9 42 50,069    | 25 8 53,45     | γ Leonis.       |
|               | 9 51 47,464    | 8 48 25,62     | π Leonis.       |
|               | 9 59 53,183    |                | α Leonis.       |
|               | 10 1 18,767    | 12 29 2,87     | (1 Oberer Rand. |
|               | 10 6 39,735    | 12 27 52,53    | Anon.           |
|               | 10 11 57,640   | 12 9 7,77      | Anon.           |

|               | Scheinb. AR.    | Scheinb. Decl. |           |
|---------------|-----------------|----------------|-----------|
| 1830 März 15. | 10° 18' 45" 133 | 12° 7' 36" 20  | Anon.     |
|               | 10 24 25,235    | 10 7 32,62     | ρ Leonis. |

Hieraus ergibt sich die wahre Declination des Mondes 12° 50' 47". Der Nautical Almanach giebt sie 6" südlicher. Der von mir beobachtete Eintritt und Austritt von α Leonis ist auf  $\frac{1}{2}$  Secunde richtig.

C. Rümcker.

### Sternbedeckungen in Nordamerika beobachtet.

Diese Sternbedeckungen sind aus den Proceedings der American Philosophical Society genommen. Sie sind eine Fortsetzung von früheren in diesen Proceedings bekannt gemachten Beobachtungen, welche, sobald ich sie erhalte, nachgeliefert werden sollen.

Da die europäischen Beobachtungen schon in diesen Blättern abgedruckt sind, habe ich sie nicht wiederholt. Sie nehmen die fehlenden Nummern im Originale ein.

Nach welchem Gesetze die Gewichte der Längenbestimmungen des Capitols angegeben sind, erhellt nicht. Vielleicht ist darüber etwas in dem früheren Aufsatz gesagt. S.

Mr. Walcker, from the Committee on making and collecting observations of Celestial Phenomena, reported, in part, that they had received observations of Lunar Occultations of the Fixed Stars, which are given in the mean time of the respective places of observation, being a continuation of the list published in Nr. 6, page 71 and 72, of the Society's Proceedings; and, on motion, the Report was accepted.

|               |           |                      |                        |
|---------------|-----------|----------------------|------------------------|
| 1838.         |           |                      |                        |
| 48. Nov. 13.  | α Virgin. | Im. 19 31 8,55 d.l.  | Hudson Obs. Loomis.    |
| 58. " " "     |           | Im. 16 25 37,94 d.l. | Dover, Blickensderfer. |
| 1839.         |           |                      |                        |
| 61. Jan. 10.  | π Virg.   | Im. 18 19 19,00 d.l. | Southwick, Holcomb.    |
| 62. " " "     |           | Em. 18 34 15,00 d.l. |                        |
| 63. Jan. 21.  | π Pisc.   | Im. 6 18 58,44 d.l.  | Philad. Obs. W. and K. |
| 64. " " "     |           | Im. 6 31 44,00 d.l.  | Southwick H.           |
| 65. April 19. | c Gemin.  | Im. 7 17 35,38 d.l.  | Hudson Obs. L.         |
| 66.* " " "    |           | Em. 8 28 35,42 b.l.  |                        |
| 67. " " "     |           | Im. 7 55 51,65 d.l.  | Philad. Obs. W. and K. |
| 68. " " "     |           | Im. 7 58 46,10 d.l.  | Princeton, N.J. A.     |
| 69.* " " "    |           | Em. 8 57 43,20 b.l.  |                        |
| 70. " " "     |           | Im. 8 - 9 42,90 d.l. | Southwick H.           |
| 71. " " "     |           | Im. 8 20 31,90 d.l.  | Dorchester Bond.       |
| 72. " " "     |           | Im. 8 20 31,70 d.l.  |                        |

|                       |                 |                      |                          |
|-----------------------|-----------------|----------------------|--------------------------|
| 1839.                 |                 |                      |                          |
| 73. April 17.         | c Gemin.        | Im. 8 20 33,96 d.l.  | Boston Paine.            |
| 74. " 20.             | γ Cancr.        | Im. 10 6 3,13 d.l.   | Hudson Obs. L.           |
| 75.* " " "            |                 | Em. 10 53 51,08 b.l. | Hudson Obs. L.           |
| 76. " " "             |                 | Im. 10 44 24,80 d.l. | Dorchester B.            |
| 77. " " "             |                 | Im. 10 44 24,70 d.l. |                          |
| 78. " " "             |                 | Im. 10 44 21,70 d.l. | Boston P.                |
| 79. " 25.             | 91 Virg.        | Im. 8 13 47,20 d.l.  | Philad. Obs. W. P. a. K. |
| 80. " 50 "            |                 | Im. 8 25 59,50 d.l.  |                          |
| 81. June 20.          | 68i "           | Im. 7 46 28,80 d.l.  | Washington Gilliss.      |
| 82. " " "             |                 | Im. 7 57 42,88 d.l.  | Philad. Obs. W. and K.   |
| 83. " " "             |                 | Im. 8 11 57,25 d.l.  | Southwick H.             |
| 84. June 23.          | b Scorp.        | Im. 8 39 53,90 d.l.  | Washington G.            |
| 85. " " "             |                 | Im. 8 50 52,07 d.l.  | Philad. Obs. W. and K.   |
| 86. " 30.             | D Aquaril       | Im. 10 58 50,54 d.l. |                          |
| 87. July 6.           | b Plejad.       | Im. 15 29 49,49 b.l. |                          |
| 88.* " " "            |                 | Im. 15 29 43,49 b.l. | R.                       |
| 89. " " "             |                 | Em. 16 24 6,99 d.l.  |                          |
| 90. " " "             |                 | Em. 16 14 7,10 d.l.  | Washington G.            |
| 91.* " Anon. 7th mag. |                 | Im. 15 55 4,49 b.l.  | Philad. Obs. W.          |
| 92.* " " "            |                 | Im. 15 55 4,07 b.l.  | R.                       |
| 93. " d "             |                 | Im. 16 0 21,49 b.l.  | W.                       |
| 94. " " "             |                 | Im. 16 0 18,69 b.l.  | R.                       |
| 95. " " "             |                 | Im. 15 32 34,66 b.l. | Hudson Obs. L.           |
| 96. " " "             |                 | Em. 16 22 28,85 b.l. |                          |
| 97. " c "             |                 | Im. 16 14 45,29 b.l. | Philad. Obs. W.          |
| 98. " " "             |                 | Im. 16 14 44,29 b.l. | R.                       |
| 99. Jul 6.            | Anony. 7th mag. | Im. 16 5 49,10 b.l.  | Washington G.            |
| 100. " " "            |                 | Em. 16 33 41,10 d.l. |                          |
| 101. { " " "          |                 | Im. 16 30 24,79 {    | b.l. Philad. Obs. W.     |
|                       |                 | Im. 16 30 26,49 }    |                          |
| 102. { " " "          |                 | Im. 16 30 24,49 {    | b.l. " R.                |
|                       |                 | Im. 16 30 25,79 }    |                          |
| 103. " " "            |                 | Im. 16 20 17,40 b.l. | Washington G.            |
| 104. July 14.         | 59c Leonis      | Im. 8 2 44,25 d.l.   | Philad. Obs. W.          |
| 105. Sep. 14.         | τ Scorp.        | Im. 6 19 51,92 d.l.  | K.                       |
| 106. " " "            |                 | Im. 6 19 51,72 d.l.  | W.                       |

1839.

|       |           |            |     |       |          |      |                                    |           |
|-------|-----------|------------|-----|-------|----------|------|------------------------------------|-----------|
| 107.  | April 26. | γ Cancri   | Em. | 7 47  | 5,84     | h.l. | Philad. Obs.                       | <i>W.</i> |
| 108.  | "         | "          | Im. | 6 42  | 13,71    | d.l. | Dorchester                         | <i>B.</i> |
| 109.  | 20.       | 42 Aquarii | Im. | 12 24 | 39,75    | d.l. | Philad. Obs.                       | <i>K.</i> |
| 110.  | "         | "          | Im. | 12 24 | 40,15    | d.l. | "                                  | <i>W.</i> |
| 111.  | "         | "          | Im. | 12 45 | 12,40    | d.l. | Boston                             | <i>P.</i> |
| 112.  | 26.       | h Plejadum | Im. | 9 41  | 49,68    | b.l. | Philad. Obs.                       | <i>W.</i> |
| 113.  | "         | "          | Im. | 9 41  | 49,18    | b.l. | "                                  | <i>M.</i> |
| 114.  | "         | "          | Em. | 10 32 | 4,73     | d.l. | "                                  | <i>W.</i> |
| 115.  | "         | "          | Em. | 10 32 | 7,97     | d.l. | "                                  | <i>K.</i> |
| 116.  | "         | "          | Em. | 10 32 | 5,78     | d.l. | "                                  | <i>R.</i> |
| 117.  | "         | "          | Em. | 10 32 | 5,13     | d.l. | "                                  | <i>M.</i> |
| 118.  | "         | "          | Im. | 9 54  | 6,00     | b.l. | Southwick                          | <i>H.</i> |
| 119.  | "         | "          | Em. | 10 53 | 6,90     | d.l. | Boston                             | <i>P.</i> |
| 120.  | "         | "          | Em. | 10 22 | 52,60    | d.l. | Washington                         | <i>G.</i> |
| 121.  | "         | g          | Im. | 9 45  | 5,88     | b.l. | Philad. Obs.                       | <i>M.</i> |
| 122.  | "         | "          | Em. | 10 39 | 57,09    | d.l. | "                                  | <i>W.</i> |
| 123.  | "         | "          | Em. | 10 39 | 57,67    | d.l. | "                                  | <i>K.</i> |
| 124.  | "         | "          | Em. | 10 39 | 58,95    | d.l. | "                                  | <i>R.</i> |
| 125.  | "         | "          | Em. | 10 39 | 57,04    | d.l. | "                                  | <i>M.</i> |
| 126.  | "         | "          | Em. | 11    | 1 45,27  | d.l. | Boston                             | <i>P.</i> |
| 127.  | "         | "          | Em. | 10 30 | 20,20    | d.l. | Washington                         | <i>G.</i> |
| 128.* | "         | e          | Im. | 10    | 6 37,75  | b.l. | Philad. Obs.                       | <i>K.</i> |
| 129.  | "         | "          | Im. | 10    | 6 39,61  | b.l. | "                                  | <i>R.</i> |
| 130.  | "         | "          | Im. | 10    | 6 42,35  | b.l. | "                                  | <i>M.</i> |
| 131.  | "         | "          | Em. | 10 49 | 58,93    | d.l. | "                                  | <i>W.</i> |
| 132.  | "         | "          | Em. | 10 49 | 59,52    | d.l. | "                                  | <i>K.</i> |
| 133.  | "         | "          | Em. | 10 50 | 0,36     | d.l. | "                                  | <i>R.</i> |
| 134.  | "         | "          | Em. | 10 49 | 59,33    | d.l. | "                                  | <i>M.</i> |
| 135.  | "         | "          | Em. | 11    | 12 36,43 | d.l. | Boston                             | <i>P.</i> |
| 136.  | "         | "          | Im. | 9 57  | 40,60    | h.l. | Washington                         | <i>G.</i> |
| 137.  | "         | "          | Em. | 10 39 | 59,40    | d.l. | "                                  | "         |
| 139.  | "         | c          | Im. | 10    | 9 11,23  | h.l. | Philad. Obs.                       | <i>W.</i> |
| 140.  | "         | "          | Im. | 10    | 9 11,83  | b.l. | "                                  | <i>M.</i> |
| 141.* | "         | "          | Im. | 10    | 9        | 7,40 | b.l.                               | "         |
| 142.  | "         | "          | Em. | 11    | 6 34,69  | d.l. | "                                  | <i>W.</i> |
| 143.  | "         | "          | Em. | 11    | 6 35,04  | d.l. | "                                  | <i>R.</i> |
| 144.  | "         | "          | Em. | 11    | 6 35,29  | d.l. | "                                  | <i>M.</i> |
| 145.  | Sep. 26.  | e Plejal.  | Im. | 10 22 | 2,00     | b.l. | Southwick                          | <i>H.</i> |
| 146.  | "         | "          | Em. | 11    | 28 58,98 | d.l. | Boston                             | <i>P.</i> |
| 147.  | "         | "          | Em. | 9 59  | 56,20    | h.l. | Washington                         | <i>G.</i> |
| 148.  | "         | "          | Em. | 10    | 56 42,40 | d.l. | "                                  | "         |
| 155.  | Oct. 14.  | τ Sagitt.  | Im. | 8 21  | 56,26    | d.l. | Roscoe, O. <i>Blickens-derfer.</i> |           |
| 156.  | 17.       | δ Capric.  | Im. | 8 28  | 11,50    | d.l. | Philad. Obs.                       | <i>W.</i> |

1839.

|       |          |           |     |       |         |      |              |                |
|-------|----------|-----------|-----|-------|---------|------|--------------|----------------|
| 157.* | Oct. 17. | δ Cancri  | Im. | 8 40  | 10,52   | d.l. | New Haven    | <i>Mason</i>   |
| 158.* | "        | "         | Em. | 9 32  | 1,04    | b.l. | "            | "              |
| 159.  | "        | "         | Im. | 8 18  | 19,10   | d.l. | Washington   | <i>G.</i>      |
| 162.  | 28.      | γ Cancri  | Im. | 14    | 8 30,10 | d.l. | Washington   | <i>G.</i>      |
| 163.  | Dec. 12. | κ Aquarii | Im. | 9 22  | 24,02   | b.l. | Philad. Obs. | <i>W.</i>      |
| 164.  | "        | "         | Im. | 9 22  | 24,45   | b.l. | "            | <i>R.</i>      |
| 165.  | "        | "         | Im. | 8 25  | 48,24   | b.l. | New Haven    | <i>Mason</i>   |
| 166.  | "        | "         | Im. | 8 25  | 48,39   | b.l. | "            | <i>Bradley</i> |
| 167.  | "        | "         | Em. | 9 31  | 57,38   | d.l. | "            | <i>Mason</i>   |
| 168.  | "        | "         | Em. | 9 31  | 57,78   | d.l. | "            | <i>Bradley</i> |
| 169.  | "        | 88 Aquar. | Im. | 9 33  | 36,20   | d.l. | Philad. Obs. | <i>W.</i>      |
| 170.  | "        | "         | Im. | 9 33  | 38,45   | d.l. | "            | <i>H.</i>      |
| 171.  | "        | "         | Im. | 9 43  | 26,84   | d.l. | New Haven    | <i>Mason</i>   |
| 172.  | "        | "         | Im. | 9 43  | 26,89   | d.l. | "            | <i>Bradley</i> |
| 173.  | July 6.  | h Plejad. | Em. | 15 56 | 22,65   | d.l. | Hudson Obs.  | <i>L.</i>      |
| 174.  | "        | γ         | Im. | 16    | 2 21,67 | h.l. | "            | "              |

The longitudes and latitudes of the American places of observation, as far as they can be determined from a reduction of these and former American observations, have been furnished by Messrs. *Walker* and *Kendall*, as follows.

| Place of observation.          | N. Latitude. | Longit. from west from Greenwich. |            |
|--------------------------------|--------------|-----------------------------------|------------|
|                                |              | Philad. Obs.                      | Greenwich. |
| Boston State House             | 42 21 22,7   | E. 16 24,77                       | 4 44 17,13 |
| " Paine's House                | 42 20 56     | E. 16 25,10                       | 4 44 16,80 |
| Dorchester, Bond's priv. Obs.  | 42 19 15     | E. 16 24,09                       | 4 44 17,81 |
| Southwick, Holcomb's           | 42 0 41      | E. 9 24,83                        | 4 51 17,07 |
| Yale College, New Haven        | 41 17 58     | E. 8 51,00                        | 4 51 50,90 |
| City Hall, New York            | 40 42 40     | E. 4 37,54                        | 4 56 4,36  |
| Brooklyn, Blunt's private Obs. | 40 42 0      | E. 4 41,90                        | 4 56 0,00  |
| Nassau Hall, Princeton College | 40 20 50     | E. 2 3,70                         | 4 58 38,29 |
| Alexander's House              | 40 20 56     | E. 2 4,00                         | 4 58 37,90 |
| Philadelphia, High School Obs. | 39 57 8      | 0 5                               | 0 41,90    |
| " State House                  | 39 56 57,9   | E. 2,86                           | 5 03,94    |
| Washington, Capitol            | 38 53 23     | W. 7 24,10                        | 5 8 6,00   |
| " Marine Obs.                  | 38 53 31     | W. 7 24,18                        | 5 8 6,08   |
| Hudson Observatory             | 41 14 37     | W. 25 5,56                        | 5 25 47,46 |
| Dover, Ohio                    | 40 30 52     | W. 25 14,02                       | 5 25 55,92 |

The details of the computations on which these results are based, are too extensive for the limits of this Report. These separate results for the longitude of the Capitol, on account of its importance as being our prime meridian, are here appended.



# Plejadenbedeckung 1840 Februar 7.

Auf der Altonaer Sternwarte wurden die Eintritte folgender Sterne, (mit Ausnahme des mit einem \* bezeichneten, der nur auf 0<sup>5</sup> sicher ist) scharf beobachtet. Die Zeitmomente sind Altonaer m. Z.

|                | Petersen.                 | Clausen.                 | Nehus.                    |
|----------------|---------------------------|--------------------------|---------------------------|
| g Plejadum     | 8 <sup>h</sup> 46' 54" 35 |                          |                           |
| e ———          | 9 0 21,72                 | 9 <sup>h</sup> 0' 22" 14 |                           |
| c ———          | 16 32,35                  | 16 31,79                 | 9 <sup>h</sup> 16' 31" 65 |
| Anonyma (6)    | 22 21,29                  |                          |                           |
| *Anonyma (6.7) | 24 37,72                  |                          |                           |

Von der Hamburger Sternwarte hat Herr Director Rümker mir folgende Beobachtungen mitgetheilt. Die Zeitmomente sind

Hamburger mittlere Zeit.

|   | Rümker.                    | Weyer.                  | Funk.                   |
|---|----------------------------|-------------------------|-------------------------|
| g Plejadum  | E. 8 <sup>h</sup> 47' 4" 5 | 8 <sup>h</sup> 47' 3" 7 | 8 <sup>h</sup> 47' 4" 1 |
| e ———   | A. 9 48 1,5                |                         |                         |
| c ———   | E. 9 0 31,3                | 9 0 30,2                | 9 0 31,6                |
|   | A. 10 18 39,5              |                         | 10 14 23,6              |
| a) Anonyma  | E. 9 22 30,7               | 9 22 30,2               | 9 22 31,1               |
| Anonyma E.  |                            |                         | 9 48 20,1               |
| a) Ist derselbe Stern, der auch in Altona beobachtet wurde. |                            |                         | S.                      |

Schreiben des Herrn Professors Mädlar, Directors der Dorpater Sternwarte, an den Herausgeber.  
Dorpät 1840. Novbr. 13.

Gern hätte ich gewartet, bis ich Ihnen einen irgend erheblichen Beitrag für die A. N. senden konnte, allein die Witterung ist im höchsten Grade ungünstig gewesen. Am 2<sup>ten</sup> Oct. kam ich hier an und am 11<sup>ten</sup> ward mir die Sternwarte übergeben; allein der ganze October und November waren anhaltend trübe. Nur vom 28<sup>ten</sup> Octbr. bis 4<sup>ten</sup> Novbr. konnte ich in theilweis heitern Tagen und Nächten einige Beobachtungen anstellen. Schon am 6<sup>ten</sup> erhielt ich Nachricht von dem in Berlin entdeckten Cometen, doch erst am 20<sup>ten</sup> erlaubte der Himmel ihn aufzusuchen; und kaum war dies gelungen, so trat wieder Trübung ein.

Er erschien als eine nur wenig längliche Nebelmasse von etwa 2 $\frac{1}{2}$  Durchmesser mit einem etwas excentrischen Kerne, und war schon im Sucher des Refractors gut sichtbar. Sollten mehr und bessere Beobachtungen gelingen, so werden Sie dieselben ungesäumt erhalten. Einstweilen setze ich einige Doppelstern-Beobachtungen im Detail her.

| Octbr. 28.           | 14 <sup>h</sup> 10' Stz. | γ Leonis. |
|----------------------|--------------------------|-----------|
| 170° 36'             | 37° 938                  | 38,309    |
| 171 42,5             | 37,927                   | 38,316    |
| 170 33               | 37,936                   | 38,311    |
| 170 57,2             | 0 <sup>h</sup> 1891      |           |
| Parallel = 186 17,0  | Distanz = 3° 397.        |           |
| Position 105° 19' 8. |                          |           |
| Therm. + 5° 0 R.     |                          |           |

| Oct. 29.          | 8 <sup>h</sup> 50' Stz. | Castor.             | 12 <sup>h</sup> 10' Stz. | Castor.          |
|-------------------|-------------------------|---------------------|--------------------------|------------------|
| Dämmerung.        |                         |                     | Heller Tag.              |                  |
| 203° 35'          | 203° 7'                 | 38,345              |                          | 37,690           |
| 204 52            | 203 25                  | 38,358              |                          | 37,683           |
| 205 15            | 204 3                   | 38,353              |                          | 37,686           |
| 203 43            | 203 4                   | 38,364              |                          | 37,679           |
| 204 15            | 204 46                  | 38,353              |                          | 37,680           |
| 203 40            | 203 29                  | 0 <sup>h</sup> 3355 |                          |                  |
| 204 13,3          | 186 16                  | Distanz = 5° 139.   |                          |                  |
| Par. = 186 16     | Pos. = 252° 47'         |                     |                          |                  |
| Pos. = 252 2,7.   | Therm. + 0° 8 R.        |                     |                          |                  |
| Oct. 30.          | 12 <sup>h</sup> 0' Stz. | Castor.             | Nov. 1.                  | 10° 0' Ura. maj. |
| 202 40'           | 37,755                  | 38,382              | 123° 43                  | 37,875 38,205    |
| 204 46            | 37,759                  | 38,397              | 124 26                   | 37,869 38,201    |
| 203 2             | 37,763                  | 38,395              | 123 57                   | 37,864 38,211    |
| 204 10            | 37,769                  | 38,396              | 125 18                   |                  |
| 202 59            | 37,761                  | 38,392              | 124 28                   | 0 1681           |
| 203 31,4          |                         |                     | 124 22                   |                  |
| Par. = 186 16     | 0 <sup>h</sup> 3155     | Par. 186 16,5       |                          |                  |
| Pos. = 252° 44' 6 | Dist. = 4° 833.         | Pos. 151 54,5       |                          |                  |
| Therm. = 1° 5 R.  |                         | Therm. = 2° 9 R.    |                          |                  |

Mädlar.

## Inhalt.

- (zu Nr. 412.) Schreiben des Herrn Professors v. Boguslawski, Directors der Breslauer Sternwarte, an den Herausgeber. p. 49. — Sternbedeckungen beobachtet zu Breslau von 1839 October 29 bis 1840 April 11. p. 51. — Schreiben des Herrn Fr. Fischer an den Herausgeber. p. 53. — The Moon's Right Ascension, Declination and Horizontal Parallax for the time of her transit over the meridian of Altona for the year 1841 with the logarithms of coefficients for facilitating the reduction to other Meridians. (Beschluß.) p. 55. — Briefe des Herrn Dr. Bremker- und Herrn Galle an den Herausgeber. p. 63. — Elemente des Cometen von Herrn Observer Petersen am 3ten November erhalten. p. 53.
- (zu Nr. 413.) Schreiben des Herrn Majors Davis an den Herausgeber. p. 65. — Schreiben des Herrn Rümker, Directors der Hamburger Sternwarte; an den Herausgeber. p. 67. — Schreiben des Herrn Hofraths Schwabe in Dessau, an den Herausgeber. p. 67. — Schreiben des Herrn Professors Encke, Directors der Berliner Sternwarte, an den Herausgeber. p. 69. — Marche du chronomètre Nr. 31 de Haut, marchant un mois, appartenant à Son Excellence l'Amiral de Greigh. p. 69. — Schreiben des Herrn Rümker, Directors der Hamburger Sternwarte, an den Herausgeber. p. 71. — Sternbedeckungen in Nordamerika beobachtet. p. 73. — Jupiterstrahlen-Veränderungen auf der Altonaer Sternwarte beobachtet von Herrn Observer Petersen. p. 77. — Plejadenbedeckung 1840 Dec. 7. p. 79. — Schreiben des Herrn Prof. Mädlar, Director der Dorpater Sternwarte, an den Herausgeber. p. 79.

Altona 1841. Januar 16. (Hiesu vier Kupfertafeln.)

Schreiben des Herrn *Airy*, Directors der Greenwich Sternwarte, an den Herausgeber.

Royal Observatory Greenwich 1840. Decbr. 24.

Dear Sir.

I sent off yesterday, to go by one of the Hamburg steam-boats, a packet containing some copies of the curves representing our observations of the Meridional Magnet at every 5 minutes on the 4 days of the year indicated by Mr. *Gauss*. I have no doubt of the accuracy of these observations for differential results: but they are perhaps not good for absolute determinations of magnetic declination: however this is unimportant for the purpose for which they were made.

Those engravings are to be inserted in the volume of Greenwich Observations for 1839. The whole of this volume is printed, and you will without doubt receive copies in a short time.

I am happy to announce that the Reductions of the Greenwich Observations of Planets from 1750 to 1830 are now very nearly finished. I am now arranging them in the form in which I hope ultimately to print them. I propose that it should consist of the following parts.

An Introduction, containing a description of the methods used through the work.

A Book of Clock Errors, containing the Times of Transit of the Stars used for correcting the Transit-Clock, the Tabular Right Ascensions of the Stars, and the Clock-Error deduced from each. The imperfect transits have been completed from the best intervals of wires that I could procure. The Transits are corrected for the large instrumental errors noted in *Mackelvey's* time. The places of the principal stars have been taken from the Tabular Regiomontane: when it was necessary to use other stars, their places in the *Fundamenta* have been adopted (obtaining the proper motion from comparison with *Piazzi's* or *Pond's* Catalogues, and computing to the second power of precession) and effecting the reduction by means of *Log A, B, C, D*, in the Tabular Regiomontane. As a general rule, three stars are used for each observation of a planet.

A Book of Index Errors, containing the Index Errors of the Iron Quadrant in 1750, 1751, 1752; the Index Errors of the Brass Quadrant in 1824; and the Index Error of *Troughton's* Circle, when one Circle only was used without observations by reflexion. These have been found by correcting the observations by *Ressel's* Refraction and comparing them with the places in the Tabular Regiomontane.

For other observations with the Brass-Quadrant, *Olufsen's* numbers of correction have been used, and my colatitude is applied. For observations with the Two Circle, the zenith points found from reflexion observations are used, and my colatitude is applied. In all cases, three determinations of Index Error or Zenith point are used for each planet, if possible.

A Book of Observed Geocentric Places, containing the Clock time of Transit, the names of the stars used for Clock Error, the Clock Rate employed, the correction for semidiameter, the inferred AR. of Center, the Greenwich Mean Polar Time, the Circle or Quadrant reading, the elements for computing the refraction, the refraction and parallax, the Semidiameter and the inferred *NPD* of center; also the obliquity and the Longitude and Ecliptic Polar Distance computed from the AR. and *NPD*. The principal difficulty has been in selecting Clock Rate. The Semidiameter and Horizontal Parallaxes have sometimes been taken from the Coimbra Ephemeris, sometimes computed from the Log. distances (found in another part of the work) and sometimes from micrometer-measures. The refraction by *Bessels* tables. The obliquity from *Carlini's* Solar Tables.

A Book of Computed Tabular Geocentric Places, containing the Heliocentric Longitude, Latitude, and Distance, of the Sun and the Planet, for the time of observation and for that time increased by  $\frac{1}{10}$  day; also the inferred Geocentric Longitude, Latitude or *EPD*, and distance of the Planet, for the time of observation, for that time increased by  $\frac{1}{10}$  day, and for the time altered by the quantity proper for computing aberration. The Earth's place is computed from *Carlini's* Tables, with no alteration except the introduction of my long equation; the places of Mercury, Venus and Mars from *v. Lindenau's* Tables, introducing my long equation for Venus, and increasing the mass of Jupiter by  $\frac{1}{100}$ th part for Mars; the places of Jupiter, Saturn and Uranus, from *Bouvard's* new Tabula, increasing for the two latter the mass of Jupiter by  $\frac{1}{10}$ th part, and altering the epoch so as to make the effect of the long equation the same for 1840 as in *Bouvard's* Tables.

A Book of Comparison of the observed and computed places in longitude and *EPD*, exhibiting the apparent error of Tables for each observation; then the observations as

grouped and the mean error for the mean of each group is taken; for the *EPD*, the Geocentric Error is converted at once into Heliocentric Error: [for the longitude, the coefficients are investigated which enter into the following equation.

Error of geocentric longitude =  $Ax$  error of earth's radius vector +  $Bx$  error of earth's longitude +  $Cx$  error of planet's radius vector +  $Dx$  error of planets heliocentric longitude.

This last part only is not quite finished.

For the small planets, I shall be much obliged the computation of observed geocentric longitude and *EPD*. In-

deed I am not able to compute these for want of the following distances, which I have not yet found

Distance of Ceres, 1802, 1803, 1804, 1811, 1812, 1814, 1817, 1818, 1821.

Distance of Juno, 1804, Sept. 25 to Nov. 26.

Distance of Vesta, 1807 April 27 to May 20.

If you can send me these distances, or the distances of the planets from the Sun, or the Heliocentric Places in Longitude and *EPD* for these times, I shall be much obliged to you:

G. B. Airy.

Auszug aus einem Schreiben des Herrn Professors *Hansteen*, Directors der Sternwarte in Christiania, an den Herausgeber.  
1840. Decbr. 20.

Ich habe in den letzten 3 Jahren täglich den Barometer- und Thermometerstand auf der hiesigen Sternwarte um  $2^h, 4^h, 10^h, 19^h, 21^h$  beobachtet und zuletzt auch um  $0^h$  und  $7^h$ . Mein Barometer ist ein *Piastorsches* Heber-Barometer von 6 Linien innerer Oeffnung mit Microscopen. Wenn ich die Barometerhöhen nach der bekannten periodischen Reihe

$$\beta = \mu + a \cdot \sin(a + t) + x \cdot \sin(a + 2t)$$

(wo  $\mu$  der mittlere Barometerstand und  $t$  der Stundenwinkel der Sonne ist) berechne, so finde ich, daß hier unter dem  $60^{ten}$  Breiten-Grade das Barometer in 8 Monaten, wie gewöhnlich, 2 tägliche Maxima und 2 tägliche Minima hat, daß aber in den 4 Sommermonaten das nächtliche Minimum verschwindet, weil beide Maxima in der kurzen Nacht von 5 bis 6 Stunden zusammenfallen. Aus *Lohmanns* 10jährigen Beob. in Dresden erhellt, daß beide Minima dort noch das ganze Jahr hindurch statt finden. Das eine Minimum muß also in einer größeren Breite verschwinden, z. B. in Copenhagen, was ganz interessant zu untersuchen wäre. Das Minimum, welches bei Tage eintrifft, ist dagegen

hier in Christiania so wenig unter dem Maximum, daß man mit großer Wahrscheinlichkeit annehmen darf, daß es näher an dem Polarkreise Breiten giebt, wo es ganz verschwindet, und wo demnach beide Maxima des Nachmittags zusammen fallen, ebenso wie sie im Sommer in der Nacht zusammenfallen. Es kann auf den ersten Anblick befremden, daß das Maximum des Nachmittags eintrifft, also zu einer Zeit, wo sonst das Minimum statt zu haben pflegt, aber nach dem vorhergehenden ist alles in der Ordnung.

Die mittlere Barometerhöhe hier in Christiania ergibt alch, nachdem alle Reductionen, selbst die wegen der größeren Intensität der Schwere hier, angebracht sind, sowohl aus diesen als aus anderen Beob., auch aus Beob. Anderer mit anderen Instrumenten, etwa 1 Linie kleiner als in Paris. Die mittlere Temperatur hier finde ich aus 6jährigen Beob. (in 1827 und 1828 ward das Thermometer jede Stunde Tag und Nacht hindurch auf zwei Wachhäusern abgelesen) etwa  $\frac{3}{4}$  Grad tiefer als man gewöhnlich annimmt.

*Hansteen*.

Auszug aus einem Schreiben des Herrn *Santini*, Directors der Sternwarte in Padua, an den Herausgeber.  
Padova 1840. Decbr. 8.

Ritornando ora alla Cometa, ricevutone appena l'avviso cominciai a ricercarla in sere imperfettamente serene; ma parte per il chiaro di Luna, parte per lo stato torbido dell' Atmosfera non mi riuscì di incontrarla, che alla sera del giorno 22 di Novembre. Essa era sommarmente debole, difficile ad osservarsi, non presentando Paspetto che di un semplice ammasso di vapori deholmente illuminato. Le poche osservazioni,

che ho potuto farne siestendono fino al 27 di Novembre, alla quale epoca dovetti trasportarmi a Venezia per alcuni giorni; ora i vapori di questa stagione, ed il chiaro di Luna non mi lasciano sperare di poterla più osservare. Le seguenti osservazioni sono fatte alla Machina paralattica con il micrometro a spranghe metalliche, che si adopera senza illuminazione del Campo.

| 1840.       | T. Medio in<br>Padova.           | AR. app. di<br>Cometa.                 | Declin. bor.<br>di Cometa. | Osserv.        | Stelle die confronto. |
|-------------|----------------------------------|--|----------------------------|----------------|-----------------------|
| Novembre 23 | 9 <sup>h</sup> 3' 6 <sup>s</sup> | 21 <sup>h</sup> 40' 12 <sup>s</sup> 78 | 55° 54' 37 <sup>s</sup> 1  | <i>Santini</i> | 385. XXI Piazzi.      |
| 24          | 7 26 8,1                         | 21 47 24,58                            | 55 25 1,8                  | <i>Santini</i> | 378 — 385. XXI.       |
| —           | 7 61 5,4                         | 21 47 31,92                            | 55 24 31,8                 | <i>Santini</i> | —                     |
| 25          | 7 1 33,4                         | 21 54 57,55                            | 54 51 45,1                 | <i>Santini</i> | 54 — 92. XXI. P.      |
| —           | 7 32 4,9                         | 21 55 4,13                             | 54 50 47,1                 | <i>Santini</i> | —                     |
| —           | 8 5 56,2                         | 21 55 6,19                             | 54 49 4,1                  | <i>Conti</i>   | —                     |

| 1840.       | T. Medio in Padova.     | AR. app. di Cometa.       | Declin. bor. di Cometa. | Osserv.         | Stelle di confronto. |
|-------------|-------------------------|---------------------------|-------------------------|-----------------|----------------------|
| Novembre 26 | 7 <sup>h</sup> 13' 13.7 | 22 <sup>h</sup> 2' 35".76 | 54° 15' 23".4           | <i>Santini.</i> | 54—92. XXII. P.      |
| —           | 7 36 40,5               | 22 2 41,47                | 54 15 9,5               | <i>Santini.</i> | —                    |
| —           | 7 58 32,0               | 22 2 43,06                | 54 14 6,5               | <i>Conti.</i>   | —                    |
| 27          | 7 33 31,0               | 22 10 12,29               | 53 36 56,0              | <i>Santini.</i> | 92—137. XXII. P.     |
| —           | 7 56 38,6               | 22 10 16,95               | 53 35 40,8              | <i>Conti.</i>   | —                    |
| —           | 8 8 34,7                | 22 10 26,32               | 53 36 23,8              | <i>Santini.</i> | —                    |

Dietro i dati delle osservazioni, del giorno 28 Ottobre fatta in Berlino dal Sig<sup>r</sup> Dr. *Galle* trasmissi da V. S., del giorno 12 Novembre fatta in Vienna, e riferiti nella Gazzetta di Vienna del giorno 14, e dal medio delle due superiori posizioni del giorno 24 Novembre, ho tentato di determinarne l'orbita parabolica, seguendo il comodissimo metodo di *Olbers*, dietro le tracce esposte nella mia Astronomia.

Facendo uso di tavole a cinque cifre, ho ottenuto i seguenti risultati, che rappresentano le posizioni fondamentali entro gli errori probabili delle osservazioni.

Passaggio al perielio 1840 a giorni 320,24525 T. M. in Berlino.

Longitudine del perielio . . . 23° 42'  
del Nodo . . . 248 47,7

Inclinazione . . . . . 58 5,05; moto diretto.

Log. di distanza perielia = 0.16984; dist. perielia = 1,4786.

Le posizioni estreme, essendo per lo spirito stesso del me-

todo, esattamente rappresentato dagli elementi, si allontanano casi da quella di mezzo nel modo seguente.

Longitudine calcolata = 352° 5'4; Latit. calcol. = 73° 37'0

osservata = 352 10,9 osserv. = 72 34,4

Diff. + 5'5 — 2,6

Quindi la distanza nella sfera del luogo osservato dal calcolato è = 2'9 circa. Avvertiro, che nella riduzione delle osservazioni, non si è avuto riguardo alla paralasse, ma bensì alla rifrazione.

Abbiamo qui potuto osservare eziandio la seconda Cometa scoperta verso il principio dell' anno dal Sig<sup>r</sup> *Galle*, è di cui ci favori la notizia con apposita circolare. Le osservazioni si estendono dal 22 di febbrajo sino al 29 di Marzo, fatte per la massima parte dal mio Collega Sig<sup>r</sup> Dr. *Carlo Conti*, che mi prenderò la libertà di inviarle in altra occasione.

*Giovanni Santini.*

Schreiben des Herrn *Koller*, Directors der Sternwarte in Kremsmünster, an den Herausgeber.

Kremsmünster 1840. Decbr. 11.

Meinen verbindlichsten Dank für Ihre gütige Mittheilung der Entdeckung eines neuen Cometen durch Herrn Dr. *Brenicker*. Der Adjunct der hiesigen Sternwarte, *A. Reschhuber*, fand ihn am ersten Abende, wo der spätere Aufgang des Mondes es erlaubte, nämlich am 12<sup>ten</sup> Novbr. auf, und übernahm die Beobachtungen desselben.

| 1840    | Mittl. Kremsm. Zeit.      | AR. adp. Com.              | Nördl. Decl. des Cometen. | Vergl. Sterne. |
|---------|---------------------------|----------------------------|---------------------------|----------------|
| Nov. 12 | 6 <sup>h</sup> 51' 26".79 | 20 <sup>h</sup> 15' 42".77 | 59° 50' 6.0               | α Cygni.       |
| 13      | 6 16 40,78                | 20 22 44,77                | 59 37 23,4                | α Cygni.       |
|         |                           | 42,41                      | 26,1                      | α Cephei.      |
| 17      | 6 24 47,00                | 20 52 46,19                | 58 31 27,2                | α Cephei.      |
|         |                           | 47,76                      | 38,6                      | α Cygni.       |
|         |                           | 48,00                      | 8,2                       | 06.7 Gr.       |
| 18      | 6 40 31,71                | 21 0 34,91                 | 58 10 31,4                | α Cephei.      |
|         |                           | 34,44                      | 18,0                      | α Cephei.      |
|         |                           | 34,58                      | 10,2                      | α Cephei.      |
| 19      | 6 16 22,83                | 21 8 14,43                 | 57 48 20,4                | α Cephei.      |
|         |                           | 15,43                      | 0,8                       | α Cephei.      |
| 21      | 6 52 47,97                | 21 23 58,44                | 56 56 51,9                | α Cephei.      |
|         |                           | 56,22                      | 58,0                      | 194 Cph.       |
|         |                           | 60,49                      | 5 3,8                     | 13 Her.        |

| 1840     | Mittl. Kremsm. Zeit.     | AR. adp. Com.              | Nördl. Decl. des Cometen. | Vergl. Sterne. |
|----------|--------------------------|----------------------------|---------------------------|----------------|
| Nov. 25  | 6 <sup>h</sup> 22' 6".14 | 21 <sup>h</sup> 54' 37".27 | 54° 52' 37.0              | α Cephei.      |
| 26       | 6 18 13,50               | 22 2 20,53                 | 54 16 31,2                | α Cephei.      |
|          |                          | 17,11                      | 36,9                      | α Cephei.      |
|          |                          | 16,88                      | 38,0                      | α Cephei.      |
| 27       | 6 32 27,65               | 22 8 48,58                 | 53 38 57,1                | α Cephei.      |
|          |                          | 49,72                      | 57,4                      | α Cephei.      |
|          |                          | 50,86                      | 56,1                      | α Cephei.      |
| 28       | 6 38 11,76               | 22 17 20,33                | 52 59 35,2                | α Cephei.      |
|          |                          | 19,50                      | 34,6                      | α Cephei.      |
|          |                          | 20,98                      | 37,7                      | α Lacert.      |
|          |                          | 17,88                      | 35,2                      | α Cephei.      |
| 29       | 9 2 27,18                | 22 25 29,78                | 52 13 54,2                | α Cephei.      |
|          |                          | 28,84                      | 58,6                      | α Lacert.      |
| Decbr. 4 | 7 8 10,10                | 23 5 16,10                 | 48 12 4,3                 | α Cassiop.     |
|          |                          | 16,44                      | —                         | 8 Andr.        |

Die scheinbaren Positionen der Fundamentalsterne wurden aus *Encke's* Jahrbuch, die übrigen aus *Piazzi* genommen; der Stern 6.7 Gr., der am 17<sup>ten</sup> Novbr. als Vergleichstern diente, wurde am Meridiankreise bestimmt. Die Beobachtung von Nov. 25 wurde durch Nebel unterbrochen. Am 4<sup>ten</sup> Dec. stand

6\*

der Comet nahe am Horizonte, wurde durch die an selbem lagernde Nebelschicht sehr geschwächt, daher seine Pöitrung sehr schwierig. Aus den Beobachtungen von Nov. 13, 17 und 21 suchte ich seine parabolischen Elemente und fand:

Durchgangszeit: 1840 Nov. 13, 8<sup>h</sup> 64<sup>m</sup> 5<sup>s</sup> m. Z. K.

$$\begin{aligned} \pi & \dots\dots\dots 22^{\circ} 21' 18'' \\ \delta & \dots\dots\dots 248 40 10 \\ l & \dots\dots\dots 58 16 31 \\ \log q & \dots\dots\dots 0,17226 \end{aligned}$$

Direct.

Ich kann diese Elemente nur als genähert betrachten, da aus ihnen die mittlere Beobachtung gerechnet, die Länge um 96<sup>h</sup> 7 grösser und die Breite 16<sup>h</sup> 1 kleiner giebt, als sie beobachtet wurde. Zugleich nehme ich mir die Freiheit, Ihnen die Beobachtungen des 2<sup>ten</sup> und 3<sup>ten</sup> Gallischen Cometen zu übersenden, die ich am biesigen Aequatorale gemacht habe.

Beobachtungen des 2<sup>ten</sup> Gallischen Cometen.

| 1840     | Mittl. Kreussm. Zeit.                  | AR. adp. Com.          | Decl. adp. Com.         | Vergleichstern.   |
|----------|--|------------------------|-------------------------|-------------------|
| Febr. 11 | 17 <sup>h</sup> 40' 19 <sup>s</sup> 03 | 23 <sup>h</sup> 48' 11 | +51 <sup>h</sup> 39' 41 | $\alpha$ Cassiop. |
| 12       | 7 17 34,47                             | 23 52 19,43            | 51 5 4,9                | $\alpha$ Cassiop. |
|          | 16 33 35,85                            | 23 55 8,93             | 50 41 38,6              | $\alpha$ Cassiop. |
|          | 17 30 24,47                            | 23 55 20,56            | 50 38 32,9              | $\alpha$ Cassiop. |
| 22       | 7 17 2,92                              | 0 48 50,56             | 41 8 47,9               | $\alpha$ Cassiop. |
| 23       | 7 10 6,70                              | 0 53 6,03              | 40 13 52,2              | $\alpha$ Cassiop. |
|          |  | 7,41                   | 54,0                    | $\alpha$ Cassiop. |
| 24       | 7 29 14,66                             | 0 57 10,97             | 39 18 29,2              | $\alpha$ Cassiop. |
|          |  | 12,75                  | 38,1                    | $\alpha$ Androm.  |
| 26       | 7 23 14,86                             | 1 4 44,05              | 37 32 58,8              | $\alpha$ Androm.  |
|          |  | 43,11                  | 61,5                    | $\alpha$ Androm.  |
|          |  | 43,89                  | 73,0                    | $\tau$ Androm.    |
| 27       | 7 28 4,18                              | 1 8 13,89              | 36 41 28,7              | $\alpha$ Androm.  |
|          |  | 18,03                  | 34,9                    | $\alpha$ Cassiop. |
|          |  | 15,38                  | 37,1                    | $\tau$ Androm.    |
| 28       | 7 45 54,65                             | 1 11 41,15             | 35 50 27,4              | $\alpha$ Androm.  |
|          |  | 42,50                  | 33,4                    | $\alpha$ Arietis. |
|          |  | 40,89                  | 33,2                    | $\beta$ Androm.   |
| 29       | 7 17 17,21                             | 1 14 53,06             | 35 2 31,7               | $\alpha$ Androm.  |
|          |  | 52,78                  | 41,1                    | $\beta$ Androm.   |
| März 1   | 7 47 55,10                             | 1 18 4,42              | 34 12 28,0              | $\alpha$ Androm.  |
|          |  | 5,06                   | 25,1                    | $\alpha$ Arietis. |
|          |  | 5,06                   | 33,0                    | $\beta$ Androm.   |
| 2        | 7 41 8,25                              | 1 21 4,58              | 33 26 34,2              | $\alpha$ Arietis. |
|          |  | 4,73                   | 27,7                    | $\alpha$ Androm.  |
|          |  | 5,08                   | 30,1                    | $\beta$ Androm.   |
| 3        | 7 35 59,75                             | 1 23 58,78             | 32 40 25,7              | $\alpha$ Androm.  |
|          |  | 59,34                  | 25,0                    | $\alpha$ Aurige.  |
| 4        | 7 47 8,72                              | 1 26 50,69             | 31 54 68,5              | $\alpha$ Arietis. |
|          |  | 50,10                  | 45,7                    | $\alpha$ Androm.  |
|          |  | 49,45                  | 62,6                    | $\beta$ Androm.   |
| 5        | 7 31 37,42                             | 1 29 28,11             | 31 11 20,5              | $\alpha$ Arietis. |
|          |  | 27,67                  | 7,3                     | $\alpha$ Androm.  |
|          |  | 28,99                  | 29,8                    | $\beta$ Androm.   |

| 1840    | Mittl. Kreussm. Zeit.                 | AR. adp. Com.                        | Decl. adp. Com.                       | Vergleichstern.   |
|---------|---------------------------------------|--------------------------------------|---------------------------------------|-------------------|
| März 6  | 7 <sup>h</sup> 40' 38 <sup>s</sup> 96 | 1 <sup>h</sup> 32' 5 <sup>s</sup> 64 | +30 <sup>h</sup> 28' 9 <sup>s</sup> 8 | $\alpha$ Androm.  |
|         |                                       | 6,95                                 | 12,0                                  | $\beta$ Androm.   |
|         |                                       | 7,79                                 | 9,7                                   | $\alpha$ Arietis. |
|         |                                       | 7,30                                 | 11,6                                  | $\alpha$ Triang.  |
| 7       | 7 43 38,75                            | 1 34 35,76                           | 29 45 53,7                            | $\alpha$ Androm.  |
|         |                                       | 36,40                                | 68,6                                  | $\beta$ Androm.   |
|         |                                       | 37,12                                | 45,6                                  | $\alpha$ Triang.  |
|         |                                       | 36,88                                | 59,3                                  | $\alpha$ Arietis. |
| 8       | 7 43 13,77                            | 1 37 7,52                            | 29 4 58,1                             | $\alpha$ Triang.  |
|         |                                       | 7,57                                 | 56,9                                  | $\alpha$ Arietis. |
|         |                                       | 7,54                                 | 69,0                                  | $\beta$ Androm.   |
| 9       | 7 48 14,97                            | 1 39 32,16                           | 28 24 16,0                            | $\alpha$ Arietis. |
|         |                                       | 32,61                                | 11,4                                  | $\alpha$ Triang.  |
| 20      | 7 58 51,07                            | 2 1 50,44                            | 21 54 19,7                            | $\alpha$ Tauri.   |
| 23      | 8 1 23,73                             | 2 6 59,07                            | 20 22 34,5                            | $\alpha$ Arietis. |
|         |                                       | 60,05                                | 39,8                                  | $\alpha$ Tauri.   |
| 25      | 7 44 2,57                             | 2 10 14,99                           | 19 23 49,1                            | $\alpha$ Orionis. |
|         |                                       | 17,34                                | 35,7                                  | $\alpha$ Tauri.   |
| 8       | 7 17,25                               | 2 10 14,46                           | — — —                                 | $\alpha$ Orionis. |
|         |                                       | 16,89                                | — — —                                 | $\alpha$ Tauri.   |
| 8       | 18 30,66                              | 2 10 16,77                           | 19 23 23,3                            | $\alpha$ Orionis. |
|         |                                       | 19,22                                | 8,9                                   | $\alpha$ Tauri.   |
| 27      | 7 55 3,54                             | 2 13 24,76                           | 18 26 48,2                            | $\alpha$ Arietis. |
|         |                                       | 24,72                                | 65,5                                  | $\alpha$ Tauri.   |
| 31      | 8 11 38,01                            | 2 19 25,95                           | 16 39 26,1                            | $\alpha$ Arietis. |
|         |                                       | 25,17                                | 14,4                                  | $\alpha$ Tauri.   |
| April 1 | 8 16 23,05                            | 2 20 50,37                           | 16 13 23,7                            | $\alpha$ Arietis. |
|         |                                       | 49,06                                | 10,2                                  | $\alpha$ Tauri.   |

Aus den Beobachtungen von Febr. 23, März 1 und 9 wurden folgende parabolischen Elemente des Cometen gefunden:

Zeit des Durchgangs 1840 März 12, 47744 m. Z. K.

$$\begin{aligned} \pi & \dots\dots\dots 80^{\circ} 49' 17'' \\ \delta & \dots\dots\dots 236 42 42,9 \\ l & \dots\dots\dots 59 0 57,0 \\ \log q & \dots\dots\dots 0,08686. \end{aligned}$$

Retrograd.

Diese Elemente gehen für die Zeit der mittleren Beobachtung die Länge um 43<sup>h</sup> 4 und die Breite um 4<sup>h</sup> 2 zu groß.

Den dritten von Herrn Galle am 6<sup>ten</sup> März entdeckten Cometen sah ich nur zweimal, am 23<sup>ten</sup> und 26<sup>ten</sup> März. Trübe Witterung des Morgens vereitelte alles frühere Auffinden desselben. Am 23<sup>ten</sup> konnte ich nur eine geäußerte Position desselben erhalten; ich fand nämlich um 16<sup>h</sup> 28' 45" Sternzeit seine

$$AR = 23^{\circ} 10' 43''$$

$$Decl = +29^{\circ} 53' 4''$$

Eine vollständige Beobachtung gelang mir am 26:

| Sternzeit.                             | AR Com.                                | Decl. Com.                             | Vergl. Stern. a Pag. |
|--|--|--|----------------------|
| 16 <sup>h</sup> 38' 35 <sup>s</sup> 63 | 23 <sup>h</sup> 27' 10 <sup>s</sup> 22 | +22 <sup>h</sup> 21' 46 <sup>s</sup> 8 | $\alpha$ Androm.     |
|  | 9,55                                   | 28,2                                   |                      |

M. Koller.



Schreiben des Herrn *Bianchi*, Directors der Sternwarte in Modena, an den Herausgeber.

Modène 1840. Decr. 22.

Après mes lettres du 23 Juillet, 12 Septembre et 26 Octobre de l'année ci-devant, que vous avez eu la bonté de publier dans votre Journal (Nr. 383. 406. 407) je n'ai pas oublié mes promesses d'en poursuivre le sujet, c'est-à-dire de reprendre à l'opportunité les recherches et la détermination des réfractions relatives: c'est pour cette raison que je profitai, or il y a un an, de deux nuits en Décembre les plus belles et favorables à la double observation méridienne des étoiles circumpolaires, qui me servent à comparer les réfractions aux mêmes hauteurs et avec l'intervalle de douze heures. Je ne songeai pas cette fois à prier de leurs observations correspondantes les astronomes de Milan, de Padoue et de Palerme, parce-que dans ce genre de questions si on ne peut pas combiner à recueillir une longue suite d'observations simultanées on n'en saurait il peut-être fonder aucun résultat sûr et décisif, et d'ailleurs,

pour une première indication des phénomènes, il me parut que les comparaisons des quantités de réfraction déjà obtenues en même tems et en des lieux différents, et qui viennent d'avoir été publiées, étaient plus que suffisantes à ce but. Au lieu de cela, et même pour y suppléer je tachai de multiplier les points de mes observations, ou les étoiles observées dans le méridien au dessus et au dessous du pôle; et je crus d'y réussir à l'aide des sept-étoiles du chariot ou de la grande Ourse, avec leurs opposées de Cassiopée, que j'avais bien remarquées au paravant. C'est ainsi qu'en vous adressant ici le résultat de cette dernière opération je m'en acquitte avec vous de ma parole, ou de la tâche que je m'imposai moi-même à la fin de ma lettre 23 Juillet (A. N. Nr. 383. p. 382), de vouloir bien tirer les réfractions relatives par chacune des sept étoiles de la Grande-Ourse. Voici pourtant le cadre de ces observations.

S o i r.

| 1839<br>Jours. | Etoiles.                             | Haut. Nord par<br>la moy. de<br>quatre vern. | Niveau<br>du cercle. | Baro-<br>mètre. | Thermomètre<br>R. | Hauteur<br>corrigée<br>du niveau. | Réfraction<br>de la table<br>Cassini. | Hauteur vraie<br>instrumentale. | Declinaison<br>des étoiles. |
|----------------|--------------------------------------|--|----------------------|-----------------|-------------------|-----------------------------------|---------------------------------------|---------------------------------|-----------------------------|
|                |                                      |  |                      |                 | Intér.            | Extér.                            |                                       |                                 |                             |
| Decem. 17      | $\alpha$ Ourse                       | 17° 18' 28.25                                | -3° 84               | 27.10           | +5°6              | +5°9                              | 17° 18' 24.41                         | -3° 6'39                        | 62° 36' 32.80               |
|                | $\gamma$ Cassiop. de 6 <sup>me</sup> | 71 52 43.50                                  | -0.84                | .....           | .....             | .....                             | 71 52 42.66                           | -0 19.21                        | 62 46 21.77                 |
|                | therm. à Et. de 8.9                  | 41 9 29.25                                   | -2.64                | .....           | .....             | .....                             | 41 9 26.61                            | -1 7.08                         | 86 29 34.31                 |
|                | Pair libre +4°6 R.                   | 48 13 51.25                                  | -1.68                | .....           | .....             | .....                             | 48 13 49.57                           | -0 52.40                        | 86 25 48.05                 |
|                | $\gamma$ Ourse                       | 9 19 18.50                                   | -3.96                | .....           | .....             | .....                             | 9 19 14.54                            | -5 44.41                        | 54 34 44.91                 |
|                | $\sigma$ Cassiop.                    | 79 46 49.00                                  | -0.12                | .....           | .....             | .....                             | 79 46 48.88                           | -0 10.58                        | 54 52 6.92                  |
|                | $\beta$ Cassiop.                     | 76 22 41.00                                  | +0.24                | .....           | .....             | .....                             | 76 22 41.24                           | -0 14.22                        | 58 16 18.20                 |
|                | $\delta$ Ourse                       | 12 38 4.50                                   | -3.60                | .....           | .....             | .....                             | 12 38 3.90                            | -4 17.04                        | 57 55 1.64                  |
|                | $\eta$ Cassiop.                      | 77 40 48.00                                  | +1.56                | .....           | .....             | .....                             | 77 40 49.56                           | -0 12.84                        | 56 58 8.50                  |
|                | $\alpha$ Ourse                       | 11 32 54.75                                  | -3.36                | 27 10.3         | +5,7              | +5,7                              | 11 32 51.39                           | -4 40.89                        | 56 49 25.26                 |
|                | $\alpha$ Phénicia                    | 177 33 18.50                                 | +2.40                | 27 10.3         | +5,7              | +5,9                              | 177 33 20.90                          | +16 35.81                       | 47 41 11,49A                |
|                | Polaire                              | 46 12 0.50                                   | -1.20                | .....           | .....             | .....                             | 46 11 59.30                           | -0 56.37                        | 88 27 42.29                 |
| Decem. 30      | $\beta$ Ourse                        | 11 57 28.09                                  | -8.40                | .....           | .....             | .....                             | 11 57 14.60                           | -4 34.61                        | 57 13 54.77                 |
|                | $\gamma$ Cassiop. de 6 <sup>me</sup> | 76 56 30.75                                  | -3.72                | 28 2,7          | +5,8              | +6,0                              | 76 56 27.03                           | -0 13.80                        | 57 42 31.99                 |
|                | therm. à $\gamma$ Ourse              | 9 19 21.25                                   | -6.96                | .....           | .....             | .....                             | 9 19 14.29                            | -5 49.13                        | 54 34 39.94                 |
|                | Pair libre +4°8 R.                   | 79 46 46.50                                  | -3.36                | .....           | .....             | .....                             | 79 46 43.14                           | -0 13.50                        | 54 52 15.58                 |
|                | $\beta$ Cassiop.                     | 76 22 40.50                                  | -3.12                | .....           | .....             | .....                             | 76 22 37.38                           | -0 14.42                        | 57 46 29.64                 |
|                | $\delta$ Ourse                       | 12 38 6.50                                   | -6.64                | 28 2,8          | +5,7              | +5,9                              | 12 37 59.66                           | -4 20.24                        | 57 54 64.20                 |
|                | $\eta$ Cassiop.                      | 77 40 44.50                                  | -1.92                | .....           | .....             | .....                             | 77 40 42.58                           | -0 13.00                        | 56 58 15.64                 |
|                | $\alpha$ Ourse                       | 11 32 55.50                                  | -6.48                | .....           | .....             | .....                             | 11 32 49.02                           | -4 44.35                        | 56 49 19.45                 |
|                | $\gamma$ Cassiop. 7.8                | 78 51 25.00                                  | -1.92                | .....           | .....             | .....                             | 78 51 23.08                           | -0 11.73                        | 57 45 37.87                 |
|                | $\gamma$ Ourse prec.                 | 10 29 24.75                                  | -6.48                | .....           | .....             | .....                             | 10 29 18.27                           | -5 12.16                        | 56 45 20.89                 |
|                | $\phi$ Androm.                       | 84 45 43.25                                  | -1.92                | .....           | .....             | .....                             | 84 45 41.33                           | -0 5.29                         | 84 45 36.04                 |
|                | $\alpha$ Ourse                       | 4 55 31.25                                   | -6.60                | 28 2,9          | +5,6              | +5,6                              | 4 55 24.65                            | -10 16.96                       | 54 5 7.69                   |
|                | $\alpha$ Phénicia                    | 177 32 54.00                                 | -1.80                | 28 2,8          | +5,7              | +6,0                              | 177 32 52.70                          | +16 45.10                       | 43 10 52.58A                |
|                | Polaire                              | 46 11 55.00                                  | -4.08                | .....           | .....             | .....                             | 46 11 50.92                           | -0 57.05                        | 88 27 51.35                 |

M a t i n.

|           |                        |             |       |         |       |       |             |          |             |
|-----------|------------------------|-------------|-------|---------|-------|-------|-------------|----------|-------------|
| Decem. 17 | $\alpha$ Ourse         | 72 2 31.00  | +2.52 | .....   | ..... | ..... | 72 2 33.52  | -0 19.13 | 62 35 30.83 |
|           | $\gamma$ Cassiop.      | 17 28 16.50 | -0.36 | 27 10,3 | +4,7  | +4,9  | 17 28 16.14 | -3 5.59  | 62 46 25.33 |
|           | Therm. à Et. de 8.9    | 48 10 1.75  | +0.72 | .....   | ..... | ..... | 48 10 2.47  | -0 52.81 | 86 29 35.56 |
|           | Pair libre de 6.7.     | 41 5 40.75  | +0.48 | .....   | ..... | ..... | 41 5 41.23  | -1 7.61  | 86 25 48.40 |
|           | +1°9 R. $\gamma$ Ourse | 80 4 7.50   | +3.00 | .....   | ..... | ..... | 80 4 10.50  | -0 10.33 | 80 4 0,17   |

| 1839<br>Jours.               | Etoiles.          | Haut. Nord par<br>la moy. de<br>quatre vern. | Niveau<br>du<br>cercle. | Baro-<br>mètre. | Thermomètre<br>R. |       | Hauteur<br>corrigée<br>du niveau. | Réfraction<br>de la table<br>Carlini. | Hauteur vraie<br>instrumentale. | Déclinaison<br>des étoiles. |
|------------------------------|-------------------|--|-------------------------|-----------------|-------------------|-------|-----------------------------------|---------------------------------------|---------------------------------|-----------------------------|
| Decem. 17                    | $\sigma$ Cassiop. | 9° 36' 33" 50                                | -1,56                   | .....           | Intér.            | Extr. | 9° 36' 31" 94                     | -5° 36' 51                            | 9° 30' 55" 43                   | 54° 52' 10" 21              |
|                              | $\beta$ Cassiop.  | 12 59 19,25                                  | -1,68                   | .....           | .....             | ..... | 12 59 17,57                       | -4 10,95                              | 12 55 6,62                      | 58 16 21,40                 |
| Hygr. de<br>Sausa.           | $\delta$ Ourse    | 76 43 52,75                                  | +1,92                   | .....           | .....             | ..... | 76 43 54,67                       | 0 13,91                               | 76 43 40,76                     | 57 55 4,46                  |
| 74,5.                        | $\gamma$ Cassiop. | 11 41 40,00                                  | -1,68                   | .....           | .....             | ..... | 11 41 38,34                       | 4 38,38                               | 11 36 59,96                     | 56 58 14,74                 |
|                              | $\epsilon$ Ourse  | 77 49 26,50                                  | +3,12                   | 27° 10' 3       | +4° 5             | +4° 9 | 77 49 29,62                       | 0 12,73                               | 77 49 16,89                     | 56 49 28,33                 |
|                              | $\alpha$ Centaur. | 172 40 25,75                                 | +4,68                   | 27 10,3         | +4,6              | +4,9  | 172 40 30,43                      | +7 13,87                              | 172 47 44,30                    | 38 8 59,98 A                |
|                              | $\mu$ Polaire     | 43 - 7 32,50                                 | +0,24                   | 27 10,3         | +4,5              | +4,8  | 43 7 32,74                        | -1 2,96                               | 43 6 29,78                      | 88 27 44,56                 |
| Decem. 30                    | $\beta$ Ourse     | 77 24 38,75                                  | -0,84                   | .....           | .....             | ..... | 77 24 57,91                       | -0 13,33                              | 77 24 44,58                     | 57 14 0,64                  |
| Therm. à                     | $\alpha$ Cassiop. | 12 25 49,25                                  | -4,44                   | 28 3 0          | +5,1              | +5,3  | 12 25 44,81                       | -4 23,35                              | 12 21 19,46                     | 57 42 34,24                 |
| l'air libre                  | $\gamma$ Ourse    | 80 4 14,50                                   | -0,84                   | .....           | .....             | ..... | 80 4 13,66                        | 0 10,46                               | 80 4 3,20                       | 54 34 42,02                 |
| +13 R.                       | $\sigma$ Cassiop. | 9 36 44,50                                   | -4,44                   | 28 3,0          | +4,8              | +4,9  | 9 36 40,06                        | 5 40,59                               | 9 30 59,47                      | 54 52 14,25                 |
| Hygrom.                      | $\beta$ Cassiop.  | 12 59 30,00                                  | -5,04                   | .....           | .....             | ..... | 12 59 24,96                       | -4 14,44                              | 12 55 10,52                     | 58 16 25,30                 |
| de Sausa.                    | $\delta$ Ourse    | 76 44 1,00                                   | -1,32                   | .....           | .....             | ..... | 76 43 59,68                       | 0 14,11                               | 76 43 45,57                     | 57 54 59,65                 |
| 81,0.                        | $\gamma$ Cassiop. | 11 41 50,25                                  | -5,28                   | .....           | .....             | ..... | 11 41 44,97                       | 4 42,29                               | 11 37 2,68                      | 56 58 17,46                 |
| l'air, quel.                 | $\epsilon$ Ourse  | 77 49 35,25                                  | -0,60                   | .....           | .....             | ..... | 77 49 34,65                       | 0 12,91                               | 77 49 21,74                     | 56 49 23,48                 |
| est très hu-<br>mide et on a | $\alpha$ Cassiop. | 10 31 38,75                                  | -5,28                   | .....           | .....             | ..... | 10 31 33,47                       | 5 12,69                               | 10 26 20,78                     | 55 47 35,56                 |
| par la plu-<br>viomètre      | $\gamma$ Androm.  | 78 53 34,75                                  | -1,44                   | .....           | .....             | ..... | 78 53 33,31                       | 0 11,75                               | 78 53 21,56                     | 55 45 23,66                 |
| 10pouces                     | $\gamma$ Ourse    | 4 42 45,25                                   | -5,76                   | .....           | .....             | ..... | 4 42 39,49                        | -10 41,09                             | 4 31 58,40                      | 49 53 13,18                 |
| d'eau.                       | $\mu$ Centaur.    | 84 32 24,25                                  | -0,96                   | 28 2,8          | +4,6              | +4,9  | 84 32 23,29                       | 0 5,69                                | 84 32 17,60                     | 50 6 27,62                  |
|                              | $\mu$ Polaire     | 172 40 30,25                                 | +0,12                   | 28 2,8          | +4,7              | +4,7  | 172 40 30,37                      | +7 20,22                              | 172 47 50,59                    | 38 9 5,37 A                 |
|                              |                   | 43 7 42,00                                   | -300                    | .....           | .....             | ..... | 43 7 39,00                        | -1 3,87                               | 43 6 35,13                      | 88 27 49,91                 |

La hauteur du pôle sur le cercle, que j'ai employée pour tirer des hauteurs vraies des étoiles leurs déclinaison est  $44^{\circ} 36' 45'' 22$  et résulte par la moyenne demi-somme des hauteurs inférieures et supérieures de la polaire et des deux autres étoiles près du pôle observées le 17 Décembre et que j'ai reportées dans le tableau ci-dessus. Et on peut voir aisément que les quatre valeurs de cette demi-somme s'accordent assez bien entr'elles. J'ai jugé même à propos de rapporter ici à côté des observations et sous la date respective du jour le degré du thermomètre à l'air libre aussi que celui de l'hygromètre, pour en mettre sous les yeux toutes les circonstances qui peuvent influer sur les différences des réfractions. On voit en effet que

la hauteur du baromètre a été très-différente du 17 au 30 Décembre, et que l'hygromètre ne fit qu'un très-petit mouvement en montant du soir au matin du jour 17, tandis au contraire qu'il changea beaucoup en descendant du soir au matin du 30; ce qui pourrait bien produire une variation dans les résultats que nous cherchons. Maintenant par la comparaison des hauteurs inférieures des étoiles apparentes ou non corrigées de la réfraction, avec les déclinaisons respectives déduites pour le même jour des hauteurs vraies supérieures, je trouve les différences entre les réfractions observées et les correspondantes de la table de Carlini, comme il suit:

## 17 Décembre.

| Soir.          |            |            |             |        | Matin.             |            |            |             |        |
|----------------|------------|------------|-------------|--------|--------------------|------------|------------|-------------|--------|
| Etoiles.       | Haut. app. | Refr. obs. | Refr. calc. | a - c. | Etoiles.           | Haut. app. | Refr. obs. | Refr. calc. | a - c. |
| $\gamma$ Ourse | 9° 19      | 5° 44' 27  | 5° 44' 41   | -0° 14 | $\sigma$ Cassiopée | 9° 37      | 5° 39' 80  | 5° 36' 51   | +3° 29 |
| $\alpha$ Ourse | 11 33      | 4 37,84    | 4 40,89     | -3,05  | $\gamma$ Cassiop.  | 11 42      | 4 44,62    | 4 38,38     | +6,24  |
| $\delta$ Ourse | 12 38      | 4 14,22    | 4 17,04     | -2,82  | $\beta$ Cassiop.   | 12 59      | 4 14,15    | 4 10,95     | +3,20  |
| $\alpha$ Ourse | 17 19      | 3 8,36     | 3 6,39      | +1,97  | Cassiop.           | 17 28      | 3 9,15     | 3 5,59      | +3,56  |

Moyenne = +5,08

## 30 Décembre.

| Soir.                |            |            |             |        | Matin.            |            |            |             |        |
|----------------------|------------|------------|-------------|--------|-------------------|------------|------------|-------------|--------|
| Etoiles.             | Haut. app. | Refr. obs. | Refr. calc. | a - c. | Etoiles.          | Haut. app. | Refr. obs. | Refr. calc. | a - c. |
| $\gamma$ Ourse       | 4 56       | 10 11,81   | 10 16,96    | -5,15  | $\phi$ Androm.    | 4 32       | 10 45,09   | 10 41,09    | +4,00  |
| $\gamma$ Ourse       | 9 19       | 5 47,05    | 5 49,13     | -2,08  | $\sigma$ Cassiop. | 9 37       | 5 39,26    | 5 40,59     | -1,33  |
| $\gamma$ Ourse préc. | 10 29      | 6 9,39     | 5 12,16     | -2,77  | Cassiop.          | 10 32      | 5 14,38    | 5 12,69     | +1,69  |
| $\alpha$ Ourse       | 11 33      | 4 40,32    | 4 44,45     | -4,03  | $\gamma$ Cassiop. | 11 42      | 4 44,11    | 4 42,29     | +1,82  |
| $\delta$ Ourse       | 11 57      | 4 28,74    | 4 34,61     | -5,87  | Cassiop.          | 12 26      | 4 27,60    | 4 25,35     | +2,25  |
| $\delta$ Ourse       | 12 38      | 4 14,79    | 4 20,24     | -5,45  | $\beta$ Cassiop.  | 12 59      | 4 17,48    | 4 14,44     | +3,04  |

Moyenne = +6,14

Pour les deux étoiles australes,  $\alpha$  du Phénix et  $\mu$  Centaure j'en prends la déclinaison du Catalogue de *Piazzi*, et en y appliquant précession aberration et nutation je trouve pour le 25 Décembre 1839 la déclinaison apparente.

de  $\alpha$  Phénix =  $43^{\circ} 10' 30'' 06$ , de  $\mu$  Centaure =  $38^{\circ} 8' 56'' 04$ .

Et par cela on obtient.

Soit:  $\alpha$  Phénix.

| Déc. 17 | Haut. app. | Réfr. obs.  | Réfr. calc. | $\sigma - c$ |
|---------|------------|-------------|-------------|--------------|
| 30      | 2° 27'     | 15° 54' 38" | 16° 35' 81" | -41' 43"     |
|         |            | 16 22,58    | 16 45,10    | -22,55       |

Matin:  $\mu$  Centaure.

| Déc. 17 | 7 19 | 7 10,83 | 7 13,87 | - 3,04 |
|---------|------|---------|---------|--------|
| 30      |      | 7 10,89 | 7 20,22 | - 9,33 |

Si nous nous arrêtons à présent sur ces comparaisons et résultats, nous pouvons en conclure à ce qu'il me semble: 1°. que la différence ou l'excès de la réfraction du matin sur celle du soir, pour la même hauteur à peu près et dans l'hiver, est désormais un fait bien constaté; parce que toutes les observations des étoiles circumpolaires, qui sont les plus propres à l'indiquer, et que nous avons examinées jusqu'ici, nous l'ont toujours dévoilé, plus ou moins en quantité mais

constamment dans le signe: 2°. que mes dernières observations des sept étoiles de la grande Ourse avec ses opposées ou correspondantes de Cassiope confirment elles aussi la remarque (A. N. Nr. 407. p. 357) d'une espèce d'oscillation ou alternative entre l'observation et la table des réfractions pour les petites hauteurs; ce qui montre la nécessité de modifier pour ces hauteurs la théorie ou d'y introduire quelque nouvel élément pour l'approcher de l'observation. En effet on voit par chacune des quatre colonnes marquées  $\sigma - c$ , données par les étoiles circumpolaires et ordonnées selon la hauteur croissante, que les valeurs extrêmes s'accordent, et que par conséquence il y a une rétrocession de ces valeurs entre les extrêmes à l'égard de la zone ou hauteur intermédiaire; et sans doute que cela en arrivant quatre fois de suite, ne sauroit-il s'attribuer au hasard et à une combinaison accidentelle des erreurs de l'observation. On pourra plutôt élever le doute si ces conclusions auront lieu de même dans les hautes et les moyennes températures; puisque mes observations se rapportent exclusivement à l'hiver, et cela nécessairement pour la condition des longues nuits, qui permettent de comparer les deux hauteurs méridiennes des étoiles. Voilà pourtant quel que autre observation que j'ai faite de mes circumpolaires:

| 1839         |                   |   | Haut. Nord par<br>la moy. de<br>quatre vers. | Niveau<br>du<br>cercle. | Baro-<br>mètre. | Thermomètre<br>R. | Hauteur<br>corrigée<br>du niveau. | Réfraction<br>de la table<br>Carlini. | Hauteur vraie<br>instrumentale | Déclinaison<br>des étoiles. |
|--------------|-------------------|---|--|-------------------------|-----------------|-------------------|-----------------------------------|---------------------------------------|--------------------------------|-----------------------------|
| Jours.       | Etoiles.          |   |  | à 0° 36                 |                 | Intér. Estér.     |                                   |                                       |                                |                             |
| Septbr. 5    | $\beta$ Cassiop.  | a | 76° 23' 7 00                                 | + 0' 36                 |                 |                   | 76° 23' 7 36                      | - 0' 13 69                            | 76° 22' 53' 67                 | 58° 15' 53' 63              |
|              | $\delta$ Ourse    | a | 12 38 33,50                                  | - 5,64                  | 28' 1 4         | + 16' 5           | 12 38 27,86                       | - 4 6,90                              | 12 34 20,96                    | 57 35 33,66                 |
| Therm. à 9   | $\delta$ Cassiop. | a | 77 41 14,75                                  | + 0,12                  |                 |                   | 77 41 14,87                       | - 0 12,33                             | 77 41 2,54                     | 56 67 44,76                 |
| Fair libre à | $\alpha$ Ourse    | a | 11 33 23,50                                  | - 5,64                  | 28 1,5          | + 16,3            | 11 33 17,86                       | - 4 29,64                             | 11 28 48,22                    | 56 00 0,92                  |
| + 15° 3 R.   | Polaire           | a | 46 12 35,50                                  | - 2,64                  |                 |                   | 46 12 32,86                       | - 0 54,12                             | 46 11 39,74                    | 88 27 8,56                  |
| Hygr. de     | $\delta$ Cassiop. | a | 78 51 56,00                                  | + 0,84                  |                 |                   | 78 51 56,84                       | - 0 11,10                             | 78 51 45,74                    | 55 47 1,56                  |
| Sauz.        | $\zeta$ Ourse     | l | 10 29 51,00                                  | - 5,64                  |                 |                   | 10 29 45,36                       | - 4 55,45                             | 10 24 49,91                    | 55 46 2,61                  |
| 91° 0.       | $\phi$ Androm.    | a | 84 46 11,00                                  | + 0,48                  |                 |                   | 84 46 11,48                       | - 0 51,8                              | 84 46 6,33                     | 49 52 40,97                 |
|              | $\gamma$ Ourse    | l | 4 45 42,00                                   | - 4,68                  | 28 1,5          | + 16,6            | 4 45 37,32                        | - 9 89,34                             | 4 45 57,98                     | 50 7 10,68                  |
|              | $\delta$ Ourse    | a | 76 43 21,50                                  | - 0,84                  | 28 1,7          | + 17,2            | 76 43 20,66                       | - 0 13,26                             | 76 43 7,40                     | 57 55 39,90                 |
|              | $\gamma$ Ourse    | a | 77 48 59,50                                  | - 2,28                  |                 |                   | 77 48 57,22                       | - 0 12,13                             | 77 48 45,09                    | 56 50 2,21                  |
|              | Polaire           | l | 43 7 0,75                                    | - 5,04                  | 28 1,6          | + 17,4            | 43 6 55,71                        | - 0 59,65                             | 43 5 55,85                     | 88 27 6,55                  |
|              | $\zeta$ Ourse     | a | 78 53 1,00                                   | - 2,64                  |                 |                   | 78 52 58,36                       | - 0 11,02                             | 78 52 47,34                    | 55 45 69,96                 |
|              | $\gamma$ Ourse    | a | 84 31 49,25                                  | - 1,92                  |                 |                   | 84 31 47,33                       | - 0 5,35                              | 84 31 41,98                    | 50 7 5,32                   |
| 1840         | $\alpha$ Ourse    | a | 72 2 10,25                                   | + 5,64                  |                 |                   | 72 2 15,89                        | - 0 18,53                             | 72 1 57,36                     | 62 36 49,94                 |
| Avril 8      | $\delta$ Cassiop. | a | 17 27 43,75                                  | + 2,76                  | 28 2,5          | + 14,0            | 17 27 46,51                       | - 2 59,74                             | 17 24 46,77                    | 62 45 59,47                 |
| 30           | $\beta$ Ourse     | a | 77 24 31,50                                  | + 8,52                  |                 |                   | 77 24 40,02                       | - 0 12,58                             | 77 24 27,44                    | 57 14 19,86                 |
|              | $\delta$ Cassiop. | l | 12 24 57,25                                  | + 4,80                  | 28 0,6          | + 15,4            | 12 25 2,05                        | - 4 10,51                             | 12 20 51,54                    | 57 42 4,24                  |
|              | $\gamma$ Ourse    | a | 80 3 49,00                                   | + 9,00                  |                 |                   | 80 3 58,00                        | - 0 9,88                              | 80 3 48,12                     | 54 34 59,18                 |
|              | $\sigma$ Cassiop. | l | 9 35 48,50                                   | + 4,44                  | 28 0,5          | + 15,3            | 9 35 52,94                        | - 5 21,98                             | 9 30 30,96                     | 54 51 43,66                 |
| Mal 3        | $\beta$ Cassiop.  | a | 12 58 55,00                                  | - 6,60                  |                 |                   | 12 58 48,40                       | - 4 1,64                              | 12 54 46,76                    | 58 15 59,46                 |
|              | $\delta$ Ourse    | l | 76 43 48,50                                  | - 2,88                  | 28 0,2          | + 14,3            | 76 43 45,62                       | - 0 13,89                             | 76 43 32,23                    | 57 55 18,07                 |

Hauteur instrumentale du pôle en Sept. 1839 =  $44^{\circ} 38' 47'' 30$ ; et la même en Avril—Mai 1840.

Peut-être que je ne repeterai plus ces observations, si ce n'est pour quelque autre objet de recherches; puisque il me

reste à vous entretenir sur les passages méridiennes, ou les ascensions droites, et les déclinaisons de mes étoiles opposées.



### Ueber die Grundformeln der Dioptrik \*)

Von Herrn Geheimen-Rath und Ritter Bessel.

Herr Professor Möbius hat den Nutzen der Einführung der Kettenbrüche in die Dioptrik, in zwei schönen, im 5<sup>ten</sup> und 6<sup>ten</sup> Bande von *Crelle's Journal* für reine und angewandte Mathematik erschienenen Abhandlungen verfolgt. Wenn ich dieselbe Materie zum Gegenstande noch eines Aufsatzes mache, so ist der Grund davon nicht sowohl, daß ich der Theorie selbst wesentlich neue Sätze hinzuzufügen hätte, als daß ich zu zeigen beabsichtige, daß alle Elemente der Construction eines Linsensystems, d. h. die beiden Krümmungshalbmesser jeder Linse, ihre Dicke in der Axe, ihr Ort in dem Systeme und das ihrem Glase zugehörige Brechungsverhältnis, vollständig in die (die Quadrate und Producte der Winkel vernachlässigenden) Formeln aufgenommen werden können, ohne ihre Einfachheit zu vermindern. Meine Formeln sind also, nicht näherungsweise, sondern vollkommen genau, mit jedem aus Glaslinsen zusammengesetzten Instrumente vergleichbar und können, in denselben Sinne genommen, zur Grundlage neuer Constructionen gemacht werden.

#### 1.

Ich werde zuerst die trigonometrischen Formeln anführen, welche einen Strahl, in seinem Durchgange durch eine beliebige Anzahl beliebig gestellter Glaslinsen, deren Axen jedoch zusammenfallen, verfolgen. Ich nehme an, daß eine Ebene durch den einfallenden Strahl und die Axe gelegt werden könne. Ich werde folgende Bezeichnungen anwenden.

Die Halbmesser der Krümmung der ersten und zweiten Fläche der Linse  $r, \rho; r_1, \rho_1; \dots r_n, \rho_n$ . Die Dicken der Gläser, in der Axe gemessen,  $d, d_1, \dots d_n$ . Die Entfernungen der einander zugewandten Flächen der Linsen, gleichfalls in der Axe gemessen,  $e, e_1, \dots e_{n-1}$ . Die Brechungsverhältnisse des Glases, woraus die Linsen gemacht sind,  $n:1, n_1:1, \dots n_n:1$ . Die den verschiedenen Linsen zugehörigen  $r$  nehme ich positiv oder negativ, je nachdem ihre ersten Flächen convex oder concav

sind; die  $\rho$  als positiv oder negativ, je nachdem die zweiten Flächen concav oder convex sind. Diese Wahl der Zeichen ist so, daß sowohl die  $r$  als auch die  $\rho$  positiv sind, wenn die Mittelpunkte der Krümmung der Flächen, wozu sie gehören, von diesen aus nach Innen liegen; negativ wenn sie nach Außen liegen.

Ein Strahl macht, vor seinem Eintritte in die erste Linse den Winkel  $u$  mit der Axe, im Inneren der Linse den Winkel  $v$ , nach seinem Austritte den Winkel  $w$ . Er durchschneidet die Axe vor seinem Eintritte in der Entfernung  $a$  von der ersten Fläche; wenn er sich im Inneren der Linse befindet in der Entfernung  $b$  von dieser, oder  $\beta = b - d$  von der zweiten Fläche; nach seinem Austritte in der Entfernung  $\alpha$  von der letzteren. Er trifft die erste Fläche an einem Punkte, zwischen welchem und der Axe, an dem Mittelpunkte ihrer Krümmung, der Winkel  $t$  liegt; die zweite an einem Punkte, welchem der ähnlich zu verstehende Winkel  $\tau$  zugehört. Ich nehme  $a, b, \beta, \alpha$  positiv, wenn die durch sie bestimmten Punkte der Axe, von den betreffenden Flächen der Linse aus, nach Innen liegen, welche Richtung vorher auch für  $r$  und  $\rho$  als die positive angenommen worden ist.

Diesen Bezeichnungen zufolge ergeben sich alle Umstände des Durchganges des Strahls durch die erste Linse, aus den Formeln:

$$\left. \begin{aligned} r \sin(t-u) &= (a-r) \sin u \\ n \sin(t-v) &= n \sin(t-u) \\ (b-r) \sin v &= r \sin(t-v); \quad \beta = b-d \\ \rho \sin(\tau-v) &= (\beta-\rho) \sin v \\ n \sin(\tau-w) &= n \sin(\tau-v) \\ (a-\rho) \sin w &= \rho \sin(\tau-w) \end{aligned} \right\} \dots\dots A$$

Wenn zwei der in der ersten Formel vorkommenden Größen  $a, t, w$  gegeben sind, so bestimmt diese Formel die dritte; dann giebt die zweite Formel  $v$ , die dritte  $b$ , die vierte  $\tau$ ,

\*) Diese Abhandlung des Herrn Geheimenraths Bessel lief schon im December bei mir ein.

die fünfte  $w$ , die sechste  $x$ . Offenbar wiederholen sich diese Formeln für eine zweite Linse, für welche nur die Zeichen  $r_1, a_1, t_1, w_1, \dots$  angewandt werden, und zu welcher der Uebergang von der ersten durch die Annahmen

$$\bar{a}_1 = a_1 - e, \quad \bar{w}_1 = w$$

stattfindet. Man kann dieselben Formeln auch für eine dritte Linse anwenden, wenn man  $r_2, a_2, t_2, w_2, \dots$  schreibt und

$$a_2 = a_1 - e_1, \quad w_2 = w_1$$

annimmt. Auf diese Art sind die Formeln  $A$  für jede Anzahl von Linsen anwendbar.

## 2.

Eine besondere Betrachtung verdient der Fall, in welchem die Winkel  $w, t, v, \tau, w$  unendlich klein sind. Wenn er vorhanden ist, kann man die Formeln  $A$  in die folgenden verwandeln:

$$B \dots \left\{ \begin{aligned} \frac{n}{b} &= \frac{1}{a} + \frac{n-1}{r}; & a w &= r t = b v; & \beta &= b - d \\ \frac{n}{\beta} &= \frac{1}{a} + \frac{n-1}{p}; & a w &= p \tau = \beta v \end{aligned} \right.$$

Geht derselbe Strahl durch eine zweite Linse, so hat man ferner:

$$a_2 = a_1 - e, \quad w_1 = w$$

$$B, \dots \left\{ \begin{aligned} \frac{n_1}{b_1} &= \frac{1}{a_1} + \frac{n_1-1}{r_1}; & a_1 w_1 &= r_1 t_1 = b_1 v_1; & \beta_1 &= b_1 - d_1 \\ \frac{n_2}{\beta_1} &= \frac{1}{a_1} + \frac{n_1-1}{p_1}; & a_1 w_1 &= p_1 \tau_1 = \beta_1 v_1 \end{aligned} \right.$$

so wie ähnliche Formeln für alle folgenden Linsen.

Aus der Combination der Formeln

$$\begin{aligned} a w &= r t = b v; & a w &= p \tau = \beta v \\ a_1 w_1 &= r_1 t_1 = b_1 v_1; & a_1 w_1 &= p_1 \tau_1 = \beta_1 v_1 \\ & \text{u. s. w.} \end{aligned}$$

für  $i+1$  Linsen des Systems erhält man unmittelbar

$$C \dots \left\{ \begin{aligned} w_1 &= M_1 \cdot w \\ r_1 t_1 &= M_1 \cdot a_1 w \\ v_1 &= M_1 \cdot \frac{a_1}{b_1} w \\ p_1 \tau_1 &= M_1 \cdot \frac{a_1 \beta_1}{b_1} w \\ w_1 &= M_1 \cdot \frac{a_1 \beta_1}{a_1 b_1} w \end{aligned} \right.$$

wo  $M_1$ , um abzukürzen, für

$$\frac{a_1 a_2 \dots a_{i-1} \beta_1 \beta_2 \dots \beta_{i-1}}{a_1 a_2 \dots a_{i-1} b_1 b_2 \dots b_{i-1}}$$

geschrieben ist. Es geht hieraus hervor, daß die Größen  $a, a_1, a_2, \dots; b, b_1, b_2, \dots; \beta, \beta_1, \beta_2, \dots; a_1, a_2, \dots$  auch sämtliche Winkel des Strahls mit der Axe, also seinen Weg vollständig bestimmen. Auch für den Fall, in welchem  $a$  unendlich groß und  $w$  unendlich klein ist, braucht man keine anderen Formeln, indem die dann stattfindende scheinbare Unbestimmtheit der vorigen verschwindet, wenn man  $r t$  für  $a w$  schreibt. Ich habe also nur zweckmäßige Ausdrücke jener Größen aufzusuchen.

Aus den Gleichungen

$$\frac{n_1}{\beta_1} = \frac{1}{a_1} + \frac{n_1-1}{p_1}$$

$$\frac{n_2}{b_1} = \frac{1}{a_1} + \frac{n_1-1}{r_1}$$

folgt:

$$a_1 = \frac{1}{\frac{1}{a_1} - \frac{n_1-1}{r_1}} + \frac{n_1}{\beta_1}$$

und da  $\beta_1 = -d_1 + b_1$  ist:

$$\frac{n_1}{\beta_1} = \frac{1}{\frac{d_1}{b_1} + \frac{b_1}{n_1}}$$

ferner

$$\frac{b_1}{n_1} = \frac{1}{\frac{n_1-1}{r_1} + \frac{1}{a_1}}$$

und da  $a_1 = -e_{1-1} + a_{1-1}$  ist,

$$\frac{1}{a_1} = \frac{1}{-e_{1-1} + a_{1-1}}$$

Für die  $i$ te Linse hat man offenbar die ähnlichen Ausdrücke.

$$a_{i-1} = \frac{1}{\frac{1}{a_{i-1}} - \frac{n_{i-1}-1}{r_{i-1}}} + \frac{n_{i-1}}{\beta_{i-1}}$$

$$\frac{n_{i-1}}{\beta_{i-1}} = \frac{1}{\frac{d_{i-1}}{b_{i-1}} + \frac{b_{i-1}}{n_{i-1}}}$$

$$\frac{b_{i-1}}{n_{i-1}} = \frac{1}{\frac{n_{i-1}-1}{r_{i-1}} + \frac{1}{a_{i-1}}}$$

$$\frac{1}{a_{i-1}} = \frac{1}{-e_{i-1} + a_{i-1}}$$

und wieder ähnliche für jede vorhergehende Linse. Schreibt man also den Kettenbruch



oder einen und denselben von  $(p, r)$  aus den folgenden:

$$pqrst, pqrst, tgrsp, tgrqp.$$

Der Grund hiervon ist eine offensbare Folge der Art der Zusammensetzung dieser Größen.

Führt man diese Bezeichnungen in die Formeln E ein, und bemerkt man, dass das Product der vier Ausdrücke jeder Zeile:

$$\frac{a_1 b_1}{a_1 \beta_1} = [4i+3, a] [4i+2, a] [4i+1, a] [4i, a]$$

ist, so erhält man

$$\frac{a_1 b_1}{a_1 \beta_1} = \frac{(4i-1, a)}{(4i+3, a)}$$

und durch die Substitution dieses Ausdrucks in die Formeln C:

$$F. \dots \dots \dots \begin{cases} \omega_i = (4i-1, a) \omega \\ r_1 i_1 = (4i, a) \omega \\ n_1 v_1 = (4i+1, a) \omega \\ \beta_1 \tau_1 = (4i+2, a) \omega \\ \omega_i = (4i+3, a) \omega \end{cases}$$

Wenn  $a$  unendlich groß und  $\omega$  unendlich klein ist, werden diese Formeln scheinbar unbestimmt, was jedoch aufhört wenn  $rt$  für  $a\omega$  geschrieben wird. Die Einführung derselben Bezeichnungen in die Formeln E verwandelt sie in:

$$G. \dots \dots \dots \begin{cases} a_1 = \frac{(4i, a)}{(4i-1, a)} \\ b_1 = \frac{(4i, a)}{(4i+1, a)} n_1 \\ \beta_1 = \frac{(4i+2, a)}{(4i+1, a)} n_1 \\ \alpha_1 = \frac{(4i+2, a)}{(4i+3, a)} \end{cases}$$

Durch diese beiden Systeme von Formeln ist Alles gegeben, was man von dem Wege des Strahls, sowohl im Innern des Linsensystems, als außerhalb desselben, zu wissen wünschen kann. Die Producte  $r_1 i_1$  und  $\beta_1 \tau_1$  sind die Entfernungen von der Axe, in welchen der Strahl die beiden Flächen der  $i+1^{\text{ten}}$  Linse trifft, und man erhält, indem man  $i = 0, 1, 2, 3, \dots$  annimmt, diese Entfernungen für alle Flächen des Systems. Will man nur den Weg des einfallenden Strahls, mit seinem Wege nach dem Ausgange aus dem Linsensysteme vergleichen, so hat man nur mit den Ausdrücken von  $\omega_1$  und  $\alpha_1$  zu thun. Aus diesen werde ich jetzt einige Folgerungen ziehen.

#### 4.

Bestimmt man einen Punkt in dem Strahle, nach seinem Durchgange durch die letzte Linsenfläche, durch die von dieser Fläche an gezählte Abscisse  $\xi$  und die auf die Axe bezogene Ordinate  $\eta$ , so hat man

$$\eta = (\alpha_1 - \xi) \omega_1 = \{(4i+2, a) - \xi(4i+3, a)\} \omega$$

und wenn man die Ausdrücke

$$(4i+2, a) = a(4i+2, 1) + (4i+2, 2)$$

$$(4i+3, a) = a(4i+3, 1) + (4i+3, 2)$$

substituiert und sich erinnert, dass  $a\omega = rt$  ist,

$$\eta = \{(4i+2, 1) - \xi(4i+3, 1)\} rt + \{(4i+2, 2) - \xi(4i+3, 2)\} \omega \dots H$$

Wenn *parallele* Strahlen einfallen, so ist  $\omega$  für alle gleich, aber  $t$  hat für jeden von ihnen einen anderen Werth. Trotz dieser Verschiedenheit giebt es einen Punkt, in welchem alle diese Strahlen, nach ihrem Durchgange durch das Linsensystem sich durchkreuzen. Er wird durch die Bedingung bestimmt, dass das in das veränderliche  $t$  multiplicirte Glied des Ausdrucks von  $\eta$  verschwinde, wodurch man die beiden Gleichungen:

$$0 = (4i+2, 1) - \xi(4i+3, 1)$$

$$\eta = \{(4i+2, 2) - \xi(4i+3, 2)\} \omega$$

erhält. Man erlangt dadurch die zu dem *Vereinigungspunkte paralleler Strahlen* gehörigen  $\xi$  und  $\eta$ , nämlich:

$$\xi = \frac{(4i+2, 1)}{(4i+3, 1)}$$

$$\eta = \frac{(4i+3, 1)(4i+2, 2) - (4i+3, 2)(4i+2, 1)}{(4i+3, 1)} \omega$$

Allein der letzte Ausdruck kann in

$$\eta = \frac{-\omega}{(4i+3, 1)}$$

vereinfacht werden; denn man hat zwischen den Größen, welche unter der angeführten Bezeichnung verstanden werden, die bekannte allgemeine Relation

$$(1, n)(2, n-1) - (2, n)(1, n-1) = (n, 1)(n-1, 2) - (n, 2)(n-1, 1) = (-1)^n$$

welche, da der Zähler des Ausdrucks von  $\eta$  dem gegenwärtigen gleich ist, wenn  $n = 4i+3$ , ihn  $= -1$  ergibt. Damit der Vereinigungspunkt *wirklich*, und *außerhalb* des Linsensystems vorhanden sei, ist erforderlich, dass  $\xi$  einen endlichen und positiven Werth habe.

Zieht man von dem jetzt bestimmten Vereinigungspunkte paralleler Strahlen eine ihnen parallele Linie, so trifft sie die Axe an einem Punkte, dessen Entfernung von der letzten Linsenfläche ich durch  $\gamma$  bezeichnen werde, zur Bestimmung dieses Punkts hat man

$$\gamma = \xi + \frac{\eta}{\omega} = \frac{(4i+2, 1) - 1}{(4i+3, 1)} \dots \dots \dots I$$

Dieser Punkt, welcher von  $\omega$  unabhängig ist, ist der *optische Mittelpunkt* des Linsensystems; der Punkt, wo gerade Linien sich durchkreuzen, welche correspondirende Punkte eines unendlich entfernten Gegenstandes und seines Bildes mit einander verbinden. Allgemein zu reden hat jedes Linsensystem *zwei* ähnliche Punkte, nämlich einen für jede der beiden Richtungen, in welcher parallele Strahlen in kleinen Winkeln mit der



Axe einfallen können. Um die Entfernung  $C$  des zweiten dieser Punkte von der ersten Fläche der ersten Linse zu bestimmen, werde ich die Entfernung des Vereinigungspunktes der in der zweiten Richtung einfallenden parallelen Strahlen, von derselben Fläche, durch  $x$ , seine Entfernung von der Axe durch  $y$  bezeichnen, welche Größen die den obigen analogen Ausdrücke:

$$x = \frac{(2, 4i+3)}{(1, 4i+3)}$$

$$y = \frac{-w}{(1, 4i+3)}$$

haben, und wodurch man

$$K \dots c = x - \frac{y}{w} = \frac{-(2, 4i+3)+1}{(1, 4i+3)} - \frac{-(4i+3, 2)+1}{(4i+3, 1)}$$

erhält.

Die Entfernungen dieser beiden optischen Mittelpunkte des Linsensystems von den Vereinigungspunkten paralleler Strahlen, wozu sie gehören, sind

$$\xi - \gamma = \frac{1}{(4i+3, 1)}, \quad -x + c = \frac{1}{(4i+3, 1)}$$

also einander gleich. Ich werde diese gleichen Entfernungen die *Brennweite* des Linsensystems nennen und sie durch  $f$  bezeichnen. Wenn es nur auf die Vergleichung der Wege eines Strahls vor seinem Einfallen und nach seinem Ausgehen ankommt, so ist dazu keine weitere Kenntnis der Construction des Linsensystems erforderlich, als die von  $f$ ,  $c$ ,  $\gamma$ . Man hat nämlich (G):

$$a_i = \frac{(4i+2, a)}{(4i+3, a)} = \frac{a(4i+2, 1) + (4i+2, 2)}{a(4i+3, 1) + (4i+3, 2)}$$

und

$$(4i+3, 1)(4i+2, 2) - (4i+3, 2)(4i+2, 1) = -1$$

Wenn man  $(4i+2, 2)$  durch die letzte Gleichung aus der ersten wegschafft, so wird diese

$$a_i = \frac{(4i+2, 1)\{a(4i+3, 1) + (4i+3, 2)\} - 1}{(4i+3, 1)\{a(4i+3, 1) + (4i+3, 2)\}}$$

oder

$$\left\{a_i - \frac{(4i+2, 1)}{(4i+3, 1)}\right\} \left\{a + \frac{(4i+3, 2)}{(4i+3, 1)}\right\} = -\frac{1}{(4i+3, 1)^2}$$

Setzt man darin, für die von der Construction des Linsensystems abhängigen Größen, ihre Ausdrücke durch  $f$ ,  $c$ ,  $\gamma$ , nämlich:

$$\frac{1}{(4i+3, 1)} = f$$

$$\frac{(4i+2, 2)}{(4i+3, 1)} = f - c$$

$$\frac{(4i+2, 1)}{(4i+3, 1)} = f + \gamma$$

so verwandelt sie sich in

$$(a_i - \gamma - f)(a - c + f) = -ff$$

und wenn man  $-ff$  auf beiden Seiten weglässt und durch  $f(a_i - \gamma)(a - c)$  dividirt, in

$$\frac{1}{f} = \frac{1}{c-a} + \frac{1}{a_i - \gamma} \dots \dots \dots L$$

Diesen schönen Satz hat Herr Professor Möbius gegeben. Seine obige Ableitung zeigt, daß er durch die vollständige Berücksichtigung aller Elemente der Construction des Linsensystems nichts von seiner Einfachheit verliert.

## 5.

Ich hatte die Absicht, die Grundformeln der Dioptrik in ihrer einfachsten Gestalt darzustellen. Da ich sie erreicht zu haben glaube, auch speciellere Verfolgungen dieses Gegenstandes, so wie auch die Berücksichtigung der Winkel in endlicher Größe, außer der gegenwärtigen Absicht liegen, so beende ich meinen Aufsatz hier. Allein da einigen Lesern ein Beispiel der Berechnung eines Linsensystems, nach den Formeln  $P$  und  $G$ , willkommen seyn kann, so setze ich ein solches hieher; es ist von den Constructions-Elementen des Objectivs des Königsberger Heliometers hergenommen, so wie sie mir von dem accl. *Utschneider* mitgetheilt worden sind.

$$\begin{aligned} r &= +838^{+164} \\ d &= 6,000 \quad \left. \begin{array}{l} r = +838^{+164} \\ d = 6,000 \\ \rho = -333,768 \end{array} \right\} n = 1,529130 \\ \rho &= -333,768 \\ e &= 0,000 \quad dn : da = 1 : 2,025 \\ r_i &= -340,536 \\ d_i &= 4,000 \quad \left. \begin{array}{l} r_i = -340,536 \\ d_i = 4,000 \end{array} \right\} n_i = 1,639121 \\ \rho_i &= -1172,508 \end{aligned}$$

Hieraus folgen, nach den Bezeichnungen des § 3:

$$(1) = \frac{n-1}{\rho}; \quad \log(1) = 6,80023,3$$

$$(2) = \frac{-d}{n}; \quad \log(2) = 0,59370,7n$$

$$(3) = \frac{1-n}{\rho}; \quad \log(3) = 7,20011,8$$

$$(4) = -e; \quad \log(4) = -\infty$$

$$(5) = \frac{n_i-1}{r_i}; \quad \log(5) = 7,27342,0n$$

$$(6) = \frac{-d_i}{n_i}; \quad \log(6) = 0,38744,9n$$

$$(7) = \frac{1-n_i}{\rho_i}; \quad \log(7) = 6,73646,7$$

Wendet man die *Gauß'schen* Logarithmentafeln zur Rechnung an, so sind die folgenden Zahlen *alle* erforderlichen, wovon die in der letzten Column stehenden aus den eben genannten Tafeln genommen und die in der zweiten die gesuchten sind:

|           |            |             |           |                |            |           |
|-----------|------------|-------------|-----------|----------------|------------|-----------|
| $\log(2)$ | 0,59370,7n | $\log(1)$   | 6,80023,3 | $\log(2)(1)$   | 7,39394,0n | — 107,5   |
| $\log(3)$ | 7,20011,8  | $\log(1,2)$ | 9,99892,5 | $\log(3)(1,2)$ | 7,19904,3  | + 14589,3 |
| $\log(4)$ | — $\infty$ | $\log(1,3)$ | 7,34492,6 | $\log(4)(1,3)$ | — $\infty$ | 0         |
| $\log(5)$ | 7,27342,0n | $\log(1,4)$ | 9,99892,5 | $\log(5)(1,4)$ | 7,27234,5n | — 81276,2 |
| $\log(6)$ | 0,38744,3n | $\log(1,5)$ | 6,53216,4 | $\log(6)(1,5)$ | 6,91961,3n | — 36,1    |
| $\log(7)$ | 6,73646,7  | $\log(1,6)$ | 9,99856,4 | $\log(7)(1,6)$ | 6,73503,1  | + 21133,2 |
|           |            | $\log(1,7)$ | 6,94636,3 |                |            |           |

Führt man die Rechnung in der umgekehrten Ordnung ihrer Elemente, so ist die folgende:

|           |            |             |            |                |            |           |
|-----------|------------|-------------|------------|----------------|------------|-----------|
| $\log(6)$ | 0,38744,9n | $\log(7)$   | 6,73646,7  | $\log(6)(7)$   | 7,12391,6n | — 58,0    |
| $\log(5)$ | 7,27342,0n | $\log(7,6)$ | 9,99942,0  | $\log(5)(7,6)$ | 7,27284,0n | — 14924,2 |
| $\log(4)$ | — $\infty$ | $\log(7,5)$ | 7,12359,8n | $\log(4)(7,5)$ | — $\infty$ | 0         |
| $\log(3)$ | 7,20011,8  | $\log(7,4)$ | 9,99942,0  | $\log(3)(7,4)$ | 7,19953,8  | — 79475,2 |
| $\log(2)$ | 0,59370,7n | $\log(7,3)$ | 6,40478,6  | $\log(2)(7,3)$ | 6,99849,3n | — 43,0    |
| $\log(1)$ | 6,80023,3  | $\log(7,2)$ | 9,99899,0  | $\log(1)(7,2)$ | 6,79922,3  | + 14713,3 |
|           |            | $\log(7,1)$ | 6,94635,6  |                |            |           |

Die Werthe von  $\log(1,7)$  und  $\log(7,1)$ , welche übereinstimmen sollten, sind nicht weiter von einander verschieden, als sich aus der Näherungsgränze der angewandten Logarithmentafeln erklären lässt. Nimmt man das Mittel aus beiden, so erhält man die Brennweite des Objectivs:

$$f = \frac{1}{(1,7)} = 1131^{\circ}46$$

seine beiden optischen Mittelpunkte werden bestimmt, durch:

$$c = f - (7,2)f = +2,62$$

$$\gamma = (1,6)f - f = -3,73.$$

Wird größere Schärfe der Resultate gefordert, so müssen of. fenbar größere Logarithmentafeln angewandt werden.

*Bessel.*

Nr. 2 \*)

Schreiben des Herrn *Abbadie* an den Herausgeber.

Suez 1840, Octobre 26.

Monsieur!

Vous eutes la bonté d'annoncer en Septembre 1839 mon projet d'un voyage en Abyssinie et d'appeler en même tems l'attention de vos nombreux correspondans sur les occultations de petites étoiles par la Lune afin de fournir quelques observations contemporaines qui pussent servir à calculer mes longitudes. Bien que le petit nombre d'observations ci-joint soit tout-à-fait insignifiant pour un observateur sédentaire j'espère néanmoins que les personnes qui auraient fait des voyages analogues au mien ne trouveront pas que j'ai tout-à-fait perdu mon tems.

J'avais trois chronomètres en partant d'Europe celui nommé *A*, fait par *Barraud* fut cassé par un accident à Adwa: le chronomètre *D* fait par *M. Dent* de Londres servit à toutes mes observations jusqu'à Aden où il me fut volé. La montre *B* m'avait été prêtée par *M. Bréguet* à Paris, et a toujours conservé une marche supérieure aux deux autres. Je ne montais ce chronomètre que lorsque je prévoyais devoir faire un long séjour quelque part

Le Caire, doubles hauteurs du bord inférieur du Soleil jeudi 21 Novembre 1839 le chron. *A* fut employé. Baromètre 0<sup>m</sup>76325; thermomètre 18,9 grades (matin).

|   |  |  |
|---|--|--|
| 8 <sup>h</sup> 8 <sup>m</sup> 43 <sup>s</sup> 50 <sup>a</sup> 49 <sup>a</sup> 15 <sup>a</sup> | Comparaison des chronomètres.                            |  |
| 9 54,8 50 40  | <i>A</i> 8 <sup>h</sup> 14 <sup>m</sup> 9 <sup>s</sup> 2 | <i>A</i> 8 <sup>h</sup> 15 <sup>m</sup> 1 <sup>s</sup> 2 |
| 11 0,0 51 0   | <i>D</i> 4 24 0,0  | <i>B</i> 1 58 0,0  |
| 12 5,6 51 20  |  |  |

Retard du chron. *A* = 0<sup>h</sup>46<sup>m</sup>26<sup>s</sup>; id. du chron. *B* = 7<sup>h</sup>3<sup>m</sup>27<sup>s</sup>; id. du chron. *D* = 4<sup>h</sup>36<sup>m</sup>35<sup>s</sup>.

Le Caire: vendredi 22 Nov. soir. Immersion d'une étoile de 5<sup>r</sup> gr. à 9<sup>h</sup>51<sup>m</sup>11<sup>s</sup>2 du chron. *A*. Incertitude de 6 secondes.

|  |  |
|--|--|
| Comparaison des chronomètres.                              |  |
| <i>A</i> 10 <sup>h</sup> 31 <sup>m</sup> 32 <sup>s</sup> 8 | <i>A</i> 10 <sup>h</sup> 32 <sup>m</sup> 53 <sup>s</sup> 2 |
| <i>D</i> 6 41 40,0   | <i>B</i> 4 16 0,0  |

Le Caire: 23 Nov. matin; doubles haut. du bord inférieur du Soleil; chron. *A*; barom. = 0<sup>m</sup>76025; therm. = 19<sup>°</sup>8.

|  |   |   |
|--|---|---|
| 8 <sup>h</sup> 23 <sup>m</sup> 53 <sup>s</sup> 6 54 <sup>a</sup> 0 | Comparaison des chronomètres.                             |   |
| 25 0,4 54 20   | <i>A</i> 8 <sup>h</sup> 29 <sup>m</sup> 48 <sup>s</sup> 8 | <i>A</i> 8 <sup>h</sup> 30 <sup>m</sup> 50 <sup>s</sup> 0 |
| 26 10,8 54 40  | <i>D</i> 4 40 0,0   | <i>B</i> 2 14 0,0   |
| 27 21,2 55 0   |   |   |

Le Caire: 26 Nov. matin; doubles haut. du bord inférieur du Soleil; chron. *A*; barom. = 0<sup>m</sup>76435; therm. 23<sup>°</sup>4.

|  |   |  |
|--|---|--|
| 7 <sup>h</sup> 46 <sup>m</sup> 54 <sup>s</sup> 4 49 <sup>a</sup> 40 <sup>a</sup> | Comparaison des chronomètres.                           |  |
| 47 54,0 50 0   | <i>A</i> 9 <sup>h</sup> 1 <sup>m</sup> 6 <sup>s</sup> 4 | <i>A</i> 9 <sup>h</sup> 2 <sup>m</sup> 41 <sup>s</sup> 2 |
| 48 52,4 50 21  | <i>D</i> 6 8 0,0  | <i>B</i> 2 43 0,0  |

\*) Den Brief Nr. 1 habe ich bis jetzt noch nicht erhalten. 8.

Le Caire ☉ 10 Novembre. Immersion d'une étoile de 7.8 gr.  
à 5<sup>h</sup> 59' 53" du chron. A. Incertitude de 1,5 seconde.

Comparaison des chronomètres.

|   |   |
|---|---|
| A 6 <sup>h</sup> 6 <sup>m</sup> 59 <sup>s</sup> 6 | A 6 <sup>h</sup> 8 <sup>m</sup> 46 <sup>s</sup> 0 |
| D 2 15 0,0  | B 11 50 0,0                                       |

Le Caire: ☾ 11 Nov. matin; doubles haut. du bord inférieur du Soleil; chron. A; barom. = 0<sup>m</sup> 76155; therm. = 22<sup>o</sup> 7.

8<sup>h</sup> 28' 25" 2 60' 20" Comparaison des chronomètres.

|         |           |                            |            |
|---------|-----------|----------------------------|------------|
| 29 34,0 | 60 39 50" | A 8 <sup>h</sup> 42' 52" 0 | D 4 51 0,0 |
| 30 44,4 | 61 0      |                            |            |
| 31 52,4 | 61 20     |                            |            |

Souays (Mer Rouge) ☽ 18 Déc. soir; doubles hauteurs du bord inférieure du Soleil; chron. A; therm. = 21<sup>o</sup> 2.

2<sup>h</sup> 15' 10" 4 39' 40' 15" Comparaison des chronomètres.

|         |         |                            |                            |
|---------|---------|----------------------------|----------------------------|
| 16 15,2 | 39 20 0 | A 2 <sup>h</sup> 27' 48" 0 | A 2 <sup>h</sup> 28' 32" 8 |
| 17 19,6 | 39 0 0  | B 3 44 0,0                 | B 10 59 0,0                |
| 18 22,8 | 38 40 0 |                            |                            |

Souays, ☾ 19 Décembre, soir. Immersion d'une très-petite étoile à 1<sup>h</sup> 54' 06" du chronom. D; Incertitude 6 à 7 secondes.

Comparaison des chronomètres.

|                           |                           |
|---------------------------|---------------------------|
| D 2 <sup>h</sup> 8' 36" 8 | D 2 <sup>h</sup> 10' 8" 8 |
| B 7 54 20,0               | A 6 39 30,0               |

Souays, ☽ 20 Décembre; doubles haut. du bord supérieur du Soleil; chronom. A; therm. = 22<sup>o</sup> (soir).

1<sup>h</sup> 58' 13" 6 45" 0' Comparaison des chronomètres.

|          |       |                            |                            |
|----------|-------|----------------------------|----------------------------|
| 59 21,6  | 44 40 | A 2 <sup>h</sup> 11' 31" 6 | A 2 <sup>h</sup> 12' 14" 0 |
| 2 0 28,8 | 44 20 | B 3 28 0,0                 | D 9 43 0,0                 |
| 1 35,6   | 44 0  |                            |                            |

1840. Abyssinie.

Adwa, ☾ 6 Avril; doubl. haut. corresp. du bord supérieur du Soleil; chron. D; bar. = 0<sup>m</sup> 61385; therm. = 22<sup>o</sup> 3.

Comparaison des chronom.

| Matin.                   | Soir.  | Matin.                   | Soir.                    |
|--------------------------|--------|--------------------------|--------------------------|
| 5 <sup>h</sup> 31' 32" 4 | 64° 0' | 1 <sup>h</sup> 22' 45" 2 | 1 <sup>h</sup> 34' 14" 8 |
| 32 54,0                  | 64 40  | 21 22,8                  | B 8 16 0,0               |
| 34 17,2                  | 65 20  | 20 0,0                   | 4 10 20,0                |

Adwa, ☾ 6 Avril. Immersion d'une petite étoile derrière le bord obscur de la Lune à 5<sup>h</sup> 52' 16" 0 au 15<sup>o</sup>; du chronom. D. La lumière cendrée était singulièrement forte.

Compar. des chronomètres.

|                            |
|----------------------------|
| D 5 <sup>h</sup> 56' 24" 4 |
| B 8 32 30,0                |

Adwa, ☽ 7 Avril; doubl. haut. du bord supérieur du Soleil; chronomètre D; barom. = 0<sup>m</sup> 61145; therm. 29<sup>o</sup> 8.

| 1 <sup>h</sup> 35' 45" 6 | 57° 40' | Compar. des chronomètres.  |            |
|--------------------------|---------|----------------------------|------------|
| 37 8,8                   | 57 0    | D 1 <sup>h</sup> 47' 53" 8 | B 4 24 0,0 |
| 38 32,8                  | 56 20   |                            |            |
| 39 55,2                  | 55 40   |                            |            |

Adwa, ☽ 7 Avril. Immers. d'une étoile de 7.8<sup>e</sup> gr. à 6<sup>h</sup> 27' 39" 2 du chronom. D. Incertitude de 0<sup>s</sup> 5.

Compar. des chronomètres.

|                            |
|----------------------------|
| D 6 <sup>h</sup> 38' 24" 4 |
| B 9 14 30,0                |

A sept heures  $\frac{1}{2}$  je vis une magnifique étoile filante allant de l'Est à l'O et laissant une traînée persistante après elle. Je vis aussi plusieurs autres belles étoiles filantes cette nuit.

Adwa, ☽ 1 Mai. Haut. corr. du bord supér. du Soleil; chron. D.

| Matin.                   | Soir.                    | Matin.                     | Soir.                    |
|--------------------------|--------------------------|----------------------------|--------------------------|
| 5 <sup>h</sup> 35' 44" 4 | 1 <sup>h</sup> 12' 44" 9 | D 5 <sup>h</sup> 53' 41" 6 | 1 <sup>h</sup> 24' 42" 6 |
| 37 6,8                   | 11 22,0                  | B 8 29 0,0                 | 4 0 0,0                  |
| 41 59,6                  | 6 30,0                   |                            |                          |
| 45 28,0                  | 3 1,2                    |                            |                          |
| 46 10,8                  | 2 18,8                   |                            |                          |

Adwa, ☾ 4 Mai. Immersion d'une étoile de 8.9 grandeur derrière la Lune à 5<sup>h</sup> 31' 12" du chronom. D et celle d'une deuxième étoile à 5<sup>h</sup> 31' 41" du même chronomètre. La première étoile occultée avait la plus grande déclinaison; elles étaient écartées d'environ 9' 35". Leur clarté était à peine aussi forte que celle de la lumière cendrée. Incertitude de 2" pour la 1<sup>re</sup> obs. et de 2 à 3 secondes pour la dernière.

Compar. des Chronomètres.

|                            |
|----------------------------|
| D 5 <sup>h</sup> 36' 56" 0 |
| B 8 12 0,0                 |

Adwa, ☽ 5 Mai. Immersion d'une étoile de 6.8 grandeur à 5<sup>h</sup> 39' 52" 5 du chronomètre D, à environ 10 au S. de l'équateur lunaire. Une autre étoile peut-être de 9<sup>e</sup> gr. fit son immersion à 5<sup>h</sup> 53' 40" 8. Je crus ne plus la voir à 43' 10" mais 10" après elle devint très-visible. Cette dernière observation peut-être en erreur de 2 à 3". La première ne l'est pas de 1.5 seconde. La 2<sup>e</sup> occultation dut être suivie d'une 3<sup>e</sup> étoile à environ 3" plus au N. mais très-faible. La lumière cendrée semblait bien plus faible qu'hier. vent E. S. E. très-fort.

Compar. des chronomètres.

|                            |
|----------------------------|
| D 5 <sup>h</sup> 54' 30" 0 |
| B 8 29 30,0                |

Adwa, 6 Mai. Haut. corr. du bord supér. du Soleil; chron. D.

| Matin.                      |                   |                    | Soir.                       |                   |  | Compar. des chronomètres.   |
|-----------------------------|-------------------|--------------------|-----------------------------|-------------------|--|---|
|                             |                   |                    |                             |                   |  |   |
| 5 <sup>h</sup> 51           | 52 <sup>o</sup> 0 | 76 <sup>o</sup> 20 | 0 <sup>h</sup> 56           | 43 <sup>o</sup> 2 |  | Compar. des chronomètres.<br>Matin. Soir.<br>D 6 <sup>h</sup> 1 <sup>h</sup> 31 <sup>o</sup> 2 1 <sup>h</sup> 4 <sup>o</sup> 2 <sup>o</sup> 4<br>B 8 36 30,0 3 39 0,0 |
| 52                          | 32,0              | 78 40              | 56                          | 08,8              |  |   |
| 53                          | 17,2              | 79 0               | 55                          | 18,8              |  |   |
| 53                          | 58,8              | 79 20              | 54                          | 36,4              |  |   |
| 54                          | 40,0              | 79 40              | 53                          | 54,8              |  |   |
| Barom. 0 <sup>o</sup> 61345 |                   |                    | Barom. 0 <sup>o</sup> 61210 |                   |  |   |
| therm. 25 <sup>o</sup> 2    |                   |                    | therm. 30 <sup>o</sup> 6    |                   |  |   |

Adwa, 6 Mai. Immersion d'une étoile ( $\alpha$  des gémeaux probablement) à 5<sup>h</sup> 30' 28" du chronom. D. Emersion à 6<sup>h</sup> 26' 48"; celle-ci est peut-être en erreur de 3 à 4 secondes; l'immersion fut au contraire parfaitement observée.

Compar. des chronom.

|  |
|--|
| D 6 <sup>h</sup> 45 <sup>o</sup> 32 <sup>o</sup> 4 |
| B 9 20 30,0  |

Adwa, 7 Mai. Haut. corresp. du bord supér. du Soleil, comparées aux angles du 6; barom. = 0<sup>o</sup> 6140; therm. 25<sup>o</sup> 0.

| Matin.            |                   |                   | Soir.               |                   |  |
|-------------------|-------------------|-------------------|---------------------|-------------------|--|
|                   |                   |                   |                     |                   |  |
| 5 <sup>h</sup> 53 | 12 <sup>o</sup> 4 | 79 <sup>o</sup> 0 | D 5 <sup>h</sup> 59 | 59 <sup>o</sup> 2 |  |
| 53                | 54,4              | 79 20             | B 8 35              | 0,0               |  |
| 54                | 36,0              | 79 40             |                     |                   |  |

L'incertitude dont je parle dans ces observations vient le plus souvent du peu de lumière de l'étoile qui semblait se fonder et non s'éclipser dans la lumière de la Lune; la rareté des occultations d'étoiles brillantes et les nombreuses interruptions causées par les voyages pendant lesquels il était impossible de régler les chronomètres d'une manière satisfaisante m'avaient forcé d'avoir recours aux occultations des très-petits astres. La crainte de variation dans la marche du chronomètre entre deux observations consécutives d'angles horaires m'avait engagé à employer deux montres afin de les corriger l'une par l'autre. J'ai calculé tous les angles de hauteur ainsi que les occultations des étoiles qui se trouvent dans le catalogue de Mr. Baily mais le manque d'observations correspondantes, et la crainte d'erreurs dans des calculs faits hâtivement en voyage m'ont engagé à vous transmettre de préférence, non mes résultats mais les observations originales. J'avais eu le projet d'échapper à ces calculs si gênants en employant une lunette méridienne d'Ertel que j'avais faite venir à grands frais de Munich. Mal-

heureusement l'artiste pour des raisons que je n'ai pas pu entrevoir, a renoncé à la méthode française de fermer les tubes de niveau hermétiquement à la lampe Mr. Ertel a préféré roder les extrémités de ses tubes et les clore par une petite plaque de verre assujettie au moyen d'une peau fine et d'une substance collante. Dès mon arrivée au Calre, celle-ci ou se dissolvait dans l'ether dont le niveau était rempli ou se fondait par la chaleur du climat et malgré bien des essais je n'ai pu réussir à tirer le moindre partie, d'une lunette méridienne d'ailleurs parfaitement conçue et bien exécutée.

Comme Adwa était à l'extrémité méridionale de la petite base géodésique que j'ai mesurée j'ai cherché à déterminer sa latitude avec le plus grand soin. Je vous en donne ici les résultats calculés par la formule de Delambre et pour la polaire par vos tables.

|   |                           |
|---|---------------------------|
| Mars 30. Soleil. par le théod. Gamby (bult répétitions) | 14 <sup>o</sup> 10' 05" 8 |
| Avril 6. id. id. (4 id.)                                | 14 9 48,2                 |
| id. polaire. cercle de réflexion (4 id.)                | 14 9 43                   |
| Avril 10. agr. course id. (16 id.)                      | 14 10 2,3                 |
| 14. id. théodolite Gamby (8 id.)                        | 14 9 49,2                 |
| 16. id. id. (10 id.)                                    | 14 9 50                   |

latitude moyenne 14 9 54,1

ou 14<sup>o</sup> 9' 51". Si l'on rejette la première observation faite près d'une foule de passans qui agitaient le niveau Mon observatoire était tout près du marché d'Adwa et de l'Adarach du gouverneur Aita Wasen. Je relevais le sommet du Mt Saloda par 358<sup>o</sup> 13' 12" comptés des N. vers l'Est, et le dome du Mt Samagata par 76<sup>o</sup> 11' 50".

Comme j'ai encore en très-bon état le théodolite de Mr. Gamby dont les verniers verticaux donnent cinq-secondes je désirerais beaucoup pouvoir m'en servir pour déterminer la longitude par des distances zénithales de la lune et d'une étoile voisine. Cette méthode inventée par Mr. Struve et employée par les officiers Russes dans la guerre de 1828 donnerait dit-on des résultats comparables, pour l'exactitude, à la méthode des culminations lunaires observées dans un instrument portatif. Avant mon départ d'Europe je n'ai pu avoir aucun détail sur cette méthode. Peut-être auriez vous la bonté de la faire copier avec un exemple de calcul et des conseils sur le choix des observations. En me l'envoyant chez Mr. le Capt. Beaufort, Admiralty, London, votre lettre me parviendrait en Abyssinie où, Dieu aidant, je pourrais rendre quelque services à l'Astronomie géodésique.

Antoine d'Abbadie.

(Inh. zu Nr. 414.) Schreiben des Herrn Ary, Directors der Greenwich Sternwarte, an den Herausgeber. p. 81. — Auszug aus einem Schreiben des Herrn Professors Hansen, Directors der Sternwarte in Christiania, an den Herausgeber. p. 83. — Auszug aus einem Schreiben des Herrn Santini, Directors der Sternwarte in Padua, an den Herausgeber. p. 83. — Schreiben des Herrn Koller, Directors der Sternwarte in Kremsmünster, an den Herausgeber. p. 88. — Schreiben des Herrn Bianchi, Directors der Sternwarte in Modena, an den Herausgeber. p. 89. — Beschreibung eines neuen Micrometers. Von Herrn Th. Clausen. p. 96.  
(zu Nr. 415.) Ueber die Grundformeln der Dioptrik. Von Herrn Gsh. Rath und Ritter Bessel. p. 97. — Schreiben des Herrn d'Abbadie an den Herausgeber. p. 107.

Altona 1841. Februar 25.

Schreiben des Herrn Professors *Argelander*, Directors der Sternwarte in Bonn, an den Herausgeber.

Beigehend überreiche ich Ihnen einen kleinen Aufsatz über einige veränderliche Sterne, Beobachtungen und Rechnungen enthaltend, mit der Bitte, denselben in Ihre Astr. Nachr. aufzunehmen, ersuche Sie aber, am Schlusse des über Algol gesagten noch folgendes hinzuzufügen:

Da 2548 Perioden = 20 Julianischen Jahren  $0^{\circ} 23' 48''$  sind: so erhält man die Epochen des kleinsten Lichtes für die Jahre 1840—1842 in Pariser mittlerer Zeit, wenn man zu den Angaben für die Jahre 1820—1822, die *Wurm* im Astr. Jahrb. für 1822. p. 121 u. 122 gegeben hat, hinzufügt  $1''$  weniger  $11' 7''$ , wobei jedoch nicht zu übersehen ist, daß *Wurm* die Morgenbeobachtungen nach bürgerlicher Zeit rechnet, auch die Zeitgleichung vernachlässigt ist.

Auf denselben Blatte sind auch alle von uns beobachteten Sternbedeckungen zusammengestellt, die früheren hatte ich Ihnen schon früher mitgetheilt, aber unbegreiflicher Weise bei mehreren die Secunden hinzuzufügen vergessen.

Für die gütige Uebersetzung des Cometencirculars danke ich ergebenst; Ich fand den Cometen schon am 3<sup>ten</sup> November auf, es gelang aber wegen der fortwährend vorüberziehenden Wolken keine Beobachtung; Novbr. 4. beobachteten *Kysaeus* und ich ihn mit 2 Sternen, die aber beide unbestimmt und so entfernt von bekannten Sternen waren, daßs ich sie nicht am Ringmicrometer bestimmen konnte. So datiren denn unsere Beobachtungen erst vom 8<sup>ten</sup> November. Seitdem haben wir den Cometen, so oft es irgend thunlich war, beobachtet; wäh-

rend des Novembermondscheines gelang es noch, ihn recht gut zu beobachten, aber der letzte Mondschein liefs ihn in unserm Fernrohre nur ahnen, nicht mehr beobachten; jetzt ist er wieder recht gut zu sehen, und ich hoffe ihn noch bis zum nächsten Moondlichte zu verfolgen. Unsere sämmtlichen bisher erhaltenen Positionen lege ich auf einem besondern Blatte für die Astr. Nachr. bei; dasselbe enthält auch die verglichenen Sterne. Da diese im Anfange der Erscheinung aus den Pariser Memoiren für 1789 entnommen werden mußten, so veranlaßte ich Herrn *Kysaeus*, für die betreffenden Zonen Reductionstafeln zu berechnen, die ich hier gleichfalls belege, um andern Astronomen die Arbeit der Berechnung zu ersparen. Diese Tafeln sind ganz wie die von Ihnen herausgegebenen nach *Bessels* Vorschläge berechnet, nur daßs die nördlichen Zenithdistanzen positiv genommen sind. Die constante Correction wurde aber nicht aus *Piazzi'schen* Sternen berechnet, weil *Piazzi's* Rectascensionen sehr nördlicher Sterne bekanntlich oft sehr falsch sind; vielmehr wurden nur solche Sterne gewählt, die entweder von *Bessel*, *Struve*, *Pond* oder mir beobachtet sind, und wo möglich auch in den Fundamentis astronomiae vorkommen. Auf diese Weise konnte auch die Correction der AR. wegen der Abweichung des Quadranten genauer ermittelt werden, als dieses aus *Lalande's* eigenen oft sehr fehlerhaften Angaben möglich gewesen wäre. Herr *Kysaeus* hat sich vorgenommen, diese Berechnung auf die sämmtlichen Beobachtungen in den Memoiren von 1789 und 1790 auszudehnen.

*Fr. Argelander.*

### Beobachtungen einiger veränderlichen Sterne im Jahre 1840.

#### 1. Mira Ceti.

Zur Abkürzung bediene ich mich, um die verschiedenen Helligkeitsgrade auszudrücken, der folgenden Zeichen.

= < und > heisst gleich oder vielmehr noch etwas kleiner oder größer.

: < und > heisst bestimmt kleiner oder größer.

<: und >: heisst merklich kleiner oder größer.

+ < und > + heisst bedeutend kleiner oder größer.

<+ und >+ heisst viel kleiner oder größer.

Die Unterschiede der einzelnen Bestimmungen dürften etwa  $\frac{1}{10}$  bis  $\frac{1}{2}$  einer Größenordnung betragen, die letzte Bezeichnung hat aber eine größere Ausdehnung; < und > ohne nähere Bezeichnung ist nur ein allgemeiner Ausdruck.

1840 Juli 23. 13<sup>h</sup>. Mira noch unsichtbar.

Juli 29 13<sup>h</sup> Mira selbst im Opernglas noch unsichtbar, <+ 75; <: 81 und die übrigen ihn umgebenden 6<sup>m</sup>; er ist kaum 6.7<sup>m</sup> (im Cometensucher).

Aug. 1. 13<sup>h</sup> Mira im Opernglas eben zu sehen, kaum 6.7<sup>m</sup>.

Aug. 6. 14<sup>h</sup> Mira bei ausgezeichnet klarer Luft eben mit bloßem Auge sichtbar, aber noch kleiner, als die ihn umgebenden 6<sup>m</sup>; im Opernglase  $\gamma$  71, den *Piazz* 6<sup>m</sup> schätzt, den ich aber mit bloßem Auge nicht sehe.

Aug. 8. 14<sup>h</sup>. Mira = 63,  $\angle$  die andern ihn umgebenden 6<sup>m</sup>, obgleich ziemlich tief, doch mit bloßem Auge sichtbar.

Aug. 21. 12<sup>h</sup>. Mira =  $\angle$   $\nu$  Ceti.

Aug. 23. 12<sup>h</sup>. Mira  $\angle$   $\nu$ ,  $\gamma$ ,  $\angle$   $\xi^1$ ,  $\angle$   $\xi^2$ ,  $\angle$   $\mu$ .

Aug. 29. 12<sup>h</sup>. Mira  $\angle$   $\delta$ , =  $\angle$   $\mu$ , =  $\angle$   $\xi$ , etwa  $\frac{\mu + \xi}{2}$ .

Aug. 30. 12<sup>h</sup>. Mira =  $\delta$ .

Aug. 31. 12<sup>h</sup>. Mira  $\angle$   $\delta$ ,  $\gamma$  +  $\mu$ ,  $\angle$   $\alpha$  Pisc.,  $\angle$   $\gamma$  Ceti.

Sept. 1. 13<sup>h</sup>. Mira =  $\gamma$   $\delta$ ; 14<sup>h</sup> Mira  $\gamma$  :  $\delta$ ,  $\gamma$  +  $\mu$ ,  $\angle$   $\alpha$  Pisc.

Sept. 12. 12<sup>h</sup>. Mira  $\gamma$  +  $\delta$ ,  $\angle$   $\gamma$ ,  $\Rightarrow$  oder selbst  $\gamma$  :  $\alpha$  Pisc.; die Beobachtung geschah bei dem sehr hellen Mondscheine mit dem Opernglase.

Sept. 20. 12<sup>h</sup>. Mira  $\gamma$  +  $\delta$ ,  $\angle$   $\gamma$ , =  $\alpha$  Pisc.

Sept. 21. 11<sup>h</sup>. Mira  $\gamma$  :  $\delta$ ,  $\angle$   $\gamma$ , =  $\angle$   $\alpha$  Pisc., der mir aber heute näher an  $\gamma$  Ceti zu sein schien, als gestern.

Sept. 27. 10<sup>h</sup>. Mira =  $\alpha$  Pisc., fast auch  $\angle$   $\gamma$  Ceti,  $\gamma$  +  $\delta$ ; 12<sup>h</sup> 30' Mira =  $\angle$   $\alpha$  Pisc.

Sept. 29. 12<sup>h</sup> 30'. Mira =  $\angle$   $\gamma$ ,  $\gamma$  :  $\alpha$  Pisc.

Sept. 30. 12<sup>h</sup>. Mira  $\angle$   $\gamma$ , =  $\alpha$  Pisc.

Oct. 7. 11<sup>h</sup>. Mira =  $\gamma$ ,  $\gamma$  :  $\alpha$  Pisc.; sehr heller Mondschein.

Oct. 9. 12<sup>h</sup>. Mira =  $\gamma$ ,  $\gamma$  :  $\alpha$  Pisc.

Oct. 10. 10<sup>h</sup> 30'. Mira  $\gamma$  :  $\gamma$ ,  $\gamma$  + oder wenigstens  $\gamma$  :  $\alpha$  Pisc.

Oct. 17. 10<sup>h</sup> 30'. Mira  $\angle$   $\gamma$ ,  $\angle$   $\alpha$  Pisc.,  $\gamma$  :  $\delta$ , sehr nahe  $\frac{\gamma + \delta}{2}$ .

Oct. 24. 10<sup>h</sup>. Mira  $\gamma$  :  $\delta$ ,  $\angle$   $\alpha$  Pisc.,  $\gamma$  +  $\gamma$ .

Nov. 4. 14<sup>h</sup>. Mira  $\gamma$  :  $\nu$ ,  $\angle$   $\lambda$ , etwa  $\frac{\nu + \lambda}{2}$ .

Nov. 9. 11<sup>h</sup>. Mira  $\angle$   $\delta$ ,  $\angle$   $\xi^1$ ,  $\xi^2$ ,  $\mu$ ,  $\gamma$  :  $\lambda$ . Heller Mondschein.

Nov. 25. 8<sup>h</sup>. Mira sehr schwach, nur eben sichtbar, schwächer, als die ihn umgebenden 6<sup>m</sup>.

Nov. 27. 7<sup>h</sup> 30'. Mira nicht mehr mit bloßem Auge sichtbar, aber im Opernglase noch gut zu erkennen.

Zur Ergänzung und Controlle meiner Beobachtungen theile ich die folgenden Beobachtungen mit, die Herr Oberlehrer *Heis* in Aachen auf meine Bitte angestellt und mir bekannt zu machen erlaubt hat. Herr *Heis* bemerkt, daß die ersten Beobachtungen nicht so sicher sind, als die spätern.

Sept. 20. 10<sup>h</sup>. Mira =  $\gamma$  Ceti.

Sept. 21. 10<sup>h</sup>. Mira =  $\gamma$ ; die Luft nicht ganz rein.

Sept. 25. 10<sup>h</sup>. Mira =  $\angle$   $\gamma$ .

Sept. 27. 8<sup>h</sup>. Mira fast =  $\gamma$ , =  $\angle$   $\alpha$  Pisc.

Sept. 29. 10<sup>h</sup>. Mira ein wenig heller als  $\gamma$ .

Oct. 7. 10<sup>h</sup>. Mira wenig heller als  $\gamma$ , viel heller als  $\alpha$  Pisc.

Oct. 17. 9<sup>h</sup>. Mira zwischen  $\gamma$  und  $\delta$ ,  $\gamma$  +  $\delta$ .

Oct. 26. 8<sup>h</sup>. Mira zwischen  $\gamma$  und  $\delta$ ,  $\angle$   $\alpha$  Pisc.

Nov. 4. 10<sup>h</sup>. Mira fast =  $\lambda$ .

Nov. 12. 9<sup>h</sup>. Mira =  $\angle$   $\nu$ .

Nov. 14. 8<sup>h</sup>. Mira zwischen  $\mu$  und  $\nu$ ; sehr reine Luft.

Nov. 25. 9<sup>h</sup>. Mira  $\angle$   $\mu$ , etwas  $\angle$  63 Ceti; sehr reine Luft.

Nov. 26. 10<sup>h</sup>. Mira schwer mit bloßem Auge zu erkennen; die Luft außerordentlich klar.

Später ist Mira nicht mehr gesehen. So weit Herr *Heis*.

Aus diesen Beobachtungen geht nun zunächst hervor, daß das grösste Licht dieses Jahr zwischen Sept. 30 und Oct. 7 gefallen ist, also nahe auf denselben Jahrestag zu setzen sein wird, als voriges Jahr, vielleicht etwas früher, während es einen Monat früher fallen sollte, und es wird dadurch die große Unregelmäßigkeit in der Periode aufs evidenteste bewiesen. Zugleich zeigt aber auch der Verlauf des Lichtwechsels eine große Verschiedenheit von dem vorjährigen; während der Stern damals mehr als noch einmal so rasch an Licht zu- als abnahm (vergl. Astr. Nachr. Bd. XVII. pag. 219), war dieses Jahr die Abnahme beinahe noch rascher, als die Zunahme; denn der Stern hatte gleiche Helligkeit Aug. 6 und Nov. 25, Aug. 24 und Nov. 6, Sept. 1 und Oct. 24; diese Epochen aber fallen resp. am 58., 40., 32. Tage vor und nur 53, 34, 21 Tage nach dem 3<sup>ten</sup> October, den ich etwa für den Tag des grössten Lichtes ansehen möchte. Diese Verschiedenheit kommt vorzüglich auf Rechnung der Lichtzunahme; denn der Stern brante dieses Jahr wahrscheinlich mehr Zeit, um von der 6<sup>m</sup> zur 3<sup>m</sup> zu gelangen, als voriges Jahr, um von der 6<sup>m</sup> zur 2<sup>m</sup> zu steigen, während seine Abnahme von der 3<sup>m</sup> bis zur Unsichtbarkeit mit unbewaffnetem Auge in beiden Jahren, und so viel sich beurtheilen läßt, auch 1838 nahe mit derselben Schnelligkeit in etwa 45 bis 50 Tagen vor sich ging. Auch die Dauer der Sichtbarkeit mit bloßem Auge, die dieses Jahr etwa 113 bis 114 Tage betragen haben wird, kann im vorigen Jahre nicht viel grösser gewesen sein; sie wird 130 Tage nicht überstiegen haben, wovon er etwa 70 Tage heller war, als heuer im grössten Lichte. Bei diesen großen Ungleichheiten der Erscheinung wird es noch lange dauern, ehe wir über das Regelmässige derselben im Klaren sein werden, und es ist um so nöthiger, daß sie recht an-

haltend und vielfältig beobachtet werde. Noch erlaube ich mir, die Größen der verschiedenen verglichenen Sterne nach meiner Schätzung hier herzusetzen: ich schätze  $\gamma$  hell 3.4<sup>m</sup> fast 3<sup>m</sup>,  $\delta$ ...4<sup>m</sup> fast 4.3<sup>m</sup>,  $\mu$ ,  $\xi$ ...4.5<sup>m</sup>,  $\lambda$ ...5.4<sup>m</sup>,  $\gamma$ ...5<sup>m</sup>,  $\psi$  =  $\xi$  Arietis 5.6<sup>m</sup>, 75...6.5<sup>m</sup>, 60, 63, 67, 69, 70, 81...6<sup>m</sup>.  $\alpha$  ist ein sehr schwacher Stern 2.3<sup>m</sup>, vielleicht sollte man ihn sogar nur 3.2<sup>m</sup> schätzen. Ueber die näheren Helligkeitsverhältnisse dieser Sterne werden wahrscheinlich die Beobachtungen des Herrn von Boguslawski mehr Aufschluß geben, deren Resultate ich mit großem Verlangen entgegensehe.

## 2. $\eta$ Aquilae oder Antinol.

Die Größen der Vergleichungssterne sind:  $\delta$ ...3<sup>m</sup>,  $\delta$ ...3.4<sup>m</sup>,  $\beta$ ,  $\epsilon$ ...4<sup>m</sup>,  $\lambda$ ...4.5<sup>m</sup>,  $\mu$ ...5.4<sup>m</sup>,  $\nu$ ...5<sup>m</sup>; die eingeklammerten Zeitangaben sind nur mathematische, können aber kaum mehr als 1 Stunde falsch sein.

1840 Juli 15. 10<sup>h</sup> 30'.  $\eta$  nahe im kleinsten Lichte,  $+$   $< \beta$ ,  $< \lambda$ ,  $> \mu$ ; heller Mondschein.

Juli 22. (10<sup>h</sup>).  $\eta = \lambda$ ,  $< + \beta$ ,  $< \alpha$ .

Juli 23. (10<sup>h</sup>).  $\eta = \alpha$ .

Aug. 1. 13<sup>h</sup> 30'.  $\eta > + \lambda$  und  $\alpha$ ,  $> \beta$ ,  $= < \delta$  (größten Licht).

Aug. 2. 10<sup>h</sup>.  $\eta = \beta$ ,  $> + \lambda$ ,  $> \alpha$ ,  $+ < \delta$ ,  $= \alpha$  Delphini.

Aug. 3. 11<sup>h</sup> 30'.  $\eta > \lambda$ ,  $< \beta$ , näher an  $\alpha$  als an  $\lambda$ .

Aug. 4. 11<sup>h</sup> 30'.  $\eta = \nu$ ,  $< + \alpha$  und  $\beta$ .

Aug. 5. 11<sup>h</sup>.  $\eta < = \lambda$ ,  $> + \nu$ ; es zogen zwar häufig dünne Wolken vorüber, aber als die Beobachtung geschah, gerade nicht; denn ich konnte neben  $\eta$  den Stern  $\alpha$  Aquilae 6<sup>m</sup> deutlich sehen.

Aug. 6. 11<sup>h</sup>.  $\eta < \lambda$ ,  $> + \nu$ ,  $= \mu$ .

Aug. 7. 11<sup>h</sup> 30'.  $\eta > \lambda$ ,  $+ \mu$  und  $\nu$ .

Aug. 8. 13<sup>h</sup>.  $\eta > + \lambda$ ,  $> \alpha$  und  $\beta$ , nur unbedeutend  $< \delta$ .

Aug. 10. (10<sup>h</sup>).  $\eta > + \lambda$ ,  $< + \delta$ , sehr nahe  $= \beta$ .

Aug. 14. 11<sup>h</sup>.  $\eta > \lambda$ ,  $< \alpha$ ,  $+ < \beta$ .

Aug. 17. 11<sup>h</sup> 30'.  $\eta > + \lambda$ ,  $> \alpha$ ,  $< \beta$ .

Aug. 21. 12<sup>h</sup>.  $\eta > \lambda$ ,  $< \alpha$ , etwa  $= \frac{+ + \delta}{2}$ .

Aug. 23. 9<sup>h</sup> 30'.  $\eta > \beta$ ,  $+ < \delta$ , näher an  $\beta$  als an  $\delta$ .

Aug. 24. 10<sup>h</sup> bis 12<sup>h</sup>.  $\eta$  vollkommen  $= \beta$ . auch  $= \frac{+ + \delta}{2}$ .

Aug. 25. 9<sup>h</sup>.  $\eta < \beta$ ,  $< \alpha$ ,  $> + \lambda$ .

Aug. 29. 11<sup>h</sup>.  $\eta = < \beta$ ,  $+ + \alpha$ ,  $+ + \lambda$ ; 12<sup>h</sup> 30'.  $\eta > \beta$ .

Aug. 30. 11<sup>h</sup>.  $\eta = \frac{\beta + \delta}{2}$ , vielleicht etwas näher an  $\delta$ .

Aug. 31. 11<sup>h</sup>.  $\eta = \beta$ ,  $+ < \delta$  bis  $+ + \delta$ ,  $> \alpha$ ,  $+ + \lambda$ .

Sept. 1. 10<sup>h</sup>.  $\eta < \beta$ ,  $> \alpha$ .

Sept. 16. (9<sup>h</sup>).  $\eta < \beta$ ,  $> + \lambda$ .

Sept. 17. (9<sup>h</sup>).  $\eta < \beta$ ,  $> + \lambda$ ,  $< \alpha$ .

Sept. 20. 12<sup>h</sup>.  $\eta < \beta$ ,  $< \delta$ , etwa  $= \frac{\beta + \delta}{2}$ ; der Adler schon ziemlich tief, aber reine Luft.

Sept. 21. 9<sup>h</sup>.  $\eta > \beta$ ,  $< \delta$ ,  $< = \frac{\beta + \delta}{2}$ .

Sept. 27. 8<sup>h</sup>.  $\eta = \beta$ ; 10<sup>h</sup>.  $\eta > \beta$ ,  $< \delta$ ; 10<sup>h</sup> 30'.  $\eta > \beta$ ,  $< \delta$  bis  $+ < \delta$ ; 11<sup>h</sup> 30'.  $\eta > \beta$ , etwa  $= \frac{\beta + \delta}{2}$ ; 12<sup>h</sup>.  $\eta$  doch wol  $< \frac{\beta + \delta}{2}$ .

Sept. 29. 8<sup>h</sup> 30'.  $\eta = \beta$ ,  $> \alpha$ ,  $+ + \lambda$ ; 11<sup>h</sup>.  $\eta < \beta$  oder  $= \beta$ .

Sept. 30. 10<sup>h</sup>.  $\eta = \frac{\beta + \lambda}{2}$ , vielleicht ein Weniges näher an  $\beta$ .

Oct. 8. 9<sup>h</sup>.  $\eta < \beta$ ,  $> + \lambda$ , etwa  $= \frac{\beta + \lambda}{2}$ .

Oct. 9. 9<sup>h</sup>.  $\eta > + \lambda$ ,  $< \delta$  oder  $+ < \beta$ ,  $< \frac{\beta + \lambda}{2}$ .

Oct. 10. 10<sup>h</sup>.  $\eta < \frac{\beta + \lambda}{2}$ .

Oct. 12. 6<sup>h</sup> 30,  $\eta = \frac{\beta + \delta}{2}$ ; 9<sup>h</sup> 30'.  $\eta > \frac{\beta + \delta}{2}$ .

Oct. 13. 9<sup>h</sup>.  $\eta = > \beta$ .

Oct. 17. 7<sup>h</sup>.  $\eta < \lambda$ ,  $> \mu$ , dunstige Luft, aber beim Adler schien sie ziemlich klar; 8<sup>h</sup> 30'  $\eta < = \lambda$ ; 10<sup>h</sup> bei ganz klarer Luft  $\eta < \lambda$ ,  $> \mu$  ich glaube, er ist schon im Zunehmen.

Oct. 21. 6<sup>h</sup> 30'.  $\eta < = \beta$ ,  $> \alpha$ ,  $> + \lambda$ .

Oct. 24. 8<sup>h</sup>.  $\eta < \beta$ ,  $< \alpha$ , vollkommen  $= \lambda$ .

Nov. 8. 6<sup>h</sup>.  $\eta = \lambda$ ,  $> + \nu$ ,  $> \mu$ .

Nov. 9. 6<sup>h</sup>.  $\eta < \delta$  bis  $< \beta$ ,  $= \nu$ ,  $> + \lambda$ .

Nov. 15. 6<sup>h</sup>.  $\eta = \lambda$ ,  $< \alpha$ ,  $> \mu$ ,  $> + \nu$ .

Nov. 25. 7<sup>h</sup>.  $\eta > \beta$ ,  $+ + \lambda$ ,  $> \alpha$ ,  $< \delta$ ;  $\alpha$  heute nur  $> + \lambda$ .

Nov. 26. 6<sup>h</sup>.  $\eta > \lambda$ ,  $=$  oder  $= > \beta$ .

Nov. 27. 7<sup>h</sup>.  $\eta < \beta$ ,  $> \alpha$ ,  $> + \lambda$ .

Nov. 28. 7<sup>h</sup>.  $\eta > \lambda$ ,  $< \beta$ .

Dec. 13. 6<sup>h</sup>  $\frac{1}{2}$ .  $\eta = \lambda$ ,  $+ < \beta$  und  $\alpha$ ;  $\beta$  heute  $= > \alpha$ .

Dec. 14. 6<sup>h</sup>  $\frac{1}{2}$ .  $\eta > \lambda$ ,  $< \beta$ .

Dec. 15. 6<sup>h</sup>.  $\eta > + \lambda$ ,  $= > \beta$ ,  $> \alpha$ ,  $< \delta$ ,  $+ < \delta$ .

Dec. 16. 6<sup>h</sup>.  $\eta > \beta$ ,  $< \delta$ , aber dunstige Luft beim Adler.

Dec. 17. 6<sup>h</sup>.  $\eta = > \beta$ ,  $+ + \lambda$ ,  $> \alpha$ .

Herr Oberlehrer Heis hat die folgenden Beobachtungen angestellt, die die meiningen fast überall bestätigen:

Aug. 27. 10<sup>h</sup>.  $\eta$  etwas heller als  $\lambda$ .

Aug. 31. 10<sup>h</sup>.  $\eta$  etwas heller als  $\beta$ .

Sept. 1. 10<sup>h</sup>.  $\eta$  etwas kleiner als  $\delta$ , heller als  $\beta$ .

Sept. 2. 10<sup>h</sup>.  $\eta$  etwas schwächer als  $\beta$ , bedeutend schwächer als  $\delta$ .

Sept. 5.  $10^h 40'$ .  $\eta = \iota$ , beide wegen leichten Nebels kaum zu erkennen.

Sept. 12.  $9^h$ .  $\eta$  etwas kleiner als  $\iota$ , kleiner als  $\delta$ .

Sept. 14.  $10^h 30'$ .  $\eta$  zwischen  $\delta$  und  $\beta$ , näher an  $\delta$ .

Sept. 21.  $10^h$ .  $\eta$  heller als  $\beta$ , fast  $= \delta$ .

Sept. 25.  $8^h$ .  $\eta$  nahe  $= \beta$ ,  $\sqrt{\frac{\beta+\delta}{2}}$ .

Sept. 27.  $8^h 30'$ .  $\eta$  zwischen  $\beta$  und  $\delta$ .

Sept. 29.  $10^h$ .  $\eta = \beta$ .

Oct. 17.  $7^h$ .  $\eta$  etwas kleiner als  $\beta$ .

Oct. 26.  $8^h$ .  $\eta$  nahe  $= \delta$ .

Aus diesen Beobachtungen ist nun dreierlei zu bestimmen; der Gang des Lichtwechsels während einer Periode, die Dauer derselben und eine Epoche einer bestimmten Phase. Für die letzte wählte der Entdecker des Lichtwechsels, *Pigott*, die Mitte zwischen dem kleinsten und größten Lichte beim Zunehmen der Helligkeit, *Wurm* hingegen bei seinen umfassenden Beobachtungen und Berechnungen dieses Sterns das größte Licht selbst. *Westphal* wieder verglich bei ähnlichen Untersuchungen über andere veränderliche Sterne die Zeiten mit einander, wann der Stern einer bestimmten Größenklasse anzugehören schien. Die letzte Methode ist zu unsicher wegen der Willkürlichkeit in der Schätzung einer bestimmten Größe, dagegen scheint es auf den ersten Anblick sehr sicher, wenn man die Zeit wählt, da der Stern einem bestimmten unveränderlichen an Licht vollkommen gleich ist. Abgesehen aber davon, daß es schwierig seyn dürfte, einen vollkommen unveränderlichen Stern aufzufinden, wenn sich's nämlich um die kleinsten Nüancen handelt, fand ich auch unter meinen Beobachtungen zu wenige dieser Art. Ich habe daher die Epoche des größten Lichtes gewählt, und glaube, daß dieses sich nach der von mir befolgten Methode sehr sicher bestimmen läßt, wenigstens bei unserm Sterne; ich habe nämlich nicht die Zeit dafür angenommen, wann mir der Stern am hellsten während einer Periode erschien, weil man wohl nur in seltenen Fällen gerade zur Zeit des größten Lichtes beobachtet wird, sondern ich habe dieses aus den Beobachtungen der vorhergehenden und folgenden Tage interpolirt, wobei ich nach den durch meine Beobachtungen bestätigten Angaben von *Pigott* und *Wurm* annahm, daß der Stern noch einmal so rasch an Licht zu- als abnimmt. Z. B. war Sept. 20.  $12^h \eta > \beta$ ,  $< \delta$ , etwa  $= \frac{\beta+\delta}{2}$ , am folgenden Tage um  $9^h$  war  $\eta$  wie-

der  $> \beta$  und  $< \delta$ , aber nur  $= \frac{\beta+\delta}{2}$ ; ich habe daher

angenommen, daß er Sept. 21.  $6^h = \frac{\beta+\delta}{2}$  gewesen sey, die bis dahin seit Sept. 20.  $12^h$  verfllossene Zeit von 18 Stunden durch 3 getheilt, und das Drittel zu Sept. 20.  $12^h$  hinzudrirt,

so daß also das größte Licht auf Sept. 20.  $18^h$  gefallen wäre; wo es nöthig schien, habe ich auch noch auf die früheren und spätern Erscheinungen Rücksicht genommen, und wo die Uebereinstimmung der Beobachtungen unter sich schlecht war, oder die das größte Licht einschließenden nächsten Beobachtungen um 2 Tage auseinander lagen, der Bestimmung nur den halben Werth gegeben. Hierbei habe ich es sorgfältig vermieden, mich durch frühere oder spätere Bestimmungen zu Aenderungen verleiten zu lassen, und deshalb die Beobachtungen auch nicht nach der Reihenfolge berechnet. Die so gefundenen Epochen habe ich nun auf die erste Erscheinung des größten Lichtes im October mit der sehr nahe richtigen Periode von  $7^h 4^h 13^s$  reducirt, und dadurch die folgende Zusammenstellung für die Epoche des größten Lichtes erhalten:

|                    |          |                               |
|--------------------|----------|-------------------------------|
| Oct. 12. $9^h 30'$ | reducirt | Oct. 5. $5^h 16^m 2^s$        |
| Aug. 1. 13 30      | —        | 3 34,2                        |
| Dec. 15. 22        | —        | 3 41,5                        |
| Aug. 8. 16         | —        | 1 50,4 $\omega = \frac{1}{2}$ |
| Aug. 30. 4         | —        | 1 9,0                         |
| Sept. 20. 18       | —        | 2 27,6                        |
| Aug. 23. 0         | —        | 1 22,8 $\omega = \frac{1}{2}$ |
| Sept. 27. 20       | —        | 0 13,8 $\omega = \frac{1}{2}$ |

im Mittel Epoche des gr. Lichts Oct. 5.  $2^h 45^m 0^s \omega = 6,5$ .

Die Uebereinstimmung ist so schön, als man es nur wünschen, besser, als man es bei derlei Beobachtungen erwarten konnte. Auf die Aachener Beobachtungen habe ich dabei keine Rücksicht nehmen können, weil, als ich diese erhielt, die Rechnungen schon fast ganz vollendet waren. Bei ihrer Berücksichtigung würde die Epoche eine bis zwei Stunden später gefallen seyn. Auf dieselbe Weise habe ich die Epoche des kleinsten Lichtes gesucht, dabei aber keine so gute Uebereinstimmung gefunden, wahrscheinlich weil der Stern etwa doppelt so lange in seinem kleinsten Lichte, d. h. kleiner als  $\iota$ , verweilt, denn in seinem größten, d. h. größer als  $\frac{\beta+\delta}{2}$ ; die unmittelbaren und reducirtten Epochen des kleinsten Lichtes sind:

|                |          |                                |
|----------------|----------|--------------------------------|
| Oct. 10. $1^h$ | reducirt | Oct. 2. $20^h 46^m 2^s$        |
| Aug. 6. 7      | —        | 16 50,4                        |
| Oct. 17. 7     | —        | 22 32,4                        |
| Jul. 15. 16    | —        | 14 31,8 $\omega = \frac{1}{2}$ |
| Jul. 23. 3     | —        | 21 18,0                        |

im Mittel Epoche des kl. Lichts Oct. 2.  $19^h 42^m 8^s$ .

Vergleicht man die eben gefundene Epoche des größten Lichtes mit den *Wurm'schen* Tafeln im Astr. Jahrb. für 1817 p. 122, so findet man eine so bedeutende Abweichung, daß man sie unmöglich Beobachtungsfehlern allein zuschreiben kann; jene



Tafeln setzen nämlich das erste grösste Licht im October 1840 auf Oct. 4,61096 = Oct. 4. 14<sup>h</sup> 39<sup>m</sup> 8<sup>s</sup> M. Z. Paris = Oct. 4. 14<sup>h</sup> 58<sup>m</sup> 9<sup>s</sup> M. Z. Bonn, also um 11<sup>h</sup> 26<sup>m</sup> 1<sup>s</sup> = 42366<sup>s</sup> zu früh; eine spätere Epoche würden meine Beobachtungen ertragen, Herrn *Heis*'s sogar fordern, mit einer um mehrere Stunden frühern lassen sich aber beide Reihen durchaus nicht vereinigen, und es muß also die Periode wirklich größer, als die bei Berechnung der Tafeln angenommene von 7<sup>h</sup> 4<sup>h</sup> 13<sup>m</sup> 29<sup>s</sup> 856 seyn, und zwar um den 2076<sup>ten</sup> Theil der oben angegebenen Zeit von 42366<sup>s</sup>, weil so viel Perioden seit 1800 Jan. 4,504 M. Z. Paris, der Haupteпоche der Tafel, verlossen sind. Die Division giebt 20<sup>h</sup> 42<sup>m</sup> 7<sup>s</sup>, und man wird also die Periode zu 7<sup>h</sup> 4<sup>h</sup> 13<sup>m</sup> 50<sup>s</sup> 28 annehmen können. Um diese Periode näher zu prüfen, untersuchte ich zuerst die von *Westphal* zu Danzig in den Jahren 1817 und 1818 angestellten und in der Zeitschrift für Astr. etc. Bd. VI. p. 302 ff. mitgetheilten Beobachtungen. Leider lassen sich aber aus denselben nur sehr wenige Epochen des grössten Lichts ableiten, und auch diese nur mit Mühe, woher zum Theil wohl die überaus schlechte Uebereinstimmung zu erklären ist; sie geben nämlich reducirt auf das erste grösste Licht des Jahres 1818 folgendes:

|               |   |                                     |
|---------------|---|-------------------------------------|
| 1817 Aug. 6.  | 17 <sup>h</sup> 18 <sup>m</sup> 50 <sup>s</sup> | $\omega = \frac{1}{2}$              |
| Sept. 4.      | 2   | — 4. 1 55,2 $\omega = \frac{1}{2}$  |
| — 11.         | 22  | — 4. 17 41,4 $\omega = \frac{1}{2}$ |
| Oct. 9.       | 7   | — 3. 9 46,0 $\omega = \frac{1}{2}$  |
| 1818 Juni 26. | 4   | — 4. 22 28,0 $\omega = \frac{1}{2}$ |
| Aug. 21.      | 14  | — 3. 22 36,4 $\omega = \frac{1}{2}$ |

im Mittel Epoche des gr. Lichts Jan. 4. 6<sup>h</sup> 2<sup>m</sup> 9<sup>s</sup>  $\omega = 3$ .

Berechnet man dieselbe Epoche aus *Wurms* Tafeln, so erhält man dafür Jan. 3,75664 = Jan. 3. 18<sup>h</sup> 9<sup>m</sup> 33<sup>s</sup> 7<sup>s</sup> M. Z. Paris = Jan. 3. 19<sup>h</sup> 14<sup>m</sup> 51<sup>s</sup> M. Z. Danzig, also die Beobachtung 10<sup>h</sup> 48<sup>m</sup> 3<sup>s</sup> später als die Rechnung; zwischen der Epoche der Tafeln und derjenigen der Beobachtung sind 916 Perioden verlossen, und es folgt hieraus die Vergrößerung der Periode 42<sup>h</sup> 45, also diese selbst 7<sup>h</sup> 4<sup>h</sup> 14<sup>m</sup> 12<sup>s</sup> 2. Wenn nun auch dieses Resultat als unsicher angesehen werden muß, so ist doch kaum zu glauben, daß die gefundene Epoche für 1818 um mehr als 10<sup>h</sup> falsch seyn sollte, zumal auch die Epoche des kleinsten Lichts, wie sie aus *Westphal*'s Beobachtungen; und zwar mit ziemlich guter Uebereinstimmung der einzelnen Resultate folgt, mit der des grössten Lichtes sehr gut zusammenkommt. Ich finde dafür nämlich folgende Epochen:

|               |   |                                    |
|---------------|---|------------------------------------|
| 1817 Aug. 18. | 12 <sup>h</sup> 18 <sup>m</sup> 22 <sup>s</sup> 9 |                                    |
| Sept. 2.      | 1   | — 2. 0 55,2                        |
| Nov. 5.       | 20  | — 2. 5 50,7                        |
| 1848 Sept. 2. | 16  | — 1. 16 7,6 $\omega = \frac{1}{2}$ |

im Mittel Epoche des kl. Lichts Jan. 1. 23<sup>h</sup> 46<sup>m</sup> 4<sup>s</sup>  $\omega = 3,5$ .

Die Zeit bis zum grössten Lichte ist hier 2<sup>h</sup> 6<sup>h</sup> 16<sup>m</sup> 5<sup>s</sup>, während sie nach meinen Beobachtungen 2<sup>h</sup> 7<sup>h</sup> 2<sup>m</sup> 2<sup>s</sup> ist, was also sehr nahe übereinstimmt.

Jetzt wende ich mich zu den frühesten Beobachtungen, den von *Pigott* und *Goodricke* in York in den Jahren 1784 und 1785 angestellten, und in den Philosophical Transactions für 1785 p. 128 und für 1786 p. 217 im Original mitgetheilten Reihen. Sie gewähren auf dieselbe Weise, wie meine eigenen behandelt, folgende Resultate:

|   |   |              |  |
|---|---|--------------|--|
| Grösstes Licht, reducirt mit der Periode 7 <sup>h</sup> 4 <sup>h</sup> 14 <sup>m</sup> 0 <sup>s</sup> |   |              |  |
| 1784 Sept. 13.  | 22 <sup>h</sup> 18 <sup>m</sup> 50 <sup>s</sup> | 1785 Jan. 6. | 17 <sup>h</sup> 44 <sup>m</sup> $\omega = \frac{1}{2}$ |
| Oct. 20.  | 8   | — 7.         | 6 34 $\omega = \frac{1}{2}$                            |
| — 27.   | 2   | — 6.         | 20 20 $\omega = \frac{1}{2}$                           |
| 1785 Juli 19.   | 12  | — 6.         | 17 42  |
| im Mittel grösstes Licht 1785 Jan. 6. 20 <sup>h</sup> 48 <sup>m</sup> 4 <sup>s</sup> $\omega = 2,6$ . |   |              |  |

|  |  |              |  |
|--|--|--------------|--|
| Kleinstes Licht, reducirt mit derselben Periode: |  |              |  |
| 1784 Sept. 19.                                   | 0 <sup>h</sup> 18 <sup>m</sup> 50 <sup>s</sup> | 1785 Jan. 4. | 15 <sup>h</sup> 30 <sup>m</sup> $\omega = \frac{1}{2}$ |
| Oct. 17.   | 23 30 <sup>m</sup>                             | — 22         | 4  |
| — 24.  | 23   | — 17         | 20 $\omega = \frac{1}{2}$                              |
| 1785 Mai 21.                                     | 3  | — 18         | 34   |
| Juli 17.   | 10   | — 15         | 42   |
| Sept. 26.  | 20   | — 7          | 22 $\omega = \frac{1}{2}$                              |

im Mittel kleinstes Licht 1785 Jan. 4. 16<sup>h</sup> 39<sup>m</sup> 1<sup>s</sup>  $\omega = 4,5$

Um diese Epochen mit den meinen zu vergleichen, habe ich den Meridianunterschied, York westlich von Bonn, zu 32<sup>m</sup> 9<sup>s</sup> angenommen, indem Bonn 28<sup>m</sup> 27<sup>s</sup> östlich von Greenwich und der Beobachtungsort in York nach einem Mittel aus verschiedenen von *Pigott* in den Phil. Trans. für 1786 p. 409 ff. mitgetheilten Bestimmungen 4<sup>m</sup> 27<sup>s</sup> westlich von Greenwich ist. Legt man also diese 32<sup>m</sup> 9<sup>s</sup> zu den *Pigott*'schen Epochen; so erhält man unter der Annahme der Periode 7<sup>h</sup> 4<sup>h</sup> 14<sup>m</sup>, oder 51 Perioden = 365<sup>h</sup> 28<sup>m</sup> 54<sup>s</sup> folgende Vergleichung:

|   |   |
|---|---|
| kl. Licht 1785 Jan. 4. 17 <sup>h</sup> 32' <sup>0</sup> | gr. Licht 1785 Jan. 6. 21 <sup>h</sup> 21' <sup>3</sup> |
| 2837 Per. 55 <sup>h</sup> 272 <sup>m</sup> 9 58,0       | 55 <sup>h</sup> 272 <sup>m</sup> 9 58,0                 |
| 1840 Oct. 3. 3 <sup>h</sup> 30' <sup>0</sup>            | 1840 Oct. 5. 7 <sup>h</sup> 19' <sup>3</sup>            |
| beobachtet Oct. 2. 19 42,8                              | Oct. 5. 2 45,0  |

Es ist also die angenommene Periode um den 2837<sup>ten</sup> Theil von resp. 7<sup>h</sup> 47<sup>m</sup> 2<sup>s</sup> und 4<sup>h</sup> 34<sup>m</sup> 3<sup>s</sup>, oder um 9<sup>h</sup> 8<sup>m</sup> 1<sup>s</sup> und 5<sup>h</sup> 80<sup>m</sup> 1<sup>s</sup> zu lang, oder die Periode selbst 7<sup>h</sup> 4<sup>h</sup> 13<sup>m</sup> 50<sup>s</sup> 12<sup>s</sup> und 54<sup>m</sup> 20<sup>s</sup>, d. h. im Mittel sehr nahe ebenso, wie sie früher aus der Vergleichung mit den *Wurms*'chen Tafeln folgte.

Es schien mir bei dieser Uebereinstimmung nicht unwahrscheinlich, daß in die *Wurms*'che Berechnung sich ein Fehler eingeschlichen hätte, und ich habe daher die *Wurms*'chen Beobachtungen selbst von neuem untersucht. Leider sind dieselben nirgends mit dem zu einer neuen Berechnung der einzelnen Epochen des grössten Lichtes nöthigen Detail mitgetheilt

worden, sondern nur (Astr. Jahrb. 1816 p. 132 und für 1817 p. 118) die von *Wurm* berechneten Epochen selbst. Die Berechnungsart (Astr. Jahrb. 1814 p. 145) ist aber keine sehr genaue. Wenn *Wurm* den Stern an einem Abende heller als den Abend vorher und nachher wahrnahm, setzte er auf 9<sup>h</sup> M. Z. Paris dieses Abends, wenn er ihn aber an zwei aufeinander folgenden Abenden gleich hell sah, auf 21<sup>h</sup> M. Z. Paris des frühern Tages das grösste Licht. Nun geht der Stern aber am 1<sup>ten</sup> December um 9<sup>h</sup> schon unter, und konnte also zu dieser Pariser Zeit oder ungefähr 9<sup>h</sup> 27' M. Z. an *Wurms* Beobachtungsorten unmöglich beobachtet werden, eben so wenig ist anzunehmen, daß *Wurm*, ein so sorgfältiger Astronom, den Stern im November so nahe am Horizonte sollte beobachtet haben, wie es bei der Beobachtungszeit 9<sup>h</sup> hätte geschehen müssen. Daher habe ich mir erlaubt, die Epoche in der ersten Hälfte des Novembers auf 8<sup>h</sup>, in der zweiten auf 7<sup>h</sup> und im December auf 6<sup>h</sup> M. Z. Paris zu setzen. Ausserdem habe ich noch, wenn die Epoche in die Morgenstunden fiel, sie nicht 12<sup>h</sup>, sondern 8<sup>h</sup> später als die Beobachtungszeit des frühern Abends gesetzt. Auch habe ich im Jahrbuch für 1816 einige Fehler in den Angaben berichtigt, die sich aus den beigesetzten Tafelfehlern als falsch erwiesen. Es ist nämlich bei den Epochen des grössten Lichts 1788 Aug. 19, 1790 Aug. 28 und Oct. 17, so wie 1804 Sept. 29 das + Zeichen ausgelassen, welches bedeutet, daß das grösste Licht auf die Morgenstunden fiel. Ich reducirte nun alle Beobachtungen desselben Jahres mit der *Wurmschen* Periode auf das grösste Licht Anfangs October, und bildete dann unter der Annahme von 51 Perioden  $= 366^{\circ} + \gamma^h$  und der Epoche 1797 Oct. 8.  $8^h + x^h$  die Bedingungsgleichungen; alles dieses, so wie die Angabe des Werthes jeder Gleichung enthält die folgende Zusammenstellung:

|                |                        |   |
|----------------|------------------------|---|
| 1785 Sept. 29. | 10 <sup>h</sup> 36' 8; | 0 = -2 <sup>h</sup> 36' 8 + x - 12 <sup>h</sup> $\gamma$ $\omega$ = 4 |
| 1786 — 30.     | 15 21,7                | = -7 21,7 + x - 11 <sup>h</sup> $\gamma$ 5                            |
| 1787 Oct. 1.   | 4 59,6                 | = + 3 0,4 + x - 10 <sup>h</sup> $\gamma$ 5                            |
| 1788 — 1.      | 15 23,2                | = -7 23,2 + x - 9 <sup>h</sup> $\gamma$ 5                             |
| 1789 — 2.      | 19 2,6                 | = -11 2,6 + x - 8 <sup>h</sup> $\gamma$ 10                            |
| 1790 — 3.      | 14 44,9                | = -6 44,9 + x - 7 <sup>h</sup> $\gamma$ 11                            |
| 1791 — 4.      | 12 44,1                | = -4 44,1 + x - 6 <sup>h</sup> $\gamma$ 7                             |
| 1793 — 5.      | 14 58,0                | = -6 58,0 + x - 4 <sup>h</sup> $\gamma$ 4                             |
| 1794 — 6.      | 4 17,0                 | = + 3 43,0 + x - 3 <sup>h</sup> $\gamma$ 4                            |
| 1795 — 7.      | 7 35,3                 | = + 0 24,7 + x - 2 <sup>h</sup> $\gamma$ 8                            |
| 1796 — 7.      | 7 14,0                 | = + 0 46,0 + x - $\gamma$ 7   |
| 1797 — 8.      | 7 49,0                 | = + 0 11,0 + x 2  |
| 1798 — 8.      | 21 42,0                | = + 10 18,0 + x + $\gamma$ 2  |
| 1799 — 10.     | 4 13,5                 | = + 3 46,5 + x + 2 <sup>h</sup> $\gamma$ 2                            |
| 1802 — 13.     | 5 41,0                 | = + 2 19,0 + x + 5 <sup>h</sup> $\gamma$ 1                            |
| 1803 — 14.     | 8 36,0                 | = - 0 36,0 + x + 6 <sup>h</sup> $\gamma$ 5                            |

|               |                      |   |
|---------------|----------------------|---|
| 1804 Oct. 14. | 4 <sup>h</sup> 33' 2 | 0 = + 3 <sup>h</sup> 26' 8 + x + 7 <sup>h</sup> $\gamma$ $\omega$ = 6 |
| 1805 — 14.    | 14 36,0              | = + 17 24,0 + x + 8 <sup>h</sup> $\gamma$ 1                           |
| 1806 — 16.    | 4 17,3               | = + 3 42,7 + x + 9 <sup>h</sup> $\gamma$ 8                            |
| 1807 — 16.    | 22 35,0              | = + 9 25,0 + x + 10 <sup>h</sup> $\gamma$ 3                           |
| 1808 — 17.    | 15 5,0               | = - 7 5,0 + x + 11 <sup>h</sup> $\gamma$ 1                            |
| 1809 — 18.    | 8 0,5                | = - 0 0,5 + x + 12 <sup>h</sup> $\gamma$ 2                            |
| 1811 — 20.    | 3 32,8               | = + 4 27,2 + x + 14 <sup>h</sup> $\gamma$ 6                           |
| 1812 — 20.    | 6 8,2                | = + 1 51,8 + x + 15 <sup>h</sup> $\gamma$ 6                           |

Die Berechnung dieser Gleichungen giebt die folgenden Summen der Producte und Quadrate ( $aa$ ) = 3857,12; ( $aa$ ) = -157,27; ( $aa$ ) = 105; ( $ba$ ) = + 3533,0; ( $ba$ ) = -81; ( $bb$ ) = 7677; woraus man nach vollendeter Elimination die Summe der nach derselben übrig bleibenden Fehlerquadrate = 2102,95 erhält, also den wahrscheinlichen Fehler einer Beobachtung = 6<sup>h</sup> 60 und endlich

$$x = +1^h 521 \pm 0^h 6462 = +1^h 9' 126 \pm 38' 77$$

$$\gamma = -0,44805 \pm 0,07557 = -26,883 \pm 4,5343$$

d. h. die Epoche 1797 Oct. 8. 9<sup>h</sup> 9' M. Z. Paris  $\pm 38' 77$   
die Periode  $7^h 4^h 13' 35'' 43 \pm 5'' 333$ .

Die Periode ist also allerdings etwas grösser herausgekommen, als *Wurm* sie gefunden hat, aber immer noch viel geringer, als die aus *Pigotts* und meinen Beobachtungen folgende; vergleicht man die eben gefundene Epoche mit diesen beiden Reihen, so erhält man aus der um 649 Perioden entfernten *Pigottschen* Epoche die Periode  $7^h 4^h 14' 3^s 8$ , aus meiner um 2188 Perioden entfernten Epoche  $7^h 4^h 13' 51'' 36$ ; und endlich giebt die um 1030 Perioden spätere *Westphalsche* Epoche die Periode  $7^h 4^h 14' 8^s 87$ . Es scheint also ziemlich sicher, daß die *Wurmschen* Beobachtungen allein die Periode bedeutend zu klein geben. Ob dieses von Beobachtungsfehlern herrührt, oder ob die Periode variabel ist, dürfte schwer zu entscheiden seyn; mir scheint das letztere wahrscheinlicher, obgleich vermuthlich die Veränderlichkeit in engere Grenzen eingeschlossen seyn wird. Als mittlere Periode wird man wohl annehmen können

$$1 \text{ Periode} = 7^h 4^h 13' 50''$$

$$51 \text{ Perioden} = 365 \text{ } 23 \text{ } 45 \text{ } 30,0.$$

Es ist nun noch übrig, den Verlauf des Lichtwechsels während einer Periode zu untersuchen; ich habe zu dieser Untersuchung ausser dem grössten und kleinsten Lichte die Phasen gewählt, da der Stern im Abnehmen sowohl, als im Zunehmen  $= 1$ ,  $= \frac{1+\beta}{2}$ ,  $= \beta$  und  $= \frac{\beta+\delta}{2}$  ist; da sehr nahe  $\beta = \frac{1+\delta}{2}$  zu seyn scheint; so sind die Unterschiede der Helligkeiten in zwei aufeinander folgenden dieser Phasen sehr nahe einander gleich; auch wird der Unterschied der Helligkeit beim kleinsten Lichte und bei der Phase  $\gamma = 1$  sehr nahe

dieselbe Größe haben, während das grösste Licht ungefähr um die Hälfte derselben von der Phase  $\eta = \frac{\beta + \delta}{2}$  abstehen wird. Ich habe nun alle Beobachtungen von *Pigott* und *Goodricke*, die eine der genannten Phasen entweder unmittelbar gaben, oder sich leicht darauf bringen ließen, auf eine und dieselbe Zeit, nämlich die erste volle Periode im Januar 1785 reducirt, und eben so die meiningen auf die erste Periode im October 1840. endlich auf dieselbe Zeit auch die *Pigott*scheu

Bestimmungen durch Hinzufügung von 2837 Perioden zu  $7^h 4^m 14^s$  und der Meridialdifferenz zwischen York und Bonn reducirt, und so die folgende Zusammenstellung erhalten. Ich hätte gewünscht, auch die *Westphalschen* Beobachtungen auf dieselbe Weise behandeln zu können; indess hat *Westphal* nur  $\beta$  und  $\delta$  verglichen, und die einzelnen Bestimmungen für dieselben Phasen weichen so sehr von einander ab, daß ich hierauf verzichten mußte:

| <i>Pigott</i> und <i>G.</i>       | kl. Licht | 1785 Jan. 4. | 16 <sup>h</sup> 59' 1" (4.5) = 1840 | Oct. 3. | 3 <sup>h</sup> 30' | ich    | Oct. 2. | 19 <sup>h</sup> 42' 8" (4.5) |               |
|-----------------------------------|-----------|--------------|-------------------------------------|---------|--------------------|--------|---------|------------------------------|---------------|
| $\eta = \delta$                   | —         | 5.           | 2 6,0 (3.5)                         | —       | 3.                 | 12 37  | —       | 3.                           | 4 15,0 (4.5)  |
| $\eta = \frac{\delta + \beta}{2}$ | —         | 5.           | 14 9,0 (2)                          | —       | 4.                 | 0 40   | —       | 3                            | —             |
| $\eta = \beta$                    | —         | 6.           | 2 18,0 (2)                          | —       | 4.                 | 12 49  | —       | 4.                           | 10 5,0 (2.5)  |
| $\eta = \frac{\beta + \delta}{2}$ | —         | 6.           | 12 30,0 (3)                         | —       | 4.                 | 23 1   | —       | 4.                           | 20 27,0 (2)   |
| gr. Licht                         | —         | 6.           | 20 48,4 (2.5)                       | —       | 5.                 | 7 19,4 | —       | 5.                           | 2 45,0 (6.5)  |
| $\eta = \frac{\beta + \delta}{2}$ | —         | 7.           | —                                   | —       | 5.                 | —      | —       | 5.                           | 11 57,0 (2)   |
| $\eta = \beta$                    | —         | 9.           | 2 54,0 (3)                          | —       | 7.                 | 13 25  | —       | 6.                           | 11 57,0 (6.5) |
| $\eta = \frac{\beta + \delta}{2}$ | —         | 10.          | 0 6,0 (3)                           | —       | 8.                 | 10 37  | —       | 8.                           | 1 21,0 (4)    |
| $\eta = \delta$                   | —         | 10.          | 9 12,0 (2.5)                        | —       | 8.                 | 19 43  | —       | 9.                           | 4 57,0 (3)    |

Die in Klammern eingeschlossenen Zahlen bedeuten die Anzahl der Beobachtungen, die zur Ermittlung jeder Phase gegeben haben, wobei den weniger zuverlässigen Beobachtungen wieder nur der halbe Werth gegeben ist. Diese Zusammenstellung giebt nun ein neues Mittel, um die Periode im Mittel aus allen Phasen genauer zu bestimmen. Hierzu muß aber erst der relative Werth der einzelnen Bestimmungen bekannt seyn. Gewiß ist die Zuverlässigkeit, mit der eine Phase durch eine Beobachtung mit dem Werthe  $= 1$  bestimmt wird, für eine jede verschieden, die Anzahl der Beobachtungen ist aber zu gering, um diese Zuverlässigkeit für jede Phase besonders zu ermitteln. Die Phasen bei zunehmendem Lichte mußten aber nothwendig von denen bei abnehmendem Lichte getrennt werden, weil voraussehen war, und sich auch wirklich gezeigt hat, daß die letztern bei weitem weniger genau sich beobachten lassen. Rechnet man nun die Beobachtungen des grössten Lichtes zu denen der Phasen bei steigender Helligkeit, die des kleinsten Lichtes zu den Phasen bei abnehmender Helligkeit, so erhält man die wahrscheinlichen Fehler einer Beobachtung mit dem Werthe  $= 1$ :

beim Zunehmen aus *Pigott*s Beobh.  $= 3^h 49'$ , aus meinen  $= 2^h 77'$   
beim Abnehmen  $= 6,68$ , —  $= 6,52$ .

Es zeigt sich also, daß *Pigott*s und meine Beobachtungen gleich sicher sind, und man kann daher die wahrscheinlichen Fehler für beide Reihen gleich, und resp. zu  $3^h 09,4$  und  $6^h 58,5$  ansetzen. Ich nenne nun  $A$  den Unterschied zwischen *Pigott* und mir in der mit der Periode  $7^h 4^m 14^s$  auf dieselbe Zeit

reducirten Angabe für die Epoche einer gewissen Phase, d. h. den 2837fachen Ueberschuss der aus dieser Phase folgenden Periode über die zum Grunde gelegte,  $W$  den Werth dieses

Unterschiedes berechnet nach der Formel  $\frac{w \cdot w'}{w + w'} \cdot \left(\frac{a}{s}\right)^s$ ,

wo  $w$  die Anzahl Beobachtungen bedeutet, die der *Pigott*schen Bestimmung zum Grunde liegen,  $w'$  dasselbe für meine Bestimmung,  $s$  den W. F. also resp.  $3^h 09,4$  und  $6^h 58,5$ ,  $a$  aber zu  $3^h$  angenommen ist, so daß  $W$  die Anzahl Beobachtungen mit dem W. F.  $= 3^h$  bedeutet, durch die  $A$  mit derselben Sicherheit bestimmt wird, als durch die wirklich vorhandenen; endlich setze ich noch  $B = W \cdot A$ ; dann finde ich aus den verschiedenen Phasen

|   |                     |                   |              |
|---|---------------------|-------------------|--------------|
| kleinstes Licht                             | $A = -7^h 47^m 2^s$ | $B = -218^m 23^s$ | $W = 0,4670$ |
| $\eta = \delta$ im Steigen                  | $= -8 22,0$         | $= -709,83$       | $= 1,4140$   |
| $\eta = \frac{\delta + \beta}{2}$           | —                   | —                 | —            |
| $\eta = \beta$                              | $= -2 44,0$         | $= -176,68$       | $= 1,9774$   |
| $\eta = \frac{\beta + \delta}{2}$           | $= -2 34,0$         | $= -179,18$       | $= 1,1635$   |
| grösstes Licht                              | $= -4 34,4$         | $= -480,39$       | $= 1,7507$   |
| $\eta = \frac{\beta + \delta}{2}$ im Fallen | —                   | —                 | —            |
| $\eta = \beta$                              | $= -25 28,0$        | $= -650,96$       | $= 0,4260$   |
| $\eta = \frac{\beta + \delta}{2}$           | $= -9 16,0$         | $= -197,82$       | $= 0,3558$   |
| $\eta = \delta$                             | $= +9 14,0$         | $= +156,79$       | $= 0,2830$   |

Durch Addition dieser Größen finde ich ferner

$$\Sigma B = -2456^{\circ}30'; \Sigma W = 6,9374$$

also endlich im Mittel aus allen Bestimmungen

$$A = -5^h 54^m 08^s \pm 1^h 1390$$

oder die Länge einer Periode

$$= 7^h 4^m 13^s 52^m 51 + 1^m 445$$

also wieder fast genau so, als früher im Mittel aus den

| Phase.                     | Pigott.                                  | Argelander.                              | Mittel.                                  | $w + w'$ |
|----------------------------|--|--|--|----------|
| kleinstes Licht            | Oct. 2. 21 <sup>h</sup> 36' <sup>0</sup> | Oct. 2. 19 <sup>h</sup> 42' <sup>8</sup> | Oct. 2. 20 <sup>h</sup> 39' <sup>4</sup> | 9,0      |
| $\eta = 1$                 | — 3. 6 43,0                              | — 3. 4 15,0                              | — 3. 5 42,6                              | 6,0      |
| $\eta = \frac{1+\beta}{2}$ | — 3. 18 46,0                             | — 3. —                                   | — 3. 18 46,0                             | 2,0      |
| $\eta = \beta$             | — 4. 6 55,0                              | — 4. 10 5,0                              | — 4. 8 40,6                              | 4,5      |
| $\eta = \frac{\beta+d}{2}$ | — 4. 17 7,0                              | — 4. 20 27,0                             | — 4. 18 27,0                             | 5,0      |
| größtes Licht              | — 5. 1 25,3                              | — 5. 2 45,0                              | — 5. 2 22,9                              | 9,0      |
| $\eta = \frac{\beta+d}{2}$ | — 5. —                                   | — 5. 11 57,0                             | — 5. 11 57,0                             | 2,0      |
| $\eta = \beta$             | — 7. 7 31,0                              | — 6. 11 57,0                             | — 6. 18 7,8                              | 9,5      |
| $\eta = \frac{\beta+1}{2}$ | — 8. 4 43,0                              | — 8. 1 21,0                              | — 8. 2 47,6                              | 7,0      |
| $\eta = 1$                 | — 8. 13 49,0                             | — 9. 4 57,0                              | — 8. 22 4,3                              | 5,5      |

Die Uebereinstimmung ist, mit Ausnahme der abnehmenden Phase  $\eta = \beta$ , überall so gut, als man es nur erwarten kann; denn auch die ziemlich bedeutende Differenz bei der abnehmenden Phase  $\eta = 1$ , kann bei ihrem geringen Werthe nicht auffallen. Aber jene Differenz bei  $\eta = \beta$  übertrifft die Wahrscheinliche mehr als viermal; sie ist nämlich  $\pm 19^h 34'$  und sollte nach den oben angegebenen wahren Werthen der Wahrscheinlichkeit gemäß nur  $\pm 3^h 35^m 8^s$  sein. Die einzelnen Bestimmungen stimmen sehr gut überein, und nur eine von meinen Beobachtungen mit halbem Werthe giebt ein etwas größeres Resultat, als die beiden frühesten *Pigott*'schen, die beide nur halben Werth haben. Es scheint mir daher nicht unwahrscheinlich, daß dieser große Unterschied in einer wirklichen Lichtänderung seinen Grund hat; ob aber  $\beta$  seit *Pigott*'s Zeiten heller geworden ist, oder  $\eta$  jetzt rascher vom größten Lichte bis zur Gleichheit mit  $\beta$  abnimmt, können wohl erst spätere Beobachtungen entscheiden. Mittlerweile muß man wohl die Lichtveränderung so annehmen, wie sie im Mittel aus beiden Reihen folgt, und wie die folgende Uebersicht sie zeigt. In derselben ist das größte Licht, als die am genauesten bestimmte Phase auf 0<sup>h</sup> gesetzt, die wahr-

Epochen des größten und kleinsten Lichtes allein. Das eben gefundene  $A$  muß nun zu allen auf den October 1840 reducirten *Pigott*'schen Bestimmungen mit seinem Zeichen hinzugefügt werden, um sie mit den meinen vergleichen zu können. Diese Vergleichung, so wie das mit Rücksicht auf die Anzahl der Beobachtungen genommene Mittel für jede Phase und dessen Werth  $= w + w'$  setze ich hier an

scheinlichen Fehler sind nach der Formel  $\sqrt{(\sigma^2 + \sigma'^2)}$  berechnet, wo  $\sigma$  den W.F. in der Bestimmung des größten Lichtes,  $\sigma'$  den der Phase bezeichnet; die Größen sind aus ungefährender Schätzung angenommen.

|                   |               |                                   |                                |
|-------------------|---------------|-----------------------------------|--------------------------------|
| 0 <sup>h</sup> 0' | —             | $\eta = < \delta$                 | 3.4 <sup>m</sup> größtes Licht |
| 9 34              | $\pm 4^h 46'$ | $\eta = \frac{\delta + \beta}{2}$ | 3.4                            |
| 39 45             | $\pm 2 22$    | $\eta = \beta$                    | 4                              |
| 72 25             | $\pm 2 48$    | $\eta = \frac{1 + \beta}{2}$      | 4                              |
| 91 41             | $\pm 3 0$     | $\eta = 1$                        | 4.5                            |
| 118 30            | $\pm 2 25$    | $\eta = < 1$                      | 4.6 oder 5.4 kleinstes Licht.  |
| 127 32            | $\pm 1 38$    | $\eta = 1$                        | 4.5                            |
| 140 37            | $\pm 2 25$    | $\eta = \frac{1 + \beta}{2}$      | 4                              |
| 154 32            | $\pm 1 47$    | $\eta = \beta$                    | 4                              |
| 164 18            | $\pm 1 44$    | $\eta = \frac{\beta + \delta}{2}$ | 3.4                            |
| 172 14            | —             | $\eta = < \delta$                 | 3.4 größtes Licht.             |

(Der Beschluß folgt.)

## Inhalt.

Schreiben des Herrn Professors *Argelander*, Directors der Sternwarte in Bonn, an den Herausgeber. p. 113.  
Beobachtungen einiger veränderlichen Sterne im Jahre 1840. p. 113.

Altona 1841. Februar 25.

### Beobachtungen einiger veränderlichen Sterne im Jahre 1840.

Von Herrn Professor *Argelander*.

(Bechluft.)

Der Stern nimmt hiernach in  $118\frac{1}{2}$  Stunden vom größten zum kleinsten Lichte ab, und in  $53\frac{1}{2}$  Stunden von diesem zum jenem wieder zu; er ist im größten Lichte, d. h. heller als  $\frac{\beta + \delta}{2}$ ,

$17\frac{1}{2}$  Stunden, im kleinsten, d. h. kleiner als  $\mu$ , nahe 36 Stunden; die Zeit der Zunahme verhält sich zur Zeit der Abnahme nahe wie 5:11, die des größten zu der des kleinsten Lichtes nahe wie 1:2, wobei aber, wie schon früher erwähnt, zu bemerken ist, daß der Unterschied der Helligkeit im wahren kleinsten Lichte von  $\mu$  größer ist, als der Unterschied des größten Lichtes von der Helligkeit  $= \frac{\beta + \delta}{2}$ . Künftighin werde ich

auf  $\mu$  mehr Rücksicht nehmen, und dadurch die Unsicherheit des kleinsten Lichtes hoffentlich in engere Grenzen einschließen können.

Schließlich muß ich noch erwähnen, daß ich auf *Westphals* eigene Berechnung des größten und kleinsten Lichtes aus seinen Beobachtungen, die er in einem eigenen Schriftchen: „Naturwissenschaftliche Abhandlungen, 1<sup>er</sup> Heft“ in den neuesten Schriften der naturforschenden Gesellschaft zu Danzig Heft II. Danzig 1820. 4<sup>to</sup>, mitgetheilt hat, aus dem Grunde keine Rücksicht habe nehmen können, weil aus der Vergleichung mit den Beobachtungen selbst hervorgeht, daß die Berechnung nicht ohne Präoccupation gemacht sey.

#### 3. $\beta$ Persei, Algol.

Das kleinste Licht des Algol habe ich im verfloßenen Jahre achtmal vollständig beobachtet; einige andere male fing ich die Beobachtungen erst an, als das kleinste Licht schon vorbei war, sie können höchstens eine Gränze geben, und ich führe sie daher nicht an. Bei jedem beobachteten kleinsten Lichte wurden eine Menge Vergleichen, oft 30 bis 40, immer über 20, mit den umliegenden Sternen, und besonders häufig in der nächsten Umgebung des kleinsten Lichts die Vergleichen mit  $\mu$  Persei und  $\alpha$  Trianguli angestellt; es würde zu weitläufig seyn, alle diese einzeln anzugeben, auch glaube ich, daß bei diesen Beobachtungen nur der Beobachter selbst im Stande ist, den wahren Moment des kleinsten Lichtes an-

zugeben, indem es nicht gut möglich ist, die kleinen Nuancirungen des Lichtwechsels alle schriftlich anzugeben, und die Erinnerung hier die beste Hälfte gewähren muß. Ich habe daher auch jedesmal, nachdem das kleinste Licht unbestreitbar vorüber war, die Vergleichen aber noch fort dauerten, die Zeit angegeben, die ich für die Mitte des kleinsten Lichtes hielt, und hieran später nichts gräudert. Hier nun die Beobachtungen und ihre Vergleichung mit *Wurms* neuesten Elementen (Astronom. Jahrb. 1822. p. 120), nämlich Epoche 1800 Jan. 1.  $17^h 54^m$  M. Z. Paris, Periode  $2^d 20^h 48^m 58^s 50$  mit Rücksicht auf die Lichtgleichung (Astr. Jahrb. 1804. p. 152.)

1840 Febr. 22.  $11^h 26^m$  M. Z. Bonn  $= 11^h 7^m$  M. Z. Paris.  
Dauer des kleinsten Lichtes  $21'$ ; kleinstes Licht  $= > \mu$ .

*Wurms* Elemente  $11^h 23^m 10^s 5 + 8^m 51^s 5$ ;  
Corr. —  $24^m 7$ .

Febr. 25.  $8^h 21^m 3$  M. Z. Bonn  $= 8^h 2^m$  M. Z. Paris. Dauer des kleinsten Lichtes  $19'$ ; kleinstes Licht  $= > \mu$ .

*Wurms* Elemente  $8^h 12^m 9^s + 9^m 14^s$ ;  
Corr. —  $19^m 2$ .

März 19.  $6^h 57^m$  M. Z. Bonn  $= 6^h 38^m$  M. Z. Paris. Dauer des kleinsten Lichtes etwa  $20'$ ; kleinstes Licht  $= > \mu$ .

*Wurms* Elemente  $6^h 43^m 57^s + 11^m 59^s$ ;  
Corr. —  $17^m 2$ .

Sept. 1.  $14^h 17^m$  M. Z. Bonn  $= 13^h 58^m$  M. Z. Paris. Dauer des kleinsten Lichtes  $10'$ ; kleinstes Licht  $> \mu$  bis  $> \mu$ .

*Wurms* Elemente  $14^h 4^m 30^s + 5^m 33^s$ ;  
Corr. —  $11^m 3$ .

Sept. 27.  $9^h 37^m$  M. Z. Bonn  $= 9^h 18^m$  M. Z. Paris. Dauer des kleinsten Lichtes  $7'$ ; kleinstes Licht  $> \mu$ .

*Wurms* Elemente  $9^h 25^m 16^s 5 + 2^m 37^s 5$ ,  
Corr. —  $9^m 6$ . Diese Beobachtung ist etwa unsicher, weil der Stern ziemlich lange nach dem kleinsten Lichte noch  $=$  bis  $= > \mu$  blieb.

1840 Oct. 17. 11<sup>h</sup> 1' 7 M. Z. Bonn = 10<sup>h</sup> 42' 6 M. Z. Paris.  
Dauer des kleinsten Lichtes 10'; kleinstes Licht  
▷: bis ▷ ρ, : < α Trianguli.

*Wurms* Elemente 11<sup>h</sup> 8' 6" + 0' 59";

Corr. — 26' 5. Der Stern war schon im kleinsten  
Lichte, als die Beobachtungen um 10<sup>h</sup> 57' anfiengen.

Dec. 19. 13<sup>h</sup> 24' 7 M. Z. Bonn = 13<sup>h</sup> 5' 6 M. Z. Paris.  
Dauer des kleinsten Lichtes 14'; kleinstes Licht  
= ▷ bis ▷: ρ.

*Wurms* Elemente 13<sup>h</sup> 5' 33" + 1' 21";

Corr. — 1' 3.

Dec. 22. 10<sup>h</sup> 18' 9 M. Z. Bonn = 9<sup>h</sup> 59' 8 M. Z. Paris.  
Dauer d. kleinst. Lichtes 19'; kleinstes Licht ▷: ρ.

*Wurms* Elemente 9<sup>h</sup> 54' 31" 5 + 1' 34" 5;

Corr. + 3' 7.

Man sieht, daß die *Wurms*che Periode im Ganzen sehr  
genau bestimmt ist, da die Correction im Mittel um: — 13' 16" ist, die auf die ungefähr 5160 seit 1800 Jan. 1 verfloßenen  
Perioden vertheilt, eine einzelne nur um — 0' 154 ändern würde.  
Auch die Abweichungen von diesem Mittel sind, obgleich  
Oct. 17 und Dec. 22 ziemlich bedeutend, doch wohl nicht grö-  
ßer, als man sie bei so schwierigen Beobachtungen erwarten  
darf. Iodofa 'erwecken die Umstände bei den Beobachtungen  
Oct. 17 und Dec. 19 die Vermuthung, daß die Periode wirk-  
lich variabel sey. Bei der ersten ist schon oben bemerkt, daß  
der Stern bei ihrem Anfange schon im kleinsten Lichte war;  
die Mitte desselben könnte daher möglicher Weise früher ge-  
fallen sein, aber nicht leicht später; 15' nach der angenom-  
menen Mitte des kleinsten Lichtes erschien der Stern schon  
▷ + ρ. ▷: α Trianguli, sehr nahe in der Mitte zwischen ρ Persei  
und β Trianguli, und 25' später näher an β als an α Trianguli;  
die Helligkeitszunahme war also schon so bedeutend, daßs an  
eine Täuschung nicht zu denken ist. Eben so wenig läßt sich  
aber Dec. 19 das kleinste Licht so weit vorschieben, daßs es  
mit den anderen Beobachtungen in Uebereinstimmung käme,  
und ich habe gerade diese Beobachtung als besonders gut ge-  
lungen bezeichnet. Daher möchte ich wohl glauben, daßs  
auch Algola Lichtperiode nicht ganz constant sey. Sehr in-  
teressant wäre es, wenn mehrere Beobachter, und namentlich  
an verschiedenen Orten, dieselbe Epoche des kleinsten Lichtes  
beobachteten, damit man aus den Unterschieden ihrer Angaben  
auf die möglich zu gehenden Fehler bei solchen Schätzungen  
schließen könnte.

#### 4. β Lyrae.

γ Lyrae hell 3.4<sup>m</sup>; α...4<sup>m</sup>; δ und ζ...4.5<sup>m</sup>; ν...5.6<sup>m</sup>.

Sept. 27. 8<sup>h</sup>. β sehr schwach, + < α, : < δ und ζ, ▷ + ν.

— 29. 8<sup>h</sup> 30'. β ▷ + α, = ▷ γ.

— 30. 12<sup>h</sup>. β ▷ + α, = γ.

Oct. 7. 11<sup>h</sup>. β = γ, vielleicht nur α = γ.

— 8. 9<sup>h</sup>. β ▷ + α, = ▷ γ.

— 9. 12<sup>h</sup>. β + < γ, : < α, = ▷ δ, ▷: ζ.

— 10. 10<sup>h</sup>. β < + γ, : < α, = δ und ζ, von denen heute  
bald der eine, bald der andere heller erschien.

— 11. 11<sup>h</sup>. β + < γ, : ▷ δ und ζ, ▷: α. Mondschein und  
dunstige Luft.

— 12. 6<sup>h</sup> 30'. β ▷ + α, : < γ, 9<sup>h</sup> 30'. β = γ vielleicht so-  
gar = ▷ γ.

— 13. 9<sup>h</sup>. β: < γ, ▷ + α, + ▷ ζ und δ.

— 17. 7<sup>h</sup>. β < γ; genauere Beobachtungen verbinden

Dünste. 8<sup>h</sup> 30'. β + < γ, ▷ + α, = ▷  $\frac{\gamma + \alpha}{2}$ ,

▷:  $\frac{\gamma + \alpha}{2}$  und  $\frac{\gamma + \alpha}{2}$ .

— 21. 6<sup>h</sup> 30'. β: < bis < γ, + ▷ die andern; nicht sehr  
klar.

— 24. 8<sup>h</sup>. β < γ, ▷ + die andern, ▷  $\frac{\gamma + \alpha}{2}$ .

Nov. 9. 6<sup>h</sup>. β: < γ, ▷ + α, + ▷ δ und ζ.

— 15. 6<sup>h</sup>. β = γ, + ▷ die andern.

— 25. 6<sup>h</sup>. β < γ, : ▷ α, = ▷  $\frac{\gamma + \alpha}{2}$ .

— 26. 6<sup>h</sup>. β = < γ, ▷ + α.

— 27. 7<sup>h</sup>. β = ▷ γ.

— 28. 7<sup>h</sup>. β < = bis : < γ.

Dec. 13. 6<sup>h</sup> 30'. β < + γ, : < α, = ▷ ζ, ▷: δ.

— 14. 6<sup>h</sup> 30'. β = ▷ α, ▷: ζ, : ▷ δ.

— 15. 6<sup>h</sup>. β: < γ, : ▷ α, ▷: ζ, ▷ + δ.

— 16. 6<sup>h</sup> 15'. β ▷: γ, + ▷ die andern.

— 17. 6<sup>h</sup>. β = γ, ▷ + die andern.

Um aus diesen Beobachtungen die Epochen des größten  
und kleinsten Lichtes herzuleiten, habe ich nach *Westphals*  
Untersuchungen in seinen naturwissenschaftlichen Abhandlungen  
angenommen, daßs die Lichtzunahme im Verhältnis von 11:12  
rascher vor sich geht, als die Lichtabnahme, und habe auch  
bei der Reduction auf die Mitte des Octobers die *Westphal-*  
sche Periode, nämlich 6<sup>h</sup> 10<sup>h</sup> 35', zum Grunde gelegt; ich er-  
hielt so folgende Epochen des größten Lichtes:

1840 Sept. 29. 20<sup>h</sup> reducirt Oct. 19. 3<sup>h</sup> 45'

Oct. 7. 22<sup>h</sup> ——— 20. 19 10

— 12. 19<sup>h</sup> ——— 19. 5 35

Nov. 27. 3<sup>h</sup> ——— 19. 11 30

Dec. 16. 7<sup>h</sup> ——— 19. 7 45

im Mittel Epoche des größten Lichtes Oct. 19. 14<sup>h</sup> 21'

für das kleinste Licht erhielt ich

1840 Sept. 27. 8<sup>h</sup> reducirt Oct. 16. 15<sup>h</sup> 45'

Oct. 10. 2<sup>h</sup> ——— 12 35

Dec. 13. 15<sup>h</sup> ——— 15 45

im Mittel Epoche des kleinsten Lichtes Oct. 16. 14<sup>h</sup> 42'

Der Unterschied zwischen der Epoche des kleinsten und grössten Lichtes ist fast genau derselbe, den *Westphal* gefunden hat; ich glaube aber, daß man für das grösste Licht die Beobachtung Oct. 7 ausschließen müsse; dann würde das Mittel werden Oct. 19. 7<sup>h</sup> 9', und die Lichtzunahme würde bedeutend rascher erfolgen, als die Lichtabnahme. Doch müssen hierüber weitere Beobachtungen entscheiden, die denn auch erlauben werden, über den Verlauf des Lichtwechsels etwas genaueres anzugeben, und die Periode durch Anknüpfung meiner Beobachtungen an *Goodricks* und *Westphal* in engere Grenzen einzuschließen. Bis jetzt ist sie noch nicht mit der Sicherheit bekannt, daß man über die Anzahl der seit *Westphal*'s Zeit verfloßenen Perioden etwas genaueres bestimmen könnte. Wollte man 1323 dafür annehmen, so würde die Periode aus *Westphal* und meinen Beobachtungen = 6<sup>h</sup> 10<sup>m</sup> 34<sup>s</sup> 56<sup>u</sup> folgen; die Beobachtungen des nächsten Jahres werden hierüber hoffentlich entscheiden.

#### 5. $\delta$ Cephei.

- $\delta$  Cephei.... 4.3<sup>m</sup>; ..... 4<sup>m</sup>; ..... 5.4; 7 Lacerte 4<sup>m</sup>.  
 Sept. 27. 8<sup>h</sup> 30'.  $\delta < \zeta$ .  $\gamma > \iota$ .  $\gamma > s$ . = 7 Lacerte.  
 — 29. 8<sup>h</sup> 30'.  $\delta < \zeta$ .  $\gamma > \iota$ .  $\gamma > s$ . = 7 Lacerte.  
 — 30. 11<sup>h</sup> 30'.  $\delta < \zeta$ .  $\gamma > \iota$ .  $\gamma > s$ . = 7 Lacerte.  
 Oct. 7. 11<sup>h</sup> 30'.  $\delta < \zeta$ .  $\gamma > \iota$ .  $\gamma > s$ . = 7 Lacerte.  
 — 8. 9<sup>h</sup>.  $\delta < \zeta$  und  $\iota$ .  $\gamma > 7$  Lacerte.  
 — 9. 12<sup>h</sup>.  $\delta < \zeta$ .  $\gamma > \iota$ .  $\gamma > s$ . = 7 Lacerte.  
 — 10. 10<sup>h</sup>.  $\delta = s$ .  $\gamma > \zeta$ .  $\gamma$  und 7 Lacerte.  
 — 11. 11<sup>h</sup>.  $\delta = \zeta$ .  
 — 12. 6<sup>h</sup> 30'.  $\delta = \zeta$  und  $\iota$ , die mir gleich hell erschienen,  $\gamma > 7$  Lacerte; 9<sup>h</sup> 30'.  $\delta < \zeta$ .  $\gamma = \iota$ .  
 — 13. 9<sup>h</sup> 30'.  $\delta < \zeta$ .  $\gamma > \iota$ .  $\gamma > s$ . = 7 Lacerte.  
 — 17. 8<sup>h</sup> 30'.  $\delta < \zeta$ .  $\gamma > s$ .  $\gamma > \frac{\zeta + s}{2}$ .  $\gamma > \iota$ . = 7 Lacerte.  
 — 24. 8<sup>h</sup>.  $\delta = \zeta$ .  $\gamma > \iota$ .  $\gamma > 7$  Lacerte.  
 Nov. 4. 14<sup>h</sup>.  $\delta < \zeta$ .  $\gamma$  und 7 Lacerte. =  $s$ .  
 — 9. 6<sup>h</sup>.  $\delta < \zeta$ .  $\gamma > s$ . =  $\iota$ . = 7 Lacerte.  
 — 25. 8<sup>h</sup>.  $\delta < \zeta$  und  $\iota$ . = 7 Lacerte.  
 — 26. 11<sup>h</sup>.  $\delta < \zeta$  bis  $\gamma > \zeta$ .  $\gamma > \iota$ .  $\gamma > s$ . = 7 Lacerte.  
 $\gamma > s$ .  $\gamma < \frac{\zeta + s}{2}$ .  $\gamma > \frac{\iota + s}{2}$ .

- Nov. 27. 7<sup>h</sup>.  $\delta < \zeta$ .  $\gamma > \iota$ .  $\gamma > s$ .  
 — 28. 7<sup>h</sup>.  $\delta = \gamma$ .  $\gamma < \zeta$  und  $\iota$ .  
 Dec. 13. 6<sup>h</sup> 30'.  $\delta < \zeta$ .  $\gamma > \iota$ .  $\gamma > s$ .  
 — 14. 6<sup>h</sup> 30'.  $\delta = \zeta$ .  
 — 15. 6<sup>h</sup>.  $\delta > s$  bis  $\gamma > s$ .  $\delta < \zeta$ .  $\gamma > \iota$ .  $\gamma < 7$  Lacerte.  
 $\gamma > \frac{\zeta + s}{2}$ .  
 — 16. 6<sup>h</sup>.  $\delta = \zeta$ .  $\gamma > \iota$ .  $\gamma > 7$  Lacerte.  
 — 17.  $\delta < \zeta$  bis  $\gamma > \zeta$ .  $\gamma > s$ .  $\gamma < \iota$ .  $\gamma < 7$  Lacerte. etwa =  $\frac{s + \zeta}{2}$ .

Um aus diesen Beobachtungen das grösste und kleinste Licht zu berechnen, habe ich angenommen, daß die Dauer der Lichtzunahme sich zu der der Lichtabnahme verhalte wie 5:13. Dies ist das Verhältniß, welches *Westphal* aus seinen Beobachtungen berechnet hat; nach *Goodricks* würde es etwas geringer, nach meinen Beobachtungen sogar noch stärker seyn; um alle Bestimmungen auf dieselbe Epoche zu bringen, habe ich die Periode zu 5<sup>h</sup> 8<sup>m</sup> 47<sup>s</sup> 34<sup>u</sup> angenommen; die Beobachtungen geben aber nur folgende wenige Bestimmungen:

grösstes Licht 1840 Oct. 12. 6<sup>h</sup> 5<sup>m</sup> reducirt Nov. 2. 17<sup>h</sup> 40<sup>m</sup>  $w = \frac{1}{2}$

Dec. 15. 21<sup>h</sup> ——— 2. 22 40

im Mittel grösstes Licht.... 1840 Nov. 2. 21<sup>h</sup> 0<sup>m</sup>  $w = 1,5$

kleinstes Licht 1840 Sept. 30. 2<sup>h</sup> reducirt Nov. 1. 6<sup>h</sup> 45

Oct. 11. 5 ——— 1. 16 10

Dec. 14. 12 ——— 1. 13 40

im Mittel kleinstes Licht..... 1840 Nov. 1. 12<sup>h</sup> 12<sup>m</sup>  $w = 3$

Um diese Epochen mit den von *Westphal* aus seinen eigenen und *Goodricks* Beobachtungen hergeleiteten in Uebereinstimmung zu bringen, müss man zwischen den Epochen von *Goodricks* und *Westphal* 2222, zwischen *Westphal* und meinen Epochen 1591 Perioden annehmen; dann wird die Periode resp. 5<sup>h</sup> 8<sup>m</sup> 47<sup>s</sup> 45<sup>u</sup> 6 und 5<sup>h</sup> 8<sup>m</sup> 47<sup>s</sup> 20<sup>u</sup> 4. Wollte man die Anzahl um eins vermehren oder vermindern, so würde die Periode zu bedeutend von den aus *Goodricks* oder *Westphal* Beobachtungen allein abgeleiteten Werthen abweichen; das Mittel wird also einstellten als nahezu richtig angenommen werden müssen.

Fr. Argelander.

### Sternbedeckungen und Jupiterstrahanten-Verfinsterungen beobachtet in Bonn von Herrn Professor Argelander.

Die Zeit wurde entweder aus absoluten Sternhöhen, oder aus Durchgängen von Sternen meines Catalogs durch den Vertical des Polaris abgeleitet, und die mittlere Zeit vermittelt der

Angaben des Enckeschen Jahrbuchs aus der Sternzeit berechnet. Die Beobachtungen geschahen Anfangs an einem astronomischen Theodoliten, seit dem Herbst 1839 an einem

Universalinstrumente, beide von *Ertel*. Die Buchstaben der Beobachter bedeuten: v. R. Herr Professor v. *Riese*, L. Herr Doctor *Lundahl*, K. Herr *Kysaeus*; Beobachtungen ohne Buchstaben sind von mir. Die Polhöhe des Beobachtungsortes ist nach zahlreichen Untersuchungen des Herrn Dr. *Lundahl*, die derselbe in seiner Inauguraldissertation: de altitudine poli Bonnensi, Helsingforsiae 1840. 4<sup>to</sup>, bekannt gemacht hat, 50° 44' 9" 1; die Länge nehme ich zu 25° 8' 5" in Zeit westlich von Berlin an.

| 1838.   | M. Z.                                       |
|---|---|
| Nov. 25. Immers. 7.8 <sup>m</sup> . 50° vom nördl. Horn. 4 <sup>h</sup> 50' 53" 3 |   |
| Immers. 6.7 <sup>m</sup> . nahe dem nördl. Horn                                   | 8 4 42,8                                    |
|   | <i>L und K. + 0,3</i>                       |
| Dec. 21. Immers. 9 <sup>m</sup> . 30° vom süd. Horn                               | 7 0 51,4                                    |
|   | <i>L + 3<sup>6</sup> K + 5<sup>6</sup>.</i> |
| Immers. 9 <sup>m</sup> . 75° vom nördl. Horn                                      | 7 10 56,4                                   |
| Immers. 9 <sup>m</sup> . mitten in den Mond                                       | 7 32 29,3 <i>K.</i>                         |
| Dec. 22. Immers. h <sup>3</sup> Aquarii.....                                      | 6 21 19,3                                   |
|   | <i>K - 0<sup>4</sup></i>                    |
| Immers. h <sup>4</sup> Aquarii.....   | 7 13 12,8                                   |
|   | <i>K + 0<sup>6</sup></i>                    |
| 1839.   |   |
| April 17. Immers.....   | 9 58 55,5                                   |
| Aug. 25. Immers. $\phi$ Aquarii.....  | 8 51 44,9 zu früh.                          |
|   | <i>K + 2<sup>3</sup> gut.</i>               |
| Oct. 19. Immers. $\phi$ Aquarii.....  | 5 36 40,7 sehr gut.                         |
| Dec. 11. Immers. $\delta$ Capri.....  | 3 25 13,5 <i>K.</i> gut.                    |

| 1840.                                 | M. Z.                              |
|---------------------------------------|------------------------------------|
| Januar 13. Immers. $\mu$ Arietis..... | 7 <sup>h</sup> 55' 4" 5 plötzlich. |
| — 14. Immers. Plejaden.....           | 9 14 57,2 v. R.                    |
|                                       | 9 27 17,6 <i>K.</i>                |
|                                       | Asterope I.....                    |
|                                       | 9 34 22,5                          |
|                                       | 9 35 54,2 v. R.                    |
|                                       | Asterope II.....                   |
|                                       | 9 40 28,5                          |
| März 16. Immers. 56 Leonis.....       | 7 31 24,9                          |
|                                       | <i>L + 0<sup>6</sup></i>           |

Die Beobachtung geschah durch dünnes Gewölk, das den Stern nur schwach durchscheinen ließe, wir halten sie doch für sicher.

|                                     |                                      |
|-------------------------------------|--------------------------------------|
| April 11. Immers. $\nu$ Leonis..... | 10 <sup>h</sup> 31' 37" 5 plötzlich. |
|                                     | <i>K - 0,2 ebenso.</i>               |
| Dec. 13. Immers. A Leonis.....      | 10 4 29,7 zweifelhaft.               |
|                                     | <i>K 0,0</i>                         |
| Emers. A Leonis.....                | 10 18 45,5 plötzlich.                |
|                                     | <i>K + 0,5 ebenso.</i>               |

| 1839.  | M. Z.                            |
|--|----------------------------------|
| März 11. Immers. des 1 <sup>ten</sup> Jup.-Trab. | 11 <sup>h</sup> 52' 3" 6 4f. Fr. |
| Mai 28. Emers. des 1 <sup>ten</sup> Trabanten    | 10 55 47,3 30z. Fr.              |
|  | 43,8 <i>L.</i> Doll.             |
|  | 52,2 <i>K.</i> 4f. Fr.           |
| Juli 6. Emers. des 1 <sup>ten</sup> Trabanten    | 9 25 37,9                        |
|  | 32,4 v. R.                       |
| Immers. des 3 <sup>ten</sup> Trabanten           | 9 50 5,3                         |
|  | 6,3 <i>K.</i>                    |

*Fr. Argelander.*

## Beweise der beiden ersten Haupttheoreme der Dioptrik.

Von Herrn *Thomas Clausen*.  
(Hiebei eine Kupfertafel.)

1. Es seien eine Reihe Linsen, deren Krümmungsmittelpuncte in der Axe *AB* Fig. 1 liegen. Ein Strahl  $\mu'P'$ , der von der Seite *B* einfällt, gelange, nachdem er durch alle Linsen gegangen, durch *P* nach  $\mu$ . Die Neigung des einfallenden Strahls mit der Axe sei  $\omega'$  auf der Seite  $F'\mu'$  positiv, auf der entgegengesetzten Seite negativ. Die Neigung des ausgehenden Strahls  $\omega$ , positiv auf der Seite  $F\mu$ , negativ auf der entgegengesetzten. Die Brennpuncte, oder der Ort der Bilder unendlich weit entfernter Gegenstände in der Axe seien in *P* und  $P'$ . Das Bild eines unendlich weit entfernten Puncts in der Ebene  $\mu'P'P\mu$  fällt in der auf die Axe senkrechten Grade  $F\mu$ , insofern man die Abweichung wegen der Gestalt und die zweiten und höhern Potenzen der Größen  $F\mu$ ,  $\omega$ ,  $F'\mu'$ ,  $\omega'$  vernachlässigt, und die Entfernung des Bildes von der Axe  $F\mu$  ist dem Winkel der parallelen Strahlen mit der Axe proportional. Sei daher, wenn dieser Winkel  $\omega'$  ist, das Bild des unendlich weit entfernten Punctes in  $\mu$ , und

$$F\mu = f\omega'$$

*f* constant und positiv, wenn das Bild aufrecht ist, im umgekehrten Falle negativ. Eben so sei das Bild eines auf der andern Seite unendlich weit entfernten Puncts in derselben Ebene in  $\mu'$ , der Winkel der parallelen Strahlen mit der Axe  $\omega$ , und

$$F'\mu' = f'\omega$$

*f'* eben so constant und positiv für aufrechte Bilder.

Man sieht leicht, daß das Bild eines Objectes in  $P'$  in *P* sein muß, da die beiden *BP* und  $\mu'P'$ , und also alle übrigen von *P'* ausgehende Strahlen sich in *P* wieder vereinigen, Seien die Entfernungen des Bildes und Objectes von ihren resp. Brennpuncten *a*, *a'* positiv nach der Seite des resp. andern Brennpuncts, negativ nach der andern Seite, so ist

$$\left. \begin{aligned} F\mu &= a\omega = f\omega' \\ F'\mu' &= a'\omega' = f'\omega \end{aligned} \right\} \dots\dots\dots (1)$$



Multiplirt man diese beiden Gleichungen in einander, so findet man:

$$(2) \dots \dots \dots aa' = ff'$$

Der erste Satz: Das Product der Entfernungen des Bildes und des Objecta von ihren resp. Brennpuncten ist eine constante GröÙe.

2. Verbindet man zwei solche Systeme auf eine Axe Fig. 2, von denen die Brennpuncte des ersten in  $F$  und  $F'$  mit den resp. die GröÙe der Focalbilder bestimmten Constanten  $f, f'$  haben, und das zweite die Brennpuncte in  $F''$  und  $F'''$  mit den Constanten  $f'', f'''$ : so findet man die Brennpuncte des verbundenen Systems  $F, F'$  und ihre resp. Constanten  $\phi$  und  $\phi'$  folgendermaÙen:

Nach der Formel (2) ist, da das Bild unendlich entfernter Gegenstände durch das erste System in  $F'$  ist, von dem wieder ein Bild im Brennpuncte  $F'$  des vereinten Systems entsteht,

$$(3) \dots \dots \dots \begin{cases} F''F', F'F'' = f''f' & \text{eben so} \\ F F', F'F'' = ff' \end{cases}$$

Ein mit der Axe paralleler Strahl  $\mu', \mu''$  zwischen beiden Systemen, nach dem Austritt aus dem einen, und vor dem Eintritt in das andere, durchschneidet die Axe in den Brennpuncten  $F$  und  $F''$ . Nennt man  $m$  und  $m'$  die resp. Winkel desselben mit der Axe, und bemerkt dafüß  $\mu'$  das Bild eines unendlich weit entfernten Punctes ist, dessen parallele Strahlen also alle mit der Axe den Winkel  $m$  bilden; und  $\mu''$  das Bild eines unendlich weit entfernten Punctes ist, dessen Strahlen in der Richtung  $M'F''$  einfallen; so hat man nach den Bezeichnungen von Art. 1

$$\begin{aligned} F'\mu' &= f'm; & F''\mu'' &= f''m' \\ \text{oder da} & & F'\mu' &= F''\mu'' \text{ ist; } f'm = f''m'. \end{aligned}$$

$$\text{folglich} \quad FM = F'F'' = \frac{f \cdot f'' \cdot m}{F'F''}$$

$$(4) \dots \dots \dots = \frac{f \cdot f'' \cdot m}{F'F''}$$

$$\text{und} \quad F''M' = F''F' \cdot m' = \frac{f'' \cdot f' \cdot m'}{F'F''}$$

$$(5) \dots \dots \dots = \frac{f'' \cdot f' \cdot m'}{F'F''}$$

also

$$(6) \dots \dots \dots \phi = \frac{f \cdot f''}{F'F''}; \quad \phi' = \frac{f' \cdot f'}{F'F''}$$

$F'F''$  ist positiv zu nehmen, wenn  $F''$  in der verlängerten Linie  $F'F'$  fällt, negativ, wenn er zwischen beiden Puncten liegt.

3. Betrachten wir jetzt den Werth dieser GröÙen für eine einzelne Kugelfläche, deren Halbmesser  $r$  und Brechungsverhältnisse  $n$  ist; so finden wir die Entfernung des Brenn-

puncts  $F'$  von dem Puncte  $E$  um  $\frac{r}{n-1}$  entfernt; die Entfernung des andern Brennpuncts von demselben Puncte  $\frac{nr}{n-1}$ , folglich

$$F\mu = \frac{r \cdot m}{n-1}; \quad F'\mu' = \frac{nr \cdot m'}{n-1};$$

Es ist aber  $nm' = -m$  folglich

$$F\mu = -\frac{rnm'}{n-1}; \quad F'\mu' = -\frac{rm}{n-1}$$

also nach den Bezeichnungen Art. 1

$$f = -\frac{rn}{n-1}; \quad f' = -\frac{r}{n-1} \dots \dots \dots (7)$$

Für die zweite Fläche des Glases ist:

$$f'' = -\frac{r'}{n-1}; \quad f''' = -\frac{nr'}{n-1} \dots \dots \dots (8)$$

wenn  $r'$  der zweite Krümmungshalbmesser ist. Demnach ist für die Linse nach (6)

$$\begin{aligned} \phi &= \frac{r'r'n}{F'F''(n-1)^2}; \quad \phi' = \frac{nr'r'}{(n-1)^2 \cdot F'F''} \quad \text{oder} \\ \phi &= \phi' \dots \dots \dots (9) \end{aligned}$$

Diese GröÙen bleiben sich demnach nach (6) für zwei und also für jede beliebige Anzahl von Linsen gleich, oder: die GröÙe und Stellung des Bildes astronomischer Gegenstände durch ein beliebiges System von Linsen ist in beiden Brennpuncten gleich.

4. Durch diesen wichtigen von Möbius gefundenen zweiten Hauptsatz verwandelt sich die Gleichung (2) in

$$aa' = ff' \dots \dots \dots (10)$$

Die GröÙen  $a, a'$  sind demnach beide zugleich positiv oder negativ, oder Bild und Object liegen beide innerhalb, oder beide zugleich außerhalb der Brennpuncte.

Die Formel (10) läßt sich auch so umformen:

$$\begin{aligned} \{(a-f)+f\} \{(a'-f)+f\} &= ff' \\ (a-f)(a'-f) + f\{(a-f)+(a'-f)\} &= 0 \\ -\frac{f}{f} &= \frac{f}{a-f} + \frac{f}{a'-f} \dots \dots \dots (11) \end{aligned}$$

oder indem man  $f$  in  $-f$  verwandelt, wodurch der Ausdruck (10) sich nicht ändert,

$$\frac{1}{f} = \frac{1}{a+f} + \frac{1}{a'+f} \dots \dots \dots (12)$$

5. Diese zweite Haupteigenschaft der Linsensysteme, dafüß  $f=f'$  ist Art. 1 macht es möglich, die GröÙen der Bilder astronomischer Gegenstände mit aller Schärfe zu bestimmen (in sofern man die zweiten und höhern Potenzen des Winkels vernachlässigt). Hat man nämlich ein Bild und Object

$A$  und  $B$ , wenn ein gegebener Punkt des auf eine getheilte Scale verschiebbare Linsensystem sich in  $d$  und  $d'$  befindet, und ist  $D$  der Ort desselben Punktes, wenn das Bild unendlich weit entfernter Gegenstände sich in dem Orte des Bildes  $A$  befindet, so sind  $d-D$  und  $d'-D$  die beiden Entfernungen des Bildes von seinem Brennpunkte;  $x-d$  und  $x-d'$  die resp. Entfernungen des Objects  $B$  von seinem Brennpunkte also (10):

$$ff = (d-D)(x-d) \\ ff = (d'-D)(x-d')$$

woraus man leicht

$$ff = (d-D)(d'-D) \text{ findet.}$$

6. Sind  $P\pi = da$  und  $P'\pi' = da'$  die gleichzeitig statt finden, so entsteht von dem Punkte  $v$  in  $v$  ein Bild. Die Größe des Objects verhält sich demnach zur Größe des Bildes wie  $\pi'v$  zu  $pv$ , oder wie  $da'w' : da.w$ . Da  $aa' = ff$  ist, so wird  $a da' = -a' da$ , und da (1)  $aw = f w'$ ;  $a'w' = f w$ ; das Verhältniß des Objects zum Bilde  $aa' da'w' : a' da.w = a'w' : -aw = a' : -f = f : -a$ .

*Th. Clausen.*

Schreiben des Herrn Professors *Encke*, Directors der Berliner Sternwarte, an den Herausgeber.

Berlin 1840. Januar 20.

Den Cometen haben wir noch vor zwei Stunden wie ich glaube gut beobachtet, doch wird es wahrscheinlich das letztemal gewesen seyn. Er ist sehr schwach. Vielleicht wird es bei diesem längere Zeit sichtbaren Cometen eine nicht parabolische Bahn geben. Wenigstens ließen sich 3 Beobachtungen vom 27<sup>ten</sup> Octbr., 20<sup>ten</sup> Novbr. und 26<sup>ten</sup> Decbr. in eine Parabel nicht vereinigen, ohne bei der mittleren, wenn die äußersten dargestellt werden, einen Fehler von  $+2'28''$  in Länge und  $+5''$  in Breite zu geben. Wenn nun auch wegen der starken Breite der Fehler in Länge auf  $+60''$  des größten Kreises herabkommt und sich bei Vertheilung auf alle drei Beobach-

tungen beträchtlich verringern wird, so glaube ich doch, daß die übrigenbleibenden Fehler verhältnißmäßig so groß bleiben, weil die AR. sich genauer beobachten läßt, als das man ihren Fehler mit  $\cos \delta$  multipliciren dürfte. Die neuen Elemente waren

Durchgang Nov. 14.02363 Berl. m. Zt.

$$\begin{array}{r} \pi \quad 22^{\circ} 29' 13'' 2 \\ \Omega \quad 248 \ 41 \ 50,0 \\ \quad \quad 58 \ 16 \ 6,8 \\ \log q \quad 0,172374. \text{ Rectiläufig.} \end{array}$$

Sie sind sehr wenig von den früheren verschieden.

*Encke.*

Positionen des 4<sup>ten</sup> Cometen von 1840 hergeleitet aus den Bonner Beobachtungen.

Von Herrn Professor *Argelander*.

Die Beobachtungen wurden an dem Ringmicrometer eines 4flußigen Fraunhofer angestellt, und mit gehöriger Rücksicht auf die eigene Bewegung des Cometen, und wo es nöthig war, auf die Refractionsdifferenz reducirt. Die Sternpositionen wurden mit den in der Einleitung zu meinem Cataloge von 560 Sternen gegebenen Daten, auf den *Besselschen* Fundamentalcatalog für die geraden Aufsteigungen, für die Declinationen auf die Lage des Aequators, wie sie mein Catalog annimmt, reducirt. Die mit K bezeichneten sind von Herrn *Kysanus*. N und S bedeutet, daß der Comet beim Durchgange durch das Feld des Micrometers nördlich oder südlich vom Mittelpunkte war; wenn es anging, wurden immer eine gleiche Anzahl nördlicher und südlicher Durchgänge beobachtet, und dann das Mittel genommen.

| 1840.   | M. Z.           |                   | Beob.                      |
|---------|-----------------|-------------------|----------------------------|
| Nov. 8. | $9 \ 14 \ 20,9$ | $0 \ 0 \ 0$       | $+60 \ 26 \ 31,2$ 2 h. NS. |
|         | $9 \ 19 \ 18,9$ | $297 \ 11 \ 49,8$ | 3 h. NS.                   |

| 1840.    | M. Z.            |                   | Beob.                          |
|----------|------------------|-------------------|--------------------------------|
| Nov. 9.  | $7 \ 49 \ 38,0$  | $0 \ 0 \ 0$       | $+60 \ 19 \ 17,7$ 4 c. d. NS.  |
|          | $7 \ 54 \ 38,1$  | $298 \ 47 \ 16,8$ | 6 c. d. NS.                    |
| — 12.    | $8 \ 16 \ 56,8$  | $304 \ 4 \ 11,1$  | $+59 \ 49 \ 0,3$ 10 e. NS.     |
| — 14.    | $10 \ 7 \ 14,6$  | $307 \ 52 \ 7,1$  | 6 g. NS.                       |
|          | $10 \ 12 \ 25,0$ |                   | $+59 \ 20 \ 41,3$ 6 g. NS.     |
| — 17.    | $11 \ 2 \ 25,4$  | $313 \ 36 \ 37,2$ | $+58 \ 26 \ 53,2$ 10 l. k. NS. |
| — 20.    | $10 \ 42 \ 59,2$ | $319 \ 23 \ 1,8$  | $+57 \ 18 \ 17,6$ 6 m. n. NS.  |
| — 25.    | $10 \ 38 \ 25,2$ | $329 \ 2 \ 57,8$  | $+54 \ 45 \ 48,1$ 5 o. N.      |
|          | $11 \ 20 \ 13,2$ | $329 \ 6 \ 6,9$   | 4 p. pr. seq.                  |
|          | $11 \ 55 \ 44,2$ |                   | $+54 \ 44 \ 10,7$ 3 s. S.      |
| — 26.    | $8 \ 37 \ 14,0$  | $330 \ 47 \ 9,6$  | $+54 \ 12 \ 81,7$ 5 o. S.      |
|          | $10 \ 34 \ 7,8$  | $330 \ 56 \ 13,6$ | $+54 \ 9 \ 42,3$ 5 q. N.       |
| — 27.    | $8 \ 53 \ 21,3$  | $332 \ 41 \ 3,5$  | $+53 \ 34 \ 26,4$ 10 r. NS.    |
| — 28.    | $11 \ 59 \ 3,9$  | $334 \ 47 \ 10,5$ | $+52 \ 49 \ 13,9$ 8 a. S.      |
| Dec. 13. | $8 \ 54 \ 58,5$  |                   | $+40 \ 15 \ 47,3$ 8 t. u. NS.  |
|          | $8 \ 58 \ 0,3$   | $358 \ 39 \ 37,0$ |                                |
| Dec. 14. | $8 \ 42 \ 11,2$  | $359 \ 58 \ 0,1$  | 6 v. NS.                       |
|          | $8 \ 42 \ 59,9$  |                   | $+39 \ 19 \ 69,3$              |
|          | $10 \ 31 \ 42,8$ | $0 \ 8 \ 56,2$    | $+39 \ 15 \ 54,9$ 8 w. NS.     |



die Ableitung der Nutations-Constante aus sämmtlichen Doppelter Beobachtungen. Das Endresultat ist 9<sup>m</sup>219 für die Lunar-Nutation. Sie werden binnen Kurzem die nähern De-

tails dieser sehr sorgfältigen Arbeit erhalten, die ihn 40 Monate hindurch beschäftigte.

Mädler.

Schreiben des Herrn Hofraths *Gauß*, Directors der Göttinger Sternwarte, an den Herausgeber.  
Göttingen 1841. Febr. 9.

Ich übersende Ihnen hier die hiesigen Beobachtungen der Mondfinsternisse. In einem öffentlichen Blatte fand ich unlangst die Nachricht, daß der Amerikanische Marine-Captain *Wilkes* dem magnetischen Südpole ziemlich nahe gekommen sei, und daß er in 67° 4' südl. Breite und 147° 30' Länge (ohne Zweifel östlich von Greenwich) die magnetische Abweichung 12° 35' östlich, und die Neigung 87° 30' gefunden habe. Nach einer flüchtig angestellten Rechnung würde ich nun hiernach einstellen den wirklichen Pol

in 70° 21' südlicher Breite  
146 17 Länge

setzen. Dieser Platz liegt demjenigen, welchen meine Theorie (S. 44) angegeben hat, viel näher, als ich selbst erwartet hatte. Der wirkliche Pol liegt, wie ich dort vermuthet hatte, nördlicher, als der nach der Theorie berechnete; aber der Unterschied in der Breite erreicht nur den dritten Theil von dem, auf welchen ich nach Ansicht der Beobachtungen von Hobartown gefaßt war. Eben so liegt der wirkliche Pol westlicher, als der nach der Theorie berechnete, und hier ist der Unterschied fast genau so groß wie der a. a. O. von mir präsumirte. Uebrigens ist unnöthig zu bemerken, daß in diesen hohen Breiten der Unterschied von sechs Längengraden nur eben so viel bedeutet, wie zwei Breitengrade.

Bei der Mondfinsternis am 5<sup>ten</sup> Febr. 1841 hat Herr Dr. *Goldschmidt* folgende Ein- und Austritte beobachtet:

|            | Eintritte.  | Austritte.  |
|------------|---|---|
| Aristarch  | 13 <sup>h</sup> 11 <sup>m</sup> 29 <sup>s</sup> M. Z. | 15 <sup>h</sup> 42 <sup>m</sup> 54 <sup>s</sup> M. Z. |
| Copernicus | 18 6  |   |
| Euler      | 19 57   |   |
| Tycho      | { 20 53   | 46 20   |
|            | { 22 15   | 47 55   |
| Heraclides | 23 19   | 48 50   |
| Laplace    | 27 23   | 52 7  |
| Pico       | 32 11   |   |
| Manilius   | { 33 5  | 16 7 48   |
|            | { 33 51   |   |
| Plato      | { 33 23   | 15 47 2   |
|            | { 34 45   | 48 28   |
| Menelaus   | 36 46   | 16 10 56  |
| Plinius    | 40 17   | 14 42   |
| Posidonius | 43 3 IR.  | 16 32 Mitte.  |
| Goclenius  | { 45 59   |   |
|            | { 46 47   |   |
| Hercules   | 47 34   |   |
| Proclus    | 49 45   | 24 4  |
| Endymion   | { 50 21   |   |
|            | { 51 19   |   |
| Picard     | 54 37   |   |

Die Beobachtungen waren mit einem tüftigen Dollondischen Fernrohr angestellt, dessen Objectiv 42 Pariser Linien Öffnung hat; die angewandte Vergrößerung war 90fach.

Der Mond war während der totalen Verfinsternung gelblichroth, namentlich war diese Farbe im Westen sehr hell, die größern Maren und Flecke blieben sichtbar. Beim Ende der totalen Finsternis zog sich ein leichter bläulicher Schimmer über Grimaldi am Südrande des Mondes hin.

*Gauß.*

Beobachtung der Mondfinsternis am 5<sup>ten</sup> Februar auf der Hamburger Sternwarte, von Herrn *Rümcker*.

Die Momente sind zur Secunde angegeben, welche ich zwar bei den übrigen nicht verbürge, aber bei denen mit einem Sterne bezeichneten der Wahrheit sehr nahe glaube.

|          |                 |                                |
|----------|-----------------|--------------------------------|
| 1        | Grimaldus       | 13 <sup>h</sup> 1' 32 M. H. Z. |
| 2        | Galileus        | 13 4 13                        |
| 4        | Kepler          | 13 9 42                        |
| *3       | Aristarch       | 13 10 55                       |
| 5        | Gassendus       | 13 11 12                       |
| 9        | Lansbergius     | 13 13 37                       |
| 10       | Reinoldus       | 13 17 11                       |
| 14       | Böhlundus       | 13 17 41                       |
| 11       | Copernicus      | 13 18 31                       |
| 7 u. 8   | { Harpalus      | 13 21 10                       |
|          | { Heraclides    |                                |
| 21       | Tycho           | 13 22 10                       |
| *19      | Ins. sin. med.  | 13 23 55                       |
| 16 u. 18 | { Timocharis    | 13 26 19                       |
|          | { u. Archimedes |                                |
| 12       | Helicon         | 13 27 9                        |

|          |                               |                                  |
|----------|-------------------------------|----------------------------------|
| *17      | Plato                         | 13 <sup>h</sup> 32' 46" M. H. Z. |
| *24      | Manilius                      | 13 33 44                         |
| 28       | Dionisius                     | 13 36 23                         |
| *25      | Menelaus                      | 13 37 20                         |
| 22 u. 23 | { Eudoxus und                 | 13 38 8                          |
|          | { Aristoteles                 |                                  |
| *29      | Plinius                       | 13 40 32                         |
| *32      | Promontorium                  |                                  |
|          | acutum                        | 13 42 54                         |
| *27      | Posidonius                    | 13 44 3                          |
| 40       | Tarantius                     | 13 46 6                          |
| *35      | Proclus                       | 13 50 36                         |
| 38       | Petavius                      | 13 51 35                         |
| 39       | Langrenus                     | 13 52 22                         |
|          | Anfang der totalen Finsternis | 13 58 34                         |

Bei den heiteren Intervallen war der Schatten aber schärfer begrenzt, als ich es jemals bemerkt habe. Das Ende war Wolken halber durchaus unsichtbar.

*Rümcker.*

Beweis des von *Jacobi* gefundenen Lehrsatzes, daß ein flüssiges sich um die eine Axe drehendes Sphäroid von drei verschiedenen Hauptaxen in Gleichgewicht seyn könne.

Von Herrn *Thomas Clausen*.

1. Es seyen die drei rechtwinklichten halben Hauptaxen  $\alpha, \beta, \gamma$ ; die kleinste  $\alpha$ ; die größte  $\gamma$ ; so hat man für einen Punkt an der Oberfläche, dessen Coordinaten auf die drei Hauptaxen bezogen, resp.  $f, g, h$  sind (*Legendre Traité des fonctions elliptiques* Tome I. Application à la Mécanique Sect. III. 594) wenn man  $\alpha = \gamma \cos \varphi$ ;  $\beta = \gamma \sqrt{(1 - e^2 \sin^2 \varphi)}$

setzt und die Integrale von  $\varphi = 0$  bis  $\varphi = \varphi < \frac{\pi}{2}$  ( $\pi$  = halbe Peripherie des Kreises) nimmt, für die drei Attractionskräfte  $A, B, C$  parallel mit den resp. obigen Hauptaxen

$$\begin{cases} A = \frac{3M \cdot f}{\gamma^3 \sin^3 \varphi} \int \frac{\tan \varphi^2 d\varphi}{\sqrt{(1 - e^2 \sin^2 \varphi)}} \\ B = \frac{3M \cdot g}{\gamma^3 \sin^3 \varphi} \int \frac{\sin \varphi^2 d\varphi}{(1 - e^2 \sin^2 \varphi)^{\frac{3}{2}}} \\ C = \frac{3M \cdot h}{\gamma^3 \sin^3 \varphi} \int \frac{\sin \varphi^2 d\varphi}{\sqrt{(1 - e^2 \sin^2 \varphi)}} \end{cases} \quad (1) \dots\dots$$

wo  $M$  die Masse des Sphäroids bezeichnet.

Die flüssige Masse ist in Gleichgewicht, wenn die Summe der auf einen Punkt an der Oberfläche wirkenden Kräfte auf die Oberfläche senkrecht gerichtet ist. Es sei (*Gauss*, *Disquisitiones generales circa superficies curvas*) eine Kugelfläche mit dem Halbmesser = 1 beschrieben, die durch drei mit den drei Hauptaxen parallele Halbmesser in der Richtung der positiven Coordinaten in den Punkten (1), (2), (3) resp. geschnitten wird. Ein mit der Richtung der Summe der auf den Punkt wirkenden Kräfte paralleler Halbmesser schneide die Kugelfläche in  $L$ ; so ist, wenn die Summe der Kräfte  $P$  ist, die Summe der nach den drei Axen zerlegten Kräfte

$$X = P \cos(1)L; \quad Y = P \cos(2)L; \quad Z = P \cos(3)L.$$

(1)  $L$  bedeutet den sphärischen größten Kreis zwischen (1) und  $L$ , und eben so (2)  $L$  und (3)  $L$  resp.

Zieht man ein beliebiges Element auf der Oberfläche des Sphäroids  $ds$ , dessen Richtung von obigem Punkte aus mit einem Halbmesser parallel ist, der die Kugelfläche in  $\lambda$  durchschneidet; so werden die Projectionen desselben auf die drei Hauptaxen

$$df = ds \cos(1)\lambda; \quad dg = ds \cos(2)\lambda; \quad dh = ds \cos(3)\lambda$$

18r Bd.

und nach den erwähnten Disquiss. p. 4.

$\cos \lambda L = \cos(1)\lambda \cdot \cos(1)L + \cos(2)\lambda \cdot \cos(2)L + \cos(3)\lambda \cdot \cos(3)L$  Ist die Richtung von  $P$  auf die Oberfläche senkrecht, so ist der Bogen  $\lambda L$  dem vierten Theile der Peripherie gleich und sein Cosinus verschwindend. Mithin, wenn man mit  $P ds$  multiplicirt und die Werthe von  $df, dg, dh, X, Y, Z$  substituirt:

$$0 = X df + Y dg + Z dh \dots\dots\dots (2)$$

Die Gleichung für das Ellipsoid ist:

$$1 = \frac{ff}{\alpha\alpha} + \frac{gg}{\beta\beta} + \frac{hh}{\gamma\gamma};$$

folglich

$$0 = \frac{f}{\alpha\alpha} df + \frac{g}{\beta\beta} dg + \frac{h}{\gamma\gamma} dh \dots\dots\dots (3)$$

Die Gleichungen von (2) und (3) müssen identisch sein, folglich ist

$$\left. \begin{aligned} X &= \frac{\mu f}{\alpha\alpha} \\ Y &= \frac{\mu g}{\beta\beta} \\ Z &= \frac{\mu h}{\gamma\gamma} \end{aligned} \right\} \dots\dots\dots (4)$$

wo  $\mu$  eine willkürliche Gröfse bezeichnet.

2. Ein materieller Punkt an dem Ende einer Linie  $l$  befestigt die sich um den andern festen Endpunkt in einer Ebene bewegt, strebt sich von dem Mittelpunkte zu entfernen. Ist der Winkel, den die Linie in der Zeit  $t$  beschreibt,  $nt$ , so ist der Unterschied der Secante und des Halbmessers für den in Zeittheilchen  $dt$  beschriebenen Bogen  $\frac{1}{2} l n n dt^2$ . Die Wirkung einer Anziehungskraft  $g$  im Zeittheilchen  $dt$  ist  $\frac{1}{2} g dt^2$ . Die Centrifugalkraft wird demnach durch eine Anziehungskraft  $g = l n n$  in Gleichgewicht gehalten, deren Richtung nach dem Centrum der Drehung ist. Sind die Projectionen von  $l$  auf zwei in der Ebene der Drehung liegende rechtwinklichte Axen  $x, y$ ; so sind, wie man leicht sieht, die nach der Richtung dieser Axen zerlegten Centrifugalkräfte resp  $x n n, y n n$ .

3. Es drehe sich das sphäroidische Fluidum um die kürzeste Halbaxe  $\alpha$ ; so sind die Centrifugalkräfte nach den drei

Axen zerlegt, 0,  $g n n$ ,  $h n n$ , die negativ sind, wenn man die Anziehungskräfte positiv setzt. Die Summe der Anziehungen und Centrifugalkräfte parallel mit den drei Hauptaxen sind also (4)

$$(5) \dots \begin{cases} X = \frac{\mu f}{\alpha \alpha} = \frac{3 M f}{\gamma^3 \sin^3 \Phi} \int \frac{t g \Phi^3 d\Phi}{\sqrt{(1-e^2 \sin^2 \Phi)}} \\ Y = \frac{\mu g}{\beta \beta} = \frac{3 M g}{\gamma^3 \sin^3 \Phi} \int \frac{\sin \Phi^3 d\Phi}{(1-e^2 \sin^2 \Phi)^{\frac{3}{2}}} - g n n \\ Z = \frac{\mu h}{\gamma \gamma} = \frac{3 M h}{\gamma^3 \sin^3 \Phi} \int \frac{\sin \Phi^3 d\Phi}{\sqrt{(1-e^2 \sin^2 \Phi)}} - h n n \end{cases}$$

Soll daher die Figur während der Umdrehung permanent bleiben,

$$(7) \dots \dots \dots 0 = (1-e^2 \sin^2 \Phi) \int \frac{\sin \Phi^3 d\Phi}{(1-e^2 \sin^2 \Phi)^{\frac{3}{2}}} - \sin^2 \Phi \cos \Phi^3 \int \frac{t g \Phi^3 d\Phi}{\sqrt{(1-e^2 \sin^2 \Phi)}} = W$$

$$(8) \dots \dots \dots \frac{dW}{2 \sin \Phi \cos \Phi d\Phi} = -e^2 \int \frac{\sin \Phi^3 d\Phi}{(1-e^2 \sin^2 \Phi)^{\frac{3}{2}}} - (\cos \Phi^3 - \sin \Phi^3) \int \frac{t g \Phi^3 d\Phi}{\sqrt{(1-e^2 \sin^2 \Phi)}}.$$

$$(9) \dots \dots \dots e^2 W + (1-e^2 \sin^2 \Phi) \frac{dW}{2 \sin \Phi \cos \Phi d\Phi} = \left\{ (1-e^2) \sin \Phi^4 - \cos \Phi^4 \right\} \int \frac{t g \Phi^3 d\Phi}{\sqrt{(1-e^2 \sin^2 \Phi)}}$$

Da die drei Axen von ungleicher Größe angenommen werden, so werden die Fälle  $\Phi = 0$ ,  $e = 0$ ,  $e = 1$  nicht berücksichtigt. Die Größe  $(1-e^2) \sin \Phi - \cos \Phi^4$  ist negativ für alle Werthe von  $\Phi = 0$  bis  $\Phi = \Phi_1$ , wenn  $t g \Phi = \sqrt{1-e^2}$

gesetzt wird, von welchem Werthe an bis  $\Phi = \frac{\pi}{2}$  sie positiv ist. Nach der Gleichung (9) sind demnach  $W$  und  $dW$  nur in dem Falle beide verschwindend, wenn die eine dieser Größen für  $\Phi$  verschwindet. In den übrigen Fällen ist die eine dieser Größen negativ, wenn die andere verschwindet, für  $\Phi < \Phi_1$ ; positiv, wenn die andere verschwindet für  $\Phi > \Phi_1$ .

Da  $dW$  für alle Werthe von  $\Phi = 0$  bis  $\Phi = \frac{\pi}{4}$ , und also auch  $W$  negativ ist, und für  $\Phi = \frac{\pi}{2}$  positiv, so ist vermöge

der Stetigkeit der Function wenigstens ein Werth von  $\Phi$ , für den  $W = 0$  ist. Es sei der kleinste  $\Phi$ , demnach  $dW$  positiv oder  $= 0$ , da der Werth von  $W$  von negativ in positiv übergeht, und also  $\Phi > \Phi_1$ . Es können zwischen diesen und  $\Phi = \frac{\pi}{2}$  keine negative Werthe von  $W$  statt finden, widrigen-

ben, so muß den drei folgenden Gleichungen Genüge geleistet werden:

$$\left. \begin{aligned} \frac{\mu}{\alpha \alpha} &= \frac{3 M}{\gamma^3 \sin^3 \Phi} \int \frac{t g \Phi^3 d\Phi}{\sqrt{(1-e^2 \sin^2 \Phi)}} \\ \frac{\mu}{\beta \beta} &= \frac{3 M}{\gamma^3 \sin^3 \Phi} \int \frac{\sin \Phi^3 d\Phi}{(1-e^2 \sin^2 \Phi)^{\frac{3}{2}}} - n n \\ \frac{\mu}{\gamma \gamma} &= \frac{3 M}{\gamma^3 \sin^3 \Phi} \int \frac{\sin \Phi^3 d\Phi}{\sqrt{(1-e^2 \sin^2 \Phi)}} - n n \end{aligned} \right\} \dots (6)$$

Eliminirt man  $\mu$  und  $n n$  und substituirt für  $\alpha$  und  $\beta$  ihre Werthe, so findet man folgende Bedingungsgleichung:

falls, da  $W$  positiv ist für  $\Phi = \frac{\pi}{2}$ , eine zweite Wurzel  $\Phi''$  zwischen  $\Phi = \Phi'$  und  $\Phi = \frac{\pi}{2}$  statt findet, zwischen welcher und  $\Phi'$ ,  $dW = 0$  und  $W$  negativ wäre, wider die Formel (9).

„Es giebt also für jedes  $e$  ein und nur ein  $\Phi$ , welches der Bedingungsgleichung (7)  $W = 0$  Genüge thut, dessen Werth zwischen  $\arctan \frac{1}{\sqrt{1-e^2}}$  und  $\frac{\pi}{2}$  fällt.“

$\Phi$  ist daher in allen Fällen größer als  $\frac{\pi}{4}$  oder  $\alpha$  gleich oder kleiner als  $\gamma \sqrt{\frac{1}{2}}$ . Die obige Bedingung, daß  $(1-e^2) \sin \Phi^4 - \cos \Phi^4$  positiv sein muß, giebt  $\frac{1}{\alpha^2} > \frac{1}{\beta^2} + \frac{1}{\gamma^2}$  nach welcher, da die Summe der beiden  $\frac{1}{\beta^2} + \frac{1}{\gamma^2} < \frac{1}{\alpha^2}$  ist, die kleinste  $\frac{1}{\gamma^2}$  nicht größer als  $\frac{1}{2} \frac{1}{\alpha^2}$  seyn kann, oder  $\alpha$  nicht größer als  $\gamma \sqrt{\frac{1}{2}}$ , wie eben gefunden wurde.

Es ist jetzt nur übrig zu zeigen, daß dieser Werth von  $\Phi$  in die Gleichungen (6) substituirt, eben positiven Werth von  $n n$  giebt. Aus den beiden letzten dieser Gleichungen folgt:

$$n n = \frac{3 M}{\gamma^3 e^2 \sin^3 \Phi} \left\{ \int \frac{\sin \Phi^3 d\Phi}{\sqrt{(1-e^2 \sin^2 \Phi)}} - (1-e^2 \sin^2 \Phi) \int \frac{\sin \Phi^3 d\Phi}{(1-e^2 \sin^2 \Phi)^{\frac{3}{2}}} \right\}$$

Es sei

$$U = \int \frac{\sin \Phi^3 d\Phi}{\sqrt{(1-e^2 \sin^2 \Phi)}} - (1-e^2 \sin^2 \Phi) \int \frac{\sin \Phi^3 d\Phi}{(1-e^2 \sin^2 \Phi)^{\frac{3}{2}}};$$

so ist

$$\frac{dU}{2 \sin \Phi \cos \Phi d\Phi} = e^2 \int \frac{\sin \Phi^3 d\Phi}{(1-e^2 \sin^2 \Phi)^{\frac{3}{2}}}.$$

Da  $U$  und  $\Phi$  gleichzeitig 0 sind und  $dU$  für alle Werthe von

$\Phi = 0$  bis  $\Phi = \frac{\pi}{2}$  positiv ist, so ist ebenfalls  $U$  und mithin auch  $n n$  für diese Werthe positiv.

„Es giebt also, wenn die drei halben Axen  $\alpha$ ,  $\beta$ ,  $\gamma$  des Sphäroids verschieden sind, für jedes gegebene Verhältniß  $\frac{\gamma^2 - \beta^2}{\gamma^2 - \alpha^2} = e e$  zwischen 0 und 1 ein und nur ein Ver-

hältniß  $\frac{x}{y} < \sqrt{\frac{1}{2}}$ , mit welchem sich das flüssige Sphäroid mit permanenter Figur um die kürzeste Axe drehen kann.“

4. Ich will jetzt noch untersuchen, ob das Gleichgewicht möglich ist, wenn sich das Sphäroid um die mittlere Axe dreht. Für diesen Fall werden die Gleichungen (6)

Eliminirt man wieder  $\mu$  und  $n$  aus diesen Gleichungen, so ergibt sich nach Substitution von  $a$  und  $\beta$  folgende Bedingungsgleichung:

$$0 = (1 - e^2 \sin^2 \varphi) \sin^2 \varphi \int \frac{\sin^2 \varphi^2 d\varphi}{(1 - e^2 \sin^2 \varphi)^{\frac{3}{2}}} - \cos^2 \varphi \int \frac{\sin^2 \varphi^2 d\varphi}{\cos^2 \varphi \sqrt{(1 - e^2 \sin^2 \varphi)}} = IV,$$

$$(1 - 2e^2 \sin^2 \varphi) \int \frac{\sin^2 \varphi^2 d\varphi}{(1 - e^2 \sin^2 \varphi)^{\frac{3}{2}}} + \int \frac{\sin^2 \varphi^2 d\varphi}{\cos^2 \varphi \sqrt{(1 - e^2 \sin^2 \varphi)}} = \frac{dIV}{2 \sin \varphi \cos \varphi d\varphi}$$

$$((1 - e^2 \sin^2 \varphi)^{\frac{3}{2}} + e^2 (1 - e^2) \sin^2 \varphi) \int \frac{\sin^2 \varphi^2 d\varphi}{(1 - e^2 \sin^2 \varphi)^{\frac{3}{2}}} = IV + \frac{\cos \varphi dIV}{2 \sin \varphi d\varphi}$$

Wenn eine der Größen  $IV$ , und  $dIV$ , verschwindet, ist die andere immer positiv, da  $(1 - e^2 \sin^2 \varphi)^2 + e^2 (1 - e^2) \sin^2 \varphi$  positiv ist. Es ist  $dIV$ , positiv von  $\varphi = 0$  bis  $\sin \varphi = \frac{1}{\sqrt{2}}$ . Ist demnach der kleinste Werth von  $\varphi$ , für welchen  $IV = 0$ , so wird  $dIV$ , da  $IV$ , von positiv in negativ übergeht, für diesen Werth von  $\varphi$  negativ, im Widerspruch mit der letzten Gleichung. Das Sphäroid kann sich demnach nicht um die mittlere Axe drehen, wenn die flüssige Masse in Gleichgewicht gehalten werden soll.

5. Nimmt man an, das Sphäroid drehe sich um die läng-

$$0 = (1 - e^2 \sin^2 \varphi) \cos^2 \varphi \int \frac{\sin^2 \varphi^2 d\varphi}{\cos^2 \varphi^2 (1 - e^2 \sin^2 \varphi)^{\frac{3}{2}}} - \sin^2 \varphi \int \frac{\sin^2 \varphi^2 d\varphi}{\sqrt{(1 - e^2 \sin^2 \varphi)}} = IV_n$$

$$-(1 - e^2 \sin^2 \varphi + e^2 \cos^2 \varphi) \int \frac{\sin^2 \varphi^2 d\varphi}{\cos^2 \varphi^2 (1 - e^2 \sin^2 \varphi)^{\frac{3}{2}}} - \int \frac{\sin^2 \varphi^2 d\varphi}{\sqrt{(1 - e^2 \sin^2 \varphi)}} = \frac{dIV_n}{2 \sin \varphi \cos \varphi d\varphi}$$

Da  $dIV_n$  von  $\varphi = 0$  bis  $\varphi = \frac{\pi}{2}$  beständig negativ ist, und  $IV_n = 0$  für  $\varphi = 0$ ; so kann  $IV_n$  nicht  $= 0$  werden innerhalb dieser Grenzen  $\varphi = 0$  ausgeschlossen.

$$\left. \begin{aligned} \frac{\mu}{aa} &= \frac{3M}{\gamma^2 \sin^2 \varphi^2} \int \frac{tg \varphi^2 d\varphi}{\sqrt{(1 - e^2 \sin^2 \varphi)}} - nn \\ \frac{\mu}{\beta\beta} &= \frac{3M}{\gamma^2 \sin^2 \varphi^2} \int \frac{\sin^2 \varphi^2 d\varphi}{(1 - e^2 \sin^2 \varphi)^{\frac{3}{2}}} - nn \\ \frac{\mu}{\gamma\gamma} &= \frac{3M}{\gamma^2 \sin^2 \varphi^2} \int \frac{\sin^2 \varphi^2 d\varphi}{\sqrt{(1 - e^2 \sin^2 \varphi)}} - nn \end{aligned} \right\} \dots (10)$$

ste Axe, so werden die Bedingungsgleichungen für den Fall des Gleichgewichts

$$\left. \begin{aligned} \frac{\mu}{aa} &= \frac{3M}{\gamma^2 \sin^2 \varphi^2} \int \frac{tg \varphi^2 d\varphi}{\sqrt{(1 - e^2 \sin^2 \varphi)}} - nn \\ \frac{\mu}{\beta\beta} &= \frac{3M}{\gamma^2 \sin^2 \varphi^2} \int \frac{\sin^2 \varphi^2 d\varphi}{(1 - e^2 \sin^2 \varphi)^{\frac{3}{2}}} - nn \\ \frac{\mu}{\gamma\gamma} &= \frac{3M}{\gamma^2 \sin^2 \varphi^2} \int \frac{\sin^2 \varphi^2 d\varphi}{\sqrt{(1 - e^2 \sin^2 \varphi)}} - nn \end{aligned} \right\} \dots (11)$$

Eliminirt man wiederum  $\mu$  und  $n$ , so findet man nach Substitution von  $a$  und  $\beta$  die Bedingungsgleichung

Es kann demnach das Gleichgewicht nur Statt finden, wenn die flüssige Masse sich um die kürzeste Axe dreht.

*Th. Clausen.*

## Beobachtungen von Sonnenflecken im Jahre 1840.

Von Herrn Hofrath *Schubbe*.

In diesem Jahre konnte ich die Sonne an 263 Tagen beobachten und 152 Fleckengruppen zählen. Am 15<sup>ten</sup>, 16<sup>ten</sup> und 17<sup>ten</sup> April fand ich sie vollkommen fleckenlos und in der Zone, worin die Flecken entstehen, zeigten sich starke Narben und einige geballte Lichtwolken, worin ich mit 64 und 96maliger Vergrößerung des 6füß. *Fraunhofer*schen Fernrohrs nur sehr feine Poren entdeckte. Die wenigsten Flecke hatte die Sonne am 7<sup>ten</sup> und 8<sup>ten</sup> Decbr., indem nur einige feine, jedoch schon mit dem 3½füß. *Fraunhofer* 42 und 84mal Vergrößerung bemerkbaren Punkte sichtbar waren. Vorzüglich große Ansammlungen von Fleckengruppen erzeugten sich nicht; die meisten

Gruppen waren am 1<sup>ten</sup> und 2<sup>ten</sup> September vorhanden und dennoch waren zu gleicher Zeit nur sieben sichtbar, worunter sich eine einzige von ausgezeichneter Größe befand. Die größten und reichsten Gruppen dieses Jahres waren vom 19<sup>ten</sup> bis 27<sup>ten</sup> April, vom 1<sup>ten</sup> bis 2<sup>ten</sup> Mai, vom 12<sup>ten</sup> bis 19<sup>ten</sup> Juli, vom 19<sup>ten</sup> bis 24<sup>ten</sup> August, vom 1<sup>ten</sup> bis 5<sup>ten</sup> September, 17<sup>ten</sup> bis 28<sup>ten</sup> October, vom 1<sup>ten</sup> bis 6<sup>ten</sup> November und vom 12<sup>ten</sup> bis 18<sup>ten</sup> November sichtbar. Am merkwürdigsten war die öftere Wiederkehr dreier Gruppen, von denen die erste 2 Rotationen, die zweite 4 Rotationen und die dritte 8 Rotationen der Sonne aushielt. In den zwei ersten Gruppen war

10\*

kein beständiger Flecken bemerkbar, die Gruppen traten nur zu den gehörigen Zeiten und an denselben Orten wieder ein. Die dritte Gruppe zeigte aber, ungeachtet ihrer Veränderlichkeit, einen beständigen Flecken, der zwar an Gestalt und Größe, nicht aber im Orte wechselte und 9mal am östlichen Sonnenrande eintrat. Ich füge ein Verzeichniß bei, welches die Eintritts und Austritte so wie die Zeit enthält, als der Flecken bei jeder Revolution sich ungefähr in der Mitte seiner Bahn befand.

| Eintritt.   | Mitte.     | Austritt.             |
|-------------|------------|-----------------------|
| Mal 5.      | Mal 11.    | Mal 17.               |
| Juni 1 — 2. | Juni 8.    | Juni 14.              |
| Juni 29.    | Juli 5.    | theilweise aufgelöst. |
| Juli 26.    | Aug. 1.    | Aug. 8.               |
| Aug. 22.    | Aug. 28.   | Sept. 3.              |
| Sept. 18?   | Sept. 24.  | Oct. 1.               |
| Oct. 15?    | Oct. 21.   | Oct. 28.              |
| Nov. 10.    | Nov. 16.   | Nov. 22. 23.          |
| Dec. 7.     | aufgelöst. | aufgelöst.            |

In den zwei ersten Vorübergängen war dieser Flecken klein, ohne Nebel und Hof und wurde von ähnlichen etwas kleineren und einigen Punkten begleitet. Beim dritten Vorübergang, wo er den 29<sup>ten</sup> Juni eintrat, war er nicht wesentlich verändert, löste sich aber bald theilweise auf, so daß ich seinen Austritt nicht genau anzugeben im Stande war; jedoch trat er am 26<sup>ten</sup> Juli als ein bebohrter Kernfleck regelmäßig ein, und sowohl er als die zu ihm gehörige Gruppe bildeten sich zu einer ansehnlichen Größe aus. Bei seinem fünften Ein-

tritte am 22<sup>ten</sup> August war er nur noch allein vorhanden und änderte sich auch während seines Vorüberganges nicht wesentlich. Am 18<sup>ten</sup> September konnte ich seinen Eintritt wegen des bedeckten Himmels nicht beobachten, fand ihn aber am 20<sup>ten</sup> Septbr. fast unverändert, so weit vom östlichen Sonnenrande entfernt, daß er am 18<sup>ten</sup> eingetreten seyn mußte; dasselbe Ereigniß fand auch bei seinem 6<sup>ten</sup> Vorübergang statt, wo ich ihn erst am 17<sup>ten</sup> October sehen konnte, er war von mehreren andern Flecken und Punkten umgeben. Von nun an löste sich die Gruppe immer mehr auf, bis ich den behoftenen Kernfleck zuletzt am 22<sup>ten</sup> November nahe am Westrande der Sonne allein ohne alle Nebenflecke beobachtete. Am 24<sup>ten</sup> war er ausgetreten. Sein neunter Eintritt erfolgte am 7<sup>ten</sup> December, jedoch war nur sehr helles gehaltenes Lichtgewölke an seiner Stelle sichtbar, worin ich erst am 9<sup>ten</sup> mit dem 34<sup>ten</sup>, 42 und 84mal Vergrößerung einige feine Punkte erkennen konnte. Wenn man nun noch weiter zurückrechnet und die Revolutionsperiode für diesen Flecken zu ungefähr 27<sup>1</sup>/<sub>2</sub> annimmt, erhält man für die Mitte seiner Bahn: April 13, März 17. Februar 1840 bleibt er aus. 1839 den 1<sup>sten</sup> Dec., den 4<sup>ten</sup> Nov., den 9<sup>ten</sup> Oct.; den 12<sup>ten</sup> Sept. tritt er regelmäßig in die Mitte ein. Den 16<sup>ten</sup> Aug. und den 20<sup>ten</sup> Juli bleibt er aus, steht aber den 23<sup>ten</sup> Juni wieder in der Mitte, bleibt den 27<sup>ten</sup> Mai und 30<sup>ten</sup> April aus, ist am 3<sup>ten</sup> April in der Mitte sichtbar, den 7<sup>ten</sup> März und 8<sup>ten</sup> Febr. unsichtbar und den 12<sup>ten</sup> Jan. wieder gegenwärtig. Die bekannten Lichtflocken bei der Sonne habe ich in diesem Jahre nicht gesehen.

*Schwabe.*

### Beobachtungen von Sonnenflecken auf der Altonaer Sternwarte.

Von Herrn Observator Petersen.

Die hier folgenden Beobachtungen von Sonnenflecken sind mit einem Fraunhofer von 27 Linien Oeffnung, 30 Zoll Brennweite und 60mal Vergrößerung gemacht, der parallactisch aufgestellt und mit einem Troughtonschen Filarmicrometer versehen ist. Die Abstände der Flecken vom nördlichen und südlichen Sonnenrande sind durch Messungen mit diesem Micrometer ermittelt und in Bogen verwandelt in den Beobachtungen durch (S) Südrand + gemessener Abstand, (N) Nordrand — gemessener Abstand notirt; später ist jedoch der Kürze wegen nur das Mittel aus beiden, oder der Abstand vom Mittelpunkte der Sonne selbst angegeben, wobei ein nördlicher Abstand der Flecken durch +, ein südlicher durch — bezeichnet ist. Der Rectascensions-Unterschied zwischen dem Flecken und dem ersten und zweiten Sonnenrande ist aus Fäden-Durchgängen an Fäden, welche im Micrometer senkrecht auf der täglichen Bewegung gestellt waren, geschlossen und durch (I) erster Rand + Unterschied in

Zeit, (II) zweiter Rand — Unterschied in Zeit angegeben. Auch hier ist später nur das Mittel aus beiden, oder der Zeitunterschied zwischen dem Mittelpunkte der Sonne und dem Flecken notirt, wo + einen östlichen, — einen westlichen Abstand des Fleckens vom Mittelpunkte der Sonne bezeichnet. Alle Beobachtungen sind von dem Einflusse der Strahlenbrechung befreit, die Parallaxe ist vernachlässigt. In den Rectascensionsbeobachtungen sind fast ohne Ausnahme bei jedem Fäden-Durchgang beide Sonnenränder beobachtet, hingegen habe ich an einzelnen Tagen für die Declinations-Bestimmung nicht den Abstand aller Flecken von beiden Sonnenrändern messen können, in welchen wenigen Fällen (sie sind durch : bezeichnet) stets zur Ermittlung des Declinations-Unterschiedes der aus den übrigen Beobachtungen sich ergebende Sonnendurchmesser angewandt ist, welcher fast immer etwas größer gefunden wurde, als im Berliner Astron. Jahrbuche.



## Beobachtungen von Sonnenflecken auf der Altonaer Sternwarte.

| 1840.   | Fleck. | Mittl. Zeit. | AR.        | Beobht. | Fleck. | M. Zeit. | Declination. | Beobht. | Bemerkungen.   |
|---------|--------|--------------|------------|---------|--------|----------|--------------|---------|--|
| Dec. 13 |        | 1843 53'     | I +1 38'40 | 5       | b      | 0 54'7   | N-13 35'0    | 2       | a hat einen ganz schwarzen Kern 35" lang und 31" breit und ist von einer Wolke umgeben. b hat einen etwas länglichen schwarzen Kern von einer Wolke umgeben etwa 10" lang und 5" breit.  |
|         | a      | 1 44 53      | II-0 43,80 | 8       | a      | 1 1,0    | N-22 17,8    | 3       |  |
|         | b      | 1 45 3       | I +1 50,73 | 5       | a      | 1 9,5    | S+10 38,1    | 3       |  |
|         | b      | 1 45 3       | II-0 31,45 | 8       | b      | 1 16,2   | S+19 16,2    | 3       |  |
|         | a      | 23 55 3      | ⊙+0 28,32  | 2       | a      | 1 26,6   | N-22 11,2    | 3       |  |
| Dec. 14 | a      | 0 52 9       | I +1 26,01 | 4       | b      | 1 2,5    | N-12 46,3    | 1       | Der Flecken c besteht aus mehreren blassen wolkenartigen Punkten, von welchen der vorangehende größere beobachtet ist.   |
|         | a      | 0 52 9       | II-0 56,21 | 4       | a      | 1 5,5    | N-21 33,5    | 2       |  |
|         | b      | 0 52 12      | I +1 36,06 | 4       | a      | 1 33,8   | S+11 16,4    | 3       |  |
|         | b      | 0 52 12      | II-0 46,16 | 4       | b      | 1 40,0   | S+19 59,4    | 2       |  |
|         | c      | 0 53 44      | I +1 58,00 | 3       | c      | 1 43,5   | S+10 46,8    | 1       |  |
|         | c      | 0 53 44      | II-0 24,30 | 3       |        |          |              |         |  |
| Dec. 15 | a      | 0 7 5        | I +1 11,03 | 5       | a      | 23 19,2  | S+11 44,6    | 3       |  |
|         | a      | 0 7 5        | II-1 11,33 | 5       | b      | 23 25,2  | S+20 27,3    | 3       |  |
|         | b      | 0 8 18       | I +1 22,00 | 5       | c      | 23 27,5  | S+10 34,0    | 1       |  |
|         | b      | 0 8 18       | II-1 0,32  | 5       | a      | 23 34,8  | N-20 56,9    | 3       |  |
|         | c      | 0 8 42       | I +1 46,12 | 5       | b      | 23 40,7  | N-12 13,5    | 3       |  |
|         | c      | 0 8 42       | II-0 36,20 | 5       |        |          |              |         |  |
| Dec. 16 | a      | 23 43 14     | I +0 56,22 | 4       | a      | 23 30,3  | N-20 17,6    | 3       | Alle Flecken hatten heute ein verändertes Ansehen. a schien sich gedreht, b sich in 3 Punkte, ein gleichseitiges Dreieck bildend, verwandelt zu haben, beide Flecken wie früher von einer Wolke umhüllt. Den Flecken c bilden 3 Punkte beinahe von gleicher Größe und in fast gerader verticaler Linie. d war nur als ein schwaches kleines Pünktchen nahe am 2ten Sonnenrande zu sehen. |
|         | a      | 23 43 14     | II-1 26,30 | 4       | b      | 23 35,3  | N-11 35,3    | 3       |  |
|         | b      | 23 43 24     | I +1 6,82  | 4       | b      | 0 11,5   | S+21 13,7    | 3       |  |
|         | b      | 23 43 24     | II-1 15,70 | 4       | a      | 0 15,3   | S+12 30,5    | 3       |  |
|         | c      | 23 43 50     | I +1 32,90 | 4       | d      | 0 19,5   | S+17 35,0    | 1       |  |
|         | c      | 23 43 50     | II-0 49,62 | 4       | c      |          | wie a        |         |  |
|         | d      | 23 43 3      | I +2 17,80 | 3       |        |          |              |         |  |
|         | d      | 23 43 3      | II-0 4,70  | 3       |        |          |              |         |  |
|         | a      | 23 55 48     | ⊙-0 14,89  | 6       |        |          |              |         |  |
|         | a      | 0 3 7        | I +0 55,85 | 2       |        |          |              |         |  |
|         | a      | 0 3 7        | II-1 26,35 | 2       |        |          |              |         |  |
|         | b      | 0 3 18       | I +1 6,40  | 2       |        |          |              |         |  |
|         | b      | 0 3 18       | II-1 15,80 | 2       |        |          |              |         |  |
| Dec. 18 | a      | 23 36 52     | I +0 28,67 | 8       | a      | 0 10,9   | S+13 15,0    | 3       | Der Flecken e, welcher zwischen Dec. 16 und heute ungefähr mitten auf der Sonne entstanden war, besteht aus mehreren kleinen blaß schwarzen Punkten, von welchen der vorangehende größere beobachtet ist. Der Flecken c hatte sich in leichtes Gewölk aufgelöst.   |
|         | a      | 23 36 52     | II-1 54,05 | 8       | b      | 0 15,1   | S+22 7,1     | 3       |  |
|         | b      | 23 35 6      | I +0 37,37 | 6       | d      | 0 18,6   | S+18 48,6    | 2       |  |
|         | b      | 23 35 6      | II-1 45,33 | 6       | a      | 0 21,7   | S+13 20,7    | 3       |  |
|         | e      | 23 36 31     | I +1 18,04 | 5       | a      | 0 26,8   | N-19 27,8    | 3       |  |
|         | e      | 23 36 31     | II-1 4,62  | 5       | a      | 0 30,6   | N-19 27,7    | 3       |  |
|         | d      | 23 38 12     | I +2 0,30  | 4       | d      | 0 33,6   | N-14 4,2     | 2       |  |
|         | d      | 23 38 12     | II-0 22,52 | 4       | e      | 0 35,1   | N-12 53,5    | 1       |  |
|         | a      | 23 56 19     | ⊙-0 43,00  | 6       | b      | 0 37,6   | N-10 40,8    | 3       |  |
| Dec. 19 | a      | 23 38 15     | I +0 17,68 | 4       | a      | 23 47,6  | N-19 18,4    | 3       | Der Flecken e zeigte heute zwei deutliche Pünktchen, zwischen welchen leichtes Gewölk war. Beide Punkte sind beobachtet. Der Fleck c war kaum mehr zu sehen.   |
|         | a      | 23 38 15     | II-2 4,93  | 4       | d      | 0 3,1    | N-13 34,9    | 3       |  |
|         | b      | 23 37 52     | I +0 25,10 | 3       | e      | 0 5,9    | N-12 55,8    | 2       |  |
|         | b      | 23 37 52     | II-1 57,33 | 3       | e'     | 0 8,1    | N-11 56,9    | 2       |  |
|         | e'     | 23 38 57     | I +0 59,43 | 4       | b      | 0 10,6   | N-10 23,8    | 2       |  |
|         | e'     | 23 38 57     | II-1 23,18 | 4       | b      | 0 14,9   | S+22 17,1    | 3       |  |
|         | e'     | 23 39 5      | I +1 7,90  | 4       | e'     | 0 17,1   | S+20 47,8    | 2       |  |
|         | e'     | 23 39 5      | II-1 14,76 | 4       | e'     | 0 19,1   | S+19 50,1    | 2       |  |
|         | d      | 23 39 45     | I +1 46,98 | 4       | d      | 0 22,6   | S+19 12,9    | 3       |  |
|         | d      | 23 39 45     | II-0 35,63 | 4       | a      | 0 26,1   | S+13 26,2    | 3       |  |
|         | a      | 23 56 38     | ⊙-0 53,75  | 6       |        |          |              |         |  |

| 1840    | Fleck. | Mittl. Zeit.          | AR.         | Beobh. | Fleck. | M. Zeit.              | Declination. | Beobh. |
|---------|--------|-----------------------|-------------|--------|--------|-----------------------|--------------|--------|
| Dec. 21 | a      | 0 <sup>h</sup> 20'32" | I +0° 3'54" | 14     | a      | 23 <sup>h</sup> 40'9" | S +13° 20'6" | 3      |
|         | a      | 0 20 32               | II -2 19,00 | 15     | d      | 23 44,6               | S +20 14,8   | 2      |
|         | b      | 0 20 37               | I +0 8,68   | 14     | e      | 23 47,6               | S +20 21,8   | 2      |
|         | b      | 0 20 37               | II -2 13,87 | 15     | e'     | 23 50,1               | S +21 48,3   | 2      |
|         | c      | 0 14 30               | I +0 27,50  | 7      | b      | 23 54,3               | S +22 25,8   | 3      |
|         | c'     | 0 14 50               | II -1 55,08 | 9      | a      | 23 58,3               | S +13 21,7   | 3      |
|         | e      | 0 12 49               | I +0 39,17  | 6      | a      | 1 8,6                 | S +13 26,3   | 3      |
|         | e'     | 0 12 49               | II -1 43,27 | 7      | a      | 0 50,1                | N -19 18,3   | 6      |
|         | d      | 0 23 40               | I +1 13,90  | 9      | d      | 0 55,1                | N -12 27,7   | 2      |
|         | d      | 0 23 40               | II -1 8,56  | 10     | e      | 0 57,1                | N -12 14,5   | 2      |
|         |        |                       |             |        | e'     | 0 59,1                | N -10 55,9   | 2      |
|         |        |                       |             |        | b      | 1 2,1                 | N -10 11,0   | 3      |

## Bemerkungen.

Die Flecken a und b, welche heute dem ersten Sonnenrande sehr nahe standen, waren nur wie Striche zu sehen. In dem Flecken e waren die beiden beobachteten Punkte ziemlich deutlich und in Gewölk gehüllt. d wie früher nur klein und schwach, hatte aber heute etwas Gewölk hinter sich.

| 1840    | Fleck. | Mittl. Zeit.           | Fleck. — ☉<br>in AR. | Beobh. | Fleck. | Mittl. Zeit.          | Fleck. — ☉<br>in Decl. | Beobh. |
|---------|--------|------------------------|----------------------|--------|--------|-----------------------|------------------------|--------|
| Dec. 23 | e'     | 23 <sup>h</sup> 55'49" | -1° 3'56"            | 5      | e'     | 0 <sup>h</sup> 28'13" | +4° 14'8"              | 4      |
|         | e''    | 23 55 58               | -0 54,38             | 6      | e''    | 0 28 36               | +5 48,5                | 4      |
|         | d      | 23 57 53               | -0 29,44             | 4      | d      | 0 27 51               | +4 47,1                | 4      |
|         | f'     | 0 2 36                 | +1 4,65              | 8      | f'     | 0 27 36               | +1 23,9                | 4      |
|         | f''    | 0 2 36                 | +1 8,93              | 5      | f''    | 0 27 36               | +0 59,1                | 4      |
| Dec. 26 | f'     | 0 7 23                 | +0 31,29             | 4      | f'     | 0 8 9                 | +2 41,2                | 4      |
|         | f''    | 0 7 31                 | +0 39,09             | 4      | f''    | 0 8 9                 | +2 17,7                | 4      |
|         | g      | 0 7 56                 | +1 4,96              | 4      | g      | 0 7 24                | +0 28,3                | 4      |
|         | h      | 0 7 58                 | +1 6,51              | 4      | h      | 0 6 54                | -3 33,0                | 4      |
| 1841    |        |                        |                      |        |        |                       |                        |        |
| Jan. 2  | f''    | 1 8 53                 | -1 2,14              | 3      | f''    | 1 23 9                | +2 54,6                | 2      |
|         | i      | 1 10 34                | +0 39,46             | 3      | i      | 1 21 24               | +2 59,6                | 4      |
| Jan. 10 | i      | 0 10 25                | -1 6,59              | 4      | i      | 0 9 4                 | +1 53,7                | 6      |
|         | b      | 0 11 54                | +0 23,71             | 4      | b      | 0 12 49               | +5 25,0                | 6      |
|         | e,     | 0 12 22                | +0 52,21             | 4      | e,     | 0 13 0                | +4 9,0                 | 6      |
|         | e,,    | 0 12 30                | +0 59,54             | 4      | e,,    |                       | wie e,                 |        |

## Bemerkungen.

Die Fleckengruppe e fast unverändert wie Dec. 21. d kaum mehr sichtbar. f' und f'' zwei ganz kleine doch ziemlich deutliche Punkte am östlichen Sonnenrande.

Die Flecken f', f'', g und h kleine schwache Pünctchen, nur in f' schien mitunter ein kleiner schwarzer Kern durch.

f'' wie früher. i hatte einen deutlichen schwarzen Kern in Wolken gehüllt. Die Flecken g und h waren nicht mehr zu sehen.

i erschien nur als ein schwarzer Punkt am westlichen Sonnenrande. b hatte einen schwarzen dreieckigen Kern, etwa wie den größeren süd. von den dreien, aus welchen der Flecken nach Dec. 16 bestand, er war in eine Wolke gehüllt und ihm folgten drei kleine Pünctchen mit etwas Nebel. e, und e,, die beiden äußeren Punkte einer Gruppe, welche nur aus schwachen Pünctchen und leichtem Gewölk bestand.

Jan. 20 und 28 fand ich die Sonne fleckenlos.

Stellt man die Beobachtungen eines jeden Fleckens zusammen, und berechnet daraus die heliocentrischen Längen und Breiten, so ergibt sich folgende Uebersicht:

| Flecken a.            |                 |            |                 |             |  |
|-----------------------|-----------------|------------|-----------------|-------------|--|
| Mittl. Zeit.<br>1840. | Flecken — Sonne |            | Heliocentrische |             |  |
|                       | in Länge.       | in Breite. | Länge.          | Breite.     |  |
| Dec. 13,07292         | + 6° 39'5"      | -5° 23'0"  | 56° 6'56"       | -19° 14'23" |  |
| 14,03611              | + 3 42,0        | -4 37,4    | 68 55 21        | -17 39 7    |  |
| 15,00556              | + 0 11,1        | -4 35,0    | 82 58 20        | -16 16 44   |  |
| 15,99514              | + 3 17,5        | -4 1,8     | 96 38 55        | -14 16 9    |  |
| 18,01806              | - 9 48,5        | -3 20,0    | 124 32 2        | -11 46 24   |  |
| 19,00868              | -12 17,7        | -3 9,4     | 137 50 31       | -11 8 45    |  |
| 21,01426              | -15 31,3        | -2 59,7    | 165 22 18       | -10 34 57   |  |
| Flecken b.            |                 |            |                 |             |  |
| Dec. 13,07292         | + 8 54,9        | +3 25,3    | 47 45 38        | +12 5 26    |  |
| 14,03611              | + 5 31,6        | +3 53,3    | 62 17 35        | +13 45 38   |  |
| 15,00556              | + 2 17,3        | +4 14,7    | 75 18 51        | +15 2 39    |  |
| 15,99514              | - 1 14,5        | +4 46,4    | 89 12 28        | +16 58 25   |  |

| Mittl. Zeit.  | Flecken — Sonne. |            | Heliocentrische |              |
|---------------|------------------|------------|-----------------|--------------|
| 1840.         | in Länge.        | in Breite. | Länge.          | Breite       |
| Dec. 18,01806 | - 8° 2'7"        | +5° 31'0"  | 118° 15' 6"     | +19° 45' 36" |
| 19,00868      | -10 44,9         | +5 45,1    | 132 24 24       | +20 37 13    |
| 21,01426      | -14 22,7         | +6 5,1     | 161 39 12       | +21 54 46    |
| 41,00826      | + 6 14,5         | +4 32,5    | 86 44 22        | +16 7 30     |

## Fleckengruppe c.

|               |          |         |          |           |
|---------------|----------|---------|----------|-----------|
| Dec. 14,03611 | +11 2,9  | -5 1,6  | 37 19 42 | +17 55 58 |
| 15,00556      | + 8 17,3 | -5 23,7 | 51 8 21  | +19 16 45 |
| 15,99514      | + 5 5,7  | -3 41,5 | 66 0 6   | +13 8 6   |

## Flecken d.

|               |          |         |           |           |
|---------------|----------|---------|-----------|-----------|
| Dec. 15,99514 | +15 12,7 | +1 44,1 | 14 53 18  | + 6 6 23  |
| 18,01806      | +11 4,5  | +2 38,3 | 43 19 56  | + 9 17 37 |
| 19,00868      | + 8 3,8  | +2 57,1 | 57 37 38  | +10 24 10 |
| 21,01426      | + 0 36,8 | +3 53,6 | 87 33 37  | +13 46 0  |
| 23,01944      | - 6 45,2 | +4 52,5 | 117 27 19 | +17 20 48 |

## Fleckengruppe e.

| Mittl. Zeit.<br>1840. | Flecken — Sonne |            | Heliocentrische |               |
|-----------------------|-----------------|------------|-----------------|---------------|
|                       | in Länge.       | in Breite. | Länge.          | Breite.       |
| Dec. 18,01806         | + 1' 20" 1      | + 3' 32" 9 | 81° 55' 15"     | + 12° 31' 57" |
| 19,00868              | - 2 51,9        | + 3 24,1   | 98 2 39         | + 12 0 22     |
| 19,00868              | - 0 56,3        | + 4 24,6   | 91 8 39         | + 15 38 21    |
| 24,01426              | - 10 4,0        | + 4 2,2    | 129 14 31       | + 14 17 58    |
| 21,01426              | - 7 23,1        | + 5 25,1   | 118 22 46       | + 19 21 29    |
| 23,01944              | - 14 33,5       | + 4 26,0   | 159 50 2        | + 15 46 13    |
| 23,01944              | - 12 26,9       | + 5 58,2   | 146 49 12       | + 21 26 56    |
| 41,00859              | + 12 35,5       | + 2 18,3   | 59 0 18         | + 8 6 43      |
| 41,00859              | + 14 16,4       | + 2 3,0    | 48 19 26        | + 7 13 3      |

## Flecken f.

|               |           |          |          |           |
|---------------|-----------|----------|----------|-----------|
| Dec. 23,01344 | + 14 49,5 | + 1 11,0 | 26 10 42 | + 4 9 22  |
| 26,00535      | + 7 16,6  | + 2 25,0 | 68 7 40  | + 8 29 42 |

## Flecken f'.

|               |           |          |           |           |
|---------------|-----------|----------|-----------|-----------|
| Dec. 23,01944 | + 15 46,8 | + 0 45,1 | 15 38 57  | + 2 38 37 |
| 26,00535      | + 9 3,1   | + 1 57,5 | 60 58 14  | + 6 52 49 |
| 33,05695      | - 14 9,3  | + 4 10,7 | 164 38 40 | + 14 50 1 |

## Flecken g.

|               |           |         |          |          |
|---------------|-----------|---------|----------|----------|
| Dec. 26,00535 | + 14 54,9 | - 0 5,4 | 28 47 30 | - 0 19 2 |
|---------------|-----------|---------|----------|----------|

|      |         | Beobachtete |             |
|------|---------|-------------|-------------|
|      |         | Länge.      | Breite.     |
| 1840 | Dec. 13 | + 8° 54' 9" | + 3° 25' 3" |
|      | — 14    | + 5 31,6    | + 3 53,3    |
|      | — 15    | + 2 17,8    | + 4 14,7    |
|      | — 16    | - 1 14,5    | + 4 46,4    |
|      | — 18    | - 8 2,7     | + 5 31,0    |
|      | — 19    | - 10 44,9   | + 5 45,1    |
|      | — 21    | - 14 22,7   | + 6 5,1     |
| 1841 | Jan 10  | + 6 14,5    | + 4 32,5    |

Die Fehler in Länge scheinen eine längere Dauer der Umdrehung der Sonne um ihre Axe zu bedingen als die obige aus den Beobachtungen Decbr. 16 und Januar 10 abgeleitete; da aber die übrigen Flecken größtentheils eine kürzere Umdrehungszeit als 25½ Tage ergeben, so glaube ich noch nichts darin ändern zu dürfen. Der große Fehler in Länge Decbr. 14 läßt sich nur durch eine Aenderung der Figur des Fleckens erklären, denn sämtliche acht beobachteten Fädenantritte an diesem Tage, stimmen unter sich bis auf ein paar Zehntel einer Zeitsecunde und können keine ganze Secunde unrichtig sein. Eine ähnliche Bewandnis wird wahrscheinlich bei der beobachteten Breite Januar 10 Statt gefunden haben; bis Decbr. 15 sah ich den schwarzen Kern dieses Fleckens vertical länglich, von Decbr. 16 an erschien er durch schmale Lichtfäden in drei Punkte getrennt, von welchen der mittlere südliche Punkt der größere war, und Jan. 10 hatte der Flecken wieder nur einen schwarzen Kern, ungefähr von der Größe des mittleren am 16<sup>ten</sup> Dec. Ist also der am 10<sup>ten</sup> Jan be-

## Flecken b.

| Mittl. Zeit.<br>1840. | Flecken — Sonne |            | Heliocentrische |               |
|-----------------------|-----------------|------------|-----------------|---------------|
|                       | in Länge.       | in Breite. | Länge.          | Breite.       |
| Dec. 26,00535         | + 15' 6" 9      | - 4' 7" 4  | 21° 32' 18"     | - 14° 38' 34" |

## Flecken l.

|               |           |         |         |            |
|---------------|-----------|---------|---------|------------|
| Dec. 33,05695 | + 9 18,0  | + 2 9,6 | 67 2 7  | + 7 35 2   |
| 41,00723      | - 14 59,8 | + 4 8,6 | 12 6 32 | + 14 43 26 |

Da nun die Sonne mehr als eine Revolution zwischen der ersten und letzten Beobachtung des Fleckens b gemacht hat, so habe ich aus den Beobachtungen dieses Fleckens drei Normalörter gebildet mit Bezug auf die beobachtete Länge Jan. 10, und aus denselben folgende vorläufigen Elemente für die Rotation der Sonne gefunden:

|   |                                |
|---|--------------------------------|
| Länge des aufsteigenden Knotens des Sonnen-Aequators.....     | $\Omega = 73^{\circ} 29' 0''$  |
| Neigung des Sonnen-Aequators gegen die Ebene der Erdbahn..... | $i = 6^{\circ} 50' 40''$       |
| Dauer der Umdrehung der Sonne um ihre Axe.....                | $T = 25^{\circ} 4^{\circ} 30'$ |
| Heliocentrische Declination (Sonnen-Breite) von b.....        | $\delta = +14^{\circ} 53' 4''$ |

Die mit diesen Gegebenen berechneten geocentr. Oerter des Fleckens h, verglichen mit den beobachteten stellen sich wie folgt:

|  |  | Berechnete  |            | Fehler der Beob. |         |
|--|--|-------------|------------|------------------|---------|
|  |  | Länge.      | Breite.    | in Länge.        | Breite. |
|  |  | + 8° 54' 8" | + 3 23' 6" | - 0' 1           | - 1' 7  |
|  |  | + 5 46,8    | + 3 49,7   | + 15,2           | - 8,6   |
|  |  | + 2 21,6    | + 4 17,0   | + 4,3            | + 2,3   |
|  |  | - 1 13,8    | + 4 44,4   | + 0,7            | - 2,0   |
|  |  | - 8 3,3     | + 5 32,0   | - 2,6            | + 1,0   |
|  |  | - 10 50,8   | + 5 48,4   | - 3,9            | + 3,3   |
|  |  | - 14 29,0   | + 6 2,3    | - 6,3            | - 2,8   |
|  |  | + 6 14,5    | + 4 39,7   | 0,0              | + 7,2   |

obachtete schwarze Punkt wirklich der südliche der drei, voraus der Flecken nach December 16 bestand, so mußte die nördliche Breite zu klein beobachtet werden, wie es auch der Fall gewesen ist. Noch bemerke ich, daß Decbr. 16 die Breite der den Flecken b umhüllenden Wolke 48" gefunden wurde, wonach ich aus der entworfenen Zeichnung, die Breite der schwarzen Flecken auf 20" schätze und die Breite des größeren auf 12", mithin wäre hiernach, wenn die obige Vermuthung richtig ist, die beobachtete Breite Januar 10 um circa 4" zu klein, und es bliebe also nur noch ein Fehler von 3" in der Beobachtung nach, ein Fehler, der bei diesen Beobachtungen nicht verbürgt werden kann.

Es wird überhaupt immer schwer halten Beobachtungen an verschiedenen Tagen in Uebereinstimmung zu bringen, weil es nicht leicht ist, durch die veränderliche Figur der Flecken zu verschiedenen Zeiten denselben Punkt zu erkennen; und in demselben Verhältniß werden die Elemente für die Rotation

der Sonne ungenau bleiben, so lange man nicht diese Schwierigkeit, wenigstens zum Theil, zu beseitigen weiß. Es scheint mir daher die erste Aufgabe zu sein, durch eine fortgesetzte Beobachtung aller Sonnenflecken eine nähere Kenntnis ihrer Natur zu erlangen zu suchen, und zu sehen, ob sie vielleicht nicht von Örtlichkeiten auf der Oberfläche der Sonne selbst abhängen, in welchem Falle sie wieder auf derselben Stelle der Sonne erscheinen müssen, wenn dieselbe auch erst nach längerer Zeit und unter verschiedener Figur der Fall sein wird. Es kommt also darauf an, die Sonnenlänge, von einem beliebigen Punkte auf der Sonne gezählt, und die Sonnenbreite eines jeden Fleckens zu ermitteln. Mit der schon beiläufig gefundenen Länge des aufsteigenden Knotens des Sonnen-Aequators und dessen Neigung gegen die Erdbahn läßt sich aus jeder Beobachtung eines Fleckens, dessen heliocentrische AR. und Declination berechnen, kennt man also für den Augenblick der Beobachtung die heliocentrische AR. desjenigen Sonnen-Meridians, den man als den ersten angenommen hat, so ist die Differenz der heliocentrischen AR. zwischen beiden die Sonnenlänge des Fleckens, und die berechnete heliocentrische Declination selbst dessen

Sonnenbreite. Die letztere erhält man immer mit einer Genauigkeit, die nur von der Güte der Beobachtung selbst grösstentheils abhängt, hingegen ist die Sonnenlänge immer von der Umdrehungszeit der Sonne um ihre Axe abhängig und wird um desto unrichtiger gefunden werden, je größer die Zwischenzeit zwischen der Beobachtung des ersten Sonnen-Meridians und des zu bestimmenden Fleckens ist, und dieser Umstand wird machen, daß man, so lange die Dauer einer Sonnen-Revolution nicht schärfer bestimmt ist als bis jetzt, nach Jahren gar kein Urtheil mehr über die Sonnenlänge eines beobachteten Fleckens haben kann. Da aber oft zu gleicher Zeit mehrere Sonnenflecken sichtbar sind, so giebt es noch ein Mittel, um auf die Identität derselben wenigstens schließen zu dürfen, nemlich wenn sowohl die Sonnenbreiten dieser Flecken als auch ihre Differenzen in Sonnenlänge mit denen früher beobachteter Flecken innerhalb der Grenzen, welche die Genauigkeit der Beobachtungen bedingen, zusammen passen. Um nun zu versuchen, wie weit dieses gelingen wird, sind die vorstehenden Beobachtungen von Sonnenflecken gemacht, die ich so lange und oft als es mir möglich ist fortsetzen werde.

(Der Beschluß folgt.)

## Vermischte Nachrichten.

Die von Herrn Clausen in Nr. 406 dieser Blätter gegebene Zusammenstellung der periodischen Gleichungen in den Mondstafeln findet sich schon mit kleinen Abweichungen in dem 3ten Theile von Herrn Lubbocks Theorie of the Moon. Herr Clausen hat seine Rechnungen doppelt gemacht.

Von dem Herrn wirklichen Staatsrath v. Struve habe ich erfahren, daß v. Urs. maj. ihm die Aberrationsconstante  $\approx 20''49$  gegeben hat mit dem wahrscheinlichen Fehler von  $0''04$ . Der Stern ist 10mal im Maximum und 9mal im Minimum der Aberration beobachtet.

Herr Professor Gerling schreibt mir folgendes:

„Die Vergleichung zwischen Ihrer Basis und der bei München gemessenen, die sich schon im ersten Heft (S. 93) so überraschend vertheilt hatte, erweist nun bei der definitiven Reduction eine vollkommene Uebereinstimmung, denn die betreffende Dreiecks-Seite ist

nach Ihrer Basis 10072,686 rhein. Ruthen  
der Münchner 10072,684 „

Rücksichtlich der Längenunterschiede ergeben sich aber merkwürdige Differenzen zwischen den geodätischen und astronomischen Bestimmungen. Namentlich wird es wenigstens wahrscheinlich, daß Altona und Göttingen, astronomisch verglichen, um  $0''6$  in Zeit differiren, und zwar Göttingen östlich von Altona.“ S.

## Inhalt.

- (zu Nr. 417.) Beobachtungen einiger veränderlichen Sterne im Jahre 1840. Von Herrn Professor Argelander (Beschluß). p. 129. — Sternbedeckungen u. Jupiterstrahlen-Verfinsternungen beobachtet in Bonn von Herrn Professor Argelander. p. 133. — Beweise Schreiben des Herrn Professors Encke, Directors der Berliner Sternwarte, an den Herausgeber. p. 139. — Positionen des 4ten Cometen von 1840 hergeleitet aus den Bonner Beobachtungen. Von Herrn Professor Argelander. p. 139. — Schreiben des Herrn Hofraths Mädler, Directors der Sternwarte in Dorpat, an den Herausgeber. p. 141. — Schreiben des Herrn Hofraths Gause, Directors der Göttinger Sternwarte, an den Herausgeber. p. 143. — Beobachtung der Mondfinsternis am 5ten Februar auf der Hamburger Sternwarte von Herrn Rüchker. p. 143.
- (zu Nr. 418.) Beweis des von Jacobi gefundenen Lehrsatzes, daß ein flüssiges sich um die eine Axe drehendes Sphäroid von drei verschiedenen Hauptaxen in Gleichgewicht sein könne. Von Herrn Thomas Clausen. p. 145. — Beobachtungen von Sonnenflecken im Jahre 1840 von Herrn Hofrath Schwabe. p. 149. — Beobachtungen von Sonnenflecken auf der Altonaer Sternwarte. Von Herrn Observator Petersen. p. 151. — Vermischte Nachrichten. p. 159.

Beobachtungen von Sonnenflecken auf der Altonaer Sternwarte.

Von Herrn Observator *Petersen*.

(Bechluss.)

Mit den aus den Beobachtungen des Fleckens b berechneten Elementen für die Rotation der Sonne finde ich für die übrigen Flecken folgende Sonnenlängen und Breiten:

### Flecken a.

|              | Helioentr.  |             | Sonnen    |  |
|--------------|-------------|-------------|-----------|--|
|              | AR.         | Länge.      | Breite.   |  |
| 1840 Dec. 13 | 340° 30' 0" | — 4° 43' 0" | — 17° 4,3 |  |
| — 14         | 353 18 47   | — 3 45,8    | — 16 58,8 |  |
| — 15         | 7 26 41     | — 4 2,3     | — 17 17,3 |  |
| — 16         | 21 23 55    | — 3 50,9    | — 16 52,0 |  |
| — 18         | 49 55 46    | — 3 27,9    | — 17 3,4  |  |
| — 19         | 63 35 50    | — 2 59,4    | — 17 17,9 |  |
| — 21         | 91 56 44    | — 2 39,4    | — 17 25,4 |  |
| Mittel       |             | — 3 38,4    | — 17 8,4  |  |

### Flecken b.

0 0,0 | + 14 53,4

### Flecken c (Gruppe).

|              |           |          |            |
|--------------|-----------|----------|------------|
| 1840 Dec. 14 | 322 17 16 | 27 15,7° | — 13 49,0° |
| — 15         | 335 37 17 | 27 47,1° | — 16 33,7° |
| — 16         | 251 0 27  | 27 32,6° | — 12 4,2°  |

### Flecken d.

|              |           |         |            |
|--------------|-----------|---------|------------|
| 1840 Dec. 16 | 301 58 35 | 75 34,5 | + 11 56,0. |
| — 18         | 331 0 20  | 75 27,5 | + 12 40,5  |
| — 19         | 345 27 55 | 75 9,5  | + 12 12,0  |
| — 21         | 15 35 35  | 73 41,8 | + 12 0,8   |
| — 23         | 45 16 23  | 72 40,6 | + 12 32,1  |
| Mittel       |           | 74 30,8 | + 12 21,3  |

### Flecken e' (Gruppe).

|              |          |          |            |
|--------------|----------|----------|------------|
| 1840 Dec. 18 | 9 52 26  | 36 34,7° | + 11 26,5° |
| — 19         | 25 42 58 | 34 54,5  | + 9 5,7    |
| — 21         | 56 31 56 | 32 45,4  | + 8 36,8   |
| — 23         | 86 26 42 | 31 30,3  | + 8 56,4   |
| 1841 Jan. 10 | 346 34 3 | 28 30,3  | + 9 45,9   |
| Mittel       |          | 31 55,1  | + 9 6,2    |

### Flecken e'' (Gruppe).

|              |           |          |            |
|--------------|-----------|----------|------------|
| 1840 Dec. 19 | 19 20 54  | 41 16,5  | + 13 27,9  |
| — 21         | 46 21 13  | 42 56,2  | + 14 27,8  |
| — 23         | 73 58 11  | 43 58,8  | + 14 52,8  |
| 1841 Jan. 10 | 335 47 16 | 39 17,0° | + 10 4,8:° |
| Mittel       |           | 42 43,8  | + 14 16,2  |

### Flecken f'.

|              | Helioentr.   | Sonnen     |            |
|--------------|--------------|------------|------------|
|              | AR.          | Länge.     | Breite.    |
| 1840 Dec. 23 | 313° 14' 26" | 164° 42' 5 | + 9° 10' 0 |
| — 26         | 355 41 58    | 164 55,6   | + 9 4,3:   |
|              | Mittel       | 164 49,0   | + 9 10,0   |

### Flecken f''.

|              |           |          |          |
|--------------|-----------|----------|----------|
| 1840 Dec. 23 | 302 31 16 | 175 25,7 | + 8 25,7 |
| — 26         | 348 22 51 | 172 14,7 | + 8 18,8 |
| 1841 Jan. 2  | 91 8 0    | 170 17,0 | + 7 59,4 |
| Mittel       |           | 172 39,1 | + 8 14,6 |

### Flecken g.

|              |           |         |          |
|--------------|-----------|---------|----------|
| 1840 Dec. 26 | 315 29 10 | 205 8,4 | + 4 29,5 |
|--------------|-----------|---------|----------|

### Flecken h.

|              |           |          |          |
|--------------|-----------|----------|----------|
| 1840 Dec. 26 | 307 10 18 | 213 27,3 | — 9 13,1 |
|--------------|-----------|----------|----------|

### Flecken i.

|             |          |          |          |
|-------------|----------|----------|----------|
| 1841 Jan. 2 | 354 30 9 | 266 54,8 | + 8 17,8 |
| 10          | 108 11 9 | 266 52,3 | + 8 13,7 |
| Mittel      |          | 266 53,5 | + 8 15,8 |

Bei den mit einem \* bezeichneten Resultate ist die Identität des Fleckens zweifelhaft.

Für die Dauer einer Umdrehung der Sonne um ihre Axe würde aus den Beobachtungen

|                |            |
|----------------|------------|
| des Fleckens a | 25 14' 16" |
| — b            | 25 4 30    |
| — d            | 24 11 32   |
| — e            | 24 16 27   |
| — f'           | 24 7 34    |

erfolgen.

Betrachtet man nun die berechneten Sonnen-Längen und Breiten, so scheint deutlich daraus hervorzugehen, daß die Flecken fast alle ihren Ort auf der Oberfläche der Sonne ändern, und zwar nach verschiedenen Richtungen, doch meistens parallel mit dem Sonnenäquator. Selbst die Beobachtungen der Flecken e', e'' in der Gruppe e, Dec. 19, 21 und 23, wo kein Zweifel vorhanden ist, daß dieselben Flecken beobachtet sind, deuten auf eine eigene Bewegung zweier nahen Flecken in ganz verschiedener Richtung. Auch scheint es, als wenn die in Gruppen liegenden Flecken sich mehr ändern, als die welche sich

einzeln zeigen. Dies alles muß sich jedoch erst durch lange fortgesetzte Beobachtungen ausweisen, und es würde wohl vorzuziehig sein, Schlüsse aus so wenigen Beobachtungen zu ziehen.

Um das Verfahren zu zeigen, welches ich bei der Berechnung der heliocentrischen Längen und Breiten der Flecken angewandt habe, so wie bei der Bestimmung der Elemente für die Rotation der Sonne, theile ich hier noch die dabei angewandte Formel mit.

#### Bezeichnungen.

- ☉,  $A$ ,  $D$ .....Länge, AR. und Declination der Sonne.  
 $f$ ,  $b$ ,  $a$ ,  $d$ .....Länge, Breite, AR. und Declination eines Sonnenfleckens.  
 $\lambda$ ,  $\beta$ ,  $u$ ,  $\delta$ .....Heliocentrische Länge, Breite, AR. und Declination desselben.  
 $s$ ,  $i$ .....Neigung des Aequators der Erde und Sonne gegen die Ebene der Erdbahn.  
 $\Omega$ .....Länge des aufsteigenden Knotens des Sonnen-Aequators.  
 $h$ .....Halbmesser der Sonne in Secunden nach dem Berl. Astr. Jahrbuche.  
 $t$ .....Mittlere Zeit der Beobachtung.  
 $T$ .....Die Dauer einer Sonnen-Revolution in mittlerer Zeit.  
 $A$  und  $a$  nehme ich in Sternzeit gegeben an, alle übrigen Winkel in Bogen.

Setzt man

$$\begin{aligned} p \sin x &= d - D \\ p \cos x &= 15(a - A) \cos \frac{1}{2}(d + D) \\ \operatorname{tg} y &= \operatorname{tg} x \cos \frac{1}{2}(\odot + f) \\ x &= x - y \end{aligned}$$

$$\begin{aligned} \cot g i &= \frac{\cos \beta \sin(\lambda - \Omega) - \cos \beta' \sin(\lambda' - \Omega)}{\sin \beta' - \sin \beta} \\ &= \frac{2 \cos \frac{1}{2}(\beta' + \beta) \cos \frac{1}{2}(\beta' - \beta) \sin \frac{1}{2}(\lambda - \lambda') \cos [\frac{1}{2}(\lambda + \lambda') - \Omega] + 2 \sin \frac{1}{2}(\beta' + \beta) \sin \frac{1}{2}(\beta' - \beta) \cos \frac{1}{2}(\lambda - \lambda') \sin [\frac{1}{2}(\lambda + \lambda') - \Omega]}{2 \sin \frac{1}{2}(\beta' - \beta) \cos \frac{1}{2}(\beta' + \beta)} \\ &= \cot g \frac{1}{2}(\beta' - \beta) \sin \frac{1}{2}(\lambda - \lambda') \cos [\frac{1}{2}(\lambda + \lambda') - \Omega] + \operatorname{tg} \frac{1}{2}(\beta' + \beta) \cos \frac{1}{2}(\lambda - \lambda') \sin [\frac{1}{2}(\lambda + \lambda') - \Omega] \end{aligned}$$

und setzt man nun

$$\begin{aligned} \cot g \frac{1}{2}(\beta' - \beta) \sin \frac{1}{2}(\lambda - \lambda') &= F \sin G \\ \operatorname{tg} \frac{1}{2}(\beta' + \beta) \cos \frac{1}{2}(\lambda - \lambda') &= F' \cos G \\ H &= G + \frac{1}{2}(\lambda + \lambda'). \end{aligned}$$

so wird

$$(4) \dots \dots \cot g i = F \sin(H - \Omega).$$

Auf völlig gleiche Weise erhält man aus den Gleichungen (3) - (1)

$$\begin{aligned} \cot g \frac{1}{2}(\beta' - \beta) \sin \frac{1}{2}(\lambda - \lambda') &= F'' \sin G' \\ \operatorname{tg} \frac{1}{2}(\beta' + \beta) \cos \frac{1}{2}(\lambda - \lambda') &= F' \cos G' \\ H' &= G' + \frac{1}{2}(\lambda + \lambda'). \end{aligned}$$

$$(5) \dots \dots \cot g i = F' \sin(H' - \Omega).$$

so erhält man die heliocentrische Länge und Breite durch die Formel:

$$\left. \begin{aligned} h \sin(u + \rho) &= \rho \\ \operatorname{tg} v &= \operatorname{tg} u \cos z \\ \operatorname{tg} \beta &= \sin v \operatorname{tg} s \\ \lambda &= \odot - (v + 180^\circ) \end{aligned} \right\} \dots \dots \dots (1)$$

Man nimmt  $x$  und  $y$  immer im ersten Quadranten mit dem Zeichen ihrer Tangenten.

Ist vom Beobachter der Unterschied in Länge und Breite zwischen dem Mittelpunkte der Sonne und dem Flecken gegeben, so erhält man noch einfacher  $\rho$  und  $z$  durch folgende Gleichungen:

$$\begin{aligned} \rho \cos z &= f - \odot \\ \rho \sin z &= b \end{aligned}$$

und hierauf aus (1)  $\lambda$  und  $\beta$ . Die Zeichen von  $v$  und  $\beta$  sind immer gleich den Zeichen von  $f - \odot$  und  $b$ .

Ist nun die heliocentrische Länge und Breite eines Sonnenfleckens für drei verschiedene Zeiten berechnet, so findet man  $\Omega$  und  $i$  nach der eleganten Auflösung einer völlig ähnlichen Aufgabe von Gauss wie folgt:

Die drei bekannten heliocentrischen Längen und Breiten geben die drei Gleichungen

$$\begin{aligned} (1) \sin \delta &= \cos i \sin \beta + \sin i \cos \beta \sin(\lambda - \Omega) \\ (2) \sin \delta &= \cos i \sin \beta' + \sin i \cos \beta' \sin(\lambda' - \Omega) \\ (3) \sin \delta &= \cos i \sin \beta'' + \sin i \cos \beta'' \sin(\lambda'' - \Omega) \end{aligned}$$

subtrahirt man die erste dieser Gleichungen von der zweiten, so wird

Eliminirt man  $i$  aus (4) und (5), so wird nach einer leichten Verwandlung

$$\begin{aligned} (F'' + F) \sin \frac{1}{2}(H - H') \cos [\frac{1}{2}(H + H') - \Omega] \\ = (F' - F) \cos \frac{1}{2}(H - H') \sin [\frac{1}{2}(H + H') - \Omega] \end{aligned}$$

und setzt man  $\operatorname{tg} \zeta = \frac{F}{F'}$ , wodurch  $\operatorname{tg}(45^\circ - \zeta) = \frac{(F' - F)}{(F' + F)}$  wird, so findet sich  $\Omega$  aus der Gleichung

$$\cot g [\frac{1}{2}(H + H') - \Omega] = \operatorname{tg}(45^\circ - \zeta) \cot g \frac{1}{2}(H - H') \dots (6)$$

und hierauf  $i$  aus (4) oder (5).

Mit der so gefundenen Länge des aufsteigenden Knotens des Sonnen-Aequators ( $\Omega$ ), und dessen Neigung ( $i$ ) gegen die

Ebene der Ecliptik, sucht man  $a$  und  $\delta$  durch die bekannten Formel

$$\begin{aligned} \lg p &= \frac{\lg \beta}{\sin(\lambda - \delta)}, & q &= p - i \\ \sin \delta &= \frac{\sin \beta \sin q}{\sin p}, & \lg a &= \frac{\lg(\lambda - \delta) \cos q}{\cos p}. \end{aligned}$$

(wo  $p < 90^\circ$  positiv oder negativ wie es dessen Tangente bedingt genommen wird) und erhält alsdann ( $T$ ) die Dauer der Umdrehung der Sonne um ihre Axe durch die einfache Proportion:

$$(a'' - a) : 360^\circ = (t'' - t) : T.$$

Altona 1841. Febr. 5.

*A. C. Petersen.*

### Eine Aufgabe aus der practischen Geodäsie und deren Auflösung.

Von Herrn Professor Hansen in Seeberg.

Die Aufgabe: „Die Lage eines vierten Punktes durch Hülfe dreier bekannten Punkte, ohne sich an diese hinzugeben, zu bestimmen,“ ist schon oft behandelt worden, anders verhält es sich aber mit der Aufgabe:

„Die Lage zweier unbekannten Punkte durch Hülfe „der Lage zweier bekannten Punkte zu bestimmen, „ohne jene von diesen aus zu beobachten.“

Es ist mir nicht bekannt, daß diese Aufgabe früher aufgestellt und gelöst worden wäre. Sie ist indeß wenigstens bei einer Landesvermessung zu militärischem oder staatsöconomischem Zwecke von ausgebreitetem Nutzen, denn man kann durch die Anwendung derselben aus den durch die vorangegangene Triangulation bestimmten Dreieckspunkten sich leicht und sicher eine große Anzahl partieller Basen für die Detailmessung, oder Fixpunkte für die Meßtischblätter verschaffen, und sie auch in manchen anderen Fällen anwenden. Sie hat mir z. B. auch bei der Triangulation des hiesigen Landes gedient, um in einer gebirgigen Gegend, in welcher ursprünglich eine nicht hinreichende Anzahl von trigonometrischen Punkten hatte bestimmt werden können, zwei neue Stationen einzuschalten, von welchen aus die Anzahl der trigonometrischen Punkte wesentlich vergrößert werden konnte. Die Auflösung dieser Aufgabe ist leicht und besteht in folgendem.

1.

Ich bezeichne vier in einer Ebene liegende Punkte, die also ein Viereck bilden, der Reihe nach von der Linken zur Rechten mit den Zahlen 1, 3, 2, 4. Die Punkte 3 und 4 nehme ich als die bekannten und 1 und 2 als die unbekannten an. Nennt man nun die rechtwinklichen Coordinaten dieser Punkte  $x_1, x_2, x_3, x_4$  und  $y_1, y_2, y_3, y_4$  und setzt

$$\begin{aligned} y_3 - y_4 &= R \sin E \\ x_3 - x_4 &= R \cos E \end{aligned}$$

dann ist  $R$  die Entfernung 3, 4 und  $E$  der Winkel, den die Linie 3, 4 am Punkte 4 mit der Axe der  $x$  macht. Die Winkel, welche die Linien 1, 4 und 2, 4 mit der Axe der  $x$  machen, nenne ich resp.  $\epsilon_1$  und  $\epsilon_2$  und diese Linien selbst  $\rho_1$  und  $\rho_2$ .

Ich nehme nun an, daß man sowohl auf dem Punkte 1 wie auf dem Punkte 2 einen Theodoliten oder irgend ein anderes zur Messung von Azimuthalunterschieden geeignetes Instrument aufgestellt, und von jenem die Punkte 2, 3 und 4, so wie von diesem die Punkte 1, 3 und 4 eingeschritten habe.

Ich setze ferner voraus, daß man bei festgestelltem Kreise die Alhidade des Instruments nach und nach auf die drei zu beobachtenden Punkte hingeführt, jedesmal eingestellt und abgelesen habe, die Auflösung, die sich auf diese Beobachtungsart bezieht, kann leicht auch für den Fall eingerichtet werden, in welchem man die Winkel unabhängig von einander und etwa durch Multiplicationen gemessen hat.

Die auf die beschriebene Art erhaltenen Richtungen (oder Richtungswinkel mit willkürlichem Anfangspunkte,) bezeichne ich durch in Klammern eingeschlossene Brüche, deren Nenner den Standpunkt des Instruments, und deren Zähler den eingestellten Punkt bezeichnet. Vom Standpunkte 1 aus hat man also die Richtungen  $(\frac{1}{3})$ ,  $(\frac{1}{2})$  und  $(\frac{1}{4})$ , und vom Standpunkte 2 aus die Richtungen  $(\frac{2}{3})$ ,  $(\frac{2}{4})$  und  $(\frac{2}{1})$  beobachtet. Somit giebt uns das Dreieck 1, 3, 4

$$\frac{\sin((\frac{1}{3}) - (\frac{1}{4}))}{R} = \frac{\sin((\frac{1}{2}) - (\frac{1}{4}) + E - \epsilon_1)}{\rho_1}$$

das Dreieck 3, 2, 4

$$\frac{\sin((\frac{3}{2}) - (\frac{3}{4}) + \epsilon_2 - E)}{\rho_2} = \frac{\sin((\frac{3}{1}) - (\frac{3}{4}))}{R}$$

und das Dreieck 1, 2, 4

$$\frac{\sin((\frac{1}{2}) - (\frac{2}{4}))}{\rho_1} = \frac{\sin((\frac{1}{3}) - (\frac{2}{4}))}{\rho_2}$$

Der Bogen  $\epsilon_2 - \epsilon_1$  ist der der Seite 1, 2 im Dreieck 1, 2, 4 gegenüberliegende Winkel, und die beiden andern Winkel dieses Dreiecks sind  $(\frac{1}{2}) - (\frac{1}{4})$  und  $(\frac{1}{3}) - (\frac{2}{4})$ . Wir haben also

$$\epsilon_2 - \epsilon_1 = 180^\circ - \{(\frac{1}{2}) - (\frac{1}{4}) + (\frac{1}{3}) - (\frac{2}{4})\}$$

Ehe wir weiter geben, werde ich eine Vereinfachung in diese Ausdrücke einführen. Da der Anfangspunkt der Richtungenwinkel willkürlich ist, so kann man durch Addition einer constanten Größe zu den vom Standpunkte 1 aus gemessenen

Richtungen immer bewirken, daß  $(\frac{1}{2}) = 0$ , und eben so für die vom Standpunkte 2 gemessenen, daß  $(\frac{1}{2}) = 180^\circ$  wird. Sey daher

$$(\frac{1}{2}) = 0 \text{ und } (\frac{1}{2}) = 180^\circ.$$

Hiermit geht die vorstehende Gleichung für  $s_2 - s_1$  in folgende über

$$s_2 - s_1 = (\frac{1}{2}) - (\frac{1}{2}).$$

Setzen wir außerdem

$$s_2 + s_1 = 2Z,$$

so erhalten wir

$$s_1 = Z - \frac{1}{2} \{ (\frac{1}{2}) - (\frac{1}{2}) \}$$

$$s_2 = Z + \frac{1}{2} \{ (\frac{1}{2}) - (\frac{1}{2}) \}$$

Substituiren wir diese Werthe in die obigen Gleichungen, und setzen zur Abkürzung

$$A = \{ (\frac{1}{2}) - (\frac{1}{2}) \} - \{ (\frac{1}{2}) - (\frac{1}{2}) \}$$

$$B = (\frac{1}{2}) - (\frac{1}{2})$$

so ergibt sich

$$\frac{\sin \{ (\frac{1}{2}) - (\frac{1}{2}) \}}{R} = - \frac{\sin \{ Z - E + \frac{1}{2} A + \frac{1}{2} B \}}{r_1}$$

$$\frac{\sin \{ Z - E + \frac{1}{2} A - \frac{1}{2} B \}}{r_2} = \frac{\sin \{ (\frac{1}{2}) - (\frac{1}{2}) \}}{R}$$

$$\frac{\sin(\frac{1}{2})}{r_1} = \frac{\sin(\frac{1}{2})}{r_2}$$

Multiplirt man diese Gleichungen mit einander, so verschwinden die Entfernungen, und man erhält

$$\begin{aligned} & \sin(\frac{1}{2}) \sin \{ (\frac{1}{2}) - (\frac{1}{2}) \} \sin \{ Z - E + \frac{1}{2} A - \frac{1}{2} B \} \\ & = - \sin(\frac{1}{2}) \sin \{ (\frac{1}{2}) - (\frac{1}{2}) \} \sin \{ Z - E + \frac{1}{2} A + \frac{1}{2} B \} \end{aligned}$$

woraus

$$\begin{aligned} & \sin \{ Z - E + \frac{1}{2} A \} \\ & = \frac{\sin(\frac{1}{2}) \sin \{ (\frac{1}{2}) - (\frac{1}{2}) \} - \sin(\frac{1}{2}) \sin \{ (\frac{1}{2}) - (\frac{1}{2}) \}}{\sin(\frac{1}{2}) \sin \{ (\frac{1}{2}) - (\frac{1}{2}) \} + \sin(\frac{1}{2}) \sin \{ (\frac{1}{2}) - (\frac{1}{2}) \}} \sin \frac{1}{2} B \end{aligned}$$

sich ergibt. Hat man hieraus  $Z - E + \frac{1}{2} A$  gefunden, so geben die obigen Gleichungen  $r_1$ ,  $r_2$ ,  $s_1$  und  $s_2$ , und hiermit kann man die Coordinaten der Punkte 1 und 2 berechnen.

## 2.

Die Rechnung wird demnach durch folgende Formeln geführt. Zuerst rechnet man  $R$  und  $E$  durch folgende Gleichungen

$$y_3 - y_4 = R \sin E$$

$$x_3 - x_4 = R \cos E$$

und nachdem durch Addition oder Subtraction constanter Größen zu oder von den Beobachtungen auf jedem der beiden Standpunkte

$$(\frac{1}{2}) = 0 \text{ und } (\frac{1}{2}) = 180^\circ$$

gemacht worden ist,  $B$  durch folgende Gleichung

$$B = (\frac{1}{2}) - (\frac{1}{2})$$

Sodann werden  $Z$  und  $H$  durch folgende Gleichungen berechnet

$$\operatorname{tg} Z = \frac{\sin(\frac{1}{2}) \sin \{ (\frac{1}{2}) - (\frac{1}{2}) \}}{\sin(\frac{1}{2}) \sin \{ (\frac{1}{2}) - (\frac{1}{2}) \}}$$

$$\operatorname{tg} H = \operatorname{tg} (Z - 45^\circ) \operatorname{tg} \frac{1}{2} B$$

wo  $H$  für  $Z - E + \frac{1}{2} A$  geschrieben ist. Hierauf bekommt man  $r_1$  und  $r_2$  vermittelst folgender Ausdrücke

$$r_1 = -R \frac{\sin(H + \frac{1}{2} B)}{\sin \{ (\frac{1}{2}) - (\frac{1}{2}) \}}$$

$$r_2 = R \frac{\sin(H - \frac{1}{2} B)}{\sin \{ (\frac{1}{2}) - (\frac{1}{2}) \}}$$

Diese Gleichungen bestimmen zugleich den Halbkreis in welchem  $H$  genommen werden muß. Es muß nemlich für den Halbkreis, in welchem  $H$  zu nehmen ist, die Annahme gemacht werden, bei welcher sich aus diesen beiden Gleichungen jedes für  $r_1$  und  $r_2$  positive Werthe ergeben. Hiermit ist  $H$  völlig bestimmt, da die Gleichung für  $\operatorname{tg} H$  das algebraische Zeichen der Tangente von  $H$  bestimmt. Nun können  $s_1$  und  $s_2$  wie folgt berechnet werden:

$$s_1 = E + H + \frac{1}{2} B + \{ (\frac{1}{2}) - (\frac{1}{2}) \}$$

$$s_2 = E + H - \frac{1}{2} B - \{ (\frac{1}{2}) - (\frac{1}{2}) \}$$

und dann hat man

$$x_1 = x_0 + r_1 \cos s_1; \quad x_2 = x_0 + r_2 \cos s_2$$

$$y_1 = y_0 + r_1 \sin s_1; \quad y_2 = y_0 + r_2 \sin s_2$$

womit die Lage der Punkte 1 und 2 bestimmt ist. Aus den Coordinaten  $x_1$ ,  $y_1$ ,  $x_2$  und  $y_2$  findet man die Entfernung der Punkte 1 und 2, wenn man diese brauchen muß, auf bekannte Art. Man kann sie aber auch durch die Entfernungen  $r_1$  oder  $r_2$  berechnen, ohne diese Coordinaten zu Hilfe zu nehmen. Das Dreieck 1, 2, 4 giebt sogleich

$$\Delta = r_1 \frac{\sin \{ (\frac{1}{2}) - (\frac{1}{2}) \}}{\sin(\frac{1}{2})}$$

$$\Delta = r_2 \frac{\sin \{ (\frac{1}{2}) - (\frac{1}{2}) \}}{\sin(\frac{1}{2})}$$

wo  $\Delta$  die Entfernung der Punkte 1 und 2 ist. Die Berechnung von  $\Delta$  durch diese beiden Ausdrücke giebt jedenfalls eine Controle der Rechnung.

## 3.

Es scheint aus den obigen Formeln hervorzugehen, daß die Aufgabe unbestimmt werde, wenn entweder der Punkt 1 oder der Punkt 2 auf der graden Linie 3, 4 liegt, denn in dem ersten Falle wird  $\sin \{ (\frac{1}{2}) - (\frac{1}{2}) \} = 0$  und im zweiten  $\sin \{ (\frac{1}{2}) - (\frac{1}{2}) \} = 0$ , und somit, wie leicht zu zeigen ist, im ersten Falle  $r_1$  und im zweiten  $r_2$  durch die obigen Formeln = 0. Doch dieses ist nur scheinbar, denn angenommen der Punkt 1 liege auf der Linie 3, 4, so kann man zwar durch die oben dafür bestimmte Formel  $r_1$  nicht berechnen,  $r_2$  kann man indessen noch immer durch die dafür angegebene Formel sicher



berechnen, wenn nicht etwa auch der Punkt 2 auf derselben Linie läge, welchen Fall ich hier ausschliesse. Hat man nun hiemit  $p_2$  berechnet, so geben die beiden obigen Ausdrücke für  $\Delta$  durch Division

$$p_1 = p_2 \frac{\sin(\frac{1}{2})}{\sin(\frac{3}{4})}$$

welche Formel in dem in Rede stehenden Falle nicht § wird. Liegt demnach der Punkt 1 nahe auf der Linie 3, 4, so muß man den vorstehenden Ausdruck zur Berechnung von  $p_1$  statt jenes anwenden, und läge statt dessen der Punkt 2 nahe auf dieser Linie, so würde man statt des im Art. 2 gegebenen Ausdrucks für  $p_2$  den folgenden anwenden müssen

$$p_2 = p_1 \frac{\sin(\frac{3}{4})}{\sin(\frac{1}{2})}$$

Liegen aber beide Punkte 1 und 2 auf der Linie 3, 4, dann werden beide Ausdrücke des Art. 2 für  $p_1$  und  $p_2 = \frac{1}{2}$  und in diesem Falle ist die Aufgabe in der That, wie auch leicht a priori zu erkennen ist, unbestimmt. Man muß also bei der Anwendung die Fälle vermeiden, wo die Punkte 1 und 2 beide nahe auf der Linie, welche die Punkte 3 und 4 verbindet, liegen. Man kann hinzufügen, daß außerdem auch die Fälle vermieden werden müssen, in welchen die Entfernung der unbekannten Punkte entweder sehr viel kleiner oder sehr viel größer ist wie die der bekannten Punkte, doch sind diese beiden Ausnahmefälle nicht ausschließlich dieser Aufgabe eigenthümlich, sondern gehören mehr oder weniger überhaupt den geodätischen Aufgaben an.

## 4.

Die im Vorhergehenden enthaltene Auflösung werde ich durch ein aus der hiesigen Vermessung genommenes Beispiel erläutern. Beobachtet wurde auf dem Standpunkte 1 die Richtung

$$\begin{aligned} \text{nach } 3 &= 279^\circ 12' 12'' \\ \text{nach } 2 &= 5 \ 31 \ 54 \\ \text{nach } 4 &= 74 \ 3 \ 48 \end{aligned}$$

und auf dem Standpunkte 2 die Richtung

$$\begin{aligned} \text{nach } 4 &= 77^\circ 55' 18'' \\ \text{nach } 1 &= 117 \ 1 \ 30 \\ \text{nach } 3 &= 155 \ 56 \ 30 \end{aligned}$$

Da es sich hierbei bloß um die Revision einer früher mit den gewöhnlichen Hilfsmitteln der Feldmesser ausgeführten Detailmessung handelte, und die Entfernungen, wie man weiter unten sehen wird, nicht groß sind, so wurden diese Richtungen mit einem 4zölligen Theodoliten, dessen Nonien unmittelbar halbe Minuten geben, ausgeführt. Die Coordinaten der bekannten Punkte 3 und 4, welche durch die Triangulation bestimmt sind, sind

$$\begin{aligned} x_3 &= -313,34 & y_3 &= -1198,31 \\ x_4 &= +310,57 & y_4 &= -1341,53 \end{aligned}$$

Also

$$y_3 - y_4 = +143,22 \quad \log = 2,15600$$

$$\log \cos E = 9,94885n \quad \log R = 2,80627$$

$$x_3 - x_4 = -623,91 \quad \log = 2,79512n$$

$$\log \lg E = 9,36088n \quad E = 167^\circ 4' 17''$$

Subtrahiren wir nun von den auf der Station 1 beobachteten Richtungen  $5^\circ 31' 54''$ , und addiren wir zu den auf der Station 2 beobachteten  $62^\circ 58' 30''$ , so erhalten wir

$$\left\{ \frac{1}{2} \right\} = 273^\circ 40' 18''; \quad \left\{ \frac{3}{4} \right\} = 140^\circ 53' 48''$$

$$\left\{ \frac{1}{2} \right\} = 0; \quad \left\{ \frac{3}{4} \right\} = 180$$

$$\left\{ \frac{1}{2} \right\} = 68 \ 31 \ 54; \quad \left\{ \frac{3}{4} \right\} = 188 \ 55 \ 0$$

und hiemit

$$\left\{ \frac{1}{2} \right\} - \left\{ \frac{3}{4} \right\} = 78^\circ 1' 12''$$

$$\left\{ \frac{1}{2} \right\} - \left\{ \frac{3}{4} \right\} = 154 \ 51 \ 36$$

$$\frac{1}{2} B = 27 \ 22 \ 39$$

Die fernere Rechnung steht nun so:

$$\log \sin \left\{ \frac{1}{2} \right\} = 9,79984$$

$$\log \sin \left\{ \left\{ \frac{1}{2} \right\} - \left\{ \frac{3}{4} \right\} \right\} = 9,62822$$

$$C \log \sin \left\{ \frac{1}{2} \right\} = 0,03123$$

$$C \log \sin \left\{ \left\{ \frac{1}{2} \right\} - \left\{ \frac{3}{4} \right\} \right\} = 0,00956$$

$$\log \lg \zeta = 9,46885$$

$$\zeta - 45^\circ = 16^\circ 24' 5''$$

$$\log \lg (\zeta - 45^\circ) = 9,73654n$$

$$\log \lg \frac{1}{2} B = 9,71421$$

$$\log \lg H = 9,45075n$$

$$H = 164^\circ 14' 4''$$

$$\frac{1}{2} B = 27 \ 22 \ 39$$

$$H + \frac{1}{2} B = 191^\circ 36' 43''$$

$$H - \frac{1}{2} B = 136 \ 51 \ 25$$

$$\log(-R) = 2,80627n \quad \log R = 2,80627$$

$$\log \sin(H + \frac{1}{2} B) = 9,30380n \quad \log \sin(H - \frac{1}{2} B) = 9,83494$$

$$\log \sin \left\{ \left\{ \frac{1}{2} \right\} - \left\{ \frac{3}{4} \right\} \right\} = 9,62822 \quad \log \sin \left\{ \left\{ \frac{1}{2} \right\} - \left\{ \frac{3}{4} \right\} \right\} = 9,99044$$

$$E = 167^\circ 4' 17''$$

$$\lg p_1 = 2,48185$$

$$\lg p_2 = 2,65077$$

$$H + \frac{1}{2} B = 191 \ 36 \ 43 \quad H - \frac{1}{2} B = 136 \ 51 \ 25$$

$$\left\{ \frac{1}{2} \right\} - \left\{ \frac{3}{4} \right\} = 154 \ 51 \ 36 \quad \left\{ \frac{1}{2} \right\} - \left\{ \frac{3}{4} \right\} = 78 \ 1 \ 12$$

$$s_1 = 153^\circ 32' 36'' \quad s_2 = 225^\circ 54' 30''$$

$$\log \cos s_1 = 9,93196n \quad \log \cos s_2 = 9,84249n$$

$$\log p_1 = 2,48185 \quad \log p_2 = 2,65077$$

$$\log \sin s_1 = 9,64857 \quad \log \sin s_2 = 9,85626n$$

$$2,43381n \quad 2,49326n$$

$$2,13072 \quad 2,50703n$$

$$p_1 \cos s_1 = -271,53; \quad p_2 \cos s_2 = -311,36$$

$$p_1 \sin s_1 = +135,12; \quad p_2 \sin s_2 = -321,39$$

Hiemit

$$x_1 = +39,04 \quad y_1 = -1206,41$$

$$x_2 = -0,79 \quad y_2 = -1662,92$$

womit die Aufgabe gelöst ist. Um die Entfernung der Punkte 1 und 2 zu berechnen, haben wir einestheils mittelst der eben gefundenen Coordinaten

$$y_3 - y_1 = -436,51 \quad \log = 2,65945n$$

$$\log \sin E' = 9,99836n \quad \log \Delta = 2,66109$$

$$x_3 - x_1 = -39,83 \quad \log = 1,60021n$$

$$\log \lg E' = 1,05924$$

Andertheils erhalten wir durch die obigen Formeln und numerischen Werthe

$$\begin{aligned} \log p_1 &= 2,48185 & \log p_2 &= 2,65077 \\ \log \sin\left\{\frac{1}{2}\right\} &= 9,97910 & &= 9,97910 \\ \log \sin\left(\frac{1}{2}\right) &= 9,79984 & \log \sin\left(\frac{1}{2}\right) &= 9,96877 \\ \log \Delta &= 2,66111 & &= 2,66110 \end{aligned}$$

welche unter einander sowohl wie mit dem obigen Werthe derselben GröÙe so gut, wie erwartet werden darf, übereinstimmen.

## 5.

Um die Auflösung unserer Aufgabe zu vervollständigen ist noch der Fall zu betrachten, wo man mehr wie hinreichende Data durch die Beobachtungen ermittelt hat.

Ich nehme daher nun an, daß man auf den beiden Stationen 1 und 2 die Richtungen von mehr wie zwei der Lage nach bekannten Gegenständen beobachtet habe. Hierbei ist nicht unumgänglich nöthig, daß alle auf der einen Station beobachteten bekannten Gegenstände auch auf der andern beobachtet werden, ja es ist strenge genommen erlaubt, auf der einen Station durchgehends ganz andere bekannte Gegenstände zu beobachten, wie auf der andern. Man würde aber in diesem letzten Falle die vorläufige Bestimmung der unbekannten Punkte 1 und 2 nicht durch die hier im Vorhergehenden gegebene Auflösung ausführen können, sondern müßte die bekannte Auflösung der Aufgabe: aus drei bekannten Punkten die Lage eines vierten zu finden, auf die vorläufige Ermittlung der Coordinaten der Punkte 1 und 2 abgesondert von einander anwenden. Ich nehme daher hier an, daß unter den von den Stationen 1 und 2 aus beobachteten bekannten Punkten wenigstens zwei die nemlichen seyen. Vermittelst dieser, oder wenn mehr wie zwei der auf beiden Stationen beobachteten bekannten Punkte die nemlichen sind, vermittelst beliebiger zwei dieser rechnet man zuerst durch die vorstehende Auflösung die numerischen Werthe der Coordinaten  $x_1, y_1, x_2, y_2$ . Seyen nun auf der Station 1 überhaupt die Punkte  $m, n$ , etc. beobachtet, und  $\omega_m, \omega_n$ , etc. die Winkel, die die Linien  $m, 1; n, 1$ ; etc. mit der Axe der  $x$  machen, dann hat man die Gleichungen

$$\begin{aligned} \lg \omega_m &= \frac{y_m - y_1}{x_m - x_1} \\ \lg \omega_n &= \frac{y_n - y_1}{x_n - x_1} \end{aligned}$$

etc.

Sind auf der Station 2 die Punkte  $\mu, \nu$ , etc. beobachtet, so hat man ebenso, es mögen diese mit jenen identisch seyn oder nicht, die Gleichungen

$$\begin{aligned} \lg \omega_\mu &= \frac{y_\mu - y_2}{x_\mu - x_2} \\ \lg \omega_\nu &= \frac{y_\nu - y_2}{x_\nu - x_2} \end{aligned}$$

etc.

Nennen wir nun wie vorher die beobachteten Richtungen  $\left(\frac{m}{1}\right), \left(\frac{n}{1}\right)$ , etc.  $\left(\frac{\mu}{2}\right), \left(\frac{\nu}{2}\right)$ , etc., so müssen, wenn die Beobachtungen und die relative Lage der bekannten Gegenstände absolut genau sind, sich allemal zwei GröÙen  $k_1$  und  $k_2$  dergestalt bestimmen lassen, daß für alle auf der Station 1 beobachteten Punkte

$$-k_1 + \left(\frac{m}{1}\right) - \omega_m = 0; \quad -k_1 + \left(\frac{n}{1}\right) - \omega_n = 0; \text{ etc.}$$

und für alle auf der Station 2 beobachteten Punkte

$$-k_2 + \left(\frac{\mu}{2}\right) - \omega_\mu = 0; \quad -k_2 + \left(\frac{\nu}{2}\right) - \omega_\nu = 0, \text{ etc.}$$

Da dieses aber nie der Fall seyn wird, so muß man vermittelst der Werthe, die diese Gleichungen wegen der Beobachtungsfehler bekommen, die den berechneten Werthen der Coordinaten der beiden Punkte 1 und 2 hinzuzufügenden Verbesserungen den Grundsätzen der Wahrscheinlichkeitsrechnung gemäß bestimmen. Zu dem Ende müssen wir zuerst durch die Gleichungen für  $\lg \omega_m$ , etc. die Relationen zwischen den Incrementen der beobachteten Richtungen und der Coordinaten ermitteln. Ich setze statt dieser Gleichungen

$$\begin{aligned} (m, 1) \sin \omega_m &= y_m - y_1 \\ (m, 1) \cos \omega_m &= x_m - x_1 \end{aligned}$$

wo  $(m, 1)$  die Entfernung der Punkte  $m$  und 1 bedeutet, und so ferner für alle beobachteten Punkte. Da nun jedenfalls hier die Lage der bekannten Punkte als vollkommen richtig angenommen werden muß, so giebt die Differentiation der vorstehenden beiden Gleichungen, in der Voraussetzung, daß  $m$  Einer der bekannten Punkte sey, und nachdem  $d(m, 1)$  eliminiert worden ist,

$$d\omega_m = \pi \frac{y_m - y_1}{(m, 1)^2} dx_1 - \pi \frac{x_m - x_1}{(m, 1)^2} dy_1$$

wo  $\pi = 206265''$  ist. Jeder von der Station 1 aus beobachtete bekannte Punkt giebt eine ähnliche Gleichung, die Beobachtung des Punktes 2 giebt aber

$$d\omega_2 = \pi \frac{y_m - y_1}{(2, 1)^2} dx_1 - \pi \frac{x_m - x_1}{(2, 1)^2} dy_1 - \pi \frac{y_2 - y_1}{(2, 1)^2} dx_1 + \pi \frac{x_2 - x_1}{(2, 1)^2} dy_2$$

Gleicherweise erhalten wir, wenn  $\mu$  irgend einer der auf der Station 2 beobachteten bekannten Punkte ist

$$d\omega_\mu = \pi \frac{y_\mu - y_2}{(\mu, 2)^2} dx_2 - \pi \frac{x_\mu - x_2}{(\mu, 2)^2} dy_2$$

und die Beobachtung des Punktes 1 giebt

$$d\omega_1 = \pi \frac{y_2 - y_1}{(2, 1)^2} dx_1 - \pi \frac{x_2 - x_1}{(2, 1)^2} dy_1 - \pi \frac{y_2 - y_1}{(2, 1)^2} dx_2 + \pi \frac{x_2 - x_1}{(2, 1)^2} dy_2.$$

Die Werthe von  $d\omega_m$ , etc.  $d\omega_\mu$ , etc. sind die oben angeführten

GröÙen  $-k_1 + \left(\frac{m}{1}\right) - \omega_m$ , etc.  $-k_2 + \left(\frac{\mu}{1}\right) - \omega_\mu$ , etc.,

in welchen man auch  $k + \delta k_1$  statt  $k_1$  und  $k_2 + \delta k_2$  statt  $k_2$  schreiben kann. Wenn also auf der Station 1 im Ganzen  $l$  be-

kannte Gegenstände beobachtet worden sind, so ergeben sich  $l$  Gleichungen von der Form

$$0 = k_1 + w_1^m - \left(\frac{m}{1}\right) + dk_1 + \pi \frac{\gamma_1 - \gamma_1}{(m, 1)^2} dx_1 - \pi \frac{x_1 - x_1}{(m, 1)^2} dy_1$$

$$0 = k_1 + w_1^n - \left(\frac{n}{1}\right) + dk_1 + \pi \frac{\gamma_n - \gamma_1}{(n, 1)^2} dx_1 - \pi \frac{x_n - x_1}{(n, 1)^2} dy_1$$

etc. etc.

und die Gleichung

$$0 = k_1 + w_1^q - \left(\frac{q}{1}\right) + dk_1 + \pi \frac{\gamma_2 - \gamma_1}{(2, 1)^2} dx_1 - \pi \frac{x_2 - x_1}{(2, 1)^2} dy_1$$

$$- \pi \frac{\gamma_3 - \gamma_1}{(2, 1)^2} dx_2 + \pi \frac{x_3 - x_1}{(2, 1)^2} dy_2$$

sind ferner auf der Station 2  $\lambda$  bekannte Gegenstände beobachtet, so erhalten wir  $\lambda$  Gleichungen von der Form

$$0 = k_2 + w_2^m - \left(\frac{\mu}{2}\right) + dk_2 + \pi \frac{\gamma_\mu - \gamma_2}{(\mu, 2)^2} dx_2 - \pi \frac{x_\mu - x_2}{(\mu, 2)^2} dy_2$$

$$0 = k_2 + w_2^v - \left(\frac{\nu}{2}\right) + dk_2 + \pi \frac{\gamma_\nu - \gamma_2}{(\nu, 2)^2} dx_2 - \pi \frac{x_\nu - x_2}{(\nu, 2)^2} dy_2$$

etc. etc.

und die Gleichung

$$0 = k_2 + w_2^z - \left(\frac{z}{2}\right) + dk_2 + \pi \frac{\gamma_3 - \gamma_2}{(3, 2)^2} dx_1 - \pi \frac{x_3 - x_2}{(3, 2)^2} dy_1$$

$$- \pi \frac{\gamma_3 - \gamma_2}{(2, 1)^2} dx_2 + \pi \frac{x_3 - x_2}{(2, 1)^2} dy_2$$

Die Größen  $k_1$  und  $k_2$  sind hier willkürlich und werden am zweckmäßigsten im Voraus so bestimmt, daß sowohl die Größen  $k_1 + w_1^m - \left(\frac{m}{1}\right)$ , etc. und die Größen  $k_2 + w_2^m - \left(\frac{\mu}{2}\right)$ , etc. alle klein werden, welches leicht zu bewerkstelligen ist. Hierauf hat man also  $l + \lambda + 2$  Gleichungen, aus welchen die sechs unbekannten Größen  $dx_1$ ,  $dx_2$ ,  $dy_1$ ,  $dy_2$ ,  $dk_1$  und  $dk_2$  nach den Vorschriften der Methode der kleinsten Quadrate bestimmt werden müssen.

Man kann übereinstimmend mit den Grundsätzen dieser Methode die unbekannten Größen  $dk_1$  und  $dk_2$  im Voraus aus den obigen Gleichungen eliminiren, wodurch die nachherige Arbeit sehr abgekürzt wird. Man muß zu dem Ende die  $l + 1$  Gleichungen, welche  $dk_1$  enthalten, addiren, durch ihre Anzahl  $l + 1$  dividiren, und dieses arithmetische Mittel von jeder derselben abziehen. Nachdem man hierauf auf die  $\lambda + 1$  Gleichungen, welche  $dk_2$  enthalten, das nemliche Verfahren angewandt hat, ergeben sich  $l + \lambda + 2$  Gleichungen zwischen den vier unbekannten Größen  $dx_1$ ,  $dy_1$ ,  $dx_2$  und  $dy_2$ , die nach den bekannten Vorschriften der Methode der kleinsten Quadrate aufgelöst werden müssen.

Statt dieses Verfahrens könnte man auch ohne vorläufige Werthe der Coordinaten  $x_1$ ,  $y_1$ ,  $x_2$  und  $y_2$  zu berechnen, die wahrscheinlichsten Verbesserungen der beobachteten Richtungen

suchen, aber dieses Verfahren wird weitläufiger wie das oben beschriebene, weil die Bedingungsgleichungen eine zusammengesetzte Form haben.

In diesem Artikel behandelte Aufgabe ist ein specieller Fall der allgemeinen Aufgabe, deren Auflösung ich in Nr. 351 der Astr. Nachr. gegeben habe, und die Auflösung, die ich ausführlich behandelt habe, gehört der dort gegebenen zweiten Auflösung an, während die eben kurz angedeutete Auflösung der dort gegebenen ersten Auflösung entspricht.

## 6.

Ich kann jetzt von dem Falle, wo man mehr wie hinreichende Data sich durch die Beobachtungen verschafft hat, kein Beispiel geben, weil die Berechnung der biesigen Triangulation noch nicht hinreichend vorgerückt ist. Die Berechnung der im vorigen Artikel abgeleiteten Gleichungen für  $dx_1$ , etc. kann ich aber jedenfalls für das obige Beispiel zeigen, wenn gleich man davon zur Ermittlung genauer Werthe der Coordinaten der unbekannten Punkte keinen Gebrauch wird machen können. Ich werde hiebei, um zu zeigen wie große Veränderungen wenigstens in diesem Beispiel eine kleine Veränderung der Coordinaten der unbekannten Punkte in den beobachteten Richtungen hervorbringt, die eben gefundenen Coordinaten um ein wenig verändern, bemerke aber dazu, daß es bei der wirklichen Anwendung der Formeln auf den Fall, wo mehr wie hinreichende Data vorhanden sind, nicht vortheilhaft ist, eine Veränderung mit den vorläufig aus den Beobachtungen zweier bekannten Punkte abgeleiteten Coordinaten vorzunehmen.

Seyen nun

$$x_1 = +38,5; \quad x_2 = -1,0$$

$$y_1 = -1206,0; \quad y_2 = -1663,0$$

Hiermit und mit den oben gegebenen Werthen der Coordinaten der Punkte 3 und 4

$$x_3 = -313,34; \quad x_4 = -310,57$$

$$y_3 = -1198,31; \quad y_4 = -1341,53$$

bekommen wir

$$\gamma_2 - \gamma_1 = -457,0; \quad x_2 - x_1 = -39,5$$

$$\gamma_1 - \gamma_1 = +7,69; \quad x_1 - x_1 = -351,84$$

$$\gamma_4 - \gamma_1 = -135,53; \quad x_4 - x_1 = +272,07$$

$$\gamma_3 - \gamma_2 = +464,69; \quad x_3 - x_2 = -312,34$$

$$\gamma_4 - \gamma_2 = +321,47; \quad x_4 - x_2 = +311,57$$

und somit erfordern die Gleichungen

$$y_m - y_1 = (m, 1) \sin w_m^m$$

$$x_m - x_1 = (m, 1) \cos w_m^m$$

und

$$y_n - y_2 = (\mu, 2) \sin w_n^n$$

$$x_n - x_2 = (\mu, 2) \cos w_n^n$$

die folgende Rechnung, bei welcher die überschriebenen Zahlen die Indices der Gegenstände oder beobachteten Punkte sind.

|  | 2           | 3            | 4            |  | 3            | 4           |
|--|-------------|--------------|--------------|--|--------------|-------------|
| $\log(y_m - y_1) \dots$                | 2,65992n    | 0,88593      | 2,13204n     | $\log(y_m - y_2) \dots$                  | 2,66716      | 2,50714     |
| $\log \frac{\sin}{\cos} w^m \dots$     | 9,99838n    | 9,99990n     | 9,95186      | $\log \frac{\sin}{\cos} w^m \dots$       | 9,91904      | 9,85617     |
| $\log(x_m - x_1) \dots$                | 1,59600n    | 2,54633n     | 2,43468      | $\log(x_m - x_2) \dots$                  | 2,49463n     | 2,49356     |
| $\log tg w^m \dots$                    | 1,06332     | 8,33958n     | 9,69736n     | $\log tg w^m \dots$                      | 0,17253n     | 0,01358     |
| $w^m \dots$                            | 265° 3' 36" | 178° 44' 52" | 333° 31' 12" | $w^m \dots$                              | 123° 54' 27" | 45° 53' 43" |
| $\left(\frac{m}{1}\right) \dots$       | 0           | 273 40 18    | 68 31 54     | $\left(\frac{\mu}{2}\right) \dots$       | 218 55 0     | 140 53 48   |
| $w^m - \left(\frac{m}{1}\right) \dots$ | 265 3 36    | 265 4 34     | 264 59 18    | $w^m - \left(\frac{\mu}{2}\right) \dots$ | 264 59 27    | 264 59 55   |

Ich führe hiebei an, daß bei der wüklichen Anwendung die Bögen  $w^m$  und  $w^u$  scharf berechnet werden müssen. Setzen wir nun  $k_1 = k_2 = -265^\circ 2'$ , so bekommen wir

$$k_1 + w^m - \left(\frac{m}{1}\right) \dots + 1^\circ 36' \dots + 2^\circ 34' \dots - 2^\circ 42'$$

$$k_2 + w^u - \left(\frac{\mu}{2}\right) \dots - 2^\circ 33' \dots - 2^\circ 5'$$

Da nothwendig  $w_1^u = 180^\circ + w_1^m$  sich ergeben muß, so er-

|                         |         |         |         |                         |         |        |
|-------------------------|---------|---------|---------|-------------------------|---------|--------|
| $\log \pi \dots$        | 5,3144  | 5,3144  | 5,3144  | $\log \pi \dots$        | 5,3144  | 5,3144 |
| $\log(y_m - y_1) \dots$ | 2,6599n | 0,8859  | 2,1320n | $\log(y_m - y_2) \dots$ | 2,6672  | 2,5071 |
| $2 \log(m, 1) \dots$    | 5,3231  | 5,0929  | 4,9656  | $2 \log(\mu, 2) \dots$  | 5,4962  | 5,3019 |
|                         | 2,6512n | 1,1074  | 2,4808n |                         | 2,4854  | 2,5196 |
| $\log \pi \dots$        | 5,3144  | 5,3144  | 5,3144  | $\log \pi \dots$        | 5,3144  | 5,3144 |
| $\log(x_m - x_1) \dots$ | 1,5966n | 2,5464n | 2,4347  | $\log(x_m - x_2) \dots$ | 2,4946n | 2,4936 |
| $2 \log(m, 1) \dots$    | 5,3231  | 5,0929  | 4,9656  | $2 \log(\mu, 2) \dots$  | 5,4962  | 5,3019 |
|                         | 1,5879n | 2,7679n | 2,7835  |                         | 2,3128n | 2,5061 |

und wir haben somit die folgenden sechs Gleichungen,

$$0 = +96'' + \delta k_1 - 447,9 \delta x_1 + 38,7 \delta y_1 + 447,9 \delta x_2 - 38,7 \delta y_2$$

$$0 = +154 + \delta k_1 + 12,8 \delta x_1 + 586,0 \delta y_1$$

$$0 = -162 + \delta k_1 - 302,6 \delta x_1 - 607,4 \delta y_1$$

$$0 = +96 + \delta k_2 - 447,9 \delta x_1 + 38,7 \delta y_1 + 447,9 \delta x_2 - 38,7 \delta y_2$$

$$0 = -153 + \delta k_2 + 305,8 \delta x_2 + 205,5 \delta y_2$$

$$0 = -125 + \delta k_2 + 330,8 \delta x_2 - 320,7 \delta y_2$$

In diesem Falle kann es nichts nutzen, diese Gleichungen durch die Methode der kleinsten Quadrate zu behandeln, da ihre Anzahl der Anzahl der unbekannten Größen gleich kommt. Sie werden jedenfalls die in den zu Grunde gelegten Coordinaten angenommenen Unterschiede mit der vorigen Rechnung wieder geben müssen, und geben in der That, wenn man sie aufgelöst hat,

$$\delta x_1 = +0,550, \quad \delta x_2 = +0,199$$

$$\delta y_1 = -0,410, \quad \delta y_2 = +0,063$$

während die bei Anfang der Rechnung angenommenen Werthe dieser Größen folgende sind

$$\delta x_1 = +0,54, \quad \delta x_2 = +0,21$$

$$\delta y_1 = -0,41, \quad \delta y_2 = +0,08$$

Außerdem geben die obigen Gleichungen  $\delta k_1 = \delta k_2 = +79^\circ 3$ . Die erste und vierte derselben zeigen schon sogleich, daß  $\delta k_1 = \delta k_2$  seyn muß, dieses hört aber auf der Fall zu seyn, wenn mehr Gleichungen wie unbekannte Größen vorhanden sind.

Die kleinen in den Coordinaten angenommenen Unterschiede bringen, wie man sieht, in den Richtungen bedeutende Unterschiede zu Wege, und hieraus folgt, daß die Coordinaten der unbekannten Punkte durch diese Aufgabe mit großer Genauigkeit bestimmt werden können, sobald die Lage der bekannten Punkte mit Sicherheit bestimmt worden ist.

halten wir

$$k_1 + w_1^m - \left(\frac{1}{1}\right) = k_1 + w_1^u - \left(\frac{1}{1}\right) = +1^\circ 36'$$

Ferner folgt aus der vorstehenden Rechnung

$$\log(m, 1) \dots 2,66154 \dots 2,54645 \dots 2,48282$$

$$\log(\mu, 2) \dots 2,74812 \dots 2,65097$$

Die Rechnung für die Coefficienten

$$\pi \frac{y_m - y_1}{(m, 1)^2}, \quad \pi \frac{x_m - x_1}{(m, 1)^2}, \text{ etc.}$$

steht nun so

7.

Die allgemeine Aufgabe: Die Lage und die absoluten „Dimensionen eines Polygons durch Messungen von Richtungen „von dessen Winkelpunkten aus zu bestimmen,“ schließt sich der im Vorhergehenden behandelten Aufgabe unmittelbar an. Sind drei oder mehr unbekannte Punkte vorhanden und von jedem derselben aus nicht nur die übrigen, sondern auch zwei oder mehr bekannte Punkte beobachtet, so ist die Aufgabe jedenfalls mehr wie bestimmt. Die Beobachtungen zweier der bekannten Punkte von zwei der unbekannten Punkte aus geben, wie oben gezeigt worden ist, vorläufige Werthe der Coordinaten dieser Punkte, hiemit und durch die Beobachtungen der übrigen unbekannten Punkte bekommt man die vorläufigen Werthe der Coordinaten dieser. Bezeichnen wir nun überhaupt irgend einen der bekannten Punkte mit  $m$  und irgend einen der unbekannten mit  $\nu$ , so giebt jede, von irgend einem der Punkte  $\nu$  aus beobachtete Richtung irgend eines der Punkte  $m$  die Gleichung

$$0 = k + w^m - \left(\frac{m}{\nu}\right) + \delta k + \pi \frac{y_m - y_\nu}{(m, \nu)^2} \delta x - \pi \frac{x_m - x_\nu}{(m, \nu)^2} \delta y,$$

und irgend eine vom Punkte  $\nu$  aus beobachtete Richtung eines andern unbekannten Punktes  $\nu'$  die Gleichung

$$0 = k + w^{\nu'} - \left(\frac{\nu'}{\nu}\right) + \delta k + \pi \frac{y_{\nu'} - y_\nu}{(\nu', \nu)^2} \delta x - \pi \frac{x_{\nu'} - x_\nu}{(\nu', \nu)^2} \delta y,$$

$$- \pi \frac{y_\nu - y_{\nu'}}{(\nu, \nu')^2} \delta x + \pi \frac{x_\nu - x_{\nu'}}{(\nu, \nu')^2} \delta y.$$

Diese Gleichungen alle, deren Anzahl stets der Anzahl aller beobachteten Richtungen gleich kommt müssen wie oben beschrieben behandelt und durch die Methode der kleinsten Quadrate aufgelöst werden.

Hansen.

# ASTRONOMISCHE NACHRICHTEN.

N<sup>o</sup>. 420.

Tafeln zur Reduction derjenigen Sterne, welche in den Zonen Aug. 19 bis Aug. 26. 1789 der Pariser Memoiren für 1789 vorkommen, auf den Anfang des Jahres 1790.

Von Herrn R. Kysaens.

$$s = s + k + k' \frac{s-Z}{100'}$$

$$\delta = s + p + p' \frac{s-Z}{100'}$$

die nördlichen Zenithdistanzen positiv genommen.

pag. 208. Aug. 19. 1789.  $Z = 3^{\circ}$ .

| $s$                | $k$                 | $k'$                 | $p$                                   | $p'$                |
|--------------------|---------------------|----------------------|---------------------------------------|---------------------|
| 17 <sup>h</sup> 0' | - 8 <sup>h</sup> 63 | - 0 <sup>h</sup> 068 | 48 <sup>h</sup> 52' 16 <sup>h</sup> 8 | + 1 <sup>h</sup> 51 |
| 10                 | 8,73                | 0,073                | 17,1                                  | 1,51                |
| 20                 | 8,83                | 0,077                | 17,4                                  | 1,51                |
| 30                 | 8,93                | 0,081                | 17,7                                  | 1,52                |
| 40                 | 9,03                | 0,085                | 18,0                                  | 1,53                |
| 50                 | 9,13                | 0,089                | 18,4                                  | 1,54                |
| 18 0               | - 9,22              | 0,093                | 52 18,8                               | + 1,56              |
| 10                 | 9,31                | 0,097                | 19,2                                  | 1,56                |
| 20                 | 9,40                | 0,101                | 19,7                                  | 1,57                |
| 30                 | 9,49                | 0,104                | 20,2                                  | 1,59                |
| 40                 | 9,57                | 0,107                | 20,7                                  | 1,60                |
| 50                 | 9,65                | 0,110                | 21,3                                  | 1,61                |
| 19 0               | - 9,73              | - 0,113              | 52 21,9                               | + 1,62              |
| 10                 | 9,80                | 0,116                | 22,5                                  | 1,63                |
| 20                 | 9,87                | 0,119                | 23,2                                  | 1,64                |
| 30                 | 9,94                | 0,122                | 23,9                                  | 1,65                |
| 40                 | 10,00               | 0,125                | 24,6                                  | 1,66                |
| 50                 | 10,06               | 0,128                | 25,3                                  | 1,68                |
| 20 0               | - 10,11             | - 0,130              | 52 26,0                               | + 1,69              |
| 10                 | 10,16               | 0,132                | 26,8                                  | 1,70                |
| 20                 | 10,21               | 0,134                | 27,6                                  | 1,71                |
| 30                 | 10,25               | 0,136                | 28,4                                  | 1,73                |
| 40                 | 10,29               | 0,138                | 29,2                                  | 1,74                |
| 50                 | 10,33               | 0,139                | 30,0                                  | 1,76                |
| 21 0               | - 10,36             | - 0,140              | 52 30,9                               | + 1,78              |
| 10                 | 10,38               | 0,141                | 31,7                                  | 1,79                |
| 20                 | 10,40               | 0,142                | 32,5                                  | 1,80                |
| 30                 | 10,41               | 0,143                | 33,4                                  | 1,82                |
| 40                 | 10,42               | 0,143                | 34,3                                  | 1,84                |
| 50                 | 10,42               | 0,143                | 35,1                                  | 1,85                |
| 22 0               | - 10,42             | - 0,143              | 52 36,0                               | + 1,86              |
| 10                 | 10,42               | 0,143                | 36,9                                  | 1,88                |
| 20                 | 10,41               | 0,143                | 37,8                                  | 1,90                |
| 30                 | 10,39               | 0,143                | 38,7                                  | 1,91                |
| 40                 | 10,37               | 0,143                | 39,6                                  | 1,92                |
| 50                 | 10,35               | 0,142                | 40,4                                  | 1,94                |

| $s$                | $k$                  | $k'$                 | $p$                                   | $p'$                |
|--------------------|----------------------|----------------------|---------------------------------------|---------------------|
| 23 <sup>h</sup> 0' | - 10 <sup>h</sup> 32 | - 0 <sup>h</sup> 141 | 48 <sup>h</sup> 52' 41 <sup>h</sup> 2 | + 1 <sup>h</sup> 96 |
| 10                 | 10,29                | 0,140                | 42,1                                  | 1,98                |
| 20                 | 10,25                | 0,138                | 42,9                                  | 1,99                |
| 30                 | 10,21                | 0,136                | 43,7                                  | 2,00                |
| 40                 | 10,17                | 0,134                | 44,5                                  | 2,01                |
| 50                 | 10,12                | 0,132                | 45,3                                  | 2,03                |
| 0 0                | - 10,07              | - 0,130              | 52 46,1                               | + 2,04              |
| 10                 | 10,01                | 0,128                | 46,8                                  | 2,05                |
| 20                 | 9,95                 | 0,126                | 47,5                                  | 2,06                |
| 30                 | 9,88                 | 0,123                | 48,2                                  | 2,07                |
| 40                 | 9,81                 | 0,120                | 48,9                                  | 2,08                |
| 50                 | 9,74                 | 0,117                | 49,6                                  | 2,09                |
| 1 0                | - 9,66               | - 0,114              | 52 50,2                               | + 2,10              |
| 10                 | 9,58                 | 0,111                | 50,8                                  | 2,11                |
| 20                 | 9,50                 | 0,108                | 51,4                                  | 2,12                |
| 30                 | 9,42                 | 0,105                | 51,9                                  | 2,13                |
| 40                 | 9,34                 | 0,101                | 52,4                                  | 2,14                |
| 50                 | 9,25                 | 0,097                | 52,9                                  | 2,15                |
| 2 0                | - 9,16               | - 0,093              | 52 53,4                               | + 2,16              |
| 10                 | 9,06                 | 0,089                | 53,8                                  | 2,16                |
| 20                 | 8,96                 | 0,085                | 54,2                                  | 2,16                |
| 30                 | 8,86                 | 0,081                | 54,5                                  | 2,17                |
| 40                 | 8,76                 | 0,077                | 54,8                                  | 2,18                |
| 50                 | 8,66                 | 0,073                | 55,1                                  | 2,18                |

pag. 209. Aug. 23. 1789.  $Z = 5^{\circ}$

| $s$   | $k$     | $k'$    | $p$        | $p'$   |
|-------|---------|---------|------------|--------|
| 18 10 | - 9,92  | + 0,026 | 48 52 18,1 | + 1,59 |
| 20    | 10,02   | 0,022   | 18,5       | 1,60   |
| 30    | 10,12   | 0,018   | 19,0       | 1,61   |
| 40    | 10,21   | 0,014   | 19,5       | 1,62   |
| 50    | 10,30   | 0,010   | 20,1       | 1,63   |
| 19 0  | - 10,38 | + 0,006 | 52 20,7    | + 1,64 |
| 10    | 10,46   | + 0,002 | 21,3       | 1,65   |
| 20    | 10,55   | - 0,001 | 21,9       | 1,66   |
| 30    | 10,62   | 0,004   | 22,5       | 1,67   |
| 40    | 10,69   | 0,007   | 23,2       | 1,68   |
| 50    | 10,76   | 0,010   | 23,9       | 1,69   |
| 20 0  | - 10,83 | - 0,013 | 52 24,6    | + 1,70 |
| 10    | 10,89   | 0,016   | 25,3       | 1,71   |
| 20    | 10,95   | 0,018   | 26,1       | 1,72   |
| 30    | 11,00   | 0,020   | 26,9       | 1,73   |
| 40    | 11,05   | 0,022   | 27,7       | 1,75   |
| 50    | 11,09   | 0,024   | 28,5       | 1,76   |

| $i$                | $k$                 | $k'$               | $p$          | $p'$               |
|--------------------|---------------------|--------------------|--------------|--------------------|
| 21 <sup>b</sup> 0' | -11 <sup>h</sup> 12 | -0 <sup>h</sup> 26 | 48° 52' 29.3 | +1 <sup>h</sup> 77 |
| 10                 | 11,15               | 0,027              | 30,2         | 1,79               |
| 20                 | 11,18               | 0,028              | 31,1         | 1,81               |
| 30                 | 11,21               | 0,029              | 31,9         | 1,82               |
| 40                 | 11,23               | 0,030              | 32,8         | 1,83               |
| 50                 | 11,24               | 0,031              | 33,7         | 1,85               |
| 22 0               | 11,25               | -0,031             | 52 34,6      | +1,87              |
| 10                 | 11,26               | 0,031              | 35,5         | 1,88               |
| 20                 | 11,26               | 0,031              | 36,3         | 1,89               |
| 30                 | 11,25               | 0,031              | 37,2         | 1,91               |
| 40                 | 11,24               | 0,030              | 38,1         | 1,93               |
| 50                 | 11,22               | 0,029              | 39,0         | 1,95               |
| 23 0               | -11,20              | -0,028             | 52 39,9      | +1,96              |
| 10                 | 11,17               | 0,027              | 40,8         | 1,97               |
| 20                 | 11,14               | 0,026              | 41,6         | 1,98               |
| 30                 | 11,11               | 0,025              | 42,5         | 2,00               |
| 40                 | 11,07               | 0,023              | 43,3         | 2,01               |

pag. 210. Aug. 24. 1789.  $Z = 7^\circ$ .

|       |        |        |           |       |
|-------|--------|--------|-----------|-------|
| 17 20 | -9,89  | +0,171 | 48 52 7,4 | +1,58 |
| 30    | 10,00  | 0,166  | 7,7       | 1,58  |
| 40    | 10,11  | 0,161  | 8,0       | 1,58  |
| 50    | 10,22  | 0,156  | 8,3       | 1,59  |
| 18 0  | -10,33 | +0,151 | 52 8,7    | +1,60 |
| 10    | 10,44  | 0,146  | 9,1       | 1,60  |
| 20    | 10,54  | 0,141  | 9,6       | 1,61  |
| 30    | 10,65  | 0,136  | 10,1      | 1,62  |
| 40    | 10,75  | 0,132  | 10,6      | 1,63  |
| 50    | 10,84  | 0,127  | 11,1      | 1,64  |
| 19 0  | -10,93 | +0,123 | 52 11,7   | +1,65 |
| 10    | 11,02  | 0,119  | 12,3      | 1,66  |
| 20    | 11,10  | 0,115  | 12,9      | 1,67  |
| 30    | 11,19  | 0,111  | 13,6      | 1,68  |
| 40    | 11,27  | 0,107  | 14,3      | 1,69  |
| 50    | 11,34  | 0,103  | 15,0      | 1,70  |
| 20 0  | -11,41 | 0,100  | 15,7      | 1,71  |
| 10    | 11,47  | 0,097  | 16,4      | 1,72  |
| 20    | 11,53  | 0,094  | 17,2      | 1,73  |
| 30    | 11,58  | 0,092  | 18,0      | 1,74  |
| 40    | 11,63  | 0,090  | 18,8      | 1,76  |
| 50    | 11,68  | 0,088  | 19,6      | 1,77  |
| 21 0  | -11,72 | +0,086 | 52 20,4   | +1,78 |
| 10    | 11,76  | 0,084  | 21,3      | 1,80  |
| 20    | 11,79  | 0,083  | 22,2      | 1,82  |
| 30    | 11,82  | 0,082  | 23,1      | 1,83  |
| 40    | 11,84  | 0,081  | 24,0      | 1,84  |
| 50    | 11,86  | 0,080  | 24,9      | 1,85  |
| 22 0  | -11,87 | +0,079 | 52 25,8   | +1,87 |
| 10    | 11,87  | 0,079  | 26,7      | 1,89  |
| 20    | 11,87  | 0,079  | 27,6      | 1,90  |
| 30    | 11,86  | 0,079  | 28,5      | 1,91  |
| 40    | 11,85  | 0,080  | 29,4      | 1,92  |
| 50    | 11,84  | 0,081  | 30,3      | 1,93  |

pag. 211. Aug. 25. 1789.  $Z = 9^\circ$ .

|       |        |        |            |       |
|-------|--------|--------|------------|-------|
| 18 10 | -10,52 | -0,117 | 48 52 25,9 | +1,63 |
| 20    | 10,63  | 0,122  | 27,3       | 1,64  |

| $i$                 | $k$                 | $k'$                | $p$          | $p'$               |
|---------------------|---------------------|---------------------|--------------|--------------------|
| 18 <sup>b</sup> 30' | -10 <sup>h</sup> 73 | -0 <sup>h</sup> 127 | 48° 52' 27.8 | +1 <sup>h</sup> 65 |
| 40                  | 10,83               | 0,132               | 28,3         | 1,66               |
| 50                  | 10,93               | 0,137               | 28,9         | 1,67               |
| 19 0                | -11,03              | -0,142              | 52 29,5      | +1,68              |
| 10                  | 11,13               | 0,147               | 30,1         | 1,69               |
| 20                  | 11,22               | 0,152               | 30,7         | 1,70               |
| 30                  | 11,30               | 0,156               | 31,4         | 1,71               |
| 40                  | 11,38               | 0,160               | 32,1         | 1,72               |
| 50                  | 11,45               | 0,164               | 32,8         | 1,73               |
| 20 0                | -11,52              | -0,168              | 52 33,5      | +1,74              |
| 10                  | 11,59               | 0,172               | 34,2         | 1,75               |
| 20                  | 11,65               | 0,175               | 35,0         | 1,76               |
| 30                  | 11,71               | 0,178               | 35,8         | 1,77               |
| 40                  | 11,77               | 0,181               | 36,6         | 1,78               |
| 50                  | 11,82               | 0,183               | 37,4         | 1,79               |
| 21 0                | -11,86              | -0,185              | 52 38,3      | +1,80              |
| 10                  | 11,89               | 0,187               | 39,2         | 1,81               |
| 20                  | 11,92               | 0,189               | 40,1         | 1,83               |
| 30                  | 11,95               | 0,190               | 41,0         | 1,84               |
| 40                  | 11,97               | 0,191               | 41,9         | 1,85               |
| 50                  | 11,98               | 0,192               | 42,8         | 1,86               |
| 22 0                | -11,99              | -0,193              | 52 43,7      | +1,88              |
| 10                  | 11,99               | 0,193               | 44,6         | 1,89               |
| 20                  | 11,99               | 0,193               | 45,5         | 1,90               |
| 30                  | 11,99               | 0,193               | 46,4         | 1,91               |
| 40                  | 11,98               | 0,193               | 47,3         | 1,93               |
| 50                  | 11,96               | 0,192               | 48,2         | 1,94               |
| 23 0                | +11,94              | 0,191               | 52 49,1      | 1,95               |
| 10                  | 11,91               | 0,190               | 50,0         | 1,96               |
| 20                  | 11,88               | 0,189               | 50,9         | 1,98               |
| 30                  | 11,84               | 0,187               | 51,8         | 2,00               |
| 40                  | 11,80               | 0,185               | 52,7         | 2,01               |
| 50                  | 11,75               | 0,183               | 53,5         | 2,02               |
| 0 0                 | -11,70              | -0,180              | 52 54,3      | +2,03              |
| 10                  | 11,64               | 0,177               | 55,1         | 2,04               |
| 20                  | 11,58               | 0,174               | 55,9         | 2,05               |
| 30                  | 11,51               | 0,171               | 56,7         | 2,06               |

pag. 212. Aug. 26. 1789.  $Z = 11^\circ$ .

|       |        |        |            |       |
|-------|--------|--------|------------|-------|
| 18 20 | -11,08 | -0,601 | 48 52 25,1 | +1,69 |
| 30    | 11,20  | 0,607  | 25,5       | 1,69  |
| 40    | 11,31  | 0,613  | 26,0       | 1,70  |
| 50    | 11,41  | 0,619  | 26,6       | 1,71  |
| 19 0  | -11,52 | -0,624 | 52 27,2    | +1,72 |
| 10    | 11,62  | 0,629  | 27,8       | 1,72  |
| 20    | 11,72  | 0,635  | 28,4       | 1,73  |
| 30    | 11,81  | 0,640  | 29,0       | 1,74  |
| 40    | 11,90  | 0,646  | 29,7       | 1,75  |
| 50    | 11,99  | 0,649  | 30,4       | 1,76  |
| 20 0  | -12,07 | -0,653 | 52 31,2    | +1,77 |
| 10    | 12,15  | 0,657  | 32,0       | 1,78  |
| 20    | 12,22  | 0,661  | 32,8       | 1,79  |
| 30    | 12,28  | 0,664  | 33,6       | 1,80  |
| 40    | 12,34  | 0,667  | 34,4       | 1,81  |
| 50    | 12,40  | 0,670  | 35,2       | 1,82  |

| $s$                | $k$    | $k'$   | $p$        | $p'$  |
|--------------------|--------|--------|------------|-------|
| 21 <sup>h</sup> 0' | —12'45 | —0'673 | 48'52'36"1 | +1'84 |
| 10                 | 12,49  | 0,675  | 37,0       | 1,85  |
| 20                 | 12,53  | 0,677  | 37,8       | 1,86  |
| 30                 | 12,56  | 0,679  | 38,7       | 1,87  |
| 40                 | 12,59  | 0,681  | 39,6       | 1,89  |
| 50                 | 12,61  | 0,682  | 40,6       | 1,90  |
| 22 0               | —12,63 | —0,683 | 52 41,5    | +1,91 |
| 10                 | 12,64  | 0,684  | 42,4       | 1,92  |
| 20                 | 12,64  | 0,684  | 43,3       | 1,93  |
| 30                 | 12,64  | 0,684  | 44,3       | 1,94  |
| 40                 | 12,63  | 0,683  | 45,2       | 1,95  |
| 50                 | 12,62  | 0,682  | 46,1       | 1,96  |
| 23 0               | —12,60 | —0,682 | 52 47,0    | +1,98 |
| 10                 | 12,58  | 0,681  | 47,9       | 1,99  |
| 20                 | 12,55  | 0,679  | 48,8       | 2,00  |
| 30                 | 12,51  | 0,677  | 49,7       | 2,01  |
| 40                 | 12,47  | 0,675  | 50,6       | 2,03  |
| 50                 | 12,42  | 0,672  | 51,5       | 2,04  |
| 0 0                | —12,37 | —0,669 | 52 52,4    | +2,05 |
| 10                 | 12,31  | 0,666  | 53,2       | 2,06  |
| 20                 | 12,25  | 0,663  | 54,0       | 2,07  |
| 30                 | 12,18  | 0,659  | 54,8       | 2,08  |
| 40                 | 12,11  | 0,654  | 55,6       | 2,09  |
| 50                 | 12,03  | 0,649  | 56,4       | 2,10  |

| $s$               | $k$    | $k'$   | $p$        | $p'$  |
|-------------------|--------|--------|------------|-------|
| 1 <sup>h</sup> 0' | —11'95 | —0'645 | 48'52'57"1 | +2'11 |
| 10                | 11,86  | 0,641  | 57,8       | 2,12  |
| 20                | 11,77  | 0,636  | 58,5       | 2,13  |

## Fädenabstände.

Bei der nördlichen Lage des Quadranten sind die Abstände der Fäden im Aequator:

25°069 und 25°220.

Die Collimation ist angenommen zu +1'30" und die Refraction berücksichtigt.

| Z. D. | 1—2.  | 2—3.  |
|-------|-------|-------|
| 0     | 38'10 | 38'35 |
| 1     | 38,88 | 39,13 |
| 2     | 39,71 | 39,97 |
| 3     | 40,59 | 40,85 |
| 4     | 41,52 | 41,79 |
| 5     | 42,51 | 42,78 |
| 6     | 43,56 | 43,84 |
| 7     | 44,67 | 44,96 |
| 8     | 45,86 | 46,16 |
| 9     | 47,13 | 47,43 |
| 10    | 48,48 | 48,80 |
| 11    | 49,94 | 50,26 |
| 12    | 51,49 | 51,83 |
| 13    | 53,17 | 53,51 |

R. Kysaeus.

Schreiben des Herrn *Bertram*, Ingenieur-Geographen des Königl. Preuss. Generalstabes, an den Herausgeber.  
Berlin 1841. März 10.

Um die mir auf dem Punkte Schönberg in der letzten Hälfte des August v. J. noch übrig bleibende freie Zeit möglichst zu benutzen, versuchte ich, so gut es bei den gegebenen Mitteln möglich war, die Polhöhe zu bestimmen. Herr Major *Baeyer* hält diese Beobachtungen für ganz gelungen und trägt mir auf sie Ihnen zuzusenden.

Die Instrumente, die ich zu meiner Disposition hatte, waren:

1. Derselbe 12zollige, drei Sekunden angehende Kreis, welcher früher von *Gambey* für Herrn *Alexander v. Humboldt* Excellenz angefertigt wurde und 1835 mit zur Bestimmung der Meereshöhe von Berlin diente.

2. Ein mir gebührender Taschen-Chronometer von Hrn. *Tiede*.

Um meinen Zweck zu erreichen, beobachtete ich Zenithdistanzen von Sternen südlich und nördlich des Zeniths im Meridian, welche weder nach ihrer Culminationzeit noch nach ihrer Entfernung vom Zenith weit auseinander lagen, um mich von der Kenntnis der wahren Refraction möglichst, und von einem constanten Fehler des Instruments völlig unabhängig zu machen, nach der bekannten Formel:

$$2\psi = s + r + s - p + p' - (s' + r' + z) \text{ und } \psi = \frac{s-s'}{2} + \frac{r-r'}{2} + \frac{p+p'}{2}$$

worin  $\psi$  die Aequatorshöhe  $s$ , die Zenithdistanz des nördlichen Sternes,  $r$  dessen wahre Refraction und  $p$  dessen Poldistanz;

$s'$ ,  $r'$  und  $p'$  dieselben Größen für den correspondirenden südlichen Stern und  $z$  den Fehler des Instruments bezeichnen.

Die Zeit erhielt ich mit etwa 0,75 Secunde Genauigkeit durch außer dem Meridian beobachtete Sternhöhen. Ein etwaniger Fehler indess, der schon an und für sich von wenigem Belange hierbei ist, wird übrigens auch durch Beobachtungen vor und nach der Culmination in gleichen Abständen völlig ausgeglichen. Die angewendeten Sterne sind *Polaris*,  $\alpha$  *Tauri*,  $\alpha$  *Bootis*,  $\beta$  *Ursae minoris* und  $\alpha$  *Coronae*, und ich erhalte aus sämtlichen Beobachtungen folgendes Resultat:

| Datum.   | Angewendete Sterne.                                   | Aequatorshöhe. | Abweichung vom Mittel. |
|----------|---|----------------|------------------------|
| Aug. 17. | $\alpha$ <i>Tauri</i> und <i>Polaris</i>              | 36°1' 9"86     | +0'20                  |
| 19.      | $\alpha$ <i>Bootis</i> und $\beta$ <i>Ursae min.</i>  | 9,58           | —0,08                  |
|          | $\alpha$ <i>Coronae</i> — $\beta$ <i>Ursae min.</i>   | 9,58           | —0,08                  |
| 20.      | $\alpha$ <i>Bootis</i> und <i>Polaris</i>             | 10,96          | +1,30                  |
|          | $\alpha$ <i>Coronae</i> — $\beta$ <i>Ursae min.</i>   | 10,63          | +0,97                  |
|          | $\alpha$ <i>Bootis</i> und $\beta$ <i>Ursae min.</i>  | 9,79           | +0,13                  |
| 22.      | $\alpha$ <i>Bootis</i> und <i>Polaris</i>             | 8,06           | —1,60                  |
|          | $\alpha$ <i>Bootis</i> und $\beta$ <i>Ursae min.</i>  | 10,30          | +0,64                  |
|          | $\alpha$ <i>Coronae</i> und $\beta$ <i>Ursae min.</i> | 10,73          | +1,07                  |
| 27.      | $\alpha$ <i>Bootis</i> und <i>Polaris</i>             | 10,42          | +0,76                  |
|          | $\alpha$ <i>Bootis</i> — $\beta$ <i>Ursae min.</i>    | 9,10           | —0,56                  |
|          | $\alpha$ <i>Coronae</i> und $\beta$ <i>Ursae min.</i> | 9,44           | —0,22                  |
| 29.      | $\alpha$ <i>Bootis</i> und <i>Polaris</i>             | 8,31           | —1,35                  |
|          | $\alpha$ <i>Bootis</i> und $\beta$ <i>Ursae min.</i>  | 8,68           | —0,98                  |
|          | $\alpha$ <i>Coronae</i> und $\beta$ <i>Ursae min.</i> | 9,64           | —0,92                  |

12 \*

| Datum. | Angewendete Sterne.                    | Aequators.<br>höhe.  | Abweichung<br>vom Mittel. |
|--------|--|----------------------|---------------------------|
| 31.    | $\alpha$ Bootis — Polaris              | $36^{\circ}1' 9''98$ | $+0''32$                  |
|        | $\alpha$ Bootis und $\beta$ Ursae min. | $9,98$               | $+0''32$                  |
|        | $\alpha$ Corone und $\beta$ Ursae min. | $9,30$               | $-0''76$                  |
|        | Mittel                                 | $36^{\circ}1' 9''66$ |                           |

wahrscheinlicher Fehler jeder Beobachtung =  $\pm 0''56$

wahrscheinlicher Fehler des Resultates =  $\pm 0''13$

Außerdem habe ich noch das Azimuth von *Dietrichshagen* durch mehrere Polastern-Beobachtungen bestimmt, was jedoch ein viel geringeres Gewicht hat als die Polhöhe, theils weil ich, der Construction des Instrumentes zufolge, die Abwei-

chung der Vertical-Axe nur vor und nach jeder Beobachtung messen konnte, während der Beobachtung selbst aber keine Sicherheit dafür hatte; theils auch weil der Azimuthal-Kreis nur zwei Nuten hat, und ich dabei noch von einem möglichen Fehler der Kreistheilung sehr abhängig bin; es wäre mir jedoch höchst erwünscht, es bald mit dem aus Ihren Operationen hervorgehendem Resultat vergleichen zu können. Das von mir gefundene Azimuth von *Dietrichshagen* auf Schönberg ist =  $71^{\circ}49'26''83$ .

C. L. Bertram,  
Ingenieur-Geograph des Generalstabes.

Schreiben des Herrn *M. Koller*, Directors der Sternwarte in Kremsmünster, an den Herausgeber.

Kremsmünster 1841. Febr. 14.

Ich übersende Ihnen hienüt den Rest der Beobachtungen, welche auf hiesiger Sternwarte an *Bremikers* Cometen gemacht wurden.

| 1840.   | Mittl. Zeit zu<br>Kremsm. | Des Cometen<br>AR.     | scheinbare<br>nördl. Abw. | Vergleichs-<br>sterne. |
|---------|---------------------------|------------------------|---------------------------|------------------------|
| Dec. 16 | 6 <sup>h</sup> 24'22"22   | 0 <sup>h</sup> 9'30"94 | 37°33'56"9                | $\delta$ Androm.       |
|         |                           | 29,43                  | 67,6                      | $\alpha$ Androm.       |
| 17      | 6 18 37,91                | 0 14 23,02             | 36 38 49,7                | $\alpha$ Androm.       |
|         |                           | 22,64                  | 55,1                      | $\beta$ Androm.        |
| 18      | 7 16 51,08                | 0 19 22,11             | 35 40 42,6                | $\gamma$ Androm.       |
|         |                           | 20,81                  | 42,5                      | $\alpha$ Androm.       |
| 22      | 6 27 13,17                | 0 37 13,89             | 32 5 18,5                 | $\gamma$ Androm.       |
|         |                           | 13,85                  | 20,9                      | $\delta$ Androm.       |
| 23      | 6 28 14,05                | 0 41 26,99             | 31 12 46,2                | $\gamma$ Androm.       |
|         |                           | 26,14                  | 44,4                      | $\delta$ Androm.       |
| 24      | 6 3 26,75                 | 0 45 31,61             | 30 21 29,4                | $\delta$ Androm.       |
|         |                           | 31,53                  | 27,3                      | $\sigma$ I Pisc.       |
| 25      | 6 26 31,57                | 0 49 35,17             | 29 29 39,4                | $\delta$ Androm.       |
|         |                           | 35,70                  | 38,5                      | $\sigma$ I Pisc.       |
| 26      | 6 29 43,02                | 0 53 21,76             | 28 38 50,9                | $\delta$ Androm.       |
|         |                           | 21,19                  | 55,8                      | $\sigma$ I Pisc.       |
| 27      | 8 20 8,87                 | 0 57 39,94             | 27 46 4,7                 | $\sigma$ I Pisc.       |
|         |                           | 39,78                  | 8,4                       | G Pisc.                |
| 28      | 9 4 28,35                 | 1 1 30,70              | 26 56 25,7                | G Pisc.                |
|         |                           | 31,25                  | 28,3                      | v Pisc.                |
| 29      | 9 59 42,35                | 1 5 15,93              | 26 7 8,1                  | G Pisc.                |
|         |                           | 17,38                  | 11,0                      | v Pisc.                |
| 1841.   |                           |                        |                           |                        |
| Jan. 9  | 6 39 35,22                | 1 40 21,08             | 18 42 22,3                | $\beta$ Arietis.       |
|         |                           | 20,52                  | 29,4                      | $\alpha$ Arietis.      |
| 22      | 6 57 34,91                | 2 14 23,77             | 12 24 37,5                | $\alpha$ Ceti.         |
| 23      | 6 36 45,85                | 2 16 30,54             |                           | $\alpha$ Ceti.         |

|         |  |  |  |                              |
|---------|--|--|--|------------------------------|
| Januar. | $T_n = -3^{\circ}23'42'' + 1,1675 \sin [n.15^{\circ} + 43^{\circ} 4']$ | $+0,4145 \sin [n.30^{\circ} + 51^{\circ} 21']$ | $+0,1377 \sin [n.45^{\circ} + 53^{\circ} 66']$ | $\alpha T_n = 0^{\circ}0377$ |
| Febr.   | $T_n = -1,0129 + 1,17375 \sin [n.15 + 39 48]$                          | $+0,5714 \sin [n.30 + 47 1]$                   | $+0,2554 \sin [n.45 + 46 48]$                  | $\alpha T_n = 0,0156$        |
| März.   | $T_n = 2,6879 + 2,2853 \sin [n.15 + 40 55]$                            | $+0,5883 \sin [n.30 + 60 5]$                   | $+0,0809 \sin [n.45 + 181 11]$                 | $\alpha T_n = 0,0058$        |
| April.  | $T_n = 6,1771 + 2,4034 \sin [n.15 + 43 14]$                            | $+0,5009 \sin [n.30 + 58 52]$                  | $+0,1767 \sin [n.45 + 187 6]$                  | $\alpha T_n = 0,0136$        |
| Mai.    | $T_n = 12,8288 + 3,3759 \sin [n.15 + 50 35]$                           | $+0,1837 \sin [n.30 + 125 15]$                 | $+0,1504 \sin [n.45 + 259 23]$                 | $\alpha T_n = 0,0161$        |
| Juni.   | $T_n = 16,7212 + 3,5477 \sin [n.15 + 55 33]$                           | $+0,3280 \sin [n.30 + 192 7]$                  | $+0,1510 \sin [n.45 + 271 0]$                  | $\alpha T_n = 0,0337$        |
| Juli.   | $T_n = 18,0125 + 2,8589 \sin [n.15 + 51 26]$                           | $+0,1360 \sin [n.30 + 96 40]$                  | $+0,1949 \sin [n.45 + 250 10]$                 | $\alpha T_n = 0,0547$        |
| Aug.    | $T_n = 16,6954 + 3,0356 \sin [n.15 + 49 26]$                           | $+0,2061 \sin [n.30 + 99 19]$                  | $+0,2021 \sin [n.45 + 246 34]$                 | $\alpha T_n = 0,0507$        |
| Sept.   | $T_n = 13,5508 + 3,1066 \sin [n.15 + 39 29]$                           | $+0,4750 \sin [n.30 + 64 31]$                  | $+0,1578 \sin [n.45 + 231 13]$                 | $\alpha T_n = 0,0513$        |
| Oct.    | $T_n = 8,2900 + 2,6056 \sin [n.15 + 39 8]$                             | $+0,6254 \sin [n.30 + 48 3]$                   | $+0,1254 \sin [n.45 + 355 0]$                  | $\alpha T_n = 0,0164$        |
| Nov.    | $T_n = 2,8887 + 1,2629 \sin [n.15 + 38 19]$                            | $+0,4467 \sin [n.30 + 46 18]$                  | $+0,1856 \sin [n.45 + 34 11]$                  | $\alpha T_n = 0,0506$        |
| Dec.    | $T_n = 0,2646 + 0,9120 \sin [n.15 + 46 38]$                            | $+0,4165 \sin [n.30 + 40 9]$                   | $+0,1854 \sin [n.45 + 34 35]$                  | $\alpha T_n = 0,0161$        |

Am 22<sup>ten</sup> und 23<sup>ten</sup> Jänner war nur noch eine Spur des Cometen durch das Fernrohr des Aequatorials zu sehen, daher die erhaltenen Positionen nur als eine rohe Annäherung zu betrachten sind. Die Ihnen in meinem letzten Schreiben mitgetheilten parabolischen Elemente des Cometen haben sich als gut bewährt, sie setzen mich in den Stand ihn so lange zu verfolgen. Ich habe neue Elemente aus den Beobachtungen von Nov. 29, Dec. 16 und 28 gerechnet; da sie jedoch wenig von den vorigen verschieden sind, so glaube ich sie hier übergehen zu dürfen. Ein bedeutender Fehler hat sich bei der Angabe der Position des Cometen vom 4<sup>ten</sup> Decbr, welche ich Ihnen in meinem Schreiben vom 11<sup>ten</sup> Dec. mittheilte, eingeschlichen, es soll nämlich heißen:

| 1840.  | M. Z. Kremsm.           | AR. adp. Com.           | Decl. adp. Com.      | Vgl. Sterne.        |
|--------|-------------------------|-------------------------|----------------------|---------------------|
| Dec. 4 | 16 <sup>h</sup> 5'11"96 | 23 <sup>h</sup> 2'16"03 | $+46^{\circ}7'22''1$ | $\alpha$ Cassiopei. |
|        |                         | 16,37                   |                      | $\delta$ Androm.    |

Im Sommer des verflossenen Jahres habe ich mehrjährige auf hiesiger Sternwarte gemachte Temperaturbeobachtungen zusammengestellt und daraus Resultate erhalten, die ich hier kurz mittheile. Der tägliche Gang der Wärme aus 7jährigen, täglich 8 bis 9mal gemachten Beobachtungen abgeleitet, wird durch folgende Ausdrücke in den einzelnen Monaten des Jahres dargestellt:



In diesen Ausdrücken bezeichnet  $T_n$  die der Stunde  $n$  des Tages entsprechende Temperatur in Grade Celsius, und  $\epsilon T_n$  den wahrscheinlichen Fehler von  $T_n$ . Folgende Tabelle der stündlichen Temperaturen ist nach den angeführten Ausdrücken berechnet.

| Stunde. | Januar. | Febr. | März. | April. | Mai.  | Junl. | Juli. | August. | Septbr. | Octbr. | Novbr. | Dechr. | Stunde. |
|---------|---------|-------|-------|--------|-------|-------|-------|---------|---------|--------|--------|--------|---------|
| 0       | -2°00   | 0°70  | 4°64  | 8°24   | 15°44 | 19°43 | 20°20 | 19°02   | 15°81   | 10°39  | 3°60   | 1°23   | 0       |
| 1       | 1°70    | 1°22  | 5°05  | 8°58   | 15°86 | 19°74 | 20°57 | 19°45   | 16°40   | 11°10  | 4°02   | 1°55   | 1       |
| 2       | 1°66    | 1°37  | 5°22  | 8°77   | 16°11 | 19°95 | 20°83 | 19°67   | 16°75   | 11°45  | 4°14   | 1°62   | 2       |
| 3       | 1°83    | 1°10  | 5°18  | 8°73   | 15°17 | 20°00 | 20°92 | 19°76   | 16°86   | 11°40  | 3°99   | 1°43   | 3       |
| 4       | 2°15    | 0°64  | 4°93  | 8°54   | 15°97 | 19°83 | 20°78 | 19°61   | 16°70   | 11°00  | 3°65   | 1°08   | 4       |
| 5       | 2°49    | 0°14  | 4°54  | 8°18   | 15°52 | 19°42 | 20°36 | 19°19   | 16°27   | 10°40  | 3°24   | 0°70   | 5       |
| 6       | 2°79    | -0°30 | 4°04  | 7°66   | 14°85 | 18°79 | 19°73 | 18°55   | 15°62   | 9°72   | 2°90   | 0°40   | 6       |
| 7       | 3°01    | -0°56 | 3°50  | 7°03   | 14°06 | 18°01 | 18°96 | 17°77   | 14°86   | 9°11   | 2°67   | 0°23   | 7       |
| 8       | 3°17    | -0°77 | 2°98  | 6°39   | 13°25 | 17°16 | 18°20 | 16°99   | 14°13   | 8°61   | 2°53   | 0°15   | 8       |
| 9       | 3°32    | -0°99 | 2°53  | 5°83   | 12°48 | 16°29 | 17°53 | 16°31   | 13°49   | 8°22   | 2°41   | 0°11   | 9       |
| 10      | 3°48    | -1°24 | 2°17  | 5°42   | 11°78 | 15°44 | 16°98 | 15°74   | 12°98   | 7°87   | 2°25   | 0°04   | 10      |
| 11      | 3°65    | -1°58 | 1°90  | 5°16   | 11°13 | 14°62 | 16°52 | 15°25   | 12°55   | 7°50   | 2°05   | -0°05  | 11      |
| 12      | 3°82    | -1°89 | 1°65  | 4°97   | 10°52 | 13°88 | 16°10 | 14°78   | 12°13   | 7°12   | 1°82   | -0°16  | 12      |
| 13      | 3°95    | -2°13 | 1°38  | 4°76   | 9°96  | 13°26 | 15°68 | 14°26   | 11°65   | 6°71   | 1°63   | -0°24  | 13      |
| 14      | 4°05    | -2°30 | 1°07  | 4°48   | 9°51  | 12°87 | 15°80 | 13°86   | 11°13   | 6°82   | 1°49   | -0°26  | 14      |
| 15      | 4°12    | -2°35 | 0°73  | 4°14   | 9°28  | 12°80 | 15°07 | 13°56   | 10°65   | 6°02   | 1°41   | -0°26  | 15      |
| 16      | 4°20    | -2°41 | 0°44  | 3°83   | 9°35  | 13°10 | 15°09 | 13°52   | 10°33   | 5°83   | 1°35   | -0°27  | 16      |
| 17      | 4°28    | -2°50 | 0°31  | 3°69   | 9°78  | 13°82 | 15°41 | 13°81   | 10°30   | 5°81   | 1°29   | -0°32  | 17      |
| 18      | 4°33    | -2°56 | 0°42  | 3°83   | 10°51 | 14°79 | 16°03 | 14°44   | 10°63   | 5°93   | 1°23   | -0°41  | 18      |
| 19      | 4°28    | -2°58 | 0°82  | 4°32   | 11°44 | 15°87 | 16°84 | 15°30   | 11°29   | 6°25   | 1°24   | -0°48  | 19      |
| 20      | 4°07    | -2°35 | 1°49  | 5°09   | 12°44 | 16°91 | 17°72 | 16°25   | 12°19   | 6°78   | 1°39   | -0°44  | 20      |
| 21      | 3°67    | -1°85 | 2°32  | 6°00   | 13°39 | 17°80 | 18°53 | 17°15   | 13°20   | 7°52   | 1°75   | -0°21  | 21      |
| 22      | 3°11    | -1°05 | 3°20  | 6°91   | 14°21 | 18°49 | 19°20 | 17°92   | 14°20   | 8°45   | 2°31   | -0°20  | 22      |
| 23      | 2°51    | -0°11 | 4°01  | 7°68   | 14°89 | 19°02 | 19°75 | 18°53   | 15°09   | 9°44   | 2°98   | +0°73  | 23      |
| Mittel. | -3°23   | -1°01 | 2°59  | 6°18   | 12°83 | 16°72 | 18°01 | 16°69   | 13°55   | 8°29   | 2°39   | 0°26   | Mittel. |

Die Zeiten des Maximums und Minimums und der mittleren Temperaturen geben folgende Ausdrücke:

Maximum:

$$H_n = 2^{\circ}3675 + 0,6410 \sin[30^{\circ}(n+\frac{1}{2}) + 257^{\circ}46'] + 0,1355 \sin[60^{\circ}(n+\frac{1}{2}) + 295^{\circ}7'] + 0,0403 \sin[90^{\circ}(n+\frac{1}{2}) + 74^{\circ}45'] \quad \epsilon H_n = 0,0407$$

Minimum:

$$H_n = 16^{\circ}8917 + 1,8771 \sin[30^{\circ}(n+\frac{1}{2}) + 89^{\circ}38'] + 0,0247 \sin[60^{\circ}(n+\frac{1}{2}) + 35^{\circ}19'] + 0,3854 \sin[90^{\circ}(n+\frac{1}{2}) + 161^{\circ}27'] \quad \epsilon H_n = 0$$

Mittlere Temperatur am Morgen:

$$H_n = 21^{\circ}2425 + 1,0264 \sin[30^{\circ}(n+\frac{1}{2}) + 98^{\circ}33'] + 0,2426 \sin[60^{\circ}(n+\frac{1}{2}) + 268^{\circ}26'] + 0,0569 \sin[90^{\circ}(n+\frac{1}{2}) + 205^{\circ}7'] \quad \epsilon H_n = 0,0960$$

Mittlere Temperatur am Abend:

$$H_n = 8^{\circ}4825 + 0,0950 \sin[30^{\circ}(n+\frac{1}{2}) + 254^{\circ}54'] + 0,4361 \sin[60^{\circ}(n+\frac{1}{2}) + 284^{\circ}5'] + 0,4733 \sin[90^{\circ}(n+\frac{1}{2}) + 314^{\circ}24'] \quad \epsilon H_n = 0,0061$$

Hier ist  $H_n$  die dem Monate  $n$  entsprechende Zeit des fraglichen Stadiums. Für die einzelnen Werthe hat man daher folgende Zeiten:

| Monat.  | Maximum. | Minimum. | Mittlere Temperatur<br>am Morgen. | am Abend. | Monat.  | Maximum. | Minimum. | Mittlere Temperatur<br>am Morgen. | am Abend. |
|---------|----------|----------|-----------------------------------|-----------|---------|----------|----------|-----------------------------------|-----------|
| Januar  | 1°68     | 18°56    | 21°91                             | 8°07      | Juli    | 2°99     | 15°27    | 20°15                             | 8°27      |
| Februar | 1.87     | 17.90    | 21.82                             | 8.98      | August  | 2.98     | 15.92    | 20.65                             | 8.20      |
| März    | 2.17     | 17.56    | 21.63                             | 8.85      | Septbr. | 2.83     | 16.22    | 21.27                             | 8.94      |
| April   | 2.50     | 16.74    | 21.06                             | 8.32      | Octbr.  | 2.39     | 17.00    | 21.84                             | 9.26      |
| Mai     | 2.69     | 15.38    | 20.36                             | 8.42      | Novbr.  | 1.93     | 18.36    | 22.14                             | 8.33      |
| Juni    | 2.78     | 14.74    | 19.99                             | 8.63      | Dechr.  | 1.68     | 19.05    | 22.08                             | 7.51      |

Der jährliche Gang der Wärme, wie ihn 20jährige Beobachtungen geben, wird durch folgende Formel dargestellt:

$$T_n = 7^{\circ}8642 + 10,5232 \sin[30^{\circ}(n+\frac{1}{2}) + 253^{\circ}24'] + 0,4621 \sin[60^{\circ}(n+\frac{1}{2}) + 250^{\circ}37'] + 0,4070 \sin[90^{\circ}(n+\frac{1}{2}) + 145^{\circ}37'] \quad \epsilon T_n = 0^{\circ}2466$$

$T_n$  ist hier die dem Monate  $n$  entsprechende mittlere Temperatur. Nach diesem Typus sind die mittleren Temperaturen der einzelnen Monate:

|        |       |       |       |             |       |       |      |                           |             |                      |
|--------|-------|-------|-------|-------------|-------|-------|------|---------------------------|-------------|----------------------|
| Januar | -3°18 | April | 8°42  | Juli        | 18°00 | Oct.  | 8°21 | Mittlere Jahrestemperatur | 7°838       | Mittlere Temperatur: |
| Febr.  | -1°95 | Mai   | 12,95 | Aug. 17,37  | Nov.  | 2,79  |      | Kältester Tag.....        | Januar 5,61 | März 26,85           |
| März   | 2,72  | Juni  | 16,13 | Sept. 13,60 | Dec.  | -1,00 |      | Wärmster Tag.....         | Juli 9,18   | Oct. 1,89            |

Die monatlichen Schwankungen der Temperatur endlich, wie sie ebenfalls aus 20jährigen Beobachtungen folgen, giebt folgender Ausdruck:

$$\Delta_n = 18^{\circ}613 + 1,6094 \sin[30^{\circ}(n+\frac{1}{2}) + 32^{\circ}15'] + 0,4617 \sin[60^{\circ}(n+\frac{1}{2}) + 34^{\circ}22'] + 0,2735 \sin[90^{\circ}(n+\frac{1}{2}) + 35^{\circ}53'] \quad \epsilon \Delta_n = 0^{\circ}0308$$

Hier bezeichnet  $\Delta_n$  die dem Monate  $n$  entsprechende Schwankung. Für die einzelnen Monate hat man daher die Schwankungen:

|                          |                        |                       |                       |                          |                         |
|--------------------------|------------------------|-----------------------|-----------------------|--------------------------|-------------------------|
| Januar 20 <sup>14</sup>  | März 20 <sup>20</sup>  | Mai 18 <sup>85</sup>  | Juli 17 <sup>23</sup> | Septbr. 17 <sup>66</sup> | Novbr. 17 <sup>59</sup> |
| Februar 20 <sup>61</sup> | April 19 <sup>59</sup> | Juni 17 <sup>86</sup> | Aug. 17 <sup>39</sup> | Octbr. 17 <sup>49</sup>  | Dechr. 18 <sup>73</sup> |

Beiliegend erhalten Sie auch die 1839 am hiesigen Meridiankreise gemachten Mond- und Planetenbeobachtungen, welche größtentheils von Herrn *Reshuber* berechnet wurden.

*M. Koller.*

## Beobachtungen am Meridiankreise der Sternwarte zu Kressmünster im Jahre 1839.

### I. Beobachtungen des Mondes sammt ihrer Vergleichung mit *Burckhardt's* Tafeln mittelst der von Herrn Conferenzrath *Schumacher* berechneten Mondphemeride. (Astr. Nachr. Nr. 372.)

|                 | AR. des Mondes im Meridian. | Vergleich. mit der Eph. $\Delta x = (\text{Ephem.} - x)$ | Decl. des Mondescentrums im Meridian. | Vergleich. mit der Eph. $\Delta \delta = (\text{Ephem.} - \delta)$ |
|-----------------|-----------------------------|--|---------------------------------------|--|
| 1839 Januar 27. | $\alpha = 7^h 14' 47''.53$  | $\Delta x = +0''.75$                                     | $\delta = +27^\circ 12' 35''.90$      | $\Delta \delta = -17''.40$   |
| — 28.           | 8 12 47,64                  | + 0,61   | + 24 18 21,00                         | + 3,70   |
| März 31.        | 13 52 25,60                 | - 0,11   | - 14 54 2,80                          | - 9,20   |
| April 23.       | 10 43 15,78                 | + 0,42   | + 9 39 6,00                           | - 5,30   |
| Juli 21.        | 15 59 50,87                 | + 0,56   | - 25 40 7,00                          | - 0,60   |
| — 22.           | 16 56 45,97                 | - 0,06   | - 27 47 45,60                         | + 0,10   |
| Sept. 17.       | 19 0 11,63                  | - 0,24   | - 27 27 22,00                         | + 7,10   |
| Oct. 15.        | 19 33 44,83                 | + 0,03   | - 25 59 13,59                         | + 14,71  |
| — 16.           | 20 29 38,16                 | + 0,52   | - 22 32 32,99                         | + 11,34  |
| — 17.           | 21 24 3,36                  | + 0,21   | - 17 47 49,97                         | + 9,69   |
| — 18.           | 22 17 11,87                 | + 0,21   | - 11 57 24,58                         | + 14,78  |
| — 19.           | 23 9 48,67                  | + 0,12   | - 5 16 52,75                          | + 12,73  |
| — 20.           | 0 3 0,94                    | + 0,04   | + 1 53 47,09                          | + 5,72   |
| — 21.           | 0 58 8,16                   | + 0,43   | + 9 9 15,62                           | + 4,11   |
| Nov. 18.        | 1 24 14,60                  | + 0,94   | + 12 25 51,58                         | + 7,66   |
| Dec. 15.        | 0 58 23,33                  | + 0,84   | + 25 42 10,64                         | + 6,69   |
| — 18.           |                             |  |                                       |  |

### II. Beobachtungen der Mondsterne.

|            |                     | AR.                       | Fädenzahl. |           |                      | AR.                        | Fädenzahl. |
|------------|---------------------|---------------------------|------------|-----------|----------------------|----------------------------|------------|
| Januar 27. | $\alpha$ Geminorum  | $\alpha = 6^h 34' 3''.19$ | 5          | Sept. 17. | $\lambda$ Sagittarii | $\alpha = 18^h 18' 5''.28$ | 5          |
|            | $\gamma$ Geminorum  | 7 0 55,18                 | 5          |           | $\sigma$ Sagittarii  | 18 45 20,57                | 5          |
|            | Mond I Rand         | 7 13 34,70                | 5          |           | Mond I Rand          | 18 59 0,05                 | 5          |
|            | $\chi$ Geminorum    | 7 34 45,03                | 5          |           | $h^*$ Sagittarii     | 19 26 58,01                | 5          |
|            | $\sigma$ Cancri     | 7 53 88,97                | 5          |           | 59 Sagittarii        | 19 47 7,31                 | 5          |
| — 28.      | $\alpha$ Geminorum  | 7 34 45,05                | 5          | Oct. 15.  | $\gamma$ Sagittarii  | 18 56 56,08                | 5          |
|            | $\sigma$ Cancri     | 7 53 38,90                | 5          |           | $h^*$ Sagittarii     | 19 26 57,29                | 5          |
|            | Mond I Rand         | 8 11 37,41                | 5          |           | Mond I Rand          | 19 32 34,47                | 5          |
|            | $\delta$ Cancri     | 8 35 33,54                | 5          |           | $\sigma$ Sagittarii  | 19 52 46,34                | 5          |
| März 31.   | $\alpha$ Virginis   | 13 16 45,04               | 5          | — 16.     | $\sigma$ Capricorni  | 20 10 9,08                 | 5          |
|            | $\delta$ Virginis   | 13 37 24,16               | 5          |           | $\sigma$ Sagittarii  | 19 52 46,42                | 5          |
|            | Mond II Rand        | 13 53 28,42               | 4          |           | $\sigma$ Capricorni  | 20 10 9,03                 | 3          |
|            | $\lambda$ Virginis  | 14 10 26,33               | 5          |           | Mond I Rand          | 20 28 28,72                | 5          |
| April 23.  | $\gamma$ Leonis     | 10 11 7,76                | 5          |           | $\eta$ Capricorni    | 20 55 17,72                | 5          |
|            | $\rho$ Leonis       | 10 24 21,82               | 5          |           | $\sigma$ Capricorni  | 21 6 53,29                 | 5          |
|            | Mond I Rand         | 10 42 23,43               | 5          | — 17.     | $\eta$ Capricorni    | 20 55 17,83                | 5          |
|            | $\chi$ Leonis       | 10 56 44,39               | 5          |           | $\sigma$ Capricorni  | 21 6 53,49                 | 5          |
|            | $\tau$ Leonis       | 11 19 41,34               | 5          |           | Mond I Rand          | 21 22 54,92                | 5          |
| Juli 22.   | $\alpha$ Scorpionis | 16 19 35,79               | 5          |           | $\delta$ Capricorni  | 21 38 12,46                | 5          |
|            | $\gamma$ Scorpionis | 16 25 55,33               | 5          |           | $i$ Aquarii          | 21 57 47,79                | 5          |
|            | Mond I Rand         | 16 54 35,18               | 5          | — 18.     | $\delta$ Capricorni  | 21 38 12,48                | 5          |
|            | $\phi$ Ophiuchi     | 17 12 11,01               | 5          |           | $i$ Aquarii          | 21 57 47,63                | 5          |
|            | $p$ Sagittarii      | 17 37 29,42               | 5          |           | Mond I Rand          | 22 16 41,5                 | 5          |
|            |                     |                           |            |           | $\lambda$ Aquarii    | 22 44 16,54                | 5          |

|          |                   | AR.                         | Fädensabl. |
|----------|-------------------|-----------------------------|------------|
| Oct. 19. | $\lambda$ Aquarii | $\alpha = 22^h 44' 16'' 40$ | 5          |
|          | Mond I Rand       | 23 8 41,03                  | 5          |
|          | $\lambda$ Piscium | 23 33 53,73                 | 5          |
|          | $\gamma$ Piscium  | 23 33 38,28                 | 5          |
| — 20.    | $\lambda$ Piscium | 23 33 53,78                 | 5          |
|          | $\gamma$ Piscium  | 23 33 38,33                 | 5          |
|          | Mond I Rand       | 0 1 52,54                   | 5          |
|          | $\delta$ Piscium  | 0 40 24,11                  | 5          |
| — 21.    | $\delta$ Piscium  | 0 40 23,95                  | 5          |
|          | Mond I Rand       | 0 56 58,09                  | 5          |

|          |                   | AR.               | Fädensabl. |
|----------|-------------------|-------------------|------------|
| Oct. 21. | $\gamma$ Piscium  | $1^h 22' 56'' 72$ | 5          |
|          | $\beta$ Arietis   | 1 45 49,43        | 5          |
| Nov. 18. | $\alpha$ Piscium  | 0 54 39,47        | 5          |
|          | Mond I Rand       | 1 23 4,01         | 6          |
|          | $\beta$ Arietis   | 1 45 49,64        | 5          |
|          | $\delta'$ Arietis | 2 9 15,32         | 5          |
| Dec. 15. | Mond I Rand       | 0 57 15,15        | 1          |
|          | $\gamma$ Piscium  | 1 22 57,26        | 5          |
|          | $\alpha$ Piscium  | 1 36 58,65        | 5          |

## III. Beobachtungen der Planeten sammt ihrer Vergleichung mit der Berliner Ephemeride.

## Beobachtungen des Mars.

|           | M. Z. in Kremm.   | AR.                         | $d\alpha = (\text{Eph.} - \alpha)$ | Decl.                          | $dd = (\text{Eph.} - \delta)$ |
|-----------|-------------------|-----------------------------|------------------------------------|--------------------------------|-------------------------------|
| März 24.  | $11^h 8' 11'' 34$ | $\alpha = 11^h 14' 57'' 99$ | $d\alpha = -0'' 20$                | $\delta = +8^\circ 43' 2'' 53$ | $dd = -0'' 07$                |
| April 16. | 9 17 34,51        | 10 54 43,75                 | + 0,17                             | 9 47 19,50                     | + 0,03                        |
| — 23.     | 6 48 49,14        |                             |                                    | 9 35 22,50                     | - 5,66                        |
| — 30.     | 8 22 18,04        | 10 54 29,95                 | - 0,15                             | 9 10 20,44                     | - 5,66                        |
| May 10.   | 7 47 54,45        | 10 59 26,27                 | - 0,42                             | 8 14 59,47                     | - 1,94                        |
| — 14.     | 7 35 9,65         | 11 2 25,63                  | - 0,08                             | 7 47 15,42                     | - 6,79                        |

## Beobachtungen des Jupiters.

| März 24.  | 12 51 9,63  | 12 58 13,21 | - 1,04 | - 4 29 39,85 | + 1,60 |
|-----------|-------------|-------------|--------|--------------|--------|
| — 31.     | 12 20 23,40 | 12 54 57,78 | - 0,52 | 4 9 0,93     | + 1,44 |
| April 16. | 11 10 0,87  | 12 47 28,84 | - 0,59 | 3 22 27,79   | + 3,75 |
| — 23.     | 10 39 29,20 | 12 44 26,77 | - 0,71 | 3 3 59,50    | + 2,01 |
| — 30.     | 10 9 12,37  | 12 41 41,85 | - 0,70 | 2 47 35,74   | + 0,38 |
| May 8.    | 9 35 4,02   | 12 39 0,84  | - 0,40 | 2 32 3,10    | + 0,65 |
| — 10.     | 9 26 37,19  | 12 38 25,23 | - 0,39 | 2 28 45,02   | + 0,14 |
| — 14.     | 9 9 50,33   | 12 37 21,86 | - 0,35 | 2 22 55,62   | - 0,42 |
| Juni 7.   | 7 32 39,67  | 12 34 32,62 | - 0,40 | 2 11 17,87   | - 2,64 |

## Beobachtungen der Pallas.

| März 24.  | 13 10 9,38  | 13 17 16,07 | + 2,54 | + 11 57 7,83 | - 8,92 |
|-----------|-------------|-------------|--------|--------------|--------|
| — 31.     | 12 37 43,10 | 13 12 20,33 | + 2,91 | 14 20 21,05  | - 3,74 |
| April 16. | 11 23 8,55  | 13 0 38,40  | + 3,11 | 18 49 29,85  | - 6,72 |
| — 23.     | 10 51 10,21 | 12 56 10,70 |        | 20 14 30,81  |        |

## Beobachtungen der Ceres.

| März 24.  | 13 27 6,60  | 13 34 16,07 | - 2,46 | + 6 58 38,82 | + 23,42 |
|-----------|-------------|-------------|--------|--------------|---------|
| — 31.     | 12 54 8,18  | 13 28 48,12 | - 2,20 | 7 30 33,24   | + 25,11 |
| April 16. | 11 37 29,75 | 13 15 1,96  | - 1,86 | 8 19 19,68   | + 22,32 |
| — 23.     | 11 4 14,93  | 13 9 17,57  |        | 8 25 52,05   |         |

## Beobachtungen des Saturns.

| Juni 7. | 11 16 45,35 | 16 19 15,11 | - 0,56 | - 19 27 20,91 | - 20,85 |
|---------|-------------|-------------|--------|---------------|---------|
| — 8.    | 11 12 31,29 | 16 18 56,92 | - 0,49 | 19 25 43,93   | - 19,72 |
| — 9.    | 11 8 17,42  | 16 18 38,90 | - 0,50 | 19 26 16,21   | - 9,66  |
| — 11.   | 10 59 50,10 | 16 18 3,32  | - 0,63 | 19 24 58,79   | - 12,65 |
| — 14.   | 10 47 9,91  | 16 17 10,72 | - 0,64 | 19 23 7,19    | - 15,76 |
| — 15.   | 10 42 56,64 | 16 16 53,32 | - 0,48 | 19 22 32,92   | - 14,79 |
| — 20.   | 10 21 54,22 |             |        | 19 19 46,80   | - 12,84 |
| Juli 5. | 9 19 18,58  | 16 11 52,69 | - 0,52 | 19 18 10,27   | - 6,31  |
| — 7.    | 9 11 2,39   | 16 11 28,26 | - 0,39 | 19 12 20,82   | - 13,60 |
| — 8.    | 9 6 55,06   | 16 11 16,81 | - 0,63 | 19 12 0,61    | - 14,94 |
| — 11.   | 8 54 34,17  | 16 10 43,56 | - 0,48 | 19 11 10,35   | - 14,22 |
| — 12.   | 8 50 28,05  | 16 10 33,33 | - 0,68 | 19 10 53,34   | - 17,16 |
| — 17.   | 8 30 1,74   | 16 9 46,45  | - 0,55 | 19 9 54,59    | - 13,93 |
| — 20.   | 8 17 50,42  | 16 9 22,81  | - 0,69 | 19 9 30,21    | - 14,10 |
| — 21.   | 8 13 47,27  | 16 9 15,55  | - 0,63 | 19 9 24,32    | - 13,90 |
| — 22.   | 8 9 44,51   | 16 9 8,69   | - 0,59 | 19 9 22,19    | - 11,10 |
| — 23.   | 8 5 41,88   | 16 9 1,95   | - 0,31 | 19 9 18,37    | - 10,93 |
| — 26.   | 7 53 37,28  | 16 8 45,04  | - 0,49 | 19 9 9,90     | - 14,20 |

|       |     | Beobachtungen des Uranus.             |                                  |                             |                                   |                             |
|-------|-----|---------------------------------------|----------------------------------|-----------------------------|-----------------------------------|-----------------------------|
|       |     | M. Z. in Kremm.                       | AR.                              | $d\alpha = (Eph. - \alpha)$ | Decl.                             | $d\delta = (Eph. - \delta)$ |
| Sept. | 7.  | 11 <sup>h</sup> 58 32 <sup>m</sup> 98 | $\alpha = 23^{\circ} 3' 53'' 39$ | $d\alpha = +4.97$           | $\delta = -6^{\circ} 55' 17'' 31$ | $d\delta = +23.69$          |
|       | 9.  | 11 50 23,41                           | 23 3 35,43                       | +5,13                       | 6 55 3,82                         | +19,35                      |
|       | 10. | 11 46 18,59                           | 23 3 26,57                       | +5,10                       | 6 56 2,57                         | +22,82                      |
|       | 12. | 11 38 9,50                            | 23 3 8,87                        | +5,05                       | 6 57 53,36                        | +23,46                      |
|       | 17. | 11 17 45,72                           | 23 2 24,42                       | +5,50                       | 7 2 24,98                         | +23,24                      |
|       | 23. | 10 53 19,43                           | 23 1 33,43                       | +4,92                       | 7 7 42,11                         | +23,95                      |
|       | 25. | 10 45 10,79                           | 23 1 16,58                       | +5,01                       | 7 9 22,80                         | +22,21                      |
|       | 26. | 10 41 6,52                            | 23 1 8,19                        | +5,12                       | 7 10 11,61                        | +20,49                      |
| Oct.  | 10. | 9 44 16,75                            | 22 59 20,84                      | +5,08                       | 7 20 59,65                        | +20,60                      |
|       | 11. | 9 40 14,12                            | 22 59 14,10                      | +4,90                       | 7 21 39,42                        | +19,13                      |
|       | 13. | 9 32 8,64                             | 22 59 0,40                       | +5,13                       | 7 22 57,02                        | +16,68                      |
|       | 14. | 9 28 6,24                             | 22 58 53,90                      | +5,07                       | 7 23 43,60                        | +24,62                      |
|       | 15. | 9 24 4,22                             | 22 58 47,77                      | +4,78                       | 7 24 24,41                        | +27,21                      |
|       | 16. | 9 20 1,88                             | 22 58 41,31                      | +4,84                       | 7 24 57,07                        | +22,71                      |
|       | 17. | 9 15 59,86                            | 22 58 35,20                      | +4,89                       | 7 25 35,07                        | +24,42                      |
|       | 18. | 9 11 57,62                            | 22 58 28,83                      | +4,23                       | 7 26 6,89                         | +20,80                      |
|       | 19. | 9 7 56,09                             | 22 58 23,20                      | +4,97                       | 7 26 45,47                        | +24,88                      |
|       | 20. | 9 3 54,42                             | 22 58 17,42                      | +5,01                       | 7 27 15,66                        | +21,43                      |
|       | 21. | 8 59 52,85                            | 22 58 11,74                      | +5,06                       | 7 27 47,48                        | +20,53                      |
| Nov.  | 8.  | 7 47 52,39                            | 22 56 57,44                      | +5,04                       | 7 34 41,07                        | +15,59                      |
|       | 9.  | 7 43 53,98                            | 22 56 54,94                      | +5,02                       | 7 35 2,04                         | +23,48                      |
|       | 11. | 7 35 57,94                            | 22 56 50,71                      | +4,76                       | 7 35 22,13                        | +20,86                      |

|       |     | Beobachtungen der Juno. |            |        |            |        |
|-------|-----|-------------------------|------------|--------|------------|--------|
| Sept. | 26. | 13 14 19,11             | 1 34 45,95 | + 5,38 | 0 6 20,28  | +26,85 |
| Oct.  | 10. | 12 11 52,03             | 1 27 20,86 | + 5,99 | 3 18 46,51 | +20,41 |
|       | 11. | 12 7 18,56              | 1 26 42,70 | + 5,96 | 3 32 7,70  | +16,02 |
|       | 13. | 11 58 10,27             | 1 25 26,02 | + 6,19 | 3 58 34,53 | +15,51 |
|       | 14. | 11 53 36,11             | 1 24 47,66 | + 5,93 | 4 11 38,18 | +19,30 |
|       | 15. | 11 49 1,59              | 1 24 8,94  | + 5,87 | 4 24 28,01 | +19,63 |
|       | 16. | 11 44 26,83             | 1 23 29,98 | + 6,01 | 4 37 4,51  | +17,95 |
|       | 17. | 11 39 52,35             | 1 22 51,30 | + 5,86 | 4 49 29,52 | +16,78 |
|       | 18. | 11 35 17,78             | 1 22 12,54 | + 5,89 | 5 1 40,83  | +14,80 |
|       | 19. | 11 30 43,30             | 1 21 33,85 | + 6,01 | 5 13 37,19 | +11,58 |
|       | 20. | 11 26 9,29              | 1 20 55,66 | + 5,88 | 5 25 19,04 | + 8,14 |
|       | 21. | 11 21 35,57             | 1 20 17,74 | + 5,81 | 5 36 49,16 | + 8,13 |

Reslhuber.

## Verbesserungen in Nr. 415.

|                                   |                                     |  |
|-----------------------------------|-------------------------------------|--|
| S. 97. Z. 7 v. u. ....            | statt Linse. ....                   | lese man Linien.                             |
| —100. — 3 — .....                 | $\frac{1}{a_{1-2}} + a_{1-2}$ ..... | $\frac{1}{a_{1-2} + a_{1-2}}$                |
| —100. — 13 u. 14 2mal. ....       | $n_{1-1}$ .....                     | $n_1 - 1$                                    |
| —100. — 6 v. u. ....              | $n_{1-1} - 1$ .....                 | $n_{1-1}$                                    |
| —101. 3tes Glied des Kettenbruchs | $\frac{n-1}{r_1}$ .....             | $\frac{n_{1-1}}{r_1}$                        |
| 4tes Glied des Kettenbruchs       | $\frac{a_{1-1}}{c_{1-1}}$ .....     | $\frac{a_{1-1}}{c_{1-1}}$                    |
| Z. 4 des Textes. ....             | die Glieder. ....                   | drei Glieder.                                |
| —105. — 1. ....                   | C. ....                             | $\sigma$                                     |
| — 5. ....                         | x. ....                             | $\frac{\sigma}{x}$                           |
| — 7. ....                         | x. ....                             | $\frac{\sigma}{x}$                           |
| —10. ....                         | $-(2,4i+3)+1-(4i3,2)+1$             | $-(2,4i+3)+1 = \frac{-(4i+3,2)+1}{(4i+3,1)}$ |
| Ausdruck von $f-c$ . ....         | $\frac{(1,4i+3)}{(4i+2,2)}$ .....   | $\frac{(1,4i+3)}{(4i+3,2)}$                  |
|                                   | $\frac{(4i+3,1)}{(4i+3,1)}$ .....   | $\frac{(4i+3,1)}{(4i+3,1)}$                  |

(Hiebei eine Beilage.)

# B E I L A G E

ZU

## Nr. 420. DER ASTRONOMISCHEN NACHRICHTEN.

Schreiben des Herrn *Rümcker*, Directors der Hamburger Sternwarte, an den Herausgeber.

Ich übersende Ihnen hiemit meine Beobachtungen des letzten von Herrn Dr. *Bremicker* entdeckten Cometen.

| 1840.    | M. Hamb. Z.              | Scheinb. AR.<br>des Cometen. | Scheinb. Decl.<br>des Cometen. | Zahl d.<br>Beob. |
|----------|--------------------------|------------------------------|--------------------------------|------------------|
| Oct. 31. | 8 <sup>h</sup> 22' 0" 08 | 19° 0' 39" 467               | 60° 55' 28" 69                 | 12               |
| Nov. 1.  | 6 52 26,82               | 19 5 43,214                  | 60 54 31,48                    | 5                |
| 2.       | 10 28 10,86              | 19 12 4,756                  | 60 52 7,84                     | 2                |
| 3.       | 5 50 5,24                | 19 16 42,267                 | 60 51 11,78                    | 2                |
|          | 7 15 19,82               | 19 17 2,979                  | 60 50 33,74                    | 11               |
| 4.       | 13 20 2,14               | 19 24 28,450                 | 60 46 31,34                    | 7                |
| 5.       | 6 57 8,31                | 19 28 56,872                 | 60 43 16,11                    | 7                |
| 9.       | 8 21 27,13               | 19 56 59,328                 | 60 21 30,63                    | 2                |
| 11.      | 6 55 59,20               | 20 8 40,337                  | 60 0 48,52                     | 9                |
| 12.      | 6 27 11,41               | 20 15 41,102                 | 59 50 3,76                     | 13               |
| 13.      | 8 5 4,80                 | 20 23 26,385                 | 59 36 5,27                     | 1                |
| 14.      | 9 29 42,97               | 20 31 14,402                 | 59 21 16,39                    | 10               |
| 15.      | 6 41 14,84               | 20 37 50,215                 | 59 7 7,50                      | 16               |
| 18.      | 6 34 54,83               | 21 0 40,717                  | 58 9 58,25                     | 12               |
| 19.      | 6 48 36,13               | 21 8 29,169                  | 57 47 16,72                    | 12               |
| 20.      | 7 46 50,1                | 21 8 51,280                  | 57 46 27,32                    | x                |
| 20.      | 6 25 23,65               | 21 16 5,285                  | 57 23 14,93                    | 11               |
| 24.      | 6 44 42,53               | 21 47 13,882                 | 55 26 0,50                     | 16               |
| 25.      | 6 25 2,60                | 21 54 47,306                 | 54 52 15,69                    | 4                |
|          | 13 41 46,60              | 21 57 7,628                  | 54 42 19,72                    | 2                |
| 26.      | 7 9 17,20                | 22 2 38,673                  | 54 15 27,30                    | 9                |
| 29.      | 7 33 59,12               | 22 25 6,281                  | 52 15 46,65                    | 11               |
| Dec. 2.  | 9 11 4,79                | 22 46 56,829                 | 49 58 3,17                     | 13               |
| 3.       | 7 7 2,82                 | 22 53 12,672                 | 49 13 42,05                    | 9                |
|          | 8 49 21,41               | 22 53 42,254                 | 49 10 52,41                    | 5                |
| 6.       | 6 56 47,26               | 23 12 59,640                 | 46 43 49,08                    | 2                |
| 13.      | 7 42 40,03               | 23 54 19,495                 | 40 19 3,31                     | 12               |
| 14.      | 7 0 57,17                | 23 59 29,359                 | 39 24 18,24                    | 17               |
| 15.      | 6 17 45,63               | 0 2 52,297                   | 38 29 7,03                     | 2                |
| 16.      | 8 50 43,24               | 0 10 6,085                   | 37 27 56,16                    | 15               |
| 18.      | 7 34 23,16               | 0 19 31,004                  | 35 39 31,85                    | 13               |
| 19.      | 8 47 55,90               | 0 24 25,594                  | 34 41 26,54                    | 7                |
| 21.      | 8 2 41,39                | 0 33 15,525                  | 32 54 42,36                    | 12               |
| 23.      | 7 58 57,91               | 0 41 47,577                  | 31 8 36,52                     | 13               |
| 25.      | 7 42 23,08               | 0 49 52,085                  | 29 26 8,12                     | 13               |
|          | 10 34 11,99              | 0 50 21,596                  | 29 20 56,22                    | 1                |
| 26.      | 8 8 10,01                | 0 53 51,430                  | 28 34 51,10                    | 11               |
| 27.      | 9 31 19,89               | 0 57 55,621                  | 27 43 41,96                    | 6                |

Scheinbare Positionen der verglichenen Sterne.

| 1840.    | Gräße. | Scheinb. AR.    | Scheinb. Decl. |
|----------|--------|-----------------|----------------|
| Oct. 31. | 8      | 18° 58' 10" 899 | 60° 45' 11" 58 |
|          | 7      | 18 58 17,646    | 61 11 46,88    |
|          | 8      | 18 59 8,812     | 60 39 6,22     |
|          | 9      | 19 1 13,454     | 60 49 56,01    |
|          | 7      | 19 5 6,329      | 61 8 6,45      |

| 1840.   | Gräße. | Scheinb. AR.  | Scheinb. Decl. |
|---------|--------|---------------|----------------|
| Nov. 1. | 7      | 19° 5' 6" 326 | 61° 3' 6" 34   |
|         |        | 19 6 11,577   | 60 48 51,45    |
| — 2.    |        | 19 9 32,286   | 60 49 20,510   |
|         |        | (19 10 59     | 60 51 47)      |
|         |        | 19 14 35      | 60 46 9        |
|         | 7      | 19 16 4,405   | 60 40 10,165   |
| — 3.    |        | 19 16 8,365   | 60 40 10,06    |
|         |        | 19 21 29,752  | 60 47 25,83    |
|         |        | 19 21 56,899  | 60 53 35,17    |
| — 4.    |        | 19 21 56,858  | 60 53 35,07    |
| — 5.    | 8      | 19 29 25,158  | 60 31 47,42    |
| — 9.    | 6.7    | 19 57 16,703  | 60 25 25,86    |
| — 11.   | 7      | 20 6 38,654   | 59 56 10,36    |
|         | 6      | 20 10 30,480  | 60 9 33,59     |
| — 12.   | dup.   | 20 14 34,608  | 59 48 58,39    |
|         |        | 20 15 53,637  | 60 7 21,78     |
|         |        | 20 17 35,019  | 59 55 21,19    |
| — 13.   |        | 20 22 1,973   | 59 29 47,81    |
|         |        | 20 22 39,060  | 59 39 37,62    |
| — 14.   | 6      | 20 28 31,775  | 59 31 35,14    |
| — 15.   | dup.   | (20 32 43     | 59 6 46)       |
|         |        | 20 35 58      | 59 2 27)       |
|         |        | 20 36 22,382  | 59 8 40,14     |
|         |        | (20 38 38     | 59 11 54)      |
| — 18.   |        | 21 0 29,538   | 57 53 30,437   |
| — 19.   | dup.   | 21 7 25,289   | 57 48 50,74    |
|         |        | 21 8 51,280   | 57 46 27,32    |
|         |        | 21 9 42,909   | 57 38 42,44    |
| — 20.   |        | 21 14 56,768  | 57 39 31,47    |
|         |        | 21 20 24,483  | 57 23 59,90    |
| — 24.   |        | 21 46 37,255  | 55 3 3,96      |
|         |        | 21 46 37,967  | 55 3 21,91     |
|         |        | 21 47 45,126  | 55 28 9,97     |
| — 25.   |        | 21 54 38,016  | 54 51 46,88    |
|         |        | 21 54 42,753  | 54 49 36,49    |
|         |        | (21 55 37     | 54 37 10)      |
| — 26.   |        | 21 57 39,669  | 54 7 0,36      |
|         |        | 22 0 35,629   | 54 28 42,71    |
|         |        | 22 2 16,011   | 54 10 25,70    |
| — 29.   | dup.   | 22 21 82,514  | 52 9 48,14     |
|         |        | 22 21 54,911  | 52 28 3,28     |
|         |        | 22 23 0,529   | 52 13 6,27     |
|         |        | 22 25 41,762  | 52 13 10,21    |
|         |        | 22 26 1,553   | 52 24 37,32    |
| Dec. 1. |        | 22 36 39,835  | 50 39 9,49     |
|         |        | 22 37 37,168  | 50 37 5,50     |
|         |        | 22 43 17,253  | 50 50 17,99    |
|         |        | 22 44 7,551   | 50 46 84,74    |

| 1840.   | Größe. | Scheinb. AR.                | Scheinb. Decl.  |
|---------|--------|-----------------------------|-----------------|
| Dec. 2. | 6      | 22 <sup>h</sup> 43' 21" 427 | 49° 50' 26" 485 |
|         |        | 22 45 47,286                | 49 51 59,98     |
|         |        | 22 47 55,465                | 50 7 23,41      |
|         |        | 22 48 3,95                  | 50 9            |
| — 3.    |        | 22 51 36,829                | 49 0 28,60      |
|         |        | 22 53 39,721                | 49 6 32,38      |
|         |        | 22 55 0,337                 | 49 21 12,94     |
| — 6.    | 5.6    | 22 57 3,495                 | 49 11 37,42     |
|         |        | 23 14 11,387                | 46 29 7,76      |
|         |        | 23 15 27,533                | 46 44 59,41     |
| — 13.   |        | 23 51 3,255                 | 40 19 12,97     |
| — 14.   |        | 23 57 54,519                | 39 32 14,47     |
|         |        | 23 59 25,819                | 39 11 58,44     |
|         |        | 23 59 27,374                | 39 16 6,29      |
|         | 9      | 0 0 1,994                   | 39 21 46        |
| — 15.   |        | 0 2 47,769                  | 38 22 48,36     |
| — 16.   |        | 0 7 41,561                  | 37 52 45,64     |
|         | 6      | 0 8 48,432                  | 37 48 10,51     |
|         | 7      | 0 11 42,649                 | 37 21 37,65     |
|         |        | 0 13 13,822                 | 37 18           |
| — 18.   |        | 0 17 14,844                 | 35 36 25,45     |
|         |        | 0 20 31,487                 | 36 1 25,84      |
|         |        | (0 24 52                    | 35 43 45)       |
| — 19.   | 8      | 0 23 39,498                 | 34 45 9,06      |
|         |        | 0 23 57,754                 | 34 35 26,17     |
|         | 6      | 0 27 1,679                  | 34 47 9,81      |
|         | 6      | 0 28 51,765                 | 34 31 40,78     |
| — 21.   | 5.6    | 0 28 24,733                 | 32 50 52,27     |
|         | 7.8    | 0 33 18,095                 | 32 59 45,00     |
|         |        | (0 33 5                     | 32 54 32)       |
|         | 7      | 0 35 50,423                 | 32 45 4,23      |

| 1840. | Größe. | Scheinb. AR. | Scheinb. Decl. |
|-------|--------|--------------|----------------|
| — 23. |        | 0 41 44,185  | 31 11 49,30    |
|       |        | 0 42 16,459  | 31 11 18,282   |
|       |        | 0 43 16,0    | 31 8 21,67     |
| — 25. |        | 0 47 51,505  | 29 24 24,49    |
|       |        | 0 49 22,644  | 29 27 41,69    |
|       |        | 0 52 53,437  | 29 26 51,53    |
|       |        | 0 53 34,907  | 29 18 35,30    |
|       | 7      | 0 58 21,937  | 29 23 6,65     |
| — 26. |        | 0 55 2,506   | 28 38 55,58    |
|       | 6      | 0 55 47,528  | 28 48 48,55    |
| — 27. |        | 0 57 34,699  | 27 39 18,78    |
|       |        | 0 58 30,345  | 27 41 12,57    |

Am 19<sup>ten</sup> November um 7<sup>h</sup> 46' 50" wurde ein Stern vom Cometen bedeckt, woraus ist mit einem x bezeichnete Position des Cometen an diesem Tage abgeleitet ist.

Die Ableitung der Positionen des Cometen aus den verglichenen Sternörter ist größtentheils von dem Herrn Funk besorgt.

Die Beobachtungen am 13<sup>ten</sup> November, 6<sup>ten</sup> und 15<sup>ten</sup> December sind unter ungünstigen Umständen angestellt.

Die scheinbaren Oerter der verglichenen Sterne sind für die Vergleichungstage mit dem Cometen angegeben.

Die nur zu vollen Secunden angegebenen ohngefähren Sternpositionen sind nur zur Identification der anderen beigefügt.

C. Rümker.

### Urban Jürgensens Werk über die höhere Uhrmacherkunst.

Die früher in Nr. 396 und 405 dieses Journals angekündigte deutsche Ausgabe des Werkes meines seligen Vaters: „Regeln für die genaue Abmessung der Zeit durch Uhren, oder Anweisung zur Verfertigung astronomischer, nautischer und anderer genauen Uhren.“ ist unter der Presse, und erscheint nach 8—9 Wochen mit einem Atlas von 23 Tafeln.

Das Werk ist mit mehreren Zusätzen versehen, unter denen die Beschreibung der Kunst, die harten Steine zu durchbohren, und sie zum Gebrauche in Chronometern und astronomischen Uh-

ren zuzuschleifen, welche Beschreibung, von Zeichnungen begleitet, hoffentlich so wohlkommener sein wird, da früher über diesen Theil der Uhrmacherkunst, so viel bekannt, nicht geschrieben worden ist.

Die Subscriptionsplane zu diesem Werke bittet man spätestens vor medio Mai an Unterzeichneten einzusenden, da alsdann der Subscriptionspreis, 3 Species (4 Thlr. 12 gr. Pr. Ct.) aufhört, und der Ladenpreis 4 Spec. (6 Thlr. Pr. Ct.) eintritt.

Kopenhagen, den 8<sup>ten</sup> März 1841.

Louis Urban Jürgensen.

### Verbesserung in Nr. 418.

pag. 152. Z. 3 v. a. statt: ich ergebende Sonnendurchmessers lese man: sich ergebende Sonnendurchmesser.

### Inhalt.

- (zu Nr. 419.) Beobachtungen von Sonnenflecken auf der Altonaer Sternwarte. Von Herrn Observator Petersen. (Beschlufs) p. 161.  
Eine Aufgabe aus der practischen Geodäsie und deren Auflösung. Von Herrn Professor Hansen. p. 165.  
(zu Nr. 420.) Tafeln zur Reduction derjenigen Sterne, welche in den Zonen Aug. 19 bis Aug. 26. 1789 der Pariser Memoiren von 1789 vorkommen, auf den Anfang des Jahres 1790. Von Herrn R. Kysaas. p. 177. — Schreiben des Herrn Bertram, Ingenieur-Geographen beim Königl. Preussischen Generalstabe, an den Herausgeber. p. 181. — Schreiben des Herrn M. Koller, Directors der Sternwarte in Kremenmünster, an den Herausgeber. p. 183. — Beobachtungen am Meridiankreise der Sternwarte in Kremenmünster im Jahre 1839. Von Herrn Reithuber. p. 185. — Verbesserungen in Nr. 416.  
(Beilage zu Nr. 420.) Schreiben des Herrn Rümker, Directors der Hamburger Sternwarte, an den Herausgeber. p. 193. — Urban Jürgensens Werk über die höhere Uhrmacherkunst. p. 195. — Verbesserung in Nr. 418.

Altona 1841. April 1.

### Ueber Fernröhre mit Glasspiegeln und deren Vorzüge.

Von Herrn Dr. Barfuß.

§. 1.

Es ist fast zu bedauern, daß die Glasspiegel, ihrer doppelten Bilder wegen, bisher immer die Vorurtheile gegen sich hatten, da doch dieselben dasjenige Mittel sind, durch welches wir, weil sie die Strahlen zugleich brechen und spiegeln, über den Gang des Lichtes am meisten Herr werden. Sie sind meines Wissens nicht einmal einer vollständigen mathematischen Untersuchung unterworfen worden, was doch höchst nöthig ist, wenn es sich um ihre Anwendbarkeit bei optischen Instrumenten handelt. Dennoch besitzen die so sehr verachteten Glasspiegel Eigenschaften, wodurch sie sich weit über Glaslinsen und Metallspiegel erheben; Eigenschaften, welche uns in den Stand setzen, durch sie Telescope zu erhalten, die bei höchstens fünf Fuß Länge dasselbe leisten, was die größten bisher ausgeführten Refractoren vermöchten. Deshalb scheinen mir die Glasspiegel ein Mittel zu seyn, an die Stelle dioptrischer Achromaten, welche, wenn sie kräftig seyn sollen, immer noch eine sehr unbequeme Länge erhalten müssen, ein weit leichter zu handhabendes, vielleicht auch weit kräftigeres Werkzeug zu setzen. Freilich wird die Ausführung der Glasspiegeltelescope durch eben die Grenzen beschränkt seyn, welche auch für dioptrische Objectiv<sup>e</sup> gesetzt sind, weil sehr große Glasstücke einmal nicht leicht rein zu erhalten sind, und dann auch die Dicke der Linsen so beträchtlich werden müßte, daß das Licht beim Durchgange durch dieselben eine allzu merkliche Schwächung erleiden würde. In Bezug auf diese Hindernisse wird man nicht leicht über die riesenhaften Spiegeltelescope von 2 bis 4 Fuß Oeffnung kommen können, so daß Metallspiegel, wenn es sich um die Ausführung sehr großer und kräftiger Werkzeuge handelt, unbedingt den Vorzug behalten. Wenn wir aber im Stande sind, durch Glasspiegel die Länge der Refractoren um das Dreifache, ja vielleicht um das Vierfache abzukürzen; ohne einen bedeutenden Nachtheil herbeizuführen, so verdienen diese Instrumente gewiß eine tiefere Nachforschung und einen ehrenvollen Platz unter den übrigen dioptrischen Werkzeugen.

Ueber die Lichtstärke der Fernröhre mit Glasspiegeln läßt sich jetzt noch kein entscheidendes Urtheil fällen, da wir noch nicht wissen, wie weit ein Glasspiegel gebracht werden kann; denn während für die Vervollkommenung der Glaslinsen und Metall-

spiegel die größten Kräfte aufgeboten wurden, was ist da für die Glasspiegel geschehen? Sind wir nicht noch immer auf demselben Standpunkte, wo unsere Vorfahren vor mehr als hundert Jahren standen? Nach *Rumford* giebt der beste Glasspiegel nur etwa 0,65 des auffallenden Lichtes wieder, während nach demselben Schriftsteller eine Glaslinse 0,8 des Lichtes durch sich hindurchgehen läßt. Zwei Glaslinsen würden also nur 0,64 der ganzen durchströmenden Lichtmasse wiedergeben im Stande seyn, woraus folgt, daß in Hinsicht auf Lichtstärke ein Glasspiegel einem achromatischen Objectiv<sup>e</sup> wenigstens gleich zu setzen wäre. Da wir aber sehen werden, daß ein Glasspiegeltelescope am besten mit zwei Glasspiegeln hergerichtet wird, so wird es nur 0,65 von der Lichtstärke eines Refractors, der mit ihm gleiche Oeffnung hat, besitzen, und somit muß die Oeffnung des Objectivspiegels um  $\frac{1}{2}$  größer werden, als die der achromatischen Doppellinse, wenn er mit dieser in Hinsicht der Helligkeit gleichen Schritt halten soll. Es ist aber keinesweges ausgemacht, daß dieses das Höchste sey, was mit Glasspiegeln zu erreichen steht.

Man kann nun aber die Oeffnung des Glasspiegels, wenn die Anordnung recht gemacht wird, wohl 3 bis 4mal größer nehmen, als die der achromatischen Doppellinse, ohne Undeutlichkeit der Bilder befürchten zu müssen, selbst dann nicht, wenn man die stärksten Oculare anbringt. Da, wie wir sehen werden, für die Glasspiegeltelescope die *Cassegrainsche* Einrichtung die vortheilhafteste ist, so erhalten wir an/serdem noch den sehr wichtigen Vortheil, daß das vom großen Spiegel erzeugte Bild durch den kleinen Spiegel 6 bis 7mal vergrößert wird, weshalb wir zu sehr starken Vergrößerungen eben noch keine sehr scharfen Oculare nöthig haben, also auch die noch etwa übrige Undeutlichkeit des Bildes nicht so sehr merken werden.

Wenn der große Spiegel 20 Zoll Brennweite hat, so kann man seine Oeffnung recht gut 5 bis 6 Zoll groß nehmen. Die Hauptröhre des Instrumentes müßte dann etwa 17 Zoll lang werden. Die *Fraunhofer'schen* Achromaten haben bei 4 Zoll Oeffnung 60 Zoll Länge, und sind daher über 3mal länger als unser Spiegeltelescope. Da nun beim Rückgange des Lichtes vom kleinen Spiegel das Bild 6mal vergrößert werden kann, so haben wir gleichsam ein Telescop von 120 Zoll Fo-

calweite, welches mit einem Ocular von  $\frac{1}{2}$  Zoll Brennweite eine 600fache Vergrößerung giebt, und dieses immer noch mit ziemlicher Deutlichkeit, vorausgesetzt, daß die Linsen nach möglichst accurater Rechnung möglichst accurat geschliffen werden.

Man kann auch einen Glasspiegel so einrichten, daß er gar keine doppelten Bilder hat, wenigstens nicht nahe bei der Axe, und am Rande des Gesichtsfeldes kaum merklich; allein die Ausführung eines solchen Spiegels scheint zu großen Schwierigkeiten zu unterliegen.

Früher schlug ich einen aus zwei Linsen bestehenden Objectivspiegel vor, weil ich wegen der Unvollkommenheit meiner Formeln damals noch nicht erkennen konnte, daß man denselben Zweck durch einfachere Mittel erreichen könnte. Diese Vorrichtung verträgt ebenfalls eine sehr große Oeffnung, jedoch muß hierbei das Licht 6mal gebrochen, und weil der kleine Spiegel nicht entbehrt werden kann, zweimal gespiegelt werden, während bei zwei Glasspiegeln das Licht zweimal weniger gebrochen wird.

Die Mikroskope scheinen durch Glasspiegel bedeutend gefördert werden zu können. Ich habe die Theorie solcher Mikroskope in einer besondern Schrift: „Theorie der Spiegelmikroskope mit sphärischen Glasspiegeln, Weimar bei Voigt,“ entwickelt. Ich bemerke bei dieser Gelegenheit, daß ich bei Abfassung dieser Schrift durch Verwechselung eines + und - (§. 16) auf eine etwas unrichtige Formel gerathen bin, die aber nur eine sehr unwesentliche Nebensache betrifft, nämlich die Größe des Bildes, sofern sie von der Dicke der Spiegellinse abhängt.

$$I. \dots \dots \dots \frac{1}{\alpha} = \frac{2n}{H} + \frac{2(n-1)}{r} - \frac{1}{\alpha} + 2\Delta \left( \frac{2n}{H^2} + \frac{2(n-1)}{Hr} + \frac{(n-1)^2}{nr^2} - \frac{2}{\alpha H} - \frac{2(n-1)}{\alpha ar} + \frac{1}{\alpha a^2} \right).$$

Nehmen wir hier  $a$  unendlich und setzen die Brennweite  $= p$ , so wird

$$II. \dots \dots \frac{1}{p} = \frac{2n}{H} + \frac{2(n-1)}{r} + 2\Delta \left( \frac{2n}{H^2} + \frac{2(n-1)}{Hr} + \frac{(n-1)^2}{nr^2} \right)$$

also auch

$$III. \dots \dots \frac{1}{\alpha} = \frac{1}{p} - \frac{1}{\alpha} - \frac{2\Delta}{\alpha} \left( \frac{2}{H} + \frac{2(n-1)}{nr} - \frac{1}{na} \right).$$

Vernachlässigen wir aber die Dicke  $\Delta$  der Linse, so wird

$$IV. \dots \dots \frac{1}{p} = \frac{2n}{H} + \frac{2(n-1)}{r}.$$

$$V. \dots \dots \frac{1}{\alpha} = \frac{1}{p} - \frac{1}{\alpha}.$$

Man setze die Brennweite der Linse selbst (wenn sie nicht belegt ist)  $= q$ , und die Brennweite eines Hohlspiegels, dessen Krümmung der belegten Fläche gleich ist,  $= \pi$ , so wird

Wir wollen nun zur Berechnung des Spiegelteleskops und zur Entwicklung der hierzu nöthigen Grundformeln übergehen.

## §. 2.

Wir denken uns eine auf beiden Seiten convexe Linse, die durch Belegung der einen Fläche zu einem Spiegel umgewandelt wird. Der Halbmesser der belegten Fläche sey  $= R$ , der der offenen  $= r$ , die Entfernung des Objectives  $= a$ , die Dicke der Linse in ihrer Mitte  $= \Delta$  und ihr Brechungsverhältnis  $= n$ . Zuerst werden nun die Strahlen von der Vorderfläche des Glases gebrochen und nach einem Puncto hinter dem Spiegel gewiesen, dessen Abstand  $k$  durch die Gleichung berechnet wird:

$$\frac{1}{k} = \frac{n-1}{nr} - \frac{1}{na}.$$

Sie fallen also convergirend auf die hohle Hauptspiegelfläche und der Convergenzpunct liegt in der Entfernung  $k - \Delta$  hinter dieser Fläche, daher ihre zweite Vereinigungsweite, welche wir  $b$  nennen wollen, durch die Gleichung berechnet wird:

$$\frac{1}{b} = \frac{2}{R} + \frac{1}{k - \Delta}.$$

und der Vereinigungspunct liegt in der Entfernung  $b - \Delta$  vor der vorderen Fläche der Linse. Beim Rückgange durch die Vorderfläche werden endlich die Strahlen ebenso gebrochen, wie beim Austritt aus einer Linse. Nennen wir also die letzte Vereinigungsweite  $\alpha$ , so ist

$$\frac{1}{\alpha} = \frac{n-1}{r} + \frac{n}{b - \Delta}.$$

Diesen Ausdruck für  $\alpha$  entwickeln wir nun so, daß wir bloß die Glieder noch beibehalten, welche die erste Potenz von  $\Delta$  zum Factor haben. Hierdurch erhalten wir:

$$I. \dots \dots \dots \frac{1}{\alpha} = \frac{2n}{H} + \frac{2(n-1)}{r} - \frac{1}{\alpha} + 2\Delta \left( \frac{2n}{H^2} + \frac{2(n-1)}{Hr} + \frac{(n-1)^2}{nr^2} - \frac{2}{\alpha H} - \frac{2(n-1)}{\alpha ar} + \frac{1}{\alpha a^2} \right).$$

$$VI. \dots \dots \dots \frac{1}{p} = \frac{1}{\pi} + \frac{2}{q},$$

aus welcher Gleichung sich recht deutlich abnehmen läßt, wie hier Brechung und Spiegelung zusammenwirken.

## §. 3.

Wenn wir in den Formeln des vorigen § wegen der Farbenzerstreuung  $n$  in  $n + dn$  übergehen lassen, so mag sich  $\alpha$  in  $\alpha + d\alpha$ ,  $p$  in  $p + dp$  verwandeln. Wir haben dann, wenn wir jene Aenderungen als Differentialien betrachten:

$$VII. \dots \dots \frac{dp}{p^2} = \frac{2dn}{H} + \frac{2dn}{r} + 2\Delta dn \left( \frac{2}{H^2} + \frac{2}{Hr} + \frac{(n+1)(n-1)}{narr} \right)$$

$$VIII. \dots \dots \frac{d\alpha}{\alpha^2} = \frac{dp}{p^2} + \frac{2\Delta dn}{n^2 a} \left( \frac{2}{r} + \frac{1}{a} \right).$$

Bei Teleskopen hat indeß die Dicke der Glaslinse auf die Farbenzerstreuung keinen merklichen Einfluß, und wir können daher schon mit großer Näherung:



$$\text{IX} \dots \dots \dots \frac{-dp}{p^2} = \frac{2dn}{R} + \frac{2dn}{r}$$

$$\text{X} \dots \dots \dots dx = \frac{a^2}{p^2} dp \text{ setzen.}$$

So gestaltet würden diese Formeln jedoch, obschon sie so einfach sind, nur sehr verwickelte Rechnungen für Glasspiegelteleskope geben. Zu diesem Behuf müssen wir sie noch so umformen, daß wir setzen

$$\frac{2}{R} + \frac{2}{r} = \frac{\Sigma}{p^2}$$

also

$$\text{XI} \dots \dots \dots \left\{ \begin{array}{l} \Sigma = \left( \frac{2}{R} + \frac{2}{r} \right) p \\ \text{oder } \Sigma = \frac{2p}{(n-1)q} \end{array} \right.$$

wodurch wir dann erhalten:

$$\text{XII} \dots \dots \dots dp = -\Sigma p dn$$

$$\text{XIII} \dots \dots \dots \left\{ \begin{array}{l} r = \frac{2p}{n\Sigma - 1} \\ R = \frac{-2p}{(n-1)\Sigma - 1} \end{array} \right.$$

Die bei Glasspiegeln statt findende Farbenzerstreuung ist nun doppelter Natur, je nachdem  $\Sigma$  positiv oder negativ ist. Im ersten Falle sind die Vereinigungsweiten um so kürzer, je größer  $n$  ist, und es werden also, wie bei Glaslinsen, die violetten Strahlen stärker gebrochen als die mittleren, und diese wieder stärker als die rothen. Im andern Falle, wo  $\Sigma$  negativ ist, findet gerade das Umgekehrte statt, die violetten Strahlen haben längere Vereinigungsweiten als die rothen, so daß man also mit Glasspiegeln jede beliebige Farbenzerstreuung hervorbringen kann. Wir werden die Farbenzerstreuung, wo  $\Sigma$  positiv ist, die positive, wo hingegen  $\Sigma$  negativ ist, die negative nennen.

Soll die Farbenzerstreuung verschwinden, so muß  $\Sigma = 0$  werden, weshalb, da  $p$  nicht 0 seyn kann,  $q$  unendlich groß seyn muß. Die Linse muß dann auf der einen Seite convex, auf der andern hohl seyn, die Halbmesser beider Krümmungen aber gleich. Diefes ist der Glasspiegel, wie ihn *Newton* zu Telescopen vorschlug, der aber wegen der doppelten Bilder verworfen wurde.

#### §. 4.

Wir wollen ferner die Abweichung wegen der Kugelform eines Glasspiegels auf die einfachste Weise ausdrücken suchen.

$$w = \frac{-na^2x^2}{2(n-1)^2} \left( \left( \frac{n}{a} + \frac{1}{k} \right) \left( \frac{1}{a} + \frac{1}{b} \right)^2 + \frac{(n-1)^2}{2R} \left( \frac{1}{k} + \frac{1}{b} \right) + \left( \frac{n}{a} - \frac{1}{b} \right) \left( \frac{1}{a} - \frac{1}{b} \right) \right).$$

Bei der Brechung an der Vorderfläche, wobei die Vereinigungsweite  $= k$  (§. 2) wird, findet eine Abweichung statt, die wir mit  $+dk$  bezeichnen wollen. Hierher entsteht sodann eine Abweichung von  $b$ , welche durch Differenziren der Gleichung  $\frac{1}{b} = \frac{2}{R} + \frac{1}{k-\Delta}$  gefunden wird,  $R$  und  $\Delta$  als constant angesehen. Wir werden aber, um nicht allzu verwickelte Formeln zu erhalten, bei dieser Untersuchung  $\Delta = 0$  setzen müssen, und dann ergibt sich die bei  $b$  wegen  $dk$  stattfindende Abweichung  $= \frac{b^2}{k^2} dk$ . Hierzu kommt noch die

Abweichung, die von der sphärischen Gestalt der Hauptspiegelfläche herrührt, und welche  $db$  seyn mag, also daß die Gesamtabweichung von  $b = db = \frac{b^2}{k^2} dk + db$  ist. Beim Austritt aus der Linse findet wieder wegen  $db$  eine Abweichung von  $a$  statt, die man durch Differenziren der Gleichung  $\frac{1}{a} = \frac{n-1}{r} + \frac{n}{b}$  findet,  $r$  und  $n$  constant genommen und das Differential von  $b = db$  gesetzt. Diese Abweichung ist demnach  $= \frac{na^2 db}{b^3} = \frac{na^2}{k^2} dk + \frac{na^2}{b^3} db$ . Fügen wir hierzu noch die Abweichung wegen der sphärischen Gestalt der Vorderfläche, die  $dx$  seyn mag, so haben wir die ganze Abweichung von  $a$ . Nennen wir sie  $w$ , so ist

$$w = \frac{na^2}{k^2} dk + \frac{na^2}{b^3} db + dx.$$

Nach den dioptrischen Formeln ist nun, wenn  $x$  die halbe Oeffnung des Glasspiegels bedeutet:

$$dk = \frac{-kkx^2}{2(n-1)^2} \left( \frac{n}{a} + \frac{1}{k} \right) \left( \frac{1}{a} + \frac{1}{k} \right)^2$$

also

$$\frac{na^2}{k^2} dk = \frac{-na^2x^2}{2(n-1)^2} \left( \frac{n}{a} + \frac{1}{k} \right) \left( \frac{1}{a} \pm \frac{1}{k} \right)^2.$$

Ferner, wenn  $\frac{2}{R} = \frac{1}{\pi}$  gesetzt wird

$$db = \frac{-(k+b)^2}{8k^2\pi} x^2$$

$$\frac{na^2}{b^3} db = \frac{-na^2(k+b)^2}{8b^5k^2\pi} x^2 = \frac{-na^2}{4H} \left( \frac{1}{k} + \frac{1}{b} \right)^2 x^2;$$

endlich

$$dx = \frac{-na^2x^3}{2(n-1)^2} \left( \frac{n}{a} - \frac{1}{b} \right) \left( \frac{1}{a} - \frac{1}{b} \right)^2$$

Daher

Sodann ist

$$\begin{aligned} \left(\frac{a}{r} + \frac{1}{k}\right) \left(\frac{1}{a} + \frac{1}{k}\right)^2 &= \frac{(n-1)^3}{n^3} \left(\frac{1}{r} + \frac{n+1}{a}\right) \left(\frac{1}{r} + \frac{1}{a}\right)^2 \\ \left(\frac{(n-1)^3}{2R} \left(\frac{1}{k} + \frac{1}{b}\right)^2\right) &= \frac{2(n-1)^3}{R} \left(\frac{n-1}{nr} + \frac{1}{R} - \frac{1}{na}\right)^2 \\ \left(\frac{n}{a} - \frac{1}{b}\right) \left(\frac{1}{k} - \frac{1}{b}\right)^2 &= (n-1)^3 \left(\frac{2(n+1)}{R} + \frac{2n^2-1}{nr} - \frac{n+1}{na}\right) \cdot \left(\frac{2}{R} + \frac{2n-1}{nr} - \frac{1}{na}\right). \end{aligned}$$

Hier setzen wir aber statt  $r$  und  $R$  die Werthe aus XII und XIII, wodurch wir erhalten:

$$\omega = -\frac{1}{2}na^3x^2 \left[ \frac{n-1}{n^3} \left( \frac{n\Sigma-1}{2p} + \frac{n+1}{a} \right) \left( \frac{n\Sigma-1}{2p} + \frac{1}{a} \right)^2 - \frac{(n-1)\Sigma-1}{n^3p} \left( \frac{1}{2p} - \frac{1}{a} \right)^2 + \frac{n-1}{n^3} \left( \frac{n\Sigma+2n+1}{2p} - \frac{n+1}{a} \right) \cdot \left( \frac{n\Sigma+1}{2p} - \frac{1}{a} \right)^2 \right].$$

Ferner setzen wir  $\frac{1}{a} = \frac{\mu}{2p}$ , alsoXIV.....  $\mu = \frac{2p}{a}$ , wodurch wir erhalten:

$$\omega = \frac{-a^3x^2}{16n^3p^3} \left[ (n-1)(n\Sigma-1+\mu(n+1))(n\Sigma-1+\mu)^2 - 2n(n-1)\Sigma-1(1-\mu)^2 + (n-1)(n\Sigma+2n+1-\mu(n+1))(n\Sigma+1-\mu)^2 \right],$$

Ferner setze man

XV.....  $1-\mu = 1 - \frac{2p}{a} = \beta$ ,

$$\omega = \frac{-x^2}{4n^3(1+\beta)^3p} \left[ (n-1)(n\Sigma+1)(n\Sigma-\beta)^2 - 2n(n-1)\Sigma-1\beta^2 + (n-1)(n\Sigma+u)(n\Sigma+\beta)^2 \right],$$

wenn noch der Kürze halber

$$\begin{aligned} -1+\mu(n+1) &= u \\ 2n+r-\mu(n+1) &= u \end{aligned}$$

XVI.....  $\omega = \frac{-x^2}{2n(1+\beta)^3p} ((n-1)n^2\Sigma^2 + (n-1)n^2\Sigma^2 + 2(n^2-1)\Sigma\beta + n^2\beta^2)$ ,

welches der einfachste Ausdruck für die Kugelabweichung eines Glasspiegels ist, der sich zu unseren Zwecken deshalb ganz besonders eignet, weil er zugleich den Ausdruck der Farbenzerstreuung mit enthält.

Ist das Object sehr weit entfernt oder  $a = \infty$ , so wird  $\mu = \frac{2p}{a} = 0$ , daher  $\beta = 1 - \mu = 1$ , und folglichXVII.....  $\omega = \frac{-x^2}{8np} ((n-1)n^2\Sigma^2 + (n-1)n^2\Sigma^2 + 2(n^2-1)\Sigma + n)$ Sind, wie beim Newtonschen Glasspiegel die beiden Halbmesser einander gleich und entgegengesetzt, so wird  $\Sigma = 0$ , also die Abweichung

$$\omega = \frac{-x^2}{8p}$$

wie bei einem einfachen Hohlspiegel.

Die Abweichung kann auch 0 werden, wenn  $(n-1)n^2\Sigma^2 + (n-1)n^2\Sigma^2 + 2(n^2-1)\Sigma + n = 0$  wird. Setzen wir  $n = \frac{3}{2}$ , so muß  $\frac{3}{2}\Sigma^2 + \frac{3}{2}\Sigma^2 + \frac{3}{2}\Sigma + \frac{3}{2} = 0$  seyn, von welcher Gleichung die einzige mögliche Wurzel  $\Sigma = -\frac{1}{2}$  ist, also daß die Abweichung nur verschwinden kann, wenn der Spiegel negative Farbenzerstreuung hat. Mit diesem Werthe von  $\Sigma$  finden wir nach XIII)  $r = -p$  und  $\mu = \frac{1}{2}p$ ; also daß die

so daß man hat  $\alpha = \frac{2p}{1+\beta}$   
und

genommen wird. Dieses läßt sich aber durch Auflösung der Producte der binomen Factoren noch weiter reduciren. Stellen wir alsdann die Werthe von  $\beta$  und  $u$  wieder her, so erhalten wir:

Vorderfläche des Spiegels hohl seyn muß. Von diesem merkwürdigen Spiegel können wir leider keinen Gebrauch zu Telescopen machen, aber für Mikroskope, welche man durch monochromatische Flammen erleuchten will, dürfte er wohl die beste Objectivvorrichtung seyn, denn bei seiner großen Deutlichkeit verträgt er auch eine sehr große Oeffnung, und die Nebenbilder sind ganz unschädlich.

Uebrigens ist leicht zu sehen, daß jede positive und negative Kugelabweichung mit Glasspiegeln hervorgebracht werden kann.

## §. 5.

Die bisher aufgeführten Formeln geben nur genäherte Werthe für die Lage der Vereinigungspuncte bei Glasspiegeln; auf alle Fälle aber reichen sie zur näherungsweisen Berechnung eines Glasspiegelinstrumentes vollkommen hin. Soll aber ein Instrument so berechnet werden, daß es die größte mögliche Deutlichkeit erhält, so müssen wir notwendig diejenigen Formeln kennen, wodurch der Gang der Lichtstrahlen genau dargestellt wird. Es sey also unter Beibehaltung aller übrigen Bezeichnungen der Winkel, welchen der aus einem Puncte der Axe auf den Spiegel fallende Strahl mit der Axe macht,  $= \varphi$ , so hat man für die Vereinigungswerte nach der Brechung an

der Vorderfläche folgende Rechnung, die ein jeder aus der Construction des Einfallswinkels und aus den gewöhnlichen trigonometrischen Formeln sich leicht erklären kann:

$$\begin{aligned}\sin \psi &= \frac{r-a}{r} \sin \Phi \\ \sin \omega &= \frac{\sin \psi}{n} \\ \Phi' &= \Phi + \omega - \psi \\ k &= r - \frac{r \sin \omega}{\sin \Phi'} \\ k' &= k + \Delta.\end{aligned}$$

Fallen die Strahlen parallel auf den Spiegel, so ist  $\sin \psi = \frac{x}{r}$ , wenn  $x$  die halbe Oeffnung bedeutet, und dann bleiben die übrigen Formeln unverändert.

Ferner bei der Spiegelung:

$$\begin{aligned}\sin \lambda &= \frac{R-k'}{R} \sin \Phi' \\ \Phi'' &= \Phi' - 2\lambda \\ b &= R + \frac{R \sin \lambda}{\sin \Phi''} \\ b' &= b - \Delta.\end{aligned}$$

Endlich beim Austritt aus der Linse:

$$\begin{aligned}\sin \psi'' &= \frac{r-b'}{r} \sin \Phi'' \\ \sin \omega'' &= \frac{\sin \psi''}{n} \\ \Phi''' &= \Phi'' + \omega'' - \psi'' \\ a &= r - \frac{r \sin \omega''}{\sin \Phi'''}\end{aligned}$$

§. 6.

Endlich sind noch die Oerter zu berechnen, wohin die durch die Spiegelung bloßer Glasflächen erzeugten Nebenbilder

$$\text{XIX.} \dots \dots \frac{1}{\gamma} = \frac{4n}{R} + \frac{4n-2}{r} - \frac{1}{a} + 4n\Delta \left( \frac{6}{R^2} + \frac{2(5n-2)}{nrR} + \frac{5n^2-4n+1}{n^2r^2} - \frac{4}{naR} - \frac{2(2n-1)}{n^2ar} + \frac{1}{n^2a^2} \right),$$

oder wenn wir  $\Delta = 0$  setzen:

$$\text{XX.} \dots \dots \frac{1}{\gamma} = \frac{4n}{R} + \frac{4n-2}{r} - \frac{1}{a}.$$

Diese unter den Nummern I bis XX aufgeführten Formeln, nebst denen in §. 5 sind es, auf welchen die ganze Theorie der Glasspiegelteleskope beruht.

§. 7.

1) Bei einem Glasspiegelfernrohr ist nun neben der optischen Deutlichkeit, welche auf der Vernichtung der Kugelabweichung und Farbenzerstreuung beruht, auch die Vermeidung der doppelten Bilder eine notwendige Forderung, und in dieser Hinsicht sind nur zwei Wege möglich. Das erste und beste wäre offenbar, das man jene Nebenbilder selbst mit zur Verstärkung des Hauptbildes benutzte, das man also den Glasspiegel so einrichtete, das beide Nebenbilder mit dem

fallen. Wir haben aber zwei solche Bilder zu betrachten; das erste, welches von der Vorderfläche erzeugt wird, wenn die Strahlen in die Linse eindringen wollen, und welches wir immer das Erste nennen werden. Dieses liegt, nach der in §. 2 gemachten Voraussetzung hinter dem Spiegel, und wenn wir seinen Abstand  $= \beta$  setzen, so ist

$$\text{XVIII)} \quad \beta = \frac{ar}{2a+r}$$

Das zweite Nebenbild entsteht durch Rückspiegelung an der Vorderfläche, wenn die Strahlen aus der Linse austreten wollen, in welchem Augenblicke sie nach dem Punkte der Axe convergiren, der in der Entfernung  $b - \Delta$  (§. 2) vor dem Spiegel liegt. Sie werden von der hohlen Innenseite der Vorderfläche reflectirt, und wenn die Vereinigungsweite  $= c$  gesetzt wird, so ist

$$\frac{1}{c} = \frac{2}{r} + \frac{1}{b-\Delta}.$$

und die Strahlen fallen dann wieder auf die Hauptspiegelfläche, nach dem von dieser Fläche um  $c - \Delta$  entfernten Punkte convergierend. Nach der Reflexion von der belegten Fläche sey die Vereinigungsweite  $= g$ , so ist

$$\frac{1}{g} = \frac{2}{R} + \frac{1}{c-\Delta}.$$

und der Abstand des Vereinigungspunktes von der Vorderfläche des Spiegels ist  $g - \Delta$ . Indem nun endlich die Strahlen aus der Linse austreten, werden sie wieder gebrochen, und in der Weite  $\gamma$  vereinigt, für welche wir die Relation haben:

$$\frac{1}{\gamma} = \frac{n-1}{r} + \frac{n}{g-\Delta}.$$

Entwickeln wir den Ausdruck für  $\gamma$  wieder in eine nach den Potenzen von  $\Delta$  fortgehende Reihe, so ist

$$\text{Hauptbilde genau congruen. Wir wollen untersuchen, ob dieses möglich ist.}$$

2) Für einen solchen Spiegel müßte aber nothwendig  $a = -\beta$  (II und XVIII) werden, weil in den Grundformeln  $a$  und  $\beta$  auf verschiedene Seiten des Spiegels fallen, beide Lösungen aber nothwendig auf einerlei Seite liegen müssen. Da nun  $a$  unendlich, so wird  $-\beta = a = -\frac{1}{2}r = p$ , also  $r = -2p$ , d. h. die Vorderfläche des Spiegels muß hohl seyn. Wir haben also in II  $-r$  statt  $r$  und  $\frac{1}{2}r$  statt  $p$  zu setzen, so das wir haben:

$$\frac{2}{r} = \frac{2n}{R} - \frac{2(n-1)}{r} + 2\Delta \left( \frac{2n}{R} - \frac{2(n-1)}{rR} + \frac{(n-1)^2}{nr^2} \right).$$

Würden wir hier  $\Delta = 0$  setzen, so hätten wir  $r = R$ , es kann also  $r$  von  $R$  nicht viel unterschieden seyn, so das man in dem mit  $\Delta$  multiplicirten Gliede  $r = R$  setzen darf. Man erhält dadurch:

$$\frac{2}{r} = \frac{2n}{R} - \frac{2(n-1)}{r} + \frac{2\Delta}{R^2} \cdot \frac{n^2+1}{n^2}$$

woraus dann

$$\frac{1}{r} = \frac{1}{R} + \frac{n^2+1}{n^2} \cdot \frac{\Delta}{R^2}$$

$$r = R - \frac{n^2+1}{n^2} \cdot \Delta$$

$$\text{und } p = \frac{1}{2}R - \frac{n^2+1}{2n^2} \Delta$$

folgt, und bei dieser Einrichtung congruirt das erste Nebenbild mit dem Hauptbilde bis auf einen geringen Unterschied.

3) Doch ist noch die Frage, ob auch das zweite Nebenbild mit dem Hauptbilde congruirt werde, allein dieses fällt, sofern wir nur die ersten Potenzen von  $\Delta$  berücksichtigen, vollkommen damit zusammen. Setzen wir nämlich in XIX zunächst  $-r$  statt  $R$  und  $z = \infty$ , so erhalten wir

$$\frac{1}{\gamma} = \frac{4n}{R} - \frac{4n-2}{r} + 4n\Delta \left( \frac{6}{R^2} - \frac{2(5n-2)}{nrR} + \frac{5n^2-4n+1}{n^2r^2} \right).$$

In dem mit  $\Delta$  multiplicirten Gliede setzen wir  $r = R$ , außer-

dem aber  $\frac{1}{r} = \frac{1}{R} + \frac{n^2+1}{n^2} \cdot \frac{\Delta}{R^2}$ . Hierdurch wird:

$$\frac{1}{\gamma} = \frac{2}{R} + \frac{2(n^2+1)}{n^2} \cdot \frac{\Delta}{R^2}$$

$$\text{also } \gamma = \frac{1}{2}R - \frac{n^2+1}{2n^2} \Delta = p = \beta.$$

4) Da nun alle drei Bilder bis auf Glieder von der Ordnung  $\Delta$  mitelander congruiren, so scheint es der Mühe werth zu seyn zu untersuchen, wie vollkommen die Congruenz aller drei Bilder seyn werde, wenn das erste Nebenbild mit dem Hauptbilde genau vereinigt wird. Um hierfür eine Rechnung in Ziffern führen zu können, wollen wir  $n = \frac{3}{2}$  setzen, so daß  $r = R - \frac{1}{2}\Delta$  wird. Die GröÙe  $\Delta$  wollen wir  $= \frac{1}{100}R$  nehmen, welches hinreichende Stärke für die Glaslinse giebt. Nehmen wir nun noch überdies  $R = 2$ , damit die Brennweite des Spiegels nahe  $= 1$  werde, so haben wir  $r = 1,9679012$  und  $\Delta = 0,02227222$ . Hiermit erhält man dann nach §. 2, indem man  $r$  negativ nimmt:

$$k = 5,9037036$$

$$b = 1,203007$$

$$p = 0,9839967$$

$$\beta = \frac{1}{2}r = 0,9839506$$

$$\text{Unterschied} = 0,0000461.$$

Man kann nun den Werth von  $r$  noch hinreichend verbessern durch den Zusatz:

$$dr = \frac{-(r-2p)r}{2p \left( n + \frac{2(n-1)\Delta}{nR} \right)}$$

oder schon hinreichend genau durch

$$dr = -\frac{(r-2p)}{n},$$

so daß für unser Beispiel das verbesserte  $r = 1,9679627$  wäre. Mit diesem Werthe von  $r$  wird aber  $p$  sehr genau  $= \frac{1}{2}r$ .

Um die Coincenz des zweiten Nebenbildes zu prüfen, wollen wir  $\gamma$  nach §. 2 und 6 genau berechnen, wobei zu bemerken ist, daß in den dortigen Formeln  $r$  negativ genommen werden muß. Man findet aber

$$k = -5,903888$$

$$b = 1,203000$$

$$c = -5,903880.$$

Es wird also genau  $c = k$ , d. h. es fallen die Strahlen des zweiten Nebenbildes eben so zum zweitenmal auf die Hauptspiegelfläche, wie die ganze Lichtmasse, wenn sie von der Vorderfläche des Spiegels gebrochen worden ist. Unter diesen Umständen muß aber nothwendig  $\gamma = p$  werden. Es congruiren also alle drei Bilder ganz vollkommen.

5) Die bisher betrachtete Congruenz der Nebenbilder bezieht sich nur auf die aus der Axe kommenden Centralstrahlen. Da beide Halbmesser nicht viel unterschieden sind, so hat das erste Nebenbild mit dem Hauptbilde gleiche Kugelabweichung (§. 4); aber es läßt sich leicht zeigen, daß auch das zweite Nebenbild dieselbe Kugelabweichung hat, und daher congruiren auch die Vereinigungspunkte der aus der Axe kommenden Randstrahlen bei allen drei Bildern vollkommen. Für Strahlen, welche aus der Axe kommen, leistet also ein Glas- Spiegel nach der beschriebenen Einrichtung genau dasselbe, was eine einfache Spiegelfläche bewirkt.

6) Beim Hauptbilde findet eine kleine Farbenzerstreuung statt, welche durch

$$dp = + \frac{dn}{n} \Delta$$

ausgedrückt wird. Sie ist demnach sehr unbedeutend, und eher nützlich als schädlich, da sie der Ocularzerstreuung entgegen gesetzt ist und also einen Theil derselben verhält.

7) Wenn aber auch die in der Axe liegenden Bilder congruiren, so ist doch noch die Frage, ob dasselbe auch am Rande des Gesichtsfeldes statt finde. Dieses ist jedoch nicht der Fall, sondern ich finde, wenn  $\phi$  das halbe Gesichtsfeld in Theilen des Halbmessers bedeutet, das Hauptbild um  $\frac{1}{n}\Delta\phi$  größer und eben so viel kleiner als das zweite Nebenbild. Um den Einfluß dieser GröÙe besser schätzen zu können, sey für ein einfaches Ocular die Vergrößerung des Rohres  $= m$ , so ist  $\phi = \frac{1}{4(m+1)}$  (wenn die Oefnung des Oculars seiner halben Brennweite gleich ist), und daher jener Abstand

$= \frac{\Delta}{4n(m+1)}$ . Dieser wird aber durch das Ocular vergrößert und erscheint als ein Object vom Durchmesser  $\frac{\Delta p}{4n(m+1)}$  in der Weite des deutlichen Sehens (8 Zoll), wenn die Ocularvergrößerung (8 Zoll dividirt durch die nach Zollen gemessene Brennweite des Oculars) bedeutet. Wäre z. B. bei 6 Fuß Focallänge des grossen Spiegels die Brennweite des Oculars  $= \frac{1}{2}$  Zoll, so wäre  $m+1 = 361$ ,  $v = 40$ , daher jener Abstand nahe  $= \frac{\Delta}{54}$ .

Da diese Grösse nach der Mitte hin immer mehr und mehr verschwindet, so würde sie keineswegs das Telescop beeinträchtigen, allein die Schwierigkeit, beide Halbmesser so zu treffen, daß alle drei Bilder zusammenfallen, scheint doch der Ausführung des Gedankens im Wege zu stehen. Diese Schwierigkeit wird noch vergrößert, wenn die beiden Flächen, um die Abweichung der Randstrahlen zu beseitigen, anders als sphärisch gestaltet werden sollen. Zu längen ist indessen nicht, daß dieses Telescop sehr vollkommen seyn müßte, wenn man statt des kleinen Spiegels sich eines catoptrischen Prismas bediente. Deshalb schien es mir nicht ohne Interesse, die Sache hier zu untersuchen.

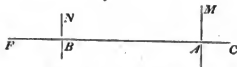
## §. 8.

Wir bemerkten schon im Anfange, daß wenn ein Spiegeltelescop zwei Spiegel bekommen muß, die Einrichtung nach Gregory oder Cassegrain vor der Newtonschen den Vorzug habe. Dieses gilt unter der Voraussetzung, daß man beide Spiegel so einrichten könne, daß das von ihnen hervorbrachte Bild frei von aller Abweichung ist. Bei Metallspiegeln ist dieses schon beim grossen und vielleicht noch mehr beim kleinen Spiegel schwierig, daher dann allerdings die Newtonsche Einrichtung vorzuziehen ist. Allein bei Glasspiegeln läßt sich die Abweichung selbst durch sphärische Flächen bis zu einem solchen Grade beseitigen, daß man die stärksten Vergrößerungen anbringen kann, und daher sind offenbar die erstgenannten Einrichtungen vorzuziehen. Von diesen hat aber das Cassegrainsche Telescop, ausser dem Vorzug der geringeren Länge, vor dem Gregoryschen auch noch das voraus, daß es nur ein wirkliches Bild besitzt, oder vielmehr, daß die vom grossen Spiegel herkommenden Strahlen, bevor sie vom kleinen Spiegel aufgenommen werden, sich noch nicht durchkreuzt haben, denn die Beobachtungen haben gelehrt, daß jenseits des Brennpunctes die Lichtstrahlen von ihrer Intensität verlieren. Daher auch wahrscheinlich die grössere Helligkeit, welche man beim Cassegrainschen Telescop im Vergleich mit dem Gregoryschen bemerkt haben will. Bei Glasspiegeln entscheidet jedoch der Umstand am meisten für

das Cassegrainsche Telescop, weil nur dieses bei bloß sphärischen Flächen grosse Oeffnungen verträgt; auch ist bei seinem Objectivspiegel die Farbenzerstreuung nur halb so gross, als bei dem des Gregoryschen Telescops.

Wir wollen nun zeigen, wie ein Cassegrainsches Spiegeltelescop zu construiren sey, und dann etwas über das Gregorysche sagen.

## §. 9.



1) Es sey die Brennweite des grossen Spiegels bei  $M = p$ , die des kleinen  $N = p$  (wo aber  $p$  eigentlich eine Zerstreuungswerte bedeutet und daher negativ zu setzen ist, wenn es an die Stelle, einer wahren Brennweite tritt. Ferner sey der Abstand des kleinen Spiegels vom Focus des grossen  $FB = b$ , also sein Abstand vom grossen Spiegel selbst  $= p - b$ . Das wirkliche Bild falle in C, und es sey  $BC = l$ , so ist  $l = \frac{pb}{p-b}$ . Wir nehmen dann die Einrichtung so, daß  $l = 6b$  wird, woraus  $a = \frac{5}{6}p$  folgt.

2) Nennen wir den Abstand des wirklichen Bildes vom grossen Spiegel  $AC = t$ , so ist  $l = 6b = p - b + t$ , also  $7b = \frac{5}{6}p = P + t$ . Wie gross  $t$  seyn soll, ist willkürlich, wir wollen daher für kleinere Röhre  $t = \frac{1}{3}P$  setzen; dann wird  $p = \frac{9}{8}P$  und  $b = \frac{5}{8}P$ . Durch das Entgegenstehen des kleinen Spiegels geht dann etwa  $\frac{1}{3}$  von der Fläche des grossen verloren. Für grössere Röhre müßte man  $t$  etwas kleiner nehmen.

3) Wegen der Farbenzerstreuung muß nun  $\frac{dl}{dn} = 0$  werden. Weil aber  $\frac{1}{l} = \frac{1}{b} - \frac{1}{p}$ , so ist  $\frac{dl}{dn} = \frac{db}{b^2} - \frac{dp}{p^2} = 0$ , und  $dp = \frac{p^3}{b^2} db = \frac{25}{16} db$ ; oder weil  $db$  nichts anders ist, als  $dP$ , so hat man  $dp = \frac{25}{16} dP$ .

Setzt man nun nach §. 3  $dP = -\Sigma P dn$  und  $dp = -\Sigma p dn$ , wo  $\sigma$  für den kleinen Spiegel eben das bedeutet, was  $\Sigma$  für den grossen ist, so wird  $dp = \frac{25}{16} \Sigma P$ , woraus  $\sigma = 7\Sigma$  folgt. Es muß also der kleine Spiegel 7mal so viel Zerstreuungsvermögen besitzen, als der große.

4) Nun sind die Halbmesser beider Spiegel zu bestimmen. Die Abweichung des grossen Spiegels ist:

$$w = \frac{-x^2}{8nP} ((n-1)a^2 \Sigma^2 + (n-1)a^2 \Sigma^2 + 2(n^2-1)\Sigma + n).$$

Well beide Spiegel entgegengesetzte Brechung haben, so müs-

sen sie die Farben auf gleiche Weise zerstreuen, d. h. wenn  $\Sigma$  positiv ist, so muß es auch  $\sigma$  seyn. Nennen wir daher die halbe Oeffnung des kleinen Spiegels  $\xi$  (wo  $\xi = \frac{1}{3}x$  seyn wird), so ist seine Abweichung

$$w' = \frac{-\xi^2}{2n(1+\frac{1}{3})^2p}((n-1)n^2\sigma^2 + (n-1)n^2\sigma^2 + 2(n^2-1)\sigma^2 + n^2\sigma^2).$$

Da ferner der kleine Spiegel die Abweichung des großen verhindern soll, so muß er so eingerichtet werden, daß er von dem Punkte  $C$  in  $F$  ein Bild entwirft, das eben die Abweichung hat, als das Bild  $F$  des großen Spiegels, d. h. es muß  $w = w'$  seyn.

Setzt man nun  $n = 1,52$ , wie es beim gemeinen Spiegelglase der Fall ist, so wird

$$w = \frac{-x^2}{8np}(1,201408\Sigma^2 + 1,201408\Sigma^2 + 2,6208\Sigma + 1,52).$$

Es ist ferner  $\xi = \frac{bx}{p} = \frac{1}{3}x$ ; dann nach §. 4, XV, wenn man dort  $-p$  statt  $p$  setzt:  $1 + \frac{1}{3} = 2 + \frac{2p}{f} = \frac{1}{2}$  und  $\frac{1}{3} = \frac{1}{f}$ ; endlich  $p = \frac{1}{\frac{1}{3}\frac{1}{2}}P$  und  $\sigma = 7\Sigma$ , daher

$$w' = \frac{-x^2}{8np}(40,881244\Sigma^2 + 5,840179\Sigma^2 + 3,5672\Sigma + 0,295555).$$

Durch die Gleichstellung von  $w$  und  $w'$  erhalten wir daher folgende Gleichung:

$$39,679836\Sigma^2 + 4,638711\Sigma^2 + 0,9464\Sigma - 1,224445 = 0$$

oder  $\Sigma^2 + 0,116905\Sigma^2 + 0,0238509\Sigma - 0,03085811 = 0.$

Hiervon ist  $\Sigma = +0,257115$  eine Wurzel; die beiden andern Wurzeln sind imaginair, daher bloß die einzige Einrichtung möglich ist, welche aus gedachter Wurzel folgt. Mit Hülfe derselben erhält man nach §. 3 XIII

Für den großen Spiegel:

$$\begin{array}{l} \text{Halbmesser der belegten Fläche} = 2,30867 P \text{ conv} \\ \text{— — — — — offenen — — — — —} = 2,28307 P \text{ hohl.} \end{array}$$

Für den kleinen Spiegel:

$$\begin{array}{l} \text{Halbmesser der belegten Fläche} = 31,20057 p = 6,41840 P \\ \text{— — — — — offenen — — — — —} = 1,15227 p = 0,237038 P \end{array}$$

5) Wollten wir also mit einem Spiegel von 10 Zoll Focallänge ein Fernrohr construiren, so wäre die Einrichtung folgende:

- 1) Brennweite des großen Spiegels.....10,000
- 2) Halbmesser seiner belegten Fläche.....23,087 conv
- 3) — — — — — offenen — — — — — 32,831 hohl
- 4) Abstand beider Spiegel.....8,286
- 5) Zerstreugröße des kleinen Spiegels... 2,057
- 6) Halbmesser seiner belegten Fläche.....64,184 hohl
- 7) — — — — — offenen — — — — — 2,370 hohl

8) Abstand des wirklichen Bildes hinter dem großen Spiegel..... 2,000

9) Die Oeffnung des kleinen Spiegels wird  $\frac{1}{3}$  von der des großen oder etwas größer; das Loch im großen Spiegel \* kann genau  $\frac{1}{3}$  von der ganzen Oeffnung erhalten.

6) Es läßt sich nun leicht übersehen, wie die doppelten Bilder unschädlich werden. Das erste Nebenbild des großen Spiegels fällt in dem Beispiele Nr. 5 um 16,4 Zoll nach vorn, und daher gehen die meisten seiner Strahlen (etwa  $\frac{1}{3}$ ) vor dem kleinen Spiegel vorbei; was darauf fällt, wird von letzterem Spiegel wieder in einem Bilde gesammelt, von welchem aus die Strahlen so sehr divergiren, daß, wegen der Lichtlosigkeit, die in jedem Strahlenkegel wegen des Entgegensehens des kleinen Spiegels statt findet, nichts in das Loch des großen Spiegels kommen kann.

Das zweite Nebenbild des großen Spiegels fällt in 7,2 Zoll Entfernung, also noch zwischen beide Spiegel. Sein Licht trifft zwar alles auf den kleinen Spiegel, wird aber von demselben so sehr zerstreut, daß nichts davon in das Loch des großen Spiegels gelangen kann. Was von beiden Nebenbildern durch den kleinen Spiegel wieder auf den großen zurückgeführt wird, wird von letzterem nahe mit der Axe parallel aus dem Rohre gewiesen und gelangt nicht wieder auf den kleinen Spiegel.

Das erste Nebenbild des kleinen Spiegels fällt in 0,7 Zoll Entfernung von diesem Spiegel nach den Ocularen hin. Von hier aus divergiren seine Strahlen sehr stark, und es gilt von ihm alles, was von den beiden vorigen Nebenbildern gesagt ist.

Das zweite Nebenbild des kleinen Spiegels ist ein bloßes Scheinbild und fällt 0,8 Zoll hinter den kleinen Spiegel. Es ist das am mindesten gefährliche von allen.

Alle diejenigen Bilder aber, welche dadurch entstehen, daß von bloßen Glasflächen reflectirte Strahlen wieder von bloßen Glasflächen reflectirt werden, finden auch bei dioptrischen Fernrohren statt, und können daher nicht in Anschlag kommen.

Folglich sind in diesem Telescop die Nebenbilder unschädlich.

8) Nun ist noch die Frage, eine wie große Oeffnung unser Telescop vertragen könne. Man kann das aber freilich nicht durch die bloße Theorie ausmachen, denn wir wissen nicht, eine wie große Abweichung noch ertragen werden kann. Wenn wir indessen nach den genauen Formeln des §. 5 die Abweichung der Randstrahlen berechnen, so finden wir sie =  $-0,007$  der Länge  $l$ , wenn der Winkel, den ein mit der

Axe parallel auffallender Strahl mit seinem Lothe macht, ( $\psi$  in §. 5.)  $= 4^\circ$  gesetzt wird. Diese Abweichung ist freilich nicht unbedeutend, allein sie findet auch bloß statt bei der ungeheuren Oeffnung des großen Spiegels, die 0,458 seiner Brennweite beträgt. Wenn wir indessen jene Oeffnung auf  $\frac{1}{4}$  herabsetzen, so reducirt sich die Abweichung schon auf 0,0006214, und auf 0,0001203, wenn die Oeffnung bis auf  $\frac{1}{8}$  verkleinert wird. Hierzu kommt auch noch, daß die Abweichungskreise nach der Oeffnung des kleinen Spiegels abzumessen sind, die gegen 6mal kleiner ist als die des großen.

Wir wollen das schon in §. 1 aufgestellte Beispiel eines Telescop von 20 Zoll Focalweite und 5 Zoll Oeffnung wieder aufnehmen. Da hier die Oeffnung  $\frac{1}{4}$  von der Focalweite des großen Spiegels beträgt, so ist die Abweichung  $= 0,0006214$ . Da ferner der Oeffnungsdurchmesser des kleinen Spiegels etwa 10  $\frac{1}{2}$  Linien betragen wird, so hat man den Durchmesser des Abweichungskreises  $= 0,0006214 \times 10 \frac{1}{2} = 0,006421$  Linie. Dieses ist der größte Abweichungskreis; der kleinste beträgt, wie bei den vom Würfel der Oeffnung abhängigen Abweichungskreisen, auch bei denen, die von der 5ten Potenz der Oeffnung abhängen, ebenfalls  $\frac{1}{4}$  des größten. Unser Abweichungskreis hat also eigentlich 0,001605 Linien im Durchmesser. Nehmen wir ein Ocular von  $\frac{1}{2}$  Zoll Brennweite, welches dem Auge 40mal vergrößert, so erscheint jener Abweichungskreis als ein Object von  $0,001605 \times 40 = 0,0642$  Linien in der Weite des deutlichen Sehens, welches noch weniger als  $\frac{1}{32}$  Linie ist. Nach der Tabelle über die mit sphärischen Hohlspiegeln zu erreichenden telescopischen Vergrößerungen, die man in Smiths Optik findet, ist der gesehene Durchmesser des Abweichungskreises etwa  $\frac{1}{32}$  Linie, daher unser Telescop immer noch deutlicher, wenn wir von der Lichtstärke absehen. Durch eine genauere Rechnung, bei welcher auch die Dicke der Spiegellinsen mit zu berücksichtigen seyn wird, kann man aber eine noch vollkommenere Vereinigung der Central- und Randstrahlen, und somit auch größere Deutlichkeit erhalten.

Diese Undeutlichkeit findet aber nur statt bei der so starken Vergrößerung, welche 600fach ist. Nehmen wir aber ein Ocular von 1 Zoll Brennweite, wobei die Vergrößerung 120fach ist, so wird die Deutlichkeit 5mal größer, d. h. der gesehene Durchmesser des Abweichungskreises beträgt, nun weniger als  $\frac{1}{16}$  Linie, und das Telescop wird sehr vollkommen seyn.

Uebrigens läßt sich wohl so viel übersehen, daß es am besten seyn wird, wenn der Künstler mehrere Linsen zum kleinen Spiegel bearbeitet und dann diejenige auswählt, welche am meisten sich bewährt. Vielleicht trifft es sich dann, daß

die eine oder die andere so von der sphärischen Form abweicht, daß dadurch die Abweichung noch besser corrigirt wird.

### §. 10.

Wir dürfen uns aber auch einige Zweifel nicht verschweigen, welche noch gegen das im vorigen § beschriebene Telescop gemacht werden könnten; es fragt sich nämlich, ob die Farbenzerstreuung der Spiegel so weit corrigirt sey, daß der etwa noch übrige Rest derselben für unsere Sinne unmerklich wird.

Was nun zuerst die farbigen Randstrahlen betrifft, so ist wohl zu übersehen, daß ihre sphärische Abweichung nicht bedeutend seyn kann, aber wichtiger ist die Frage, ob die Zerstreuung überhaupt gehörig gehoben sey.

Da wir beide Spiegel aus demselben Glas verfertigt, so kann von einer Abweichung, wie sie als secundaires Spectrum bei achromatischen Linsen existirt, hier nicht die Rede seyn. Aber es ist noch eine andere Abweichung vorhanden, welche durch die Entfernung der beiden Spiegel, als der ihre Farbenzerstreuung gegenseitig aufhebenden Mittel, verursacht wird.

Wir haben nämlich in §. 9 Nr. 3  $\frac{dl}{r^2} = \frac{db}{b^2} - \frac{dp}{p^2} = 0$  gesetzt, da doch unter dieser Voraussetzung streng genommen kein Achromatismus eintreten kann.

Es ist nämlich ganz allgemein  $\frac{1}{l} = \frac{1}{p} - \frac{1}{b}$ , wo wir  $b$  und  $p$  positiv nehmen, also  $d\left(\frac{1}{l}\right) = d\left(\frac{1}{p}\right) - d\left(\frac{1}{b}\right)$ .

Hier ist nun  $d\left(\frac{1}{p}\right) = +\frac{\sigma dn}{p^2}$ , und diese Gleichung ist streng richtig, wenn wir die Wirkung der Glasdicke aus der Acht lassen, weil  $\frac{1}{p}$  eine ganze Function des ersten Grades von  $n$  ist. Ferner ist eigentlich  $d\left(\frac{1}{b}\right) = \frac{1}{b+db} - \frac{1}{b} = \frac{-db}{b(b+db)} = \frac{-db}{b^2} + \frac{db^2}{b^3} - \dots$ , also

$$d\left(\frac{1}{l}\right) = \frac{+\sigma dn}{p^2} + \frac{db}{b^2} - \frac{db^2}{b^3}.$$

Nun ist ferner  $db = -dp$ , und  $\frac{1}{p} = \frac{2n}{R} + \frac{2(n-1)}{r}$ , also  $\frac{1}{p+dp} - \frac{1}{p} = \frac{-dp}{p(p+dp)} = \frac{\sigma dn}{p^2}$ , oder  $\frac{dp}{1+\frac{dp}{p}} = -\sigma dn p$ , woraus  $dp = -\sigma dn p (1 - \sigma dn)$  folgt. Daher denn:

$$d\left(\frac{1}{l}\right) = \frac{\sigma dn}{p} + \frac{\sigma dn p}{b^2} - \frac{\Sigma^2 dn^2 p^2}{b^3} - \frac{\Sigma^2 dn^2 p^2}{b^3} = \frac{-dl}{l(1+dl)}.$$

Weil wir aber  $\frac{\sigma dn}{p} + \frac{\Sigma dn^2 P}{b^2} = 0$  gemacht haben, und es auch nicht anders machen dürfen, so haben wir noch eine Abweichung

$$dl = \frac{l(l+dl)}{b^2} \Sigma^2 dn^2 P \left(1 + \frac{P}{b}\right).$$

Statt  $l + dl$  dürfen wir aber nun  $l^2$  setzen, und weil in unserm Falle  $b$  negativ genommen werden muß, so ist

$$dl = -\frac{l^2}{b^2} P \left(\frac{P}{b} - 1\right) \Sigma^2 dn^2,$$

welches die noch übrige Abweichung ist, sofern sie vom Quadrat von  $dn$  abhängt. Setzen wir aber statt der Buchstaben die früher gefundenen Werthe, so wird sehr nahe

$$dl = -11,5 \, dn^2 P$$

$$\text{oder } dl = -11,17 \, dn^2 l$$

Setzen wir aber dann für die äußersten und schwächsten Strahlen des Spectrums  $dn = \frac{1}{100}$ , so wird

$$dl = -\frac{l}{895}.$$

So groß ist demnach die noch übrige Abweichung. Da aber dieselbe immer negativ bleibt, es mag  $dn$  positiv oder negativ seyn, so fallen die Farben, welche gleichweit von der mittleren abstehen, genau zusammen. Den Abweichungskreis construiren wir daher in der Mitte von  $dl$ , um ihn am kleinsten zu erhalten, weshalb eigentlich die Abweichung nur

$$dl = -\frac{l}{1790}$$

zu schätzen ist. Diese reducirt sich noch bedeutend weiter, wenn wir überlegen, daß die Abweichungskreise nach dem kleinen Spiegel abzumessen sind.

Man wird nun, um diese Art der Farbenzerstreuung möglichst unschädlich zu machen, in der Wahl des mittleren Brechungsverhältnisses  $n$  vorsichtig seyn müssen; es wird das arithmetische Mittel aus den Brechungsverhältnissen, der orangenen und dunkelblauen Strahlen am besten zum mittleren Brechungsverhältnis sich eignen, weil dann diese beiden lebhaften Farben nach einerlei Seite gleichviel abweichen und also genau zusammentreffen werden. Die Abweichung der zwischen ihnen liegenden Farben ist dann jedenfalls nur gering, und die der äußersten Strahlen, der geringen Intensität

halber, unschädlich. Auf diese Art können wir dahin gelangen, daß selbst bei den größten Fernröhren, deren Ausführung mit Glasspiegeln noch möglich ist, die von  $dn^2$  abhängige Farbenzerstreuung nichts schadet.

Es ist dabei ein großes Glück, daß der Werth von  $\Sigma$  und also auch die Farbenzerstreuung des Objectivspiegels, so gering ist, nämlich gegen 7,5 mal geringer, als bei einer Linse von gleicher Brennweite und aus gleicher Materie. Wäre die Zerstreuung des Spiegels der einer Linse gleich, so würde das Fernrohr ganz untauglich werden, weil dann die obige Farbenzerstreuung 66 mal größer werden würde.

Aus diesem Grunde scheint mir auch die von *Littrow* vorgeschlagene Trennung der beiden Linsen eines Doppelobjectivs sehr beschränkt werden zu müssen, wenn wir nicht ein Glas erfinden können, welches sehr viel weniger zerstreut, als unser jetziges Kronglas. Hätte man auch ein solches Flintglas, das so sehr zerstreute, daß man die Correctionslense von der Hauptlinse bis auf  $\frac{2}{3}$  ihrer Brennweite abrücken dürfte, so würde zwar die Ausführung eines solchen Instruments sehr erleichtert werden, es würde aber auch dasselbe wegen der Größe von  $dn^2$  abhängigen Farbenzerstreuung ganz unbrauchbar seyn.

#### §. 11.

Weit unter diesem nach *Cassegrainscher* Einrichtung construirten Telescop steht das *Gregorysche* mit Glasspiegeln. Die Nebenbilder werden zwar vollkommen unschädlich und der große Spiegel würde für sich eine ungeheure Oeffnung vertragen; allein der kleine Spiegel erhält bei sphärischen Flächen eine so ungeschickte Form, daß die Oeffnung des Instrumentes im Vergleich mit dem vorigen nur sehr gering seyn darf, wozu noch kommt, daß die von  $dn^2$  abhängige Farbenzerstreuung schon ziemlich bedeutend wird. Wir unterlassen daher hier die nähere Untersuchung dieses Instrumentes.

Es ließen sich wohl noch auch andere Arten Telescope mit Glasspiegeln construiren, allein sie scheinen den beiden in §. 6 und 9 beschriebenen nachzustehen.

Weimar, den 1<sup>sten</sup> September 1840.

Dr. Fr. W. Barfufs.

#### Inhalt.

Ueber Fernröhre mit Glasspiegeln und deren Vorzüge. Von Herrn Dr. Barfufs. p. 197.

Altona 1841. April 8.



### Neue Untersuchung der Reductionselemente der Declinationen und Bestimmung der Declinationen der Fundamentalsterne.

Von Herrn Geh. Rath und Ritter *Bessel*.

Es sind jetzt zwanzig Jahre verstrichen, seitdem ich meine, auf Beobachtungen mit dem Reichenbachschen Meridiankreise der Königsberger Sternwarte gegründeten Untersuchungen über die Reductionselemente der Declinationen bekannt machte und ihre Resultate zur Bestimmung der Declinationen der Fundamentalsterne und einer Anzahl von Circumpolarsternen anwandte. Diese Untersuchungen beruhten auf einer großen Anzahl von Beobachtungen und einer Vertheilung derselben, welche erwarten ließen, daß die Sicherheit ihrer Resultate, durch Anwendung desselben Apparats nicht leicht vermehrt werden könne. Indessen ist seit ihrer Aufsuchung so lange Zeit verfloßen, daß sowohl Fehler der Bestimmung der Declinationen für 1820, sich schon merklich vergrößert haben, als auch Fehler der Bestimmung für 1755, durch deren Vergleichung mit der erstern, die Reduction auf die gegenwärtige Zeit (1840) erlangt werden muß, schon merklich hervortreten. Wenn nämlich die Fehler der Bestimmungen für 1820 und für 1755 durch  $\epsilon$  und  $\epsilon'$  bezeichnet werden, so geht daraus, für 1840, der Fehler  $\frac{1}{2}\epsilon - \frac{1}{3}\epsilon'$  hervor. Man mußte daher die Sicherheit der Kenntniß der Declinationen für 1840 wesentlich vermehren können, wenn man denselben Apparat, der ihre Bestimmung für 1840 ergeben hat, zu einer neuen Bestimmung anwendete. Aber man konnte auch von zwei Verbesserungen der Beobachtungsart, welche ich unten näher angeben werde, einen günstigen Erfolg erwarten.

Ich veranlaßte daher Herrn Observator Dr. *Busch*, welcher die Meridianbeobachtungen auf der Königsberger Sternwarte seit dem Jahre 1831 ausführt, eine der früheren ähnliche Untersuchung vorzunehmen. Wie er diesem Wunsche entsprochen hat, wird das Folgende zeigen. Denn alle dazu angewandten Beobachtungen hat er allein ausgeführt, so wie er auch ihre Reduction auf 1840 selbst vorgenommen hat. Diese Arbeiten des Herrn Dr. *Busch* sind es, wodurch ich den Astronomen gegenwärtig eine nicht uninteressante Mittheilung zu machen gläube.

#### §. 1. Veränderungen der früheren Beobachtungsart.

Bekanntlich hat *Bohnenberger* ein sehr elegantes Verfahren angegeben, wodurch die Beobachtungen an Instrumenten,

welche zur Bestimmung der Declinationen dienen, unmittelbar auf die Richtung der Lothlinie ihres Standpuncts bezogen werden können. Es besteht in der Beobachtung des von einer, im Gleichgewichte befindlichen Quecksilberfläche reflectirten Bildes des Fadennetzes des senkrecht auf sie gerichteten Fernrohrs, und giebt unmittelbar die Stellung, in welcher seine Absehnslinie auf den Nadir gerichtet ist. Dieses Verfahren ist jederzeit und so leicht ausführbar, daß ich es für einen werthvollen Zusatz zur Beobachtungskunst halte. Ein Mittel, das Fadennetz von oben so stark zu beleuchten, daß man sein reflectirtes Bild sehen kann, verdanke ich der Mittheilung meines sinnreichen Freundes, Prof. von *Steinheil*; es besteht in einem kleinen Planglase, welches, im 45<sup>ten</sup> Grade gegen die Axe des Fernrohrs geneigt, auf der Fassung des Oculars aufgestellt wird; durch welche hindurch man in das Fernrohr sieht, und welches zugleich, wenn es dem durch ein Fenster einfallenden Tageslichte zugewandt wird, Licht genug in das Fernrohr reflectirt, um die beabsichtigte Wirkung hervorbringen. Als Herr *Baummann* in Berlin hier häufige Anwendungen dieser Einrichtung sah, war er der Meinung, daß man das Licht verstärken könne, wenn man einen, die Augenöffnung nur zum Theil verdeckenden Metallspiegel, statt des Planglases, anwende; er hatte auch die Güte, mir einen solchen Spiegel zu fertigen, welcher wirklich ein weit lebhafteres Licht giebt, als das, seinen größten Theil durchgehende lassende unbelegte Planglas.

Die Anwendung dieses Mittels, die lothrechte Lage der Absehnslinie des Meridiankreises unmittelbar zu erkennen, führt zur Kenntniß der Entfernungen beobachteter Sterne von dem Scheitelpuncte. Da diese früher nur durch die Verbindung von Beobachtungen in beiden entgegengesetzten Lagen der Axe des Instruments erlangt werden konnten, so konnte einer neuen Beobachtungsreihe der Vorzug vor der älteren gegeben werden, daß jede einzelne Beobachtung eines Sterns, von anderen Sternbeobachtungen ganz unabhängig, auf die Richtung der Schwere bezogen werden könnte. Die ältere Beobachtungsreihe bestimmte dagegen zunächst die Entfernungen der Sterne von dem *Pole*, welcher durch Beobachtungen von Circumpolarsternen erkannt wurde. Vor diesen hat

die Beobachtung des Nadirs die Vorzüge, daß sie von der Heiterkeit des Himmels nicht abhängig ist, also *jederzeit* vorgenommen werden kann, und daß das reflectirte Bild der Fäden dem Zittern der Luft nie unterworfen ist, welches die Sicherheit der Beobachtungen von Sternen häufig vermindert. Ich halte also die regelmäßige und häufige Anwendung des *Bohnbergerschen* Verfahrens für eine wesentliche Verbesserung der Beobachtungsart.

Durch die Bekanntmachung meiner früheren Untersuchung des auch gegenwärtig verfolgten Gegenstandes, ist die Beobachtung der von einer horizontalen Fläche reflectirten Bilder der Sterne, in die Praxis der Sternwarten eingeführt worden. Damals benutzte ich zu diesem Zwecke die Oberfläche des in einem drei Fuß Durchmesser habenden Gefäße enthaltenen Wassers; allein auf der Greenwicher Sternwarte hat *Pond* eine weit kleinere Quecksilberfläche angewandt und dadurch vollkommen gelungene Beobachtungen erhalten. Ich bin diesem Beispiele gefolgt, indem ich die horizontale Fläche gleichfalls durch Quecksilber, in einer amalgamirten, sehr wenig tiefen Schale von Kupfer enthalten, hervorgebracht habe. Dadurch gewinnt die Bequemlichkeit der Anwendung des Verfahrens beträchtlich; auch verliert es seine frühere Beschränkung auf die Wärme der Luft, in welchem das Wasser nicht gefriert; endlich sind Schwankungen, welche durch Luftzug oder andere zufällige Bewegungen entstehen, in dem wenig tiefen Quecksilbergefäße von weit kürzerer Dauer, als in dem tieferen Wassergefäße. Ich wünschte, daß die durch diese Einrichtung erlangte Erleichterung der Beobachtungen der reflectirten Bilder der Sterne häufige und namentlich bis zu größeren Entfernungen vom Scheitelpunkte fortgesetzte Anwendungen zur Folge haben mögte; allein wenn man sehr tiefe Sterne auf diese Art beobachten wollte, so war es nöthig, die untere Hälfte der Durchsichtsklappen zu öffnen, wodurch dem Luftzuge freier Zutritt eröffnet wurde, welchen Herr Dr. *Buch* selten schwach genug fand, um solche Sterne häufig beobachten zu können. Im Jahre 1840 ist ein beträchtlicher Bau auf der Sternwarte vorgenommen worden, wodurch sie zu dem Empfang eines neuen Meridianskreises, welchen ich der Kunst der Herren *A. & G. Repsold* verdanke werde, vorbereitet worden ist. Diese Gelegenheit habe ich benützt, um auch dem Verschlusse der Meridianschnittlinie eine Einrichtung zu geben, welche den Luftzug ungleich besser ausschließen wird, als die frühere. Die häufigere und allgemeinere Beobachtung der reflectirten Bilder der

Sterne war die zweite beabsichtigte Veränderung der früheren Beobachtungsart.

### §. 2. Beobachtungen der Circumpolarsterne.

Von 59 Sternen, welche bei der früheren Untersuchung in beiden Culminationen beobachtet worden sind, sind für die gegenwärtige 30 ausgewählt worden, wovon jedoch drei (*γ Bootis*, *η Herculis*, *α Aurigae*) in der unteren Culmination unbeobachtet geblieben sind. Ihre Zahl wurde auf etwa die Hälfte vermindert, um die zur allgemeineren Beobachtung ihrer reflectirten Bilder notwendige Zeit zu gewinnen. Alle Beobachtungen sind, durch Vergleichung mit der um 180° veränderten Bestimmung des Nadirs und durch Hinzufügung des Theilungsfehlers des Kreises, so wie die auf meine frühere Prüfung seiner Theilungen gegründete, S. VIII der Abtheilung VII der Königsberger Beobachtungen vorkommende Tafel ihm anzeigt, auf schreibbare Zenithdistanzen, und diese durch die Strahlenbrechungstafel, welche sich in den *Tabulis Regiomontanis* findet, auf wahre Zenithdistanzen reducirt worden. Die früher bestimmte Biegung des Fernrohrs ist dabei nicht berücksichtigt worden, weil ihre neue Bestimmung einer der Gegenstände der Untersuchung ist. Das, der Strahlenbrechung wegen, angewandte äußere Thermometer, ist durch die Methode untersucht worden, welche ich früher (Abth. VII. S. IX) bekannt gemacht habe; nachdem ich die inneren Ungleichheiten seiner Röhre dadurch erkannt hatte, haben die Herren *Plüser* und *Schick* ihm eine neue, ihnen angemessene Scale gegeben, so daß es die wahre Temperatur so lange unmittelbar anzeigt, als die Bestimmung seiner beiden festen Punkte nicht eine Aenderung erfährt. Das Barometer ist noch das früher benutzte, und seinen Höhen ist (Abth. VIII. S. IX) eine Pariser Linie hinzugesetzt worden. Ferner sind die Entfernungen der reflectirten Bilder der Sterne, durch Hinzufügung von 0<sup>m</sup>063 tang. Zon. Dist., von dem 3 Fuß unter der Axe des Instruments stehenden Quecksilbergefäße auf die Lothlinie des Instruments reducirt worden. Endlich ist Alles, durch die in den *Tabb. Regiom.* enthaltenen Hilfsmittel, auf 1840 gebracht, welche Epoche gewählt wurde, indem die Beobachtungen in die Zeit von 1836 bis zum Ende von 1840 fallen. In der folgenden Zusammenstellung trenne ich die in beiden entgegengesetzten Lagen des Instruments gemachten Beobachtungen, sowohl der Sterne selbst, als ihrer reflectirten Bilder, von einander,

|                       |                            | Obere Culminationen.           |    |        |    | Der reflectirten Bilder  |    |        |    |
|-----------------------|----------------------------|--------------------------------|----|--------|----|--------------------------|----|--------|----|
|                       |                            | Entfernung vom Scheitelpuncte. |    |        |    | Entfernung vom Fußpunkte |    |        |    |
|                       |                            | Ost.                           |    | West.  |    | Ost.                     |    | West.  |    |
| 30                    | $\alpha$ Lyrae .....       | 16° 4' 32,53                   | 9  | 31' 81 | 30 | 31' 94                   | 6  | 32' 95 | 5  |
| 29                    | $\gamma$ Bootis .....      | 15 42 9,71                     | 13 | 8,51   | 16 | 10,13                    | 9  | 10,10  | 21 |
| 28                    | $\eta$ Herculis .....      | 15 29 2,38                     | 8  | 0,77   | 10 | 1,98                     | 4  | 3,65   | 14 |
| 27                    | $\alpha$ Persei .....      | 15 10 21,84                    | 2  | 23,06  | 8  | —                        | —  | —      | —  |
| 26                    | $\gamma$ Cygni .....       | 14 57 58,85                    | 2  | 58,07  | 23 | 58,71                    | 10 | 59,46  | 13 |
| 25                    | $\beta$ Persei .....       | 14 22 49,80                    | 1  | 47,47  | 8  | —                        | —  | —      | —  |
| 24                    | $\gamma$ Andromedæ ..      | 13 9 20,17                     | 5  | 20,24  | 18 | 20,51                    | 18 | —      | —  |
| 23                    | $\alpha$ Cygni .....       | 10 0 9,61                      | 27 | 9,23   | 38 | 9,15                     | 6  | 10,70  | 12 |
| 22                    | $\alpha$ Aurigæ .....      | 8 53 12,78                     | 12 | 15,01  | 9  | 16,26                    | 15 | —      | —  |
| 21                    | $\delta$ Persei .....      | 7 26 39,47                     | 3  | 42,98  | 9  | —                        | —  | —      | —  |
| 20                    | $\alpha$ .....             | 5 25 42,45                     | 7  | 44,20  | 13 | —                        | —  | —      | —  |
| 19                    | $\theta$ Cygni .....       | 4 51                           | —  | 39,43  | 29 | —                        | —  | —      | —  |
| 18                    | $\gamma$ Ursæ majoris ..   | 4 35 59,10                     | 10 | 59,86  | 12 | —                        | —  | —      | —  |
| 17                    | $\iota$ Cygni .....        | 3 19                           | —  | 21,95  | 12 | —                        | —  | —      | —  |
| 16                    | $\gamma$ Draconis .....    | 3 12                           | —  | 15,10  | 27 | —                        | —  | —      | —  |
| 15                    | $\gamma$ Cygni .....       | 2 43                           | —  | 2,97   | 13 | —                        | —  | —      | —  |
| 14                    | $\psi$ .....               | 2 41                           | —  | 52,40  | 22 | —                        | —  | —      | —  |
| 13                    | XVIII. 170 .....           | 2 39                           | —  | 59,75  | 17 | —                        | —  | —      | —  |
| 12                    | $\beta$ Draconis .....     | 2 17                           | —  | 31,18  | 9  | —                        | —  | —      | —  |
| 11                    | $\alpha$ Cygni .....       | 1 38                           | —  | 20,09  | 24 | —                        | —  | —      | —  |
| 10                    | $\gamma$ Ursæ majoris ..   | 0 7 45,68                      | 16 | 46,97  | 18 | —                        | —  | —      | —  |
| 9                     | $\alpha$ Cassiopeiæ .....  | 0 56 40,91                     | 5  | 39,03  | 16 | —                        | —  | —      | —  |
| 8                     | $\alpha$ Cephei .....      | 7 11                           | —  | 42,07  | 20 | 46,68                    | 4  | 44,91  | 10 |
| 7                     | $\gamma$ Ursæ majoris ..   | 7 53 57,22                     | 20 | 57,12  | 13 | 60,18                    | 13 | 58,63  | 9  |
| 6                     | $\beta$ Cephei .....       | 15 8                           | —  | 42,22  | 22 | 44,36                    | 4  | 43,83  | 11 |
| 5                     | $\gamma$ Ursæ minoris ..   | 17 41 21,19                    | 9  | 21,25  | 27 | 22,11                    | 5  | 22,08  | 11 |
| 4                     | $\beta$ .....              | 20 5 42,66                     | 8  | 43,48  | 20 | 43,81                    | 8  | 43,78  | 11 |
| 3                     | $\gamma$ Cephei .....      | 22 1 31,95                     | 10 | 32,39  | 12 | 32,20                    | 3  | 35,15  | 4  |
| 2                     | $\delta$ Ursæ min. ....    | 31 52 38,11                    | 20 | 39,36  | 58 | —                        | —  | 39,97  | 7  |
| 1                     | $\alpha$ .....             | 33 44 30,86                    | 80 | 30,91  | 71 | 30,76                    | 27 | 30,37  | 17 |
| Untere Culminationen. |                            |                                |    |        |    |                          |    |        |    |
| 1                     | $\alpha$ Ursæ minoris ..N. | 36 49 46,81                    | 83 | 47,11  | 74 | 47,02                    | 20 | 48,21  | 12 |
| 2                     | $\delta$ .....             | 38 48 38,84                    | 22 | 39,41  | 25 | —                        | —  | —      | —  |
| 3                     | $\gamma$ Cephei .....      | 48 32 45,11                    | 19 | 48,16  | 7  | 48,62                    | 6  | 47,40  | 8  |
| 4                     | $\beta$ Ursæ min. ....     | 50 28 34,00                    | 9  | 34,57  | 11 | 36,65                    | 7  | 40,14  | 3  |
| 5                     | $\gamma$ .....             | 52 52 57,47                    | 6  | 55,80  | 8  | 56,59                    | 2  | 58,63  | 8  |
| 6                     | $\beta$ Cephei .....       | 55 25 35,60                    | 16 | 34,79  | 8  | 37,85                    | 6  | 34,98  | 1  |
| 7                     | $\alpha$ Ursæ maj. ....    | 62 40 20,02                    | 9  | 21,47  | 11 | 20,70                    | 1  | 20,64  | 4  |
| 8                     | $\alpha$ Cephei .....      | 63 22 35,34                    | 13 | 34,43  | 7  | 37,35                    | 6  | —      | —  |
| 9                     | $\alpha$ Cassiopeiæ .....  | 69 37 37,33                    | 19 | 37,57  | 3  | 39,70                    | 7  | 41,84  | 1  |
| 10                    | $\gamma$ Ursæ maj. ....    | 70 42 3,75                     | 5  | 5,36   | 14 | —                        | —  | 7,88   | 3  |
| 11                    | $\alpha$ Cygni .....       | 72 12 36,20                    | 10 | 33,53  | 2  | —                        | —  | —      | —  |
| 12                    | $\beta$ Draconis .....     | 72 51 47,87                    | 9  | 43,97  | 3  | —                        | —  | —      | —  |
| 13                    | XVIII. 170 .....           | 73 14 16,34                    | 1  | 12,00  | 2  | —                        | —  | —      | —  |
| 14                    | $\psi$ Cygni .....         | 73 16 8,57                     | 13 | 7,96   | 2  | —                        | —  | —      | —  |
| 15                    | $\gamma$ .....             | 73 17 18,72                    | 8  | 14,59  | 2  | —                        | —  | —      | —  |
| 16                    | $\gamma$ Draconis .....    | 73 46 32,13                    | 8  | 27,98  | 3  | —                        | —  | —      | —  |
| 17                    | $\iota$ Cygni .....        | 73 53 38,78                    | 12 | —      | —  | —                        | —  | —      | —  |
| 18                    | $\gamma$ Ursæ maj. ....    | 75 10 20,69                    | 1  | 16,11  | 10 | —                        | —  | —      | —  |
| 19                    | $\delta$ Cygni .....       | 75 25 54,74                    | 12 | 52,73  | 2  | —                        | —  | —      | —  |
| 20                    | $\alpha$ Persei .....      | 76 0 2,40                      | 10 | 4,20   | 11 | —                        | —  | —      | —  |
| 21                    | $\theta$ .....             | 78 0 62,30                     | 5  | 58,76  | 10 | —                        | —  | —      | —  |
| 22                    | $\alpha$ Cygni .....       | 80 34 26,74                    | 12 | 26,29  | 2  | —                        | —  | —      | —  |
| 23                    | $\gamma$ Andromedæ .....   | 83 43 41,14                    | 9  | 40,36  | 7  | —                        | —  | —      | —  |
| 24                    | $\beta$ Persei .....       | 84 57 7,35                     | 7  | 5,14   | 11 | —                        | —  | —      | —  |
| 25                    | $\gamma$ Cygni .....       | 85 32 17,51                    | 10 | —      | —  | —                        | —  | —      | —  |
| 26                    | $\alpha$ Persei .....      | 85 44 42,52                    | 6  | 42,56  | 10 | —                        | —  | —      | —  |
| 27                    | $\alpha$ Lyrae .....       | 86 38 50,30                    | 8  | 44,97  | 3  | —                        | —  | —      | —  |

## §. 3. Beobachtungen der Fundamentalsterne.

Die Beobachtungen der drei nördlichsten der Fundamentalsterne  $\alpha$  Aurigae,  $\alpha$  Cygni,  $\alpha$  Lyrae sind schon in der vo-

rigen Zusammenstellung angeführt; von den übrigen Sternen finden sich die folgenden.

|    |                           | Entfernung vom Scheitelpunkte. |       | Der reflectirten Bilder Entfernung vom Fußspunkte. |           |
|----|---------------------------|--------------------------------|-------|--|-----------|
|    |                           | Ost.                           | West. | Ost.   | West.     |
| 31 | $\alpha$ Geminorum *)...  | 22° 26' 55.45                  | 34    | 53° 78' 44   | 53° 95' 5 |
| 32 | $\beta$ Tauri.....        | 26 14 56.06                    | 53    | 55.29 44   | 56 97 17  |
| 33 | $\beta$ Geminorum.....    | 26 18 27.40                    | 59    | 26.44 47   | 27° 22' 5 |
| 34 | $\alpha$ Andromedae.....  | 26 30 26.37                    | 25    | 24.47 40   | —         |
| 35 | $\alpha$ Coronae.....     | 27 27 25.51                    | 43    | 24.07 73   | 24.67 7   |
| 36 | $\alpha$ Arietis.....     | 32 0 41.40                     | 46    | 40.71 27   | 41.78 7   |
| 37 | $\alpha$ Bootis.....      | 31 41 44.88                    | 51    | 43.60 61   | 44.40 5   |
| 38 | $\alpha$ Tauri.....       | 38 31 57.66                    | 52    | 56.49 29   | —         |
| 39 | $\beta$ Leonis.....       | 39 14 52.04                    | 14    | 51.61 21   | —         |
| 40 | $\alpha$ Herculis.....    | 40 8 11.05                     | 18    | 10.08 34   | 11.94 6   |
| 41 | $\alpha$ Pegasi.....      | 40 22 6.97                     | 31    | 4.86 35  | —         |
| 42 | $\gamma$ .....            | 40 25 13.86                    | 36    | 12.12 38   | —         |
| 43 | $\alpha$ Leonis.....      | 41 58 3.39                     | 44    | 2.64 28  | 4.90 16   |
| 44 | $\alpha$ Ophiuchi.....    | 42 1 56.88                     | 24    | 55.56 42   | 56.88 6   |
| 45 | $\gamma$ Aquilae.....     | 44 29 9.80                     | 31    | 8.07 106   | 10.46 44  |
| 46 | $\alpha$ .....            | 46 15 49.34                    | 43    | 47.44 118  | 47.75 11  |
| 47 | $\alpha$ Orionis.....     | 47 20 35.29                    | 40    | 34.04 37   | 35.99 16  |
| 48 | $\alpha$ Serpentis.....   | 47 46 50.48                    | 38    | 48.82 65   | 50.32 5   |
| 49 | $\beta$ Aquilae.....      | 48 42 8.82                     | 26    | 6.99 111   | 9.20 10   |
| 50 | $\alpha$ Canis minoris... | 49 5 4.16                      | 48    | 2.48 57  | 2.82 6    |
| 51 | $\alpha$ Ceti.....        | 51 15 23.35                    | 18    | 22.77 14   | —         |
| 52 | $\beta$ Virginis.....     | 52 2 53.58                     | 18    | 51.50 13   | —         |
| 53 | $\alpha$ Aquarii.....     | 55 48 31.34                    | 28    | 30.50 47   | —         |
| 54 | $\alpha$ Hydrae.....      | 62 40 57.62                    | 37    | 56.14 19   | 59.90 3   |
| 55 | $\beta$ Orionis.....      | 63 6 22.23                     | 55    | 20.93 50   | —         |
| 56 | $\alpha$ Virginis.....    | 65 2 17.68                     | 18    | 16.44 34   | —         |
| 57 | 1 $\alpha$ Capricorni.... | 67 42 43.68                    | 23    | 42.56 42   | —         |
| 58 | 2 $\alpha$ .....          | 67 44 —                        | —     | 59.21 6  | —         |
| 59 | 1 $\alpha$ Librae.....    | 70 2 32.58                     | 10    | 29.93 12   | —         |
| 60 | 2 $\alpha$ .....          | 70 5 13.97                     | 6     | 11.54 11   | —         |
| 61 | $\alpha$ Canis majoris... | 71 12 57.41                    | 23    | 57.20 23   | 61.85 3   |
| 62 | $\alpha$ Scorpii.....     | 80 47 6.14                     | 14    | 5.87 9   | —         |

\*) Der hellste von den beiden Sternen des Doppelsterns.

## §. 4. Verbindung der Beobachtungen mit den Reductions-Elementen und Declinationen.

Die Angaben der beiden vorigen §§. entsprechen den Ueberschriften der sie enthaltenden Columnen nur unter der Bedingung, daß die Ablesungen des Kreises, außer der schon angebrachten Verbesserung der Theilungsfehler, keiner weiteren Berichtigung bedürfen und daß die angewandte Strahlenbrechungstafel richtig sei. Ich werde aber eine durch die Schwere erzeugte Biegung des Fernrohrs des Instruments annehmen und ihre Größe, so wie auch die Größe eines Factors, womit die angewandten Strahlenbrechungen zu multipliciren sind, als unbekannte Größen betrachten, und deren Bestimmung durch jene Angaben suchen. Die Größe des Einflusses des Thermometerstandes auf die Strahlenbrechung, ist einer der Gegenstände der früheren Untersuchung gewesen, auf den ich diesmal nicht zurückkommen werde.

Wenn man von der Biegung des Fernrohrs des Meridiankreises nur annehmen will, daß sie in jeder Lage desselben durch unveränderliche Gegengewichte vernichtet werden könne, nicht aber, daß sie in lothrechter Lage des Fernrohrs verschwinde, so ist die durch sie nothwendig gemachte Verbesserung der beobachteten Zenithdistanzen von der Form

$$z \sin z + \beta \cos z$$

wo  $z$  die wahre Zenithdistanz bedeutet. Damit diese Formel für alle Punkte des Meridians gelte, muß  $z$  von 0 bis  $360^\circ$  gezählt werden. Zählt man  $z$  von dem Scheitelpunkte durch Süden, den Fußpunkt und Norden, bis wieder zum Scheitelpunkte, so ist eine nördliche Zenithdistanz  $z' = 360^\circ - z$  und ihre Verbesserung wegen der Biegung, die mit entgegengesetzten Zeichen genommen von  $360^\circ - z$ , oder

$$-z \sin z' - \beta \cos z'$$



wo die oberen Zeichen gelten, wenn die obere Culmination südlich von dem Scheitelpunkte, die unteren, wenn sie nördlich von demselben stattfindet. Wenn das, was von jeder zu der unteren Culmination gehörigen Angabe in den vier Columnen

$$\begin{aligned} 1^{\text{te}} \text{Col.} \dots n' &= -(m) - x \sin z' + \beta(1 + \cos z') - 2\Delta\phi - (p' \mp p) k \\ 2^{\text{te}} \text{Col.} \dots n_1 &= -(m) - x \sin z' - \beta(1 + \cos z') - 2\Delta\phi - (p' \mp p) k \\ 3^{\text{te}} \text{Col.} \dots n_2 &= -(m) + x \sin z' - \beta(1 - \cos z') - 2\Delta\phi - (p' \mp p) k \\ 4^{\text{te}} \text{Col.} \dots n_3 &= -(m) + x \sin z' + \beta(1 - \cos z') - 2\Delta\phi - (p' \mp p) k \end{aligned}$$

Die aus einer beobachteten Zenithdistanz abgeleitete wahre verliert desto mehr von ihrer Sicherheit, je größer sie ist. Ich habe dieses früher (Abth. VII. S. XIII) näher untersucht, indem ich das Gewicht einer wahren Z. D. durch

$$\left(\frac{0''.7126}{s}\right)^2$$

ausgedrückt und die Größe von  $s$ , für verschiedene Zenithdistanzen, durch die sich in ihrer Beobachtung zeigenden Unterschiede bestimmt habe. Man muß das Gewicht jeder Beobachtung, oder die Größe  $s$ , von welcher es abhängig gemacht worden ist, kennen, ehe man die auf den Beobach-

des Verzeichnisses §. 2 föhig bleibt, nachdem  $d = 125^\circ 17' 10''$  hinzugesetzt ist, durch  $n', n_1, n_2, n_3$  bezeichnet wird, erhält man durch diese Angaben die Gleichungen:

tungen der verschiedenen Sterne beruhenden Gleichungen, zur Bestimmung der ihnen gemeinschaftlichen unbekannten Größen  $x, \beta, \Delta\phi, k$  und der der oberen und unteren Culmination jedes Sterns gemeinschaftlichen ( $m$ ) anwenden kann. Ich stelle daher, in der folgenden Tafel, die Logarithmen der Gewichte ( $=p$ ) zusammen, welche Herr Dr. Buach, der angeführten früheren Untersuchung gemäß, den Beobachtungen der verschiedenen Sterne beigelegt hat. Diese Tafel enthält zugleich die angewandten Näherungswerte  $d$  der Declinationen, und die Werthe von  $\sin z, \cos z, p, p' \mp p$ , also Alles was zur Bildung der Gleichungen nothwendig ist.

### Circumpolarsterne.

|    | Obere Culmination. |          |          |      | $d$           | Untere Culmination. |           |           |            |
|----|--------------------|----------|----------|------|---------------|---------------------|-----------|-----------|------------|
|    | $\log p$           | $\sin z$ | $\cos z$ | $p$  |               | $\log p'$           | $\sin z'$ | $\cos z'$ | $p' \mp p$ |
| 1  | 9,95777            | 0,555    | 0,832    | 38,7 | 88° 27' 21,99 | 9,95395             | 0,599     | 0,800     | 82,1       |
| 2  | 9,95998            | 0,528    | 0,849    | 36,0 | 86 35 29,28   | 9,95164             | 0,625     | 0,780     | 84,3       |
| 3  | 9,97217            | 0,375    | 0,927    | 24,0 | 76 44 22,00   | 9,93723             | 0,749     | 0,662     | 91,5       |
| 4  | 9,97454            | 0,344    | 0,939    | 21,2 | 74 48 33,01   | 9,93350             | 0,771     | 0,636     | 91,6       |
| 5  | 9,97762            | 0,304    | 0,953    | 18,2 | 72 24 12,00   | 9,92843             | 0,797     | 0,603     | 96,1       |
| 6  | 9,98083            | 0,261    | 0,965    | 15,9 | 69 51 31,61   | 9,92306             | 0,823     | 0,567     | 102,3      |
| 7  | 9,98994            | 0,137    | 0,991    | 8,1  | 62 36 46,88   | 9,91044             | 0,888     | 0,459     | 124,4      |
| 8  | 9,99079            | 0,125    | 0,992    | 7,4  | 61 54 31,88   | 9,91044             | 0,894     | 0,448     | 124,8      |
| 9  | 9,99878            | 0,016    | 1,000    | 1,0  | 55 39 30,69   | 9,83669             | 0,937     | 0,348     | 161,0      |
| 10 | 0,00000            | 0,002    | 1,000    | 0,1  | 54 35 2,36    | 9,82665             | 0,944     | 0,330     | 170,2      |
| 11 | 9,99793            | 0,029    | 0,999    | 1,6  | 53 4 32,00    | 9,79721             | 0,952     | 0,306     | 190,5      |
| 12 | 9,99708            | 0,040    | 0,999    | 2,0  | 52 25 18,00   | 9,78761             | 0,956     | 0,295     | 195,4      |
| 13 | 9,99659            | 0,047    | 0,999    | 2,7  | 52 2 52,00    | 9,77812             | 0,957     | 0,288     | 201,0      |
| 14 | 9,99659            | 0,047    | 0,999    | 2,7  | 52 1 0,00     | 9,77812             | 0,958     | 0,288     | 200,5      |
| 15 | 9,99659            | 0,047    | 0,999    | 2,8  | 51 59 48,00   | 9,77812             | 0,958     | 0,288     | 202,7      |
| 16 | 9,99587            | 0,056    | 0,998    | 3,0  | 51 30 35,64   | 9,76873             | 0,960     | 0,279     | 206,8      |
| 17 | 9,99587            | 0,058    | 0,998    | 3,3  | 51 23 80,00   | 9,76873             | 0,961     | 0,277     | 210,1      |
| 18 | 9,99417            | 0,080    | 0,997    | 3,5  | 50 6 50,20    | 9,73215             | 0,967     | 0,256     | 217,9      |
| 19 | 9,99393            | 0,085    | 0,996    | 5,0  | 49 51 12,00   | 9,73215             | 0,968     | 0,252     | 230,7      |
| 20 | 9,99308            | 0,095    | 0,996    | 5,7  | 49 17 7,40    | 9,70569             | 0,970     | 0,242     | 225,2      |
| 21 | 9,99054            | 0,130    | 0,992    | 8,0  | 47 16 12,00   | 9,64692             | 0,978     | 0,208     | 257,7      |
| 22 | 9,98862            | 0,154    | 0,988    | 9,0  | 45 49 37,47   | —                   | —         | —         | —          |
| 23 | 9,98729            | 0,174    | 0,985    | 10,2 | 44 42 40,18   | 9,54733             | 0,985     | 0,164     | 342,5      |
| 24 | 9,98322            | 0,228    | 0,974    | 13,6 | 41 33 30,00   | 9,33631             | 0,994     | 0,109     | 475,6      |
| 25 | 9,98179            | 0,248    | 0,969    | 15,7 | 40 20 4,00    | 9,19515             | 0,996     | 0,088     | 557,4      |
| 26 | 9,98095            | 0,258    | 0,966    | 16,6 | 39 44 53,00   | 9,06957             | 0,997     | 0,078     | 656,0      |
| 27 | 9,98071            | 0,262    | 0,965    | 16,6 | 39 32 30,00   | 9,02085             | 0,997     | 0,074     | 636,9      |
| 28 | 9,98038            | 0,267    | 0,964    | 16,0 | 39 13 48,00   | —                   | —         | —         | —          |
| 29 | 9,98012            | 0,271    | 0,963    | 16,1 | 39 0 40,00    | —                   | —         | —         | —          |
| 30 | 9,96764            | 0,277    | 0,961    | 16,9 | 38 38 17,59   | 8,56929             | 0,998     | 0,058     | 813,9      |

## Fundamentalsterne.

|    | $\log p$ | $\sin \alpha$ | $\cos \alpha$ | $\rho$ | $d$           |
|----|----------|---------------|---------------|--------|---------------|
| 31 | 9,97182  | 0,382         | 0,924         | 24,1   | 32°13' 56"19  |
| 32 | 9,96688  | 0,442         | 0,897         | 29,3   | 28 27 53,56   |
| 33 | 9,96688  | 0,443         | 0,896         | 29,0   | 28 24 22,83   |
| 34 | 9,96664  | 0,446         | 0,895         | 30,3   | 28 12 24,71   |
| 35 | 9,96548  | 0,461         | 0,887         | 29,6   | 27 15 25,37   |
| 36 | 9,95988  | 0,531         | 0,848         | 36,6   | 22 42 8,83    |
| 37 | 9,95650  | 0,569         | 0,822         | 40,0   | 20 1 5,68     |
| 38 | 9,95188  | 0,602         | 0,799         | 45,4   | 16 10 53,38   |
| 39 | 9,95096  | 0,633         | 0,774         | 47,9   | 15 27 58,30   |
| 40 | 9,94932  | 0,645         | 0,765         | 48,1   | 14 34 38,96   |
| 41 | 9,94980  | 0,648         | 0,762         | 50,6   | 14 20 44,45   |
| 42 | 9,94980  | 0,644         | 0,761         | 52,2   | 14 17 36,76   |
| 43 | 9,94762  | 0,669         | 0,744         | 52,6   | 12 44 46,92   |
| 44 | 9,94762  | 0,670         | 0,743         | 51,9   | 12 40 53,97   |
| 45 | 9,94464  | 0,701         | 0,713         | 57,6   | 10 13 40,45   |
| 46 | 9,94408  | 0,710         | 0,691         | 60,6   | 8 27 1,49     |
| 47 | 9,94408  | 0,735         | 0,678         | 63,7   | 7 22 15,10    |
| 48 | 9,94408  | 0,741         | 0,672         | 63,1   | 6 55 59,73    |
| 49 | 9,94408  | 0,751         | 0,660         | 66,4   | 6 0 41,34     |
| 50 | 9,94408  | 0,756         | 0,655         | 68,3   | 5 37 44,74    |
| 51 | 9,94408  | 0,780         | 0,626         | 76,4   | 3 27 26,85    |
| 52 | 9,94408  | 0,789         | 0,615         | 75,1   | 2 39 56,96    |
| 53 | 9,93272  | 0,827         | 0,562         | 85,4   | — 1 5 41,11   |
| 54 | 9,91044  | 0,888         | 0,460         | 112,8  | — 7 58 7,69   |
| 55 | 9,91044  | 0,892         | 0,452         | 118,8  | — 8 23 31,81  |
| 56 | 9,89952  | 0,907         | 0,422         | 123,3  | — 10 19 27,93 |
| 57 | 9,84686  | 0,925         | 0,379         | 140,2  | — 12 59 53,14 |
| 58 | 9,84686  | 0,926         | 0,379         | 142,4  | — 13 2 10,49  |
| 59 | 9,83670  | 0,940         | 0,341         | 159,8  | — 15 19 40,74 |
| 60 | 9,83670  | 0,941         | 0,341         | 158,5  | — 15 22 1,91  |
| 61 | 9,81674  | 0,947         | 0,322         | 167,0  | — 16 30 7,57  |
| 62 | 9,83584  | 0,987         | 0,160         | 335,9  | — 26 4 15,01  |

## §. 5. Auflösung der durch das Forige gegebenen Gleichungen.

Diese Gleichungen haben die, jedem Sterne eigenthüm-

|      |   |        |                 |                |                     |         |
|------|---|--------|-----------------|----------------|---------------------|---------|
| (1)  | = | -0,122 | -0,039 $\alpha$ | -0,001 $\beta$ | -0,980 $\Delta\phi$ | -40°2 k |
| (2)  | = | +0,448 | +0,066 $\alpha$ | +0,128 $\beta$ | -0,703 $\Delta\phi$ | -29,6 k |
| (3)  | = | +0,789 | -0,040 $\alpha$ | +0,346 $\beta$ | -1,120 $\Delta\phi$ | -51,2 k |
| (4)  | = | +0,858 | -0,053 $\alpha$ | +0,233 $\beta$ | -0,735 $\Delta\phi$ | -35,7 k |
| (5)  | = | +0,669 | +0,005 $\alpha$ | +0,489 $\beta$ | -0,492 $\Delta\phi$ | -23,6 k |
| (6)  | = | +1,580 | +0,165 $\alpha$ | +0,823 $\beta$ | -0,830 $\Delta\phi$ | -41,5 k |
| (7)  | = | +1,418 | -0,126 $\alpha$ | -0,197 $\beta$ | -0,588 $\Delta\phi$ | -34,2 k |
| (8)  | = | +1,914 | -0,174 $\alpha$ | +0,796 $\beta$ | -0,777 $\Delta\phi$ | -46,3 k |
| (9)  | = | -0,195 | -0,209 $\alpha$ | +0,820 $\beta$ | -0,994 $\Delta\phi$ | -79,8 k |
| (10) | = | +1,587 | -0,286 $\alpha$ | -0,055 $\beta$ | -0,605 $\Delta\phi$ | -51,5 k |
| (11) | = | -1,053 | -0,250 $\alpha$ | +1,729 $\beta$ | -0,479 $\Delta\phi$ | -45,6 k |
| (12) | = | +2,765 | -0,454 $\alpha$ | +0,462 $\beta$ | -0,902 $\Delta\phi$ | -86,2 k |
| (13) | = | -1,142 | -0,134 $\alpha$ | +1,765 $\beta$ | -0,184 $\Delta\phi$ | -19,4 k |
| (14) | = | -1,258 | -0,313 $\alpha$ | +1,691 $\beta$ | -0,583 $\Delta\phi$ | -58,5 k |
| (15) | = | +0,641 | -0,337 $\alpha$ | +1,610 $\beta$ | -0,635 $\Delta\phi$ | -64,3 k |
| (16) | = | +0,058 | -0,232 $\alpha$ | +1,723 $\beta$ | -0,389 $\Delta\phi$ | -39,4 k |
| (17) | = | -0,759 | -0,385 $\alpha$ | +1,889 $\beta$ | -0,773 $\Delta\phi$ | -76,3 k |
| (18) | = | +0,286 | -0,080 $\alpha$ | +0,182 $\beta$ | .....               | .....   |
| (19) | = | -1,430 | -0,085 $\alpha$ | +1,996 $\beta$ | .....               | .....   |
| (20) | = | -0,988 | -0,094 $\alpha$ | +0,699 $\beta$ | .....               | .....   |
| (21) | = | -4,102 | -0,130 $\alpha$ | +0,996 $\beta$ | .....               | .....   |

lichen unbekannten Größen (1), (2), (3)....(62), die beiden allen Sternen gemeinschaftlichen  $\alpha$ ,  $\beta$ , und die beiden nur bei den in der unteren Culmination beobachteten Sternen vorkommenden  $\Delta\phi$  und  $k$ . Obgleich die Gewichte der Beobachtungen in verschiedenen Zeitabständen, mit Rücksicht auf ihre, dem Horizonte zu, stark wachsenden Fehler bestimmt worden sind, so habe ich doch für angemessen erachtet, die hierdurch sehr gering werdenden Beiträge, welche die in 75° überschreitenden Zenithdistanzen gemachten Beobachtungen zu der Bestimmung von  $\alpha$ ,  $\beta$  und  $\Delta\phi$  liefern könnten, ganz zu vernachlässigen, so wie auch die, den in ihrer unteren Culmination über diese Grenze hinausgehenden Sternen zugehörigen ( $m$ ) der oberen Culmination allein gemäß zu bestimmen. Nachdem also die Gleichungen, nach der Ausschließung der aus den unteren Culminationen der Sterne 18 bis 30 hervorgehenden, auf die der Methode der kleinsten Quadrate gemäße Art, zur Erlangung der Ausdrücke von (1), (2), (3),....(62) angewandt worden wären, würden sie, nach fernerer Ausschließung des Sterns 62, auch in Beziehung auf die unbekannten Größen  $\alpha$ ,  $\beta$ ,  $\Delta\phi$  so behandelt, wie diese Methode es fordert, in Beziehung auf  $k$  aber ohne Ausschließung einer Gleichung. Die hierdurch erlangten, zur Bestimmung von  $\alpha$ ,  $\beta$ ,  $\Delta\phi$ ,  $k$  führenden Gleichungen, würden dann, durch Substitution der schon bekannt gewordenen Ausdrücke von (1), (2), (3),....(61), von diesen unbekannten Größen befreit, und ergaben so die notwendigen 4 Gleichungen zur Bestimmung von  $\alpha$ ,  $\beta$ ,  $\Delta\phi$ ,  $k$ .

Ich lasse jetzt die Resultate dieser Rechnungen, so wie Herr Dr. Busch sie gefunden hat, hier folgen.

|            |   |                             |
|------------|---|-----------------------------|
| $\Delta d$ | = | (1) + $\Delta\phi$ + 38°7 k |
|            | = | (2) + $\Delta\phi$ + 35,7 k |
|            | = | (3) + $\Delta\phi$ + 24,0 k |
|            | = | (4) + $\Delta\phi$ + 21,2 k |
|            | = | (5) + $\Delta\phi$ + 18,2 k |
|            | = | (6) + $\Delta\phi$ + 15,9 k |
|            | = | (7) + $\Delta\phi$ + 8,1 k  |
|            | = | (8) + $\Delta\phi$ + 7,4 k  |
|            | = | (9) + $\Delta\phi$ + 1,0 k  |
|            | = | (10) + $\Delta\phi$ + 0,1 k |
|            | = | (11) + $\Delta\phi$ - 1,6 k |
|            | = | (12) + $\Delta\phi$ - 2,0 k |
|            | = | (13) + $\Delta\phi$ - 2,7 k |
|            | = | (14) + $\Delta\phi$ - 2,7 k |
|            | = | (15) + $\Delta\phi$ - 2,8 k |
|            | = | (16) + $\Delta\phi$ - 3,0 k |
|            | = | (17) + $\Delta\phi$ - 3,3 k |
|            | = | (18) + $\Delta\phi$ - 3,5 k |
|            | = | (19) + $\Delta\phi$ - 5,0 k |
|            | = | (20) + $\Delta\phi$ - 5,7 k |
|            | = | (21) + $\Delta\phi$ - 8,0 k |

|        |        |                 |                |  |
|--------|--------|-----------------|----------------|--|
| (22) = | -2'258 | -0,026 $\alpha$ | -0,161 $\beta$ | $\Delta d =$ (22) + $\Delta\phi$ - 9,0 $k$ |
| (23) = | +0,260 | -0,099 $\alpha$ | +0,262 $\beta$ | (23) + $\Delta\phi$ - 10,2 $k$             |
| (24) = | -0,313 | -0,110 $\alpha$ | +0,834 $\beta$ | (24) + $\Delta\phi$ - 13,6 $k$             |
| (25) = | -1,694 | -0,246 $\alpha$ | +1,531 $\beta$ | (25) + $\Delta\phi$ - 13,7 $k$             |
| (26) = | -1,613 | -0,011 $\alpha$ | +0,859 $\beta$ | (26) + $\Delta\phi$ - 13,6 $k$             |
| (27) = | -2,818 | -0,263 $\alpha$ | +1,180 $\beta$ | (27) + $\Delta\phi$ - 16,6 $k$             |
| (28) = | -0,382 | +0,007 $\alpha$ | +0,158 $\beta$ | (28) + $\Delta\phi$ - 16,0 $k$             |
| (29) = | +0,411 | +0,005 $\alpha$ | +0,092 $\beta$ | (29) + $\Delta\phi$ - 16,1 $k$             |
| (30) = | +0,341 | +0,155 $\alpha$ | +0,823 $\beta$ | (30) + $\Delta\phi$ - 16,9 $k$             |
| (31) = | -0,659 | -0,319 $\alpha$ | +0,229 $\beta$ | (31) + $\Delta\phi$ - 24,1 $k$             |
| (32) = | +0,521 | -0,310 $\alpha$ | -0,134 $\beta$ | (32) + $\Delta\phi$ - 29,3 $k$             |
| (33) = | +0,152 | -0,367 $\alpha$ | -0,196 $\beta$ | (33) + $\Delta\phi$ - 29,0 $k$             |
| (34) = | +0,089 | -0,446 $\alpha$ | +0,437 $\beta$ | (34) + $\Delta\phi$ - 30,3 $k$             |
| (35) = | -0,041 | +0,282 $\alpha$ | +0,382 $\beta$ | (35) + $\Delta\phi$ - 29,6 $k$             |
| (36) = | -0,030 | -0,437 $\alpha$ | -0,426 $\beta$ | (36) + $\Delta\phi$ - 36,6 $k$             |
| (37) = | +0,067 | -0,435 $\alpha$ | +0,136 $\beta$ | (37) + $\Delta\phi$ - 40,0 $k$             |
| (38) = | -0,409 | -0,602 $\alpha$ | -0,511 $\beta$ | (38) + $\Delta\phi$ - 45,4 $k$             |
| (39) = | -0,082 | -0,633 $\alpha$ | +0,355 $\beta$ | (39) + $\Delta\phi$ - 47,9 $k$             |
| (40) = | +0,480 | -0,387 $\alpha$ | +0,431 $\beta$ | (40) + $\Delta\phi$ - 48,1 $k$             |
| (41) = | -0,301 | -0,648 $\alpha$ | +0,107 $\beta$ | (41) + $\Delta\phi$ - 50,6 $k$             |
| (42) = | +0,274 | -0,648 $\alpha$ | +0,047 $\beta$ | (42) + $\Delta\phi$ - 52,2 $k$             |
| (43) = | -0,390 | -0,361 $\alpha$ | -0,387 $\beta$ | (43) + $\Delta\phi$ - 52,6 $k$             |
| (44) = | -0,200 | -0,358 $\alpha$ | +0,341 $\beta$ | (44) + $\Delta\phi$ - 51,9 $k$             |
| (45) = | +0,940 | -0,397 $\alpha$ | +0,889 $\beta$ | (45) + $\Delta\phi$ - 57,6 $k$             |
| (46) = | +0,575 | -0,619 $\alpha$ | +0,935 $\beta$ | (46) + $\Delta\phi$ - 60,6 $k$             |
| (47) = | -0,013 | -0,482 $\alpha$ | +0,001 $\beta$ | (47) + $\Delta\phi$ - 63,7 $k$             |
| (48) = | +0,753 | -0,480 $\alpha$ | +0,330 $\beta$ | (48) + $\Delta\phi$ - 63,1 $k$             |
| (49) = | +1,196 | -0,649 $\alpha$ | +0,983 $\beta$ | (49) + $\Delta\phi$ - 66,4 $k$             |
| (50) = | +2,007 | -0,625 $\alpha$ | +0,130 $\beta$ | (50) + $\Delta\phi$ - 68,3 $k$             |
| (51) = | +0,054 | -0,780 $\alpha$ | -0,203 $\beta$ | (51) + $\Delta\phi$ - 76,4 $k$             |
| (52) = | +0,332 | -0,789 $\alpha$ | -0,261 $\beta$ | (52) + $\Delta\phi$ - 75,1 $k$             |
| (53) = | +0,296 | -0,827 $\alpha$ | +0,396 $\beta$ | (53) + $\Delta\phi$ - 85,4 $k$             |
| (54) = | +0,573 | -0,889 $\alpha$ | -0,470 $\beta$ | (54) + $\Delta\phi$ - 112,8 $k$            |
| (55) = | +0,199 | -0,892 $\alpha$ | -0,069 $\beta$ | (55) + $\Delta\phi$ - 118,8 $k$            |
| (56) = | +1,061 | -0,907 $\alpha$ | +0,438 $\beta$ | (56) + $\Delta\phi$ - 123,3 $k$            |
| (57) = | +0,184 | -0,925 $\alpha$ | +0,403 $\beta$ | (57) + $\Delta\phi$ - 140,2 $k$            |
| (58) = | +1,281 | -0,927 $\alpha$ | +1,379 $\beta$ | (58) + $\Delta\phi$ - 142,4 $k$            |
| (59) = | -0,394 | -0,940 $\alpha$ | +0,122 $\beta$ | (59) + $\Delta\phi$ - 159,8 $k$            |
| (60) = | -0,488 | -0,942 $\alpha$ | +0,395 $\beta$ | (60) + $\Delta\phi$ - 158,5 $k$            |
| (61) = | +0,002 | -0,836 $\alpha$ | +0,092 $\beta$ | (61) + $\Delta\phi$ - 167,0 $k$            |
| (62) = | -1,025 | -0,987 $\alpha$ | -0,252 $\beta$ | (61) + $\Delta\phi$ - 335,9 $k$            |

Die vier, zur Bestimmung von  $\alpha$ ,  $\beta$ ,  $\Delta\phi$  und  $k$  dienenden Gleichungen sind:

$$\begin{aligned}
 +733'56 &= 519,86\alpha - 5,58\beta + 345,56\Delta\phi + 20586k \\
 -2041,20 &= -5,58\alpha + 8915,75\beta + 233,02\Delta\phi + 10896k \\
 +968,20 &= +345,56\alpha + 233,02\beta + 1009,28\Delta\phi + 56239k \\
 +82937,3 &= 32821,3\alpha + 22668,9\beta + 84672,6\Delta\phi + 9201460k
 \end{aligned}$$

Ihre Auflösung ergibt:

$$\begin{aligned}
 \alpha &= +0''9498 \\
 \beta &= -0,2465 \\
 \Delta\phi &= +0,7054 \\
 k &= -0,0002583.
 \end{aligned}$$

### §. 6. Vergleichung der jetzt und im J. 1820 bestimmten $\phi$ Werthe der Reductionselemente der Declinationen.

Der jetzt bestimmte Ausdruck der von der Wirkung der Schwere auf den Meridiankreis herrührenden Verbesserung einer beobachteten südlichen Zenithdistanz ist, je nachdem der Kreis gegen Osten oder gegen Westen gewandt ist:

$$+0''9498 \sin z \mp 0''2465 \cos z$$

oder die Verbesserung seiner beobachteten Angabe  $u$  ist:

$$= +0''9498 \sin(u + 1^\circ 33') - 0''2465 \cos(u + 1^\circ 33').$$

Früher fand ich den Ausdruck derselben Verbesserung (Abthl. VII. p. XIX)

$$= +1''11 \sin(u + 1^\circ 33') + 0''26 \cos(u + 1^\circ 33')$$



Das erste Glied beider Ausdrücke ist so nahe übereinstimmend, als man zu erwarten berechtigt seyn kann, das zweite ist aber eine halbe Secunde verschieden. Zufällige Beobachtungsfehler lassen eine so große Verschiedenheit nicht erwarten. Ich würde glauben, daß das Instrument in der Zwischenzeit eine kleine Aenderung erfahren habe, wenn nicht ein Grund vorhanden wäre, dem angenommenen Gesetze der Biegung zu misstrauen. Diesen Grund giebt die, durch zwei etwa horizontal gerichtete Fernröhre erlangte Bestimmung der Biegung, aus welcher sie nahe verschwindend hervorging (Abthl. X. p. IV), während sie, *beiden* auf die Beobachtung der Sterne und ihrer reflectirten Bilder gegründeten Bestimmungen zufolge, in der horizontalen Lage des Fernrohrs nahe eine Secunde groß erscheint. Ist das Gesetz der Biegung anders als das angenommene, so muß ihre neue Bestimmung von der älteren abweichen, indem sie den beobachteten Ort des Nadirs, die frühere den des Pols, zum Ausgangspunkte wählt, auch auf der bis zu größeren Zenithdistanzen fortgesetzten Beobachtung der reflectirten Bilder beruhet. Daß die neue Bestimmung den vom Orte des Nadirs ausgehenden Beobachtungen der Sterne angemessener ist als die frühere und auch als die Annahme einer verschwindenden Biegung, ist nicht zweifelhaft.

Die *Polhöhe* des Meridiankreises geht aus der neuen Bestimmung

$$= 54^{\circ}42'50''705$$

hervor, während die frühere sie  $= 54^{\circ}42'50''52$ , also  $0''185$  kleiner ergab. Ich glaube nicht, daß man berechtigt ist, eine größere Uebereinstimmung zu erwarten, zumal die über die Biegung gemachte Bemerkung zeigt, daß die übrigbleibende Unsicherheit nicht nach den zufälligen Beobachtungsfehlern allein beurtheilt werden darf.

Die *Strahlenbrechung* ist, durch die neue Bestimmung, im Verhältnisse 1:1—0,0002583 verändert worden. Diese Veränderung beträgt in der Zenithdistanz von  $45^{\circ}$  nur  $-0''016$ ; sie ist nicht größer als eine Veränderung des Thermometerstandes um ein Achtel Grad der *Fahrenheit* Scale, oder des Barometerstandes um ein Zehntel Linie, sie hervorbringen würde. Sie ist viel zu klein, um eine Veränderung der auf der früheren Untersuchung beruhenden, in den *Tabulis Regiom.* abgedruckten Strahlenbrechungstafel rechtfertigen zu können, denn sie liegt in den Grenzen der Unsicherheit, sowohl der einen als der anderen Bestimmung; so daß die so nahe Uebereinstimmung beider als ein glücklicher Zufall erscheint.

### §. 7. Bestimmung der Declinationen der beobachteten Sterne für 1840.

Man erlangt diese Bestimmung, indem man, in den §. 5 mitgetheilten Ausdrücken von  $\Delta d$ , die gefundenen Werthe von

$\alpha$ ,  $\beta$ ,  $\Delta\phi$ ,  $\delta$  substituirt und die dadurch gefundenen Werthe von  $\Delta d$  den §. 4 angeführten Annahmen von  $d$  hinzugefügt. Dadurch erhält man:

|                        | Decl. 1840.  |                        | Decl. 1840.   |
|------------------------|--------------|------------------------|---------------|
| 1 $\alpha$ Ursae min.  | 88°27'21''84 | 32 $\beta$ Tauri       | 28°27'54''53  |
| 2 $\delta$ —           | 86 35 29,97  | 33 $\beta$ Geminor.    | 28 24 23,39   |
| 3 $\gamma$ Cephei      | 76 44 22,59  | 34 $\alpha$ Androm.    | 28 12 24,98   |
| 4 $\beta$ Ursae maj.   | 74 48 33,95  | 35 $\alpha$ Coronae    | 27 15 26,22   |
| 5 $\gamma$ —           | 72 24 12,90  | 36 $\alpha$ Arietis    | 22 42 9,24    |
| 6 $\beta$ Cephei       | 69 51 33,31  | 37 $\alpha$ Bootis     | 20 1 6,02     |
| 7 $\alpha$ Ursae maj.  | 62 36 48,55  | 38 $\alpha$ Tauri      | 16 10 53,23   |
| 8 $\alpha$ Cephei      | 61 54 33,60  | 39 $\beta$ Leonis      | 15 27 58,25   |
| 9 $\alpha$ Cassiop.    | 55 39 30,32  | 40 $\alpha$ Herculis   | 14 34 89,68   |
| 10 $\gamma$ Ursae maj. | 54 35 5,98   | 41 $\alpha$ Pegasi     | 14 20 44,23   |
| 11 $\alpha$ Cygni      | 53 4 30,66   | 42 $\gamma$ —          | 14 17 37,13   |
| 12 $\beta$ Draconis    | 52 25 20,32  | 43 $\alpha$ Leonis     | 12 44 47,00   |
| 13 XVIII. 170          | 52 2 50,87   | 44 $\alpha$ Ophiuchi   | 12 40 54,06   |
| 14 $\psi$ Cygni        | 52 0 58,34   | 45 $\gamma$ Aquilae    | 10 13 41,32   |
| 15 $\gamma$ —          | 51 59 48,20  | 46 $\alpha$ —          | 8 27 1,97     |
| 16 $\gamma$ Draconis   | 51 30 35,49  | 47 $\alpha$ Orionis    | 7 22 15,35    |
| 17 $\alpha$ Ursae maj. | 51 23 28,65  | 48 $\alpha$ Serpentis  | 6 56 0,67     |
| 18 $\alpha$ Ursae maj. | 50 6 51,07   | 49 $\beta$ Aquilae     | 6 0 42,40     |
| 19 $\delta$ Cygni      | 49 51 10,70  | 50 $\alpha$ Canis min. | 5 37 46,85    |
| 20 $\alpha$ Persei     | 49 17 6,88   | 51 $\alpha$ Ceti       | 3 27 26,94    |
| 21 $\delta$ —          | 47 16 8,26   | 52 $\beta$ Virginis    | 2 39 57,33    |
| 22 $\alpha$ Aurigae    | 46 49 35,93  | 53 $\alpha$ Aquarii    | — 1 5 40,97   |
| 23 $\alpha$ Cygni      | 44 42 40,99  | 54 $\alpha$ Hydre      | — 7 58 7,11   |
| 24 $\gamma$ Androm.    | 41 33 30,09  | 55 $\beta$ Orionis     | — 8 23 81,70  |
| 25 $\beta$ Persei      | 40 20 2,40   | 56 $\alpha$ Virginis   | — 10 19 27,10 |
| 26 $\gamma$ Cygni      | 39 44 51,87  | 57 $1\alpha$ Capric.   | — 12 59 53,19 |
| 27 $\alpha$ Persei     | 39 32 27,35  | 58 $2\alpha$ —         | — 13 2 9,69   |
| 28 $\gamma$ Herculis   | 39 13 48,30  | 59 $1\alpha$ Librae    | — 15 19 41,31 |
| 29 $\gamma$ Bootis     | 39 0 41,10   | 60 $\alpha$ —          | — 15 22 22,64 |
| 30 $\alpha$ Lyrae      | 38 38 18,29  | 61 $\alpha$ Canis maj. | — 16 30 7,64  |
| 31 $\alpha$ Geminor.   | 32 13 55,88  | 62 $\alpha$ Scorpii    | — 26 4 16,12  |

### §. 8. Vergleichung der für 1820 bestimmten Declinationen mit den jetzt für 1840 gefundenen.

Die Bestimmungen der Declinationen der beiden Polarsterne für 1840, weichen von den auf die früheren und ihre Vergleichung mit den Fundamentis Astronomiae gegründeten Angaben in den *Tabb. Regiom.*

$$\alpha \text{ Ursae minoris} - 0''15$$

$$\delta \text{ —————} + 0,69$$

ab. Für alle übrigen, oben bestimmten Sterne theile ich hier die nach der Formel \*)

$$+ 20''06569 \cos \alpha$$

berechnete jährliche Precession für 1840, nebst ihrer, nach der Formel \*\*)

$$- 0''19501 \tan \delta \sin \alpha - 0''44781 \sin \alpha - 0''00970 \cos \alpha$$

\*) *Tabb. Regiom. p. X u. XI.*

\*\*) *ebendaselbst.*

berechneten Sicularänderung mit; ferner die, unter Voraussetzung dieser Zahlen, durch die Vergleichung der Declinationen für 1755 und 1840, gefundenen Werthe der jährlichen eigenen Bewegungen; endlich die Unterschiede der Bestimmung der Declinationen für 1820, von den aus diesen Elementen berechneten.

|    |                          | Jährliche<br>Prograss. | Secular-<br>Veränd. | Jährl. eig.<br>Bewegung. | Verz.<br>1820. |
|----|--------------------------|------------------------|---------------------|--------------------------|----------------|
| 3  | $\gamma$ Cephei.....     | +19 915                | + 0 032             | + 0 152                  | -0 09          |
| 4  | $\beta$ Urae minoris ..  | -14 713                | - 0 020             | - 0 034                  | - 0 68         |
| 5  | $\gamma$ —————           | -12 822                | - 0 013             | - 0 069                  | - 0 04         |
| 6  | $\beta$ Cephei.....      | +15 727                | + 0 066             | + 0 042                  | - 1 31         |
| 7  | $\alpha$ Urae majoris .. | -19 225                | - 0 149             | - 0 072                  | - 1 23         |
| 8  | $\alpha$ Cephei.....     | +15 065                | + 0 129             | + 0 004                  | - 1 34         |
| 9  | $\alpha$ Cassiopee....   | +19 867                | + 0 076             | + 0 057                  | + 0 40         |
| 10 | $\gamma$ Urae majoris .. | -20 015                | - 0 020             | - 0 005                  | - 1 15         |
| 11 | $\alpha$ Cygni.....      | + 6 314                | + 0 188             | + 0 084                  | + 0 92         |
| 12 | $\beta$ Draconis.....    | - 2 891                | - 0 196             | - 0 002                  | - 0 36         |
| 13 | XVIII. 170....           | + 3 155                | + 0 197             | —                        | —              |
| 14 | $\psi$ Cygni.....        | + 9 376                | + 0 196             | - 0 019                  | —              |
| 15 | $\gamma$ —————           | + 7 148                | + 0 197             | - 0 077                  | —              |
| 16 | $\gamma$ Draconis.....   | - 0 622                | - 0 203             | - 0 058                  | + 0 15         |
| 17 | $\iota$ Cygni.....       | + 7 324                | + 0 202             | + 0 121                  | - 0 06         |
| 18 | $\gamma$ Urae majoris .. | -18 131                | - 0 158             | - 0 013                  | - 0 65         |
| 19 | $\delta$ Cygni.....      | + 7 848                | + 0 213             | + 0 216                  | + 0 36         |
| 20 | $\alpha$ Persei.....     | +13 359                | + 0 467             | + 0 059                  | + 0 35         |
| 21 | $\delta$ —————           | +12 100                | - 0 497             | - 0 065                  | —              |
| 22 | $\alpha$ Aurigae.....    | + 4 777                | - 0 627             | - 0 442                  | + 1 15         |
| 23 | $\gamma$ Andromedae ..   | +12 620                | + 0 225             | - 0 003                  | - 0 63         |
| 24 | $\gamma$ Andromedae ..   | +17 621                | - 0 262             | - 0 067                  | - 0 46         |
| 25 | $\beta$ Persei.....      | +14 318                | - 0 402             | - 0 008                  | - 0 15         |
| 26 | $\gamma$ Cygni.....      | +11 250                | + 0 254             | + 0 020                  | - 0 80         |
| 27 | $\alpha$ Persei.....     | +10 987                | - 0 493             | - 0 036                  | - 0 38         |
| 28 | $\eta$ Herculis.....     | - 7 072                | - 0 283             | - 0 078                  | - 0 12         |
| 29 | $\gamma$ Bootis.....     | -16 141                | + 0 218             | + 0 178                  | - 0 34         |
| 30 | $\alpha$ Lyrae.....      | + 2 750                | + 0 289             | + 0 278                  | - 0 97         |
| 31 | $\alpha$ Gemmaurum....   | - 7 218                | - 0 521             | - 0 079                  | + 0 27         |
| 32 | $\beta$ Tauri.....       | + 3 811                | - 0 543             | - 0 197                  | - 0 76         |
| 33 | $\beta$ Gemmaurum....    | - 8 119                | - 0 494             | - 0 060                  | - 0 45         |
| 34 | $\alpha$ Andromedae ..   | +20 056                | - 0 010             | - 0 150                  | - 0 25         |
| 35 | $\alpha$ Coronae.....    | -12 354                | + 0 296             | - 0 060                  | - 0 65         |
| 36 | $\alpha$ Arctiae.....    | +17 448                | - 0 249             | - 0 145                  | - 0 36         |
| 37 | $\alpha$ Bootis.....     | -16 992                | + 0 226             | - 0 967                  | - 0 20         |
| 38 | $\alpha$ Tauri.....      | + 7 937                | - 0 463             | - 0 176                  | + 0 07         |
| 39 | $\beta$ Leonis.....      | -19 986                | - 0 028             | - 0 102                  | + 0 09         |
| 40 | $\alpha$ Herculis.....   | - 4 567                | + 0 390             | + 0 041                  | - 0 53         |
| 41 | $\alpha$ Pegasi.....     | +19 298                | + 0 109             | - 0 022                  | + 0 12         |
| 42 | $\gamma$ —————           | +20 051                | - 0 020             | - 0 024                  | - 0 32         |
| 43 | $\alpha$ Leonis.....     | -17 362                | - 0 227             | - 0 009                  | - 0 93         |
| 44 | $\alpha$ Ophiuchi.....   | - 2 634                | + 0 402             | - 0 209                  | - 0 06         |
| 45 | $\gamma$ Aquilae.....    | + 8 869                | + 0 374             | + 0 002                  | - 0 68         |
| 46 | $\alpha$ —————           | + 8 711                | + 0 376             | + 0 370                  | - 0 42         |

|    |                           | Jährliche<br>Prograss. | Secular-<br>Veränd. | Jährl. eig.<br>Bewegung. | Verz.<br>1820. |
|----|---------------------------|------------------------|---------------------|--------------------------|----------------|
| 47 | $\alpha$ Orionis.....     | + 1 180                | - 0 473             | - 0 004                  | - 0 19         |
| 48 | $\alpha$ Serpentis.....   | -1 761                 | + 0 353             | + 0 053                  | - 0 70         |
| 49 | $\beta$ Aquilae.....      | + 9 063                | + 0 379             | - 0 484                  | - 0 75         |
| 50 | $\alpha$ Canis minoris .. | - 7 750                | - 0 426             | - 1 048                  | - 0 64         |
| 51 | $\alpha$ Ceti.....        | +14 553                | - 0 321             | - 0 127                  | - 0 10         |
| 52 | $\beta$ Virginis.....     | -19 996                | - 0 025             | - 0 292                  | - 0 23         |
| 53 | $\alpha$ Aquarii.....     | +17 261                | + 0 221             | - 0 021                  | - 0 15         |
| 54 | $\alpha$ Hydrae.....      | -15 348                | - 0 270             | + 0 029                  | - 0 42         |
| 55 | $\beta$ Orionis.....      | + 4 610                | - 0 411             | - 0 029                  | - 0 08         |
| 56 | $\alpha$ Virginis.....    | -18 941                | + 0 160             | - 0 043                  | - 0 58         |
| 57 | 1 $\alpha$ Capricorni...  | +10 685                | + 0 406             | - 0 024                  | + 0 01         |
| 58 | 2 $\alpha$ —————          | +10 715                | + 0 406             | - 0 017                  | - 0 64         |
| 59 | 1 $\alpha$ Librae.....    | -15 259                | + 0 321             | - 0 086                  | + 0 50         |
| 60 | 2 $\alpha$ —————          | -15 249                | + 0 321             | - 0 068                  | + 0 61         |
| 61 | $\alpha$ Canis majoris .. | - 3 318                | - 0 384             | - 1 243                  | + 0 03         |
| 62 | $\alpha$ Scorpii.....     | - 8 507                | + 0 488             | - 0 057                  | + 0 87         |

Diese Vergleichung zeigt, im Allgemeinen, eine so nahe Uebereinstimmung der früheren Bestimmung der Declinationen und der jetzigen, dass sie, den Erfahrungen zufolge, welche ähnliche Fälle mir früher gegeben haben, nicht grösser erwartet wurde. Unter den Fundamentalsternen weicht  $\alpha$  Canis minoris am meisten, nämlich  $-1^{\circ}64'$  ab; was wirklich auffallend ist, da die Beobachtungen dieses Sterns, sowohl früher als jetzt, hinreichend oft wiederholt sind und genügend erscheinen. Nächste dieser Abweichung des früheren Verzeichnisses von dem gegenwärtigen, findet sich die grösste ( $+1^{\circ}15'$ ) bei  $\alpha$  Aurigae; allein die neuere Bestimmung beruhet auf einer geringeren Zahl von Beobachtungen, worunter die durch Reflexion von der horizontalen Quecksilberfläche gemachten, mehr als  $2''$  von den übrigen abweichen; was vermuthlich dem Umstande zuzuschreiben ist, dass das nahe senkrecht stehende Fernrohr den grössten Theil des Quecksilbers verdeckte und nur Strahlen zum Bilde des Sterns vereinigte, welche in der Nähe des Randes des Objectivs einfielen. Ich halte daher die neuere Bestimmung für weniger sicher, als häufiger wiederholte directe, und von einem weiter entfernten Quecksilbergefässe genommene Reflexions-Beobachtungen sie ergeben haben würden. Von den Bestimmungen der übrigen Fundamentalsterne für das J. 1820 entfernt sich keine eine Secunde von der gegenwärtigen; die meisten nähern sich ihr bis auf weniger als eine halbe Secunde. Indessen behalte ich mir vor, höchstens eine ausgedehntere Vergleichung verschiedener Verzeichnisse der Declinationen bekannt zu machen.

Bessel.

(Inh.) Neue Untersuchung der Reductionselemente der Declinationen und Bestimmung der Declinationen der Fundamentalsterne. Von Herrn Geh. Rath und Ritter Bessel. p. 217.

Ueber die Anwendung osculirender Elemente als Grundlage der Berechnung der Störungen eines Planeten, und über die unabhängigen Elemente der „Fundamenta nova etc.“

Von Herrn Professor und Ritter Hansen.

In meinem „Fundamenta nova investigationis etc.“ betitelten Werke habe ich unter anderm gezeigt, daß es nicht unumgänglich nöthig ist für die Berechnung der Störungen eines Himmelskörpers sich der rein elliptischen Elemente desselben zu bedienen. Durch die Einführung dreier Größen, dort  $b$ ,  $\xi$  und  $\eta$  benannt, habe ich bewirkt, daß ich mich zur Berechnung der Mondstörungen des Werthes der Bewegung der mittleren Anomalie bedienen konnte, welcher aus den Beobachtungen ohne Rücksicht auf die Störungen folgt, so wie des Werthes der Excentricität, welcher durch den rein elliptischen Ausdruck sich aus dem größten Gliede der Mittelpunktsgleichung ergibt, obgleich diese nicht die rein elliptischen Werthe dieser Elemente sind. Pag. 77 des genannten Werkes zu Anfang des Art. 20 habe ich einen andern Gebrauch der Größen  $b$ ,  $\xi$  und  $\eta$  kurz angedeutet, diesen, der auf die Anwendung osculirender Elemente als Grundlage der Berechnung der Störungen eines Planeten hinführt, werde ich hier ausführlich behandeln.

### 1.

Seyen  $\alpha_0$ ,  $n_0$ ,  $e_0$ ,  $\tau_0$  und  $a$ ,  $n$ ,  $e$ ,  $\tau$  zwei Systeme von elliptischen Elementen, in welchen  $a$  die große Halbaxe,  $n$  die mittlere Bewegung,  $ae$  die Excentricität, und  $\tau$  die auf die Bahnebene projectirte Länge des Perihels bedeuten. Diese beiden Systeme seyen mit dem wahren Werthe  $\lambda$  des vom Radius Vector durchlaufenen Bogens, und dem wahren Werthe  $\rho$  dieses Radius Vectors, durch Hülfe der von  $\tau$  abhängigen gestörten mittleren Anomalie  $n_0 \zeta_0$  und resp.  $n \zeta$ , und der Störungen des Logarithmus des Radius Vectors  $\beta_0$  und resp.  $\beta$  so verbunden, daß

$$(1) \dots \dots \left\{ \begin{array}{l} n_0 \zeta_0 = \nu_0 - e_0 \sin \nu_0 \\ \bar{\xi}_0 \cos \bar{\varphi}_0 = a_0 \cos \nu_0 - a_0 e_0 \\ \bar{\xi}_0 \sin \bar{\varphi}_0 = a_0 \sqrt{(1-e_0^2)} \cdot \sin \nu_0 \\ a_0^3 n_0^3 = \kappa (M+m) \\ \lambda = \bar{\varphi}_0 + n_0 \tau_0 + \pi_0 \\ i \rho = i \bar{\rho}_0 + \beta_0 \end{array} \right.$$

$$\left. \begin{array}{l} n \zeta = \nu - e \sin \nu \\ \bar{\xi} \cos \bar{\varphi} = a \cos \nu - ae \\ \bar{\xi} \sin \bar{\varphi} = a \sqrt{(1-e^2)} \cdot \sin \nu \\ a^3 n^3 = \kappa (M+m) \\ \lambda = \bar{\varphi} + n \tau + \pi \\ i \rho = i \bar{\rho} + \beta \end{array} \right\} \dots \dots (2)$$

wo also  $\bar{\varphi}_0$  und  $\bar{\varphi}$  die wahre Anomalie,  $\nu_0$  und  $\nu$  die excentrische Anomalie,  $n_0 \tau_0$  und  $n \tau$  die Bewegung des Perihels, oder resp. des Perigäums,  $M$  die Masse der Sonne, oder resp. der Erde,  $m$  die Masse des gestörten Körpers, und  $\kappa$  die Intensität der Anziehungskraft für die Einheit der Zeit, Masse und Entfernung bedeutet, und durch  $i$  der hyperbolische Logarithmus angedeutet wird.

Nimmt man nun an, daß einerseits  $\zeta_0$  und  $\beta_0$ , und andererseits  $\zeta$  und  $\beta$  so beschaffen sind, daß sie vermittelst der vorstehenden Gleichungen stets einerlei Werthe für  $\lambda$  und  $\rho$  geben, so muß nothwendig  $n_0 \tau_0 = n \tau$  seyn und wir haben also

$$\bar{\varphi}_0 = \bar{\varphi} + \pi - \pi_0 \dots \dots (3)$$

$$\beta = \beta_0 + i \bar{\rho}_0 - i \bar{\rho} \dots \dots (4)$$

Die Gleichungen (1) geben nun

$$\frac{a_0}{\bar{\rho}_0} = \frac{1+e_0 \cos \bar{\varphi}_0}{1-e_0^2} \dots \dots (5)$$

und also, wenn wir hierin den Werth (3) von  $\bar{\varphi}_0$  substituiren,

und überdies die ganze Gleichung mit  $\frac{\bar{\rho}}{a}$  multipliciren,

$$\frac{\bar{\xi} a^0}{\bar{\rho}_0 a} = \frac{\bar{\xi}}{a} + e_0 \frac{\bar{\xi}}{a} \cos \bar{\varphi} \cos(\pi - \pi_0) - e_0 \frac{\bar{\xi}}{a} \sin \bar{\varphi} \sin(\pi - \pi_0) \dots \dots$$

Aber die Gleichungen (2) geben eine ähnliche Gleichung wie (5), oder welches identisch dasselbe ist,

$$\frac{\bar{\xi}}{a} = 1 - e^2 - e \frac{\bar{\xi}}{a} \cos \bar{\varphi}$$

Wenn wir diesen Werth von  $\frac{\bar{\rho}}{a}$  in das erste Glied der rechten Seite der vorstehenden Gleichung substituiren, zugleich

$$(6) \dots \dots \begin{cases} e_0 \sin(\pi - \pi_0) = \eta(1 - e^2) \\ e_0 \cos(\pi - \pi_0) = e + \xi(1 - e^2) \end{cases}$$

setzen, und erwägen, daß hieraus

$$(7) \dots 1 - e^2 = (1 - e^2) \{ 1 - 2e\xi - (1 - e^2)\xi^2 - (1 - e^2)\eta^2 \}$$

hervorgeht, so verwandelt sie sich in

$$(8) \dots \dots \frac{\xi a_0}{\rho_0 a} = \frac{1 + \xi \frac{\bar{e}}{a} \cos \bar{\varphi} - \eta \frac{\bar{e}}{a} \sin \bar{\varphi}}{1 - 2e\xi - (1 - e^2)\xi^2 - (1 - e^2)\eta^2}$$

Die Gleichungen (1) und (2) geben aber ferner noch

$$\frac{d\lambda}{d\tau} = \frac{d\bar{\varphi}}{d\zeta} \cdot \frac{d\zeta}{d\tau} = \frac{d\bar{\varphi}_0}{d\zeta_0} \cdot \frac{d\zeta_0}{d\tau}$$

$$\frac{d\bar{\varphi}}{d\zeta} = \frac{a^2}{\bar{e}^2} n \sqrt{(1 - e^2)}; \quad \frac{d\bar{\varphi}_0}{d\zeta_0} = \frac{a_0^2}{\bar{e}_0^2} n_0 \sqrt{(1 - e_0^2)}$$

also

$$\frac{d\zeta}{d\tau} = \frac{d\zeta_0}{d\tau} \frac{\bar{e}_0^2 a_0^2 n_0 \sqrt{(1 - e_0^2)}}{\bar{e}^2 a^2 n \sqrt{(1 - e^2)}}$$

Wenn wir hierin die Gleichungen (8) und (7) substituiren, und

$$(9) \dots \dots \dots n_0 = n(1 - b)$$

machen, so erhalten wir

$$(10) \dots \frac{d\zeta}{d\tau} = \frac{d\zeta_0}{d\tau} (1 - b) \frac{\left(1 + \xi \frac{\bar{e}}{a} \cos \bar{\varphi} - \eta \frac{\bar{e}}{a} \sin \bar{\varphi}\right)^2}{(1 - 2e\xi - (1 - e^2)\xi^2 - (1 - e^2)\eta^2)^{\frac{3}{2}}}$$

Die Gleichung (8) giebt ferner, wenn wir sie in (4) substituiren und dabei auf die Gleichung

$$(11) \dots \dots \dots a^3 n^2 = a_0^3 n_0^2$$

und auf die Gleichung (9) Rücksicht nehmen

$$(12) \dots \beta = \beta_0 + l \frac{1 - 2e\xi - (1 - e^2)\xi^2 - (1 - e^2)\eta^2}{(1 - b)^{\frac{3}{2}} \left(1 + \xi \frac{\bar{e}}{a} \cos \bar{\varphi} - \eta \frac{\bar{e}}{a} \sin \bar{\varphi}\right)}$$

## 2.

Die Gleichungen (10) und (12) geben also die Relationen, die überhaupt zwischen den, einem und demselben Körper  $m$  zukommenden Größen  $\frac{d\zeta}{d\tau}$  und  $\frac{d\zeta_0}{d\tau}$ ,  $\beta$  und  $\beta_0$  statt finden, und wenn man (10) integrirt, so bekommt man die Relation, die zwischen  $\zeta$  und  $\zeta_0$  statt findet.

Gehen wir zu den rein elliptischen Werthen über, und nehmen an, daß  $a_0$ ,  $n_0$ ,  $e_0$  und  $\pi_0$  die rein elliptischen Elemente sind, dann ist der rein elliptische Werth von  $\zeta_0 = \tau + \frac{c_0}{n_0}$ , und der von  $\beta_0 = 0$ , wenn  $c_0$  der rein elliptische Werth der mittleren Anomalie für  $\tau = 0$  ist. Durch die Gleichungen (10) und (12) ergeben sich somit die rein elliptischen Werthe von  $\frac{d\zeta}{d\tau}$  und  $\beta$  wie folgt,

$$\frac{d\zeta}{d\tau} = (1 - b) \frac{\left(1 + \xi \frac{\bar{e}}{a} \cos \bar{\varphi} - \eta \frac{\bar{e}}{a} \sin \bar{\varphi}\right)^2}{(1 - 2e\xi - (1 - e^2)\xi^2 - (1 - e^2)\eta^2)^{\frac{3}{2}}} \dots (13)$$

$$\beta = l \frac{1 - 2e\xi - (1 - e^2)\xi^2 - (1 - e^2)\eta^2}{(1 - b)^{\frac{3}{2}} \left(1 + \xi \frac{\bar{e}}{a} \cos \bar{\varphi} - \eta \frac{\bar{e}}{a} \sin \bar{\varphi}\right)} \dots (14)$$

## 3.

Die Ausdrücke der Fundamenta zur Berechnung der Störungen von  $\zeta$  und  $\beta$  sind so beschaffen, daß zuerst die rein elliptischen Werthe dieser, so wie der übrigen darin vorkommenden Größen substituirt werden müssen. Hierauf und wenn die sich dadurch ergebenden Störungen der ersten Approximation berechnet worden sind, müssen den Integralen, welche dieselben gegeben haben, die rein elliptischen Werthe von  $\zeta$  und  $\beta$  als Constanten hinzugefügt werden. Sodann wird der Zuwachs, den die rein elliptischen Werthe von  $\zeta$  und  $\beta$ , so wie der, den die übrigen veränderlichen Größen in der ersten Approximation erhalten haben, in die Ausdrücke für die Störungen der zweiten Approximation substituirt, und so ferner in den folgenden Approximationen. Da nun einestheils  $a_0$ ,  $n_0$ ,  $e_0$ ,  $\pi_0$  verbunden mit den Werthen  $n_0 \zeta = n_0 \tau + c_0$  und  $\beta_0 = 0$ , und andertheils  $a$ ,  $n$ ,  $e$ ,  $\pi$  verbunden mit dem Integral von (13) und dem Ausdruck (14) zwei Systeme von Werthen bilden, die jedes für sich einen und denselben rein elliptischen Werth für  $\lambda$ , sowohl wie für  $\rho$ , und mithin auch für  $v$ , und  $r$  geben, wenn man  $\tau$  in  $t$  verwandelt, so ist klar, daß irgend eins dieser beiden Systeme, wenn es in die Ausdrücke für die Störungen substituirt worden ist, einen und denselben Werth für die gestörte Länge und den gestörten Radius Vector geben muß. Man kann daher, je nach den Umständen das eine oder andere dieser beiden Systeme bei der Berechnung der Störungen anwenden. Kennt man also die rein elliptischen Elemente des Himmelskörpers, dessen Störungen man berechnen will, im voraus nicht, so kann man irgend welche andere elliptische Elemente  $a$ ,  $n$ ,  $e$ ,  $\pi$  verbunden mit den Ausdrücken (13) und (14) zur Berechnung der Störungen anwenden.

In der Voraussetzung, daß die Unterschiede zwischen  $a$  und  $a_0$ ,  $e$  und  $e_0$ ,  $\pi$  und  $\pi_0$ , also auch  $b$ ,  $\xi$  und  $\eta$  kleine Größen von der Ordnung der störenden Kraft sind, kann das eben beschriebene Verfahren abgeändert, und so eingerichtet werden, daß die Anwendung jener Elemente statt der rein elliptischen keine Vermehrung der Arbeit verursacht. Denn da in dieser Voraussetzung, mit Uebergang der Größen erster und höherer Ordnung in Bezug auf die störende Kraft die Gleichungen (13) und (14) geben

$$\frac{d\zeta}{d\tau} = 1, \quad \beta = 0, \quad n\zeta = n\tau + c \dots (15)$$

so kann man in der ersten Approximation diese Werthe nebst  $a, n, e, \pi$  statt der rein elliptischen Werthe dieser Größen substituiren. Den Integralen, welche die Störungen von  $\zeta$  und  $\beta$  geben, müssen nun nach wie vor das Integral aus (13) und der Ausdruck (14) als willkürliche Constanten hinzugefügt werden, aber in der zweiten und den folgenden Approximationen müssen jetzt als Zuwachs die Werthe substituiert werden, die nummero  $\zeta$  und  $\beta$  in Bezug auf die Gleichungen (15) erhalten haben. Hiedurch entsteht gar keine Vermehrung der Rechnung, denn die Berechnung der Störungen der ersten Approximation wird grade ebenso ausgeführt, als hätte man die rein elliptischen Elemente zu Grunde gelegt, und der jetzt in der zweiten Approximation mit zu berücksichtigende Zuwachs, den diese Störungen durch das Integral des Ausdrucks (13) und durch (14) bekommen, besteht aus Gliedern, die dieselbe Form haben wie andere jedenfalls vorhandene, und sich also mit diesen vereinigen.

## 4.

Diese Formeln und Vorschriften stimmen, da ich die Elemente  $a, e, n$  dort mit (a), (e), (n) bezeichnet habe, mit den im zweiten Abschnitte der Fundamenta gegebenen überein. Ich hätte dort gleichfalls ähnliche, sich auf Neigung und Knotenlänge beziehende Größen einführen können, aber ich habe es unterlassen, weil diese in dem Problem, welches vorzugsweise dort abgehandelt worden ist, weniger wesentlich sind, und überdies auf sehr einfache Weise eingeführt werden können. In dem Falle nemlich, wo man die Differentialgleichungen so integrieren muß, daß die mit der Zeit selbst multiplicirten Glieder verschwinden, ist schon  $\eta = 0$ , weil man für die Berechnung der Störungen die Länge des Perihels oder Perigäums nicht zu kennen braucht. Eine ähnliche sich auf die Knotenlängen, und eine sich auf die Neigung der Bahnebene gegen die Fundamental- oder Projectionsebene, oder die Neigung der Laplace'schen unveränderlichen Ebene gegen diese beziehende Größe würde gleichfalls Null seyn, weil man auch diese Elemente nicht im Voraus zu kennen braucht. Es bleibt daher nur die gegenseitige Neigung der Bahn des störenden und gestörten Körpers übrig, in Bezug auf welche man solche Größen einführen könnte, und dieses ist sehr einfach, denn man sieht leicht ein, daß diese Größe sich auf ein unmittelbar entweder der mittleren gegenseitigen Neigung ( $I$ ), oder der damit in enger Beziehung stehenden Größe  $Q$  zuzufügendes Increment reducirt.

Wenn man, wie für die Planeten, die Differentialgleichungen der Bewegung so integrieren darf, daß die mit der Zeit selbst multiplicirten Glieder nicht verschwinden, dann findet die Einführung der Größe  $\eta$ , so wie die analoger sich auf Neigung und Knotenlänge beziehenden Größen Anwendung,

und ich werde daher hier auch zeigen, wie diese letzteren beschaffen sind. Vorher habe ich aber dem in Bezug auf  $b, \xi$  und  $\eta$  Vorgetragenen noch etwas hinzuzufügen.

## 5.

Die oben erklärten den Integralen, welche  $\zeta$  und  $\beta$  geben, als willkürliche Constanten hinzuzufügenden Ausdrücke, nemlich das Integral aus (13) und der Ausdruck (14) beziehen sich auf das Verfahren, vermittelst welches man aus dem in den Fundamentis  $T$  genannten Ausdruck zuerst durch Integration  $\frac{d\zeta}{dt}$ , hieraus durch Integration  $n\zeta$ , und hieraus durch Verwandlung von  $\tau$  in  $t$  die Störungen  $ns$  der mittleren Länge, so wie aus der dort  $H$  genannten Größe durch Integration  $\beta$ , und hieraus durch Verwandlung von  $\tau$  in  $t$  die Störungen  $w$  des hyperbolischen Logarithmus des Radius Vectors berechnen kann. Dieses Verfahren ist aber dort nur als das sich von selbst darbietende, und als Grund dargelegt worden, auf welchem das zur Berechnung der Störungen in der That anzuwendende Verfahren gebaut werden muß. Dieses von dritten Abschnitte der Fundamenta an erklärte Verfahren ist von jenem bedeutend verschieden, und vorzugsweise auf die Umkehrung der Reihenfolge der Integrationen gegründet. Es wird dort zuerst durch Integration nach  $t$  die Größe  $\frac{d\zeta}{d\tau}$  ermittelt und hieraus nach der Verwandlung von  $\tau$  in  $t$  durch nochmalige Integration nach  $t$  die Größe  $ns$ , aus  $\frac{d\zeta}{d\tau}$  wird ferner ohne  $\beta$  zu berechnen  $w$  erhalten. Im Art. 6 des dritten Abschnittes der Fundamenta wird bewiesen, daß bei diesem Verfahren der Integration, welche  $\frac{d\zeta}{d\tau}$  giebt, der dort im Art. 15

des zweiten Abschnittes gegebene Werth von  $\frac{d(\zeta)}{d\tau}$ , das ist der rein elliptische Werth von  $\frac{d\zeta}{d\tau}$  oder der hier gegebene Ausdruck (13) als willkürliche Constante hinzugefügt werden muß. Der durch die Integration nach  $t$  erlangte Ausdruck für  $\frac{d\zeta}{d\tau}$  ist im Art. 7 des dritten Abschnittes durch eine unendliche Reihe, und im Art. 2 des siebenten Abschnittes durch einen endlichen Ausdruck gegeben. Dieser ist

$$\frac{d\zeta}{d\tau} = 1 + [IV] + (1 - e^2)^2 c^2 + \dots \dots \dots (15^*)$$

wenn

$$[IV] = Z + \gamma \left( \frac{\bar{e}}{a} \cos \bar{\varphi} + \frac{3}{2} e \right) + \Psi \frac{\bar{e}}{a} \sin \bar{\varphi}$$

wo  $Z, \gamma$  und  $\Psi$  Functionen sind, die  $\tau$  nicht enthalten. Das Glied = 1, welches sich in diesem Ausdruck für  $\frac{d\zeta}{d\tau}$  befindet, ist das erste Glied des rein elliptischen Werthes von  $\frac{d\zeta}{d\tau}$ , welches ich bei der Integration explicite hinzugefügt habe, die übrigen

Glieder habe ich der Integration, welche  $W$  giebt, zugetheilt, und sind also implicite dem Ausdrucke für diese Gröſſen einverleibt. Hier befindet sich aber eine Lücke in den Fundamentis, die ich erst nach vollendetem Drucke des Buches bemerkt habe, und hier ausfüllen werde. Ich habe unterlassen anzuführen, daß nach dieser Zerlegung und Vertheilung des rein elliptischen Werthes von  $\frac{d^2}{d\tau}$  in dem letzten Gliede des

obigen Ausdruckes, nemlich in  $(1-e^{-\tau})^2 e^{S+\tau}$ , keine der Glieder, die dem rein elliptischen Werthe desselben angehören, aufgenommen werden dürfen, da bereits durch das Glied  $= 1$ , und die der Gröſſe  $W$  zugeheilten Glieder, der dem Ausdrucke  $(15^*)$  hinzuzufügende rein elliptische Werth von  $\frac{d^2}{d\tau}$

vollständig erschöpft ist. Da aber das Glied  $(1-e^{-\tau})^2 e^{S+\tau}$ , welches erst in der zweiten und den folgenden Approximationen angewandt wird, vermittelt der Werthe von  $\beta$  oder statt dessen  $\omega$  und  $S+\tau$  berechnet wird, welche aus der vorhergehenden Approximation hervorgegangen sind, und diesen Werthen die ihnen zukommenden rein elliptischen Glieder bereits hinzugefügt sind, so ist es der Einfachheit der Rechnung wegen wünschenswerth, diese Werthe vollständig in dem Ausdruck  $(15^*)$  anzuwenden zu können, und es entsteht somit die Frage, welche Glieder unter dieser Voraussetzung der Integration, wodurch  $[W]$  erhalten wird, hinzuzufügen seyen?

$$[W] = -1 + 2 \frac{(1-b)^{\frac{1}{2}} \left( 1 + \xi \frac{\bar{e}}{a} \cos \bar{\varphi} - \eta \frac{\bar{e}}{a} \sin \bar{\varphi} \right)}{(1-2c\xi - (1-e^2)\xi^2 - (1-e^2)\eta^2)^{\frac{1}{2}}} - \frac{(1-2e\xi - (1-e^2)\xi^2 - (1-e^2)\eta^2)^{\frac{1}{2}}}{(1-b)^{\frac{1}{2}}}$$

welches also der rein elliptische Werth von  $[W]$  ist. Setzen wir nun

$$(16) \dots \left\{ \begin{array}{l} \frac{(1-2e\xi - (1-e^2)\xi^2 - (1-e^2)\eta^2)^{\frac{1}{2}}}{(1-b)^{\frac{1}{2}}} = c, \\ 1 + c' - 2c'^2 + 3e\xi, = b, \\ \xi c^{-1}, = \xi \\ \eta c^{-1}, = \eta, \end{array} \right.$$

wo  $c$  wie oben die Grundzahl der hyperbolischen Logarithmen bedeutet, so geht der eben gefundene rein elliptische Werth von  $[W]$  über in

$$[W] = -b + 2\xi, \left( \frac{\bar{e}}{a} \cos \bar{\varphi} + \frac{1}{2}e \right) - 2\eta, \frac{\bar{e}}{a} \sin \bar{\varphi}$$

Da nun dem siebenten Abschnitte der Fundamenta zufolge

$$[W] = W + \frac{dW}{d\tau} \beta_0^2 + \frac{1}{2} \frac{d^2 W}{d\tau^2} \beta_0^2 + \text{etc.}$$

ist, so folgt hieraus, daß der rein elliptische Werth von  $W$  ist,

$$W = -b + 2\xi, \left( \frac{\bar{e}}{a} \cos(\varphi) + \frac{1}{2}e \right) - 2\eta, \frac{\bar{e}}{a} \sin \varphi$$

wo  $(\rho)$  und  $(\varphi)$  bloſe Functionen von  $\tau$  ohne  $t$  sind. Diesen Ausdruck muß man also dem Integrale, welches  $W$  giebt, als

Diese Frage ist einfach damit beantwortet, daß dem Integrale, welches  $[W]$  giebt, derjenige rein elliptische Werth dieser Gröſſe hinzugefügt werden muß, welcher sich durch die Substitution der rein elliptischen Werthe der übrigen Gröſſen in den Ausdruck  $(15^*)$  ergibt, und der Grund davon ist der, daß überhaupt dem aus diesem Ausdruck erfolgreichen Werthe von  $\frac{d^2}{d\tau}$  der rein elliptische Werth dieser Gröſſe hinzugefügt werden muß, und den Gröſſen  $\beta$  oder  $\omega$  und  $S+\tau$  in den vorhergehenden Approximationen bereits dessen rein elliptischen Werthe hinzugefügt worden sind.

Ich entnehme nun zur Ermittlung des rein elliptischen Werthes von  $W$  aus den Fundamentis die Gleichung

$$\frac{d^2}{d\tau} = c^{S+\tau-2s}$$

ziehe daraus

$$c^{S+\tau} = \frac{d^2}{d\tau} c^{2s}$$

und substituirt diese Gleichung in das letzte Glied der Gleichung  $(15^*)$ , hiemit ergibt sich

$$[W] = -1 + 2 \frac{d^2}{d\tau} c^s - \frac{d^2}{d\tau} c^{2s}$$

Beziehen wir diese Gleichung bloß auf den rein elliptischen Werth von  $[W]$ , so ergibt uns die Substitution der rein elliptischen Werthe von  $\frac{d^2}{d\tau}$  und  $\beta$  aus  $(13)$  und  $(14)$

willkürliche Constante hinzufügen, wenn man bei der Berechnung der Störungen die Elemente  $a, n, e, \pi$  statt der rein elliptischen Elemente  $a_0, n_0, e_0, \pi_0$  anwendet, und übrigen im Ausdrucke  $(15^*)$ , so wie in allen aus diesem Ausdrucke entspringenden Gleichungen die vollständigen Werthe der darin enthaltenen Gröſſen, d. h. die Werthe derselben mit Inbegriff der darin vorkommenden rein elliptischen Glieder substituirt.

Vergleicht man diesen rein elliptischen Werth von  $W$  mit dem rein elliptischen Werthe  $(13)$  von  $\frac{d^2}{d\tau}$ , so findet man, daß jener den Gliedern erster Ordnung dieses gleich kommt, daß aber die drei constanten Coefficienten  $b, \xi$ , und  $\eta$  andere Bedeutung haben. Also außer der größeren Einfachheit der Rechnung, die daraus entsteht, daß man alle erforderlichen Gröſſen vollständig und unzertheilt anwenden kann, haben wir durch die hier vorgenommene Vertheilung des rein elliptischen Werthes von  $\frac{d^2}{d\tau}$  auf die verschiedenen Glieder des Ausdruckes  $(15^*)$  auch in der dem Integrale, welches  $W$  giebt, hinzuzufügenden willkürlichen Constante größere Einfachheit erlangt, indem die Glieder zweiter und höherer Ordnung in derselben explicite

gleich Null sind, und keine anderen Glieder dieser Ordnungen darin vorkommen, wie die, welche in den drei Constanten  $b$ ,  $\xi$ , und  $\eta$ , implicite enthalten sind.

Die Aenderung, die nach diesem mit den bezüglichen Ausdrücken der Fundamenta vorzunehmen sind, bestehen also darin, daß allenthalben  $b$ ,  $\xi$ , und  $\eta$ , resp. für  $b$ ,  $\xi$  und  $\eta$  substituirt werden muß, und alle von den Producten und Quadraten dieser Größen abhängigen Glieder weggelassen werden müssen.

(i).

Wenn  $b$ ,  $\xi$ , und  $\eta$ , sowohl wie  $n$ ,  $e$  und  $\pi$  gegeben sind, und man die rein elliptischen Elemente zu kennen verlangt, so ist folgende Rechnung anzuwenden. Die zweite Gleichung (16) giebt

$$e' = \frac{-1 - 3e\xi + b + \sqrt{(1 + 3e\xi - b)^2 + 8}}{2}$$

welcher Ausdruck für die Anwendung am vorteilhaftesten in eine unendliche Reihe aufgelöst wird. Die ersten Glieder dieser sind

$$e' = 1 - (e\xi - \frac{1}{2}b) + \frac{3}{2}(e\xi - \frac{1}{2}b)^2$$

Hierauf erhält man

$$\xi = \xi, e'; \quad \eta = \eta, e'. \quad \text{und}$$

$$b = \frac{1 - (1 - 2e\xi - (1 - e^2)\xi^2 - (1 - e^2)\eta^2)}{e^2}$$

oder in eine unendliche Reihe aufgelöst

$$b = b + 6e\xi(e\xi - \frac{1}{2}b) - 4(e\xi - \frac{1}{2}b)^2 + \frac{3}{2}(1 - 2e^2)\xi^2 + \frac{3}{2}(1 - e^2)\eta^2$$

$$b' = -\frac{dn}{n} + \frac{3}{2}\frac{dn^2}{n^2} + \frac{3}{2}\frac{e}{1 - e^2}\frac{dn}{n}de - \frac{3}{2}\frac{1 - e^2}{(1 - e^2)^2}de^2 - \frac{3}{2}\frac{e^2}{(1 - e^2)^2}d\pi^2$$

$$\xi' = \frac{de}{1 - e^2} + \frac{e}{(1 - e^2)^2}de^2 - \frac{e}{1 - e^2}d\pi^2 + \frac{1}{1 - e^2}\frac{dn}{n}de$$

$$\eta' = -\frac{e}{1 - e^2}d\pi - \frac{1}{(1 - e^2)^2}de.d\pi - \frac{1}{1 - e^2}\frac{dn}{n}d\pi$$

womit die Aufgabe gelöst ist.

8.

Bei der strengen Berechnung der Störungen wird noch der Werth der von  $b$ ,  $\xi$ , und  $\eta$ , abhängigen Constante  $s$  verlangt, wenn den Fundamentis zufolge  $s$  die dem Integrale, woraus  $S$  berechnet werden muß, hinzuzufügende Constante bedeutet. Da  $b$ ,  $\xi$ , und  $\eta$ , von  $b$ ,  $\xi$  und  $\eta$  verschieden sind, so wird jetzt der Ausdruck für  $s$  von dem der Fundamenta verschieden seyn, und da  $S$  ein von  $a$  und  $e$  abhängiges Element ist, so kann auch aus dieser Ursache für  $s$  ein etwas anderer Ausdruck hervorgehen. Es ist den Fundamentis zufolge, wenn man

$$S + s = \int h \left( \frac{d\Omega}{dv} \right) dt$$

oder

$$b = b - \frac{3}{2}b^2 + \frac{3}{2}(1 - \frac{3}{2}e^2)\xi^2 + \frac{3}{2}e\xi.b + \frac{3}{2}(1 - e^2)\eta^2$$

Hat man hieraus  $b$ ,  $\xi$  und  $\eta$  hergerechnet, dann ergeben sich  $n_0$ ,  $e_0$ ,  $\pi_0$  und  $\pi_0$  durch (6), (9) und (11).

7.

Sind dagegen beide Systeme von Elementen gegeben, und man verlangt  $b$ ,  $\xi$ , und  $\eta$ , zu kennen, so steht die Rechnung wie folgt. Die erste Gleichung (16) giebt bis auf Größen dritter Ordnung

$$e' = 1 + e\xi - \frac{1}{2}b + \frac{1}{2}(1 + 2e^2)\xi^2 - \frac{1}{2}e\xi.b - \frac{1}{2}b^2 + \frac{1}{2}(1 - e^2)\eta^2$$

$$e' = 1 - e\xi + \frac{1}{2}b - \frac{1}{2}(\xi^2 - \frac{1}{2}e\xi.b + \frac{1}{2}b^2 - \frac{1}{2}(1 - e^2)\eta^2)$$

Hienit geben die übrigen Gleichungen (16)

$$b' = b + \frac{3}{2}b^2 - \frac{3}{2}e\xi.b - \frac{3}{2}(1 - \frac{3}{2}e^2)\xi^2 - \frac{3}{2}(1 - e^2)\eta^2$$

$$\xi' = \xi + e\xi^2 - \frac{1}{2}b\xi$$

$$\eta' = \eta + e\xi\eta - \frac{1}{2}b\eta$$

Die Gleichungen (6) und (9) geben aber ohne Mühe, wenn wir

$$e_0 = e + de$$

$$\pi_0 = \pi + d\pi$$

$$n_0 = n + d\pi$$

setzen,

$$\xi = \frac{de}{1 - e^2} - \frac{1}{1 - e^2}\frac{e}{n}d\pi^2$$

$$\eta = -\frac{e}{1 - e^2}d\pi - \frac{1}{1 - e^2}\frac{e}{n}de.d\pi$$

$$b = -\frac{dn}{n}$$

also bekommen wir

setzt,  $s$  die dem Integrale der rechten Seite dieser Gleichung hinzuzufügende Constante, und wir haben ferner

$$S + s = \int \frac{h}{h} \cdot \frac{an}{\sqrt{1 - e^2}}$$

wenn man die Elemente  $a$ ,  $n$  und  $e$  als veränderlich ansieht, und unter  $(h)$  den Werth versteht, den  $h$  annimmt, wenn für  $a$ ,  $n$  und  $e$  die constanten Elemente gesetzt werden, die hier im Vorhergehenden angewandt und eben so bezeichnet worden sind; Elemente, die ich in den Fundamentis  $(a)$ ,  $(n)$  und  $(e)$  genannt habe. Da  $h$  ein von den Elementen  $a$  und  $e$  abhängiges Element ist, so muß  $s$  jedenfalls so bestimmt werden, daß der vollständige Ausdruck für  $h$ , wenn er in Function jener, oder anderer als unabhängig von einander betrachteten Elemente dargestellt wird, in jedem Betracht mit dieser Function jener Elemente congruent ist. Diesem zufolge kann

man nicht mit Sicherheit im voraus behaupten, daß  $s$  der rein elliptische Werth von  $S$  sey, es kann sich treffen, und ist in der That, wie man weiter unten sehen wird, hier der Fall, daß  $a$  der rein elliptische Werth von  $S$ , vermehrt mit Größen der zweiten und höheren Ordnungen ist.

9.

Den eben erwähnten Umstand, daß die Constante, welche den durch Integration ermittelten Werthen abhängiger Elemente hinzugefügt werden muß, nicht immer der rein elliptische Werth dieser ist, habe ich nie angeführt gefunden. Da er aber ein wesentlicher Punkt in der Störungstheorie ist, der jedenfalls nicht außer Acht gelassen werden darf, wenn man auf Genauigkeit Werth legt, so will ich auf einen Augenblick den Gang der Darstellung unterbrechen, und ihn durch ein einfaches Beispiel erläutern.

Betrachtet man, bei Anwendung der Theorie der veränderlichen Constanten auf die Auflösung des Problems der drei Körper, die Elemente  $n, c, e$ , etc., wo  $c$  die mittlere Anomalie zur Zeit  $t = 0$  bedeutet, als die unabhängigen Elemente des Körpers  $m$ , so hat man für die Berechnung des Elements  $n$ , folgenden Ausdruck

$$\frac{dn}{dt} = -3an^2 \left( \frac{d\Omega}{dc} \right).$$

Entwickelt man diesen vollständig und integrirt ihn, so ergibt sich  $n$  gleich der Constante  $n_0$  (dem rein elliptischen Werthe von  $n$ ) plus einer Reihe von periodischen Gliedern. Ich will diesen Ausdruck wie folgt darstellen,

$$n = n_0 + \Sigma A \cos(\alpha t + \beta)$$

wo  $A, \alpha$  und  $\beta$  constante Größen sind, die aber in jedem andern Gliede einen andern Werth haben. Zu bemerken ist hier noch, daß (wenn nicht etwa die Bewegungen commensurabel sind, welchen Fall ich hier ausschliesse)  $x$  die Null ist, und folglich  $n_0$  das vollständige constante Glied dieses Ausdruckes für  $n$  ist. Für die Ermittlung der Störungen des Radius Vectors braucht man außer den Elementen  $n, c, e$ , etc. auch das Element  $a$ , welches von  $n$  dergestalt abhängig ist, daß  $a^3 n^2 = \kappa(M+m)$  ist. Diese Gleichung giebt uns

$$0 = 3n da + 2adn$$

und somit erhalten wir durch Hülfe des obigen Ausdruckes für  $\frac{dn}{dt}$  die bekannte Formel

$$\frac{da}{dt} = 2a^2 n \left( \frac{d\Omega}{da} \right)$$

Entwickelt man diesen Ausdruck vollständig und integrirt ihn, so ergibt sich eine periodische Reihe, die ich mit  $\Sigma B \cos(\alpha t + \beta)$  bezeichnen will, und in welcher gleichfalls kein constantes Glied enthalten ist. Der rein elliptische

Werth von  $a$  ist  $a_0$ , und nothwendig so beschaffen, daß  $a_0^3 n_0^2 = \kappa(M+m)$  ist. Setzen wir nun

$$a = a_0 + \Sigma B \cos(\alpha t + \beta)$$

so begehen wir einen Fehler, denn dieser Werth ist mit dem obigen Werthe von  $n$  nicht congruent, das heist, diese beiden Ausdrücke geben nicht  $a^3 n^2 = \kappa(M+m)$ . Um dies zu zeigen werde ich aus dem obigen Ausdrucke für  $n$  den Werth von  $a$  ableiten. Setzen wir  $n = n_0 + dn$ , dann giebt die Gleichung  $a^3 n^2 = a_0^3 n_0^2$

$$a = a_0 - \frac{3}{2} \frac{a_0}{n_0} dn + \frac{3}{2} \frac{a_0}{n_0^2} dn^2 + \text{etc.}$$

also wenn wir hierin  $dn = \Sigma A \cos(\alpha t + \beta)$  substituiren,

$$a = a_0 - \frac{3}{2} \frac{a_0}{n_0} \Sigma A \cos(\alpha t + \beta) + \frac{3}{2} \frac{a_0}{n_0^2} (\Sigma A \cos(\alpha t + \beta))^2 + \text{etc.}$$

Das zweite Glied dieses Ausdruckes für  $a$  enthält zwar kein constantes Glied, aber das dritte und alle folgenden enthalten constante Glieder, woraus hervorgeht, daß dieser Werth von  $a$  mit dem obigen in Bezug auf das constante Glied nicht identisch ist. Das constante Glied in  $(\Sigma A \cos(\alpha t + \beta))^2$  ist  $\frac{1}{2} \Sigma A^2$ , und wir haben somit den wahren Werth von  $a$  wie folgt:

$$a = a_0 + \frac{3}{2} \frac{a_0}{n_0^2} \Sigma A^2 + \text{etc.} + \Sigma B \cos(\alpha t + \beta)$$

da jedenfalls in Bezug auf die von  $t$  abhängigen Glieder identisch

$$\Sigma B \cos(\alpha t + \beta) = -\frac{3}{2} \frac{a_0}{n_0} \Sigma A \cos(\alpha t + \beta) + \frac{3}{2} \frac{a_0}{n_0^2} (\Sigma A \cos(\alpha t + \beta))^2 + \text{etc.}$$

ist. Nimmt man hingegen  $a, c, e$ , etc. als unabhängige Elemente an, dann ist

$$a = a_0 + \Sigma B \cos(\alpha t + \beta)$$

und die Gleichung

$$n = n_0 + \Sigma A \cos(\alpha t + \beta)$$

findet in Bezug auf das constante Glied nicht mehr statt. Man verändert durch diese zweite Wahl der unabhängigen Elemente die Werthe der rein elliptischen Elemente. Diese sind jedenfalls die constanten Größen, die den Störungen der als unabhängig betrachteten Elemente nach der Integration der Ausdrücke für die Störungen derselben hinzugefügt werden müssen, aber die Werthe dieser Constanten ändern sich im Allgemeinen mit der Wahl der unabhängigen Elemente.

Es giebt nur einen Fall, in welchem die den Ausdrücken für die Störungen abhängiger Elemente hinzuzufügenden Constanten die rein elliptischen Werthe dieser Elemente sind, nemlich wenn die Relation zwischen den abhängigen Elementen linearisch ist. Wir können diesen Fall in unserm Beispiel herbeiführen. Die Gleichung  $a^3 n^2 = \kappa(M+m)$  giebt

$$3la + 2ln = lx(M+m)$$

eine lineare Relation zwischen  $la$  und  $ln$ .

Die oben angeführten Differentialgleichungen für  $da$  und  $dn$  geben uns



$$dln = -3an \left( \frac{d\Omega}{dc} \right) dt$$

$$dla = 2an \left( \frac{d\Omega}{dc} \right) dt$$

Nennen wir nun die periodischen Reihen, die die vollständige Entwicklung und Integration dieser Ausdrücke geben resp.  $\Sigma A' \cos(xt + \beta)$  und  $\Sigma B' \cos(xt + \beta)$ , dann ist

$$ln = ln_0 + \Sigma A' \cos(xt + \beta)$$

$$la = la_0 + \Sigma B' \cos(xt + \beta)$$

denn es ist aus der Beschaffenheit der Differentiale ersichtlich, daß nothwendig für alle Coefficienten dieser Reihen die Relation  $-3A' = 2B'$  statt finden muß, und daß demzufolge der Gleichung  $a^3 n^2 = x(M + m)$ , oder, welches dasselbe ist, der Gleichung

$$3la + 2ln = 3la_0 + 2ln_0$$

durch diese Ausdrücke Genüge geleistet ist. Gehen wir von diesen Ausdrücken zu den Ausdrücken für  $n$  und  $a$  über, so sind in beiden die constanten Glieder nicht die rein elliptischen Werthe  $n_0$  und  $a_0$ , denn wir erhalten daraus

$$n = n_0 + \frac{1}{4} \Sigma A'^2 + \text{etc.} + \Sigma A' \cos(xt + \beta)$$

$$a = a_0 + \frac{1}{4} \Sigma B'^2 + \text{etc.} + \Sigma B' \cos(xt + \beta)$$

wo  $A$  und  $B$  dieselben sind wie oben. Hier sind also für beide abhängigen Elemente die den Integralen hinzuzufügenden Constanten von den rein elliptischen Werthen der Elemente verschieden.

Nehmen wir um diesen Umstand mehr ins Licht zu setzen an, daß man einestheils die Elemente  $a, c, e$ , etc. als unabhängige Elemente betrachtet habe, dann ist

$$a = a_0 + 2 \int a^2 n \left( \frac{d\Omega}{dc} \right) dt$$

$$c = c_0 - 2 \int a^2 n \left( \frac{d\Omega}{da} \right) dt - \int an \frac{1-e^2}{e} \left( \frac{d\Omega}{de} \right) dt$$

$$e = c_0 + \int an \frac{1-e^2}{e} \left( \frac{d\Omega}{dc} \right) dt - \int an \sqrt{(1-e^2)} \left( \frac{d\Omega}{de} \right) dt$$

Hat man andertheils nun für denselben Körper die Elemente  $a, c, p$  etc. statt jener ( $p$  der halbe Parameter) als unabhängige Elemente betrachtet, so hat man gleichfalls

$$a = a_0 + 2 \int a^2 n \left( \frac{d\Omega}{dc} \right) dt$$

$$c = c_0 - 2 \int a^2 n \left( \frac{d\Omega}{da} \right) dt - \int an \frac{1-e^2}{e} \left( \frac{d\Omega}{de} \right) dt$$

$$p = p_0 + 2 \int a^2 n \sqrt{(1-e^2)} \left( \frac{d\Omega}{dp} \right) dt$$

$$\frac{d\Psi}{dt} = -\gamma T + 2(h) \left\{ \left( \frac{a}{r} + \frac{h^2}{(h)^3 (1-e^2)} \right) \sin \bar{f} \left( \frac{d\Omega}{dv} \right) - \frac{a}{r} \cos \bar{f} \left( \frac{d\Omega}{dr} \right) \right\} - \gamma \frac{e}{1-e^2} \left\{ 1 + \bar{\Sigma} + \frac{1}{2} T + e^{2+} \right\}$$

$$\frac{dT}{dt} = \gamma \Psi + 2(h) \left\{ \left[ \left( \frac{a}{r} + \frac{h^2}{(h)^3 (1-e^2)} \right) \cos \bar{f} + \frac{h^2 e}{(h)^3 (1-e^2)} \right] \left( \frac{d\Omega}{dv} \right) + \frac{a}{r} \sin \bar{f} \left( \frac{d\Omega}{dr} \right) \right\}$$

$$\frac{d\bar{\Sigma}}{dt} = -\frac{1}{2} \gamma \Psi - (h) \left\{ \left[ 3 \left( \frac{ae}{r} + \frac{h^2 e}{(h)^3 (1-e^2)} \right) \cos \bar{f} + 1 + 2 \frac{h^2}{(h)^3} + 3 \frac{h^2 e^2}{(h)^3 (1-e^2)} \right] \left( \frac{d\Omega}{dv} \right) + 3 \frac{ae}{r} \sin \bar{f} \left( \frac{d\Omega}{dr} \right) \right\}$$

wo die Differentiale der Ausdrücke für  $a, e$  und  $p$  dem Differential von  $p = a(1-e^2)$  genügen. Für die Constanten dieser Ausdrücke ist aber nicht  $p_0 = a_0(1-e_0^2)$ . An sich ist das eine dieser beiden Systeme so richtig wie das andere, nur können sie nicht zusammen angewandt werden, denn im zweiten Systeme ist der rein elliptische Werth  $p_0$ , oder mit andern Worten das constante Glied im Ausdruck für  $p$  anders, wie aus dem ersten System folgen würde, und im ersten System ist wiederum der rein elliptische Werth  $e_0$ , oder das constante Glied des Ausdrucks für  $e$  anders, wie aus dem zweiten Systeme hervorgeht. Hierauf muß man allemal Rücksicht nehmen, wenn man abhängige Elemente anwendet.

## 10.

Kehren wir nach dieser Ausschweifung wieder zu unserm Thema zurück. Suchen wir, um die Constante  $s$  zu bestimmen, eine Relation zwischen dem Elemente  $h$  und unsern unabhängigen Elementen.

Der vollständige Werth von  $W$  ist, wie schon aus dem im Art. 5 angeführten vollständigen Werthe von  $[W]$  hervorgeht,

$$W = \bar{\Sigma} + T \left( \frac{p}{a} \cos(\varphi) + \frac{1}{2} s \right) + \Psi \left( \frac{p}{a} \sin(\varphi) \right)$$

Vergleicht man diesen mit dem im Art. 5 gefundenen rein elliptischen Werthe von  $W$ , nemlich mit

$$-b, + 2 \bar{\Sigma} \left( \frac{p}{a} \cos(\varphi) + \frac{1}{2} s \right) - 2\gamma \frac{p}{a} \sin(\varphi)$$

so sieht man sogleich, daß

$$-b, \text{ der rein elliptische Werth von } \bar{\Sigma}$$

$$2 \bar{\Sigma}, \text{ ————— von } T$$

$$-2\gamma, \text{ ————— von } \Psi$$

ist, und aus der Beschaffenheit von  $W, \bar{\Sigma}, T$  und  $\Psi$  ist klar, daß diese rein elliptischen Werthe die vollständigen constanten Glieder in den Ausdrücken  $\bar{\Sigma}, T$  und  $\Psi$  sind. Diese drei Größen sind die unabhängigen Elemente, auf welche die Störungen der mittleren Länge und des Logarithmus des Radius Vectors gegründet sind, wir müssen daher zur Bestimmung von  $s$  eine Relation zwischen  $h$  und diesen Elementen suchen. Zu dem Ende ist (Fundamenta pag. 265)

wo  $a$  und  $e$  dieselben constanten Elemente sind, die hier eben so bezeichnet wurden. Multipliciren wir nun den zweiten dieser Ausdrücke mit  $\frac{1}{2}e$  und addiren ihn zum dritten, so ergibt sich sogleich

$$d\left(\frac{\Xi + \frac{1}{2}eT}{dt}\right) = -(h)\left(1 + 2\frac{h^2}{(h)^2}\right)\left(\frac{d\Omega}{d\nu}\right)$$

Es ist aber im Art. 8 angeführt, dafs

$$l\left(\frac{h}{h}\right) = S + s = \int h\left(\frac{d\Omega}{d\nu}\right) dt$$

ist, hiemit bekommen wir

$$(h)\left(\frac{d\Omega}{d\nu}\right) dt = d\left(\frac{h}{h}\right)$$

$$(h)\frac{h^2}{(h)^3}\left(\frac{d\Omega}{d\nu}\right) dt = -d\left(\frac{h}{h}\right)$$

also

$$d\left(\frac{\Xi + \frac{1}{2}eT}{dt}\right) = -d\left(\frac{h}{h}\right) + 2d\left(\frac{h}{h}\right)$$

und hieraus durch die Integration

$$\Xi + \frac{1}{2}eT + \text{const.} = 2\frac{h}{h} - \left(\frac{h}{h}\right).$$

Dieses ist die gesuchte Relation. Die Constante  $s$ , welche in  $\left(\frac{h}{h}\right)$  und  $\frac{h}{h}$  enthalten ist, fällt mit der hier ausdrücklich zugefügten Constante zusammen, wir können aber durch angemessene Trennung desselben den Ausdruck für  $s$  vereinfachen. Zu dem Ende bemerke ich, dafs  $\Xi$  und  $T$  nur aus Gröfsen von der Ordnung der störenden Kraft bestehen, und  $\left(\frac{h}{h}\right)$  sowohl wie  $\frac{h}{h}$  von der Einheit nur um Glieder derselben

Ordnung abweichen können, weil  $(h)$  sowohl wie  $h$ , wenn man alle von der störenden Kraft abhängigen Glieder gleich Null macht, in  $h_0$ , das ist in den rein elliptischen Werth von  $h$  übergeht. Setzen wir daher in der vorstehenden Gleichung diese gleich Eins und jene gleich Null, so ergibt sich const. = 1, und die Gleichung geht in folgende über

$$(18) \dots \Xi + \frac{1}{2}eT + 1 = 2\frac{h}{h} - \left(\frac{h}{h}\right)$$

Ervägen wir nun, dafs dem Vorhergehenden zufolge der rein elliptische Werth von  $\Xi = -b$ , und der von  $-T = 2\xi$ , ist, so erhalten wir, weil unsere Gleichung in Bezug auf diese beiden Elemente linearisch ist, mit blofsen Rücksicht auf die constanten Glieder in  $\frac{h}{h}$  und  $\left(\frac{h}{h}\right)$  durch diese Gleichung

$$2\frac{h}{h} - \left(\frac{h}{h}\right) = 1 - b + 3e\xi,$$

und aus dieser Gleichung mufs  $s$  so bestimmt werden, dafs diese Gröfsen das vollständige constante Glied in dem vollständigen Ausdrucke für  $S + s$  ist. Hiemit ist unter andern, wenn

man (Fundamenta pag. 148) das vollständige constante Glied in  $s$  mit  $C + \frac{1}{2}s$  bezeichnet

$$C = \text{term. const. in } \left\{-\frac{1}{2}l\left(\frac{d\xi}{dr}\right)\right\}$$

wie dort pag. 149 angegeben ist. Führen wir  $S + s$  in die obige Gleichung ein, so entsteht mit alleiniger Rücksicht auf die constanten Glieder

$$2e^{-C} - e^{C+s} = 1 - b + 3e\xi, \dots \dots (19)$$

und diese Gleichung giebt, wenn wir die Abhängigkeit des Elements  $h$  für einen Augenblick aufser Acht lassen,

$$2e^{-C} - e^C = 1 - b + 3e\xi.$$

Diese Gleichung ist, wenn wir  $s$  für  $s$  substituiren, mit der zweiten Gleichung (16) identisch, und es ist daher, abgesehen von der Abhängigkeit des Elements  $h$ ,  $s$ , der Werth von  $s$ . Man kann sich leicht überzeugen, dafs in der That  $s'$  der rein elliptische Werth von  $l\left(\frac{h}{h}\right)$  ist. Dieser ist nemlich jeden-

falls  $l\left(\frac{h}{h_0}\right)$ , wo  $(h)$  sich auf die constanten Elemente  $a$ ,  $n$  und  $e$ , und  $h_0$  auf die rein elliptischen Elemente  $a_0$ ,  $n_0$  und  $e_0$  bezieht. Wir haben, wenn wir diesen rein elliptischen Werth von  $l\left(\frac{h}{h}\right)$  mit  $s$ , bezeichnen, wegen  $h = \frac{an}{\sqrt{(1-e^2)}}$

$$s = la - la_0 + ln - ln_0 - \frac{1}{2}l(1-e^2) + \frac{1}{2}l(1-e_0^2)$$

Eliminirt man hierin  $a$ ,  $n$  und  $1-e^2$  durch die Gleichungen (11), (9) und (7), so bekommt man

$$s = \frac{1}{2}l\{1-2e\xi - (1-e^2)\xi^2 - (1-e^2)\eta^2\} - \frac{1}{2}l(1-b)$$

mit der ersten Gleichung (16) übereinstimmend. Um zu zeigen, wie mit Rücksicht auf die Abhängigkeit des Elements  $h$  die Constante  $s$  durch die Gleichung (19) bestimmt werden mufs, will ich sie bis auf Gröfsen der dritten Ordnung in Bezug auf die störende Kraft entwickeln, in Fällen, wo grössere Genauigkeit nöthig ist, kann das Verfahren, welches ich geben werde, beliebig fortgesetzt werden. Entwickeln wir die Exponentialgröfsen der Gleichung (19) und bleiben bei dem Quadrate stehen, so giebt sie

$$b - 3e\xi = 3(S+s) - \frac{1}{2}(S+s)^2$$

woraus, wenn wir zuerst das Quadrat von  $S+s$  übergehen, folgt

$$s = \frac{1}{2}b - e\xi, = s,$$

welches der Werth von  $s$  in Gröfsen erster Ordnung ist. Nun habe man durch Substitution der constanten elliptischen Elemente  $a$ ,  $n$ ,  $e$ , etc. und der Werthe  $n\pm = n\pm + (c)$ ,  $\omega = 0$  den Ausdruck  $h\left(\frac{d\Omega}{d\nu}\right)$  entwickelt und integrirt, wodurch

$$\int h\left(\frac{d\Omega}{d\nu}\right) dt = \Sigma A_i^{\epsilon} \cos(i g + i' g' + H_i)$$

sich ergeben habe, wo  $g$  und  $g'$  die mittleren Anomalien des gestörten und störenden Körpers, und  $H_s$  die in den Fundamenta näher bezeichnete Function der Zeit bedeuten. Hiemit ist also in der ersten Approximation

$$S + s = \frac{1}{2} b_s - s \xi_s + \Sigma A_s^{i,f} \cos(i g + i' g' + H_s),$$

und also mit bloßer Rücksicht auf das constante Glied

$$(S + s)^2 = (\frac{1}{2} b_s - s \xi_s)^2 + \frac{1}{2} \Sigma (A_s^{i,f})^2$$

substituiert man aus diesen Werth in die obige Gleichung und erwägt, daß  $S$  niemals ein constantes Glied enthalten kann, so bekommt man

$$b_s - 3 s \xi_s = 3 s - \frac{1}{2} (\frac{1}{2} b_s - s \xi_s)^2 - \frac{1}{2} \Sigma (A_s^{i,f})^2$$

also

$$s = \frac{1}{2} b_s - s \xi_s + \frac{1}{2} (\frac{1}{2} b_s - s \xi_s)^2 + \frac{1}{2} \Sigma (A_s^{i,f})^2$$

oder

$$s = s_0 + \frac{1}{2} \Sigma (A_s^{i,f})^2$$

welcher Ausdruck bis auf Größen dritter Ordnung richtig ist; diesem gemäß verfährt man in den folgenden Approximationen.

### 11.

Ich komme jetzt zur Einführung ähnlicher Größen wie  $b_s$ ,  $\xi_s$  und  $\eta_s$  in Bezug auf Neigung  $i$  und Knotenlänge  $\theta$  der Bahn gegen die Fundamentalebene, wobei ich ausdrücklich bemerke, daß diese sich nur auf Planeten, oder bestimmter ausgedrückt, nur auf die Fälle beziehen können, wo in den Störungen die mit der Zeit selbst multiplicirten Glieder zulässig sind. Zu dem Zwecke nehme ich aus den Fundamenta p. 102 u. 103 die Ausdrücke für  $p_s$  und  $q_s$ , welche, nachdem man darin  $\gamma_s$ ,  $\alpha$  und  $\eta$  gleich Null gemacht hat, folgende sind:

$$(20) \dots \begin{cases} p_s = \sin i \sin(\chi - \omega - \pi + \nu + \pi) \\ q_s = \sin i \cos(\chi - \omega - \pi + \nu + \pi) \end{cases}$$

wo  $i$ ,  $\chi$  und  $\omega$  veränderliche,  $\pi$ ,  $\nu$  und  $\pi$  aber constante Elemente sind. Pag. 91 und 84 geben aber

$$(21) \dots \pi - \phi = N + K \text{ und } \phi = \Phi + \chi - \omega$$

hiemit wird

$$(22) \dots \begin{cases} p_s = \sin i \sin(\nu + \pi - N - K - \Phi) \\ q_s = \sin i \cos(\nu + \pi - N - K - \Phi) \end{cases}$$

Wenn man nun bedenkt, daß  $\nu$  und  $\pi$  resp. die constanten Glieder oder rein elliptischen Werthe der Ausdrücke für  $N$  und  $K$  sind, und die constanten Glieder in den vollständigen Ausdrücken für  $\Phi$  und  $i$  resp. mit  $(\Phi)$  und  $(i)$  bezeichnet, dann bekommen wir hieraus

$$\begin{aligned} p_s &= -\sin(i) \sin(\Phi) + \delta p_s \\ q_s &= \sin(i) \cos(\Phi) + \delta q_s \end{aligned}$$

wo durch  $\delta p_s$  und  $\delta q_s$  die vollständigen Störungen von  $p_s$  und  $q_s$  bezeichnet werden. Wenn wir ferner noch in den Formeln der

Fundamenta  $\gamma_s$ ,  $\alpha$  und  $\eta$  gleich Null machen, dann geht die pag. 107 u. f. mit  $\Theta$  bezeichnete Constante in  $(\Phi)$  über, und wir erhalten somit zufolge pag. 120

$$\begin{aligned} p_s &= p_s \cos(\Phi) + q_s \sin(\Phi) \\ q_s &= q_s \cos(\Phi) - p_s \sin(\Phi) \end{aligned} \dots (23)$$

Hiemit ergibt sich

$$\begin{aligned} p_s &= \delta p_s \\ q_s &= \sin(i) + \delta q_s \end{aligned}$$

wenn wir

$$\begin{aligned} \delta p_s &= \delta p_s \cos(\Phi) + \delta q_s \sin(\Phi) \\ \delta q_s &= \delta q_s \cos(\Phi) - \delta p_s \sin(\Phi) \end{aligned}$$

machen. Ist ferner  $s$  der Sines der Breite des Planeten  $m$  über der Fundamentalebene, dann haben wir

$$s = q_s \sin F_s - p_s \cos F_s$$

wo

$$F_s = \bar{f} + \nu + \pi + (\Phi)$$

wenn  $\bar{f}$  die mit  $(n)s$ ,  $(e)$ , etc. zu berechnende wahre Anomalie ist. Hiemit wird

$$s = \sin(i) \sin(\bar{f} + (\omega)) + \delta s$$

wenn wir

$$(\omega) = \nu + \pi + (\Phi) \dots (24)$$

und

$$\delta s = \delta q_s \sin(\bar{f} + (\omega)) - \delta p_s \cos(\bar{f} + (\omega)) \dots (25)$$

machen.

### 12.

Zur Berechnung der auf die Fundamentalebene reducirten Länge dient die Formel (72) pag. 122 der Fundamenta, deren Entwicklung und Integration ich dort pag. 253 gegeben habe. Für den Zweck indess, den ich hier verfolge, ist es dienlicher, statt dieser eine Transformation derselben, die ich unmittelbar aus den Grundgleichungen ableiten werde, anzuwenden. Diese sind

$$\begin{aligned} \cos b \cos(l - \theta) &= \cos(\nu - \theta) \\ \cos b \sin(l - \theta) &= \cos i \sin(\nu - \theta) \end{aligned}$$

wo  $b$  die Breite,  $l$  die reducirte Länge, und  $\nu$  die Länge in der Bahn ist, und die Neigung  $i$ , so wie die Knotenlänge  $\theta$  veränderlich angesehen werden müssen. Es ist aber (Fundamenta pag. 37 und 89)

$$\nu - \theta = \nu_s - \chi + \omega = \bar{f} + \pi - \chi + \omega$$

also

$$\begin{aligned} \cos b \cos(l - \theta) &= \cos(\bar{f} + \pi - \chi + \omega) \\ \cos b \sin(l - \theta) &= \cos i \sin(\bar{f} + \pi - \chi + \omega) \end{aligned}$$

Durch Multiplication dieser Gleichungen mit  $\sin(\theta - (\delta) - u)$  und  $\cos(\theta - (\delta) - u)$ , wo  $(\delta)$  und  $u$  vorläufig unbestimmte Größen sind, verwandelt man sie leicht in

$$(26) \dots \dots \dots \left\{ \begin{array}{l} \cos b \cos (i-u-(\delta)) = \cos (\bar{f} + \pi - \chi + w) \cos (\delta - (\delta) - u) \\ \quad - \cos i \sin (\bar{f} + \pi - \chi + w) \sin (\delta - (\delta) - u) \\ \cos b \sin (i-u-(\delta)) = \cos (\bar{f} + \pi - \chi + w) \sin (\delta - (\delta) - u) \\ \quad + \cos i \sin (\bar{f} + \pi - \chi + w) \cos (\delta - (\delta) - u) \end{array} \right.$$

Wir haben oben  $(w) = v + \kappa + (\Phi)$  eingeführt. Die Gleichungen (21) geben aber

$$N + K + \Phi = \pi - (\chi - w)$$

Hieraus folgt, wenn wir zu den constanten Gliedern übergehen, dafs  $v + \kappa + (\Phi)$ , dafs ist  $(w)$ , gleich  $\pi$  weniger dem constanten Gliede in  $(\chi - w)$  ist, bestimmen wir nun die eben eingeführte unbestimmte Gröfse  $(\delta)$  so, dafs sie das constante

$$(28) \dots \dots \dots \left\{ \begin{array}{l} \cos b \cos (i-u-(\delta)) = \cos (\bar{f} + w) \{ \cos (\chi - w - (\delta)) \cos (\delta - (\delta) - u) + \cos i \sin (\chi - w - (\delta)) \sin (\delta - (\delta) - u) \} \\ \quad + \sin (\bar{f} + w) \{ \sin (\chi - w - (\delta)) \cos (\delta - (\delta) - u) - \cos i \cos (\chi - w - (\delta)) \sin (\delta - (\delta) - u) \} \\ \cos b \sin (i-u-(\delta)) = \cos (\bar{f} + w) \{ \cos (\chi - w - (\delta)) \sin (\delta - (\delta) - u) - \cos i \sin (\chi - w - (\delta)) \cos (\delta - (\delta) - u) \} \\ \quad + \sin (\bar{f} + w) \{ \sin (\chi - w - (\delta)) \sin (\delta - (\delta) - u) + \cos i \cos (\chi - w - (\delta)) \cos (\delta - (\delta) - u) \} \end{array} \right.$$

Diese Gleichungen werde ich jetzt bis auf Gröfsen vierter Ordnung in Bezug auf die störende Kraft entwickeln. Zu dem Ende geben uns die Gleichungen (20) und (23)

$$p_n = \sin i \sin (\chi - w - \pi + v + \kappa + (\Phi))$$

$$q_n = \sin i \cos (\chi - w - \pi + v + \kappa + (\Phi))$$

aber aus (24) und (27) ziehen wir

$$-\pi + v + \kappa + (\Phi) = -(\delta)$$

also

$$p_n = \sin i \sin (\chi - w - (\delta))$$

$$q_n = \sin i \cos (\chi - w - (\delta))$$

Hiermit wird

$$\chi - w - (\delta) = \arcsin \frac{p_n}{q_n} = \frac{p_n}{q_n} - \frac{1}{2} \frac{p_n^3}{q_n^3} + \text{etc.}$$

Führt man hierin die Werthe  $p_n = \delta p_n$ ,  $q_n = \sin(i) + \delta q_n$  ein, so bekommt man

$$\chi - w - (\delta) = \frac{\delta p_n}{\sin(i)} - \frac{\delta p_n \delta q_n}{\sin^3(i)} - \frac{\delta p_n^3}{3 \sin^3(i)} + \frac{\delta p_n \delta q_n^3}{\sin^3(i)}$$

bis auf Gröfsen vierter Ordnung genau. Dieser Ausdruck giebt uns bis auf denselben Grad der Genauigkeit

$$\delta = \text{const.} + \frac{\chi - w}{\cos(i)} + \frac{\sin(i)}{\cos^3(i)} \int \delta q_n (d\chi - dw) + \frac{1}{2 \cos^3(i)} \int \delta p_n^2 (d\chi - dw) + \frac{1 + 2 \sin^2(i)}{2 \cos^5(i)} \int \delta q_n^3 (d\chi - dw)$$

Der obige Ausdruck für  $\chi - w - (\delta)$  giebt durch die Differentiation

$$d\chi - dw = \frac{\delta p_n}{\sin(i)} - \frac{\delta q_n \delta p_n}{\sin^3(i)} - \frac{\delta p_n^2 d q_n}{\sin^3(i)}$$

Hiermit können die Integrale des vorstehenden Werthes von  $\delta$  leicht berechnet werden. Wenn man erwägt, dafs

$$\delta = \text{const.} + \frac{(\delta)}{\cos(i)} + \frac{\delta p_n}{\sin(i) \cos(i)} - \frac{\delta p_n \delta q_n}{\sin^2(i) \cos(i)} + \frac{-\frac{1}{2} + \frac{1}{2} \sin^2(i)}{\sin^3(i) \cos^3(i)} \delta p_n^3 + \frac{1 - \frac{1}{2} \sin^2(i) + 2 \sin^4(i)}{\sin^3(i) \cos^5(i)} \delta p_n \delta q_n^3$$

$$+ \frac{1}{2 \cos^3(i)} \int \left\{ \delta q_n \delta p_n - \delta p_n d q_n \right\} + \frac{\sin(i)}{\cos^5(i)} \int \delta q_n \left\{ \delta q_n \delta p_n - \delta p_n d q_n \right\}$$

Glied in dem vollständigen Ausdrucke für  $\chi - w$  sey, so erhalten wir

$$(w) = \pi - (\delta) \dots \dots \dots (27)$$

und wir können die Gleichungen (26), wenn wir den Bogen  $(\delta)$  theils zum Bogen  $\bar{f} + \pi - \chi + w$  addiren, theils davon subtrahiren, leicht in folgende verwandeln:

$$\sin(\chi - w - (\delta)) = \frac{\delta p_n}{\sin(i)} - \frac{\delta p_n \delta q_n}{\sin^3(i)} - \frac{\delta p_n^3}{2 \sin^3(i)} + \frac{\delta p_n \delta q_n^3}{\sin^3(i)}$$

$$\cos(\chi - w - (\delta)) = 1 - \frac{\delta p_n^2}{2 \sin^3(i)} + \frac{\delta p_n^2 \delta q_n}{\sin^3(i)}$$

Die eben angewandten Ausdrücke für  $p_n$  und  $q_n$  geben ferner mittelst einer leichten Entwicklung

$$\cos i = \cos(i) - \frac{\sin(i)}{\cos(i)} \delta q_n - \frac{\delta p_n^2}{2 \cos^3(i)} - \frac{\delta q_n^3}{2 \cos^3(i)}$$

$$- \frac{\sin(i)}{2 \cos^3(i)} \delta p_n^2 \delta q_n - \frac{\sin(i)}{2 \cos^5(i)} \delta q_n^3$$

und

$$\frac{1}{\cos i} = \frac{1}{\cos(i)} + \frac{\sin(i)}{\cos^3(i)} \delta q_n + \frac{\delta p_n^2}{2 \cos^3(i)} + \frac{1 + 2 \sin^2(i)}{2 \cos^5(i)} \delta q_n^3$$

Nun ist (Fundamenta p. 34)

$$d\theta = \frac{d\chi - dw}{\cos i}$$

also wenn wir den vorstehenden Werth von  $\frac{1}{\cos i}$  substituiren und integriren

$$\int \delta q_n \delta p_n = \frac{1}{2} \delta p_n \delta q_n + \frac{1}{2} \int \left\{ \delta q_n \delta p_n - \delta p_n d q_n \right\}$$

$$\int \delta q_n^2 \delta p_n = \frac{1}{2} \delta p_n \delta q_n^2 + \frac{1}{2} \int \delta q_n \left\{ \delta q_n \delta p_n - \delta p_n d q_n \right\}$$

$$\int \delta p_n \delta q_n d q_n = \frac{1}{2} \delta p_n \delta q_n^2 - \frac{1}{2} \int \delta q_n \left\{ \delta q_n \delta p_n - \delta p_n d q_n \right\}$$

so bekommt man

Bestimmen wir nun die bisher unbekannt gebliebene GröÙe  $u$  dergestalt, daÙ

$$u = \frac{1}{2 \cos^2(i)} \int \{ dg_a dp_a - dp_a dq_a \} + \frac{\sin(i)}{\cos^3(i)} \int dg_a \{ dg_a dp_a - dp_a dq_a \} \dots \dots \dots (29)$$

und erwägen, daÙ die im Ausdrucke für  $\delta$  enthaltene unbestimmte Constante so bestimmt werden muß, daÙ die rechte Seite der Gleichungen (28) resp. in  $\cos(\bar{f} + (u))$  und  $\cos(i) \sin(\bar{f} + (u))$  übergeht, wenn man  $dp_a$  und  $dq_a$  gleich

Null macht, wodurch man

$$= \cos i + \frac{(\delta)}{\cos(i)} = (\delta)$$

bekommt, so ergibt sich

$$\delta - u = (\delta) + \frac{dp_a}{\sin(i) \cos(i)} - \frac{dp_a dq_a}{\sin^2(i) \cos(i)} + \frac{-\frac{1}{2} + \frac{1}{2} \sin^2(i)}{\sin^3(i) \cos^3(i)} dp_a^2 + \frac{1 - \frac{1}{2} \sin^2(i) + 2 \sin^4(i)}{\sin^3(i) \cos^3(i)} dp_a dq_a^2$$

und hiemit

$$\sin(\delta - (\delta) - u) = \frac{dp_a}{\sin(i) \cos(i)} + \frac{-1 + \frac{1}{2} \sin^2(i)}{\sin^3(i) \cos^3(i)} dp_a^2 - \frac{dp_a^3}{2 \sin^3(i) \cos(i)} + \frac{1 - \frac{1}{2} \sin^2(i) + 2 \sin^4(i)}{\sin^3(i) \cos^3(i)} dp_a dq_a^2$$

$$\cos(\delta - (\delta) - u) = 1 - \frac{dp_a^2}{2 \sin^3(i) \cos^3(i)} + \frac{1 - \frac{1}{2} \sin^2(i)}{\sin^3(i) \cos^3(i)} dp_a^2 dq_a$$

Multiplirt man diese Ausdrücke mit den obigen Werthen von  $\sin(\chi - u - (\delta))$  und  $\cos(\chi - u - (\delta))$ , so bekommt man

$$\cos(\chi - u - (\delta)) \cos(\delta - (\delta) - u) = 1 + \frac{-1 + \frac{1}{2} \sin^2(i)}{\sin^3(i) \cos^3(i)} dp_a^2 + \frac{2 - \frac{1}{2} \sin^2(i) + \sin^4(i)}{\sin^3(i) \cos^3(i)} dp_a^2 dq_a$$

$$\sin(\chi - u - (\delta)) \sin(\delta - (\delta) - u) = \frac{dp_a^2}{\sin^3(i) \cos(i)} + \frac{-2 + \frac{1}{2} \sin^2(i)}{\sin^3(i) \cos^3(i)} dp_a^2 dq_a$$

$$\cos(\chi - u - (\delta)) \sin(\delta - (\delta) - u) = \frac{dp_a}{\sin(i) \cos(i)} + \frac{-1 + \frac{1}{2} \sin^2(i)}{\sin^3(i) \cos^3(i)} dp_a dq_a - \frac{dp_a^3}{\sin^3(i) \cos(i)} + \frac{1 - \frac{1}{2} \sin^2(i) + 2 \sin^4(i)}{\sin^3(i) \cos^3(i)} dp_a dq_a^2$$

$$\sin(\chi - u - (\delta)) \cos(\delta - (\delta) - u) = \frac{dp_a}{\sin(i)} - \frac{dp_a dq_a}{\sin^3(i)} + \frac{-1 + \frac{1}{2} \sin^2(i)}{\sin^3(i) \cos^3(i)} dp_a^2 + \frac{1}{\sin^3(i)} dp_a dq_a^2$$

und hieraus durch Multiplication mit dem obigen Werthe von  $\cos i$ ,

$$\cos i \cos(\chi - u - (\delta)) \cos(\delta - (\delta) - u) = \cos(i) + \frac{\sin(i)}{\cos(i)} dq_a - \frac{dp_a^2}{\sin^3(i) \cos(i)} - \frac{dq_a^2}{2 \cos^2(i)} + \frac{2 - \frac{1}{2} \sin^2(i)}{\sin^3(i) \cos^3(i)} dp_a^2 dq_a - \frac{\sin(i)}{2 \cos^2(i)} dq_a^2$$

$$\cos i \sin(\chi - u - (\delta)) \sin(\delta - (\delta) - u) = \frac{dp_a^2}{\sin^3(i)} + \frac{-2 + \frac{1}{2} \sin^2(i)}{\sin^3(i) \cos^3(i)} dp_a^2 dq_a$$

$$\cos i \cos(\chi - u - (\delta)) \sin(\delta - (\delta) - u) = \frac{dp_a}{\sin(i)} + \frac{-1 + \frac{1}{2} \sin^2(i)}{\sin^3(i) \cos^3(i)} dp_a dq_a + \frac{-1 + \frac{1}{2} \sin^2(i)}{\sin^3(i) \cos^3(i)} dp_a^2 + \frac{1 - 2 \sin^2(i) + \frac{1}{2} \sin^4(i)}{\sin^3(i) \cos^3(i)} dp_a dq_a^2$$

$$\cos i \sin(\chi - u - (\delta)) \cos(\delta - (\delta) - u) = \frac{\cos(i)}{\sin(i)} dp_a - \frac{dp_a dq_a}{\sin^3(i) \cos(i)} - \frac{dp_a^3}{\sin^3(i) \cos(i)} + \frac{1 - \frac{1}{2} \sin^2(i)}{\sin^3(i) \cos^3(i)} dp_a dq_a^2$$

Substituiert man diese Ausdrücke in die Gleichungen (28), so bekommt man sogleich

$$\cos b \cos(l - u - (\delta)) = \cos(\bar{f} + (u)) \left\{ 1 - \frac{dp_a^2}{2 \cos^2(i)} - \frac{\sin(i)}{2 \cos^3(i)} dp_a^2 dq_a \right\}$$

$$+ \sin(\bar{f} + (u)) \left\{ \frac{dp_a dq_a}{2 \cos^3(i)} + \frac{\sin(i)}{2 \cos^4(i)} dp_a dq_a^2 \right\}$$

$$\cos b \sin(l - u - (\delta)) = \cos(\bar{f} + (u)) \left\{ \frac{1}{2} \frac{dp_a}{\cos^2(i)} + \frac{dp_a dq_a}{2 \cos^3(i)} + \frac{\sin(i)}{2 \cos^3(i)} dp_a dq_a^2 \right\}$$

$$+ \sin(\bar{f} + (u)) \left\{ \cos(i) - \frac{1}{2} \frac{dq_a^2}{\cos^2(i)} - \frac{\sin(i)}{2 \cos^3(i)} dq_a^2 \right\}$$

oder mit Rücksicht auf den Ausdruck (25) für  $\delta$ ,

$$\cos b \cos(l - u - (\delta)) = \cos(\bar{f} + (u)) + \delta \left\{ \frac{dp_a}{2 \cos^3(i)} + \frac{\sin(i)}{2 \cos^4(i)} dp_a dq_a \right\}$$

$$\cos b \sin(l - u - (\delta)) = \cos(i) \sin(\bar{f} + (u)) - \delta \left\{ \frac{1}{2} \frac{dq_a}{\cos^2(i)} + \frac{\sin(i)}{2 \cos^3(i)} dq_a^2 \right\} \dots \dots \dots (30)$$

$$\sin b = \sin(i) \sin(\bar{f} + (u)) + \delta$$

wo  $u$  durch (29) berechnet werden muß.

13.

Nehmen wir nun an, daß man bei der Berechnung von  $\delta p_u$  und  $\delta q_u$  nicht die Elemente  $a, e, (u), (i), (\theta)$ , sondern  $a_0, e_0, u_0, i_0, \theta_0$  zu Grunde gelegt habe, und bezeichnen

$$(31) \dots \dots \dots \begin{cases} \cos b \cos(i - u_0 - \theta_0) = \cos(\bar{f}_0 + w_0) + \delta i_0 \left\{ \frac{\delta p_0}{2 \cos^3 i_0} + \frac{\sin i_0}{2 \cos^3 i_0} \delta p_0 \delta q_0 \right\} \\ \cos b \sin(i - u_0 - \theta_0) = \cos i_0 \sin(\bar{f}_0 + w_0) - \delta e_0 \left\{ \epsilon g i_0 + \frac{\delta q_0}{2 \cos^3 i_0} + \frac{\sin i_0}{2 \cos^3 i_0} \delta q_0 \right\} \\ \sin b = \sin i_0 \sin(\bar{f}_0 + w_0) + \delta e_0 \end{cases}$$

Zur Vergleichung der beiden Systeme (30) und (31) haben wir durch die Gleichung (3), wenn wir darin  $\tau$  in  $i$  verwandeln

$$\bar{f}_0 = \bar{f} + \pi - \pi_0$$

Setzen wir überdies

$$\pi_0 = \pi + \delta \pi$$

$$w_0 = (w) + \delta w$$

$$\sin b = \sin(i) \sin(\bar{f} + (w)) + \left\{ \cos(i) \delta i - \frac{1}{2} \sin(i) \delta i^2 - \frac{1}{2} \sin(i) (\delta w - \delta \pi)^2 + \delta q_0 + \delta p_0 (\delta w - \delta \pi) \right\} \sin(\bar{f} + (w)) \\ + \left\{ \sin(i) (\delta w - \delta \pi) + \cos(i) \delta i (\delta w - \delta \pi) - \delta p_0 + \delta q_0 (\delta w - \delta \pi) \right\} \cos(\bar{f} + (w))$$

Die dritte Gleichung (30) giebt aber

$$\sin b = \sin(i) \sin(\bar{f} + (w)) + \delta q_u \sin(\bar{f} + (w)) - \delta p_u \cos(\bar{f} + (w))$$

Die Vergleichung dieser beiden Gleichungen zeigt sogleich, daß

$$\delta p_u = -\sin(i) (\delta w - \delta \pi) - \cos(i) \delta i (\delta w - \delta \pi) + \delta p_0 - \delta q_0 (\delta w - \delta \pi)$$

$$\delta q_u = \cos(i) \delta i - \frac{1}{2} \sin(i) \delta i^2 - \frac{1}{2} \sin(i) (\delta w - \delta \pi)^2 + \delta q_0 + \delta p_0 (\delta w - \delta \pi)$$

Die erste und zweite der Gleichungen (30) geben durch Multiplication mit  $\cos u$  und  $\sin u$ , und mit Weglassung der Glieder dritter Ordnung

$$\cos b \cos(i - (\theta)) = \left\{ \cos(\bar{f} + (w)) + \frac{1}{2} \delta e \frac{\delta p_u}{\cos^3(i)} \right\} \cos u - \left\{ \cos(i) \sin(\bar{f} + (w)) - \delta e \left\{ \epsilon g(i) + \frac{\delta q_u}{2 \cos^3(i)} \right\} \right\} \sin u$$

und die erste und zweite der Gleichungen (31) auf analoge Art

$$\cos b \cos(i - (\theta)) = \left\{ \cos(\bar{f}_0 + w_0) + \frac{1}{2} \delta e_0 \frac{\delta p_0}{\cos^3(i_0)} \right\} \cos(u_0 + \delta \theta) - \left\{ \cos i_0 \sin(\bar{f}_0 + w_0) - \delta e_0 \left\{ \epsilon g i_0 + \frac{\delta q_0}{2 \cos^3 i_0} \right\} \right\} \sin u_0 + \delta \theta$$

Entwickelt man diese Gleichung, so ergibt sich

$$\cos b \cos(i - (\theta)) = \cos(\bar{f} + (w)) - \left\{ \epsilon g(i) \delta p_0 (u_0 + \delta \theta) + \frac{\delta p_u^2}{2 \cos^3(i)} + \frac{1}{2} (\delta w - \delta \pi)^2 - \frac{1}{2} (u_0 + \delta \theta)^2 + \cos(i) (\delta w - \delta \pi) (u_0 + \delta \theta) \right\} \cos(\bar{f} + (w)) \\ - \left\{ (\delta w - \delta \pi) + \cos(i) (u_0 + \delta \theta) - \sin(i) \delta i (u_0 + \delta \theta) - \frac{\delta p_0 \delta q_0}{2 \cos^3(i)} - \epsilon g(i) \delta q_0 (u_0 + \delta \theta) \right\} \sin(\bar{f} + (w))$$

und jene giebt

$$\cos b \cos(i - (\theta)) = \cos(\bar{f} + (w)) - \left\{ \epsilon g(i) u \delta p_u + \frac{\delta p_u^2}{2 \cos^3(i)} + \frac{1}{2} u^2 \right\} \cos(\bar{f}(w)) \\ - \left\{ \cos(i) u + \epsilon g(i) \cdot u \delta q_u - \frac{\delta p_u \delta q_u}{2 \cos^3(i)} \right\} \sin(\bar{f} + (w))$$

Die Coefficienten von  $\sin(\bar{f} + (w))$  dieser beiden Gleichungen geben sogleich

$$u - \frac{\sin(i)}{\cos^3(i)} u \delta q_u - \frac{\delta p_u \delta q_u}{2 \cos^3(i)} = \frac{\delta w - \delta \pi}{\cos(i)} + u_0 + \delta \theta - \frac{\sin(i)}{\cos(i)} \delta i (u_0 + \delta \theta) - \frac{\delta p_0 \delta q_0}{2 \cos^3(i)} - \frac{\sin(i)}{\cos^3(i)} \delta q_0 (u_0 + \delta \theta)$$

woraus

$$u = u_0 + \delta \theta + \frac{\delta w - \delta \pi}{\cos(i)} + \frac{\sin(i)}{2 \cos^3(i)} \delta i (\delta w - \delta \pi) + \frac{\sin(i)}{2 \cos^3(i)} (\delta w - \delta \pi) \delta q_0 + \frac{1}{2 \cos^3(i)} \delta i \delta p_0$$

folgt. Substituiert man diesen Werth von  $u$ , so wie die eben gefundenen Werthe von  $\delta p_u$  und  $\delta q_u$  in die Coefficienten von

wir alle sich darauf beziehenden Größen auf gleiche Weise, so bekommen wir, da jedenfalls  $i$  und  $b$  denselben Werth bekommen müssen, wie vorher,

$$\begin{aligned} i_0 &= (i) + \delta i \\ \theta_0 &= (\theta) + \delta \theta \end{aligned}$$

substituiren diese Werthe, so wie

$$\delta e_0 = \delta q_0 \sin(\bar{f}_0 + w_0) - \delta p_0 \cos(\bar{f}_0 + w_0)$$

in die dritte Gleichung (31) und entwickeln sie bis auf Größen dritter Ordnung, so ergibt sich

$\cos(\bar{f} + (w))$  der beiden vorstehenden Gleichungen, so ist denselben ohne Weiteres Genüge geleistet.

Den vorstehenden Entwicklungen liegt die Annahme zu Grunde, daß in beiden Fällen, nemlich einestheils mit Anwendung der Elemente  $(u)$ ,  $(i)$ ,  $(\delta)$ , etc. und andernteils mit Anwendung der Elemente  $w_0$ ,  $i_0$ ,  $\delta_0$ , etc. die Ausdrücke für  $b$  und  $l$  die nemliche Form behalten sollen. Diese Bedingung

$$\text{also} \quad \delta q_n dp_n - \delta p_n dq_n = \delta q_0 dp_0 - \delta p_0 dq_0 + \cos(i) \delta i dp_n + \sin(i) (\delta w - \delta \pi) dq_n$$

$$\int (\delta q_n dp_n - \delta p_n dq_n) = \int (\delta q_0 dp_0 - \delta p_0 dq_0) + \cos(i) \delta i \int p_n + \sin(i) (\delta w - \delta \pi) \int dq_n$$

oder nachdem man wieder die Werthe von  $\delta p_n$  und  $\delta q_n$  substituiert, und die ganze Gleichung mit  $2 \cos^2(i)$  dividirt hat

$$(32) \dots u = u_0 + \frac{1}{2 \cos^2(i)} \delta i \delta p_0 + \frac{\sin(i)}{2 \cos^2(i)} (\delta w - \delta \pi) \delta q_0$$

Setzt man diesen Werth von  $u$  dem eben gefundenen andern Werthe derselben Größe gleich, so bekommt man

$$(34) \dots \begin{cases} \delta p_n = \sin(i) \cos(i) \delta \delta + (1 - \frac{1}{2} \sin^2(i)) \delta i \delta \delta + \delta p_0 + \cos(i) \delta \delta \delta q_0 \\ \delta q_n = \cos(i) \delta i - \frac{1}{2} \sin(i) \delta i^2 - \frac{1}{2} \sin(i) \cos^2(i) \delta \delta^2 + \delta q_0 - \cos(i) \delta i \delta \delta p_0 \end{cases}$$

Die Erweiterung dieser Ausdrücke bis auf Größen der vierten und höheren Ordnungen hat weiter keine Schwierigkeit wie die Länge der Rechnung, die Genauigkeit insofern der vorstehenden Ausdrücke, die bis auf Größen der dritten Ordnung richtig sind, wird in allen Fällen, die vorkommen können, hinreichend seyn.

## 14.

Nehmen wir nun an, daß die Elemente  $\pi_0$ ,  $i_0$ ,  $\delta_0$  die rein elliptischen Elemente seyen, und suchen wir die rein elliptischen Werthe von  $\delta \pi$ ,  $\delta p_n$ ,  $\delta q_n$  und  $u$ . Zu dem Ende

$$(35) \dots \begin{cases} \pi = \sin(i) \cos(i) \delta \delta + (1 - \frac{1}{2} \sin^2(i)) \delta i \delta \delta \\ \sigma = \cos(i) \delta i - \frac{1}{2} \sin(i) \delta i^2 - \frac{1}{2} \sin(i) \cos^2(i) \delta \delta^2 \end{cases}$$

wodurch man  $\pi$  und  $\sigma$  erhält, wenn beide Systeme von Elementen gegeben sind. Sind hingegen  $\pi$  und  $\sigma$ , so wie das eine System von Elementen gegeben, dann bekommt man das andere System durch folgende Ausdrücke

$$(36) \dots \begin{cases} \delta i = \frac{\sigma}{\cos(i)} + \frac{\sin(i)}{2 \cos^2(i)} \sigma^2 + \frac{\pi^2}{2 \sin(i) \cos(i)} \\ \delta \delta = \frac{\pi}{\sin(i) \cos(i)} - \frac{1 - \frac{1}{2} \sin^2(i)}{\sin^2(i) \cos^2(i)} \pi \sigma \end{cases}$$

die durch Umkehrung aus jenem entstanden sind.

## 15.

Wenn man also bei der Berechnung der Störungen die Elemente  $(n)$ ,  $(e)$ ,  $(u)$ ,  $(i)$  und  $(\delta)$  statt der rein elliptischen Elemente  $n_0$ ,  $e_0$ ,  $u_0$ ,  $i_0$  und  $\delta_0$  zu Grunde legen will oder muß, dann wird die Berechnung der Störungen erster Ordnung in Bezug auf die störende Kraft unverändert so ausgeführt, als wären die angewandten Elemente die rein elliptischen,

gleich noch eine Gleichung, weil  $u$  von  $\delta p_n$  und  $\delta q_n$  abhängt. Multiplicirt man die eben gefundenen Werthe von  $\delta p_n$  und  $\delta q_n$  resp. mit  $dq_n$  und  $dp_n$ , so ergibt sich mit Uebergehung der Größen dritter Ordnung

$$0 = \delta \delta + \frac{\delta w - \delta \pi}{\cos(i)} + \frac{\sin(i)}{2 \cos^2(i)} \delta i (\delta w - \delta \pi)$$

welche Gleichung zur Bestimmung von  $\delta \pi$  dient, und

$$\delta \pi = \delta w + \cos(i) \delta \delta - \frac{1}{2} \sin(i) \delta i \delta \delta \dots (33)$$

gibt. Hiemit bekommt man endlich, wenn man in den obigen Ausdrücken für  $\delta p_n$  und  $\delta q_n$  die Größe  $\delta \pi$  eliminiert

müssen wir in die vorstehenden Formeln die rein elliptischen Werthe von  $\delta p_0$ ,  $\delta q_0$  und  $u_0$  substituieren. Diese sind aber gleich Null, und somit giebt die Gleichung (32) den rein elliptischen Werth von  $u = 0$ , und dieses ist, wenigstens bis auf Größen dritter Ordnung, auch der Werth des constanten Gliedes in dem abhängigen Elemente  $u$ . Die Gleichung (33) giebt unverändert den rein elliptischen Werth von  $\delta \pi$ , welcher mit der zu Anfang dieser Abhandlung  $\eta$  genannten Größe in enger Beziehung steht. Die Gleichungen (34) endlich geben für die rein elliptischen Werthe von  $\delta p_n$  und  $\delta q_n$ , die ich resp.  $\pi$  und  $\sigma$  nennen will, die folgenden Ausdrücke

tischen, mit der alleinigen Ausnahme jedoch, daß außer den oben erklärten, von  $\delta$ ,  $\xi$ , und  $\eta$ , abhängigen, und der Größe  $H'$  hinzuzufügenden Gliedern, den Störungen  $\delta p_n$  und  $\delta q_n$ , die zu Ende des vorigen Artikels gefundenen Größen hinzugefügt werden müssen. Man hat also demnach vollständig

$$\begin{aligned} p_n &= \delta p_n + \pi \\ q_n &= \sin(i) + \delta q_n + \sigma \end{aligned}$$

oder da überhaupt

$$\begin{aligned} p &= p_n \cos(\Phi) - q_n \sin(\Phi) \\ q &= p_n \sin(\Phi) + q_n \cos(\Phi) \end{aligned}$$

ist

$$\begin{aligned} p &= -\sin(i) \sin(\Phi) + \delta p_n + \pi \cos(\Phi) - \sigma \sin(\Phi) \\ q &= \sin(i) \cos(\Phi) + \delta q_n + \pi \sin(\Phi) + \sigma \cos(\Phi) \end{aligned}$$

wo  $\delta p$  und  $\delta q$ , oder  $\delta p_n$  und  $\delta q_n$ , die durch die unveränderten Formeln berechneten Störungen erster Ordnung in Bezug auf die störende Kraft bedeuten. Da nun in der ersten Approximation bloß die ersten Glieder dieser Ausdrücke berücksichtigt

worden sind, so muß in der zweiten und den folgenden Approximationen

$\delta p, + \kappa$ , als Zuwachs von  $p$ , und

$\delta q, + \sigma$ , als Zuwachs von  $q$ ,

betrachtet werden, wenn man

$$\kappa \cos(\Phi) - \sigma \sin(\Phi) = \kappa,$$

$$\kappa \sin(\Phi) + \sigma \cos(\Phi) = \sigma,$$

macht. Dieses Resultat ist, wie man sieht, dem oben in Bezug auf  $(\eta)$  und  $\omega$  gefundenen ganz analog, und es werden also, wenn man der Berechnung der Störungen Elemente zu Grunde legt, die nicht die rein elliptischen sind, meine Formeln unverändert beibehalten. Der einzige Unterschied des Verfahrens besteht darin, daß den Störungen der ersten Approximation die von den fünf Größen  $b, \xi, \eta, \kappa, \sigma$ , abhängigen Glieder hinzugefügt, und der Zuwachs, den diese Störungen dadurch erhalten, in der zweiten und den folgenden Approximationen mit berücksichtigt werden muß. Diese fünf Größen hängen von den fünf constanten elliptischen Elementen  $n, e, w, i$  und  $\theta$  ab, eine vom sechsten elliptischen Elemente, der mittleren Anomalie für die Zeit  $t = 0$ , abhängige Größe ist nicht vorhanden, und dieses hat seinen Grund darin, daß man die Störungen für die beliebige Zeit  $t$ , man mag die Störungsfunktion  $\Omega$  durch mechanische Quadraturen, oder auf irgend eine andere Art entwickeln, ohne die geringste Kenntniss von diesem Elemente zu haben, berechnen kann.

### 16.

Die Formeln, welche ich in den Fundamentis zur Berechnung der Störungen gegeben habe, hängen nicht direct von den Größen  $p$  und  $q$  ab, sondern statt dessen von  $P, Q$  und  $K$ , welche Functionen jener, und der sich auf den störenden Planeten beziehenden analogen Größen sind. Die Anwendung, welche ich von  $P, Q$  und  $K$  gemacht habe, besteht im Allgemeinen darin, daß in der ersten Approximation statt der rein elliptischen Werthe derselben die davon abhängenden Größen  $\nu, k$  und der rein elliptische Werth der gegenseitigen Neigung  $I$  der Bahn des gestörten und der des störenden Planeten gebraucht wird, und in der zweiten und den folgenden Approximationen die Störungen  $\delta P, \delta Q$  und  $\delta K$  in Anwendung kommen. Die Größen  $\nu$  und  $k$  hängen von den Bögen  $\Phi$  und  $\Psi$  ab, und diese sowohl wie  $I$  sind Functionen der Neigungen und Knotenlängen der beiden genannten Bahnen gegen die Fundamentalebene.  $\Phi, \Psi$  und  $\theta - \theta'$  sind die Seiten eines sphärischen Dreiecks, denen resp. der Winkel  $i, 150^\circ - i$  und  $I$  gegenüber liegen, wenn  $i$  die Neigung, und  $i'$  die Länge des aufsteigenden Knotens der Bahn des störenden Planeten gegen die Fundamentalebene bedeutet. Wir haben

also für die Berechnung von  $\Phi, \Psi$  und  $I$  die folgenden Gleichungen:

$$\sin \frac{1}{2} I \sin \frac{1}{2} (\Psi + \Phi) = \sin \frac{1}{2} (\theta - \theta') \sin \frac{1}{2} (i + i')$$

$$\sin \frac{1}{2} I \cos \frac{1}{2} (\Psi + \Phi) = \cos \frac{1}{2} (\theta - \theta') \sin \frac{1}{2} (i - i')$$

$$\cos \frac{1}{2} I \sin \frac{1}{2} (\Psi - \Phi) = \sin \frac{1}{2} (\theta - \theta') \cos \frac{1}{2} (i + i')$$

$$\cos \frac{1}{2} I \cos \frac{1}{2} (\Psi - \Phi) = \cos \frac{1}{2} (\theta - \theta') \cos \frac{1}{2} (i - i')$$

Substituiert man hierin die rein elliptischen Werthe von  $i, \theta, i'$  und  $\theta'$ , so bekommt man die rein elliptischen Werthe von  $I, \Phi$  und  $\Psi$ . Substituiert man statt  $i$  und  $\theta$  die im vorhergehenden (i) und (9) genannten Werthe und für  $i'$  und  $\theta'$  entweder die rein elliptischen, oder andere constante, jenen analogen Werthe, dann geben die vorstehenden Gleichungen die Werthe, die ich im Vorhergehenden mit  $(I), (\Phi)$  und  $(\Psi)$  bezeichnet habe. Hiemit erhalten wir

$$\nu + \kappa = (w) - (\Phi)$$

$$\nu - \kappa = w' - (\Psi)$$

oder

$$\nu = \frac{1}{2}((w) + w') - \frac{1}{2}((\Phi) + (\Psi))$$

$$\kappa = \frac{1}{2}((w) - w') - \frac{1}{2}((\Phi) - (\Psi))$$

wo  $(w)$ , wie im Vorhergehenden, die Entfernung des Perihels von aufsteigenden Knoten mit der Fundamentalebene (das ist  $\pi - (\theta)$ ) bedeutet, und  $w'$  in Bezug auf den störenden Planeten die nemliche Bedeutung hat. Hiemit ist der Ausdruck für die gegenseitige Entfernung des störenden und gestörten Planeten, welche ich  $\Delta$  nenne, den Fundamentis zufolge folgender

$$\Delta^2 = r^2 + r'^2 - 2rr' \cos^2 \frac{1}{2} I \cos(f - f' + 2\kappa)$$

$$- 2rr' \sin^2 \frac{1}{2} I \cos(f + f' + 2\nu)$$

oder

$$\Delta^2 = r^2 + r'^2 - 2rr' \cos(f + \nu + \kappa) \cos(f' + \nu - \kappa)$$

$$- 2rr' \cos I \sin(f + \nu + \kappa) \sin(f' + \nu - \kappa)$$

wo  $f$  und  $r$  den folgenden

$$n t + (i) = a - e \sin e$$

$$r \cos f = a \cos e - a e$$

$$r \sin f = a \sqrt{1 - e^2} \cdot \sin e$$

$$a^3 n^2 = \kappa(M + m)$$

und  $f'$  und  $r'$  analogen, auf den störenden Planeten sich beziehenden Gleichungen entsprechen.

Sind nun durch diese Grundlage nach den Formeln der Fundamenta die Störungen der ersten Approximation berechnet, so bedarf es für die folgenden Approximationen unter andern der Größen  $\delta P, \delta Q$  und  $\delta K$ . Diese bekommt man auf folgende Art. Die Gleichungen pag. 86 und 93, oder statt dieser die zweiten Gleichungen des Art. 6 pag. 268 der Fundamenta geben antrage, wenn man sie auf die Planeten beschränkt, und  $dp, dq$ , etc. statt  $p, q$ , etc. einführt,



$$dP = -\cos \frac{1}{2} I \cos(K-x) \left\{ \frac{dp_i}{\cos i} + \frac{dp_{ii}}{\cos i} \right\} - \cos \frac{1}{2} I \sin(K-x) \left\{ \frac{dq_i}{\cos i} - \frac{dq_{ii}}{\cos i} \right\}$$

$$dQ = \cos \frac{1}{2} I \cos(K-x) \left\{ \frac{dq_i}{\cos i} + \frac{dq_{ii}}{\cos i} \right\} - \cos \frac{1}{2} I \sin(K-x) \left\{ \frac{dp_i}{\cos i} - \frac{dp_{ii}}{\cos i} \right\}$$

$$dK = \frac{1}{2} I g \frac{1}{2} I \left\{ \cos(N-v+K-x) \frac{dp_i}{\cos i} - \cos(N-v-K+x) \frac{dp_{ii}}{\cos i} + \sin(N-v+K-x) \frac{dq_i}{\cos i} - \sin(N-v-K-x) \frac{dq_{ii}}{\cos i} \right\}$$

wo  $p_{ii}$  und  $q_{ii}$  zum störenden Planeten die nemliche Beziehung haben, wie  $p_i$  und  $q_i$  zum gestörten. Integriert man diese Gleichungen mit alleiniger Rücksicht auf die erste Potenz der störenden Kraft, so geben sie in Folge des Vorhergehenden

$$\delta P = -\cos \frac{1}{2} I \left\{ \frac{\delta p_i + \pi_i}{\cos(i)} + \frac{\delta p_{ii} + \pi_{ii}}{\cos(i)} \right\}$$

$$\delta Q = \cos \frac{1}{2} I \left\{ \frac{\delta q_i + \sigma_i}{\cos(i)} + \frac{\delta q_{ii} + \sigma_{ii}}{\cos(i)} \right\}$$

$$\delta K = \frac{1}{2} I g \frac{1}{2} I \left\{ \frac{\delta p_i + \pi_i}{\cos(i)} + \frac{\delta p_{ii} + \pi_{ii}}{\cos(i)} \right\}$$

wo  $E_{ii}$  und  $\sigma_{ii}$  gleich Null gemacht werden müssen, wenn man die rein elliptischen Elemente  $i_0$  und  $\vartheta_0$  des störenden Planeten angewandt hat, sonst aber den Größen  $\pi_i$  und  $\sigma_i$  völlig analog sind. Diese Ausdrücke für  $\delta P$ ,  $\delta Q$  und  $\delta K$  sind hinreichend, um alle von diesen Größen abhängenden Störungen zweiter Ordnung in Bezug auf die Massen in  $\omega$ ,  $p$  und  $q$  zu erhalten, und wegen der Kleinheit der Breitenstörungen aller Planeten, werden sie in jedem Falle hinreichende Genauigkeit gewähren. Das anzuwendende Verfahren übrigen, wenn die Approximationen weiter fortgeführt werden müßten, besteht darin, daß man entweder, statt der vorstehenden Gleichungen für  $dP$ ,  $dQ$  und  $dK$  die gleichgeltenden der Fundamenta, durch die störende Kraft unmittelbar ausgedrückten, bis auf Größen von der Ordnung des Quadrats der störenden Kraft incl. entwickelt und integriert, und somit genauere Werthe von  $\delta P$ ,  $\delta Q$  und  $\delta K$  ermittelt, oder daß man die obigen Gleichungen bis auf die Quadrate und Producte von  $\delta p_i + \pi_i$ ,  $\delta q_i + \sigma_i$ , etc. incl. entwickelt.

### 17.

Die Anwendung der im Vorhergehenden entwickelten Ausdrücke für  $\delta_i$ ,  $\xi_i$ ,  $\eta_i$ ,  $\pi_i$  und  $\sigma_i$  besteht nun in Folgendem. Wenn man zum ersten Male die Störungen eines Planeten für die unbestimmte Zeit  $t$  berechnen will, und demzufolge die rein elliptischen Elemente desselben nicht kennt, dann verschaffe man sich wenigstens elliptische Elemente desselben, die von den rein elliptischen nur um Größen von der Ordnung der störenden Kraft abweichen. Solche kann man auf mehrere Arten erhalten.

Entweder man berechne aus drei oder mehr Beobachtungen, die nicht an weit von einander entfernt liegen, aber einander auch nicht allzu nahe liegen dürfen, damit die unvermeidlichen Beobachtungsfehler nicht allzu großen Einfluß aus-

sern, elliptische Elemente. Diese werden im Allgemeinen von den rein elliptischen um Größen von der Ordnung der störenden Kräfte verschieden seyn. Hat man nun mit Zuziehung dieser Elemente die Störungen der ersten Approximation für die unbestimmte Zeit  $t$  berechnet, in welchen man vorläufig die von  $b_i$ ,  $\xi_i$ ,  $\eta_i$ ,  $\pi_i$  und  $\sigma_i$  abhängigen Glieder Null machen muß, dann berechne man daraus für verschiedene Werthe von  $t$ , für welche Beobachtungen vorhanden sind, die geocentrischen Längen und Breiten, oder graden Aufsteigungen und Abweichungen, und vergleiche diese mit den verhandenen Beobachtungen. Aus den sich somit ergebenden Unterschieden ermittle man auf bekannte Art die wahrscheinlichsten Verbesserungen der den Rechnungen zu Grunde gelegten elliptischen Elemente. Addirt man diese Verbesserungen zu diesen Elementen, so ergeben sich die rein elliptischen Elemente bis auf Größen zweiter Ordnung genau, und man hat somit die Incremente  $\delta n$ ,  $\delta e$ ,  $\delta a$ ,  $\delta i$  und  $\delta \omega$ , vermittelt welcher man durch die Ausdrücke (17), (33) und (35) die Größen  $b_i$ ,  $\xi_i$ ,  $\eta_i$ ,  $\pi_i$  und  $\sigma_i$  rechnen kann.

oder man suche sich osculirende Elemente zu verschaffen. Da diese gewiß nur am Größen von der Ordnung der störenden Kraft von den rein elliptischen Elementen verschieden sind, so ist ihre Anwendung jedenfalls sicherer wie die eben beschriebenen, daß sie auch einfacher ist, werde ich sogleich zeigen. Man verlege den Anfangspunkt der Zeit in den Zeitpunkt, für welchen die osculirenden Elemente gelten, so daß man also in diesem Zeitpunkt  $t = 0$  hat, und berechne mit diesen Elementen nach den Formeln der Fundamenta die Störungen der ersten Approximation, welchen man die von  $b_i$ ,  $\xi_i$ ,  $\eta_i$ ,  $\pi_i$  und  $\sigma_i$  abhängigen, im Vorhergehenden erklärten Glieder hinzufügt, aber diese fünf Größen zuerst unbestimmt läßt. Zu ihrer Bestimmung dienen nun die osculirenden Elemente auf folgende Weise.

### 18.

Bezeichnen wir die osculirenden Elemente mit  $\alpha$ ,  $n$ ,  $e$ ,  $\omega$ ,  $i$  und  $\vartheta$  (das sechste Element, die mittlere Anomalie zur Zeit  $t = 0$  brauchen wir gar nicht hier) und die rechtwinkligen Coordinaten des Planeten zur Zeit  $t = 0$  mit  $x$ ,  $y$  und  $z$ , dann haben wir erstens

$$x = r \cos b \cos(l - \vartheta) = r \cos(f + \omega)$$

$$y = r \cos b \sin(l - \vartheta) = r \cos i \sin(f + \omega)$$

$$z = r \sin b = r \sin i \sin(f + \omega)$$

Andertheils haben wir aber auch durch (30), wenn wir in die berechneten Störungen  $t = 0$  substituiren,

$$\begin{aligned} x &= \bar{r} e^w \cos(\bar{f} + w) \cos u - \bar{r} e^w \cos i \sin(\bar{f} + w) \sin u \\ &\quad + \bar{r} e^w \delta s \left\{ \frac{\delta p_{11}}{2 \cos^3 i} + \frac{\sin i}{2 \cos^4 i} \delta p_{11} \delta q_{11} + \text{etc.} \right\} \cos u + \bar{r} e^w \delta s \left\{ \epsilon g i + \frac{\delta q_{11}}{2 \cos^3 i} + \frac{\sin i}{2 \cos^4 i} \delta q_{11}^2 + \text{etc.} \right\} \sin u \\ y &= \bar{r} e^w \cos(\bar{f} + w) \sin u + \bar{r} e^w \cos i \sin(\bar{f} + w) \cos u \\ &\quad + \bar{r} e^w \delta s \left\{ \frac{\delta p_{11}}{2 \cos^3 i} + \frac{\sin i}{2 \cos^4 i} \delta p_{11} \delta q_{11} + \text{etc.} \right\} \sin u - \bar{r} e^w \delta s \left\{ \epsilon g i + \frac{\delta q_{11}}{2 \cos^3 i} + \frac{\sin i}{2 \cos^4 i} \delta q_{11}^2 + \text{etc.} \right\} \cos u \\ z &= \bar{r} e^w \sin i \sin(\bar{f} + w) + \bar{r} e^w \delta s. \end{aligned}$$

Da nun die osculirenden Elemente den Ort des Planeten und die Geschwindigkeit desselben für die Zeit  $t = 0$  darstellen, und die berechneten Störungen die nemliche Eigenschaft haben müssen, so müssen nicht nur die vorstehenden doppelten Werthe der Coordinaten  $x$ ,  $y$  und  $z$ , sondern auch die daraus hervorgehenden Werthe von  $\frac{dx}{dt}$ ,  $\frac{dy}{dt}$  und  $\frac{dz}{dt}$  einander einzeln gleich seyn, und diese sind die Bedingungen, wodurch wir unsere unbekannten Größen  $b$ ,  $\xi$ ,  $\eta$ ,  $\alpha$  und  $\sigma$  bestimmen müssen.

Da die Differentiale der osculirenden Elemente, wenn man sie in die Differentiale der rechtwinklichen Coordinaten substituirt, sich gegenseitig aufheben müssen, und im zweiten System von Werthen derselben Coordinaten das nemliche in Bezug auf die Differentiale von  $\delta p_{11}$  und  $\delta q_{11}$  statt findet, so brauchen wir bei der Differentiation des ersten Systems nicht auf die Veränderlichkeit der elliptischen Elemente, und bei der des zweiten Systems, in welchem jedenfalls die elliptischen Elemente constant sind, nicht auf die Veränderlichkeit von  $\delta p_{11}$  und  $\delta q_{11}$  Rücksicht zu nehmen. Hiemit und weil  $\delta p_{11} = 0$  und  $\delta q_{11} = 0$  auch  $u = 0$  macht, erkennt man leicht, und ohne die Differentiation der obigen Formeln auszuführen, daß die eben ausgesprochenen Bedingungen auf folgende Gleichungen führen:

$$\begin{aligned} \delta p_{11} &= 0 \\ \delta q_{11} &= 0 \\ \bar{f} &= f \\ \frac{d\bar{f}}{dt} &= \frac{df}{dt} \\ r &= \bar{r} e^w \\ \frac{dr}{dt} &= \frac{d\bar{r} e^w}{dt} \end{aligned}$$

Neunen wir  $(\delta p_{11})$  den Werth von  $\delta p_{11}$  für  $t = 0$ , und nach Abzug des rein elliptischen Werthes  $\alpha$  von  $\delta p_{11}$ , und geben wir  $(\delta q_{11})$  in Bezug auf  $\delta q_{11}$  die nemliche Bedeutung, dann geben uns die beiden ersten Bedingungsgleichungen sogleich strenge

$$\begin{aligned} \alpha &= -(\delta p_{11}) \\ \sigma &= -(\delta q_{11}) \end{aligned}$$

$$\text{Es ist ferner } \frac{d\bar{f}}{dt} = \frac{a^2 n \sqrt{1-e^2}}{r^3} \frac{ds}{dt}, \text{ und } \frac{df}{dt} = \frac{a^2 n \sqrt{1-e^2}}{r^3}.$$

Die Bedingung  $\bar{f} = f$  giebt aber  $r = \bar{r}$ , und hiemit gehen die drei Bedingungsgleichungen in

$$\frac{ds}{dt} = 1, \quad w = 0, \quad \frac{dw}{dt} = 0$$

über. Aus diesen werde ich gleichfalls  $b$ ,  $\xi$ , und  $\eta$ , strenge ableiten. Aus den Fundamentis haben wir für Planeten strenge

$$\begin{aligned} \frac{ds}{dt} &= 1 + [\bar{f} \bar{f}'] + (1 - e^{-w})^2 \frac{(h)}{h} \\ \frac{dw}{dt} &= -\frac{1}{2} n e^{-w} \left[ \frac{d\bar{f} \bar{f}'}{dy} \right] \\ \frac{dh}{dt} &= \frac{(h)}{h} e^{-2w}. \end{aligned}$$

Diese verwandeln sich durch die eben gegebenen Bedingungsgleichungen in

$$[\bar{f} \bar{f}'] = 0, \quad \left[ \frac{d\bar{f} \bar{f}'}{dy} \right] = 0, \quad \frac{(h)}{h} = 1$$

welche letztere auch

$$2 \frac{h}{(h)} - \frac{(h)}{h} = 1$$

giebt. Nun ist aber zufolge der Art. 5 und 10 dieser Abhandlung, und wegen  $\bar{f} = f$  der rein elliptische Werth von  $[\bar{f} \bar{f}'] =$

$$-b_r + 2\xi, \left( \frac{r}{a} \cos f + \frac{1}{2} e \right) - 2\eta, \frac{r}{a} \sin f$$

und der rein elliptische Werth von  $2 \frac{h}{(h)} - \frac{(h)}{h} - 1 =$

$$-b_r + 3e \xi.$$

Hiemit ergibt sich durch die Differentiation der rein elliptische Werth von  $\left[ \frac{d\bar{f} \bar{f}'}{dy} \right] =$

$$-2\xi, \frac{\sin f}{\sqrt{1-e^2}} - 2\eta, \frac{\cos f + e}{\sqrt{1-e^2}}.$$

Neunen wir daher  $([\bar{f} \bar{f}'])$ ,  $\left( \left[ \frac{d\bar{f} \bar{f}'}{dy} \right] \right)$ ,  $\left( \frac{h}{(h)} \right)$  und  $\left( \frac{(h)}{h} \right)$  die Werthe jener Größen für  $t = 0$ , und nachdem darin  $b$ ,  $\xi$ , und  $\eta$ , gleich Null gemacht worden sind, so bekommen wir

$$0 = -b_i + 2\xi_i \left( \frac{r}{a} \cos f + \frac{3}{2}e \right) - 2\eta_i \frac{r}{a} \sin f + ([\overline{W}])$$

$$0 = -b_i + 3e\xi_i + 2\left(\frac{h}{h_i}\right) - \left(\frac{h}{h}\right) - 1$$

$$0 = -2\xi_i \frac{\sin f}{\sqrt{(1-e^2)}} - 2\eta_i \frac{\cos f + e}{\sqrt{(1-e^2)}} + \left(\frac{d[\overline{W}]}{dy}\right)$$

wo  $f$  und  $r$  sich auch auf den Zeitpunkt  $t = 0$  beziehen. Die Differenz der ersten und zweiten dieser gibt uns

$$0 = 2\xi_i \frac{r}{a} \cos f - 2\eta_i \frac{r}{a} \sin f + ([\overline{W}]) - 2\left(\frac{h}{h_i}\right) + \left(\frac{h}{h}\right) + 1$$

aus dieser und der dritten ziehen wir

$$\eta_i = \left(\frac{d[\overline{W}]}{dy}\right) \frac{r \cos f}{2a\sqrt{(1-e^2)}} + \left\{([\overline{W}]) - 2\left(\frac{h}{h_i}\right) + \left(\frac{h}{h}\right) + 1\right\} \frac{\sin f}{2(1-e^2)}$$

$$\xi_i = \left(\frac{d[\overline{W}]}{dy}\right) \frac{r \sin f}{2a\sqrt{(1-e^2)}} + \left\{([\overline{W}]) - 2\left(\frac{h}{h_i}\right) + \left(\frac{h}{h}\right) + 1\right\} \frac{\cos f + e}{2(1-e^2)}$$

und wenn man diese Werthe in die erste substituiert, bekommt man

$$b_i = \left(\frac{d[\overline{W}]}{dy}\right) \frac{3re \sin f}{2a\sqrt{(1-e^2)}} - \left\{([\overline{W}]) - 2\left(\frac{h}{h_i}\right) + \left(\frac{h}{h}\right) + 1\right\} \frac{2+e^2+3e \cos f}{2(1-e^2)} + ([\overline{W}])$$

Diese drei Gleichungen enthalten in Verbindung mit den eben gefundenen

$$x = -(\delta p_r)$$

$$\sigma = -(\delta q_r)$$

die strenge Auflösung unserer Aufgabe. Beschränken wir die Werthe von  $b_i$ ,  $\xi_i$  und  $\eta_i$  auf die erste Potenz der störenden Kräfte, so werden sie etwas einfacher. Wir haben hiefür aus den Fundamentis

$$\left(\frac{h}{h}\right) = 1 + \left(\frac{d\delta z}{dt}\right) + 2(\omega)$$

$$b_i = -3 \frac{re \sin f}{an\sqrt{(1-e^2)}} \left(\frac{d\omega}{dt}\right) - \frac{2+e^2+3e \cos f}{1-e^2} \left\{2\left(\frac{d\delta z}{dt}\right) + 3(\omega)\right\} + \left(\frac{d\delta z}{dt}\right)$$

$$\xi_i = -\frac{r \sin f}{an\sqrt{(1-e^2)}} \left(\frac{d\omega}{dt}\right) - \frac{\cos f + e}{1-e^2} \left\{2\left(\frac{d\delta z}{dt}\right) + 3(\omega)\right\}$$

$$\eta_i = -\frac{r \cos f}{an\sqrt{(1-e^2)}} \left(\frac{d\omega}{dt}\right) + \frac{\sin f}{1-e^2} \left\{2\left(\frac{d\delta z}{dt}\right) + 3(\omega)\right\}$$

$$x = -(\delta p_r)$$

$$\sigma = -(\delta q_r)$$

Nachdem die Störungen der ersten Approximation berechnet worden sind, rechnet man  $b_i$ ,  $\xi_i$ ,  $\eta_i$ ,  $x$  und  $\sigma$  nach diesen Formeln. Sollte nun nach Vollendung der Berechnung der Störungen der zweiten Approximation eine Verbesserung der Werthe von  $b_i$ , etc. nöthig erscheinen, so muß man nach den obigen strengen Formeln neue Werthe derselben berechnen, doch wird dieser Fall in unserm Planetensystem wohl nie eintreten können. Will man hierauf die rein elliptischen Elemente kennen lernen, so findet man sie durch die Gleichungen des Art. 7 und durch (36).

Die Größen  $b_i$ ,  $\xi_i$ , etc. können auf keinen Fall viel größer werden wie der größte der übrigen Störungscoefficienten, sie

wo  $\left(\frac{d\delta z}{dt}\right)$  und  $(\omega)$  sich ebenfalls auf die Zeit  $t = 0$ , und

$b_i = \xi_i = \eta_i = 0$  beziehen. Hieraus folgt

$$\left(\frac{h}{h_i}\right) = 1 - \left(\frac{d\delta z}{dt}\right) - 2(\omega)$$

also

$$-2\left(\frac{h}{h_i}\right) + \left(\frac{h}{h}\right) + 1 = 3\left(\frac{d\delta z}{dt}\right) + 6(\omega)$$

Ferner ist

$$([\overline{W}]) = \left(\frac{d\delta z}{dt}\right), \quad \left(\frac{d[\overline{W}]}{dy}\right) = -\frac{2}{n} \left(\frac{d\omega}{dt}\right)$$

also

$$b_i = -3 \frac{re \sin f}{an\sqrt{(1-e^2)}} \left(\frac{d\omega}{dt}\right) - \frac{2+e^2+3e \cos f}{1-e^2} \left\{2\left(\frac{d\delta z}{dt}\right) + 3(\omega)\right\} + \left(\frac{d\delta z}{dt}\right)$$

$$\xi_i = -\frac{r \sin f}{an\sqrt{(1-e^2)}} \left(\frac{d\omega}{dt}\right) - \frac{\cos f + e}{1-e^2} \left\{2\left(\frac{d\delta z}{dt}\right) + 3(\omega)\right\}$$

$$\eta_i = -\frac{r \cos f}{an\sqrt{(1-e^2)}} \left(\frac{d\omega}{dt}\right) + \frac{\sin f}{1-e^2} \left\{2\left(\frac{d\delta z}{dt}\right) + 3(\omega)\right\}$$

werden in den meisten Fällen kleiner seyn. Wenn daher überhaupt die Störungen der zweiten Approximation merklich sind, so kostet es wenig oder keine Mühe mehr, die Glieder, welche von  $b_i$ ,  $\xi_i$ , etc. abhängen, mit zu berücksichtigen. Sind aber die Störungen überhaupt nicht so groß, daß die Glieder der zweiten Approximation merklich werden können, so werden jene auch in dieser Approximation nichts merkliches geben können, und man kann alsdann die Berechnung von  $b_i$ ,  $\xi_i$ , etc. nach den obigen Formeln unterlassen, und diese Größen so bestimmen, wie ich in den Fundamentis angegeben habe.

## 10.

Nehmen wir an, daß die Störungen überhaupt und unter diesen auch  $b$ ,  $\bar{e}$ ,  $\eta$ ,  $\mu$  und  $\sigma$  so merklich seyn, daß die vom Quadrate der störenden Kräfte abhängigen Störungen berechnet werden müssen, so bedingt, wie im Vorhergehenden dargehalten worden ist, das Vorhandenseyn dieser fünf Größen zwar keine Ausnahme in den anzuwendenden Formeln und sonstigen Vorschriften, und es verursachen auch die vier Größen  $\bar{e}$ ,  $\eta$ ,  $\mu$  und  $\sigma$  keine Unbequemlichkeiten oder keinen Nachtheil weder in Bezug auf die Arbeit noch auf das Resultat, anders verhält es sich aber mit der Größe  $b$ . Nachdem, wenn  $n$  wie im vorigen Artikel die osculirende mittlere Bewegung für den Zeitpunkt  $t = 0$  bedeutet, in der ersten Approximation für  $n$  der Werth  $nt + c$  zu Grunde gelegt worden ist, wird die Berechnung der Störungen dieser Approximation ein Glied von der Form  $nkt$ , wo  $k$  constant ist, erzeugen, diesem fügt der durch die Ausdrücke des vorigen Artikels zu berechnende Werth von  $b$ , das Glied  $-nb, t$  hinzu, so daß man nach diesem bekommt

$$n = n(1 + k - b), t + c + \text{periodischen Gliedern.}$$

Das in der zweiten Approximation anzuwendende Increment  $nbs$  von  $ns$  enthält also außer den periodischen Gliedern das Glied

$$n(k - b), t$$

Dieses verursacht nun zwar keine Ausnahme von den allgemeinen Vorschriften für die Berechnung der Störungen der zweiten Approximation, es bewirkt aber, daß nachher die Säcularänderungen der Störungscoefficienten größer erscheinen, wie sie wirklich sind, da es durch andere Wahl der der Störungsrechnung zu Grunde gelegten mittleren Bewegung möglich wird, dieses Glied, und somit auch die daraus entstehenden Säcularänderungen der Störungscoefficienten gleich Null zu machen. Es verursacht ferner, daß die in den Ausdrücken für  $\bar{f}$  und  $\bar{r}$  nachher anzuwendende mittlere Bewegung nicht der vollständige Werth des mit der Zeit multiplicirten Gliedes in  $n$  ist, und daß die in dem rein elliptischen Theile dieser Ausdrücke anzuwendende große Halbachse nicht aus diesem Gliede unmittelbar des dritten Keplerschen Gesetzes gefolgert werden kann.

Diese Unbequemlichkeiten, welche die Anwendung der osculirenden mittleren Bewegung für die Zeit  $t = 0$  zur Berechnung der Störungen verursacht, können stets vermieden werden, wenn der Planet, dessen Störungen man zum ersten Male für die unbestimmte Zeit  $t$  berechnen will, schon ohne nicht ganz geringe Zeit vorher beobachtet worden ist. Sey  $Z$  dessen osculirende mittlere Länge für die Zeit  $t = 0$ , also

$$Z = c + \omega + \theta$$

und  $Z'$  dessen mittlere Länge für irgend eine andere, mög-

lichst weit von  $t = 0$  entfernt liegende Zeit, die ich  $T$  nennen will, und für welche man auch osculirende Elemente, oder wenigstens Elemente kennt, die einigen in der Nähe von  $T$  liegenden Beobachtungen möglichst gütigen; setzt man nun

$$\frac{i.360^\circ + L' - L}{T} = n,$$

wo  $i$  die Anzahl der im Zeitintervall  $T$  vollführten ganzen Umläufe bedeutet, so ist sehr nahe

$$n = n(1 + k - b)$$

und diese Gleichung findet um so genauer statt, je größer  $T$  ist. Aber schon bei mäßig großem Werthe dieses Zeitintervalls wird diese Gleichung so nahe statt finden, daß der übrig bleibende Unterschied bei der Berechnung der Störungen keine merkliche Wirkung äußern kann. Die durch den Ausdruck

$$\frac{i.360^\circ + L' - L}{T}$$

berechnete mittlere Bewegung  $n$ , kann also unbedingt für den vollständigen mit  $t$  multiplicirten Coefficienten in  $n$  angesehen werden, und man muß, wenn man bei der Berechnung der Störungen  $n$ , und die hieraus durch die Gleichung

$$a^3 n^3 = \kappa (M + m)$$

folgende große Halbachse  $a$ , zu Grunde gelegt hat, der Größe  $\mathcal{W}$  statt  $b$ , die Constante  $b_0$  hinzufügen, und diese so bestimmen, daß

$$b_0 = k$$

werde, wo  $k$  die nemliche Bedeutung hat, wie zu Anfang dieses Artikels. Hiemit bleibt, wie ursprünglich bedingt wurde, auch nach der Berechnung der Störungen

$$n = nt + c + \text{periodischen Gliedern,}$$

und die oben erwähnten von einem Theile der mittleren Bewegung herrührenden Säcularänderungen der Störungscoefficienten, so wie die übrigen dort bezeichneten Unbequemlichkeiten fallen weg.

Es ist daher bei der ersten Berechnung der Störungen eines Planeten für die unbestimmte Zeit  $t$  am vortheilhaftesten sich zwar der osculirenden Elemente  $c$ ,  $\omega$ ,  $i$  und  $\theta$  derselben zu bedienen, aber statt des osculirenden Elements  $n$  und der aus diesem folgenden großen Halbachse  $a$ , die mittlere Bewegung  $n$ , und die daraus unmittelbar des dritten Keplerschen Gesetzes sich ergebende große Halbachse  $a$  anzuwenden.

Dies vorausgesetzt bleibt noch zu untersuchen übrig, ob nicht durch diese Annahme die im vorigen Artikel für die Constanten  $b$ ,  $\bar{e}$ ,  $\eta$ ,  $\mu$  und  $\sigma$  gegebenen Ausdrücke eine Veränderung erheiden. Es ist an sich klar, daß die dort gegebenen doppelten Ausdrücke für die rechtwinklichen Coordinaten  $x$ ,  $y$  und  $z$ , sowohl wie die aus denselben folgenden Ausdrücke für die ersten Differentiale derselben in Bezug auf

die Zeit auch jetzt noch einander gleich seyn müssen. Deshalb, und weil diese Ausdrücke das Element  $n$ , oder  $a$ , nicht explicite enthalten, sind immer noch die obigen Bedingungengleichungen

$$f = \bar{f}; \quad \frac{df}{dt} = \frac{d\bar{f}}{dt}; \quad r = \bar{r} e^{\omega}; \quad \frac{dr}{dt} = \frac{d\bar{r} e^{\omega}}{dt}; \quad \gamma p_1 = 0; \quad \gamma q_1 = 0$$

statt. Es ist ohne Weiteres deutlich, daß die beiden letzten dieser die nemlichen Gleichungen für  $u$  und  $\sigma$  geben müssen, wie im vorigen Artikel, und wir brauchen uns daher hier nur mit den vier ersten zu beschäftigen. Wir haben jetzt

$$\frac{df}{dt} = n \frac{a^2}{r^2} \sqrt{1 - e^2}; \quad \frac{d\bar{f}}{dt} = n \frac{a^2}{\bar{r}^2} \sqrt{1 - e^2} \left( \frac{dz}{dt} \right)$$

$$r = \frac{a(1 - e^2)}{1 + e \cos f}; \quad \bar{r} = \frac{a(1 - e^2)}{1 + e \cos \bar{f}}$$

Hieraus und weil  $f = \bar{f}$  ist, folgt für die Zeit  $t = 0$ ,

$$\frac{r}{a} = \frac{\bar{r}}{a}; \quad \left( \frac{dz}{dt} \right) = n; \quad e^{\omega} = \frac{a}{a}$$

Da ferner

$$\frac{dr}{dt} = \frac{na}{\sqrt{(1 - e^2)}} e \sin f; \quad \frac{d\bar{r}}{dt} = \frac{n a}{\sqrt{(1 - e^2)}} e \sin \bar{f} \left( \frac{dz}{dt} \right)$$

ist, so giebt die vierte Bedingungengleichung, nemlich

$$\frac{1}{r} \frac{dr}{dt} = \frac{1}{\bar{r}} \frac{d\bar{r}}{dt} + \frac{d\omega}{dt}$$

$$b_n = \left( \left[ \frac{d\bar{f}}{dt} \right] \right) \frac{3re \sin f}{2a\sqrt{(1 - e^2)}} - \left\{ \left( \frac{d\bar{f}}{dt} \right) - 2 \left( \frac{h}{h} \right) + \left( \frac{h}{h} \right) + 1 \right\} \frac{2 + e^2 + 3e \cos f}{2(1 - e^2)} + \left( \frac{d\bar{f}}{dt} \right) + \left( 1 + 2 \gamma \frac{n}{n} \right) \left( \gamma \frac{n}{n} - 1 \right)$$

oder näherungsweise, wenn wir auch in dem letzten Gliede nur die erste Potenz des Unterschiedes zwischen  $n$ , und  $n$  berücksichtigen,

$$b_n = -3 \frac{re \sin f}{an\sqrt{(1 - e^2)}} \left( \frac{d\omega}{dt} \right) - \frac{2 + e^2 + 3e \cos f}{1 - e^2} \left\{ 2 \left( \frac{d\bar{f}}{dt} \right) + 3(\omega) \right\} + \left( \frac{d\bar{f}}{dt} \right) + \frac{n}{n}$$

Diese Ausdrücke für  $b_n$  sind in diesem Falle Bedingungengleichungen, durch welche man erkennen kann, wie nahe die aus den beiden mittleren Längen  $L$  und  $L'$  abgeleitete mittlere Bewegung  $n$ , der Forderung  $b_n = k$  genügt.

## Ueber die unabhängigen Elemente der Fundamenta.

20.

Es ist schon im Art. 10 erwähnt worden, daß die Elemente  $\mathcal{Z}$ ,  $\mathcal{T}$  und  $\Psi$  drei unabhängige Elemente der Fundamenta sind, die außerdem nöthigen zwei unabhängigen Elemente des Körpers  $m$  sind  $p$  und  $q$ , und es werden also die Störungen, oder mit anderen Worten, es wird der Ort des Körpers  $m$  durch Hülfе der fünf unabhängigen Elemente  $\mathcal{Z}$ ,  $\mathcal{T}$ ,  $\Psi$ ,  $p$  und  $q$  bestimmt, während er ursprünglich von sechs Elementen abhängt. Gleichweise wird der Ort des

wie im vorigen Artikel

$$\frac{d\omega}{dt} = 0$$

Substituiren wir nun die eben gefundenen Gleichungen in die folgenden

$$\frac{dz}{dt} = 1 + \left[ \frac{d\bar{f}}{dt} \right] + (1 - e^2) \frac{(h)}{h}; \quad \frac{dz}{dt} = \frac{(h)}{h} e^{-2\omega}$$

so ergeben sich mit Zuziehung der Gleichung  $a^3 n^3 = a^3 n^3$ ,

$$0 = \left[ \frac{d\bar{f}}{dt} \right] + 1 + \frac{a n}{a n} \left( 1 - 2 \frac{a}{a} \right)$$

$$0 = \frac{(h)}{h} - 2 \frac{h}{(h)} - \frac{a n}{a n} \left( 1 - 2 \frac{a}{a} \right)$$

also

$$0 = \left[ \frac{d\bar{f}}{dt} \right] - 2 \frac{h}{(h)} + \frac{(h)}{h} + 1$$

wie im vorigen Artikel, und eben so giebt  $\frac{d\omega}{dt} = 0$

$$\left[ \frac{d\bar{f}}{dt} \right] = 0$$

wie dort. Es folgt hieraus sogleich, daß die im vorigen Artikel für  $\mathcal{Z}$ , und  $\pi$ , gegebenen Ausdrücke unverändert bleiben, der rechten Seite aber der strengen Gleichung für  $b_n$ , welche jetzt  $b_n$  giebt, die Größe  $1 + \frac{a n}{a n} \left( 1 - 2 \frac{a}{a} \right)$ , oder wenn man  $a$ , und  $a$  eliminirt,  $\left( 1 + 2 \gamma \frac{n}{n} \right) \left( \gamma \frac{n}{n} - 1 \right)$  hinzugefügt werden muß. Wir haben also strenge

Körpers  $m'$  durch die fünf Elemente  $\mathcal{Z}$ ,  $\mathcal{T}$ ,  $\Psi$ ,  $p'$  und  $q'$  bestimmt, und so ferner für jeden vorhandenen Körper. Die Elimination des sechsten Elements für jeden Körper habe ich durch die Eigenschaft der Störungsfuction bewirkt, vermöge welcher ihr Differential in Bezug auf die darin enthaltenen sechs unabhängigen Elemente jedes Körpers gleich Null ist. So viel ich weiß hat niemand außer mir diese Elimination eines Elements ausgeführt. Das Mittel, wodurch ich sie ausführe, ist sehr einfach, es ist die Differentiation des Quotienten  $\left( \frac{d\mathcal{Z}}{dt} \right) : \left( \frac{d\mathcal{Z}}{dt} \right)$  nach  $\tau$ , dadurch fällt ohne Weiteres das sechste Element, die mittlere Länge oder mittlere Anomalie für den Anfang der Zeit, aus den Formeln heraus. Es ist unmöglich mehr wie Ein Element für jeden vorhandenen Körper zu eliminiren, denn es sind gar keine Relationen vorhanden, durch welche man dieses bewirken könnte.

Die Ausdrücke der Fundamenta für die Störungen eines jeden Körpers, oder mit anderen Worten für die obigen fünf

Elemente, sind Functionen von acht veränderlichen Größen, während ursprünglich diese Ausdrücke Functionen von neun veränderlichen Größen sind, nemlich Functionen von den sechs unabhängigen Elementen des gestörten, und den drei Coordinaten des störenden Körpers. Also auch in dieser Beziehung habe ich die Elimination Einer Größe für jeden Körper ausgeführt, und habe nicht finden können, dasa außer mir jemand diese Elimination ausgeführt hätte. Die acht veränderlichen Größen sind:

für den durch  $m'$  gestörten Körper  $m$ ,

$$n\delta z, \omega, S+s, \delta P, \delta Q, \delta K, n'\delta z', \omega'$$

für den durch  $m''$  gestörten Körper  $m$ ,

$$n\delta z, \omega, S+s, \delta P'', \delta Q'', \delta K'', n''\delta z'', \omega''$$

für den durch  $m'$  gestörten Körper  $m'$ ,

$$n'\delta z', \omega', S'+s', \delta P', \delta Q', \delta K', n''\delta z'', \omega''$$

für den durch  $m$  gestörten Körper  $m'$ ,

$$n'\delta z', \omega', S'+s', \delta P, \delta Q, \delta K, n\delta z, \omega$$

für den durch  $m$  gestörten Körper  $m''$ ,

$$n''\delta z'', \omega'', S'+s', \delta P', \delta Q', \delta K, n\delta z, \omega$$

für den durch  $m'$  gestörten Körper  $m''$

$$n''\delta z'', \omega'', S'+s', \delta P'', \delta Q'', \delta K', n'\delta z', \omega'$$

und so ferner wenn mehrere Körper vorhanden sind. Im Problem der vier Körper, für welches ich so eben die veränderlichen Größen vollständig hingeschrieben habe, sind zwischen den neun Größen  $\delta P, \delta Q$  und  $\delta K$  drei Bedingungsgleichungen, es kommen somit in diesem Problem mit Rücksicht auf diese Bedingungsgleichungen 15 oder 5.3 veränderliche Größen vor, und gleicherweise findet man, daß im Problem von  $n$  Körpern  $5(n-1)$  veränderliche Größen vorkommen. Das vollständige Problem der drei Körper, nemlich das Problem, in welchem sowohl die Bewegung des Körpers  $m$ , von der des Körpers  $m'$ , so wie umgekehrt die Bewegung dieses von der jenes Körpers als wesentlich abhängig betrachtet werden muß, erliegt in Bezug hierauf eine Ausnahme, denn in diesem Problem ist die Zahl der veränderlichen Größen im Ganzen nur  $5(3-1)-1 = 9$ , wie aus dem obigen Schema hervorgeht. In der Mondstheorie ist noch eine Reduction zulässig. Diese Theorie ist ein specieller Fall des allgemeinen Problems der drei Körper, denn man kann in derselben die Reaction des Mondes auf die Sonne als ursprünglich gegeben betrachten, und es bleibt hiernach nur der Ort des Mondes zu ermitteln übrig. Somit kann man  $\delta K$  durch  $\delta P$  eliminiren, und es bleiben daher außer den beiden Coordinaten der Sonne  $n'\delta z'$  und  $\omega'$  nur die fünf veränderlichen Größen  $n\delta z, \omega, S+s, \delta P$  und  $\delta Q$  in diesem Problem übrig. Diese sind die veränderlichen Größen, von welchen die Ausdrücke der Fundamente, nach welchen ich die Mondstörungen berechne, Functionen sind, und es ist unmöglich, die Bestimmung der

Mondstörungen auf eine kleinere Zahl von veränderlichen Größen zurück zu führen.

21.

Es kann interessant seyn die Ausdrücke der unabhängigen Elemente der Fundamente durch die bekannten elliptischen Elemente kennen zu lernen, und ich werde daher diese Ausdrücke hier ableiten. Aus den Fundamentis geht schon unmittelbar hervor, daß

$$p = \sin i \sin(\chi - \omega)$$

$$q = \sin i \cos(\chi - \omega)$$

wo

$$\chi - \omega = \int \cos i \, d\theta$$

ist,  $i$  die Neigung der Bahn gegen irgend eine beliebig angenommene Fundamental- oder Projectionsebene, und  $\theta$  die Länge des aufsteigenden Knotens der Bahn mit dieser Ebene bedeutet. Es bedeutet hier ferner  $\omega$  der Bogen vom Perihel rückwärts bis zu dem eben genannten Knoten, und  $d\chi$  die Elementarrotation der Bahn um eine auf derselben senkrecht stehenden Achse.

Die Bedeutung der übrigen unabhängigen Elemente  $\Xi, T$  und  $\Psi$ , wofür man auch  $\Xi + \frac{1}{2}\epsilon T, T$  und  $\Psi$  nehmen kann, läßt sich aus dem hier Vorgetragenen leicht ableiten. Da aber in den darauf sich beziehenden Ausdrücken veränderliche und constante elliptische Elemente unter einander vorkommen werden, so wird nöthig se die Bezeichnung vollständig von einander zu unterscheiden, und ich werde demnach die veränderlichen Elemente durch die bloßen Buchstaben  $a, n, e, \pi$ , und die constanten durch dieselben, aber in Klammern eingeschlossenen Buchstaben bezeichnen.

Die Ausdrücke für die Elemente  $\Xi, T$  und  $\Psi$ , oder  $\Xi + \frac{1}{2}\epsilon T, T$  und  $\Psi$  folgen sogleich aus den oben gefundenen rein elliptischen Werthen  $-\delta, \text{ von } \Xi, 2\Xi, \text{ von } T \text{ und } -2\eta, \text{ von } \Psi$ , wenn wir in den Ausdrücken dieser durch die elliptischen Elemente, die Elemente  $a_0, n_0, e_0$  und  $\pi_0$  veränderlich und  $a, n, e$  und  $\pi$  constant und resp. in  $(a), (n), (e)$  und  $(\pi)$  übergehend betrachten. Für die Beziehung der somit entstehenden Ausdrücke zu dem Fall, in welchem die mit der Zeit multiplicirten Glieder fortgeschafft werden müssen, ist bei dieser Verwandlung der Elemente noch die Bewegung des Perihels  $(n)\eta t$  in Betracht zu ziehen. Wir erhalten nun, wenn wir die angezeigte Verwandlung mit den Elementen vornehmen, aus (16)

$$\sigma' = \frac{(1-\delta)}{(1-2\epsilon)\Xi - (1-\epsilon^2)\Xi \frac{1}{2\pi} \frac{(1-\epsilon^2)}{(1-\epsilon^2)} \eta^2} \frac{1}{2\pi} \frac{(1-\epsilon^2)}{(1-\epsilon^2)} \eta^2$$

$$\Xi = -1 - \sigma' + 2\sigma'' - 3(\epsilon)\Xi \frac{1}{2\pi} \frac{(1-\epsilon^2)}{(1-\epsilon^2)} \eta^2$$

$$T = 2\Xi \frac{1}{2\pi} \frac{(1-\epsilon^2)}{(1-\epsilon^2)} \eta^2$$

$$\Psi = -2\eta \frac{1}{2\pi} \frac{(1-\epsilon^2)}{(1-\epsilon^2)} \eta^2$$

Die Gleichungen (7) und (9) geben aber nach derselben Verwandlung

$$(1-2(e)\xi-(1-(e^2))\xi^2-(1-(e^2))\eta^2)^{\frac{1}{2}} = \frac{\sqrt{(1-e^2)}}{(1-(e^2))^{\frac{1}{2}}} \\ (1-b)^{\frac{1}{2}} = \sqrt{\frac{an}{(n)}} = \frac{an}{(a)(n)}$$

Wir haben demzufolge

$$e = \frac{an}{\sqrt{(1-e^2)}} \cdot \frac{\sqrt{(1-(e^2))}}{(a)(n)} = \frac{h}{(h)} \\ \Sigma = -1 - \frac{(h)}{h} + 2 \frac{h}{(h)} - 3(e) \frac{h}{(h)} \xi \\ T = 2 \frac{h}{(h)} \xi \\ \Psi = -2 \frac{h}{(h)} \eta.$$

Die Gleichungen (6) geben

$$\xi = \frac{e}{1-(e^2)} \cos(\pi - \pi_0) - \frac{(e)}{1-(e^2)} \\ \eta = \frac{e}{1-(e^2)} \sin(\pi - \pi_0)$$

wu ich einstellen den Bogen  $\pi - \pi_0$  unverändert gelassen habe. Um den Bogen zu ermitteln, welcher hier nach der angezeigten Verwandlung der Elemente für  $\pi - \pi_0$  substituirt werden muß, ist nöthig, daß wir zum Ursprung desselben zurückgeben. Dieser ist die Gleichung (3), welche nach der

$$\begin{aligned} \Sigma &= -1 - \frac{(h)}{h} + 2 \frac{h}{(h)} - 3 \frac{(e)}{1-(e^2)} \frac{h}{(h)} \left\{ e \cos(\pi - (n)y t - (\pi)) - (e) \right\} \\ T &= \frac{2}{1-(e^2)} \frac{h}{(h)} \left\{ e \cos(\pi - (n)y t - (\pi)) - (e) \right\} \\ \Psi &= \frac{2}{1-(e^2)} \frac{h}{(h)} e \sin(\pi - (n)y t - (\pi)) \end{aligned} \quad \left. \vphantom{\begin{aligned} \Sigma \\ T \\ \Psi \end{aligned}} \right\} \dots \dots \dots (37)$$

Für die erste dieser kann man auch nach der Substitution des Werthes von T schreiben,

$$(38) \dots \dots \Sigma + \frac{3}{2}(e)T = -1 - \frac{(h)}{h} + 2 \frac{h}{(h)}$$

welche mit der im Art. 10 auf anderem Wege gefundenen Gleichung (18) übereinstimmt. Man kann in diesen Ausdrücke die Gröfßen erster Ordnung leicht von denen zweiter Ordnung absondern, denn es ist identisch

$$\frac{h}{(h)} + \frac{(h)}{h} = 2 - \left( \frac{h}{(h)} - 1 \right) \left( \frac{(h)}{h} - 1 \right)$$

also erhalten wir

$$\Sigma + \frac{3}{2}(e)T = -3 \left( \frac{h}{h} - 1 \right) - 2 \left( \frac{(h)}{h} - 1 \right) \left( \frac{h}{(h)} - 1 \right)$$

oder

$$\Sigma + \frac{3}{2}(e)T = 3 \left( \frac{h}{h} - 1 \right) + \left( \frac{(h)}{h} - 1 \right) \left( \frac{h}{(h)} - 1 \right)$$

Ich füge hinzu, daß  $\frac{(h)}{h}$  der Quadratwurzel aus dem Parameter proportional ist.

Verwandlung von  $\pi$  in  $t$  folgendermaßen gestellt werden kann,

$$\pi - \pi_0 = f_0 - \bar{f}$$

Nehmen wir in der rechten Seite dieser die Verwandlung der Elemente vor, so ergibt sich

$$\pi - \pi_0 = f - \bar{f}$$

wo  $f$  die mit den veränderlichen elliptischen Elementen, und  $\bar{f}$  die mit den constanten elliptischen Elementen und den Störungen der mittleren Länge zu berechnende wahre Anomalie ist. Nennen wir aber nun, wie oben,  $v$ , den vom Radius Vector durchlaufenen Bogen, dann ist einestheils

$$v = f + \pi$$

wo  $\pi$  veränderlich ist, und andertheils

$$v = \bar{f} + (n)y t + (\pi)$$

wo  $(\pi)$  constant ist. Also

$$f - \bar{f} = -(\pi - (n)y t - (\pi))$$

Somit ergibt sich

$$\pi - \pi_0 = -(\pi - (n)y t - (\pi))$$

und hiemit

$$\begin{aligned} \Sigma &= \frac{e}{1-(e^2)} \cos(\pi - (n)y t - (\pi)) - \frac{(e)}{1-(e^2)} \\ \eta &= \frac{e}{1-(e^2)} \sin(\pi - (n)y t - (\pi)) \end{aligned}$$

wenn wir diese Werthe in die obigen Ausdrücke für  $\Sigma$ , T und  $\Psi$  substituiren, so bekommen wir

Also die drei einfachen Gruppen von theils veränderlichen und theils constanten elliptischen Elementen

$$3 \left( \frac{h}{(h)} - 1 \right) + \left( \frac{(h)}{h} - 1 \right) \left( \frac{h}{(h)} - 1 \right)$$

oder statt dessen  $2 \frac{h}{(h)} - \frac{(h)}{h} - 1$ ;

$$\frac{2}{1-(e^2)} \frac{h}{(h)} \left\{ e \cos(\pi - (n)y t - (\pi)) - (e) \right\};$$

und  $\frac{2}{1-(e^2)} \frac{h}{(h)} e \sin(\pi - (n)y t - (\pi))$

besitzen die Eigenschaft, daß man durch dieselben die Störungen der Länge in der Bahn vollständig darstellen kann, obgleich diese Länge Function von vier elliptischen Elementen ist. Durch die beiden letzten derselben lassen sich die Störungen des Radius Vectors vollständig darstellen, obgleich der Radius Vector Function von drei elliptischen Elementen ist. Diese drei Gruppen besitzen ferner die Eigenschaft, daß sie, wenn man von den gegenseitigen Neigungen der Bahn des

gestörten und der Bahnen der störenden Körper, so wie von den Coordinaten der letzteren absieht, Functionen von nur drei vom gestörten Körper abhängigen veränderlichen Größen sind. Nämlich Functionen von  $n\delta z$ ,  $w$  und  $S+s$  oder  $\frac{(h)}{h}$ . Man

kann ferner durch dieselben die Differentiale der Störungen der mittleren Länge und des Logarithmus des Radius Vectors in endlicher Form darstellen, denn es ist aus den Fundamentis strenge

$$\frac{d\pi}{dt} = 1 + [\overline{W}] + (1 - e^2)^2 \frac{(h)}{h} - \frac{\gamma}{\sqrt{(1 - (e^2)^2)}} \frac{\bar{r}^2}{(a)^2}$$

$$\frac{1}{(n)} \frac{dw}{dt} = -\frac{1}{2} \sigma^2 \left[ \frac{d\overline{W}}{dy} \right] + \frac{1}{2} \frac{\gamma}{\sqrt{(1 - (e^2)^2)}} \frac{d \cdot \bar{r}^2}{(a)^2 ds}$$

wo

$$[\overline{W}] = (\Xi + \frac{1}{2}(e)T) + T \frac{\bar{r}}{(a)} \cos \bar{f} + \Psi \frac{\bar{r}}{(a)} \sin \bar{f}$$

und

$$\left[ \frac{d\overline{W}}{dy} \right] = -T \frac{\sin \bar{f}}{\sqrt{(1 - (e^2)^2)}} + \Psi \frac{\cos \bar{f} + (e)}{\sqrt{(1 - (e^2)^2)}}$$

ist. Es entspringt hieraus unter andern eine bequeme Methode die Störungen von Cometen u. s. w. durch mechanische Quadraturen zu berechnen, worüber ich ein andermal das Nähere

bekannt machen werde. Weiter unten werde ich Gelegenheit haben, noch andere Functionen der Länge und des Radius durch einfache und zum Theil linearische Functionen dieser drei Elemente auszudrücken

22.

So wie wir oben die Elemente  $\Xi$ ,  $T$  und  $\Psi$  durch die veränderlichen elliptischen Elemente ausgedrückt haben, ebenso können wir auch diese durch jene ausdrücken. Die Gleichung (38) giebt eine quadratische Gleichung für  $\frac{(h)}{h}$  oder  $\frac{h}{(h)}$

aus welcher sich

$$\frac{(h)}{h} = -\frac{1 + \Xi + \frac{1}{2}(e)T - \sqrt{\left( (1 + \Xi + \frac{1}{2}(e)T)^2 + 8 \right)}}{2}$$

$$\frac{h}{(h)} = \frac{1 + \Xi + \frac{1}{2}(e)T + \sqrt{\left( (1 + \Xi + \frac{1}{2}(e)T)^2 + 8 \right)}}{4} \quad \dots (39)$$

ergiebt. Die zweite und dritte der Gleichungen (37) geben ohne Mühe

$$e \cos(\pi - (n)yt - (\pi)) = (e) + \frac{1}{2}(1 - (e^2)^2) \frac{h}{(h)} T$$

$$e \sin(\pi - (n)yt - (\pi)) = \frac{1}{2}(1 - (e^2)^2) \frac{h}{(h)} \Psi.$$

Woraus

$$e = \sqrt{\left\{ (e^2) + (e)(1 - (e^2)^2) \frac{h}{(h)} T + \frac{1}{4}(1 - (e^2)^2)^2 \frac{h^2}{(h)^2} T^2 + \frac{1}{4}(1 - (e^2)^2)^2 \frac{h^2}{(h)^2} \Psi^2 \right\}}$$

$$e \cos(\pi - (n)yt - (\pi)) = \frac{(1 - (e^2)^2) \frac{h}{(h)} T}{2(e) + (1 - (e^2)^2) \frac{h}{(h)} T}$$

folgt. Aus der ersten Gleichung (37) ziehen wir den Werth von  $\frac{(a)}{a}$  auf folgende Art. Erheben wir die zweite und dritte derselben Gleichungen ins Quadrat, so bekommen wir

$$- \frac{1}{2} \frac{h^2}{(h)^2} \frac{(e) e \cos(\pi - (n)yt - (\pi))}{(1 - (e^2)^2)^2} = T^2 + \Psi^2 - 4 \frac{h^2}{(h)^2} \frac{e^2}{(1 - (e^2)^2)^2} - 4 \frac{h^2}{(h)^2} \frac{(e)^2}{(1 - (e^2)^2)^2}$$

eliminiren wir hiemit  $\cos(\pi - (n)yt - (\pi))$  aus dem Werthe von  $\Xi$ , so ergibt sich

$$\frac{h}{(h)} \Xi = -\frac{h}{(h)} - 1 + 2 \frac{h^2}{(h)^2} - \frac{1}{2} \frac{h^2}{(h)^2} \frac{e^2}{(1 - (e^2)^2)} + \frac{1}{2} \frac{h^2}{(h)^2} \frac{(e)^2}{(1 - (e^2)^2)} + \frac{1}{2}(1 - (e^2)^2) \{ T^2 + \Psi^2 \}$$

aber es ist identisch

$$\frac{h}{(h)} = \frac{1}{2} + \frac{1}{2} \frac{h^2}{(h)^2} - \frac{1}{2} \left( \frac{h}{(h)} - 1 \right)^2$$

Hiemit geht der vorstehende Ausdruck in

$$\frac{h}{(h)} \Xi = -\frac{1}{2} + \frac{1}{2} \left( \frac{h}{(h)} - 1 \right)^2 + \frac{1}{2} \frac{h^2}{(h)^2} \frac{(1 - e^2)^2}{(1 - (e^2)^2)} + \frac{1}{2}(1 - (e^2)^2) \{ T^2 + \Psi^2 \}$$

über. Da nun

$$\frac{h^2(1 - e^2)^2}{(h)^2(1 - (e^2)^2)} = \frac{(a)}{a}$$

ist, so ergibt sich hieraus

$$\frac{(e)}{a} = 1 + \frac{1}{2} \Xi - \frac{1}{2} \left( \frac{h}{(h)} - 1 \right)^2 + \frac{1}{2} \left( \frac{h}{(h)} - 1 \right) \Xi - \frac{1}{2}(1 - (e^2)^2) \{ T^2 + \Psi^2 \}.$$



Diese Ausdrücke für  $e$ ,  $tg(\pi - (n)\gamma - (\pi))$  und  $\frac{(a)}{r}$  enthalten außer den unabhängigen Elementen  $\Xi$ ,  $\Upsilon$  und  $\Psi$  noch das abhängige Element  $\frac{h}{(h)}$  oder  $\frac{(h)}{h}$ , diese kann man aber durch die Ausdrücke (39) eliminiren, und somit wird man jene elliptischen Elemente durch  $\Xi$ ,  $\Upsilon$  und  $\Psi$  in endlicher Form ausgedrückt erhalten.

## 23.

Die Richtigkeit der im Vorhergehenden gegebenen Ableitung der Ausdrücke der Elemente  $\Xi$ ,  $\Upsilon$  und  $\Psi$  durch die veränderlichen elliptischen Elemente aus den rein elliptischen Werthen  $-b_r$ ,  $2\xi$ , und  $-2\eta$ , derselben bedarf zwar keines weiteren Beweises, da an sich klar ist, daß die rein elliptischen Werthe nicht nur dieser, sondern aller möglichen

$$\begin{aligned} 2(h) \left\{ \left( \frac{a}{r} + \frac{h^3}{(h)^3} \frac{1}{1-(e)^2} \right) \sin f \left( \frac{d\Omega}{dv} \right) - \frac{(a)}{r} \cos f \left( \frac{d\Omega}{dr} \right) \right\} &= \frac{d\Psi}{dt} + (n)\gamma \Upsilon + (n)\gamma \frac{2(e)}{1-(e)^2} \frac{h}{(h)} \left\{ \dots \dots \dots (40) \right. \\ 2(h) \left\{ \left( \frac{a}{r} + \frac{h^3}{(h)^3} \frac{1}{1-(e)^2} \right) \cos f \left( \frac{d\Omega}{dv} \right) + \frac{(a)}{r} \sin f \left( \frac{d\Omega}{dr} \right) \right\} &= \frac{d\Upsilon}{dt} - (n)\gamma \Psi + \frac{2(e)}{1-(e)^2} \frac{a}{dt} \frac{h}{(h)} \left\{ \dots \dots \dots \right. \end{aligned}$$

Von der andern Seite sind die *Lagrange'schen* Ausdrücke für die veränderlichen Elemente  $e$  und  $\pi$  folgende

$$\begin{aligned} \frac{de}{dt} &= a n \frac{1-e^2}{e} \left( \frac{d\Omega}{dc} \right) - a n \sqrt{1-e^2} \left( \frac{d\Omega}{d\pi} \right) \\ \frac{d\pi}{dt} &= a n \sqrt{1-e^2} \left( \frac{d\Omega}{de} \right) \end{aligned}$$

wo  $e$  die mittlere Anomalie für  $t = 0$  bedeutet. Es ist nun

$$\begin{aligned} \left( \frac{d\Omega}{dc} \right) &= \left( \frac{d\Omega}{dv} \right) \left( \frac{dv}{dc} \right) + r \left( \frac{d\Omega}{dr} \right) \frac{dr}{dc} \\ \left( \frac{d\Omega}{de} \right) &= \left( \frac{d\Omega}{dv} \right) \left( \frac{dv}{de} \right) + r \left( \frac{d\Omega}{dr} \right) \frac{dr}{de} \\ \left( \frac{d\Omega}{d\pi} \right) &= \left( \frac{d\Omega}{dv} \right) \\ \left( \frac{dv}{dc} \right) &= \frac{a^2}{r^3} \sqrt{1-e^2} = \frac{e}{\sqrt{1-e^2}} \left( \frac{a}{r} + \frac{1}{1-e^2} \right) \cos f + \frac{1}{(1-e^2)^{3/2}}; \quad \left( \frac{dr}{dc} \right) = \frac{e}{\sqrt{1-e^2}} \frac{a}{r} \sin f \\ \left( \frac{dv}{de} \right) &= \left( \frac{a}{r} + \frac{1}{1-e^2} \right) \sin f; \quad \left( \frac{dr}{de} \right) = -\frac{a}{r} \cos f \end{aligned}$$

Hiermit gehen die obigen Ausdrücke über in

$$\begin{aligned} \frac{de}{dt} &= a n \sqrt{1-e^2} \left\{ \left( \frac{a}{r} + \frac{1}{1-e^2} \right) \cos f \left( \frac{d\Omega}{dv} \right) + \frac{a}{r} \sin f \left( \frac{d\Omega}{dr} \right) \right\} + \frac{a n}{\sqrt{1-e^2}} e \left( \frac{d\Omega}{dv} \right) \\ \frac{d\pi}{dt} &= a n \sqrt{1-e^2} \left\{ \left( \frac{a}{r} + \frac{1}{1-e^2} \right) \sin f \left( \frac{d\Omega}{dv} \right) - \frac{a}{r} \cos f \left( \frac{d\Omega}{dr} \right) \right\}. \end{aligned}$$

Bedenken wir nun, daß identisch

$$\frac{1}{1-e^2} = \frac{a}{(a)} \frac{h^3}{(h)^3} \frac{1}{1-(e)^2}; \quad a n \sqrt{1-e^2} = \frac{(h)}{h} (1-(e)^2) \frac{(a)}{a}$$

ist, und berücksichtigen wir außerdem die Gleichung

$$(h) \frac{h^3}{(h)^3} \left( \frac{d\Omega}{dv} \right) = -\frac{d}{dt} \frac{h}{(h)}$$

Elemente, wenn sie durch die rein elliptischen Elemente ausgedrückt werden, die nemliche Form haben müssen, wie die vollständigen Werthe derselben Elemente, wenn man sie durch die veränderlichen elliptischen Elemente ausdrückt. Um aber von dieser Seite nichts zu wünschen übrig zu lassen, werde ich die obigen Ausdrücke aus den in den Fundamentis gegebenen Ausdrücken für die Differentiale von  $\Xi$ ,  $\Upsilon$  und  $\Psi$  direct ableiten. Diese sind schon im Art. 10 angeführt. Nehmen wir davon die zwei ersten, und statt der dritten die dort aus denselben abgeleitete Gleichung (18). Substituiren wir diese vor allen Dingen in das letzte Glied des Ausdrucks für  $\frac{d\Psi}{dt}$ , dann erhalten wir mit Anwendung der hier eingeführten

Bezeichnung der unveränderlichen elliptischen Elemente, und wenn wir  $(n)\gamma$  für  $\gamma$  schreiben,

dann bekommen wir hieraus leicht

$$\frac{d\sigma}{dt} = \frac{(h)}{h} (1-(\sigma)^2) (h) \left\{ \left( \frac{(a)}{r} + \frac{h^2}{(h)^2} \frac{1}{1-(\sigma)^2} \right) \cos f \left( \frac{d\Omega}{dv} \right) + \frac{(a)}{r} \sin f r \left( \frac{d\Omega}{dr} \right) \right\} - \frac{(h)}{h} \sigma \frac{d(h)}{dt}$$

$$\sigma \frac{d\pi}{dt} = \frac{(h)}{h} (1-(\sigma)^2) (h) \left\{ \left( \frac{(a)}{r} + \frac{h^2}{(h)^2} \frac{1}{1-(\sigma)^2} \right) \sin f \left( \frac{d\Omega}{dv} \right) - \frac{(a)}{r} \cos f r \left( \frac{d\Omega}{dr} \right) \right\}$$

und diese verwandeln wir durch Multiplicationen mit  $\frac{h \cos(\bar{f}-f)}{(h) 1-(\sigma)^2}$  und  $\frac{h \sin(\bar{f}-f)}{(h) 1-(\sigma)^2}$  in folgende

$$\frac{1}{1-(\sigma)^2} \frac{h}{(h)} \cos(\bar{f}-f) \frac{d\sigma}{dt} - \frac{1}{1-(\sigma)^2} \frac{h}{(h)} \sigma \sin(\bar{f}-f) \frac{d\pi}{dt} = (h) \left\{ \left( \frac{(a)}{r} + \frac{h^2}{(h)^2} \frac{1}{1-(\sigma)^2} \right) \cos \bar{f} \left( \frac{d\Omega}{dv} \right) + \frac{(a)}{r} \sin \bar{f} r \left( \frac{d\Omega}{dr} \right) \right\}$$

$$- \frac{\sigma \cos(\bar{f}-f)}{1-(\sigma)^2} \frac{d(h)}{dt}$$

$$\frac{1}{1-(\sigma)^2} \frac{h}{(h)} \sin(\bar{f}-f) \frac{d\sigma}{dt} + \frac{1}{1-(\sigma)^2} \frac{h}{(h)} \sigma \cos(\bar{f}-f) \frac{d\pi}{dt} = (h) \left\{ \left( \frac{(a)}{r} + \frac{h^2}{(h)^2} \frac{1}{1-(\sigma)^2} \right) \sin \bar{f} \left( \frac{d\Omega}{dv} \right) - \frac{(a)}{r} \cos \bar{f} r \left( \frac{d\Omega}{dr} \right) \right\}$$

$$- \frac{\sigma \sin(\bar{f}-f)}{1-(\sigma)^2} \frac{d(h)}{dt}$$

Vergleichen wir diese mit den Gleichungen (40), dann bekommen wir die folgenden zwei linearen Differentialgleichungen

$$\frac{dT}{dt} - (n) \gamma \Psi + A = 0$$

$$\frac{d\Psi}{dt} + (n) \gamma T + B = 0$$

wo

$$A = \frac{2(\sigma)}{1-(\sigma)^2} \frac{d(h)}{dt} - 2\sigma \cos(\bar{f}-f) \frac{d(h)}{dt} - \frac{2}{1-(\sigma)^2} \frac{h}{(h)} \cos(\bar{f}-f) \frac{d\sigma}{dt} + \frac{2}{1-(\sigma)^2} \frac{h}{(h)} \sigma \sin(\bar{f}-f) \frac{d\pi}{dt}$$

$$B = (n) \gamma \frac{2(\sigma)}{1-(\sigma)^2} \frac{h}{(h)} - \frac{2\sigma \sin(\bar{f}-f)}{1-(\sigma)^2} \frac{d(h)}{dt} - \frac{2}{1-(\sigma)^2} \frac{h}{(h)} \sin(\bar{f}-f) \frac{d\sigma}{dt} - \frac{2}{1-(\sigma)^2} \frac{h}{(h)} \sigma \cos(\bar{f}-f) \frac{d\pi}{dt}$$

Integriren wir diese Differentialgleichungen auf bekannte Art, so ergibt sich

$$T = k \cos(n) \gamma t + k_1 \sin(n) \gamma t$$

$$\Psi = -k \sin(n) \gamma t + k_1 \cos(n) \gamma t$$

wo

$$\frac{dk}{dt} = -A \cos(n) \gamma t + B \sin(n) \gamma t$$

$$\frac{dk_1}{dt} = -A \sin(n) \gamma t - B \cos(n) \gamma t$$

Nach Substitution der Werthe von  $A$  und  $B$  in diese Gleichungen, und mit Rücksicht auf die oben gefundene Gleichung

erhalten wir

$$\bar{f} - f = \pi - (n) \gamma t - (\pi)$$

$$\frac{dk}{dt} = (n) \gamma \frac{2(\sigma)}{1-(\sigma)^2} \frac{h}{(h)} \sin(n) \gamma t - \frac{2(\sigma)}{1-(\sigma)^2} \cos(n) \gamma t \frac{d(h)}{dt}$$

$$+ \frac{2}{1-(\sigma)^2} \sigma \cos(\pi - (\pi)) \frac{d(h)}{dt} + \frac{2}{1-(\sigma)^2} \frac{h}{(h)} \cos(\pi - (\pi)) \frac{d\sigma}{dt} - \frac{2}{1-(\sigma)^2} \frac{h}{(h)} \sigma \sin(\pi - (\pi)) \frac{d\pi}{dt}$$

$$\frac{dk_1}{dt} = -(n) \gamma \frac{2(\sigma)}{1-(\sigma)^2} \frac{h}{(h)} \cos(n) \gamma t - \frac{2(\sigma)}{1-(\sigma)^2} \sin(n) \gamma t \frac{d(h)}{dt}$$

$$+ \frac{2}{1-(\sigma)^2} \sigma \sin(\pi - (\pi)) \frac{d(h)}{dt} + \frac{2}{1-(\sigma)^2} \frac{h}{(h)} \sin(\pi - (\pi)) \frac{d\sigma}{dt} + \frac{2}{1-(\sigma)^2} \frac{h}{(h)} \sigma \cos(\pi - (\pi)) \frac{d\pi}{dt}$$

welche Ausdrücke vollständige Differentiale sind. Integriren wir sie, und bedenken, daß die den Integralen hinzuzufügenden willkürlichen Constanten so bestimmt werden müssen, daß  $k$  und  $k_1$  verschwinden, wenn die störenden Kräfte verschwinden, wodurch diese Constanten gleich Null werden, so bekommen wir

$$k = -\frac{2(e)}{1-(e)^2} \frac{h}{(h)} \cos(n)yt + \frac{2}{1-(e)^2} \frac{h}{(h)} e \cos(\pi - (\pi))$$

$$k_1 = -\frac{2(e)}{1-(e)^2} \frac{h}{(h)} \sin(n)yt + \frac{2}{1-(e)^2} \frac{h}{(h)} e \sin(\pi - (\pi))$$

und hiemit

$$\Upsilon = \frac{2}{1-(e)^2} \frac{h}{(h)} \left\{ e \cos(\pi - (n)yt - (\pi)) - (e) \right\}$$

$$\Psi = \frac{2}{1-(e)^2} \frac{h}{(h)} e \sin(\pi - (n)yt - (\pi))$$

mit den oben auf ganz anderem Wege gefundenen Werthen dieser Größen übereinstimmend.

24.

Um den obigen Ausdruck für  $\frac{(a)}{a}$  direct aus den Werthen der Fundamentis für die Differentiale von  $\Xi$ ,  $\Upsilon$  und  $\Psi$

$$(a) \frac{d\upsilon}{dt} = (h) \frac{(h)}{h} \frac{(a)^2}{r} c^w (1-(e)^2)$$

$$(a) \frac{d\Gamma}{dt} = (h) \frac{(h)}{h} \frac{(a)}{r} c^w (e) \sin \bar{f} - (h) \frac{\gamma}{\sqrt{1-(e)^2}} \frac{\bar{r}}{(a)} (e) \sin \bar{f} + (a) \frac{d\omega}{dt} \dots \dots \dots (42)$$

Aus den Fundamentis haben wir ferner

$$(43) \dots \dots \dots \left( \frac{d^2}{dt^2} \right) = \frac{(h)}{h} c^{2w}$$

und die dort pag. 261 gegebene Gleichung (5) läßt sich wie folgt schreiben

$$\left( \frac{d^2}{dt^2} \right) = 1 + \Xi + \Upsilon \left( \frac{\bar{r}}{(a)} \cos \bar{f} + \frac{1}{2}(e) \right) + \Psi \frac{\bar{r}}{(a)} \sin \bar{f} + (1-c^w)^2 \frac{(h)}{h}$$

elimirt man hieraus  $\left( \frac{d^2}{dt^2} \right)$  durch (43), so bekommt man leicht

$$c^w = \frac{1}{2} + \frac{1}{2} \frac{h}{(h)} + \frac{1}{2} \frac{h}{(h)} \Xi + \frac{1}{2} \frac{h}{(h)} \Upsilon \left( \frac{\bar{r}}{(a)} \cos \bar{f} + \frac{1}{2}(e) \right) + \frac{1}{2} \frac{h}{(h)} \Psi \frac{\bar{r}}{(a)} \sin \bar{f}$$

und wenn man hieraus  $\Xi$  durch

$$0 = \Xi + \frac{1}{2}(e) \Upsilon + 1 + \frac{(h)}{h} - 2 \frac{h}{(h)}$$

elimirt

$$(44) \dots \dots c^w = \frac{h^2}{(h)^2} + \frac{1}{2} \frac{h}{(h)} \Upsilon \frac{\bar{r}}{(a)} \cos \bar{f} + \frac{1}{2} \frac{h}{(h)} \Psi \frac{\bar{r}}{(a)} \sin \bar{f}$$

$$(a) \frac{d\upsilon}{dt} = (h) \frac{h}{(h)} \frac{(a)}{r} + (h) \frac{h}{(h)} (e) \frac{(a)}{r} \cos \bar{f} + \frac{1}{2}(h) (1-(e)^2) \Upsilon \frac{(a)}{r} \cos \bar{f} + \frac{1}{2}(h) (1-(e)^2) \Psi \frac{(a)}{r} \sin \bar{f}$$

Es ist aber identisch

$$0 = (h) \frac{h}{(h)} \frac{(a)}{r} c^w - (h) \frac{h}{(h)} \frac{(a)}{r}$$

also wenn man erst  $c^w$  und nachdem  $\frac{(a)}{r}$  durch die vorstehenden Werthe dieser Größen elimirt,

$$0 = -(h) \frac{h}{(h)} \frac{(a)}{r} + (h) \frac{h^2}{(h)^2} \frac{1}{1-(e)^2} + (h) \frac{h^2}{(h)^2} \frac{(e)}{1-(e)^2} \cos \bar{f} + \frac{1}{2}(h) \frac{h^2}{(h)^2} \Upsilon \cos \bar{f} + \frac{1}{2}(h) \frac{h^2}{(h)^2} \Psi \sin \bar{f}$$

abzuleiten, wende ich das folgende Verfahren an. Der Ausdruck für das Differential von  $\frac{1}{a}$  durch die veränderlichen elliptischen Elemente ist

$$\frac{d \cdot \frac{1}{a}}{dt} = -2n \left( \frac{d\Omega}{dc} \right)$$

wofür wir auch schreiben können

$$d \cdot \frac{1}{a} = -2 \left( \frac{d\Omega}{dv} \right) \left( \frac{dv}{dt} \right) - 2r \left( \frac{d\Omega}{dr} \right) \left( \frac{dr}{dt} \right) \dots \dots (41)$$

Betrachten wir nun  $v$  und  $r$  als Functionen von  $z$  und  $w$ , dann haben wir

$$(a) \left( \frac{dv}{dt} \right) = (h) \frac{(a)^2}{r^2} (1-(e)^2) \left( \frac{dz}{dt} \right) + (a)(n)\gamma$$

$$(a) \left( \frac{dr}{dt} \right) = (h)(e) \frac{(a)}{r} \sin \bar{f} \left( \frac{dz}{dt} \right) + (a) \frac{d\omega}{dt}$$

Aus den Fundamentis entnehmen wir

$$\frac{dz}{dt} = \frac{(h)}{h} c^{2w} - \frac{\gamma}{\sqrt{1-(e)^2}} \frac{\bar{r}}{(a)}; \quad r = \bar{r} c^w$$

wo  $c$  die Grundzahl der hyperbolischen Logarithmen ist, hiezu geben die vorstehenden Ausdrücke in folgende über

$$\frac{d^2}{dr^2} = 1 + [W] + (1-c^w)^2 \frac{(h)}{h}$$

welche, wenn man den Werth von  $[W]$  substituirt, und  $r$  in  $z$  verwandelt, in folgende übergeht,

Durch Hülfe dieser und der Gleichung

$$\frac{(a)}{r} = \frac{1}{1-(e)^2} + \frac{(e)}{1-(e)^2} \cos \bar{f}$$

geht die erste Gleichung (42) in folgende über:

Addirt man diese Gleichung zum vorstehenden Werthe von  $(a) \frac{dv}{dt}$ , so bekommt man

$$(a) \frac{dv}{dt} = (e)(h) \left\{ \frac{(a)}{(h)} \left\{ \frac{1}{r} + \frac{h^2}{(h)^3} \frac{1}{1-(e)^2} \right\} \cos \bar{f} + \frac{1}{2} (1-(e)^2) T \left\{ \frac{(a)}{r} + \frac{h^2}{(h)^3} \frac{1}{1-(e)^2} \right\} \cos \bar{f} \right. \\ \left. + \frac{1}{2} (1-(e)^2) \Psi \left\{ \frac{(a)}{r} + \frac{h^2}{(h)^3} \frac{1}{1-(e)^2} \right\} \sin \bar{f} + \frac{(h)}{1-(e)^2} \frac{h^2}{(h)^3} \right\}$$

Das Differential der zweiten Gleichung (7) pag. 262 der Fundamenta lässt sich wie folgt schreiben:

$$\frac{dw}{dt} = -\frac{1}{2}(n) c^{-w} \left[ \frac{d\bar{f}}{dy} \right] + \gamma \frac{(n)}{1-(e)^2} \frac{\bar{r}}{(a)} (e) \sin \bar{f}$$

woraus durch die Substitution des hier im Art. 20 angeführten Werthes von  $\left[ \frac{d\bar{f}}{dy} \right]$  hervorgeht,

$$(a) \frac{dw}{dt} = \frac{1}{2}(h) T c^{-w} \sin \bar{f} - \frac{1}{2}(h) \Psi c^{-w} (\cos \bar{f} + (e)) + \sqrt{\frac{\gamma}{1-(e)^2}} (h) (e) \frac{\bar{r}}{(a)} \sin \bar{f}$$

Hiermit geht die zweite Gleichung (42) in folgende über:

$$(a) \frac{d\bar{r}}{dt} = (h)(e) \frac{(h)}{h} \frac{(a)}{r} c^{-w} \sin \bar{f} + \frac{1}{2}(h) T c^{-w} \sin \bar{f} - \frac{1}{2}(h) \Psi c^{-w} (\cos \bar{f} + (e))$$

und wenn man in das erste Glied für  $c^{-w}$  seinen Werth aus (44) setzt,

$$(a) \frac{d\bar{r}}{dt} = (h)(e) \frac{(h)}{h} \frac{(a)}{r} \sin \bar{f} + \frac{1}{2}(h)(e) T \frac{\bar{r}}{r} \sin \bar{f} \cos \bar{f} + \frac{1}{2}(h)(e) \Psi \frac{\bar{r}}{r} \sin^2 \bar{f} \\ + \frac{1}{2}(h) T c^{-w} \sin \bar{f} - \frac{1}{2}(h) \Psi c^{-w} (\cos \bar{f} + (e))$$

Da nun

$$\cos \bar{f} = \frac{(a)}{\bar{r}} \frac{1-(e)^2}{(e)} - \frac{1}{e} \quad \text{und} \quad \frac{\bar{r}}{r} = c^{-w}$$

ist, so kann man diesen Ausdruck leicht in folgenden verwandeln:

$$(a) \frac{d\bar{r}}{dt} = (h)(e) \frac{(h)}{h} \frac{(a)}{r} \sin \bar{f} + \frac{1}{2}(h)(1-(e)^2) T \frac{(a)}{r} \sin \bar{f} - \frac{1}{2}(h)(1-(e)^2) \Psi \frac{(a)}{r} \cos \bar{f}$$

Die so gestellten Werthe von  $(a) \left( \frac{dv}{dt} \right)$  und  $(a) \left( \frac{d\bar{r}}{dt} \right)$  geben, wenn man sie in (41) substituirt,

$$\frac{d(a)}{dt} = -2(h)(e) \frac{(h)}{h} \left\{ \left( \frac{(a)}{r} + \frac{h^2}{(h)^3} \frac{1}{1-(e)^2} \right) \cos \bar{f} \left( \frac{d\Omega}{dv} \right) + \frac{(a)}{r} \sin \bar{f} r \left( \frac{d\Omega}{dr} \right) \right\} \\ - (1-(e)^2)(h) T \left\{ \left( \frac{(a)}{r} + \frac{h^2}{(h)^3} \frac{1}{1-(e)^2} \right) \cos \bar{f} \left( \frac{d\Omega}{dv} \right) + \frac{(a)}{r} \sin \bar{f} r \left( \frac{d\Omega}{dr} \right) \right\} \\ - (1-(e)^2)(h) \Psi \left\{ \left( \frac{(a)}{r} + \frac{h^2}{(h)^3} \frac{1}{1-(e)^2} \right) \sin \bar{f} \left( \frac{d\Omega}{dv} \right) - \frac{(a)}{r} \cos \bar{f} r \left( \frac{d\Omega}{dr} \right) \right\} + \frac{2}{1-(e)^2} \frac{h}{(h)} \frac{d \cdot \bar{h}}{dt}$$

Substituiren wir nun hierin für die in  $\left\{ \right\}$  eingeschlossenen Größen ihre Werthe aus (40), so ergibt sich sogleich

$$\frac{d \cdot \frac{(a)}{a}}{dt} = 2 \frac{h}{(h)} \frac{d \cdot \bar{h}}{dt} - (e) T \frac{d \cdot \bar{h}}{dt} - (e) \frac{h}{(h)} \frac{dT}{dt} - \frac{1}{2} (1-(e)^2) \left\{ T \frac{dT}{dt} + \Psi \frac{d\Psi}{dt} \right\}$$

dessen Integral ist

$$\frac{(a)}{a} = \text{const.} + \frac{h^2}{(h)^2} - (e) \frac{h}{(h)} T - \frac{1}{2} (1-(e)^2) \left\{ T^2 + \Psi^2 \right\}$$

Da die linke Seite dieser Gleichung gleich Eins wird, wenn die störenden Kräfte verschwinden, und die rechte Seite in demselben Falle denselben Werth annimmt, so ist die hinzu-

$$\frac{(a)}{a} = 1 + \frac{2}{3} \Xi + \frac{2}{3} \left( \frac{h}{h} - 1 \right) \Xi - \frac{1}{2} \left( \frac{h}{h} - 1 \right)^2 - \frac{1}{2} (1-(e)^2) \left\{ T^2 + \Psi^2 \right\}$$

mit dem im Art. 22 auf ganz andere Art gefundenen Ausdrucke für  $\frac{(a)}{a}$  übereinstimmend.

gefügte Constante gleich Null, und wir haben also

$$\frac{(a)}{a} = \frac{h^2}{(h)^2} - (e) \frac{h}{(h)} T - \frac{1}{2} (1-(e)^2) \left\{ T^2 + \Psi^2 \right\}$$

Eliminiren wir hieraus  $T$  mittelst der Gleichung

$$0 = \Xi + \frac{2}{3}(e) T + 1 + \frac{h}{h} - 2 \frac{h}{(h)}$$

dann ergibt sich

Diese Gleichung dient nur unter andern zur Controlle bei der Berechnung der Mondstörungen.

Hansen.

Auszug aus einem Schreiben Sr. Excellenz des Herrn Staatsraths v. Struve an den Herausgeber.

Heute sende ich Ihnen eine Note, die ich neulich bei der Académie verlesen habe.

Sur les constantes de l'Aberration et de la Nutation; par M. Struve (lu le 29 Janvier 1841).

A une époque où, dans l'astronomie pratique, les efforts réunis des astronomes et des artistes tendent à pousser à la dernière exactitude possible l'observation des lieux des corps célestes, il est de la plus grande importance de voir les éléments de la réduction, savoir: la précession, l'aberration et la nutation, fixées avec une précision qui surpasse de beaucoup l'exactitude de l'observation isolée. C'est alors seulement qu'il devient possible de déduire d'une série d'observations les résultats vrais, c. à d., non altérés par l'incertitude des éléments de la réduction.

Par une communication que j'ai faite antérieurement à l'Académie, on sait que l'évaluation de la constante de l'aberration est l'objet d'observations soignées dont je m'occupe à l'aide du grand instrument de passages de *Reptold*. Cet instrument, établi dans le premier vertical, paraissait tout-à-fait propre à ce but, en ce que, par sa construction nouvelle et particulière, par ses dimensions et sa force optique, il permettait de fournir certaines distances zénithales avec une exactitude tout-à-fait distinguée. Et maintenant déjà, j'ai la satisfaction de pouvoir présenter à l'Académie un résultat tiré des observations de l'étoile  $\nu$  de la grande Ourse qui, au mois de Mai passé, était au maximum de l'aberration, ainsi qu'en Novembre au minimum. Voici le relevé de ces observations:

### Distances au nord du zénith

| vers le maximum. |                      |                               |  | vers le minimum. |                      |                               |  |
|------------------|----------------------|-------------------------------|--|------------------|----------------------|-------------------------------|--|
| 1840.            | Distances observées. | Distances réduites à 1840,00. |  | 1840.            | Distances observées. | Distances réduites à 1840,00. |  |
| Mai 3            | 65°59                | 65°11                         |  | Oct. 2           | 36°59                | 55°14                         |  |
| 4                | 65,64                | 55,01                         |  | 3                | 36,09                | 54,90                         |  |
| 5                | 65,75                | 55,07                         |  | 4                | 36,06                | 55,14                         |  |
| 6                | 65,84                | 55,12                         |  | 5                | 35,66                | 55,00                         |  |
| 14               | 66,20                | 55,30                         |  | 28               | 29,94                | 54,76                         |  |
| 16               | 65,98                | 55,08                         |  | 29               | 29,78                | 54,80                         |  |
| 22               | 65,90                | 55,10                         |  | 30               | 24,19                | 54,41                         |  |
| 24               | 65,96                | 55,23                         |  | Nov. 1           | 28,99                | 54,61                         |  |
| Junin 1          | 65,36                | 55,07                         |  | 2                | 29,17                | 54,98                         |  |
| 4                | 65,24                | 55,21                         |  |                  |                      |                               |  |

La réduction aux distances moyennes pour 1840,00 a été faite à l'aide des données du précédent catalogue de M. *Argelande*. En prenant seulement les moyennes des distances réduites, nous avons pour le maximum 55°130, et pour le minimum 54°860, dont la différence, de 0°270, indique immédiatement une correction positive pour l'aberration employée de 20°255. Pour évaluer cette correction au juste, je compare les distances réduites avec la formule  $55°00 + c + mx$ , dans laquelle  $x$  est la coefficient de la correction de l'aberration 20,255, selon *Delambre*. De là je tire les équations suivantes:

| Vers le maximum.     | Erreur restante. | Vers le minimum.     | Erreur restante. |
|----------------------|------------------|----------------------|------------------|
| + 0°11 = $c + 13,6x$ | - 0°02           | + 0°14 = $c - 7,5x$  | + 0°25           |
| + 0°01 = $c + 13,7x$ | - 0,12           | - 0°10 = $c - 7,8x$  | + 0,03           |
| + 0°07 = $c + 13,8x$ | - 0,06           | + 0°14 = $c - 8,0x$  | + 0,25           |
| + 0°12 = $c + 13,9x$ | - 0,02           | - 0°00 = $c - 8,3x$  | + 0,14           |
| + 0°30 = $c + 14,5x$ | + 0,15           | - 0°24 = $c - 12,6x$ | - 0,07           |
| + 0°08 = $c + 14,7x$ | - 0,06           | - 0°20 = $c - 12,8x$ | - 0,02           |
| + 0°10 = $c + 15,0x$ | - 0,05           | - 0°09 = $c - 12,9x$ | - 0,40           |
| + 0°23 = $c + 15,1x$ | + 0,08           | - 0°53 = $c - 13,1x$ | - 0,21           |
| + 0°07 = $c + 15,2x$ | - 0,06           | - 0°02 = $c - 13,1x$ | + 0,16           |
| + 0°21 = $c + 15,2x$ | + 0,06           |                      |                  |

La solution de ces équations par la méthode des moindres carrés donne:

$$c = -0°028, \text{ avec le poids } 18,26,$$

$$x = +0,01177 \quad 3061,80;$$

d'où suit

$$\begin{aligned} &\text{la distance moyenne au nord du zénith pour} \\ &1840,00 = 54°972, \text{ avec l'erreur probable } 0°023; \\ &\text{la constante de l'aberration} \\ &= 20°493, \text{ avec l'erreur probable } 0°040. \end{aligned}$$

Les erreurs qui restent dans les équations après la substitution des valeurs trouvées pour les deux inconnues, sont ajoutées aux équations, et nous fournissent l'erreur probable d'une distance zénithale isolée = 0°109. Mais voilà un point digne d'attention qui se manifeste. Le premier coup d'oeil nous fait apercevoir que l'accord des observations du maximum est beaucoup meilleur que celui du minimum. L'explication en est facile. Les observations du maximum tombent sur les six heures environ du soir, heure qui est la plus favorable de la journée, parce que les images des étoiles y sont

les plus précises et les plus tranquilles; tandis que pour le minimum l'observation matinale n'offre que très rarement des images de la même qualité. Les erreurs probables d'une distance zénithale sont, dans les deux époques séparées, 0".05 et 0".15, dans le rapport de 1:3, c. à d. qu'une seule observation du soir est équivalente à 9 observations matinales. En tous cas, nous voyons ici, dans la mesure de la distance zénithale l'exemple d'une exactitude qui, presque, n'est limitée que par les circonstances atmosphériques.

Quant à l'aberration = 20".493, quoique l'erreur probable n'en soit que de 0".04, je ne la regarde aucunement comme définitive. Elle n'est basée que sur un petit nombre d'observations d'une seule étoile, laquelle n'est pas même bien placée pour l'évaluation de l'aberration, dont le maximum n'atteint que 15".2. Elle est, en outre, influencée par les petites incertitudes de la nutation et du mouvement propre, ainsi que par une valeur possible de la parallaxe. Donc, pour avancer dans cette recherche, non seulement les observations de  $\gamma$  de l'Ourse seront continuées, mais un nombre d'autres étoiles plus propres, c. à d., plus proches au pôle de l'écliptique, ont déjà été observées en Septembre passé dans le maximum, et j'attends à présent qu'elles passent au minimum au mois de Mars prochain. Néanmoins, j'ose avancer que l'augmentation de l'aberration me paraît déjà décidée, et que la valeur indiquée a le mérite d'être basée sur des observations tout-à-fait absolues, savoir, dans lesquelles toutes les erreurs de l'instrument sont éliminées par l'opération même de l'observation. Sous ce point de vue, cette nouvelle détermination l'emporte sur toutes les valeurs trouvées pour cet élément par différents astronomes, depuis un siècle.

La réduction d'observations aussi exactes fait sentir, comme je l'ai déjà indiqué, le besoin d'éléments de réduction plus sûrs que ceux dont nous nous servons à présent. Si, pour les mouvements des étoiles fixes, un tems très considérable n'a pu nous fournir que les premiers indices: dès à présent, le perfectionnement des observations et de la réduction seront les conditions de progrès plus rapides. Supposons que l'astronomie parvienne à décupler l'exactitude des positions des étoiles et des éléments de réduction: alors une perspective de progrès frappants s'ouvre à la science; vu que 30 ans suffiront pour faire connaître des mouvements qui, sans cela, ne se seraient manifestés qu'après trois siècles. Il paraît certain que les observations des distances zénithales, continuées avec notre instrument, durant la révolution entière du nœud de la lune de 18½ ans, mèneront à une détermination presque définitive de la nutation. Heureusement il y a des observations antérieures qui, dès à présent, peuvent servir à la fixer plus exactement. M. le Baron de Lindenau, il y a plus de 25 ans,

a eu le premier l'heureuse idée d'employer les ascensions droites de l'étoile polaire pour la détermination de la nutation, et il paraît que, dans aucun autre phénomène céleste, cette quantité ne se prononce d'une manière aussi frappante. Après avoir compté plus de 600 ascensions droites, observées dans l'espace de 60 ans par Bradley, Maskelyne, Pond, Bessel et lui-même, M. de Lindenau avait trouvé la constante de la nutation égale à 8".97707, considérablement plus petite que les valeurs trouvées et adoptées jusqu'alors. On sait que Laplace, dans sa Mécanique céleste, l'évalua à 10".056, quantité déduite par la théorie, en supposant la masse de la lune connue par d'autres actions. Bessel, dans ses Fundamenta, employa, d'après Zach, 6".648, Maskelyne avait trouvé, par ses propres observations, 9".55, Bradley lui-même la supposa en nombre rond 9". Entre les deux valeurs, celle de Laplace et celle de M. de Lindenau, il y a une différence de 1".079. Comment, à présent, faire justement la réduction d'observations qui sont exactes à une très-petite fraction de la seconde près, si, sur un seul élément de réduction, il existe une incertitude semblable? Cette remarque fait ressortir tout le mérite du travail de M. de Lindenau. Aussi Bessel, dans ses Tabule Regiomontane, ouvrage unique dans l'histoire de l'astronomie, n'a-t-il pas hésité d'employer la constante de Lindenau. Mais, si nous considérons que, depuis le travail de ce savant, une révolution entière du nœud de la lune s'est accomplie, si nous apprécions le perfectionnement progressif des instruments, nous sommes engagés à soumettre la nutation à un nouvel examen, en employant les observations de la même espèce, mais plus récentes. A Dorpat, le cercle méridien de Reichenbach fut placé en 1822, et jusqu'en 1838, époque où j'ai quitté l'observatoire, l'ascension droite de l'étoile polaire a été un objet principal de l'usage de cet instrument, tant pour moi, que pour feu M. Preuss, mon adjoint, qui s'occupait des observations méridiennes, depuis que je m'étais voué aux recherches sur les étoiles doubles, au moyen de la grande lunette de Fraunhofer. Les volumes IV à VIII des annales astronomiques de Dorpat renferment ces observations. L'été passé, M. de Schidlofsky, candidat de l'université de Kharkoff, et qui depuis a continué ses études astronomiques sous ma direction, me consulta pour le choix d'un objet de sa dissertation inaugurale. Je lui proposai d'entreprendre l'évaluation de la nutation par les ascensions droites de l'étoile polaire observées pendant 16 années consécutives à Dorpat avec un seul et même instrument. M. de Schidlofsky vient de me communiquer les résultats de son travail. Il a employé en tout 601 ascensions droites de la polaire. Les différences entre les ascensions droites observées, et les positions d'après les tables de Bessel, lui ont fourni 601 équations de condition à 5 inconnues, savoir:

- a. la correction moyenne des tables de *Bessel* en ascension droite;
- b. la différence constante entre les AR. obtenues dans les deux différentes positions de l'instrument, le cercle à l'Ouest, ou à l'Est;
- c. d. les corrections dépendantes: du défaut de la constante de l'aberration, selon *Delambre*, et de la parallaxe annuelle, ainsi que d'une période journalière dans la position de l'instrument, suivant la marche journalière de la température; quantités qui se réunissent toutes dans la forme  $m \sin \odot + n \cos \odot$ .
- e. La correction de la constante de la nutation, selon *M. de Lindenau*.

*M. de Schidloffsky* n'a pas reculé devant le travail considérable de traiter toutes les équations isolées d'après la méthode des moindres carrés, et c'est ainsi qu'il est parvenu aux deux résultats principaux que voici:

correction moyenne des tables de *Bessel* en AR en tems  $+ 0^{\text{m}} 624$ , avec l'erreur probable  $0^{\text{m}} 037$ ;  
correction de la nutation de *M. de Lindenau* en arc  $+ 0^{\text{m}} 242$ , avec l'erreur probable  $0^{\text{m}} 020$ .

Donc la Constante de la nutation  $9^{\text{m}} 219$  avec la probabilité  $= 1$  qu'elle se trouve entre les limites  $9^{\text{m}} 20$  et  $9^{\text{m}} 24$ .  
L'erreur probable d'une ascension droite détachée parmi les 601 s'est trouvée  $0^{\text{m}} 543$ , en tems, ce qui répond à environ  $0^{\text{m}} 23$ , pour le lieu absolu de l'étoile.

Il est très-remarquable que deux évaluations récentes de la nutation offrent un accord presque parfait avec la nôtre. Feu le docteur *Brinkley* à Dublin l'a fixée, en 1821, par un nombre très-considérable d'observations zénithales faites au grand cercle de *Ramsden*, à  $9^{\text{m}} 25$ . Mais cette valeur n'a été reçue et employée qu'en Angleterre, probablement, parce que les résultats douteux que le même instrument avait donnés pour la parallaxe des étoiles fixes, en rendirent l'exactitude suspecte. *M. Busch*, astronome adjoint de Königsberg, a déduit, par une nouvelle réduction des observations originales,

faites par *Bradley*, depuis 1727 jusqu'en 1747, à Kew et Wansted, la valeur de la nutation  $= 9^{\text{m}} 232$ , quantité qui ne diffère de la nôtre que de  $0^{\text{m}} 013$ . Il paraît que le nombre  $9^{\text{m}} 22$  peut-être employé dans les réductions avec pleine confiance.

En dernier lieu, j'ai l'honneur d'annoncer à l'Académie que les astronomes de Poulkova s'occupent à présent d'une réduction complète des observations faites au cercle méridien de Dorpat, sur les lieux absolus d'un nombre très-considérable d'étoiles fixes, principalement doubles, pour en dresser le catalogue quant aux positions moyennes, ouvrage qui servira à compléter les *Mensuræ micrometricæ*. D'abord, nous avons fait la réduction de toutes les étoiles de *Bradley* qui s'y trouvent. Comme le même instrument a donné une position des points équinoxiaux pour 1825, qui mérite toute confiance, ainsi que toutes les autres quantités fondamentales d'une manière indépendante: il m'a paru propre d'employer les positions correspondantes avec *Bradley* à une nouvelle évaluation de la constante dans la précession des équinoxes. C'est *M. l'adjoint Otho Struve* qui, secondé par *M. le Dr. Lundahl* de Helsingfors s'occupe de cette recherche. J'espère, sous peu, pouvoir en présenter les résultats à l'Académie.

Der 2<sup>e</sup> Stern, dessen Beobachtungen im Minimo der Declinationsaberration jetzt geschlossen sind, Draconis, hat eine erwünschte Bestätigung der durch *v* im großen Bären gewonnenen Resultate gegeben, indem aus i Draconis nach einer vorläufigen Reduction die Aberrationsconstante  $20^{\text{m}} 543$  mit dem wahrscheinlichen Fehler  $0^{\text{m}} 036$  folgt. Das Mittel aus beiden Sternen wäre also  $20^{\text{m}} 518$ . Was die Nutationsconstante betrifft, so liegt *H. v. Schidloffsky's* Arbeit jetzt vor mir. Ich werde Ihnen nächstens einen Auszug für die Astr. Nachr. senden, so wie das Resultat von dem Einflusse eines Umstandes befreit sein wird, in Bezug auf das zum Grunde gelegte Material, auf den ich erst jetzt aufmerksam gemacht habe. Uebrigens glaube ich, daß durch die gehörige Berücksichtigung desselben das Hauptergebnis kaum um wenige Hunderttheile der Secunde geändert werden wird.

v. Struve.

Schreiben des Herrn Professors *Santini* an den Herausgeber.

Padova 1841. Marzo 22.

Nel Nr. 406. 407 Astr. Nachr. ho letto con piacere le riflessioni del Sig<sup>ro</sup> Prof. *Bianchi* intorno alle rifrazioni astronomiche dedotte da alcune osservazioni fatte in Padova, in Milano, in Palermo, ed in Modena. È veramente singolare la piccola differenza da esso trovata fra le rifrazioni risultanti

dalle mie osservazioni, e quelle degli altri Colleghi, come pare ingegnosa è la spiegazione, che egli cerca di darne. E finalmente io dirò, che le osservazioni furono da me fatte con tutta quella diligenza, che si richiese per simili circostanze; ma quanto alla flessione del Cannocchiale non è stata per anco

determinata direttamente; solo ho potuto argomentare, che non potesse esercitar alcuna sensibile influenza dall' accordo plausibile, ma non perfetto, che si ottiene dal confronto del Polo strumentale determinato con la Polare, e con altre stelle fondamentali sì boreali, che australi. Trattandosi pertanto di una sì leggiera differenza, rimane ancora un dubbio per questa parte, che spero di poter togliere in breve tempo, avendo già fatto costruire i piccoli apparati necessari per osservare la flessione dietro; il metodo del Sig<sup>r</sup> Bessel. Venendo poi alla spiegazione indettata dal chiarissimo Amico mio, è di fatto, che la temperatura esterna viene da me osservata ad un termometro, il quale stà costantemente appeso a tramontana all' aria libera fuori dell' apertura meridiana ad un' piedadina di distanza verso ponente, mentre il termometro, che segna la temperatura dal mercurio nel barometro è in cassato nel barometro stesso, e rimane costantemente appeso alla interna parete della Camera dalle parte di mezzodi. Un tale modo di osservare le temperature per il calcolo delle rifrazioni mi sembra più consentaneo alla teoria di quello di sospendere un termometro all' obiettivo, o di tenerlo nell' apertura stessa meridiana; imperciocchè qualunque sia la ipotesi adottata per rappresentare la legge delle temperature, e delle densità dell' aria alle varie elevazioni, si escludono sempre i cambiamenti bruschi, e repentini nelle funzioni; la rifrazione finale inserita nelle tavole è il risultato della somma di un infinito numero di inflessioni continue, ed infinitamente piccole a cui si perviene impiegando la temperatura, e la densità dell' ultimo strato, le quali con stabilite leggi sono legate a quelle degli strati superiori per via di cambiamenti continui, e piccolissimi. Se vi ha

un cambiamento brusco tanto nella temperatura, quanto nella densità dell' aria nel passaggio del raggio luminoso dall' esterno entro le pareti della camera, non può questo essere compreso nella teoria; nè si potrebbe (a parer mio) impiegare la temperatura, in cui trovasi l'obiettivo, per dedurre da essa la somma di tutte le esterne inflessioni sofferta dal raggio luminoso dal principio dell' Atmosfera fino all' apertura praticata nel tetto della Camera, poichè ciò sarebbe lo stesso, che rendere soggetta la maggiore, e più aerea parte della rifrazione ad una legge di temperatura simile a quella, su cui è fondata la tavola, ma in cui, il primo termine avrebbe un valore erroneo, e che non condurrebbe alla temperatura degli strati superiori. Un tale siaoistro può avvenire; ed in tale caso sembrerebbe opportuno calcolare a parte la piccola correzione da esso dipendente nel tragitto del piccolo spazio corrispondente all' interno della camera. Comunque però nè sia, parmi che convenga porsi nelle stesse circostanze, in cui si poneva l'autore delle tavole, istituendo le osservazioni, alle quali ei le appoggiò. Queste furono fatte dal Sig<sup>r</sup> Carlini in Milano nel 1805, e nel 1806, allorchè io mi trovavo in quel celebre osservatorio in qualità di studente, ed ho presente alla memoria il luogo, in cui teneva appeso il termometro esterno, dietro la quale disposizione ho adottato il modo sopra indicato di osservare. Del resto l'Argomento è di molto interesse, e merita di essere confermato con un maggiore numero osservazioni, che non mancherò di intraprendere, quando avrò verificato, se esista o no una qualche piccola flessione nel grande, e pesante Cannochiele del circolo Meridiano.

Giovanni Santini.

Calcolo di un oculare Acromatico a tre lenti pei Cannocchiali Astronomici, in cui sono distrutte, o molto attenuate le aberrazioni secondarie di rifrangibilità, e di sfericità riprodotte dalla rifrazione per le Lenti Oculari.

1. È noto, che quando con una conveniente disposizione siasi in un' cannochiele reso acromatico l'obiettivo, annullando le aberrazioni di rifrangibilità, e di figura, tornano queste a riprodursi nel passaggio dei raggi luminosi per le Lenti oculari, sebbene in misure molto più piccole, che (generalmente parlando) sono facilmente tollerabili all' occhio, il quale per l'Arcana sua costruzione può adattarsi senza il concorso della volontà alle piccole deviazioni, senza documento della chiara visione. Si possono facilmente riconoscere tre sorgenti di tali errori secondarii riprodotti nei cannochiali dalle Lenti oculari, che per la chiara intelligenza gioverà qui rammentare. 1°. Supponendo l'obiettivo perfettamente Acromatico, tutti i raggi che lo lavestono in una direzione parallela all' asse si riuniscono nel foco, producendovi l'immagine chiara e distinta di quel

punto, che riguardato come radiante giace sul prolungamento dell' asse stesso ad una distanza infinita. Se il foco dell' oculare pei raggi di media rifrangibilità coincide col foco dell' obiettivo, come richiedesi per la distinta visione, i raggi medii si rifrangono per modo, che sortano dall' oculare in una direzione parallela all' asse; ma i raggi estremi emergono facendo coi precedenti un piccolo angolo, che chiameremo  $\alpha$ ; onde accade che non vadano questi a riunirsi esattamente coi medii nella retina, e producano alcune piccole ombreggiature, che sparirebbero, se potesse  $\alpha$  annullarsi, od almeno impiccolirsi al di sotto di un certo limite additato dall' esperienza. 2°. I raggi principali, che dalle estremità del campo visibile del cannochiele si dirigono al centro dell' obiettivo passano trafratti, e dietro di questi modellando il loro corso gli altri



raggi ad essi paralleli, vanno tutti a riunirsi ad un punto determinato, ove dipingono l'immagine del punto da cui procedono; attraversando obliquamente l'oculare, per la diversa rifrangibilità dei raggi eterogenei si decompongono, dirigendosi sotto diverse inclinazioni al luogo dell'occhio. Da ciò ne deriva che l'immagine principale è veduta con un contorno colorato, il quale, se l'oculare sia di una sola lente, è azzurro all'esterno, rosso all'interno. Questo contorno può essere attenuato, ed anche distrutto del tutto negli oculari composti di più lenti, i quali per questa ragione acquistano il nome di oculari acromatici, se anche in essi sussistano gli errori della prima specie nei raggi paralleli all'asse. 3°. Finalmente si riproducono dagli oculari per la grande loro apertura gli errori di sfericità, i quali negli oculari composti di più lenti possono divenire più nocivi degli errori di rifrangibilità, se non vengano adoperate le opportune avvertenze per diminuirne la influenza.

2. Per apprezzare in un oculare composto la grandezza di queste aberrazioni secondarie, prenderemo a termine di confronto quelle riprodotte nei cannocchiali Astronomici avuti l'oculare formato da una sola Lente, ritenendo le denominazioni seguenti adottate nella mia Teoria degli Strumenti Ottici, pubblicata in due volumi in 8° nel 1828 dalla Tipografia del Seminario in Padova.

Distanza focale dell'obiettivo supposto acromatico =  $p$ , dell'oculare =  $q$ ; indice medio di rifrazione =  $m$ ; sua variazione per i raggi estremi =  $dm$ ; semiapertura della Lente obiettiva =  $x$ ; semiapertura dell'oculare =  $w$ ; angolo di residua aberrazione di rifrangibilità =  $d\psi$ ; angolo sotto cui è veduto il contorno colorato delle immagini prodotte dai raggi medi =  $di$ ; raggio della massima aberrazione di sfericità =  $k$ . Dietro le teorie esposte ai §§ 92—196—197 dell'opera citata si ha

$$d\psi = \frac{dm}{m-1} \frac{x}{p}, di = \frac{\pi dm}{m-1}, k = \frac{\mu x^3}{4p^3} \lambda'$$

dove  $\mu$  è una funzione dell'indice di aberrazione definita al §. 104;  $\lambda'$  è un numero arbitrario positivo avente per minimo valore l'unità, da cui dipende il rapporto fra i raggi delle superficie di una Lente; nel caso di una lente isoscele, quale d'ordinario adoperasi per gli oculari semplici si ha  $\lambda' = 1,63$ .

Assumendo  $\frac{x}{p} = \frac{1}{15}$ ;  $w = \frac{1}{2}$ ;  $\frac{dm}{m-1} = \frac{1}{15}$ ;  $\mu = 0,94$  si ottiene in numeri

$$d\psi = 2' 36''; di = 16''; k = 3'' 47''; \lambda' = 5'' 65''.$$

Qui per altro sarà conveniente osservare, che i valori di  $d\psi$ , e di  $di$  si riducono alla loro quinta parte circa, se prendesi per  $dm$  soltanto la variazione di  $m$  relativa ai colori più riprendenti percettibili all'occhio, e che il valore di  $k$  riducesi

ad  $1'' 80. \lambda' = 2'' 93$  restringendo l'obiettivo suo a che sia  $\frac{x}{p} = \frac{1}{10}$ , come veniva praticato dal celebre *Franhofer*.

3. Sebbene queste aberrazioni secondarie siano piccole in se, e tollerate dall'occhio, pure non mancano di essere sensibili nei forti ingrandimenti, e fra esse soprattutto rimarcasi il contorno colorato delle immagini. È palese abbastanza, che non si possono togliere questi difetti facendo uso di una sola Lente oculare; ma grandemente migliora la condizione degli oculari nei cannocchiali astronomici con l'aggiunta di una nuova lente, mediante la quale si può raddoppiare il campo della visione e togliere per intero il contorno colorato alle immagini. La Teoria di questi oculari costruiti (io credo) per la prima volta dal celebre *Dollond* vedesi esposta al §. 216, e seguenti dell'opera superiormente citata; risulta da essa, che il vantaggio ottenuto coll'annullare il contorno colorato è in gran parte diminuito dall'aumento, che ricevono le altre due aberrazioni; imperciocché raddoppiasi il valore di  $d\psi$ . Quanto al valore di  $k$ , si ottiene per essi

$$k = \frac{\mu x^3}{32 p^3} (\lambda' - 6v + 27\lambda'')$$

ove  $v$  è una funzione dell'indice medio di rifrazione = 0,23 circa;  $\lambda'$ ,  $\lambda''$  sono i numeri arbitrari relativi alle due Lenti. Costruendo (come si suole praticare dagli ottici più rinomati, e come è raccomandato dalla teoria) la prima lente pianoconvessa con la parte convessa rivolta all'obiettivo, e rendendo isoscele l'ultima Lente situata presso l'occhio, si ottiene  $\lambda' = 9,78$ ;  $\lambda'' = 1,63$ ; i quali numeri (ponendo  $\frac{x}{p} = \frac{1}{15}$ ) danno  $k = 3'' 47.13.1 = 45'' 46$ . Questo risultato rende abbastanza palese la ragione della non piccola confusione prodotta nei forti ingrandimenti da questi oculari, i quali sono d'altronde sommamente pregevoli per il gran campo di cui sono dotati.

Trovandomi in Firenze nel Settembre del 1839, il Chiarissimo Amico mio, e Collega Prof. *Amici* mi mostrò un oculare di sua costruzione, in cui ebbe tosto a lodare la somma chiarezza delle immagini, la nitidezza del campo, la precisione di contorni, i quali vantaggi ci riferì di avere conseguiti coll'aggiunta di una nuova Lente di Flint, che lo rendesse perfettamente acromatico. I felici risultati ottenuti da questo celebre ottico dietro una sua particolare Lente non per ancora di pubblico diritto colle stampe, mi furono di incitamento a ricercare, quali norme venissero additate dalle formule fondamentali della diottrica per la costruzione di un oculare a tre lenti colla mira di distruggere le aberrazioni secondarie, delle quali sopra si è fatto parola. Risulta dalle ricerche seguenti, e dagli esempi numerici dietro di esse calcolati, essere possibile di costruire un oculare con tre lenti, delle quali una sia

convexa e di Flint, in cui sia distrutto il contorno colorato, ed annullati gli errori di sfericità, rimanendo tuttavia una piccola traccia degli errori di rifrangibilità sempre meno pericolosi di quelli di sfericità; ma diminuirsi in queste disposizioni il campo della visione in confronto di quello dei consueti oculari acromatici a due lenti. La circostanza però, che in essi siano distrutti gli errori di figura deve condurre in pratica ad una grande precisione, e distinzione nei contorni delle immagini; ed a questa forse è dovuto il buon effetto degli oculari del Sigr. *Amici*, che con ciò nuovo titolo si è acquistato alla pubblica estimazione già sì in alto salita per i suoi eccellenti Microscopii, e per tante sue altre ingegnose produzioni nella diottrica sia teorica, che pratica.

4. Per semplificare i calcoli, supporremo l'obiettivo già reso acromatico, e rappresentato da una lente fittizia avente la proprietà di riunire in un punto i raggi luminosi eterogenei ad essa provenienti da un punto unico situato in grande distanza. Dietro tale ipotesi, un cannocchiale astronomico, avente un' oculare composto di tre lenti, si potrà riguardare come un sistema di quattro lenti riunite intorno ad un asse comune, e disposte per la chiara visione degli oggetti lontani. Riprendendo dalla Teorica degli stromenti Ottici le equazioni generali per un sistema di quattro lenti, adotteremo le seguenti denominazioni.

Distanze focali delle lenti procedendo ordinatamente dall'obiettivo fino alla lente Prossima all'occhio  $p$ ;  $q$ ;  $r$ ;  $s$   
Distanze determinatrici rispettive.....  $a$ ,  $\alpha$ ;  $b$ ,  $\beta$ ;  $c$ ,  $\gamma$ ;  $d$ ,  $\delta$ .  
Semi-aperture delle Lenti oculari richieste pel libero passaggio di un raggio principale inclinato all'asse nel centro dell'obiettivo di un'angolo  $\phi$  rappresentante la metà del Campo visibile.....  $w$ ,  $w'$ ,  $w''$ ,  $w'''$ .

Sia l'ingrandimento del sistema  $M$ ; l'indice medio di rifrazione nelle lenti costruite di Crown sia  $m$ ; in quelle costruite di Flint  $m'$ ; la sua variazione per ricondurlo ai raggi estremi sia rispettivamente  $dm$ ;  $dm'$ . Porremo; come nella citata opera...  $\frac{dm}{m-1} = Z$ ;  $\frac{dm'}{m'-1} = Z'$ ; assumeremo inoltre, che le lenti oculari  $q$ ,  $r$  siano costruite di Crown, e convesse; che l'ultima lente  $s$  sia di Flint, convessa, ed a contatto colla precedente  $r$ . Per ultimo, siano  $\lambda$ ,  $\lambda'$ ,  $\lambda''$  numeri arbitrari, dai quali dipendono i raggi delle superficie delle lenti  $q$ ,  $r$ ,  $s$  dietro le equazioni dimostrate al §. 104.

Ciò premesso, le formule generali della diottrica (osservando, che per il caso presente si ha  $a = \infty$ ;  $\delta = \infty$ ;  $\alpha = p$ ;  $d = s$ ;  $\gamma + d = 0$ , ossia  $\frac{\gamma}{d} = -1$ ) dovranno

$$\begin{aligned} (1) \quad \frac{1}{q} &= \frac{1}{b} + \frac{1}{\beta}; & (2) \quad \frac{1}{r} &= \frac{1}{c} + \frac{1}{\gamma} \\ (3) \quad d &= -\gamma = s; & (4) \quad M &= -\frac{a\beta}{bc} \\ (5) \quad wq &= (a+b)\phi; \\ (6) \quad w'v &= \left(\frac{a\beta}{bc} - 1\right)c\phi + \pi c = -(M+t)c\phi + \pi c. \\ (7) \quad \phi &= \frac{w'' - w' + \pi}{M+1}. \end{aligned}$$

La condizione, che debba essere distrutto il contorno colorato darà

$$(8) \quad w \frac{dm}{m-1} + w' \frac{c}{\beta} \frac{dm}{m-1} - w'' \cdot \frac{c}{\beta} \cdot \frac{dm'}{m'-1} = 0;$$

La condizione, che sia distrutto l'angolo di residua aberrazione  $d\psi$  darà

$$(9) \quad \frac{dm}{m-1} \cdot \frac{1}{q} + \frac{dm}{m-1} \cdot \frac{1}{r} \cdot \frac{c^2}{\beta^2} + \frac{dm'}{m'-1} \cdot \frac{1}{s} \cdot \frac{c^2}{\beta^2} = 0;$$

ovvero, se questa non potesse essere soddisfatta, l'angolo di residua aberrazione sarà dato dall'equazione

$$(9) \quad d\psi = \frac{M \chi dm}{(m-1)p} \cdot \frac{b^2}{a^2} \left[ \frac{1}{q} + \frac{c^2}{\beta^2} \left( \frac{1}{r} + \frac{1}{s} \cdot \frac{Z}{Z'} \right) \right].$$

5. Prendendo a considerare il viaggio del raggio principale attraverso all'ideato sistema di Lenti, e confrontandolo con quello generale della teorica, a cui si appoggiano i segni delle superiori grandezze, si vedrà facilmente che le aperture  $wq$ ,  $w's$  riusciranno nel caso presente positive, mentre  $w'r$  rimane negativa; laonde fingendosi negativa la distanza focale  $s$ , mentre che si assumono positive le  $q$ ,  $r$ , saranno negativi i rapporti  $w'$ ,  $w''$  essendo  $\pi$  positivo. Chiamando ora  $w$  il massimo valore, che possono ricevere questi rapporti (che suole dai più riputati fabbricatori assumersi  $= \frac{1}{2}$ ), affinché il campo  $\phi$  divenga il più grande possibile, porremo  $\pi = w$ ;  $w' = -w$ ;  $w'' = -i \cdot w$ , e l'equazione (7) darà

$$\phi = \frac{(2-i)w}{M+1} \dots (a).$$

Di qui apparisce, che la presenza della Lente convessa diminuisce necessariamente il campo dei comuni oculari a due Lenti, e solo potendo prendere per  $i$  una piccola frazione, una tale diminuzione sarà tollerabile in confronto degli altri vantaggi di questi oculari.

In seguito, ponendo  $\frac{c}{\beta} = Q$ , l'equazione (8) relativa al contorno colorato, avendo riguardo alle stabilite denominazioni darà

$$Q = \frac{1}{1-i \cdot \frac{Z}{Z'}} \dots (b)$$

Frattanto osserveremo, che nei vetri dei quali fece uso *Fraunhofer* nei suoi celebri obiettivi, che corrispondono a quelli messi in commercio dalla fabbrica di M. *Cuinaud*, avevamo

prossimamente  $\frac{Z'}{Z} = 1,6$ . Prendendo pertanto per  $i$  una frazione non maggiore di  $\frac{1}{2}$  per non diminuire soverchiamente il Campo, risulterà dalla precedente equazione  $Q$  positivo; dovendo poi in un sistema di quattro Lenti destinato a rappresentare inversi gli oggetti risultare  $M$  positivo, si deduce dall'equazione (4) che sarà  $b$  negativo; quindi  $\beta$ , e  $c$  saranno numeri positivi, e l'immagine cadrà qui, come negli oculari a due Lenti del *Dolland* fra la prima lente oculare, ed il sistema riunito delle altre due. Assunto pertanto  $i$  ad arbitrio fra i limiti  $0$  ed  $\frac{1}{2}$ , fingendo inoltre dati  $p$ , ed  $M$ , le superiori equazioni daranno tutti gli opportuni elementi per il calcolo dell'oculare nel modo seguente. L'equazione (a) (ponendovi  $w = \frac{1}{2} = 859'4$  circa) darà il semicampo  $\phi$ ; l'equazione (b) darà il rapporto  $Q$ , quando sianci convenientemente determinati gli indici di rifrazione, e di dispersione dei vetri impiegati nella costruzione delle Lenti. In seguito l'equazione (4) darà  $b$ , dietro di che l'equazione (5) renderà noto  $q$ ; l'equazione (1) darà  $\beta$ ; ottenuto  $\beta$ , si avrà  $c = Q \cdot \beta$ , e l'equazione (6) farà conoscere  $r$ . In fine l'equazione (2) renderà noto  $\gamma = -d = -s$ . Questi valori poi sostituiti nell'equazione (9) faranno conoscere  $d\psi$ , il quale se riuscirà  $= 0$ , o minore del valore per esso ottenuto cogli oculari di una sola lente, renderà commendevole l'adottato valore di  $i$ .

6. Se ora si eseguiscano le eliminazioni nell'ordine indicato, facilmente si otterranno le seguenti equazioni, che molto semplicemente raccolgono i precetti per il calcolo del proposto oculare.

$$\begin{aligned} (1) \quad \phi &= \frac{(2-i) \cdot 859'4}{M+1}; & (2) \quad Q &= \frac{c}{\beta} = \frac{1}{1-i \cdot \frac{Z'}{Z}} \\ (3) \quad b &= -\frac{p}{MQ}; & (4) \quad q &= \frac{(2-i)(p+b)}{M+1} \\ (5) \quad \beta &= -\frac{b \cdot q}{q-b}; & (6) \quad c &= \beta \cdot Q \\ (7) \quad r &= (1-i)c; & (8) \quad \gamma &= -d = -s = \frac{1-i}{i} \cdot c \\ (9) \quad d\psi &= \frac{1}{1-i} \cdot \frac{M}{MQ-1} \cdot \frac{Q+1}{Q} \cdot \frac{\chi dm}{(m-1)p} \end{aligned}$$

ovvero prossimamente

$$(9) \quad d\psi = \frac{1}{1-i} \cdot \frac{Q+1}{Q^2} \cdot \frac{\chi dm}{(m-1)p}.$$

La distanza dell'obiettivo dal primo oculare sarà  $= p + b$ ; del primo dal secondo oculare sarà  $= \beta + c$ ; del secondo dal terzo oculare  $= 0$ ; del terzo oculare dal diaframma  $a$  cui si applica l'occhio  $= \frac{w \cdot s}{M\phi}$ , che prossimamente riducesi a  $= \frac{-is}{2-i}$ .

Per ultimo, indicando con  $\chi$  il raggio del circolo di aberrazione sferica residuo in questo sistema, si troverà dalle formule generali esposte nel 1° volume dell'opera più volte citata,

trascurando la parte relativa all'obiettivo, che si annulla per le adempite condizioni dell'acromatismo

$$(10) \quad k = \left(\frac{p}{M}\right)^2 \frac{\mu \chi^2}{4p^2} \left[ \frac{\lambda'}{Q^2 q^3} + \frac{\lambda''}{\mu^2 s^3} + \frac{\mu'}{Q^2 q^3 \beta} + \frac{\mu''}{Q^2 q^3 \gamma} \right]$$

che per il buon effetto dell'oculare dovrà annullarsi mediante una conveniente determinazione dei numeri arbitrari  $\lambda'$ ,  $\lambda''$ ,  $\mu'$ ,  $\mu''$ .

7. Per mostrare più chiaramente i vantaggi, che in pratica si possono attendere da un sì fatto oculare, proponiamoci la costruzione di un Cannocchiale Acromatico, il quale con un obiettivo duplicato risulti dotato della chiarezza normale, e debba ingrandire 60 volte. — Ritenendo i precetti esposti al principio del 2° Volume della Teorica, e prendendo il pollice di Parigi per unità di misura lineare, avremo  $-M = 60$ ;  $p = 30$ ;  $w = \frac{1}{2}$ .

Supporremo come nell'esempio del §. 126 del 1° Vol. per il Crown.....  $m = 1,530000$ ; per il Flint  $m' = 1,634494$   
 $dm = 0,009$   $dm' = 0,017787$   
 Quindi si formerà  $\frac{Z'}{Z} = 1,650853$ ;  $\frac{Z''}{Z} = 0,605747$ .

Le funzioni  $\mu$ ,  $\nu$  etc.,  $\mu'$ ,  $\nu'$  etc., dalle quali dipende il calcolo delle aberrazioni di sfericità, e dei raggi delle superficie delle Lenti, avranno (come nel citato luogo) i seguenti logaritmi...

$$\begin{aligned} \text{per } m &= 1,53 \dots \dots \text{per } m' = 1,634494 \\ \log \mu &= 9,99454 \dots \log \mu' = 9,88836 \\ \log \nu &= 9,34184 \dots \log \nu' = 9,46336 \\ \log \sigma &= 0,22014 \dots \log \sigma' = 0,17982 \\ \log \rho &= 9,35542 \dots \log \rho' = 8,80053 \\ \log \tau &= 9,96625 \dots \log \tau' = 9,92117 \end{aligned}$$

Colla scorta dei precedenti elementi, fingendo  $i = \frac{1}{2}$ ;  $i' = \frac{1}{2}$ ;  $= \frac{1}{2}$ ;  $= \frac{1}{2}$  sono state calcolate le quantità tutte, che regolano la costruzione dell'oculare, contenute nella seguente tabella, nella quale in un'ultima colonna si sono aggiunte per gli opportuni confronti le distanze focali delle Lenti per costruire un'oculare a due Lenti alla maniera di *Dolland*.

| Per i       | $= \frac{1}{2}$ | $= \frac{1}{2}$ | $= \frac{1}{2}$ | $= \frac{1}{2}$ | Oculare a due Lenti. |
|-------------|-----------------|-----------------|-----------------|-----------------|----------------------|
| $Q$         | 5,7283          | 3,2037          | 2,2137          | 1,4929          | .....                |
| $q$         | 0'7356          | 0'7746          | 0'8135          | 0'8754          | 0'9672               |
| $r$         | 0,2235          | 0,2428          | 0,2612          | 0,2893          | 0,3240               |
| $d = s$     | -0,2235         | -0,5826         | -0,7835         | -1,4465         |                      |
| $b$         | -0,0873         | -0,1561         | -0,2249         | -0,3349         |                      |
| $\beta$     | +0,0780         | +0,1299         | +0,1762         | +0,2422         |                      |
| $c$         | +0,4461         | +0,4162         | +0,3917         | +0,3616         |                      |
| $\gamma$    | +0,2235         | +0,5826         | +0,7835         | +1,4465         |                      |
| $p + b$     | 29,9137         | 29,8439         | 29,7751         | 29,6651         |                      |
| $\beta + c$ | 0,5241          | 0,5461          | 0,5679          | 0,6038          | 0,6480               |
| $\phi$      | 21° 8"          | 22° 19'         | 23° 29'         | 25° 22'         | 25° 11'              |
| $d\psi$     | 0,41d $\psi$    | 0,70d $\psi$    | 0,98d $\psi$    | 1,40d $\psi$    | 2d $\psi$            |

dove rappresentasi per  $d\psi$ , l'angolo residuo di aberrazione di rifrangibilità negli oculari semplici formati con una sola lente.

Per determinare la figura delle Lenti, si sostituiscono gli ottenuti valori nella equazione (10), e ponendo uguale a zero il fattore fra le parentesi, che moltiplica la quantità  $\left(\frac{p}{R}\right)^2 \frac{\mu X^2}{4p^2}$ , si otterranno fra i numeri arbitrari  $\lambda'$ ,  $\lambda''$ ,  $\lambda'''$  per ogni valore di  $i$  le infrascritte equazioni, che (soddisfatta opportunamente) assicurano essere distrutti gli errori residui di sfericità.

$$\begin{aligned} \text{per } i = \frac{1}{2} & \quad 0,002334 \lambda' + 89,600 \lambda'' - 8,771 \lambda''' + 4,875 = 0 \\ \text{per } i = \frac{1}{3} & \quad 0,02042 \lambda' + 69,902 \lambda'' - 3,970 \lambda''' + 3,596 = 0 \\ \text{per } i = \frac{1}{4} & \quad 0,07597 \lambda' + 56,140 \lambda'' - 1,6284 \lambda''' + 2,4593 = 0 \\ \text{per } i = \frac{1}{5} & \quad 0,30013 \lambda' + 41,300 \lambda'' - 0,25872 \lambda''' + 0,8246 = 0 \end{aligned}$$

8. Appaia ora dalle precedenti equazioni, che la figura della prima Lente ha una piccolissima parte nelle confusioni di sfericità, mentre la seconda, e la terza Lente vi esercitano una pericolosa influenza; ma essendo i coefficienti di  $\lambda'$ ,  $\lambda''$  di contrario segno, si possono annullare gli errori di figura. Prendendo pertanto ad arbitrario  $\lambda'$ ,  $\lambda''$  si otterrà il valore di  $\lambda'''$ , che rende nullo il valore di  $i$ , e quindi saranno dietro il par. 104 del 1° vol. determinati i raggi di tutte le superficie delle Lenti. Il più piccolo valore, che possono ricevere i numeri  $\lambda'$ ,  $\lambda''$  è l'unità; ma ad esso corrispondono figure incomode per la pratica esecuzione. Si può dimostrare facilmente, che la figura piano-convessa per la prima Lente con la parte convessa rivolta all'oggettivo, e la figura isoscele per la seconda, sono in pratica le più convenienti. Assumendo pertanto queste figure, i numeri arbitrari  $\lambda'$ ,  $\lambda''$  ricevono valori determinati, che sostituiti nelle equazioni superiori conducono alla cognizione di  $\lambda'''$  per ogni valore di  $i$ ; dopo di che è facile ricavare il valore dei raggi delle due superficie della Lente concava dalle formule generali del luogo citato.

La tavoletta seguente contiene i valori di  $\lambda'$ ,  $\lambda''$ ,  $\lambda'''$  non che in raggio  $R$  della superficie della terza Lente rivolta all'oggettivo, ed il raggio  $R'$  di quella rivolta verso l'occhio, per ogni valore di  $i$  calcolati nelle assunte ipotesi, e nel modo indicato.

|              |                 |                 |                 |                 |
|--------------|-----------------|-----------------|-----------------|-----------------|
| per $i$      | $= \frac{1}{2}$ | $= \frac{1}{3}$ | $= \frac{1}{4}$ | $= \frac{1}{5}$ |
| $\lambda'$   | = 165,120       | = 56,420        | = 29,730        | = 15,472        |
| $\lambda''$  | = 1,000         | = 1,017         | = 1,067         | = 1,216         |
| $\lambda'''$ | = 10,815        | = 19,147        | = 39,670        | = 215,2         |
| $R$          | = 0°1670        | = 0°1611        | = 0°1492        | = 0°1179        |
| $R'$         | = +0,4063       | = +0,2856       | = +0,2133       | = +0,1353       |

Di qui apparisce, che la Lente di Flint prossima all'occhio risulta concavo-convessa con la parte convessa rivolta all'occhio; con che il sistema delle ultime due Lenti viene a

presentare l'aspetto dei celebri obiettivi di *Fraunhofer*. Osservando poi risultati ottenuti nella prima tabella, si vedrà che il valore di  $d\psi$  va crescendo col diminuirsi di  $i$ , mantenendosi tuttavia minore, che nei consueti oculari a due Lenti. La disposizione corrispondente ad  $i = \frac{1}{2}$  sarebbe pregevole per la semplicità dei rapporti; ma vi ha in essa una soverchia diminuzione di Campo; ed oltre a ciò, l'immagine resta in troppa vicinanza della prima lente per modo che non vi rimane spazio ad introdurvi quei fili micrometrici, dei quali talvolta si ha bisogno nell'osservare; e se il vetro non sia purissimo, ed il lavoro perfetto, possono le piccole bollicine, o le striscie della poltira, comunque tenui, facilmente deturparla. L'ultimo valori di  $i = \frac{1}{5}$  conduce nella costruzione dell'ultima lente a curvature opposte con raggi fra loro troppo poco differenti, per la quale circostanza richiedesi una troppo minuta esattezza nella sua costruzione, avendo nel risultato i piccoli errori una influenza troppo grande. Le disposizioni corrispondenti ad  $i = \frac{1}{3}$ , ed  $i = \frac{1}{4}$  sembrano lodevoli anche per la pratica, e non vi ha dubbio, che non debba attendersi da un oculare costruito dietro quelle dimensioni un'ottimo risultato in grazia dell'annientamento degli errori di sfericità. Ad ogni modo però la loro costruzione richiederà sempre una grande diligenza di lavoro, e non potrà essere affidata che ad ottici eminentemente istruiti nella teorica, e nella pratica.

Si potrebbe credere, che variando l'ordine delle Lenti si potessero ottenere disposizioni più vantaggiose; ma è facile assicurarci col calcolo, che ciò non accade, almeno fino a che due di loro si tengono a contatto; imperciocchè coll'alternare la posizione della Lente di Flint rapporto alle altre due, si ottengono o disposizioni identiche nelle dimensioni alla già descritta, o di essa più svantaggiose.

Tali sono i risultamenti, ai quali sono pervenuto dietro le formule generali della diottrica, ignorando la via tenuta dal Sig. Cav. *Amici* nella costruzione del suo oculare, nè tampoco conoscendo la interna sua composizione. Rilasciando pertanto a questo illustre mio Amico, e Collega tutto l'onore della sua invenzione, non ebbi altro in mira, che di riferire un supplemento alla Teoria degli oculari da me esposta al principio del secondo volume dell'opera più volte citata, che potrà in qualche circostanza riuscire di una qualche utilità, per coloro, che si occupano di simili delicati Argomenti.

Padova il 22 Marzo 1841.

Giovanni Santini.

(su Nr. 423 — 425.) Ueber die Anwendung oculirender Elemente als Grundlage der Berechnung der Störungen eines Planeten, und über die unabhängigen Elemente der „Fundamenta nova etc.“ Von Herrn Professor und Ritter Hansen. p. 237.

(su Nr. 426.) Auszug aus einem Schreiben Sr. Exc. des Herrn Staatsraths v. Struve an den Herausgeber. p. 289. — Schreiben des Herrn Professors Santini an den Herausgeber. p. 294. — Calcolo di un'oculare Acromatico a tre lenti nei Cannocchiali Astronometrici, in cui sono distrutte, o molto attenuate le aberrazioni secondarie di rifrangibilità, e di sfericità riprodotte dalla rifrazione per le Lenti Oculari. Von Herrn Prof. Santini. p. 293.

### Vergleichung der neuen Königsberger Bestimmung der Declinationen der Fundamentalsterne und einiger Circumpolarsterne mit anderen Verzeichnissen.

Von Dr. A. L. Busch.

In Nr. 422 der Astr. Nachr. hat Herr Geheime Rath *Bessel* das Verfahren angegeben, nach welchem ich die Beobachtungen am Meridiankreise gemacht und aus ihnen die Bestimmung der Declinationen von 52 Sternen für den Anfang des Jahres 1840 abgeleitet habe. Ich theile gegenwärtig eine Vergleichung dieser neuen Bestimmung der Declinationen mit denen mit, welche seit 1820 von anderen Sternwarten bekannt geworden sind. Diese Declinationen finden sich an folgenden Orten:

- 1) *Bessel*. VII Abth. der Königsberger Beobachtungen.
- 2) *Pond*. Berechnung der Greenwicher Beobachtungen von 1822, auf *Bessels* Veranlassung von *Olfusen* ausgeführt. Astr. Nachr. Nr. 73.
- 3) *Struve*. Observationes Dorpatenses Vol. VI.
- 4) *Argelander*. Stellarum fixarum positiones etc. Helsingforsie 1835.

- 5) *Airy*. The first Cambridge Catalogue of 726 Stars. Memoirs of R. Astr. Society Vol. XI. London 1840.
- 6) *Pond*. Catalogue of 1112 Stars. London 1833.
- 7) *Johnson*. Catalogue of 606 Principal fixed Stars. London 1835.
- 8) *Henderson*. Declinations of 172 Principal fixed Stars. Astr. Nachr. Bd. XIV. Nr. 318.

Mit der für jeden Stern in der angeführten Abhandlung des Herrn Geheimen Rathes *Bessel* angegebenen Proceßion, eigenen Bewegung und Säcular-Aenderung habe ich die Positionen für 1840 auf das Jahr, für welches jeder dieser Cataloge gilt, reducirt und folgende Unterschiede erhalten. Das + Zeichen zeigt an, daß der mit dem neueren verglichene ältere Catalog eine Declination nördlicher ergibt, das — Zeichen das entgegengesetzte.

| Nr. 3 |                     | <i>Bessel</i><br>1820 | <i>Pond</i><br>1822 | <i>Struve</i><br>1824 | <i>Argelander</i><br>1830 | <i>Airy</i><br>1830 | <i>Pond</i><br>1830 | <i>Johnson</i><br>1830 | <i>Henderson</i><br>1833 |
|-------|---------------------|-----------------------|---------------------|-----------------------|---------------------------|---------------------|---------------------|------------------------|--------------------------|
| 1     | $\gamma$ Cephei     | — 0'09                | —                   | + 0'17                | + 0'46                    | + 0'94              | + 0'76              | —                      | —                        |
| 4     | $\beta$ Ursae mln.  | — 0'68                | —                   | — 1'33                | — 0'61                    | — 0'90              | — 0'11              | —                      | —                        |
| 5     | $\gamma$ —          | — 0'04                | —                   | — 0'57                | — 0'22                    | —                   | — 0'92              | —                      | —                        |
| 6     | $\beta$ Cephei      | — 1'31                | —                   | — 0'88                | — 0'79                    | 0'00                | — 0'49              | —                      | —                        |
| 7     | $\alpha$ Ursae maj. | — 1'23                | —                   | — 1'66                | — 1'04                    | — 1'10              | — 0'34              | — 1'84                 | —                        |
| 8     | $\alpha$ Cephei     | — 1'34                | —                   | — 0'93                | — 0'47                    | — 0'04              | — 0'57              | — 4'07                 | —                        |
| 9     | $\alpha$ Cassiopeæ  | + 0'40                | —                   | + 1'16                | + 1'32                    | + 1'27              | + 1'12              | — 0'48                 | —                        |
| 10    | $\gamma$ Ursae maj. | — 1'15                | —                   | — 0'69                | — 0'47                    | — 0'08              | + 0'73              | + 1'93                 | —                        |
| 11    | $\alpha$ Cygni      | + 0'92                | —                   | —                     | —                         | —                   | + 1'82              | —                      | —                        |
| 12    | $\beta$ Draconis    | — 0'36                | —                   | —                     | + 0'45                    | — 0'76              | + 0'45              | — 0'35                 | —                        |
| 16    | $\gamma$ —          | + 0'15                | —                   | + 1'45                | + 1'71                    | + 2'23              | + 1'11              | — 0'19                 | —                        |
| 17    | $\alpha$ Cygni      | — 0'06                | —                   | —                     | —                         | —                   | + 0'60              | —                      | —                        |
| 18    | $\eta$ Ursae maj.   | — 0'65                | —                   | — 0'96                | — 0'49                    | — 0'08              | + 0'11              | —                      | + 3'28                   |
| 19    | $\delta$ Cygni      | + 0'36                | —                   | —                     | + 0'94                    | —                   | + 1'04              | —                      | —                        |
| 20    | $\alpha$ Persei     | + 0'35                | —                   | + 0'49                | + 0'66                    | + 1'61              | + 1'26              | — 1'64                 | + 2'84                   |
| 21    | $\delta$ —          | —                     | —                   | —                     | + 1'14                    | —                   | + 1'44              | —                      | —                        |
| 22    | $\alpha$ Aurigæ     | + 1'15                | + 1'31              | + 1'41                | + 1'24                    | + 0'62              | + 2'44              | —                      | + 2'67                   |
| 23    | $\alpha$ Cygni      | — 0'63                | — 0'49              | + 0'08                | + 0'57                    | + 0'26              | + 0'37              | — 1'03                 | + 1'97                   |
| 24    | $\gamma$ Andromedæ  | — 0'46                | —                   | — 0'30                | + 0'79                    | + 1'62              | + 0'99              | —                      | —                        |
| 25    | $\beta$ Persei      | — 0'16                | —                   | — 0'31                | —                         | + 1'35              | + 1'87              | —                      | —                        |
| 26    | $\gamma$ Cygni      | — 0'80                | —                   | + 0'62                | + 0'40                    | —                   | + 1'20              | —                      | —                        |
| 27    | $\alpha$ Persei     | — 0'38                | —                   | —                     | —                         | —                   | + 1'31              | —                      | —                        |
| 28    | $\eta$ Herculis     | — 0'12                | —                   | + 1'06                | + 0'75                    | —                   | + 1'85              | —                      | —                        |
| 29    | $\gamma$ Bootis     | — 0'34                | —                   | — 1'39                | —                         | + 0'45              | + 0'16              | —                      | —                        |
| 30    | $\alpha$ Lyrae      | — 0'97                | + 0'40              | + 0'10                | + 1'24                    | + 2'40              | + 1'34              | — 0'46                 | + 0'53                   |

|    |                       | Bessel<br>1820 | Pond<br>1822 | Struve<br>1824 | Argelander<br>1830 | Airy<br>1830 | Pond<br>1830 | Johnson<br>1830 | Henderson<br>1833 |
|----|-----------------------|----------------|--------------|----------------|--------------------|--------------|--------------|-----------------|-------------------|
| 31 | $\alpha$ Geminor.     | + 0'27         | + 0'63       | + 0'57         | + 0'21             | + 0'85       | + 2'31       | - 0'69          | + 0'47            |
| 32 | $\beta$ Tauri         | - 0,76         | + 0,38       | - 0,73         | - 0,12             | + 0,21       | + 1,68       | —               | - 0,30            |
| 33 | $\beta$ Geminor.      | - 0,45         | + 0,15       | - 0,51         | + 0,06             | + 0,56       | + 1,56       | - 1,34          | - 0,12            |
| 34 | $\alpha$ Andromede    | - 0,25         | + 0,12       | + 0,17         | + 0,29             | - 0,13       | + 0,59       | - 2,21          | - 0,63            |
| 35 | $\alpha$ Coronae      | - 0,65         | - 0,18       | + 0,09         | + 0,39             | + 0,18       | + 0,89       | - 1,51          | - 0,79            |
| 36 | $\alpha$ Arietis      | - 0,36         | + 0,52       | - 0,45         | + 0,51             | - 0,12       | + 1,11       | - 1,79          | - 0,16            |
| 37 | $\alpha$ Bootis       | - 0,20         | + 0,46       | - 0,13         | + 0,69             | + 0,70       | + 1,59       | - 1,71          | - 0,78            |
| 38 | $\alpha$ Tauri        | + 0,07         | + 0,79       | + 0,40         | + 0,61             | + 0,29       | + 1,81       | - 1,39          | + 0,80            |
| 39 | $\beta$ Leonis        | + 0,09         | + 0,63       | - 0,07         | + 0,59             | + 0,31       | + 1,89       | - 0,71          | + 0,94            |
| 40 | $\alpha$ Herculis     | - 0,53         | + 0,59       | + 0,94         | + 1,56             | + 0,34       | + 2,16       | - 0,84          | + 0,94            |
| 41 | $\alpha$ Pegasi       | + 0,12         | + 0,62       | + 0,54         | + 1,28             | + 0,95       | + 2,48       | - 1,12          | + 1,08            |
| 42 | $\gamma$ —            | - 0,32         | + 0,39       | + 0,34         | + 0,85             | + 1,47       | + 1,45       | - 1,55          | + 0,87            |
| 43 | $\alpha$ Leonis       | - 0,03         | + 1,72       | 0,00           | + 0,48             | + 0,75       | + 2,78       | + 0,88          | + 0,68            |
| 44 | $\alpha$ Ophiuchi     | - 0,06         | + 1,69       | + 0,90         | + 1,13             | - 0,33       | + 2,51       | —               | + 0,44            |
| 45 | $\gamma$ Aquilae      | - 0,68         | —            | + 0,15         | + 0,60             | + 1,04       | + 1,60       | - 1,10          | - 0,01            |
| 46 | $\alpha$ —            | - 0,42         | + 0,52       | + 0,78         | + 1,25             | + 2,40       | + 1,95       | - 0,25          | + 1,10            |
| 47 | $\alpha$ Orionis      | - 0,19         | - 0,21       | + 0,16         | + 0,35             | + 0,37       | + 1,75       | - 1,15          | + 0,10            |
| 48 | $\alpha$ Serpentis    | - 0,70         | + 0,67       | + 0,96         | + 1,07             | + 1,49       | + 2,67       | + 0,17          | + 0,79            |
| 49 | $\beta$ Aquilae       | - 0,75         | + 0,47       | + 1,02         | + 1,30             | + 2,14       | + 2,60       | - 0,70          | + 0,76            |
| 50 | $\alpha$ Canis min.   | - 1,64         | - 0,42       | - 0,61         | - 0,22             | + 0,03       | + 1,38       | - 1,82          | + 0,17            |
| 51 | $\alpha$ Ceti         | - 0,10         | + 1,65       | + 1,10         | + 1,39             | + 1,01       | + 1,89       | - 0,01          | + 1,12            |
| 52 | $\beta$ Virginis      | - 0,23         | —            | + 1,17         | + 1,30             | - 0,97       | + 2,10       | —               | + 0,56            |
| 53 | $\alpha$ Aquarii      | - 0,15         | + 1,11       | + 1,45         | + 2,06             | + 1,71       | + 2,76       | + 0,46          | + 1,80            |
| 54 | $\alpha$ Hydrae       | - 0,42         | + 0,79       | + 0,39         | + 1,25             | + 1,08       | + 2,55       | + 0,28          | + 0,54            |
| 55 | $\beta$ Orionis       | - 0,08         | + 0,65       | + 0,92         | + 1,31             | + 1,49       | + 2,11       | - 0,49          | + 0,97            |
| 56 | $\alpha$ Virginis     | - 0,58         | + 0,68       | + 0,82         | + 1,18             | + 1,58       | + 2,28       | - 0,42          | + 0,47            |
| 57 | 1 $\alpha$ Capricorni | + 0,01         | —            | + 0,21         | + 2,99             | + 4,12       | + 4,20       | + 0,99          | + 2,19            |
| 58 | 2 $\alpha$ —          | - 0,64         | + 2,24       | + 1,71         | + 1,97             | + 3,47       | + 3,97       | + 0,67          | + 1,38            |
| 59 | 1 $\alpha$ Librae     | + 0,50         | + 1,61       | + 1,35         | + 2,90             | + 2,93       | + 3,80       | —               | + 1,02            |
| 60 | 2 $\alpha$ —          | + 0,61         | + 1,08       | + 1,53         | + 2,71             | + 2,16       | + 3,71       | + 0,81          | + 1,04            |
| 61 | $\alpha$ Canis maj.   | + 0,03         | + 0,37       | + 0,30         | + 1,02             | 0,90         | + 1,82       | - 1,28          | - 0,39            |
| 62 | $\alpha$ Scorpil      | + 0,87         | + 2,02       | + 3,38         | + 3,74             | + 3,43       | + 6,64       | + 2,44          | + 1,76            |

A. L. Busch.

Schreiben des Herrn *Rümcker*, Directors der Hamburger Sternwarte, an den Herausgeber.

Hamburg 1841. Febr. 17.

Ich habe die Ehre, Ihnen hiemit ein Register von in der Bahn des von Herrn *Bremiker* entdeckten Cometen gelegenen Sternen zuzusenden, welches vielleicht den Beobachtern dieses Cometen nicht ungelegen kommen mag.

Es bildet ein Bruchstück eines auf dieselbe Art eingerichteten Cataloges von etwa 8000 Sternen mehrentheils unter der 6<sup>ten</sup> Größe, welche ich auf der Hamburger Sternwarte mit dem *Repsold'schen* Meridiankreise beobachtet habe, der, wenn andere Berufs-Geschäfte mir die Mulse gestatten, in diesem Jahre zum Drucke befördert werden soll, daher ich mir jetzt die Freiheit nehme ihn den Freunden der Astronomie anzukündigen.

Dieser Catalog ist vom Jahre 1836, als das Jahr, in welchem ich den *Repsold'schen* Meridiankreis erhielt, datirt. Der sehr gegründete Rath des Herrn Geheimen Rathes *Bessel*, ihn von einem Decimal-Jahre zu datiren, kam zu spät, wie die Reduction schon zu weit vorgerückt war.

Die Constanten sind von dem Herrn *Georg Weyer* berechnet. Sie sind in der Ordnung der analogen Logarithmen *A B C D* im Nautical Almanac geordnet. Wo nicht expresse das Zeichen — steht, ist + zu verstehen.

Nachträglich noch einige seitdem unterm Pole beobachteten Sterne in derselben Bahn, welche zur Identification dienen können.

| AR. 1836.       | Jährl. Ver. | Decl. 1836.    | Jährl. Ver. | a        | b        | c        | d        | a'       | b'       | c'       | d'       |
|-----------------|-------------|----------------|-------------|----------|----------|----------|----------|----------|----------|----------|----------|
| 19° 21' 26" 966 | + 0' 830    | 60° 46' 39" 87 | + 6' 97     | + 8,6765 | - 9,1072 | + 9,9191 | + 8,6173 | + 0,0128 | + 9,8821 | + 0,8432 | + 9,9720 |
| 19 27 3,408     | 0,890       | 60 19 44,93    | 7,43        | 8,6985   | 9,0972   | 9,9494   | 8,6375   | 0,0094   | 9,5082   | 0,8711   | 9,9679   |
| 20 21 36,077    | 1,195       | 59 49 7,52     | 11,61       | 8,8856   | 9,0338   | 0,0775   | 8,8224   | 9,9651   | 9,6998   | 1,0649   | 9,9112   |
| 20 33 12,054    | 1,335       | 58 50 7,76     | 12,42       | 8,9022   | 9,0047   | 0,1254   | 8,6345   | 9,9523   | 9,7246   | 1,0941   | 9,8947   |
| 20 48 19,782    | 1,368       | 59 45 24,34    | 13,43       | 8,9480   | 8,9923   | 0,1359   | 8,8844   | 9,9344   | 9,7627   | 1,1281   | 9,8705   |

C. Rümker.

## Verzeichniß von Sternen in der scheinbaren Bahn des October 1840 im Drachen entdeckten Cometen.

| Grö-<br>ße. | Mittl. Rectasc.<br>1 Jan. 1836. | Z. d.<br>Beob. | Jährl.<br>Veränd. | Mittl. Decl.<br>1 Jan. 1836. | Z. d.<br>Beob. | Jährl.<br>Veränd. | Logarithmen der Constanten in Rectascens. |          |          |          | Logarithmen der Constanten in Declination. |          |          |          |
|-------------|---------------------------------|----------------|-------------------|------------------------------|----------------|-------------------|---|----------|----------|----------|--|----------|----------|----------|
|             |                                 |                |                   |                              |                |                   | a   | b        | c        | d        | a'   | b'       | c'       | d'       |
| 7           | 18° 58' 15" 474                 | 5              | + 0' 718          | 61° 11' 10" 07               | 5              | + 5' 04           | + 8,5414                                  | - 9,1267 | + 9,8561 | + 8,4838 | + 0,0241                                   | + 9,3429 | + 0,7024 | + 9,9858 |
|             | 18 59 6,343                     | 1              | 0,7716            | 61 38 29,68                  | 1              | 5,11              | 8,5401                                    | - 9,1189 | 9,8872   | 8,4804   | 0,0235                                     | 9,3469   | 0,7085   | 9,9854   |
| 9           | 19 1 11,042                     | 2              | 0,7586            | 60 49 18,20                  | 2              | 5,29              | 8,5571                                    | - 9,1201 | 9,8797   | 8,4982   | 0,0228                                     | 9,3623   | 0,7232   | 9,9844   |
| 7           | 19 5 3,944                      | 3              | 0,7501            | 62 2 27,14                   | 3              | 5,61              | 8,5862                                    | - 9,1212 | 9,8750   | 8,5282   | 0,0213                                     | 9,3893   | 0,7492   | 9,9823   |
|             | 19 6 9,083                      | 3              | 0,7766            | 60 48 11,76                  | 3              | 5,70              | 8,5900                                    | - 9,1173 | 9,8899   | 8,5310   | 0,0206                                     | 9,3953   | 0,7562   | 9,9816   |
|             | 19 9 29,758                     | 4              | 0,7856            | 60 48 39,56                  | 4              | 5,98              | 8,6109                                    | - 9,1155 | 9,8950   | 8,5519   | 0,0190                                     | 9,4161   | 0,7770   | 9,9797   |
| 7           | 19 15 57,654                    | 8              | 0,8216            | 60 39 25,83                  | 7              | 6,52              | 8,6462                                    | - 9,1094 | 9,9142   | 8,5866   | 0,0158                                     | 9,4529   | 0,8144   | 9,9757   |
|             | 19 21 54,160                    | 3              | 0,8216            | 60 52 48,47                  | 3              | 7,01              | 8,6805                                    | - 9,1064 | 9,9142   | 8,6219   | 0,0127                                     | 9,4851   | 0,8457   | 9,9717   |
| 8           | 19 29 22,120                    | 2              | 0,8833            | 60 30 57,57                  | 2              | 7,62              | 8,7118                                    | - 9,0979 | 9,9458   | 8,6515   | 0,0081                                     | 9,5198   | 0,8819   | 9,9661   |
|             | 19 47 51,399                    | 1              | 0,9644            | 60 29 6,11                   | 1              | 9,09              | 8,7881                                    | - 9,0815 | 9,9841   | 8,7277   | 0,9954                                     | 9,5953   | 0,9585   | 9,9500   |
|             | 19 52 2,271                     | 3              | 0,9911            | 60 23 23,26                  | 3              | 9,41              | 8,8019                                    | - 9,0761 | 9,9962   | 8,7412   | 0,9922                                     | 9,6110   | 0,9736   | 9,9459   |
| 6.7         | 19 53 46,185                    | 1              | 1,0477            | 59 50 21,00                  | 1              | 9,54              | 8,8006                                    | - 9,0659 | 0,0198   | 8,7374   | 0,9905                                     | 9,6146   | 0,9797   | 9,9441   |
|             | 19 55 12,798                    | 2              | 1,0076            | 60 24 27,40                  | 1              | 9,66              | 8,8132                                    | - 9,0729 | 0,0029   | 8,7525   | 0,9895                                     | 9,6222   | 0,9848   | 9,9426   |
|             | 19 57 13,114                    | 1              | 1,0176            | 60 24 24,19                  | 1              | 9,81              | 8,8201                                    | - 9,0708 | 0,0072   | 8,7594   | 0,9879                                     | 9,6291   | 0,9917   | 9,9405   |
|             | 19 59 43,359                    | 1              | 0,6564            | 61 21 45,69                  | 1              | 9,99              | 8,8555                                    | - 9,1256 | 9,8169   | 8,8404   | 0,9865                                     | 9,6528   | 0,9997   | 9,9379   |
| 7           | 20 0 48,363                     | 2              | 1,0226            | 60 34 0,42                   | 2              | 10,08             | 8,8341                                    | - 9,0691 | 0,0094   | 8,7740   | 0,9850                                     | 9,6416   | 1,0035   | 9,9366   |
|             | 20 3 54,240                     | 1              | 1,0676            | 60 12 20,78                  | 1              | 10,31             | 8,8391                                    | - 9,0608 | 0,0283   | 8,7755   | 0,9822                                     | 9,6499   | 1,0134   | 9,9332   |
|             | 20 6 34,435                     | 4              | 1,1055            | 59 55 4,96                   | 4              | 10,51             | 8,8436                                    | - 9,0539 | 0,0432   | 8,7808   | 0,9797                                     | 9,6570   | 1,0217   | 9,9301   |
|             | 20 9 9,125                      | 2              | 1,1255            | 59 49 57,29                  | 1              | 10,71             | 8,8505                                    | - 9,0498 | 0,0513   | 8,7872   | 0,9772                                     | 9,6645   | 1,0296   | 9,9270   |
|             | 20 9 50,376                     | 3              | 1,1255            | 59 53 16,83                  | 3              | 10,75             | 8,8532                                    | - 9,0497 | 0,0510   | 8,7902   | 0,9766                                     | 9,6667   | 1,0316   | 9,9262   |
| 6           | 20 10 26,229                    | 6              | 1,1056            | 60 8 26,77                   | 6              | 10,80             | 8,8583                                    | - 9,0523 | 0,0445   | 8,7963   | 0,9762                                     | 9,6696   | 1,0334   | 9,9255   |
|             | 20 13 59,116                    | 1              | 1,1036            | 60 26 36,77                  | 1              | 11,05             | 8,8722                                    | - 9,0521 | 0,0424   | 8,8116   | 0,9730                                     | 9,6808   | 1,0433   | 9,9213   |
|             | 20 14 20,863                    | 2              | 1,1575            | 59 47 47,00                  | 2              | 11,10             | 8,8655                                    | - 9,0427 | 0,0634   | 8,8021   | 0,9722                                     | 9,6799   | 1,0452   | 9,9205   |
| prae.       | 20 15 48,975                    | 3              | 1,1416            | 60 6 9,94                    | 3              | 11,19             | 8,8733                                    | - 9,0451 | 0,0571   | 8,8113   | 0,9710                                     | 9,6850   | 1,0489   | 9,9188   |
|             | 20 17 30,210                    | 3              | 1,1665            | 59 54 8,77                   | 3              | 11,31             | 8,8753                                    | - 9,0402 | 0,0666   | 8,8124   | 0,9693                                     | 9,6888   | 1,0536   | 9,9166   |
|             | 20 20 40,346                    | 1              | 1,2465            | 59 3 56,77                   | 1              | 11,54             | 8,8734                                    | - 9,0254 | 0,0953   | 8,8068   | 0,9658                                     | 9,6939   | 1,0623   | 9,9125   |
|             | 20 21 56,006                    | 1              | 1,1915            | 59 53 59,30                  | 1              | 11,63             | 8,8874                                    | - 9,0344 | 0,0760   | 8,8245   | 0,9649                                     | 9,7009   | 1,0657   | 9,9108   |
|             | 20 21 57,001                    | 4              | 1,2235            | 59 28 37,04                  | 4              | 11,63             | 8,8819                                    | - 9,0288 | 0,0875   | 8,8171   | 0,9646                                     | 9,6990   | 1,0657   | 9,9107   |
|             | 20 21 58,592                    | 1              | 1,1246            | 60 45 46,48                  | 1              | 11,64             | 8,8991                                    | - 9,0459 | 0,0508   | 8,8400   | 0,9649                                     | 9,7047   | 1,0658   | 9,9107   |
|             | 20 22 24,240                    | 3              | 1,2135            | 59 38 25,07                  | 3              | 11,67             | 8,8854                                    | - 9,0304 | 0,0840   | 8,8212   | 0,9642                                     | 9,7009   | 1,0659   | 9,9101   |
| 7.8         | 20 25 3,217                     | 1              | 1,2245            | 59 42 43,31                  | 1              | 11,85             | 8,8932                                    | - 9,0277 | 0,0878   | 8,8294   | 0,9615                                     | 9,7083   | 1,0739   | 9,9065   |
|             | 20 27 34,496                    | 1              | 1,2675            | 59 19 12,17                  | 2              | 12,03             | 8,8945                                    | - 9,0190 | 0,1029   | 8,8290   | 0,9587                                     | 9,7129   | 1,0803   | 9,9029   |
|             | 20 27 37,754                    | 2              | 1,1756            | 60 33 22,21                  | 2              | 12,03             | 8,9108                                    | - 9,0352 | 0,0701   | 8,8508   | 0,9589                                     | 9,7185   | 1,0804   | 9,9029   |
| 5.6         | 20 28 26,708                    | 5              | 1,2595            | 59 30 20,38                  | 5              | 12,09             | 8,8990                                    | - 9,0202 | 0,0999   | 8,8344   | 0,9578                                     | 9,7159   | 1,0824   | 9,9017   |
|             | 20 28 43,075                    | 1              | 1,2358            | 59 52 8,70                   | 1              | 12,11             | 8,9045                                    | - 9,0245 | 0,0915   | 8,8414   | 0,9576                                     | 9,7183   | 1,0832   | 9,9013   |

| Grö-<br>ße. | Mittl. Rectasc.<br>1 Jan. 1836. |    | Z. d.<br>Beob. | Jährl.<br>Veränd. | Mittl. Decl.<br>1 Jan. 1836. |    | Z. d.<br>Beob. | Jährl.<br>Veränd. | Logarithmen der Constanten in Rectascens. |         |         |         | Logarithmen der Constanten in Declination. |         |         |         |
|-------------|---------------------------------|----|----------------|-------------------|------------------------------|----|----------------|-------------------|---|---------|---------|---------|--|---------|---------|---------|
|             | a                               | b  |                |                   | c                            | d  |                |                   | a'  | b'      | c'      | d'      | a'   | b'      | c'      | d'      |
|             | 20° 32' 48,746                  | 1  |                | +0,921            | 63° 56' 21,91                | 1  | +12' 39        |                   | +8,9722                                   | -9,0764 | +9,9644 | +8,9256 | +9,9526                                    | +9,7446 | +1,0931 | +9,8954 |
|             | 20 34 30,038                    | 1  |                | 1,221             | 60 31 40,71                  | 1  | 12,51          |                   | 8,9272                                    | -9,0247 | 0,0866  | 8,8670  | 9,9512                                     | 9,7351  | 1,0972  | 9,8928  |
|             | 20 36 16,899                    | 6  |                | 1,333             | 59 7 23,16                   | 6  | 12,63          |                   | 8,9132                                    | -9,0036 | 0,1249  | 8,8469  | 9,9488                                     | 9,7332  | 1,1015  | 9,8900  |
|             | 20 46 57,913                    | 1  |                | 1,364             | 59 40 51,09                  | 1  | 13,34          |                   | 8,9442                                    | -9,9936 | 0,1348  | 8,8603  | 9,9631                                     | 9,7595  | 1,1253  | 9,8728  |
|             | 20 49 5,282                     | 2  |                | 1,450             | 58 34 11,01                  | 2  | 13,48          |                   | 8,9345                                    | -8,9759 | 0,1614  | 8,8657  | 9,9333                                     | 9,7389  | 1,1297  | 9,8692  |
| 6           | 20 50 51,559                    | 1  |                | 1,597             | 56 17 18,24                  | 1  | 13,60          |                   | 8,9111                                    | -8,9457 | 0,2032  | 8,8312  | 9,9305                                     | 9,7516  | 1,1334  | 9,8661  |
|             | 20 51 53,641                    | 1  |                | 1,605             | 56 15 31,63                  | 1  | 13,66          |                   | 8,9128                                    | -8,9436 | 0,2054  | 8,8326  | 9,9291                                     | 9,7534  | 1,1353  | 9,8643  |
|             | 20 53 6,945                     | 2  |                | 1,501             | 58 11 5,39                   | 2  | 13,74          |                   | 8,9380                                    | -8,9640 | 0,1763  | 8,8673  | 9,9281                                     | 9,7654  | 1,1380  | 9,8621  |
|             | 20 53 34,368                    | 2  |                | 1,503             | 58 11 18,79                  | 2  | 13,77          |                   | 8,9390                                    | -8,9633 | 0,1770  | 8,8683  | 9,9275                                     | 9,7663  | 1,1389  | 9,8613  |
|             | 21 0 22,741                     | 11 |                | 1,566             | 57 52 4,87                   | 11 | 14,19          |                   | 8,9483                                    | -8,9469 | 0,1948  | 8,8761  | 9,9184                                     | 9,7780  | 1,1521  | 9,8488  |
|             | 21 1 9,367                      | 1  |                | 1,609             | 57 47 25,28                  | 1  | 14,55          |                   | 8,9581                                    | -8,9447 | 0,2060  | 8,8856  | 9,9102                                     | 9,7883  | 1,1628  | 9,8379  |
|             | 21 7 18,204                     | 9  |                | 1,617             | 57 47 22,77                  | 8  | 14,62          |                   | 8,9602                                    | -8,9323 | 0,2088  | 8,8876  | 9,9055                                     | 9,7904  | 1,1649  | 9,8351  |
|             | 21 7 25,123                     | 2  |                | 1,627             | 57 36 49,73                  | 3  | 14,62          |                   | 8,9581                                    | -8,9300 | 0,2115  | 8,8847  | 9,9085                                     | 9,7897  | 1,1650  | 9,8350  |
|             | 21 8 44,121                     | 3  |                | 1,629             | 57 44 58,91                  | 1  | 14,70          |                   | 8,9621                                    | -8,9290 | 0,2118  | 8,8893  | 9,9063                                     | 9,7926  | 1,1673  | 9,8350  |
| 9           | 21 8 54,067                     | 1  |                | 1,627             | 57 48 58,40                  | 1  | 14,71          |                   | 8,9632                                    | -8,9294 | 0,2113  | 8,8907  | 9,9052                                     | 9,7932  | 1,1676  | 9,8319  |
| dupl.       | 21 9 35,668                     | 7  |                | 1,642             | 57 37 13,76                  | 7  | 14,75          |                   | 8,9620                                    | -8,9256 | 0,2154  | 8,8886  | 9,9053                                     | 9,7935  | 1,1688  | 9,8305  |
|             | 21 11 36,626                    | 1  |                | 1,655             | 57 38 30,62                  | 1  | 14,87          |                   | 8,9658                                    | -8,9217 | 0,2187  | 8,8923  | 9,9023                                     | 9,7971  | 1,1723  | 9,8263  |
|             | 21 14 49,346                    | 10 |                | 1,677             | 57 38 1,06                   | 10 | 15,06          |                   | 8,9711                                    | -8,9148 | 0,2246  | 8,8977  | 9,8975                                     | 9,8025  | 1,1777  | 9,8195  |
|             | 21 15 41,768                    | 1  |                | 1,709             | 57 8 5,26                    | 1  | 15,11          |                   | 8,9667                                    | -8,9070 | 0,2324  | 8,8909  | 9,8961                                     | 9,8015  | 1,1792  | 9,8176  |
|             | 21 16 29,020                    | 1  |                | 1,434             | 61 49 51,54                  | 1  | 15,15          |                   | 9,0284                                    | -8,9658 | 0,1567  | 8,9737  | 9,8931                                     | 9,8238  | 1,1804  | 9,8159  |
|             | 21 20 16,742                    | 4  |                | 1,729             | 57 22 27,97                  | 4  | 15,37          |                   | 8,9769                                    | -8,8996 | 0,2377  | 8,9023  | 9,8890                                     | 9,8101  | 1,1866  | 9,8074  |
|             | 21 20 28,400                    | 3  |                | 1,725             | 57 27 33,99                  | 3  | 15,38          |                   | 8,9782                                    | -8,9002 | 0,2369  | 8,9040  | 9,8887                                     | 9,8108  | 1,1869  | 9,8070  |
|             | 21 20 50,132                    | 2  |                | 57 34             |                              |    |                |                   |   |         |         |         |  |         |         |         |
|             | 21 23 23,674                    | 1  |                | 1,832             | 55 40 39,11                  | 1  | 15,54          |                   | 8,9624                                    | -8,8731 | 0,2629  | 8,8793  | 9,8844                                     | 9,8066  | 1,1915  | 9,8003  |
|             | 21 27 30,777                    | 1  |                | 0,821             | 69 50 31,13                  | 1  | 15,76          |                   | 9,1823                                    | -9,0771 | 9,9145  | 9,1548  | 9,8628                                     | 9,8682  | 1,1976  | 9,7907  |
|             | 21 33 16,266                    | 1  |                | 1,862             | 56 30 13,88                  | 1  | 16,07          |                   | 8,9863                                    | -8,8583 | 0,2700  | 8,9074  | 9,8678                                     | 9,8253  | 1,2061  | 9,7762  |
|             | 21 33 31,113                    | 1  |                | 1,609             | 61 20 41,01                  | 1  | 16,08          |                   | 9,0475                                    | -8,9188 | 0,2066  | 8,9908  | 9,8643                                     | 9,8477  | 1,2063  | 9,7757  |
| tripl.      | 21 33 52,539                    | 1  |                | 1,855             | 56 44 58,22                  | 1  | 16,10          |                   | 8,9899                                    | -8,8595 | 0,2654  | 8,9122  | 9,8666                                     | 9,8273  | 1,2069  | 9,7746  |
|             | 21 34 19,444                    | 1  |                | 1,866             | 56 34 16,67                  | 1  | 16,12          |                   | 8,9885                                    | -8,8564 | 0,2709  | 8,9100  | 9,8660                                     | 9,8271  | 1,2075  | 9,7735  |
|             | 21 34 21,619                    | 1  |                | 56 44             |                              |    |                |                   |   |         |         |         |  |         |         |         |
|             | 21 35 17,671                    | 1  |                | 1,978             | 54 7 42,83                   | 1  | 16,18          |                   | 8,9630                                    | -8,8269 | 0,2962  | 8,8717  | 9,8648                                     | 9,8157  | 1,2089  | 9,7709  |
|             | 21 36 27,888                    | 1  |                | 50 36             |                              |    |                |                   |   |         |         |         |  |         |         |         |
|             | 21 37 16,727                    | 1  |                | 1,869             | 56 59 19,70                  | 1  | 16,28          |                   | 8,9974                                    | -8,8536 | 0,2715  | 8,9209  | 9,8606                                     | 9,8332  | 1,2116  | 9,7659  |
|             | 21 38 10,379                    | 2  |                | 1,907             | 56 16 25,19                  | 2  | 16,32          |                   | 8,9903                                    | -8,8429 | 0,2804  | 8,9103  | 9,8594                                     | 9,8309  | 1,2128  | 9,7635  |
|             | 21 40 43,075                    | 1  |                | 1,727             | 60 22 0,83                   | 1  | 16,45          |                   | 9,0441                                    | -8,8864 | 0,2374  | 8,9832  | 9,8518                                     | 9,8534  | 1,2162  | 9,7566  |
|             | 21 42 19,846                    | 1  |                | 1,931             | 56 24 43,56                  | 1  | 16,53          |                   | 8,9974                                    | -8,8332 | 0,2857  | 9,8181  | 9,8518                                     | 9,8370  | 1,2183  | 9,7522  |
|             | 21 43 10,688                    | 1  |                | 1,907             | 57 5 34,50                   | 1  | 16,58          |                   | 9,0066                                    | -8,8387 | 0,2804  | 8,9306  | 9,8498                                     | 9,8417  | 1,2195  | 9,7497  |
|             | 21 44 57,978                    | 1  |                | 55 1              |                              |    |                |                   |   |         |         |         |  |         |         |         |
|             | 21 44 58,426                    | 1  |                | 2,007             | 55 1 42,43                   | 1  | 16,66          |                   | 8,9855                                    | -8,8104 | 0,3025  | 8,8990  | 9,8476                                     | 9,8333  | 1,2217  | 9,7447  |
|             | 21 46 27,884                    | 1  |                | 2,017             | 55 1 24,35                   | 1  | 16,73          |                   | 8,9873                                    | -8,8061 | 0,3046  | 8,9009  | 9,8448                                     | 9,8352  | 1,2236  | 9,7405  |
|             | 21 46 28,596                    | 2  |                | 55 1 42,30        | 2                            |    |                |                   |   |         |         |         |  |         |         |         |
|             | 21 47 35,796                    | 10 |                | 2,009             | 55 26 29,96                  | 11 | 16,79          |                   | 8,9932                                    | -8,8073 | 0,3029  | 8,9089  | 9,8425                                     | 9,8388  | 1,2250  | 9,7372  |
|             | 21 52 24,107                    | 1  |                | 2,063             | 54 55 42,42                  | 1  | 17,01          |                   | 8,9934                                    | -8,7875 | 0,3144  | 8,9064  | 9,8337                                     | 9,8419  | 1,2308  | 9,7230  |
|             | 21 53 47,028                    | 1  |                | 2,105             | 54 2 9,58                    | 1  | 17,08          |                   | 8,9855                                    | -8,7737 | 0,3232  | 8,8937  | 9,8314                                     | 9,8386  | 1,2324  | 9,7187  |
|             | 21 54 28,268                    | 3  |                | 54 50 5,11        | 3                            |    |                |                   |   |         |         |         |  |         |         |         |
|             | 21 54 33,005                    | 2  |                | 2,082             | 54 47 54,72                  | 4  | 17,11          |                   | 8,9945                                    | -8,7795 | 0,3185  | 8,9068  | 9,8296                                     | 9,8437  | 1,2333  | 9,7164  |
|             | 21 55 27,942                    | 1  |                | 2,103             | 54 25 26,09                  | 1  | 17,16          |                   | 8,9917                                    | -8,7727 | 0,3228  | 8,9019  | 9,8280                                     | 9,8428  | 1,2344  | 9,7135  |
|             | 21 55 46,246                    | 1  |                | 54 21             |                              |    |                |                   |   |         |         |         |  |         |         |         |
|             | 21 57 29,672                    | 1  |                | 2,128             | 54 5 17,96                   | 1  | 17,24          |                   | 8,9903                                    | -8,7627 | 0,3280  | 8,8987  | 9,8243                                     | 9,8431  | 1,2366  | 9,7071  |
|             | 21 59 6,558                     | 1  |                | 2,133             | 54 17 1,54                   | 1  | 17,32          |                   | 8,9943                                    | -8,7595 | 0,3291  | 8,9038  | 9,8205                                     | 9,8461  | 1,2385  | 9,7018  |



|                            |    |    |                    |    |    |       |         |         |         |         |         |         |         |         |
|----------------------------|----|----|--------------------|----|----|-------|---------|---------|---------|---------|---------|---------|---------|---------|
| 22 <sup>b</sup> 0' 25" 546 | 3  | 1  | 2' 136 54 26 59 61 | 3  | 1  | 17 37 | +8,9974 | -8,7569 | +0,3297 | +8,9078 | +9,8180 | +9,8484 | +1,2399 | +9,6975 |
| 22 1 45 3                  | 1  | 1  | 2,157 54 7 40 42   | 1  | 1  | 17,43 | 8,9954  | -8,7491 | 0,3338  | 8,9041  | 9,8156  | 9,8481  | 1,2413  | 9,6931  |
| 22 2 5,810                 | 6  | 6  | 2,159 54 8 42,14   | 6  | 6  | 17,45 | 8,9960  | -8,7482 | 0,3342  | 8,9047  | 9,8148  | 9,8485  | 1,2417  | 9,6920  |
| 22 2 20,264                | 1  | 1  | 2,140 54 44 16,33  | 1  | 1  | 17,46 | 9,0026  | -8,7537 | 0,3304  | 8,9146  | 9,8140  | 9,8521  | 1,2420  | 9,6912  |
| 22 4 0,478                 | 1  | 1  | 2,185 53 45 11,97  | 1  | 1  | 17,53 | 8,9939  | -8,7376 | 0,3394  | 8,9003  | 9,8112  | 9,8484  | 1,2437  | 9,6855  |
| 22 4 48,318                | 1  | 1  | 2,185 53 54 7,43   | 1  | 1  | 17,56 | 8,9963  | -8,7364 | 0,3395  | 8,9037  | 9,8095  | 9,8501  | 1,2446  | 9,6828  |
| 22 7 4,585                 | 1  | 1  | 2,193 54 6 10,00   | 1  | 1  | 17,66 | 9,0008  | -8,7307 | 0,3414  | 8,9093  | 9,8043  | 9,8535  | 1,2469  | 9,6749  |
| 22 7 20,600                | 1  | 1  | 54 5               |    |    |       |         |         |         |         |         |         |         |         |
| 22 8 6,974                 | 2  | 2  | 2,214 53 44 4,51   | 2  | 2  | 17,70 | 8,9980  | -8,7231 | 0,3432  | 8,9045  | 9,8027  | 9,8526  | 1,2480  | 9,6712  |
| 22 11 58,109               | 1  | 1  | 2,219 54 27 45,50  | 1  | 1  | 17,85 | 9,0094  | -8,7186 | 0,3461  | 8,9198  | 9,7936  | 9,8603  | 1,2517  | 9,6572  |
| 22 12 40,223               | 1  | 1  | 2,245 53 45 24,84  | 1  | 1  | 17,88 | 9,0027  | -8,7067 | 0,3513  | 8,9571  | 9,7928  | 9,8571  | 1,2524  | 9,6545  |
| 22 14 5,578                | 2  | 2  | 2,182 56 5 42,92   | 2  | 2  | 17,94 | 9,0293  | -8,7265 | 0,3388  | 8,9484  | 9,7868  | 9,8710  | 1,2538  | 9,6491  |
| 22 14 18,969               | 1  | 1  | 2,279 52 59 30,69  | 1  | 1  | 17,95 | 8,9963  | -8,6927 | 0,3578  | 8,9987  | 9,7799  | 9,8544  | 1,2540  | 9,6463  |
| 22 15 9,776                | 1  | 1  | 2,272 53 4 44,41   | 1  | 1  | 17,98 | 8,9981  | -8,6902 | 0,3584  | 8,9009  | 9,7880  | 9,8557  | 1,2548  | 9,6450  |
| 22 16 58,132               | 1  | 1  | 2,235 55 8 8,85    | 1  | 1  | 18,05 | 9,0214  | -8,7048 | 0,3492  | 8,9354  | 9,7815  | 9,8687  | 1,2565  | 9,6380  |
| 22 21 21,212               | 3  | 3  | 2,348 52 8 0,35    | 2  | 2  | 18,21 | 8,9965  | -8,6573 | 0,3707  | 8,9835  | 9,7749  | 9,8565  | 1,2604  | 9,6203  |
| 22 21 43,639               | 1  | 1  | 2,346 52 26 15,33  | 1  | 1  | 18,23 | 8,9976  | -8,6576 | 0,3703  | 8,9867  | 9,7739  | 9,8579  | 1,2607  | 9,6188  |
| 22 22 49,171               | 7  | 7  | 2,360 52 11 18,17  | 7  | 7  | 18,26 | 8,9960  | -8,6506 | 0,3729  | 8,9837  | 9,7717  | 9,8573  | 1,2616  | 9,6143  |
| 22 23 9,190                | 1  | 1  | 52 11              |    |    |       |         |         |         |         |         |         |         |         |
| 22 25 30,259               | 2  | 2  | 2,378 52 11 21,51  | 2  | 2  | 18,36 | 8,9964  | -8,6392 | 0,3762  | 8,9860  | 9,7654  | 9,8596  | 1,2639  | 9,6028  |
| 22 25 50,098               | 2  | 2  | 2,375 52 22 48,52  | 2  | 2  | 18,37 | 9,0006  | -8,6397 | 0,3757  | 8,9894  | 9,7644  | 9,8611  | 1,2642  | 9,6014  |
| 22 26 49,930               | 2  | 2  | 2,381 54 24 51,59  | 2  | 2  | 18,41 | 9,0017  | -8,6357 | 0,3768  | 8,9907  | 9,7620  | 9,8621  | 1,2650  | 9,5971  |
| 22 28 22,497               | 1  | 1  | 2,399 52 8 40,13   | 1  | 1  | 18,46 | 9,0003  | -8,6262 | 0,3800  | 8,9977  | 9,7586  | 9,8617  | 1,2662  | 9,5902  |
| 22 29 5,112                | 1  | 1  | 2,399 52 21 18,81  | 1  | 1  | 18,48 | 9,0029  | -8,6250 | 0,3800  | 8,9015  | 9,7566  | 9,8635  | 1,2668  | 9,5870  |
| 22 30 24,537               | 1  | 1  | 2,438 51 3 8,52    | 1  | 1  | 18,53 | 8,9915  | -8,6063 | 0,3871  | 8,9823  | 9,7551  | 9,8658  | 1,2679  | 9,5808  |
| 22 33 34,784               | 1  | 1  | 2,452 51 24 35,28  | 1  | 1  | 18,63 | 8,9973  | -8,5955 | 0,3895  | 8,9902  | 9,7470  | 9,8614  | 1,2703  | 9,5661  |
| 22 33 52,630               | 1  | 1  | 2,436 52 12 25,59  | 1  | 1  | 18,64 | 9,0052  | -8,6012 | 0,3867  | 8,9929  | 9,7450  | 9,8664  | 1,2705  | 9,5646  |
| 22 34 1,212                | 1  | 1  | 2,473 50 31 49,67  | 1  | 1  | 18,65 | 8,9894  | -8,5846 | 0,3933  | 8,9770  | 9,7472  | 9,8568  | 1,2706  | 9,5639  |
| 22 36 27,721               | 8  | 8  | 2,489 50 37 16,91  | 4  | 4  | 18,72 | 8,9918  | -8,5732 | 0,3960  | 8,9798  | 9,7411  | 9,8585  | 1,2724  | 9,5519  |
| 22 37 25,015               | 10 | 10 | 2,495 50 35 14,74  | 10 | 10 | 18,75 | 8,9924  | -8,5685 | 0,3970  | 8,9804  | 9,7388  | 9,8592  | 1,2731  | 9,5473  |
| 22 38 28,633               | 1  | 1  | 2,502 50 35        |    |    | 18,78 | 8,9931  | -8,5631 | 0,3983  | 8,9810  | 9,7360  | 9,8598  | 1,2738  | 9,5419  |
| 22 43 4,882                | 2  | 2  | 2,529 50 48 26,05  | 1  | 1  | 18,92 | 8,9983  | -8,5409 | 0,4029  | 8,9876  | 9,7240  | 9,8644  | 1,2770  | 9,5177  |
| 22 43 8,963                | 7  | 7  | 2,548 49 48 34,84  | 7  | 7  | 18,92 | 8,9892  | -8,5313 | 0,4062  | 8,9722  | 9,7254  | 9,8581  | 1,2770  | 9,5172  |
| 22 43 55,141               | 3  | 3  | 2,535 50 44 42,75  | 3  | 3  | 18,95 | 8,9983  | -8,5357 | 0,4040  | 8,9872  | 9,7217  | 9,8645  | 1,2775  | 9,5130  |
| 22 45 12,416               | 1  | 1  | 2,543 50 49 10,59  | 1  | 1  | 18,98 | 8,9997  | -8,5293 | 0,4053  | 8,9891  | 9,7122  | 9,8658  | 1,2783  | 9,5060  |
| 22 45 34,725               | 4  | 4  | 2,563 49 50 7,89   | 4  | 4  | 18,99 | 8,9910  | -8,5181 | 0,4068  | 8,9742  | 9,7192  | 9,8599  | 1,2786  | 9,5038  |
| 22 47 42,840               | 4  | 4  | 2,573 50 5 30,92   | 5  | 5  | 19,05 | 8,9947  | -8,5081 | 0,4104  | 8,9795  | 9,7128  | 9,8628  | 1,2799  | 9,4914  |
| 22 47 51,325               | 2  | 2  | 50 5               |    |    |       |         |         |         |         |         |         |         |         |
| 22 50 23,509               | 1  | 1  | 2,579 50 47 18,98  | 1  | 1  | 19,12 | 9,0028  | -8,4988 | 0,4114  | 8,9919  | 9,7041  | 9,8689  | 1,2816  | 9,4757  |
| 22 51 23,962               | 4  | 4  | 2,616 48 58 35,72  | 4  | 4  | 19,15 | 8,9864  | -8,4762 | 0,4175  | 8,9647  | 9,7053  | 9,8579  | 1,2822  | 9,4695  |
| 22 51 37,114               | 1  | 1  | 2,597 50 8 19,40   | 1  | 1  | 19,16 | 8,9975  | -8,4854 | 0,4145  | 8,9827  | 9,7023  | 9,8656  | 1,2823  | 9,4683  |
| 22 53 26,778               | 4  | 4  | 2,627 49 4 39,14   | 4  | 4  | 19,20 | 8,9890  | -8,4645 | 0,4194  | 8,9673  | 9,6996  | 9,8597  | 1,2833  | 9,4569  |
| 22 54 47,366               | 1  | 1  | 2,631 49 19 19,41  | 1  | 1  | 19,24 | 8,9920  | -8,4580 | 0,4202  | 8,9719  | 9,6953  | 9,8621  | 1,2841  | 9,4482  |
| 22 55 53,447               | 1  | 1  | 2,642 49 4 7,81    | 1  | 1  | 19,26 | 8,9903  | -8,4484 | 0,4220  | 8,9686  | 9,6928  | 9,8610  | 1,2847  | 9,4409  |
| 22 56 50,322               | 7  | 7  | 2,647 49 9 43,06   | 7  | 7  | 19,28 | 8,9917  | -8,4432 | 0,4228  | 8,9705  | 9,6899  | 9,8621  | 1,2852  | 9,4348  |
| 22 57 48,300               | 1  | 1  | 2,653 49 13 50,06  | 2  | 2  | 19,31 | 8,9928  | -8,4371 | 0,4237  | 8,9721  | 9,6870  | 9,8631  | 1,2857  | 9,4281  |
| 23 5 3,365                 | 2  | 2  | 2,709 48 30 41,85  | 2  | 2  | 19,47 | 8,9901  | -8,3782 | 0,4328  | 8,9647  | 9,6677  | 9,8619  | 1,2893  | 9,3755  |
| 23 9 7,664                 | 1  | 1  | 2,757 46 38 17,42  | 1  | 1  | 19,55 | 8,9764  | -8,3299 | 0,4404  | 8,9379  | 9,6609  | 9,8507  | 1,2911  | 9,3427  |
| 23 13 57,477               | 4  | 4  | 2,787 46 27 12,26  | 5  | 5  | 19,64 | 8,9769  | -8,2856 | 0,4452  | 8,9371  | 9,6470  | 9,8514  | 1,2931  | 9,2999  |
| 23 15 13,567               | 4  | 4  | 2,793 46 43 3,19   | 5  | 5  | 19,66 | 8,9795  | -8,2758 | 0,4460  | 8,9416  | 9,6424  | 9,8538  | 1,2936  | 9,2880  |
| 23 19 21,956               | 1  | 1  | 2,818 46 41 48,61  | 1  | 1  | 19,72 | 8,9808  | -8,2341 | 0,4499  | 8,9428  | 9,6293  | 9,8551  | 1,2950  | 9,2464  |
| 23 21 52,308               | 1  | 1  | 2,820 48 12 15,63  | 1  | 1  | 19,76 | 8,9840  | -8,2096 | 0,4502  | 8,9665  | 9,6150  | 9,8664  | 1,2958  | 9,2195  |
| 23 22 19,540               | 1  | 1  | 48 14              |    |    |       |         |         |         |         |         |         |         |         |
| 23 22 29,284               | 2  | 2  | 2,725 57 38 47,26  | 2  | 2  | 19,77 | 9,0897  | -8,3074 | 0,4353  | 9,0164  | 9,5680  | 9,9209  | 1,2961  | 9,2119  |
| 23 24 6,882                | 1  | 1  | 2,860 44 59 8,03   | 1  | 1  | 19,80 | 8,9690  | -8,1672 | 0,4564  | 8,9183  | 9,6203  | 9,8441  | 1,2966  | 9,1929  |

| Grö-<br>ße. | Mittl. Rectasc.<br>1 Jan. 1836. | Z. d.<br>Beob. | Jährl.<br>Veränd. | Mittl. Decl.<br>1 Jan. 1836. | Z. d.<br>Beob. | Jährl.<br>Veränd. | Logarithmen der Constanten in Rectascen. |         |         |         | Logarithmen der Constanten in Declination. |         |         |         |
|-------------|---------------------------------|----------------|-------------------|------------------------------|----------------|-------------------|--|---------|---------|---------|--|---------|---------|---------|
|             |                                 |                |                   |                              |                |                   | a  | b       | c       | d       | a'   | b'      | c'      | d'      |
|             | 23° 25' 55" 082                 | 1              | +2° 655           | 45° 46' 39" 89               | 1              | +19° 82           | +8,9756                                  | -8,1509 | +0,4571 | +8,8309 | +9,6115                                    | +9,8505 | +1,2971 | +9,1705 |
|             | 23 28 51,692                    | 1              | 2,9034            | 24 24 9,80                   | 1              | 19,86             | 8,9516                                   | -8,0873 | 0,4628  | 8,7804  | 9,6147                                     | 9,8248  | 1,2979  | 9,1317  |
|             | 23 30 6,761                     | 1              | 2,9094            | 21 38,65                     | 1              | 19,87             | 8,9516                                   | -8,0693 | 0,4638  | 8,7801  | 9,6110                                     | 9,8248  | 1,2982  | 9,1140  |
|             | 23 32 22,500                    | 1              | 2,9163            | 48 26 34,00                  | 1              | 19,89             | 8,9596                                   | -8,0427 | 0,4648  | 8,7968  | 9,5997                                     | 9,8340  | 1,2987  | 9,0799  |
| 5           | 23 39 8,894                     | 1              | 2,9344            | 47 44 12,61                  | 1              | 19,96             | 8,9944                                   | -7,9559 | 0,4674  | 8,8636  | 9,5556                                     | 9,8675  | 1,3001  | 8,9597  |
|             | 23 39 57,226                    | 1              | 2,96940           | 11 54,55                     | 1              | 19,96             | 8,9392                                   | -7,8823 | 0,4726  | 8,7491  | 9,5886                                     | 9,8082  | 1,3002  | 8,9414  |
|             | 23 42 44,625                    | 2              | 2,98340           | 15 6,67                      | 2              | 19,98             | 8,9400                                   | -7,8174 | 0,4747  | 8,7504  | 9,5796                                     | 9,8091  | 1,3007  | 8,8754  |
|             | 23 47 7,452                     | 4              | 3,00540           | 10 14,17                     | 4              | 20,01             | 8,9400                                   | -7,6892 | 0,4778  | 8,7496  | 9,5656                                     | 9,8089  | 1,3012  | 8,7485  |
| 6           | 23 47 18,077                    | 1              | 2,97451           | 49 21,48                     | 1              | 20,01             | 9,0322                                   | -7,7763 | 0,4733  | 8,9276  | 9,4937                                     | 9,8948  | 1,3012  | 8,7434  |
|             | 23 48 49,230                    | 2              | 3,01240           | 18 55,26                     | 2              | 20,02             | 8,9412                                   | -7,6293 | 0,4789  | 8,7521  | 9,5592                                     | 9,8104  | 1,3014  | 8,6876  |
|             | 23 50 26,898                    | 2              | 3,02140           | 7 8,53                       | 2              | 20,02             | 8,9400                                   | -7,5601 | 0,4802  | 8,7494  | 9,5547                                     | 9,8087  | 1,3015  | 8,6197  |
|             | 23 50 17,984                    | 1              | 3,02240           | 17                           | 1              | 20,02             | 8,9411                                   | -7,5528 | 0,4803  | 8,7517  | 9,5533                                     | 9,8102  | 1,3015  | 8,6113  |
|             | 23 50 47,993                    | 1              | 3,02340           | 17 16,08                     | 1              | 20,02             | 8,9412                                   | -7,5451 | 0,4804  | 8,7517  | 9,5527                                     | 9,8102  | 1,3015  | 8,6035  |
|             | 23 51 40,070                    | 1              | 3,03037           | 56 47,53                     | 1              | 20,03             | 8,9267                                   | -7,4875 | 0,4814  | 8,7156  | 9,5618                                     | 9,7885  | 1,3016  | 8,5605  |
|             | 23 54 33,165                    | 3              | 3,04239           | 29 56,93                     | 2              | 20,04             | 8,9364                                   | -7,3113 | 0,4831  | 8,7399  | 9,5441                                     | 9,8034  | 1,3018  | 8,3748  |
|             | 23 57 38,941                    | 6              | 3,05639           | 30 17,53                     | 6              | 20,04             | 8,9364                                   | -6,9473 | 0,4852  | 8,7399  | 9,5334                                     | 9,8034  | 1,3019  | 8,8109  |
|             | 23 59 10,185                    | 1              | 3,06439           | 10 1,54                      | 1              | 20,04             | 8,9344                                   | -6,4947 | 0,4863  | 8,7348  | 9,5299                                     | 9,8004  | 1,3019  | 7,5603  |
|             | 23 59 11,741                    | 2              | 3,06439           | 14 9,37                      | 2              | 20,04             | 8,9348                                   | -6,4777 | 0,4863  | 8,7359  | 9,5294                                     | 9,8010  | 1,3019  | 7,5429  |
|             | 0 2 26,379                      | 1              | 3,07039           | 42 58,22                     | 1              | 20,04             | 8,9379                                   | -6,2145 | 0,4871  | 8,7433  | 9,5219                                     | 9,8055  | 1,3019  | -7,2766 |
|             | 0 2 31,712                      | 2              | 3,08038           | 20 51,76                     | 2              | 20,04             | 8,9295                                   | -6,9729 | 0,4885  | 8,7222  | 9,5231                                     | 9,7927  | 1,3019  | -8,0435 |
| 6           | 0 7 25,693                      | 3              | 3,10137           | 50 48,43                     | 3              | 20,03             | 8,9263                                   | -7,4374 | 0,4915  | 8,7141  | 9,5089                                     | 9,7876  | 1,3017  | -8,5109 |
|             | 0 8 32,524                      | 3              | 3,10737           | 46 13,84                     | 3              | 20,03             | 8,9258                                   | -7,4978 | 0,4923  | 8,7131  | 9,5053                                     | 9,7870  | 1,3016  | -8,5717 |
| 7           | 0 11 26,653                     | 7              | 3,11937           | 19 41,09                     | 7              | 20,02             | 8,9258                                   | -7,6218 | 0,4940  | 8,7057  | 9,4980                                     | 9,7822  | 1,3014  | -8,6984 |
|             | 0 12 57,782                     | 3              | 3,12537           | 16 37,19                     | 2              | 20,01             | 8,9224                                   | -7,6755 | 0,4949  | 8,7046  | 9,4930                                     | 9,7815  | 1,3012  | -8,7524 |
|             | 0 16 58,719                     | 2              | 3,13835           | 34 29,47                     | 2              | 19,98             | 8,9124                                   | -7,7830 | 0,4967  | 8,6772  | 9,4912                                     | 9,7635  | 1,3007  | -8,8604 |
|             | 0 16 58,890                     | 2              | 3,13935           | 52 4,94                      | 2              | 19,98             | 8,9140                                   | -7,7846 | 0,4968  | 8,6818  | 9,4890                                     | 9,7666  | 1,3007  | -8,8694 |
|             | 0 17 48,545                     | 1              | 3,12528           | 55 32,12                     | 1              | 19,98             | 8,8805                                   | -7,7716 | 0,4949  | 8,5650  | 9,5344                                     | 9,6832  | 1,3006  | -8,8898 |
|             | 0 20 15,262                     | 6              | 3,15435           | 59 29,77                     | 6              | 19,96             | 8,9142                                   | -7,8616 | 0,4988  | 8,6833  | 9,4761                                     | 9,7674  | 1,3002  | -8,9457 |
| 8           | 0 23 23,212                     | 2              | 3,16234           | 43 13,44                     | 2              | 19,93             | 8,9068                                   | -7,9174 | 0,4999  | 8,6623  | 9,4360                                     | 9,7532  | 1,2996  | -9,0083 |
|             | 0 23 41,464                     | 1              | 3,16234           | 33 30,72                     | 2              | 19,93             | 8,9059                                   | -7,9220 | 0,5000  | 8,6597  | 9,4754                                     | 9,7535  | 1,2996  | -9,0138 |
| 6           | 0 26 45,296                     | 5              | 3,17634           | 34 45 14,29                  | 5              | 19,90             | 8,9062                                   | -7,9753 | 0,5019  | 8,6622  | 9,4627                                     | 9,7529  | 1,2989  | -9,0661 |
| 5           | 0 28 8,366                      | 2              | 3,17332           | 48 57,37                     | 2              | 19,89             | 8,9061                                   | -7,9874 | 0,5015  | 8,6301  | 9,4744                                     | 9,7307  | 1,2986  | -9,0880 |
| 6           | 0 28 35,336                     | 2              | 3,18234           | 29 45,40                     | 3              | 19,88             | 8,9045                                   | -8,0028 | 0,5027  | 8,6576  | 9,4582                                     | 9,7497  | 1,2985  | -9,0949 |
| 7           | 0 33 1,595                      | 5              | 3,19232           | 57 50,35                     | 5              | 19,83             | 8,8956                                   | -8,0574 | 0,5041  | 8,6314  | 9,4564                                     | 9,7312  | 1,2974  | -9,1573 |
| 7           | 0 35 33,662                     | 5              | 3,20032           | 43 9,67                      | 6              | 19,80             | 8,8936                                   | -8,0880 | 0,5052  | 8,6264  | 9,4498                                     | 9,7275  | 1,2966  | -9,1891 |
|             | 0 39 14,112                     | 1              | 3,41856           | 56 56 36,77                  | 1              | 19,75             | 9,0807                                   | -8,3186 | 0,5338  | 9,0040  | 9,8731                                     | 9,9169  | 1,2955  | -9,2315 |
|             | 0 37 16,373                     | 1              | 3,20632           | 38 16,26                     | 1              | 19,77             | 8,8927                                   | -8,1077 | 0,5060  | 8,6245  | 9,4444                                     | 9,7060  | 1,2961  | -9,2092 |
|             | 0 41 27,529                     | 6              | 3,21331           | 9 55,59                      | 6              | 19,71             | 8,8844                                   | -8,1467 | 0,5069  | 8,5983  | 9,4445                                     | 9,7067  | 1,2947  | -9,2551 |
|             | 0 41 59,790                     | 1              | 3,21531           | 9 24,56                      | 1              | 19,71             | 8,8843                                   | -8,1522 | 0,5072  | 8,5981  | 9,4426                                     | 9,7065  | 1,2946  | -9,2606 |
|             | 0 43 14                         | 1              | 3,22031           | 6 27,96                      | 1              | 19,68             | 8,8835                                   | -8,1644 | 0,5078  | 8,5967  | 9,4389                                     | 9,7054  | 1,2941  | -9,2731 |
|             | 0 46 57,701                     | 3              | 3,32959           | 28 25,25                     | 3              | 19,62             | 9,1089                                   | -8,4264 | 0,5476  | 9,0441  | 9,8550                                     | 9,9260  | 1,2927  | -9,3084 |
|             | 0 47 34,766                     | 1              | 3,32329           | 22 31,77                     | 1              | 19,61             | 8,8743                                   | -8,1979 | 0,5083  | 8,5649  | 9,4426                                     | 9,6813  | 1,2925  | -9,3142 |
|             | 0 49 5,870                      | 6              | 3,32829           | 25 49,07                     | 6              | 19,58             | 8,8739                                   | -8,2115 | 0,5089  | 8,5653  | 9,4370                                     | 9,6814  | 1,2919  | -9,3276 |
|             | 0 52 36,880                     | 1              | 3,32929           | 25 25,00                     | 1              | 19,51             | 8,8723                                   | -8,2410 | 0,5104  | 8,5635  | 9,4252                                     | 9,6796  | 1,2903  | -9,3571 |
|             | 0 53 18,039                     | 2              | 3,34029           | 16 43,06                     | 2              | 19,50             | 8,8714                                   | -8,2458 | 0,5106  | 8,5608  | 9,4246                                     | 9,6774  | 1,2900  | -9,3626 |
| 5           | 0 54 45,635                     | 2              | 3,34028           | 37 3,69                      | 2              | 19,47             | 8,8680                                   | -8,2547 | 0,5106  | 8,5483  | 9,4275                                     | 9,6678  | 1,2894  | -9,3742 |
|             | 0 55 30,633                     | 2              | 3,34428           | 46 56,69                     | 2              | 19,45             | 8,8683                                   | -8,2612 | 0,5111  | 8,5509  | 9,4231                                     | 9,6697  | 1,2890  | -9,3800 |
|             | 0 57 17,812                     | 2              | 3,34127           | 37 26,88                     | 2              | 19,42             | 8,8628                                   | -8,2699 | 0,5107  | 8,5290  | 9,4310                                     | 9,6525  | 1,2882  | -9,3934 |
| 7           | 0 58 4,948                      | 1              | 3,35729           | 21 14,81                     | 1              | 19,40             | 8,8695                                   | -8,2829 | 0,5128  | 8,5598  | 9,4072                                     | 9,6763  | 1,2878  | -9,3993 |
|             | 0 58 13,405                     | 2              | 3,34427           | 39 21,42                     | 3              | 19,40             | 8,8624                                   | -8,2769 | 0,5111  | 8,5289  | 9,4276                                     | 9,6524  | 1,2877  | -9,4003 |

Rümker.

Schreiben des Herrn Professors *Argelander*, Directors der Sternwarte in Bonn, an den Herausgeber.  
Bonn 1841. März 15.

Für die Aufnahme meiner Ihnen letzthin mitgetheilten Beobachtungen in die Astr. Nachr. danke ich ergebenst, bitte Sie aber um die Anzeige der folgenden kleinen Schreib- oder Druckfehler:

pag. 118. Sept. 20. statt  $\eta$  Aquile  $< \beta$  lies  $\eta > \beta$   
 „ „ Nov. 25. „  $\eta$  Aquile  $+ > \beta$  „  $+ >$   
 „ „ Dec. 14. „  $\eta$  Aquile  $< \beta$  „  $< \beta$  +  $< \beta$   
 „ 126. Zeile 10. Werth von  $\eta = 1$ , statt (4.5) lies (2.5)  
 „ 128. „ 10. Mittel statt Oct. 3.5 42.6 lies Oct. 3.5 41.3  
 „ 130. Febr. 22. Corr. statt — 24<sup>m</sup>7 lies — 24<sup>m</sup>7  
 „ 133. Oct. 24. statt.  $\delta$  Cephei  $< \beta$  lies  $< \beta$   
 „ „ Nov. 26. „  $\delta$  Cephei  $> \beta$  „  $> \beta$   
 „ 142. AR. des Sterns m statt 319 58 57.5 lies 319 58 51.5.

Zugleich erlaube ich mir auch die beiden letzten Beobachtungen des Cometen hier anzugeben; er war schon sehr schwach, und erschien am ersten Tage bei dunstiger Luft, am zweiten im hellern Zodiacallichte noch schwächer; daher war er schwierig zu beobachten, indess stimmen die einzelnen Beobachtungen noch ganz gut überein.

| 1841.    | M. Z.                 | AR.                       | Decl.                      | Beob.     |
|----------|-----------------------|---------------------------|----------------------------|-----------|
| Jan. 23. | 6 <sup>h</sup> 58' 6" | 34 <sup>o</sup> 10' 51".4 | +11 <sup>o</sup> 59' 35".3 | 6 o N.S.  |
| — 24.    | 7 0 28.1              | 34 45 54.6                | +11 36 49.5                | 9 p. N.S. |

Die scheinbaren Positionen der verglichenen Sterne habe ich hierbel angenommen:

o. 34<sup>o</sup>59' 28".4 + 12<sup>o</sup> 2' 29".0 H. C. p. 39. Z. 126.  
 $\pi$ . 34 48 52.5 + 11 44 25.5 Z. 126.  
 $\rho$ . 35 11 40.7 + 11 32 58.2 Z. 126.

Bei der totalen Mondfinsternis war es Anfangs am Monde dunstig, wurde aber zur Zeit der totalen Verfinsternung ganz klar; das Licht des verdunkelten Mondes erschien diesesmal nicht so dunkel kupferroth, als ich es sonst gewöhnlich gesehen habe, sondern viel heller und fast rosenroth; wir beobachteten

Febr. 5. 12<sup>h</sup>49' 14" M. Z. sehr starker Halbschatten.  
 50 9 „ Anfang der Finsternis.  
 59 35 „ Eintritt Gassendi. *Kysaeus*.  
 13 5 45 „ } Eintritt Copernicus.  $K. - 9''$   
 7 35 „ }  $K. - 31$

| Febr. 5. 13 <sup>h</sup> 8' 32" M. Z. | Eintritt Tycho.           |               |
|---------------------------------------|---------------------------|---------------|
| 9 37 „                                | Eintritt Manilius.        | $K. - 12''$ . |
| 20 50 „                               | Eintritt Dionysius?       | $K.$          |
| 23 20 „                               | Eintritt Dionysius?       | ich.          |
| 24 5 „                                | Eintritt Menelaus.        | $K. - 4.$     |
| 25 15 „                               | Eintritt Plinius.         | $K. + 5.$     |
| 28 0 „                                | Eintritt Proclus.         | $K. - 28.$    |
| 38 35 „                               | Anf. d. tot. Finsternis.  | $K. + 33$     |
| 46 50 „                               | Austritt Kepler.          |               |
| 15 34 30 „                            | Austritt Tycho.           | $K. + 8$      |
| 45 13 „                               | Austritt Manilius?        | $K. - 11$     |
| 46 28 „                               | Austritt Manilius.        |               |
| 56 25 „                               | Austritt Dionysius?       | $K.$          |
| 57 10 „                               | Austritt Menelaus.        | $K. + 9$      |
| 59 40 „                               | Austritt Dionysius?       | $K.$          |
| 16 0 53 „                             | Austritt Dionysius?       | ich.          |
| 1 20 „                                | Austritt Plinius.         | $K. + 13$     |
| 3 28 „                                | Austritt Proclus.         |               |
| 13 5 „                                | Ende der Finsternis.      |               |
| 22 21 „                               | Ende gewiss schon vorbei. |               |
| 23 31 „                               |                           |               |

Während der Finsternis wurden mehrere Sterne bedeckt, von denen die meisten bei *Bessel* vorkommen; Herr *Kysaeus* hatte die Ein- und Austritte derselben sorgfältig voraus berechnet, indess konnten wegen der dunstigen Luft im Anfange und dann auch wegen der Lichtschwäche mehrerer Gegen den immer noch ziemlich hellen Mondrand nur die folgenden beobachtet werden:

|                          |             |                    |
|--------------------------|-------------|--------------------|
| 14 <sup>h</sup> 6' 31".8 | Austritt d: | zu spät.           |
| 7 27.2                   | Eintritt x  | <i>Kys.</i>        |
| 21 4.9                   | Austritt e  |                    |
| 28 52.3                  | Eintritt f  | $K. + 0.4$         |
| 39 47.6                  | g           | plötzlich „ — 0.2  |
| 43 17.0                  | h           | nicht ganz sicher. |
| 15 24 20.8               | Austritt f  | $K. + 0.3$         |
| 42 22.4                  | g           | plötzlich „ — 0.3  |

Die mittleren Positionen dieser Sterne 1841 sind

d. 9<sup>m</sup> 138<sup>o</sup> 48' 54".1 + 15<sup>o</sup> 10' 25".0 Z. 273  
 e. 9 139 5 42.7 + 15 31 44.2 Z. 273  
 f. 8 139 31 6.1 + 15 12 50.8 Z. 149  
 g. 8 139 33 19.0 + 14 59 26.6 Z. 149 H. C. p. 52 = P. IX. 84  
 h. 9 139 36 44.5 + 15 14 16.2 Z. 273  
 x. 9 139 13 — + 14 57 — kommt nirgend vor.

Fr. *Argelander*.

Schreiben des Herrn Hofraths *Müller*, Directors der Sternwarte in Dorpat, an den Herausgeber.  
Dorpat 1841. April 10.

Noch immer ist die Witterung hier in Dorpat sehr unbeständig und vorherrschend trübe geblieben, so dass nur wenige Nächte dauernd benutzt werden konnten. Die heißeste war die des 25<sup>ten</sup> März, wo ich nicht allein von einigen 30 zum Theil als sehr schwach bezeichneten *Herschelschen* Nebelflecken keinen

einzigem vergebens suchte, sondern auch noch einige neue aufsaß, die ich aber noch nicht wieder habe bestätigen und öfter bestimmen können. Schon am 24<sup>ten</sup> Jan. begann ich die Beobachtungen der Marsoberfläche, allein der ganze Februar und die erste Märzhälfte fielen in dieser Beziehung aus, zum

Theil wegen seines zu tiefen Standes. Da er indess bis in den Juni verfolgt werden kann, so hoffe ich noch auf eine gute Reihe von Beobachtungen, deren Resultat ich seiner Zeit mittheilen werde. Hier nur einiges über die weissen Polarflecke, da es vielleicht Veranlassung werden könnte, noch in dieser Opposition auf südlicher gelegenen Sternwarten einige Untersuchungen anzustellen.

Am 24<sup>ten</sup> und 31<sup>ten</sup> Januar war noch an keinem der Pole etwas der Art wahrzunehmen. Erst am 22<sup>ten</sup> März gewahrte ich einen weissen Schimmer etwa 25° vom Nordpunkte der Scheibe nach Osten, doch glänzten noch mehrere Stellen des Randes und es war nichts mit Bestimmtheit zu entscheiden. Am 25<sup>ten</sup> März war der Rand rings herum ziemlich gleichmäßig heller und weißer als die rüthliche Mitte, von der sie durch schwärzliche Flecken getrennt war. Am 1<sup>ten</sup> April erschienen zwei weisse Flecke im NO. und SSW., der erstere kleiner aber bestimmter als der andere. Für den ersten a fand ich die Position (von N. durch O. gezählt)

|                   |           |                     |
|-------------------|-----------|---------------------|
| 14° 20' St.Z.     | 27° 46' 5 | aus 5 Einstellungen |
| 14 42' 5          | 27 51,2   | 3                   |
| für den zweiten b |           |                     |
| 14 10             | 252 40,5  | 5                   |
| 14 35,5           | 256 20,7  | 4                   |

Hierdurch ward es wahrscheinlich, dass b in beträchtlicher Entfernung vom Südpole liege, da er schon in 25 Minuten eine Rotation verrieth. Dies bestätigte sich völlig am 5<sup>ten</sup> April.

Fleck a. 12<sup>h</sup> 11 St.Z. 29° 10' 7" aus 5 Einstellungen.

|           |          |   |
|-----------|----------|---|
| 13 7      | 30 26,1  | 5 |
| 13 35,5   | 31 19,3  | 5 |
| b. 12 7,5 | 209 13,3 | 5 |
| 12 57,2   | 213 47,7 | 5 |
| 13 21     | 220 4,3  | 5 |
| 13 44,5   | 223 22,5 | 5 |

Zugleich glaubte ich wahrzunehmen, dass b den eigentlichen Rand gar nicht berühre, sondern hinter ihm wieder ein sehr schmaler Streifen Gelb erscheine. Jedenfalls also ist in diesem der Polarfleck von 1830 und 1832 nicht zu sehen, sondern eine andre helle Stelle, deren Mitte etwa in 50°–55° S. B. liegt. Ob auch a, der bestimmt in der Nähe des Nordpols liegt, eine Rotation verrathe, wage ich aus den geringen Abweichungen der obigen Beobachtungen noch nicht zu entscheiden, hoffe aber, da Mars sich bis zum 24<sup>ten</sup> April der Erde fortwährend nähert, noch in dieser Opposition hierüber gewiss zu werden.

So oft es die Witterung erlaubte, habe ich die Scheibe der Venus nach Flecken durchmustert, allein bis jetzt ohne allen sichern Erfolg.

Die bisherigen Beobachtungen der Doppelsterne werden zu manchen Verbesserungen der von mir berechneten Bahnen Veranlassung geben, doch will ich hierin nichts überellen, und deshalb hier nur einige Bemerkungen mittheilen.

In Betreff von a Geminoorum bestätigt sich meine 1836 gegebene Ephemeride (Astr. Nachr. Nr. 317) durch die Beobachtungen von *Struve*, *Kaiser* und meine eigenen so, dass eine Verbesserung nicht angedeutet ist. Diese sind nemlich

|         |           |          |                                   |
|---------|-----------|----------|-----------------------------------|
| 1838,34 | 4° 8' 08" | 254° 24' | <i>Struve</i> (Additamenta p. 3). |
| 1840,06 | 4,713     | 253 58   | <i>Kaiser</i> (A. N. Nr. 409)     |
| 1841,09 | 4,885     | 252 59   | <i>Mädler</i> .                   |

Die Ephemeride giebt, hiermit verglichen

|         |            |            |
|---------|------------|------------|
|         | $\Delta d$ | $\Delta p$ |
| 1838,34 | — 0' 135   | — 41'      |
| 1840,06 | — 0,013    | — 45       |
| 1841,09 | — 0,167    | — 28       |

wogegen die *Herschelsche* jetzt abweicht

|         |          |         |
|---------|----------|---------|
| 1841,09 | — 0' 670 | — 254'. |
|---------|----------|---------|

ζ Cancri hat jetzt seit *Herschels* erster Messung einen ganzen Umlauf vollendet. Die letzten Messungen sind

|         |        |                               |
|---------|--------|-------------------------------|
| 1840,15 | 6° 8'  | <i>Kaiser</i> l. c.           |
| 1840,29 | 6 9    | <i>Struve</i> (A. N. Nr. 411) |
| 1841,26 | 359 38 | <i>Mädler</i> .               |

*Herschel* der *Vater* fand

|         |         |
|---------|---------|
| 1781,90 | 3° 28'. |
|---------|---------|

Hierauf folgt eine Umlaufzeit von 59,7 Jahren. Da aber, ausser der angeführten ersten Beobachtung, nur aus den letzten 15 Jahren deren gefunden werden, so ist es noch nicht möglich die übrigen Elemente zu bestimmen. Um 1834 ging er durch sein scheinbares Aphel.

Für φ<sup>2</sup> Cancri ist es noch unentschieden, ob eine bemerkbare Veränderung seit *Herschel* I Statt gefunden. Ich erhalte

|         |        |          |
|---------|--------|----------|
| 1841,26 | 4° 564 | 212° 52' |
|---------|--------|----------|

fast ganz mit dem Mittel aus den bisherigen Beobachtungen übereinstimmend.

γ Leonis ändert sich im Positionswinkel weniger rasch als die früheren Beobachtungen der beiden *Herschel* ergeben, und fast scheint es als müsse die erste von 1782,71 (83° 30') ganz ausgeschlossen werden. Die Formel

$$p = 101^{\circ} 88' 1 + (t - 1825,4)$$

entspricht den späteren Beobachtungen seit 1801,7 sehr gut, gibt aber für die erste 5° Abweichung. Die Distanz lässt noch gar keine Veränderung wahrnehmen. Meine letzte Beobachtung giebt

|         |        |             |
|---------|--------|-------------|
| 1841,26 | 2° 588 | 105° 22' 5. |
|---------|--------|-------------|

Bedeutende Veränderung werden die für ζ Herculis (A. N. Nr. 363) und α Coronae von mir gegebenen Bahnen erfahren. Für erstere geben die Beobachtungen

|         |          |        |                         |
|---------|----------|--------|-------------------------|
| 1839,67 | 160° 24' | 1° 165 | <i>Struve</i> (Pulkowa) |
| 1841,25 | 149 16   | 1,296  | <i>Mädler</i> .         |

Die Ephemeride dagegen

|         |          |        |
|---------|----------|--------|
| 1839,67 | 169° 35' | 1,211  |
| 1841,25 | 161 25   | 1,194. |

Wahrscheinlich wird man bei künftigen Versuchen von den früheren Beobachtungen (vor 1822) gänzlich abstrahiren müssen.

*Mädler*.

Auszug aus einem Schreiben des Herrn Professors *A. Erman* an den Herausgeber.  
Berlin 1841. Mai 9.

In Beziehung auf die zwei Sternschnuppen- oder Asteroïdenströme (vom November und August) habe ich neuerdings wieder einige Nachrichten gefunden, die mir der Ansicht über dieselben, welche Sie mir erlaubt haben in den Astron. Nachrichten darzustellen, sehr günstig scheinen.

Es sind nämlich in früheren Jahrhunderten, sowohl 6 Monate nach dem November- (damals October-) Phänomen, als auch 6 Monate nach dem August-Phänomen, d. h. respective im April und Februar, ganz ausgezeichnete Sternschnuppen-Regen beobachtet worden, von denen mir scheint, daß man sie als Wirkungen der Conjunctionen jener beiden Ringe oder Ströme mit der Sonne zu betrachten hat, wenn man die November- und August-Erscheinungen deren Oppositionen zuschreibt.

Beide (Conjunction und Opposition) wären dann in jenen früheren Jahrhunderten sehr nahe an der Erde vor sich gegangen.

Folgendes ist eine kurze Uebersicht von den Daten der Beobachtungstage. — Die mit dem Namen *Charles* bezeichneten sind von diesem Französischen Schriftsteller in dem *Compte rendu de l'Academ. des sciences* 1841 Nr. XI und XII mitgetheilt. Ich habe nur solche gewählt, bei welchen ganz entschieden von ausserordentlicher Häufigkeit der Sternschnuppen die Rede ist und bemerke auch noch,

daß Herr *Charles* von meiner Ansicht wegen Februar- und April- oder Mai-Erscheinungen nichts wußte.

Der Name *Frähn* steht neben Daten, von denen dieser Petersburger Orientalist nach Persischen und Arabischen Schriftstellern, Sternschnuppen-Regen berichtet.

Die übrigen Thatfachen sind in den Astronomischen Nachrichten erwähnt. —

Es scheint freilich der Ansicht von einem regelmäßigen Ringe, dessen Ebene die Erde in ihrer Bahn zweimal jährlich durchschneidet, zuwider, daß die Daten der Erscheinungen innerhalb Grenzen von mehr als einer Woche, schwanken würden, wenn man sie wirklich alle als gleichartig betrachten wollte. Wir kennen indessen die ganze Sache wohl noch zu wenig, um die Möglichkeit eines solchen Schwankens völlig abweisen zu können. Im Jahre 1836, wo wir gewöhnlich November 12 als Datum des Sternschnuppenregens angegeben finden, waren doch auch:

November 11 in London,  
November 12 in Newyork,  
November 14 in Bremen,  
November 12 bis 16 in Wien

etwa gleich ausgezeichnet erschienen, so daß eine Schwankung von einer Woche im Datum des stärksten Falles selbst durch dieses eine Ereigniß plausibel sein möchte.

### Wirkungen des Novemberastromes bei

|                         | <u>Opposition.</u> |                          |
|-------------------------|--------------------|--------------------------|
| 585 Octbr. 21—23 a. St. | Sternschnuppen.    | <i>Charles.</i>          |
| 855 Octbr. 16           | —                  | <i>Boguslawski.</i>      |
| 855 Octbr. 17           | —                  | <i>Charles u. Frähn.</i> |
| 856 Octbr. 17           | —                  | <i>Charles.</i>          |
| 902 Octbr. 25           | —                  | <i>Frähn.</i>            |
| 914 Octbr. 14           | —                  | <i>Charles.</i>          |
| 935 Octbr. 4            | —                  | <i>Frähn.</i>            |
|                         |                    |                          |
| 1199 Octbr. 23          | —                  | <i>Frähn.</i>            |
| 1202 Octbr. 19          | —                  | <i>Frähn.</i>            |
| 1366 Octbr. 24          | —                  | <i>Boguslawski.</i>      |

|                     | <u>Conjunction.</u> |                   |
|---------------------|---------------------|-------------------|
|                     |                     |                   |
| 1095 April 4 a. St. | Sternschnuppen.     | <i>Charles.</i>   |
| 1123 April 4        | —                   | <i>Charles.</i>   |
|                     |                     |                   |
| 1545 April 25       | —                   | Sonnenverdarkung. |
| 1706 Mai 12 a. St.  | —                   | <i>Erman.</i>     |

## Opposition.

## Conjunction.

|                |        |                                     |
|----------------|--------|-------------------------------------|
| 1799 Novbr. 11 | n. St. | Sternschnuppen v. <i>Humboldt</i> . |
| 1832 Novbr. 12 | —      | —                                   |
| 1833 Novbr. 12 | —      | —                                   |
| 1834 Novbr. 13 | —      | —                                   |
| 1836 Novbr. 12 | —      | —                                   |
| 1838 Novbr. 13 | —      | —                                   |
| 1839 Novbr. 13 | —      | —                                   |

|      |                 |                         |               |
|------|-----------------|-------------------------|---------------|
| 1719 | } Mai 12 u. St. | Temperaturverminderung. | <i>Erman.</i> |
| 1719 |                 |                         |               |
| 1719 |                 |                         |               |
| 1719 |                 |                         |               |
| 1719 |                 |                         |               |
| 1840 |                 |                         |               |

## Wirkungen des Auguststromes bei

## Opposition.

## Conjunction.

855 August a. St. Sternschnuppen. *Chasles.*

|                 |              |  |                 |
|-----------------|--------------|--|-----------------|
| 763 Februar     | a. St.       | Sternschnuppen.                        | <i>Chasles.</i> |
| 836 Februar     | —            | —                                      | <i>Chasles.</i> |
| 838 Februar 16  | —            | —                                      | <i>Chasles.</i> |
| 913 Februar 2   | —            | —                                      | <i>Chasles.</i> |
| 918 Februar 1   | —            | —                                      | <i>Chasles.</i> |
| 937 Februar 14  | —            | —                                      | <i>Chasles.</i> |
| 1106 Februar 12 | —            | Sternschnuppen und Sonnenverdunkelung. | <i>Erman.</i>   |
| 1208 Februar 28 | —            | Sonnenverdunkelung.                    | <i>Erman.</i>   |
| 1719            | } Febr. 5–19 | Temperaturverminderung.                | <i>Erman.</i>   |
| 1839            |              |  |                 |

1800  
 { August 9–12 n. St. Sternschnuppen.  
 1839

Die am stärksten aus der Reihe herausweichenden Daten sind  
 935 October 4 a. St. und 1095 April 4 a. St.  
 1123 April 4 a. St.

dennoch scheinen auch für diese die Angaben der Schriftsteller recht entschieden und unzweideutig! Ich will sie beispielsweise anführen:

935 October 4. Der arabische Schriftsteller, den Hr. *Frähn* übersetzt, sagt: „An diesem Tage waren die leuchtenden Sterne (d. h. die leuchtenden Meteore, *Frähn*) in heftiger Bewegung.“

1094 April 4 } Von diesen beiden Tagen führt Herr *Chasles*  
 u. 1095 April 4 } folgende Worte Französischer Annalisten an:  
 „On voit des étoiles tomber du ciel aussi pressées que la grêle depuis le milieu de la nuit jusqu'à l'aurore.“ und: „Pendant plusieurs nuits des étoiles paraissent tomber du ciel aussi pressées que la pluie.“

Auch vom folgenden Jahre führt Herr *Chasles* Folgendes an:  
 1096 April 4. „Près que toutes les étoiles courent comme la poussière emportée par le vent.“

und ferner

1123 April 4. „Une quantité innombrable d'étoiles tombent du ciel et pleuvent de tous cotés sur la terre.“

Ich schreibe die übrigen Stellen nicht her, weil sie in dem *Compte rendu* etc. 1841 Nr. XI. und in der Abhandlung von Herrn *Frähn* (Petersburger Mem. gelesen am 1. December 1837) vollständig zu finden sind. Die Arabischen Schriftsteller drücken sich namentlich sehr deutlich über die Sternschnuppenregen aus.

Auch die Convergenz der scheinbaren Bahnen der Auguststernschnuppen gegen einerlei Punkte der Himmelskugel, welche ich in den Astr. Nachr. erwähnt habe, ist neuerdings wieder bestätigt worden.

1840 hatten wir keine Beobachtungen, weil der helle Mondschein hinderlich schien. Mr. *Forshey* in Philadelphia ist aber glücklicher gewesen, und hat in Proceedings of the American philosophical society August–October 1840 pag. 263 folgende Zusammenstellung seiner Resultate (welche er nach den Formeln in Astr. Nachr. Nr. 385 berechnet hat) mit unsern früheren bekannt gemacht:

| August-Meteore<br>Beob. Ort und Tag. |                | AR. des Con-<br>vergenz-<br>punktes. | Decl. des Con-<br>vergenz-<br>punktes. | Anzahl<br>der<br>Beob. | Wahrsch. Fehler des<br>einzelnen   Gesammt-<br>Resultats. |        |
|--------------------------------------|----------------|--------------------------------------|--|------------------------|---|--------|
| 1837 Berlin                          | August 10..... | 217°18                               | — 57°26                                | (46)                   | ± 20°1  | ± 2°06 |
| 1837 Breslau                         | August 10..... | 221,76                               | — 51,41                                | (200)                  | 19,5  | 1,38   |
| 1839 Berlin                          | August 9.....  | 224,86                               | — 50,18                                | (50)                   | 11,9  | 1,68   |
| 1839 Berlin                          | August 10..... | 223,88                               | — 52,39                                | (48)                   | 13,3  | 1,92   |
| 1839 Berlin                          | August 11..... | 218,45                               | — 51,05                                | (43)                   | 13,5  | 2,06   |

| August-Meteore<br>Beob.-Ort und Tag. |              |                              | AR. des Con-<br>verganz-<br>punktes. | Decl. des Con-<br>verganz-<br>punktes. | Anzahl<br>der<br>Beobh. | Wahrsch. Fehler des<br>einzelnen   Gesamt-<br>Resultats. |        |
|--------------------------------------|--------------|------------------------------|--------------------------------------|--|-------------------------|--|--------|
| 1839                                 | Königsberg   | August 10. ....              | 214°85                               | — 55°59                                | (75)                    | + 21°0   | + 2°42 |
| 1839                                 | Königsberg   | August 11. ....              | 215,11                               | — 55,29                                | (74)                    | 17,4   | 2,02   |
| 1840                                 | Philadelphia | August 9 10 <sup>h</sup> 57' | 216,14                               | — 55,76                                | (12)                    | 2,3  | 0,67   |
| 1840                                 | Philadelphia | August 9 13 4                | 214,71                               | — 55,43                                | (15)                    | 4,1  | 1,05   |
| 1840                                 | Philadelphia | August 9 15 6                | 219,25                               | — 55,12                                | (29)                    | 1,2  | 0,22   |

A. Erman.

## Schreiben des Herrn Dr. Max Weisse an den Herausgeber.

Cenau 1841. April 24.

Ich nehme mir die Freiheit, Ihnen hiebei die im Jahre 1840 an der hiesigen Sternwarte gemachten Beobachtungen der Mondsterne und Sternbedeckungen zu übersenden; zugleich erlaube ich mir einige Worte über die in demselben Jahre, hier gemachten meteorologischen Beobachtungen beizufügen.

Der mittlere Barometerstand war 27° 5' 29 Paris. M.; der höchste Stand fiel auf den 26<sup>ten</sup> December mit 28° 1' 93; der niedrigste auf den 19<sup>ten</sup> October mit 26° 9' 64, so daß die jährliche Schwankung 16° 29 betrug. Die mittlere Jahreswärme betrug + 4° 8 R.; also bedeutend weniger, als sie aus vieljährigen Beobachtungen und genauen Untersuchungen folgt, die + 6° 6 R. geben. Dieses Jahr muß daher zu den sehr kühlen gezählt werden. Die größte Wärme war den 3<sup>ten</sup> Juli mit + 27° 1 R., die kleinste den 17<sup>ten</sup> Decbr. mit — 22° 5 R.; die jährliche Schwankung betrug also 49° 6 R. Ausgezeichnet durch strenge anhaltende Kälte war der December; weit vielen Jahren war bloß im Jahre 1829 die mittlere Kälte größer, als im Jahre 1840. In diesem Monate war auch fast anhaltend

ein sehr hoher Barometerstand; derselbe Fall hatte auch im Jahre 1829 statt. Der herrschende Wind war, wie gewöhnlich, von West; Stürme zählte man 19; im Jänner waren die meisten Stürme; heftige Winde wehten besonders im November und December. Ganz heitere Tage zählte man bloß 6, an 226 Tagen wechselte Sonnenschein mit Wolken, und 134 Tage waren ganz trübe. Nebel wurden 38, Gewitter 24, Hagel 8 verzeichnet; Schneetage zählte man 61, Regentage 151. Das erste Gewitter war den 23<sup>ten</sup> Jänner, das letzte den 16<sup>ten</sup> September. Der letzte Schnee im Frühjahr fiel den 3<sup>ten</sup> Mai, der erste im Herbst den 20<sup>ten</sup> November. Sonnensäulen und Nebensonnen wurden dreimal beobachtet; besonders schön war dieses Phänomen den 23<sup>ten</sup> April; Nordlichte wurden den 6<sup>ten</sup> Februar und den 21<sup>ten</sup> December beobachtet, und während ihrer ganzen Dauer der Gang der Magnetnadel notirt.

Die Beobachtungen mit dem August'schen Psychrometer gaben für die einzelnen Monate und das ganze Jahr folgende Resultate:

| Monate.   | Temperatur<br>der Luft nach<br>Reaumur. | des Thau-<br>punktes. | Der Thaupunkt<br>unter der Luft-<br>Temperatur. | Elasticität<br>der Wasser-<br>dünste. | Sättigungs-<br>grad der<br>Luft. | Wasser in einem<br>Paris. Cubikfuss<br>Luft in Granen. |
|-----------|---|-----------------------|---|---------------------------------------|----------------------------------|--|
| Jänner    | — 3°17                                  | — 4°08                | 0°91  | 1°410                                 | 0,919                            | 2,585  |
| Februar   | — 2°10                                  | — 2°78                | 0,68  | 1,592                                 | 0,954                            | 2,926  |
| März      | — 2°35                                  | — 3°99                | 1,64  | 1,421                                 | 0,861                            | 2,609  |
| April     | + 4°85                                  | + 0°01                | 4,84  | 2,045                                 | 0,666                            | 3,556  |
| Mai       | + 8°76                                  | + 5°38                | 3,38  | 3,214                                 | 0,758                            | 5,488  |
| Juni      | + 12°74                                 | + 8°90                | 3,84  | 4,285                                 | 0,736                            | 7,073  |
| Juli      | + 14°33                                 | + 10°66               | 3,67  | 4,932                                 | 0,749                            | 8,059  |
| August    | + 12°36                                 | + 9°34                | 3,02  | 4,440                                 | 0,786                            | 7,396  |
| September | + 12°13                                 | + 8°96                | 3,17  | 4,308                                 | 0,777                            | 7,156  |
| October   | + 4°57                                  | + 2°36                | 2,21  | 2,490                                 | 0,829                            | 4,360  |
| November  | + 3°79                                  | + 2°44                | 1,35  | 2,509                                 | 0,893                            | 4,411  |
| December  | — 8°28                                  | — 7°99                | — 0,29  | 0,989                                 | 1,036                            | 1,865  |
| Jahr      | + 4°80                                  | + 3°02                | 1,78  | 2,804                                 | 0,974                            | 5,201  |

Aus dieser Zusammenstellung ergibt sich, daß die Elasticität der Wasserdünste, und die Menge des in der Luft schwebenden Wassers zunimmt, so wie die Temperatur steigt; der Sättigungsgrad der Luft ist im April am geringsten, im December am größten.

Die wenigen hier gemachten Beobachtungen des *Bremker'schen* Cometen werde ich erst später einsenden, da noch einige Vergleichungsterne nicht genau bestimmt sind.

Dr. Max Weisse.

## Mondsterne auf der Cracauer Sternwarte im Jahre 1840 beobachtet.

| Datum.         | Gestirne.             | Scheinb. AR.               | Anzahl der Fäden. | Datum.        | Gestirne.                 | Scheinb. AR.               | Anzahl der Fäden. |
|----------------|-----------------------|----------------------------|-------------------|---------------|---------------------------|----------------------------|-------------------|
| 1840 Jänner 10 | Mond I                | 23 <sup>h</sup> 46' 30" 62 | 5                 | 1840 April 13 | 63 $\chi$ Leonis          | 10 <sup>h</sup> 56' 47" 82 | 5                 |
|                | 41 d Piscium          | 0 12 22,25                 | 4                 |               | 75 q Leonis               | 11 9 5,54                  | 5                 |
| 13             | 6 $\beta$ Arietis     | 1 45 49,18                 | 5                 |               | Mond I                    | 11 20 11,97                | 5                 |
|                | 27 $\psi$ Arietis     | 2 22 2,26                  | 5                 |               | 5 $\beta$ Virginis        | 11 42 24,17                | 5                 |
|                | Mond I                | 2 27 27,35                 | 5                 |               | 7 h Virginis              | 11 51 47,66                | 2                 |
|                | 57 $\delta$ Arietis   | 3 2 30,41                  | 5                 | Mal 15        | 9 $\alpha^1$ Librae       | 14 42 5,09                 | 4                 |
|                | 64 g Arietis          | 3 14 53,47                 | 5                 |               | 20 $\gamma$ Librae        | 14 54 46,24                | 5                 |
| 14             | 57 $\delta$ Arietis   | 3 2 30,67                  | 5                 |               | Mond I                    | 14 59 5,39                 | 5                 |
|                | 64 g Arietis          | 3 14 53,51                 | 5                 | Juni 13       | 20 $\sigma$ Scorpii       | 16 8 56,95                 | 5                 |
|                | Mond I                | 3 28 43,21                 | 5                 |               | 21 $\alpha$ Scorpii       | 16 17 5,09                 | 5                 |
|                | 37 A' Tauri           | 3 55 16,17                 | 4                 |               | Mond I                    | 16 24 30,81                | 5                 |
|                | 69 v' Tauri           | 4 16 46,13                 | 5                 | Aug. 8        | 42 $\delta$ Ophiuchi      | 17 12 15,23                | 5                 |
| 15             | 69 v' Tauri           | 4 16 46,16                 | 5                 |               | Mond I                    | 17 38 24,94                | 5                 |
|                | Mond I                | 4 34 43,62                 | 5                 |               | 9 22 $\lambda$ Sagittarii | 18 18 9,83                 | 5                 |
|                | 112 $\beta$ Tauri     | 5 16 13,02                 | 5                 |               | Mond I                    | 18 34 10,74                | 5                 |
| 16             | 26 l Aurigae          | 5 28 23,90                 | 5                 |               | 40 $\tau$ Sagittarii      | 18 57 1,13                 | 4                 |
|                | 112 $\beta$ Tauri     | 5 16 12,83                 | 5                 |               | 47 $\chi$ Sagittarii      | 19 15 36,22                | 5                 |
|                | 26 l Aurigae          | 5 28 23,88                 | 4                 | Sept. 8       | 10 $\pi$ Capricorni       | 20 18 13,54                | 5                 |
|                | Mond I                | 5 43 42,96                 | 5                 |               | 15 v Capricorni           | 20 31 0,42                 | 5                 |
|                | 44 $\kappa$ Aurigae   | 6 5 12,66                  | 5                 |               | Mond I                    | 20 52 47,72                | 5                 |
|                | 27 $\sigma$ Geminorum | 6 34 7,24                  | 5                 | 9             | 32 $\iota$ Capricorni     | 21 13 25,92                | 5                 |
| März 10        | 94 $\tau$ Tauri       | 4 32 40,04                 | 3..               |               | 40 $\gamma$ Capricorni    | 21 31 19,55                | 5                 |
|                | Mond I                | 4 57 50,29                 | 5                 |               | Mond I                    | 21 43 14,76                | 5                 |
|                | 112 $\beta$ Tauri     | 5 16 12,08                 | 5..               | Oct. 31       | 34 $\sigma$ Sagittarii    | 18 45 23,48                | 5                 |
|                | 136 C Tauri           | 5 43 17,61                 | 5..               |               | 41 $\pi$ Sagittarii       | 19 0 17,82                 | 3                 |
| 11             | 112 $\beta$ Tauri     | 5 16 11,97                 | 5                 |               | Mond I                    | 19 16 8,77                 | 5                 |
|                | 136 C Tauri           | 5 43 17,69                 | 5                 |               | 57 Sagittarii             | 19 42 56,90                | 3                 |
|                | Mond I                | 6 4 21,43                  | 5                 |               | 62 c Sagittarii           | 19 52 52,22                | 5                 |
|                | 27 $\sigma$ Geminorum | 6 34 6,88                  | 5                 | Nov. 2        | Mond I                    | 20 58 32,53                | 5                 |
|                | 46 $\tau$ Geminorum   | 7 0 59,04                  | 5                 |               | 49 $\delta$ Capricorni    | 21 38 15,95                | 5                 |
| 12             | 27 $\sigma$ Geminorum | 6 34 6,82                  | 5                 | 3             | 40 $\gamma$ Capricorni    | 21 31 16,98                | 4                 |
|                | 46 $\tau$ Geminorum   | 7 0 58,82                  | 5                 |               | 49 $\delta$ Capricorni    | 21 38 16,22                | 5                 |
|                | Mond I                | 7 9 15,52                  | 5                 |               | Mond I                    | 21 47 15,04                | 5                 |
|                | 78 $\beta$ Geminorum  | 7 35 33,07                 | 5                 |               | 43 $\delta$ Aquarii       | 22 8 27,04                 | 5                 |
|                | 83 $\phi$ Geminorum   | 7 43 43,99                 | 5                 |               | 57 $\sigma$ Aquarii       | 22 22 14,50                | 5                 |
| April 10       | 31 $\delta$ Cancri    | 8 22 29,71                 | 3                 | Dec. 1        | 51 $\mu$ Capricorni       | 21 44 37,29                | 5                 |
|                | 47 $\delta$ Cancri    | 8 35 36,77                 | 5                 |               | 30 Aquarii                | 21 54 54,65                | 5                 |
|                | Mond I                | 8 50 27,32                 | 5                 |               | Mond I                    | 22 15 4,83                 | 5                 |
| 11             | 14 $\alpha$ Leonis    | 9 32 38,39                 | 5                 |               | 63 $\kappa$ Aquarii       | 22 29 31,62                | 5                 |
|                | Mond I                | 9 43 41,71                 | 5                 |               | Mond I                    | 22 44 58,97                | 5                 |
|                | 32 $\alpha$ Leonis    | 9 59 52,93                 | 5                 | 29            | 90 $\phi$ Aquarii         | 23 6 5,56                  | 5                 |
|                | 47 $\rho$ Leonis      | 10 24 25,16                | 4                 |               | 8 $\kappa'$ Piscium       | 23 18 47,59                | 5                 |
| 12             | 32 $\alpha$ Leonis    | 9 59 52,67                 | 5                 |               |                           |                            |                   |
|                | 47 $\rho$ Leonis      | 10 24 24,80                | 5                 |               |                           |                            |                   |
|                | Mond I                | 10 33 11,93                | 5                 |               |                           |                            |                   |
|                | 63 $\chi$ Leonis      | 10 56 47,77                | 5                 |               |                           |                            |                   |
|                | 75 q Leonis           | 11 9 5,60                  | 5                 |               |                           |                            |                   |

Bemerkung: Die Beobachtungen des 10<sup>ten</sup> März sind etwas unsicher. — Den 13<sup>ten</sup> Juni und den 9<sup>ten</sup> Septbr. sind nicht die scheinbaren Rectascensionen, sondern bloß die Durchgänge durch den Meridianfaden angegeben.

## Sternbedeckungen auf der Cracauer Sternwarte im Jahre 1840 beobachtet.

| Datum.          |  |   |   | Sternzeit.                |           |
|-----------------|--|---|---|---------------------------|-----------|
| 1840 Jänner 13. | Eintritt eines Sterns 7.8 Gr. in den dunkeln Mondrand um |   |   | 2 <sup>h</sup> 23' 24" 03 | Sehr gut. |
| —               | — 34 $\mu$ Arietis                                       | — | — | 4 40 52,67                | Sehr gut. |
| —               | — eines Sterns 9. Gr.                                    | — | — | 4 55 45,18                | Gut.      |



| Datum.          |   |                          | Sternzeit.                    |  |
|-----------------|---|--------------------------|-------------------------------|--|
| 1840 Jänner 14. | Eintritt eines Sterns 8. Gr. in den dunkeln Mondrand um | 2 <sup>h</sup> 8' 43" 60 | Gut.                          |  |
| —               | 19 e Plejadum   | 5 59 22,78               | Ganz scharf.                  |  |
| —               | 21 k —  | 6 16 59,80               | Sehr gut.                     |  |
| —               | 22 l —  | 6 22 54,80               | Sehr gut.                     |  |
| —               | Austritt 19 e — aus dem erleuchteten Mondrande um       | 6 51 13,82               | auf 2 <sup>er</sup> unsicher. |  |
| —               | Eintritt III. 147 — in den dunkeln Mondrand um          | 6 54 50,82               | Gut.                          |  |
| 16.             | 236 Tauri   | 3 11 54,52               | Sehr gut.                     |  |
| April 11.       | 27 v Leonis   | 12 45 57,75              | Sehr gut.                     |  |
| Septbr. 3.      | 23 t Scorpil  | 18 8 44,75               | Sehr gut.                     |  |
| —               | Austritt — aus dem erleuchteten Mondrande um            | 19 26 13,79              | Auf 2 <sup>er</sup> unsicher. |  |

Schreiben des Herrn Dr. J. K. Steczkowski an den Herausgeber.

Cracau 1841. April 7.

Als ich im Jahre 1839 meine Untersuchungen über die geographische Länge von Cracau beendet hatte, die Sie in Ihre Astr. Nachr. Nr. 378 und 381 aufzunehmen die Güte hatten, glaubte ich, dafs wenigstens die Secunden dieser Länge stehend bleiben würden. Indessen folgte aus den Untersuchungen des Prof. Hansen in Nr. 395 eine Länge von Cracau, nemlich  $1^h 10' 34'' 89$ , die sich fast um  $5''$  von der unterscheidet, die ich aus 45 Bedeckungen erhielt. Daher fafste ich den Entschluß, um dieses wichtige Element fest zu bestimmen, jährlich die hier beobachteten Sternbedeckungen zur Ermittlung der hiesigen Länge der Rechnung zu unterwerfen, wenn mir dazu correspondirende Beobachtungen aus gut bestimmten Orten zu Gebote stehen würden. Zur Erreichung dieses Zweckes habe ich auch die hier am 14<sup>ten</sup> Jänner 1840 beobachteten Plejaden-Bedeckungen berechnet, und diese Berechnung in den Astr. Nachr. Nr. 408 mitgetheilt. Als aber Prof. Boguslawski seine Beobachtungen in den Astr. Nachr. Nr. 412 bekannt gemacht hatte, nahm ich diese Berechnung wieder vor, und bemerkte sogleich, dafs ich bei der ersten Bedeckung einen kleinen Rechnungsfehler begangen habe, der aber einen sehr geringen Einflufs auf das Endresultat hat. Ueherdies fand ich, dafs die Angabe des Austritts von 19 e Plejadum in Cracau um  $10''$  gröfser, nemlich  $6^h 51' 15'' 82$  seyn sollte, welcher Fehler wahrscheinlich durch fehlerhaftes Zählen der Secunden entstanden seyn mag. Die neue Berechnung der Bedeckung

$$\begin{aligned} &\text{aus 21 k Plejadum die Länge von Breslau} = 58^h 9104 + 0,02753 \Delta x - 0,00695 \Delta \delta \\ &22 l \text{ ————— } \text{ ————— } \text{ ————— } \\ &\text{III. 147 ————— } \text{ ————— } \text{ ————— } \end{aligned}$$

Werden die Gröfsen  $\Delta x$  und  $\Delta \delta$  durch Breslau und Hamburg ( $30' 32'' 4$ ) bestimmt, so findet sich die Länge von Cracau aus

$$\begin{aligned} &21 k \text{ Plejadum} \quad 1^h 10' 29'' 44 \\ &22 l \text{ ————— } \quad \quad \quad 16,48 \\ &\text{III. 147 ————— } \dots\dots\dots 70' 4315 - 0,00880 \Delta \delta. \end{aligned}$$

Das Resultat aus 22 l ist mir ganz unerklärbar, da ich von

von 19 e Plejadum hat nun gegeben:

|   |   |
|---|---|
| Länge von Breslau   | E. = $58^h 9918 + 0,02939 \Delta x - 0,01477 \Delta \delta$ |
| A. = $59,3941 + 0,01955 \Delta x + 0,02711 \Delta \delta$ |   |
| Cracau  | E. = $70,7264 + 0,03028 \Delta x - 0,01858 \Delta \delta$   |
| A. = $71,0470 + 0,01896 \Delta x + 0,02961 \Delta \delta$ |   |
| Hamburg E.  | = $30,8025 + 0,02762 \Delta x - 0,00725 \Delta \delta$      |
| A. = $31,1685 + 0,02081 \Delta x + 0,02175 \Delta \delta$ |   |
| Apenrade E.   | = $28,2340 + 0,02686 \Delta x - 0,00403 \Delta \delta$      |

Bestimme ich die beiden Gröfsen  $\Delta x$  und  $\Delta \delta$  durch Breslau ( $58^h 48' 0$ ), indem die Rechnung gezelet hat, dafs auch der Austritt ganz scharf beobachtet wurde, so erhalte ich die

|                  |                  |                                 |
|------------------|------------------|---------------------------------|
| Länge von Cracau | E. = $70^h 5717$ | } $70^h 5003 = 1^h 10' 30'' 02$ |
| A. = $70,4290$   |                  |                                 |
| Hamburg E.       | = $30,5385$      | 30 32,31                        |
| A. = $30,6258$   |                  | 30 37,55                        |
| Apenrade E.      | = $27,9391$      | 27 56,35                        |

welche Resultate zeigen, dafs der Austritt in Hamburg etwas zu spät, aber dafür der Eintritt ganz scharf beobachtet wurde.

Die Berechnung der drei andern Bedeckungen sind in Nr. 408 der Astr. Nachr. ganz gut angegeben, aufser bei der Bedeckung von 22 l Plejadum, wurde ein Abschreibefehler begangen; es mufs nämlich die Länge von Cracau statt  $70^h 5739$ ,  $70^h 6230$  gelesen werden. Zu diesen drei Bedeckungen kommen noch die aus Breslauer Beobachtungen gefundenen Längen und zwar:

$$\begin{aligned} &58^h 9104 + 0,02753 \Delta x - 0,00695 \Delta \delta \\ &59,1121 + 0,02872 \Delta x - 0,01206 \Delta \delta \\ &59,1674 + 0,03155 \Delta x - 0,02447 \Delta \delta \end{aligned}$$

der Güte der Beobachtung innigst überzeugt bin. Zu der Bedeckung von 147 Plejadum hatte ich blofs die correspondirende Beobachtung aus Breslau, daher auch  $\Delta \delta$  unbestimmt bleibt. —

In dieser Zeit habe ich noch nach der nemlichen Methode zwei andere Bedeckungen berechnet, nemlich

|                |  |   |
|----------------|--|---|
| 1840 Jänner 13 | Eintritt von 34 $\mu$ Arietis in Breslau | um 8 <sup>h</sup> 51'48"44 M. Z.        |
|                | Cracau                                   | 9 11 24,85 —                            |
|                | Hamburg                                  | E. 8 8 9,41 —                           |
|                |  | A. 9 9 45,61 —                          |
| und            | 1840 April 11                            | Eintritt von 27 $\nu$ Leonis in Breslau |
|                |  | um 11 10 26,17 —                        |
|                |  | Cracau 11 25 14,57 —                    |
|                |  | Hamburg 10 34 58,34 —                   |

Aus der ersten Bedeckung erhielt ich die Bedingungs-  
gleichungen für die Längen

$$\begin{aligned} \text{für Breslau} & 61'6652 + 0,03057\Delta x - 0,00687\Delta\delta \\ \text{Cracau} & 74,4609 + 0,03230\Delta x - 0,01157\Delta\delta \\ \text{Hamburg E.} & 31,4657 + 0,02753\Delta x + 0,00143\Delta\delta \\ & \text{A. } 28,8306 + 0,01965\Delta x + 0,02280\Delta\delta \end{aligned}$$

werden die Größen  $\Delta x$  und  $\Delta\delta$  durch Breslau und Hamburg  
bestimmt, so wird

$$\text{die Länge von Cracau} = 1^{\text{h}}10'29''89.$$

Mit dem nemlichen Werthe von  $\Delta x$  und  $\Delta\delta$ , gibt der Austritt  
in Hamburg die Länge dieser Stadt 32'8961, welche auf einen  
großen Schreib- oder Druckfehler hindeutet.

Die Bedeckung von 27  $\nu$  Leonis giebt die Bedingungs-  
gleichungen

$$\begin{aligned} \text{für die Länge von Breslau} & 59'3682 + 0,01439\Delta x - 0,04086\Delta\delta \\ \text{Cracau} & 71'0746 + 0,01560\Delta x - 0,03813\Delta\delta \\ \text{Hamburg} & 31,0726 + 0,01064\Delta x - 0,04930\Delta\delta \end{aligned}$$

Werden hier wieder, so wie oben, die Größen  $\Delta x$  und  $\Delta\delta$   
bestimmt, so kommt die Länge

$$\text{von Cracau} = 1^{\text{h}}10'29''69.$$

Läuft man die Länge aus der Bedeckung von 22  $\mu$  Plejadum,  
als offenbar zu klein, und die aus III. 147 Plejadum, wo  $\Delta\delta$   
unbestimmt geblieben ist und doch einen ziemlich bedeutenden  
Einfluss zu haben scheint, aus, so erhält man die Länge  
von Cracau

|                   |                         |
|-------------------|-------------------------|
| aus 19 e Plejadum | 1 <sup>h</sup> 10'30"02 |
| 21 k —            | 29,44                   |
| 13 $\mu$ Arietis  | 29,89                   |
| 27 $\nu$ Leonis   | 29,69                   |
| im Mittel         | 1 <sup>h</sup> 10'29"76 |

also bloß um 0"2 verschieden von der von mir früher (Astr.  
Nachr. Nr. 381) gefundenen.

Dr. J. K. Steczkowski.

## Beobachtungen von Sternschnuppen zu Braunsberg in Ost-Preussen.

Von Herrn Professor L. Feldt.

Die am 10<sup>ten</sup>, 11<sup>ten</sup> und 12<sup>ten</sup> August, und am 11<sup>ten</sup>, 12<sup>ten</sup>  
und 13<sup>ten</sup> November 1839, und am 12<sup>ten</sup> August 1840 zu  
Braunsberg in Ost-Preussen von mir und Herrn Professor  
Dr. von Dittersdorf beobachteten Sternschnuppen werde ich  
im Nachstehenden etwas näher angeben.

In der Nacht vom 10<sup>ten</sup> auf den 11<sup>ten</sup> August 1839 be-  
trug die Zahl der in 5 Stunden und 55 Minuten von zwei Be-  
obachtern wahrgenommenen Sternschnuppen 197. Unter die-  
sen Sternschnuppen erreichten 2 an Lichtglanz und Größe den  
Planeten Venus, 5 waren wie Jupiter, 33 glichen Sternen  
erster, 91 zweiter und dritter Größe, und 65 waren noch  
kleiner. Bei 17 von diesen Meteoriten wurde ein sehr deutlicher  
Lichtschweif beobachtet; 3 Sternschnuppen hatten eine ge-  
schlängelte Bahn und 1 sprühte Funken. In den Sternkarten  
konnte der Anfangs- und Endpunkt von folgenden Bahnen  
verzeichnet werden.

Braunsberg  $\phi = 54^{\circ}22'54''$ ;  $1^{\text{h}}9'58''$  O. von Paris.

| Nr. | M. Braunsb.<br>Zeit 1839 |         | Anfangspunkt. |         | Endpunkt. |       | Größe. |
|-----|--------------------------|---------|---------------|---------|-----------|-------|--------|
|     | Aug. 10.                 |         | AR.           | Decl.   | AR.       | Decl. |        |
| 1   | 9 <sup>h</sup> 25'15"    | 292°20' | 6°30'         | 284°30' | +5°30'    |       | 3      |
| 2   | 28 29                    | 255 15  | +15 0         | 246 30  | +14 26    |       | 2—3    |
| 3   | 36 47                    | 211 30  | +18 40        | 214 30  | +14 0     |       | 1—2    |

| Nr. | M. Braunsb.<br>Zeit 1839 |         | Anfangspunkt. |        | Endpunkt. |       | Größe.       |
|-----|--------------------------|---------|---------------|--------|-----------|-------|--------------|
|     | Aug. 10.                 |         | AR.           | Decl.  | AR.       | Decl. |              |
| 4   | 9 <sup>h</sup> 43'28"    | 279°30' | +12°40'       | 274°0' | +6°30'    |       | wie Jupiter. |
| 5   | 46 31                    | 138 30  | +52 40        | 161 15 | +39 0     |       | 2            |
| 6   | 10 0 17                  |         |               |        |           |       |              |
| 7   | 12 30                    | 294 0   | +5 30         | 291 30 | —4 40     |       | 1            |
| 8   | 17 10                    | 261 30  | +51 40        | 246 30 | +47 20    |       | 1            |
| 9   | 25 30                    | 196 0   | +67 0         | 205 30 | +54 0     |       | wie Jupiter. |
| 10  | 34 30                    | 330 30  | +61 15        | 325 0  | +73 0     |       | 1—2          |
| 11  | 36 10                    | 195 0   | +88 30        | 228 0  | +52 0     |       | 1            |
| 12  | 49 40                    | 280 30  | +41 30        | 293 15 | +40 15    |       | 1            |
| 13  | 54 45                    | 149 30  | +60 40        | 162 20 | +46 30    |       | 3            |
| 14  | 11 1 45                  | 54 30   | +81 30        | 129 30 | +85 40    |       | 3            |
| 15  | 6 20                     | 247 0   | —7 15         | 242 30 | —16 40    |       | wie Jupiter. |
| 16  | 20 30                    | 225 30  | +74 0         | 212 15 | +66 40    |       | 3            |
| 17  | 21 20                    | 279 30  | —2 40         | 273 0  | —10 30    |       | 1            |
| 18  | 22 40                    | 164 30  | +45 40        | 172 30 | +39 20    |       | 2            |
| 19  | 22 45                    | 205 30  | +50 30        | 210 0  | +45 0     |       | 2            |
| 20  | 24 51                    | 243 30  | +5 15         | 245 30 | —2 40     |       | 2            |
| 21  | 28 15                    | 262 30  | +12 40        | 263 0  | +6 20     |       | 1            |
| 22  | 35 50                    | 188 0   | +58 30        | 203 0  | +53 0     |       | 3            |
| 23  | 45 45                    | 76 30   | +47 40        | 92 30  | +50 30    |       | 1—2          |
| 24  | 47 0                     | 170 30  | +78 20        | 182 20 | +58 30    |       | 3            |
| 25  | 53 20                    | 7 30    | +25 0         | 3 30   | +23 0     |       | 1            |
| 26  | 53 24                    | 22 15   | +23 40        | 15 30  | +22 0     |       | 1            |
| 27  | 12 0 9                   |         |               |        |           |       |              |

| Nr. | M. Brauneb.<br>Zeit 1839<br>Aug. 10. | Anfangspunkt |          | Endpunkt |          | Größe.       |
|-----|--------------------------------------|--------------|----------|----------|----------|--------------|
|     |                                      | AR.          | Decl.    | AR.      | Decl.    |              |
| 28  | 12 <sup>h</sup> 1' 25"               | 210° 15'     | +85° 20' | 203° 20' | +66° 20' | 2            |
| 29  | 14 30                                | 31 0         | +22 15   | 27 30    | +15 40   | 2—3          |
| 30  | 15 0                                 | 31 30        | +36 40   | 25 30    | +33 40   | 2—3          |
| 31  | 16 25                                | 136 30       | +70 15   | 115 30   | +61 30   | 3            |
| 32  | 20 0 <sub>a</sub>                    | 290 20       | — 0 30   | 288 20   | — 6 0    | 2            |
| 33  | 23 25                                | 16 0         | +61 0    | 8 30     | +53 40   | 3            |
| 34  | 26 30                                | 48 30        | +27 40   | 44 30    | +23 0    | 3—4          |
| 35  | 34 30                                | 26 30        | +21 0    | 22 30    | +16 15   | 2—3          |
| 36  | 37 5                                 | 303 30       | +12 30   | 300 0    | + 6 20   | 2—3          |
| 37  | 37 25                                | 33 30        | +24 0    | 26 15    | +27 20   | 3            |
| 38  | 51 1                                 | 299 30       | +25 30   | 295 20   | +17 30   | wie Jupiter. |
| 39  | 13 4 49                              | 261 0        | +88 30   | 241 20   | +81 0    | 4            |
| 40  | 8 29                                 | 226 0        | +74 0    | 205 30   | +66 40   | 3            |
| 41  | 14 19                                | 312 30       | +14 20   | 309 30   | + 9 20   | 2            |
| 42  | 32 29                                | 201 15       | +64 0    | 205 30   | +53 20   | 2—3          |
| 43  | 41 11                                | 306 30       | +52 40   | 300 30   | +47 30   | wie Venus.   |
| 44  | 51 14                                | 80 20        | +30 40   | 84 30    | +25 0    | 2            |
| 45  | 52 29                                | 7 30         | +79 20   |          |          | 2            |
| 46  | 14 0 19                              | 290 30       | +44 30   | 288 0    | +37 40   | 1            |
| 47  | 4 24                                 | 275 0        | +38 30   | 270 0    | +29 0    | 1            |
| 48  | 8 34                                 | 88 30        | +51 40   | 102 30   | +54 0    | 1—2          |
| 49  | 8 49                                 | 277 30       | +21 0    | 265 0    | +13 0    | 3            |
| 50  | 13 54                                | 297 0        | +43 0    | 287 30   | +35 0    | 2            |
| 51  | 15 24                                | 292 20       | +32 30   | 287 0    | +26 30   | 2            |
| 52  | 24 29                                | 293 30       | + 8 0    | 288 30   | — 6 20   | 1            |
| 53  | 32 39                                | 76 30        | +46 40   | 80 0     | +41 30   | 2            |
| 54  | 45 55                                | 316 0        | +29 20   | 305 0    | +17 30   | 2            |

Von diesen im Vorstehenden angegebenen Beobachtungen scheinen die unter Nr. 6, 27 und 28 beobachteten Meteore mit denen in Altona am 10<sup>ten</sup> August unter Nr. 1, 29 und 30 vom Herrn Etatsrath *Schumacher* und Herrn Capitain v. *Nekus* wahrgenommenen identisch zu sein. Vergl. das Schreiben des Herrn Geheimen Raths *Bessel* in diesen Nachrichten Nr. 384.

In der Nacht vom 11<sup>ten</sup> auf den 12<sup>ten</sup> August konnte nur von 9 Uhr 30 Minuten Abends bis gegen Mitternacht beobachtet werden, von Mitternacht bis 1 Uhr des Morgens unterbrachen Gewitter und Regen die weitere Beobachtungen, und von 1 Uhr bis nach 2 Uhr des Morgens heiterte sich der Himmel nur immer theilweise auf. Es wurden in dieser Nacht im Ganzen 58 Sternschnuppen angemerkt. Unter diesen war eine kleine Feuerkugel, 19 Sternschnuppen waren wie Sterne erster, 28 wie Sterne zweiter Größe, und 6 noch kleiner; 4 Sternschnuppen zeigten sich ganz so wie schnell fortfliegende Funken. Von 18 Sternschnuppen ist der Anfangs- und Endpunkt der Bahn in die Karten, wie folgt, eingetragen worden.

1839 Aug. 11.

|   |                        |          |          |         |         |   |
|---|------------------------|----------|----------|---------|---------|---|
| 1 | 9 <sup>h</sup> 30' 20" | 296° 30' | +42° 30' | 286° 0' | +37° 0' | 2 |
| 2 | 36 14                  | 274 30   | +12 40   | 269 0   | + 7 30  | 2 |
| 3 | 48 2                   | 304 0    | + 8 40   | 298 30  | + 3 20  | 2 |
| 4 | 48 3                   | 167 30   | +82 40   | 162 0   | +60 0   | 1 |

| Nr. | M. Brauneb.<br>Zeit 1839<br>Aug. 11. | Anfangspunkt |          | Endpunkt |          | Größe.      |
|-----|--------------------------------------|--------------|----------|----------|----------|-------------|
|     |                                      | AR.          | Decl.    | AR.      | Decl.    |             |
| 5   | 10 <sup>h</sup> 0' 39"               | 233° 30'     | + 8° 30' | 235° 0'  | + 0° 40' | 3           |
| 6   | 5 29                                 | 302 30       | + 9 20   | 293 30   | + 5 0    | 1           |
| 7   | 13 13                                | 311 0        | +12 40   | 303 30   | + 5 0    | 2           |
| 8   | 15 58                                | 296 30       | +41 20   | 288 30   | +34 30   | 1—2         |
| 9   | 21 18                                | 21 0         | +58 40   | 222 30   | +45 40   | 1           |
| 10  | 42 41                                | 237 30       | + 7 30   | 236 0    | + 2 20   | 1           |
| 11  | 46 16                                | 264 0        | +13 20   | 259 0    | + 1 40   | 1           |
| 12  | 46 23                                | 225 0        | +73 0    | 200 0    | +57 20   | 1           |
| 13  | 49 10                                | 257 30       | +81 0    | 242 0    | +62 30   | 1           |
| 14  | 51 22                                | 195 30       | +56 20   | 198 30   | +48 40   | 2           |
| 15  | 55 40                                | 244 30       | +38 0    | 228 0    | +25 0    | 1           |
| 16  | 57 37                                | 249 0        | +28 40   | 257 30   | +23 40   | 2.          |
| 17  | 11 3 32                              | 27 30        | +37 0    | 20 0     | +32 30   | 1           |
| 18  | 33 45                                | 321 30       | +11 20   | 292 30   | + 2 30   | kl. Feuerk. |

In der Nacht vom 12<sup>ten</sup> auf den 13<sup>ten</sup> August blieb der Himmel bis gegen 1 Uhr 40 Minuten des Morgens in dichte Wolken gehüllt, und erst nach 2 Uhr des Morgens heiterte es sich auf; die Zahl der in einem Zeitraume von 1 Stunde und 15 Minuten beobachteten Sternschnuppen betrug nun noch 19. Verzeichnet wurden folgende:

1839 Aug. 12.

|   |                         |          |         |         |          |     |
|---|-------------------------|----------|---------|---------|----------|-----|
| 1 | 13 <sup>h</sup> 54' 26" | 258° 20' | +57° 0' | 266° 0' | +48° 30' | 3—4 |
| 2 | 14 3 1                  | 198 30   | +57 30  | 207 0   | +48 30   | 2—3 |
| 3 | 7 30                    | 279 0    | +66 0   | 246 30  | +52 0    | 2   |
| 4 | 11 1                    | 295 30   | +11 0   | 292 30  | +4 20    | 2—3 |
| 5 | 20 41                   | 296 0    | + 7 30  | 292 0   | 0        | 1   |
| 6 | 25 30                   | 304 0    | +40 0   | 292 30  | +29 0    | 1—2 |
| 7 | 34 31                   | 276 0    | + 8 40  | 272 30  | + 2 30   | 2   |

Die in den Nächten vom 11<sup>ten</sup> auf den 12<sup>ten</sup>, vom 12<sup>ten</sup> auf den 13<sup>ten</sup> und vom 13<sup>ten</sup> auf den 14<sup>ten</sup> November 1839 wahrgenommene Anzahl von Sternschnuppen war nur geringe. — In der ersten Nacht wurden im Ganzen 10 Stunden und 27 Minuten 28 Sternschnuppen, in der zweiten in 10 Stunden und 40 Minuten 39, und in der dritten Nacht in 10 Stunden und 34 Minuten 64 dieser Meteore beobachtet. In der Nacht vom 14<sup>ten</sup> auf den 15<sup>ten</sup> November war der Himmel völlig bedeckt. In die Sternkarten wurden in den genannten drei Nächten folgende Bahnen eingetragen.

1839 Novbr. 11.

|    |                        |        |          |         |         |     |
|----|------------------------|--------|----------|---------|---------|-----|
| 1  | 7 <sup>h</sup> 20' 26" | 29° 0' | +35° 30' | 44° 30' | +45° 0' | 2—3 |
| 2  | 8 5 8,1                | 45 0   | +46 40   | 34 0    | +48 30  | 3   |
| 3  | 33 12,9                | 176 30 | +79 0    | 177 30  | +77 0   | 3   |
| 4  | 9 49 22,4              | 117 30 | +29 0    | 127 0   | +22 40  | 1   |
| 5  | 12 37 6,3              | 147 0  | +64 0    | 138 30  | +73 30  | 3   |
| 6  | 48 1,2                 | 136 30 | +57 40   | 127 0   | +66 20  | 2   |
| 7  | 13 7 36,6              | 131 30 | +60 30   | 155 0   | +61 0   | 2   |
| 8  | 15 26 21,2             | 150 0  | +26 0    | 164 30  | +31 0   | 2   |
| 9  | 16 5 24,4              | 160 30 | +67 20   | 180 0   | +83 40  | 2   |
| 10 | 12 13,4                | 179 0  | +67 0    | 197 0   | +52 40  | 1—2 |
| 11 | 59 55,1                | 182 30 | +21 40   | 200 30  | +22 0   | 2   |
| 12 | 17 15 29,5             | 207 30 | +22 30   | 221 80  | +28 0   | 2—3 |
| 13 | 43 15,8                | 236 0  | +33 40   | 268 0   | +36 0   | 1   |

| Nr. | M. Braunsch.<br>Zeit 1839<br>Nov. 12. |         | Anfangspunkt. |         | Endpunkt. |            | Größe. |
|-----|---------------------------------------|---------|---------------|---------|-----------|------------|--------|
|     | AR.                                   | Decl.   | AR.           | Decl.   | AR.       | Decl.      |        |
| 1   | 6 <sup>h</sup> 42' 39" 2              | 28° 30' | +22° 40'      | 35° 30' | +24° 30'  | 1—2        |        |
| 2   | 50 41,6                               | 76 30   | +48 0         | 69 0    | +43 30    | 2          |        |
| 3   | 7 0 25,0                              | 81 30   | +54 20        | 75 0    | +49 0     | 2          |        |
| 4   | 8 46 53,3                             | 275 30  | +53 20        | 257 30  | +51 20    | 1          |        |
| 5   | 10 25 16,7                            | 158 0   | +44 30        | 151 30  | +36 30    | 1          |        |
| 6   | 34 41,1                               | 112 30  | +32 20        | 124 30  | +28 0     | 1          |        |
| 7   | 50 14,0                               | 114 30  | +35 40        | 127 0   | +32 40    | 2          |        |
| 8   | 11 20 9,3                             | 161 0   | +73 20        | 171 30  | +58 0     | 1          |        |
| 9   | 26 28,8                               | 220 30  | +72 20        | 198 0   | +48 30    | wie Venus. |        |
| 10  | 34 15,2                               | 264 30  | +77 0         | 225 30  | +66 30    | 1—2        |        |
| 11  | 14 2 46,3                             | 175 0   | +55 0         | 151 30  | +52 20    | 2          |        |
| 12  | 16 43 55,2                            | 143 30  | +7 40         | 144 0   | +5 0      | 2          |        |
| 13  | 52 25,1                               | 141 0   | +11 30        | 156 30  | +12 0     | 2          |        |
| 14  | 54 25,1                               | 129 30  | +11 30        | 126 0   | +1 40     | 1          |        |
| 15  | 17 4 45,6                             | 131 30  | +2 0          | 138 20  | +5 30     | 3—4        |        |
| 16  | 10 24 5                               | 119 0   | +14 30        | 130 30  | +12 30    | 1          |        |
| 17  | 20 10,9                               | 157 30  | +1 30         | 167 30  | +1 0      | 3—4        |        |

1839 Nov. 13.

|    |    |         |        |        |        |        |     |
|----|----|---------|--------|--------|--------|--------|-----|
| 1  | 10 | 0 4,4   | 145 30 | +46 40 | 158 30 | +43 40 | 3   |
| 2  | 4  | 51,8    | 87 30  | +5 0   | 90 30  | +2 40  | 2—3 |
| 3  | 9  | 32,8    | 98 0   | +20 30 | 111 0  | +26 0  | 1—2 |
| 4  | 55 | 47,0    | 145 30 | +47 20 | 152 30 | +40 0  | 3   |
| 5  | 11 | 2 2,9   | 229 30 | +72 30 | 222 30 | +56 20 | 1   |
| 6  | 24 | 7,8     | 114 0  | +23 30 | 113 0  | +12 20 | 2—3 |
| 7  | 32 | 42,7    | 169 30 | +72 20 | 152 0  | +62 40 | 1   |
| 8  | 34 | 39,7    | 127 0  | +35 0  | 143 0  | +37 40 | 1   |
| 9  | 39 | 59,7    | 112 0  | +25 0  | 102 30 | +18 20 | 1   |
| 10 | 44 | 16,2    | 101 30 | +12 0  | 113 0  | +15 40 | 1—2 |
| 11 | 49 | 31,1    | 213 30 | +78 0  | 169 30 | +68 30 | 2—3 |
| 12 | 12 | 22 42,4 | 142 0  | +21 20 | 153 30 | +18 40 | 1   |
| 13 | 29 | 17,8    | 126 30 | +23 40 | 118 30 | +11 40 | 1   |
| 14 | 36 | 50,8    | 137 30 | +21 40 | 151 0  | +22 30 | 2   |

| Nr. | M. Braunsch.<br>Zeit 1839<br>Nov. 13. |          | Anfangspunkt. |         | Endpunkt. |              | Größe. |
|-----|---------------------------------------|----------|---------------|---------|-----------|--------------|--------|
|     | AR.                                   | Decl.    | AR.           | Decl.   | AR.       | Decl.        |        |
| 15  | 12 <sup>h</sup> 41' 8"                | 120° 30' | +21° 20'      | 109° 0' | +12° 40'  | 3            |        |
| 16  | 46 31,2                               | 116 0    | +29 20        | 128 30  | +33 0     | 1            |        |
| 17  | 13 46 38,8                            | 180 0    | +17 20        | 181 0   | +5 0      | 1            |        |
| 18  | 16 10 15,9                            | 218 0    | +38 40        | 225 30  | +40 0     | 2—3          |        |
| 19  | 14 9,4                                | 192 0    | +3 40         | 193 30  | +5 30     | 1—2          |        |
| 20  | 14 37,4                               | 218 30   | +38 20        | 225 30  | +33 20    | 2—3          |        |
| 21  | 21 11,4                               | 188 0    | +25 0         | 199 30  | +20 0     | 2            |        |
| 22  | 24 25,8                               | 235 30   | +38 30        | 244 30  | +37 40    | wie Jupiter. |        |
| 23  | 33 15,0                               | 207 30   | +48 30        | 202 0   | +40 0     | 2            |        |
| 24  | 17 1 55,1                             | 360 0    | +86 20        | 323 30  | +74 30    | 1            |        |
| 25  | 27 30,4                               | 160 30   | +1 30         | 163 30  | +5 30     | 1            |        |
| 26  | 45 12,3                               | 299 0    | +83 40        | 291 30  | +72 30    | 1            |        |

Im August d. J. 1840 waren die Nächte vom 10<sup>ten</sup> auf den 11<sup>ten</sup> und vom 11<sup>ten</sup> auf den 12<sup>ten</sup> ganz trübe; in der Nacht vom 12<sup>ten</sup> auf den 13<sup>ten</sup> August wurden im Ganzen in 6 Stunden und 18 Minuten nur 15 Sternschnuppen beobachtet. Von diesen Sternschnuppen konnten folgende in den Sternkarten verzeichnet werden.

1840 Aug. 12.

|    |                        |         |          |          |         |     |
|----|------------------------|---------|----------|----------|---------|-----|
| 1  | 9 <sup>h</sup> 48' 58" | 195° 0' | +44° 20' | 186° 30' | +38° 0' | 1   |
| 2  | 10 41 57,8             | 265 30  | +50 0    | 275 0    | +39 30  | 1   |
| 3  | 10 57 33,7             | 105 30  | +46 40   | 76 20    | +43 30  | 1   |
| 4  | 12 30 27,1             | 206 0   | +63 0    | 200 30   | +57 40  | 2   |
| 5  | 34 46,5                | 271 30  | +48 40   | 275 0    | +40 30  | 1   |
| 6  | 47 11,4                | 60 0    | +87 0    | 119 30   | +75 0   | 1   |
| 7  | 58 30,8                | 34 0    | +23 0    | 28 30    | +18 0   | 1   |
| 8  | 13 1 53,3              | 41 30   | +36 0    | 39 0     | +31 0   | 1—2 |
| 9  | 3 39,7                 | 311 0   | +85 40   | 282 0    | +84 0   | 1   |
| 10 | 54 43,3                | 60 30   | +44 0    | 65 0     | +36 30  | 1   |
| 11 | 14 6 48,2              | 90 30   | +48 30   | 96 30    | +42 0   | 1   |

Die unter Nr. 3 angegebene Sternschnuppe durchlief ihren Weg langsam; die Dauer der ganzen Erscheinung dauerte über 10".

Feldt.

## Druckfehler in Nr. 422 der Astr. Nachr.

| S. 219 Z. 23....                     | statt welchem  | lese man welcher |
|--------------------------------------|----------------|------------------|
| 224 α Serpentin 4 <sup>te</sup> Col. | statt 59,82    | — 49,82          |
| 225 Z. 21                            | statt Der      | — Den            |
| 226 — 3 v. u.                        | + β(1 + cos z) | + β(1 + cos z)   |
| — 2 —                                | + β(1 - cos z) | + β(1 - cos z)   |

| S. 231 Z. 9             | statt +0,155 z | lese man —0,155 z |
|-------------------------|----------------|-------------------|
| 232 — 40 —              | (62)           | — (61)            |
| — 41 —                  | (61)           | — (62)            |
| 235 Nr. 37. α Bootis    | st. —0,967     | — —1,967          |
| 236 Nr. 50. α Can. min. | — —0,64        | — —1,64           |

## I n h a l t.

(zu Nr. 427.) Vergleichung der neuen Königsberger Bestimmung der Declinationen der Fundamentalsterne und einiger Circumpolarsterne mit anderen Verzeichnissen. Von Dr. A. L. Busch. p. 305. — Schreiben des Herrn Rümker, Directors der Hamburger Sternwarte, an den Herausgeber. p. 307. — Verzeichnis von Sternen in der scheinbaren Bahn des October 1840 im Drachen entdeckten Cometen. p. 309. — Schreiben des Herrn Prof. Argander, Directors der Sternwarte in Bonn, an den Herausgeber. p. 317. — Schreiben des Herrn Hofraths Mädler, Directors der Sternwarte in Dorpat, an den Herausgeber. p. 321. — Schreiben des Herrn Dr. Max Weiss an den Herausgeber. p. 325. — Mondsterne und Sternbedeckungen auf der Gracenet Sternwarte im Jahre 1840 beobachtet. p. 327. — Schreiben des Herrn Dr. J. K. Steczkowski an den Herausgeber. p. 329. — Beobachtungen von Sternschnuppen zu Braunschweig in Ostpreußen. Von Herrn Prof. L. Feldt. p. 331. — Druckfehler in Nr. 422 der Astr. Nachr. p. 335.

Altona 1841. Juni 17.

Schreiben des Herrn *Bianchi* au den Herausgeber.

Modène 1841. Mars 20.

Je vous dois depuis quelque temps une réponse au sujet de la variable de la Baleine et sur les observations en général par lesquelles on juge de la grandeur ou de l'intensité comparative de lumière des étoiles; et c'est ce dont je me propose de vous entretenir dans cette lettre. En commençant par les derniers changemens que j'ai remarqués dans l'éclat de *o Ceti*, en voici la petite suite de mes notations:

| Dates.        | Grandeur estimée<br>o Ceti. | Suivante.        | Etat du ciel.                              |
|---------------|-----------------------------|------------------|--|
| 1839 Sept. 26 | 3-4 <sup>me</sup>           | 11 <sup>me</sup> | Serein très beau: clair de Lune: jug. sûr. |
| Oct. 1        | 4+                          | 10-11            | Serein.                                    |
| 9             | 4+                          | 12               | Serein: air humide: l'étoile rayonne.      |
| 20            | 4-                          | 10-11            | Serein beau: clair de Lune.                |
| Nov. 8        | 4-                          | 10-11            | Serein.                                    |
| 24            | 5+                          | 10-11            | Serein légèrement voilé de brouillard.     |
| Déc. 29       | 6                           | 11-12            | Serein.                                    |
| 1840 Janv. 8  | 6-7                         | 11               | Serein beau.                               |
| Nov. 24       | 6                           | 11               | Id.  |
| Dec. 25       | 6                           | 11               | Serein.                                    |
| 27            | 8-9                         | 11               | Beau serein.                               |
| 1841 Janv. 12 | 7-8                         | 10-11            | Serein avec des nuages éparses.            |
| 26            | 8-9                         | 10-11            | Serein avec léger brouillard.              |

Je ne fis que ce petit nombre d'observations; car je me suis imposé de ne juger de la grandeur ou de l'éclat de l'étoile, hors que à son passage méridien, avec ma lunette de *Frankhofer* à grossissement toujours le même, dans l'état plus favorable et à peu-près bien établi ou permanent de l'atmosphère; et conséquemment en circonstances qui permettent de regarder les jugemens de la vue comparables entr'eux; comme l'hauteur de l'étoile à chaque observation c'est la même. A côté de la grandeur estimée de la variable j'ai cru bien de reporter aussi celle de sa petite compagne, parce que elle fournit un objet et un terme presque sûr de comparaison pour évaluer l'éclat de la précédente, dans la supposition que la petite ou suivante ne soit pas elle même variable. En effet et dans cette hypothèse je considère que la grandeur vraie et constante de la petite étoile, assez voisine de la variable pour que on les voit toutes les deux d'un coup d'oeil dans le milieu

de la lunette, est de 10<sup>me</sup> à 11<sup>me</sup>; et cela veut dire pour moi que la suivante est tant soit-peu visible dans le champ tout-à-fait éclairé; tandis que, si pour la voir il faut obscurcir le champ, alors je la juge d'une grandeur moindre jusqu'à la 12<sup>me</sup> par une estime de simple exercice ou de pratique. Ses variations, telles que je les ai remarquées et reportées ci-dessus, peuvent-elles bien s'attribuer à un degré plus grand ou moins de pureté et de transparence de l'air, ce qui surtout se rend sensible dans la visibilité des étoiles très-petites; et par cela on a même le critère, peut-être le meilleur, pour corriger les jugemens d'éclat des étoiles plus brillantes. Or, assignée de cette manière la grandeur apparente de la petite compagne de la variable, l'estime de la grandeur de cette dernière en découle avec une certaine confiance pour l'oeil exercé; comme pour l'oreille du musicien, donné un son entier ou demi de l'échelle, on juge aussitôt et exactement la valeur ou le ton d'une voix différente qui en même temps se fait entendre. Voilà donc en ce peu de mots expliqué le principe et le système de mes jugemens photométriques, que je regarde comme plus raisonnables et moins fautive, moyennant la lunette, que ceux donnés à la vue simple par une comparaison d'étoiles qui occupent au même instant des lieux plus ou moins différens en hauteur, en constitution atmosphérique, et en autres circonstances qui peuvent alterer le jugement relatif et les conséquences qu'on en tire.

Maintenant si nous arrêtons un moment sur la table ci-dessus des grandeurs estimées de la variable, je y vois avec plaisir: 1<sup>o</sup>. que le plus grand éclat de l'étoile dans l'année 1839 tomba, comme je vous l'avais annoncé quelque mois auparavant (A. N. Nr. 383. p. 376) vers la fin de Septembre ou au commencement d'Octobre; 2<sup>o</sup>. que cette époque à petite différence s'accorde avec les observations et conclusions de M<sup>r</sup> le Prof. *Argelander* (A. N. Nr. 398 p. 218); ce qui pour moi est autant plus flatteur et agréable que nous étions discordans sur ce point du grand éclat de l'étoile dans la période avant dernière de ses changemens (A. N. Nr. 377. pag. 287); 3<sup>o</sup>. que nous nous sommes même accordés réellement sur la valeur ou le degré du éclat maximum assigné par estimé à l'étoile; quoiqu'en apparence il y a en cela parmi nos juge-

mens une discordance. Pour moi en effet je jugeais que l'étoile brillait le plus le 26 Septembre et qu'elle en avait la grandeur de 3.4<sup>me</sup>; ce qui je corrigerais en 3<sup>me</sup>, attendu que la suivante me parut de 11<sup>me</sup>; et cependant peu de jours après la Mira par *Mr Argelander* était jugée à son maximum de lumière et, pour son égalité à celle de  $\beta$  du Cocher, de la 2<sup>me</sup> grandeur. Or je dis qu'en cela nous nous accordons; parce que je trouve dans mes registres d'observation que j'ai plusieurs fois assigné la grandeur de 3.4<sup>me</sup> à  $\beta$  du Cocher, et dernièrement par un air le plus pur je n'ai cru la juger, à la lunette et tout-près du zénit, plus grande ou brillante que de 3<sup>me</sup>; ce qui ne s'accorderait pas ni avec *Mr Argelander* ni avec *Piazzi*, qui donnent la 2<sup>me</sup> grandeur à Menkalinan (A. N. Nr. 398. pag. 218). Mais que cette étoile ne soit elle à présent plus que de 3<sup>me</sup> grandeur, je vous en propose ici des expériences et des épreuves à l'œil nu bien faciles et contraignantes.

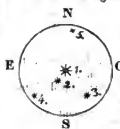
Dans un beau soir levez vous les yeux à regarder les quatre étoiles, la Chèvre,  $\beta$  du Cocher, Castor et Pollux, disposées respectivement en arc dans la voûte céleste, comme la figure ci-jointe les représente. A l'extrémité occidentale de l'arc *a* est la Chèvre,  $\beta$  Menkalinan, *c* Castor, et *d* à l'extrémité orientale c'est Pollux. Vous verrez hors de doute que dans l'ordre de l'éclat ou de la grandeur on a...*a* > *d* > *c* > *b*; en sorte que les deux étoiles plus brillantes se trouvent aux extrémités, et les deux moindres plus vers le milieu de l'arc. L'étoile *a* est sûrement de première grandeur; je juge *d* de la 2<sup>me</sup> et *c*, très-belle double comme on sait, de 2.3<sup>me</sup>; donc *b* sera tout au plus de la 3<sup>me</sup>. Et déjà en comparant directement *b* avec *a* on pouvait en conclure qu'elles diffèrent au moins de deux ordres de grandeur de l'une à l'autre. Pour une autre comparaison tournez vos regards du  $\beta$  Cocher à l'étoile polaire et viceversa. Je demande quelle de deux c'est la plus éclatante? Pour moi, à la lunette ou à la vue simple, sûrement la polaire; tout que  $\beta$  du Cocher soit elle bien plus élevée; mais généralement on admet que la polaire est de 2.3<sup>me</sup> grandeur: donc de nouveau  $\beta$  du Cocher sera de la 3<sup>me</sup>, à beaucoup dire. C'est d'après cela que nous nous accordâmes, *Mr Argelander* et moi, à juger de la même grandeur à Ceti dans sa grande phase de l'Octobre 1839.

A présent si je ne conviens pas avec *Piazzi* sur la grandeur de  $\beta$  du Cocher (à moins que cette étoile ne soit elle aussi variable), au contraire je suis à moi avec lui sur l'estime de grandeur pour  $\alpha$  Piscium, que je fais de 5<sup>me</sup> comme on la trouve assignée par le Catalogue du célèbre astronome de Palerme. Sur sa parole et sans en donner de raison

*Mr Argelander* nous dit que cette indication de *Piazzi* est une faute d'impression dans son dernier Catalogue (je n'ai pas la première édition; mais dans le Livre VI du Royal Observatoire de Palerme on lit pour  $\alpha$  Piscium la grandeur 4.5<sup>me</sup> page 25); et c'est la seconde fois que le distingué Astronome de Bonn relève de pareilles fautes (A. N. Nr. 398. pag. 220). Mais si l'étoile n'a pas des changements soudains et irréguliers échappés jusqu'ici à l'observation, il me semble qu'on doit la rétenir constamment de 5<sup>me</sup> grandeur, au surplus de 4.5<sup>me</sup>; et pour moi je ne l'ai pas vue plus éclatante, qu'ainsi. On sait qu'elle est double et, lorsqu'on l'observe à la lunette, la petite étoile des deux qui la composent paraît à mon avis de 7<sup>me</sup> et la majeure de 5.6<sup>me</sup> grandeur; ce qui dans l'ensemble produit à l'œil l'impression de la 5<sup>me</sup> à peu-près. Dans ma lunette du cercle, dont le champ a le rayon de 22' en arc, si on en ôte l'éclairage des fils pendant la nuit, l'espace visible du ciel autour de  $\alpha$  Piscium et au méridien se présente comme dans la figure ci-dessinée et qui renverse les positions

vraies. L'étoile 1 au centre c'est la grande, 2. la petite de *a*, 3. est une étoile de 8.9<sup>me</sup>, 4. de 9<sup>me</sup>, et la 5. c'est une de 11.12<sup>me</sup>. En regardant même à l'œil nu par l'ouverture méridienne tout après le passage de  $\alpha$  Piscium (le ciel étant magnifique la nuit 24 Novembre 1840) et en voyant toute à l'heure *a* du Belier et *a* des Poissons, je me confirmais que la première de ces étoiles est de deux ordres de grandeur au dessus de la seconde; et je m'en ai toujours plus persuadé par les passages méridiens en plein jour le 10 Février de l'année courante. A l'égard des témoignages qu'on m'a objectés, l'expression indéterminée et poétique d'Aratus ne décide nulle part la question, et même pourrait-on admettre que l'étoile brillait-elle anciennement plus que aujourd'hui, et peut-être qu'elle aura diminué aussi en éclat dès l'âge et les observations d'Evellus. Mais les yeux et les observations modernes sont ici les juges, pas les autorités anciennes! Donc *Piazzi* aura caractérisée  $\alpha$  Piscium de 5<sup>me</sup> grandeur comme il la voyait et je la vois, et il n'y a pas de raison de supposer en cela une faute de la presse. Donc la difficulté que je proposais à *Mr Argelander* en terminant ma lettre du 16 Juin 1839 (A. N. Nr. 383. pag. 376) n'a pas été résolue.

Pour l'amour du vrai, qui est mon seul but, je conviens maintenant en ce que m'opposait *Mr Argelander* sur l'assignation de la 5<sup>me</sup> grandeur à l'étoile *a* des Poissons dans le Catalogue de *Bradley*, réduit et reporté par *Mr Bessel* dans son ouvrage classique des *Fundamenta*. Et de même je me hâte de lui accorder tout-sincèrement que mes expressions



sur la pénible visibilité d'une étoile de 5<sup>me</sup> grandeur, à l' hauteur de 40°, avec ma lunette et dans la pleine lumière crépusculaire, furent inexactes ou exagérées (A. N. Nr. 383. p. 375). Ce que je voulais dire à cette occasion-la, c'était que en jugeant alors la Mira de 3<sup>me</sup> grandeur, comme je venais de la marquer, je crus de la distinguer bien de l'impression beaucoup plus faible d'une étoile de 5<sup>me</sup> dans les circonstances énoncées. Que au reste ma lunette aussi ne manque pas de force et de clarté à me faire appercevoir les étoiles hautes de 6<sup>me</sup> et de 7<sup>me</sup> dans le crépuscule du jour; et à toute épreuve j'en ai vu au passage méridien le 10 Février de cette année la petite étoile de  $\alpha$  Piscium; toutefois comme un point presque imperceptible et que je n'aurais pas aperçu sans en être averti par l'étoile principale.

En revenant à la source des divergences dans ce genre d'observations, c'est à dire à la méthode de reconnaître et d'assigner les rapports de grandeur des étoiles par des comparaisons à la vue simple, ou par des excellentes lunettes et sur une échelle qu'on vient de se former après un long exercice, j'insiste qu'en général ce second moyen est plus recommandable plus sûr plus exact que le premier. Lorsqu'on observe une étoile au milieu du champ éclairé de la lunette, l'attention de notre esprit est tournée tout directement avec la vue sur un objet unique, et elle y est pour ainsi dire bornée par un petit espace qui la réserve ni laisse point qu'elle se divague à l'extérieur. Par là les images se gravent avec toute la force et la distinction dans l'âme, et nous pouvons nous les rappeler au souvenir avec une vivacité particulière, et presque les voir. Au contraire si on regarde le ciel étoilé à la vue simple dans la nuit, l'oeil et en conséquence aussi l'attention est frappé par une multitude de points étincelans et très-différens en place, arrangement et éclat respectif; et c'est pourquoi que dans les images individuelles que nous en recevons, dans les comparaisons et dans les jugemens que nous en faisons il est bien rare ou difficile qu'il ne s'y mêle un tant soit-peu de confusion et d'incohérence; et je crois qu'en observant de la sorte on ne peut assurer les rapports et les variations d'éclat que pour les étoiles des premiers deux ou trois ordres de grandeur. C'est ainsi que Sir J. Herschel, pas seulement avec ses moyens photométriques mais aussi à l'oeil nu, a-t-il bien réussi à découvrir et démontrer que, parmi les étoiles de première grandeur,  $\alpha$  d'Orion est variable périodiquement (Journal, P. Institut. 1840. Nr. 346); et certainement que les conclusions d'un tel astronome ont été bien établies. Outre cela il faut prendre garde à déterminer l'éclat d'une étoile absolument ou relativement selon qu'on y vise avec les yeux plus ou moins directement; et à ce propos je veux dire; après mon expérience répétée et, à ce qui me semble d'avoir entendu, arrivée de même à Mr. Herschel, que

les étoiles nous paraissent plus brillantes qu'elles ne le sont dès que nous les voyons un peu de côté ou obliquement. Je vous en donne ici un exemple tout récent. Le soir du 26 Février ci-devant j'observais au centre de la lunette méridienne la 25 du Lix (221 H. VII. Piazzi) que je jugeais un peu plus que de 7<sup>me</sup> grandeur, ou de la 6.7<sup>me</sup>, et en voyant avec elle près du bord supérieur dans le champ la 26 (222 H. VII. P.) j'étais cette dernière de 5<sup>me</sup>. Trois jours après ou le soir 1 Mars (le temps étant superbe et l'air très pur dans l'un et l'autre de ces soirs) je plaçais au centre la 26 du Lix, qui me parut alors de 6.6<sup>me</sup>, pendant que la 25 visible en même temps au bord inférieur du champ dévint à mes yeux de 6<sup>me</sup>. Ces deux étoiles ont été signalées par Piazzi comme égales et chacune de 7<sup>me</sup> grandeur (voilà que en ce cas, comme en bien d'autres, j'exécute avec mon estime celle de Piazzi, et que je n'en suis pas toujours au dessous); elles pour moi sont respectivement de 6.7<sup>me</sup> et de 5.6<sup>me</sup>, en croissant chacune d'une demi grandeur lorsqu'on la voit obliquement. De ce phénomène optique je pourrais vous rendre des raisons physico-physiologiques; mais puisqu'elles sont faciles à ce présenter je les surpasse, et je demande plutôt: si l'obliquité des rayons visuels fait-elle changer le jugement de l'éclat propre des étoiles dans le petit espace du champ de la lunette, combien la même cause ne devra-t-elle altérer les jugemens parails qu'on fait à la vue simple? Cependant, puisqu'on ne peut pas viser en même tems directement à deux étoiles placées à distance plus ou moins grandes l'une de l'autre, pour bien juger leur éclat comparatif je pense qu'il est bon de diriger la vue au point intermédiaire du ciel, et que sans cette précaution il peut-être aisé de se tromper dans le jugement. Ajoutez encore que par les Lunettes on s'aperçoit mieux qu'à la vue simple et tout promptement des changemens soudains qui surviennent quelquefois dans la pureté et transparence de l'air; notre atmosphère ressemblant à une solution chimique très simple qui se trouble dès qu'on y verse la goutte d'un alcali ou d'un acide; et cette goutte dans le langage météorologique c'était, à quelque hauteur que ce soit, un courant qui ôte à l'air sa tranquillité ou qui en altère tout-à-coup la température et par cela en degage et en agite les vapeurs vésiculaires. Tout cela vient de se rendre sensible aussitôt avec les lunettes, ou que ce soit par les changemens d'éclat et de rayonnement des étoiles plus lumineuses, ou par la variation qui en arrive dans la visibilité des étoiles télescopiques. Pour exemple le soir du 28 Février dernier, pendant que j'observais au méridien  $\delta$  de la petite Ourse (de 5<sup>me</sup> grandeur comme la  $\delta$  de la grande Ourse, pas de 3<sup>me</sup> comme ces deux étoiles se trouvent marquées par les Catalogues), tout à coup l'étoile de la 5<sup>me</sup> grandeur passe sous mes yeux à la 6<sup>me</sup>, et toutefois en regardant hors de 1-

lunette le ciel se conservait-il à l'apparence très-beau et serrein; mais peu d'instans ensuite il venait de se couvrir de brouillard et de nuages.

Après tous ces faits et réflexions, que je soumetts au jugement des astronomes, o me pardonnera si je m'en tiens à ma manière de reconnaître les variations de  $\phi$  Ceti, et si je

conçais quelque doute sur les conclusions autrement établies, en particulier sur l'époque dernière de l'éclat maximum de l'étoile déterminée par M. *Kyanus* (A. N. Nr. 416 p. 116); car c'est bien plus aisé de présenter des équations et des probabilités que des vérités naturelles.

Joseph Bianchi.

## Ueber die Bestimmung der Länge durch Höhen des Monds, insbesondere durch correspondirende oder überhaupt gleiche Mondshöhen.

Von Herrn Professor Dr. Grunert in Greifswald.

Mondshöhen sind zu Längenbestimmungen schon von des jetzigen Herr Ministers von *Lindenau* Excellenz in einen in jeder Beziehung höchst lesenswerthen Aufsatz, der sich in der Monatlichen Correspondenz Bd. XII. S. 541 findet, sehr empfohlen worden, scheinen aber späterhin ganz in Vergessenheit gerathen zu seyn, obgleich sich diese Methode der Längenbestimmung insbesondere für Beobachter, die etwa bloß mit einem Sextanten ausgerüstet sind, vorzugsweise eignen dürfte. Wenn ich mir erlaube, dieselbe hier wieder zur Sprache zu bringen, so geschieht dies aus einem doppelten Grunde. Einmal werde ich versuchen, die Theorie auf eine dem jetzigen Stande der Wissenschaft entsprechende Weise zu entwickeln, als dies vielleicht früher geschehen ist. Dann aber beabsichtige ich auch, auf eine Bemerkung aufmerksam zu machen, die man bis jetzt übersehen zu haben scheint, daß nämlich auch bloß aus correspondirenden, oder überhaupt auch bloß aus gleichen, an verschiedenen Tagen genommenen Höhen des Monds, deren Größe selbst man also nicht zu kennen braucht, die Länge hergeleitet werden kann, wodurch, wie es mir scheint, die Genauigkeit dieser Methode wesentlich erhöht werden muß, da man sich auf diese Weise von den Fehlern des Instruments, und auch, wenn die Zustände der Atmosphäre zu den Zeiten der verschiedenen Beobachtungen als gleich betrachtet werden können, von der Refraction ganz unabhängig macht. Wie man sich bei sehr veränderten Stande des Barometers und Thermometers zu verhalten haben würde, braucht hier nicht besonders entwickelt zu werden. An geeigneten Tagen kann man also durch correspondirende Sonnenhöhen und durch Meridianhöhen der Sonne Zeit und Breite bestimmen, und dann durch correspondirende Mondshöhen auch noch zur Kenntniß der Länge gelangen.

Der Beobachtungsort sey  $A$ ; der Ort, für welchen die Ephemeriden, welche man anzuwenden beabsichtigt, berechnet sind, sey  $E$ . Alle Zeiten seyen Sternzeiten und in Stunden ausgedrückt. Die  $\Delta$  Zeit des Moments, wo die Höhe des obern oder untern Mondrands gemessen wird, sey  $T$ . Die

Länge des Orts  $A$  in Zeit in Bezug auf den Ort  $E$  als Anfang der Längen sey  $t$ , wobei wir hervorheben, daß die Länge des Orts  $A$  von  $E$  an nach derselben Richtung hin, nach welcher sich die Erde um ihre Axe bewegt, von 0 bis  $360^\circ$  gezählt werden soll. Dies vorausgesetzt ist offenbar  $T-t$  oder  $24 + T-t$ , je nachdem  $T-t$  positiv oder negativ ist, die  $E$  Zeit der Beobachtung. Setzen wir also  $T-t = \tau$  oder  $24 + T-t = \tau$ , je nachdem  $T-t$  positiv oder negativ ist, so ist jederzeit  $\tau$  die  $E$  Zeit der Beobachtung.

Man nehme nun im Moment der Beobachtung den Mittelpunkt der Erde als den Anfangspunkt eines rechtwinkligen Coordinatensystems der  $xyz$  an; der positive Theil der Axe der  $x$  sey vom Mittelpunkte der Erde nach dem Frühlingspunkte gerichtet und die Ebene der  $xy$  sey die Ebene des Aequators; der positive Theil der Axe der  $y$  habe eine solche Lage, daß man sich, um von dem positiven Theile der Axe der  $x$  durch den rechten Winkel ( $xy$ ) hindurch zu dem positiven Theile der Axe der  $y$  zu gelangen, nach derselben Richtung bewegen muß, nach welcher von dem positiven Theile der Axe der  $x$  an die Rectascensionen gezählt werden; der positive Theil der Axe der  $z$  sey vom Mittelpunkte der Erde nach dem Nordpole derselben gerichtet.

Die Entfernung des Mittelpunkts des Monds vom Mittelpunkte der Erde, seine Rectascension, Declination und sein vom Mittelpunkte der Erde entsprechender scheinbarer Halbmesser zur  $E$  Zeit  $\tau$  seyen respective  $\rho$ ,  $\alpha$ ,  $\delta$ ,  $\Delta$ ; so sind offenbar

$$\rho \cos \alpha \cos \delta, \rho \sin \alpha \cos \delta, \rho \sin \delta$$

die Coordinaten des Mittelpunkts des Monds im Moment der Beobachtung, d. h. zur  $E$  Zeit  $\tau$ .

Bezeichnet  $r$  den nach dem Beobachtungsort  $A$  gezogenen Halbmesser der Erde, und  $\phi$  die geocentrische Breite von  $A$ , welche  $90^\circ$  nicht übersteigt, aber als positiv oder als negativ betrachtet wird, je nachdem  $A$  in der nördlichen oder südlichen Hälfte der Erdoberfläche liegt; so sind, weil offenbar  $15 T$



die sogenannte Rectascension der Mitte des Himmels für den Beobachtungsort  $A$  im Moment der Beobachtung ist,

$$r \cos \varphi \cos 15T, r \cos \varphi \sin 15T, r \sin \varphi$$

Die Coordinaten des Beobachtungsorts in Bezug auf das angemessene System im Moment der Beobachtung.

Wir wollen nun ein zweites dem Systeme der  $xyz$  paralleles rechtwinkliges Coordinatensystem der  $x_1 y_1 z_1$  annehmen, dessen Anfangspunkt der Beobachtungsort  $A$  ist; so haben wir nach den Principien der analytischen Geometrie zwischen den Coordinaten der Systeme der  $xyz$  und  $x_1 y_1 z_1$  die folgenden ganz allgemein gültigen Formeln:

$$x = r \cos \varphi \cos 15T + x_1$$

$$y = r \cos \varphi \sin 15T + y_1$$

$$z = r \sin \varphi + z_1$$

Ferner nehmen wir ein drittes rechtwinkliges Coordinatensystem der  $x_2 y_2 z_2$  an, dessen Anfangspunkt ebenfalls der Beobachtungsort  $A$  ist. Die Ebene der  $x_2 z_2$  sey die Ebene des Meridians von  $A$ ; der positive Theil der Axe der  $z_2$  falle mit dem positiven Theile der Axe der  $z_1$  zusammen; der positive Theil der Axe der  $x_2$  liege über dem Horizonte von  $A$ , und folglich immer in der Hälfte des astronomischen Meridians von  $A$ , von welcher an die Stundenwinkel im entgegengesetzten Sinne der Bewegung der Erde um ihre Axe von 0 bis  $360^\circ$  gezählt werden; der positive Theil der Axe der  $y_2$  werde so angenommen, daß man sich, um von dem positiven Theile der Axe der  $x_2$  durch den rechten Winkel ( $x_2 y_2$ ) hindurch zu dem positiven Theile der Axe der  $y_1$  zu gelangen, ganz nach derselben Richtung hin bewegen muß, nach welcher man sich bewegen muß, wenn man von dem positiven Theile der Axe der  $x_1$  durch den rechten Winkel ( $x_1 y_1$ ) hindurch zu dem positiven Theile der Axe der  $y_1$  gelangen will. Dies vorausgesetzt, ist nach den aus der analytischen Geometrie bekannten allgemeinen Formeln für die Verwandlung der Coordinaten in der Ebene offenbar

$$x_1 = x_2 \cos 15T - y_2 \sin 15T$$

$$y_1 = x_2 \sin 15T + y_2 \cos 15T$$

$$z_1 = z_2$$

Durch den Beobachtungsort  $A$  als Anfang legen wir nun endlich noch ein viertes rechtwinkliges Coordinatensystem der  $x_3 y_3 z_3$ . Die Ebene der  $x_3 y_3$  sey die Ebene des Horizonts, und die Ebene der  $x_3 z_3$  sey die Ebene des Meridians von  $A$ ; der positive Theil der Axe der  $x_3$  werde so angenommen, daß er mit dem positiven Theile der Axe der  $x_2$  einen spitzen Winkel einschließt; der positive Theil der Axe der  $y_3$  falle mit dem positiven Theile der Axe der  $y_2$  zusammen; der positive Theil der Axe der  $z_3$  sey von dem Punkte  $A$  nach dessen Scheitelpunkte oder Fußpunkte gerichtet, je nachdem  $A$  in der nördlichen oder südlichen Hälfte der Erdoberfläche liegt. Bezeichnet nun  $w$  die Polhöhe des Punktes  $A$  oder deren Er-

gänzung zu  $180^\circ$ , je nachdem  $A$  in der nördlichen oder südlichen Hälfte der Erdoberfläche liegt; so ist nach der Lehre von der Verwandlung der Coordinaten, wie man leicht findet, in völliger Allgemeinheit

$$x_2 = x_3 \sin w + z_3 \cos w$$

$$y_2 = y_3$$

$$z_2 = -x_3 \cos w + z_3 \sin w$$

Aus diesen Gleichungen erhält man leicht

$$x_3 = x_2 \sin w - z_2 \cos w$$

$$y_3 = y_2$$

$$z_3 = x_2 \cos w + z_2 \sin w$$

Nach dem Obigen ist aber auf ähnliche Art

$$x_3 = x_1 \cos 15T + y_1 \sin 15T$$

$$y_3 = -x_1 \sin 15T + y_1 \cos 15T$$

$$z_3 = z_1$$

und folglich

$$x_2 = x_1 \sin w \cos 15T + y_1 \sin w \sin 15T - z_1 \cos w$$

$$y_2 = -x_1 \sin 15T + y_1 \cos 15T$$

$$z_2 = x_1 \cos w \cos 15T + y_1 \cos w \sin 15T + z_1 \sin w$$

Weil nun ferner nach dem Obigen

$$x_1 = -r \cos \varphi \cos 15T + x$$

$$y_1 = -r \cos \varphi \sin 15T + y$$

$$z_1 = -r \sin \varphi + z$$

ist; so ist, wie man leicht findet,

$$x_2 = -r \sin(w - \varphi) + x \sin w \cos 15T + y \sin w \sin 15T - z \cos w$$

$$y_2 = -x \sin 15T + y \cos 15T$$

$$z_2 = -r \cos(w - \varphi) + x \cos w \cos 15T + y \cos w \sin 15T + z \sin w$$

Führen wir nun in diese Gleichungen für  $x, y, z$  die oben gefundenen Coordinaten des Mittelpunkts des Monds im Moment der Beobachtung ein, und bezeichnen die Coordinaten des Monds im Moment der Beobachtung im Systeme der  $x_2 y_2 z_2$  durch  $\xi, \eta, \zeta$ ; so finden wir nach einigen leichten Reductionen:

$$\xi = -r \sin(w - \varphi) - \rho \{ \cos w \sin \delta - \sin w \cos(\alpha - 15T) \cos \delta \}$$

$$\eta = \rho \sin(\alpha - 15T) \cos \delta$$

$$\zeta = -r \cos(w - \varphi) + \rho \{ \sin w \sin \delta + \cos w \cos(\alpha - 15T) \cos \delta \}.$$

Bezeichnen wir denn, dem Beobachtungsorte  $A$  entsprechenden scheinbaren Halbmesser des Monds im Moment der Beobachtung durch  $\Delta_1$ ; so haben wir offenbar die Gleichung

$$\rho \sin \Delta_1 = \sin \Delta_1 \cdot \sqrt{(\xi^2 + \eta^2 + \zeta^2)}.$$

und folglich

$$\sin \Delta_1 = \frac{\rho \sin \Delta}{\sqrt{(\xi^2 + \eta^2 + \zeta^2)}}.$$

Aus dem Obigen erhält man aber leicht

$$\xi^2 + \eta^2 + \zeta^2 = r^2 + \rho^2 - 2r\rho \{ \sin \varphi \sin \delta + \cos \varphi \cos(\alpha - 15T) \cos \delta \},$$

und folglich

$$\sin \Delta_1 = \frac{\rho \sin \Delta}{\sqrt{(r^2 + \rho^2 - 2r\rho \{ \sin \varphi \sin \delta + \cos \varphi \cos(\alpha - 15T) \cos \delta \})}}.$$

Werden nun in der nördlichen Hälfte der Erdoberfläche Höhen des Monds über dem Horizonte als positiv, Höhen unter dem Horizonte als negativ, in der südlichen Hälfte der Erdoberfläche dagegen Höhen über dem Horizonte als negativ, Höhen unter dem Horizonte als positiv betrachtet; so ist, wenn  $H$  die Höhe des Mittelpunkts des Monds im Momente der Beobachtung bezeichnet, nach dem Vorhergehenden offenbar in völliger Allgemeinheit

$$\zeta = \sin H \sqrt{(\xi^2 + \eta^2 + \zeta^2)},$$

und folglich 
$$\sin H = \frac{\zeta}{\sqrt{(\xi^2 + \eta^2 + \zeta^2)}}$$

also nach dem Obigen

$$\sin H = -\frac{r \cos(\omega - \phi) - \rho \{ \sin \omega \sin \delta + \cos \omega \cos(\alpha - 15T) \cos \delta \}}{\sqrt{(r^2 + \rho^2 - 2r\rho \{ \sin \phi \sin \delta + \cos \phi \cos(\alpha - 15T) \cos \delta \})}}$$

Ist aber  $h$  die wegen der Strahlenbrechung corrigirte beobachtete Höhe des obern oder unteren Mondrandes, wobei man in der nördlichen Hälfte der Erdoberfläche den Mondrand, welcher dem Scheitelpunkte am nächsten ist, als den obern, den andern als den untern, in der südlichen Hälfte der Erdoberfläche dagegen den Mondrand, welcher dem Fußpunkte am nächsten ist, als den obern, den andern als den untern zu betrachten hat; so ist offenbar in völliger Allgemeinheit

$$H = h \mp \Delta_1,$$

wo sich das obere Zeichen auf den obern, das untere Zeichen auf den untern Mondrand bezieht.

Die durch  $\alpha$ ,  $\delta$ ,  $\rho$ ,  $\Delta$  bezeichneten Größen sind sämtlich Functionen der  $E$ Zeit  $\tau$  der Beobachtung. Mittelst der bekannten Interpolationsmethoden kann man diese Functionen immer wenigstens mit einem großen Grade der Annäherung finden, und unter verschiedenen Formen, namentlich aber immer unter der Form

$$\alpha = A + B\tau + C\tau^2 + D\tau^3 + \dots,$$

$$\delta = A_1 + B_1\tau + C_1\tau^2 + D_1\tau^3 + \dots,$$

$$\rho = A_2 + B_2\tau + C_2\tau^2 + D_2\tau^3 + \dots,$$

$$\Delta = A_3 + B_3\tau + C_3\tau^2 + D_3\tau^3 + \dots,$$

wo die Coefficienten aller Glieder bekannte Größen sind, darstellen. Diese Ausdrücke von  $\alpha$ ,  $\delta$ ,  $\rho$ ,  $\Delta$  müßte man nun in die oben gefundenen Ausdrücke von  $\sin \Delta_1$  und  $\sin H$  für die in Rede stehenden Größen einführen, wodurch man in Verbindung mit der Gleichung  $H = h \mp \Delta_1$  drei Gleichungen zwischen den drei unbekannten Größen  $\tau$ ,  $\Delta_1$ ,  $H$  erhalten würde, und also mittelst dieser drei Gleichungen die drei in Rede stehenden unbekannten Größen bestimmen könnte. Hat man aber  $\tau$ , so hat man auch die gesuchte Länge  $s$  des Orts  $A$  in Bezug auf den Ort  $E$  als Anfang der Längen, oder die Längendifferenz zwischen  $A$  und  $E$ , weil nach dem Obigen

$$T - t = \tau \text{ oder } 24 + T - t = \tau,$$

$$s = T - \tau \text{ oder } s = 24 + T - t$$

ist, je nachdem  $T - t$  eine positive oder eine negative Größe ist. Daß die Aufgabe, in dieser Allgemeinheit gefaßt, nach dem gegenwärtigen Zustande der Analysis nur mit der größten Weidäufigkeit auslösbar seyn würde, fällt auf der Stelle in die Augen, und wir sind daher genöthigt, zu Näherungen unsere Zuflucht zu nehmen. Daher wollen wir jetzt von der Voraussetzung ausgehen, daß  $t$  ein Näherungswert der in Zeit ausgedrückten Länge des Orts  $A$  in Bezug auf den Ort  $E$  als Anfang der Längen, und folglich auch  $\tau = T - t$  oder  $\tau = 24 + T - t$ , je nachdem  $T - t$  positiv oder negativ ist, ein Näherungswert der  $E$ Zeit der Beobachtung sey; so sind auch

$$\alpha = A + B\tau + C\tau^2 + D\tau^3 + \dots,$$

$$\delta = A_1 + B_1\tau + C_1\tau^2 + D_1\tau^3 + \dots,$$

$$\rho = A_2 + B_2\tau + C_2\tau^2 + D_2\tau^3 + \dots,$$

$$\Delta = A_3 + B_3\tau + C_3\tau^2 + D_3\tau^3 + \dots$$

Näherungswerte der Rectascension, Declination des Mittelpunkts des Monds, der Entfernung des Mittelpunkts des Monds vom Mittelpunkte der Erde, und des dem Mittelpunkte der Erde entsprechenden scheinbaren Halbmessers des Monds für den Moment der Beobachtung.

Bezeichnen wir nun den Fehler in der Länge des Orts  $A$  in Bezug auf den Ort  $E$  als Anfang der Längen durch  $dt$ , und die entsprechenden Fehler der  $E$ Zeit der Beobachtung, der Rectascension, Declination, Entfernung vom Mittelpunkte der Erde, und des scheinbaren Halbmessers des Monds im Moment der Beobachtung durch  $d\tau$ ,  $d\alpha$ ,  $d\delta$ ,  $d\rho$ ,  $d\Delta$ ; so sind

$$s + ds, \tau + d\tau, \alpha + d\alpha, \delta + d\delta, \rho + d\rho, \Delta + d\Delta$$

die wahre Länge des Orts  $A$  in Bezug auf  $E$  als Anfang der Längen, die wahre  $E$ Zeit der Beobachtung, und die wahre Rectascension, Declination, Entfernung vom Mittelpunkte der Erde und der wahre scheinbare Halbmesser des Monds im Moment der Beobachtung. Es ist aber

$$\alpha + d\alpha = \alpha + \frac{d\alpha}{d\tau} d\tau,$$

$$\delta + d\delta = \delta + \frac{d\delta}{d\tau} d\tau,$$

$$\rho + d\rho = \rho + \frac{d\rho}{d\tau} d\tau,$$

$$\Delta + d\Delta = \Delta + \frac{d\Delta}{d\tau} d\tau;$$

oder, weil nach dem Obigen offenbar  $d\tau = -dt$  ist, auch

$$\alpha + d\alpha = \alpha - \frac{d\alpha}{d\tau} dt,$$

$$\delta + d\delta = \delta - \frac{d\delta}{d\tau} dt,$$

$$\rho + d\rho = \rho - \frac{d\rho}{d\tau} dt,$$

$$\Delta + d\Delta = \Delta - \frac{d\Delta}{d\tau} dt$$

oder, wenn wir der Kürze wegen

$$\lambda = \frac{d\alpha}{d\tau} = B + 2C\tau + 3D\tau^2 + 4E\tau^3 + \dots$$

$$\mu = \frac{d\beta}{d\tau} = B_1 + 2C_1\tau + 3D_1\tau^2 + 4E_1\tau^3 + \dots$$

$$\kappa = \frac{d\rho}{d\tau} = B_2 + 2C_2\tau + 3D_2\tau^2 + 4E_2\tau^3 + \dots$$

$$\theta = \frac{d\Delta}{d\tau} = B_3 + 2C_3\tau + 3D_3\tau^2 + 4E_3\tau^3 + \dots$$

setzen,

$$\alpha + d\alpha = \alpha - \lambda dt,$$

$$\beta + d\beta = \beta - \mu dt.$$

$$\rho + d\rho = \rho - \kappa dt,$$

$$\Delta + d\Delta = \Delta - \theta dt;$$

oder

$$d\alpha = -\lambda dt, \quad d\beta = -\mu dt, \quad d\rho = -\kappa dt, \quad d\Delta = -\theta dt.$$

Weil nach dem Obigen

$$\xi^2 + \eta^2 + \rho^2 = r^2 + \rho^2 - 2\rho\{\sin\phi\sin\delta + \cos\phi\cos(\alpha-15T)\cos\delta\}$$

ist, so ist, wie man leicht findet,

$$\begin{aligned} \xi d\xi + \eta d\eta + \rho d\rho &= -\kappa\{p-r[\sin\phi\sin\delta + \cos\phi\cos(\alpha-15T)\cos\delta]\}dt \\ &\quad -\lambda\rho\cos\phi\sin(\alpha-15T)\cos\delta dt \\ &\quad +\mu\rho\{\sin\phi\cos\delta - \cos\phi\cos(\alpha-15T)\sin\delta\}dt. \end{aligned}$$

Ferner findet man, weil nach dem Obigen

$$\zeta = -r\cos(\omega-\phi) + \rho\{\sin\omega\sin\delta + \cos\omega\cos(\alpha-15T)\cos\delta\}$$

ist, leicht

$$\begin{aligned} d\zeta &= -\kappa\{\sin\omega\sin\delta + \cos\omega\cos(\alpha-15T)\cos\delta\}dt \\ &\quad +\lambda\rho\cos\omega\sin(\alpha-15T)\cos\delta dt \\ &\quad -\mu\rho\{\sin\omega\cos\delta - \cos\omega\cos(\alpha-15T)\sin\delta\}dt. \end{aligned}$$

Für  $H$  hat man nach dem Obigen die Ausdrücke

$$\sin H = \frac{\zeta}{\sqrt{(\xi^2 + \eta^2 + \rho^2)}}, \quad \cos H = \frac{\sqrt{(\xi^2 + \eta^2 + \rho^2)}}{\sqrt{(\xi^2 + \eta^2 + \rho^2 + \zeta^2)}},$$

aus denen

$$\tan H = \frac{\zeta}{\sqrt{(\xi^2 + \eta^2 + \rho^2)}} = \frac{\zeta}{\xi\sqrt{1 + \left(\frac{\eta}{\xi}\right)^2 + \left(\frac{\rho}{\xi}\right)^2}}.$$

wo das obere oder untere Zeichen genommen werden muß, je nachdem  $\xi$  positiv oder negativ ist, folgt. Berechnet man den Hülfswinkel  $\sigma$  mittelst der Formel

$$\tan \sigma = \frac{\eta}{\xi},$$

so ist unter der Bedingung, daß man das obere oder untere Vorzeichen nimmt, je nachdem  $\xi$  und  $\cos \sigma$  gleiche oder ungleiche Vorzeichen haben,

$$\tan H = \pm \frac{\zeta}{\xi} \cos \sigma.$$

Hat man auf diese Weise  $H$  gefunden, so ergibt sich  $\Delta$ , leicht mittelst der aus dem Obigen ohne alle Schwierigkeit abzuleitenden Formel

$$\sin \Delta_1 = \frac{\rho}{\zeta} \sin \Delta \sin H.$$

Aus der Gleichung

$$\tan H = \frac{\zeta}{\sqrt{(\xi^2 + \eta^2 + \rho^2)}}$$

erhält man durch Differentiation ohne Schwierigkeit

$$\frac{dH}{\cos H} = \frac{-\zeta(\xi d\xi + \eta d\eta) + (\xi^2 + \eta^2 + \rho^2)d\rho}{(\xi^2 + \eta^2 + \rho^2)\sqrt{(\xi^2 + \eta^2 + \rho^2 + \zeta^2)}}$$

und folglich, weil  $\sqrt{(\xi^2 + \eta^2 + \rho^2)} = \zeta \cot H$  ist, nach einigen leichten Verwandlungen

$$dH = -\frac{\sin H}{\zeta^2 \cot H} (\xi d\xi + \eta d\eta + \zeta d\zeta) + \frac{d\rho}{\zeta \cot H}.$$

Aus der aus dem Obigen bekannten Gleichung

$$\rho \sin \Delta = \sin \Delta_1 \cdot \sqrt{(\xi^2 + \eta^2 + \rho^2 + \zeta^2)}$$

folgt ferner durch Differentiation

$$\begin{aligned} \rho \cos \Delta d\Delta + \sin \Delta d\rho &= \cos \Delta_1 d\Delta_1 \sqrt{(\xi^2 + \eta^2 + \rho^2 + \zeta^2)} \\ &\quad + \sin \Delta_1 \cdot \frac{\xi d\xi + \eta d\eta + \zeta d\zeta}{\sqrt{(\xi^2 + \eta^2 + \rho^2 + \zeta^2)}}, \end{aligned}$$

und also weil

$$\sqrt{(\xi^2 + \eta^2 + \rho^2 + \zeta^2)} = \frac{\rho \sin \Delta}{\sin \Delta_1}$$

ist,

$$\rho \cos \Delta d\Delta + \sin \Delta d\rho = \rho \sin \Delta \cot \Delta_1 d\Delta_1 + \frac{\sin \Delta_1}{\rho \sin \Delta} (\xi d\xi + \eta d\eta + \zeta d\zeta)$$

woraus sich

$$\cot \Delta_1 d\Delta_1 = \cot \Delta d\Delta + \frac{d\rho}{\rho} - \frac{\sin \Delta_1}{\rho^2 \sin \Delta} (\xi d\xi + \eta d\eta + \zeta d\zeta),$$

oder, weil nach dem Obigen

$$\frac{\sin \Delta_1}{\rho \sin \Delta} = \frac{\sin H}{\zeta}$$

ist, auch

$$\cot \Delta_1 d\Delta_1 = \cot \Delta d\Delta + \frac{d\rho}{\rho} - \frac{\sin H}{\zeta^2} (\xi d\xi + \eta d\eta + \zeta d\zeta).$$

ergibt. Es ist nun

$H + dH = h + \Delta_1 d\Delta_1$ ,  $h - H + \Delta_1 d\Delta_1 = dH + \Delta_1 d\Delta_1$ , wo die obere Zeichen dem oben, die untere dem untern Merdianen entsprechen, und folglich, wenn man in diese Gleichung die aus dem Obigen sich ergebenden Ausdrücke von  $dH$  und  $d\Delta_1$  einführt, nach einigen leichten Reductionen

$$\begin{aligned} h - H + \Delta_1 d\Delta_1 &= \pm \cot \Delta \tan \Delta_1 d\Delta_1 \pm \tan \Delta_1 \frac{d\rho}{\rho} + \tan H \frac{d\zeta}{\zeta} \\ &\quad - \frac{\sin H \tan H \sin(H + \Delta_1)}{\zeta^2 \cos \Delta_1} (\xi d\xi + \eta d\eta + \zeta d\zeta). \end{aligned}$$

Mittelst dieser Gleichung kann man nun, wenn man in dieselbe die aus dem Obigen bekannten Ausdrücke von  $d\Delta$ ,  $d\rho$ ,  $d\zeta$  und  $\xi d\xi + \eta d\eta + \zeta d\zeta$  einführt, die Verbesserung  $dt$  der Länge  $t$  bestimmen. Die zur Rechnung nöthigen Formeln wollen wir hier zusammenstellen, wollen dabei aber zugleich einige Hülfsgrößen einführen, ohne uns auf weitere Entwicklungen einzulassen, da dieselben nicht die mindeste Schwierigkeit haben, und daher sämtlich dem eignen Nachdenken des Lesers anheim gestellt werden können. Die Formeln, nach denen die Rechnung am leichtesten geführt werden kann, scheinen folgende zu seyn:

$$\begin{aligned}
 A &= \sin(w - \Phi), \\
 B &= \cos(w - \Phi), \\
 C &= \sin(a - 15T) \cos \delta, \\
 D &= C \cos w, \\
 E &= C \cos \Phi, \\
 \text{tang } V &= \cos(a - 15T) \cot \delta, \\
 \text{tang } W &= \cos(a - 15T) \text{ tang } \delta, \\
 F &= \frac{\sin \delta \cos(w + V)}{\cos V}, \\
 G &= \frac{\sin \delta \sin(w + V)}{\cos V}, \\
 I &= \frac{\cos \delta \sin(w - W)}{\cos W}, \\
 K &= \frac{\sin \delta \sin(\Phi + V)}{\cos V},
 \end{aligned}$$

$$\begin{aligned}
 h - H \mp \Delta_1 &= \mp \theta \cot \Delta \text{ tang } \Delta_1, dt \mp \frac{\mu \text{ tang } \Delta_1}{\rho} + \frac{M \text{ tang } H}{\zeta} - \frac{N \sin H \text{ tang } H \sin(H \pm \Delta_1)}{\zeta^2 \cos \Delta_1} dt \\
 \text{oder} \quad h - H \mp \Delta_1 &= \mp \left\{ \theta \cot \Delta \text{ tang } \Delta_1 + \frac{\mu \text{ tang } \Delta_1}{\rho} + \frac{M \text{ tang } H}{\zeta} \pm \frac{N \sin H \text{ tang } H \sin(H \pm \Delta_1)}{\zeta^2 \cos \Delta_1} \right\} dt
 \end{aligned}$$

wo sich immer die obere Zeichen auf den obere, die untere auf den unteren Mondrand beziehen. Die Größen  $\lambda$ ,  $\mu$ ,  $\kappa$ ,  $\theta$  müssen nach der oben gegebenen Anleitung mit Hilfe der bekannten Interpolationsmethoden berechnet werden.

$$\begin{aligned}
 h - H \mp \Delta_1 &= \mp \left\{ \theta \cot \Delta \text{ tang } \Delta_1 + \frac{\mu \text{ tang } \Delta_1}{\rho} + \frac{M \text{ tang } H}{\zeta} - \frac{N \sin H \text{ tang } H \sin(H \pm \Delta_1)}{\zeta^2 \cos \Delta_1} \right\} dt \\
 h - H \mp \Delta_1 &= \mp \left\{ \theta' \cot \Delta' \text{ tang } \Delta'_1 + \frac{\mu' \text{ tang } \Delta'_1}{\rho'} + \frac{M' \text{ tang } H'}{\zeta'} \pm \frac{N' \sin H' \text{ tang } H' \sin(H' \pm \Delta'_1)}{\zeta'^2 \cos \Delta'_1} \right\} dt \\
 \text{oder} \quad h - H \mp \Delta_1 &= \mp \left\{ \theta \cot \Delta \text{ tang } \Delta_1 + \frac{\mu \text{ tang } \Delta_1}{\rho} + \frac{M \text{ tang } H}{\zeta} + \frac{N \sin H \text{ tang } H \sin(H \pm \Delta_1)}{\zeta^2 \cos \Delta_1} \right\} dt \\
 h - H \mp \Delta_1 &= \mp \left\{ \theta' \cot \Delta' \text{ tang } \Delta'_1 + \frac{\mu' \text{ tang } \Delta'_1}{\rho'} + \frac{M' \text{ tang } H'}{\zeta'} + \frac{N' \sin H' \text{ tang } H' \sin(H' \pm \Delta'_1)}{\zeta'^2 \cos \Delta'_1} \right\} dt
 \end{aligned}$$

aus denen man durch Subtraction die Höhe  $h$  leicht eliminiren kann, wonach eine bloß  $\delta$  als unbekannte Größe enthaltende Gleichung übrig bleibt, mittelst welcher sich also  $dt$  bestimmen läßt, ohne daß man die Höhe  $h$  selbst zu kennen braucht. Hätte man an mehr als zwei Tagen gleiche Höhen des Mondes genommen, so würde man eine größere Anzahl von Gleichungen zwischen den beiden unbekannten Größen  $h$  und  $dt$  von der obigen Form bilden können, und müßte dieselben dann nach der Methode der kleinsten Quadrate auflösen.

Wenn man  $dt$  gefunden hat, so ist  $t + dt$  die verbesserte Länge, die man dann wieder verbessern und dieses Verfahren überhaupt so lange fortsetzen kann, bis zwei auf einander folgende Näherungswerte der Länge sich nicht mehr von einander unterscheiden.

Setzt man, wenn  $a$  den Halbmesser des Aequators der Erde bezeichnet,

$$\sin \pi = \frac{a}{\rho},$$

so ist  $\rho = a \sin \pi^{-1}$ , und folglich, wenn man  $r$  als veränderliche Größe differentirt,

$$\frac{d\rho}{dr} = -a \sin \pi^{-2} \cos \pi \frac{d\pi}{dr},$$

also, wenn der Kürze wegen

$$\begin{aligned}
 L &= \frac{\cos \delta \sin(\Phi - W)}{\cos W}, \\
 M &= -\kappa G + \lambda D\rho - \mu I\rho, \\
 N &= -\kappa(\rho - Kr) - \lambda Er\rho + \mu Lr\rho, \\
 \xi &= -Ar - Fr\rho, \quad \eta = Cr\rho, \quad \zeta = -Br + Gr; \\
 \xi^2 &= M dt, \quad \xi d\xi + \eta d\eta + \zeta d\zeta = N dt; \\
 \text{tang } \sigma &= \frac{\eta}{\xi}, \quad \text{tang } H = \pm \frac{\zeta}{\xi} \cos \sigma, \quad \sin \Delta = \frac{\rho}{\xi} \sin \Delta \sin H.
 \end{aligned}$$

Diese Formeln liefern Alles, was man zur Berechnung von  $dt$  braucht; in der vorletzten Gleichung ist das obere oder untere Zeichen zu nehmen, je nachdem die Größen  $\xi$  und  $\cos \sigma$  gleiche oder ungleiche Vorzeichen haben.

Zur Berechnung von  $dt$  ergibt sich nun aber aus dem Obigen die Gleichung

Hat man nun correspondirende Höhen, oder auch an zwei verschiedenen Tagen gleiche Höhen des Mondes genommen, so erhält man, je nachdem sich dieselben auf gleichartige oder ungleichartige Mondränder beziehen, nach dem Obigen jederzeit zwei Gleichungen von der Form

$$\begin{aligned}
 s &= \frac{d\pi}{dr} \\
 \text{gesetzt wird,} \quad \kappa &= -\frac{a \sin \pi}{\sin \pi^3} = -\rho \cot \pi,
 \end{aligned}$$

und folglich

$$\frac{\pi}{\rho} = -s \cot \pi,$$

mittelst welcher Formel also der in den obigen Gleichungen, durch welche die Verbesserung  $dt$  der Länge  $t$  gefunden wird, vorkommende Bruch  $\frac{\pi}{\rho}$  jederzeit durch  $s$  und  $\pi$  ausgedrückt werden kann.

Uebrigens wollen wir noch bemerken, daß die obigen Gleichungen sich vereinfachen, wenn es verstatet ist, das eine oder das andere Glied in denselben zu vernachlässigen. Wir beabsichtigten hier die vollständige und völlig genaue Entwicklung derselben. Endlich darf man auch nicht übersehen, daß bei dem Gebrauche der obigen Formeln natürlich immer Alles auf ein und dieselbe Einheit bezogen werden muß, welches weiter zu erläutern an diesem Orte unnütze Weitläufigkeit seyn würde. So wie wir die Formeln im Obigen dargestellt haben, ist Alles in Theilen des Radius als Einheit ausgedrückt gedacht worden.

Grunert.

# ASTRONOMISCHE NACHRICHTEN.

N<sup>o</sup>. 430.

Verzeichniß von 53 Sternen der Plejaden, aus Beobachtungen mit dem Königsberger Heliometer abgeleitet.

Von Herrn Geheimen-Rath und Ritter Bessel.

In Nr. 387 der A. N. habe ich ein Verzeichniß der Oerter von 27 Sternen der Plejaden mitgetheilt, welche aus von mir und Herrn Dr. Buach gemachten Meridianbeobachtungen abgeleitet worden ist; jetzt kann ich ein zweites, von 53 Sternen desselben Gestirns bekannt machen, welches in sofern allein auf Heliometerbeobachtungen beruhet, daß es allein den Ort des Hauptsterns  $\eta$  als anderweitig bekannt geworden voraussetzt. Die helleren Sterne der Plejaden  $g, b, e, c, k, l, d, s, f, h$  sind anhaltend und häufig, durch das Heliometer mit  $\eta$  verglichen worden, indem ich ihre Beobachtungen zur Grundlage der Bestimmung eines Theils der Elemente gemacht habe, von welchen die Reduction aller Anwendungen dieses Instruments abhängt; die übrigen 42 Sterne sind weniger häufig beobachtet. Die Beobachtungen der ersteren sind größtentheils von mir gemacht, zum Theil auch von Herrn Plantamour (jetzt Professor in Genf) und Herrn Schlüter; die letzteren hat Herr Schlüter fast allein beobachtet und Herrn Plantamour und meine Theilnahme daran ist unbedeutend. Diese Sterne befinden sich, mit einziger Ausnahme des *Flamsteedschen* Sterns  $m$ , innerhalb eines mit einem Halbmesser von 47 bis 48' um  $\eta$  beschriebenen Kreises. Unter den in diesem Raume befindlichen sind sie die hellsten, mit Ausnahme des durch 16 bezeichneten Sterns, welcher nicht heller ist als einige andere unbestimmt gebliebene. Alle diese Sterne, außer  $m$ , sind unmittelbar mit  $\eta$  verglichen worden; dieser Stern aber,

seiner zu großen Entfernung wegen, nur mittelbar, nämlich durch die Hülfe der Sterne  $g, e, c, k$  und  $l$ .

In dem unter der Presse befindlichen ersten Bande meiner „*Astronomischen Untersuchungen*“ wird eine Abhandlung über die Plejaden erscheinen, aus welcher ich das Verzeichniß hier besonders bekannt mache, indem die jetzt häufig vorfallenden Durchgänge des Mondes durch dieses Gestirn die möglichst frühe Kenntniß desselben wünschenswerth erscheinen lassen. Die Abhandlung selbst wird die zur Beurtheilung seiner Genauigkeit erforderlichen Einzelheiten enthalten; hier beschränke ich mich, als meine Meinung zu äußern, daß die Unterschiede der Rectascension und Declination der angeführten 10 helleren Sterne von  $\eta$ , bis auf ein Paar Zehntel einer Secunde sicher, und die übrigen nicht leicht außerhalb einer halben Secunde fehlerhaft bestimmt sein werden. Den dem ganzen Verzeichnisse zum Grunde gelegten Ort von  $\eta$  Tauri für 1840, habe ich AR. =  $54^{\circ}29'46''72$  Decl. =  $+23^{\circ}36'16''91$  149 u. 144 Beob.

angenommen. Er ist das arithmetische Mittel aller Angaben des auf 1840 reducirten Verzeichnisses in Nr. 387, nach der Hinzufügung der durch das Heliometer bestimmten Unterschiede des Sterns  $\eta$  von den übrigen Sternen; er beruhet also auf einer viel größeren Zahl von Meridianbeobachtungen als wir von  $\eta$  unmittelbar besitzen; in AR. ist er  $1''26$  größer, in Decl.  $0''48$  größer, als der unmittelbar beobachtete dieses Sterns.

Verzeichniß von 53 Sternen der Plejaden.

|                | Größe. | AR. 1840.   | Jährliche Proccession. 1840. | Eigene Bewegung. Säc. Ancl. | Decl. 1840. | Jährl. Proccession. 1840. | Eigene Bewegung. Säc. Ancl. | Zahl d. Beob. |
|----------------|--------|-------------|------------------------------|-----------------------------|-------------|---------------------------|-----------------------------|---------------|
| 16 g Celeno    | 5.6    | 53°49'33"64 | 53°190                       | +0°273                      | 23°46'49"58 | 11°838                    | -0°423                      | 29            |
| 17 g Electra   | 4.5    | 50 47,59    | 53,132                       | +0,271                      | 23 36 16,24 | 11,832                    | -0,423                      | 35            |
| 18 m . . . . . | 7      | 54 25,52    | 53,384                       | +0,277                      | 24 19 52,36 | 11,815                    | -0,425                      | 10            |
| 19 s Taygeta   | 5      | 55 26,47    | 53,529                       | +0,274                      | 23 57 34,12 | 11,810                    | -0,424                      | 30            |
| Anonyma 1      | 8      | 59 14,52    | 53,119                       | +0,270                      | 23 31 42,30 | 11,792                    | -0,423                      | 4             |
| 2              | 8.9    | 54 0 55,25  | 53,267                       | +0,274                      | 23 57 25,09 | 11,784                    | -0,425                      | 4             |
| 3              | 9      | 1 30,81     | 53,139                       | +0,270                      | 23 34 36,65 | 11,782                    | -0,424                      | 4             |
| 4              | 8      | 1 52,66     | 53,225                       | +0,272                      | 23 49 45,23 | 11,780                    | -0,425                      | 4             |
| 5              | 9      | 2 11,22     | 53,325                       | +0,275                      | 24 7 16,14  | 11,778                    | -0,425                      | 4             |
| 6              | 9      | 2 49,03     | 53,210                       | +0,272                      | 23 46 57,30 | 11,775                    | -0,424                      | 4             |

P. III. 135

|               | Grös-<br>se. | AR. 1840.     | Jährliche Precession.<br>1840. | Säc. Aend. | Eigene<br>Bewegung | Decl. 1840.    | Jährl. Precession.<br>1840. | Säc. Aend. | Eigene<br>Bewegung | Zahl d.<br>Beobh. |
|---------------|--------------|---------------|--------------------------------|------------|--------------------|----------------|-----------------------------|------------|--------------------|-------------------|
| 20 c Maja...  | 5            | 54° 4' 46" 31 | 53,240                         | +0" 272    | +0" 032            | 23° 51' 43" 12 | 11,766                      | -0" 425    | -0" 062            | 29                |
| Anonyma 7     | 8            | 5 35,15       | 53,131                         | +0,270     |                    | 23 32 0,41     | 11,762                      | -0,424     |                    | 4                 |
| 21 k Aesterop | 7.8          | 5 48,99       | 53,305                         | +0,274     | +0,051             | 24 2 55,40     | 11,761                      | -0,425     | -0,057             | 27                |
| 22 l          | 7.8          | 7 56,33       | 53,300                         | +0,274     | +0,011             | 24 1 21,97     | 11,751                      | -0,423     | -0,054             | 24                |
| Anonyma 8     | 8.9          | 10 56,98      | 53,192                         | +0,271     |                    | 23 41 26,35    | 11,737                      | -0,425     |                    | 6                 |
| 9             | 8.9          | 11 31,24      | 53,191                         | +0,270     |                    | 23 41 7,91     | 11,734                      | -0,425     |                    | 4                 |
| 23 d Merope   | 5            | 12 87,28      | 53,111                         | +0,268     | +0,070             | 23 26 39,23    | 11,729                      | -0,425     | -0,060             | 24                |
| Anonyma 10    | 8            | 14 15,83      | 53,217                         | +0,271     |                    | 23 45 4,35     | 11,721                      | -0,426     |                    | 4                 |
| 11            | 8.9          | 17 24,71      | 53,171                         | +0,269     |                    | 23 36 0,60     | 11,706                      | -0,425     |                    | 4                 |
| 12            | 7.8          | 22 1,14       | 53,319                         | +0,273     |                    | 24 1 4,70      | 11,685                      | -0,427     |                    | 4                 |
| 13            | 8.9          | 23 41,65      | 53,144                         | +0,268     |                    | 23 29 37,12    | 11,676                      | -0,426     |                    | 4                 |
| 14            | 9            | 25 11,96      | 53,069                         | +0,266     |                    | 23 15 52,45    | 11,669                      | -0,425     |                    | 4                 |
| 15            | 8.9          | 26 39,14      | 53,194                         | +0,269     |                    | 23 37 37,49    | 11,662                      | -0,426     |                    | 4                 |
| 16            | 9.10         | 26 58,66      | 53,089                         | +0,266     |                    | 23 18 58,24    | 11,661                      | -0,426     |                    | 4                 |
| 17            | 8            | 27 18,67      | 53,059                         | +0,266     |                    | 23 13 29,57    | 11,659                      | -0,426     |                    | 6                 |
| 18            | 8            | 27 20,05      | 53,198                         | +0,269     |                    | 23 38 16,98    | 11,659                      | -0,426     |                    | 4                 |
| 24 p. ....    | 7.8          | 27 46,26      | 53,191                         | +0,269     | +0,011             | 23 36 55,12    | 11,657                      | -0,427     |                    | 4                 |
| Anonyma 19    | 8            | 28 1,82       | 53,086                         | +0,266     |                    | 23 18 9,11     | 11,656                      | -0,426     |                    | 6                 |
| 20            | 8            | 28 5,46       | 53,353                         | +0,273     |                    | 24 5 15,46     | 11,656                      | -0,428     |                    | 8                 |
| 21            | 8.9          | 28 41,90      | 53,377                         | +0,273     |                    | 24 9 22,06     | 11,653                      | -0,428     |                    | 6                 |
| 22            | 8            | 28 47,57      | 53,124                         | +0,267     |                    | 23 24 50,13    | 11,652                      | -0,426     |                    | 6                 |
| 23            | 8.9          | 29 36,40      | 53,046                         | +0,265     |                    | 23 10 40,14    | 11,648                      | -0,425     |                    | 6                 |
| 24            | 8            | 29 42,52      | 53,253                         | +0,270     |                    | 23 47 16,49    | 11,648                      | -0,427     |                    | 12                |
| 25 η Alcyone  | 3.4          | 29 46,72      | 53,191                         | +0,268     | +0,021             | 23 36 16,91    | 11,648                      | -0,427     | -0,068             | P. III. 151       |
| Anonyma 25    | 8.9          | 32 5,30       | 53,027                         | +0,264     |                    | 23 6 35,59     | 11,637                      | -0,425     |                    | 6                 |
| 26            | 9            | 33 26,76      | 53,006                         | +0,263     |                    | 23 2 35,89     | 11,629                      | -0,425     |                    | 6                 |
| 27            | 8.9          | 40 39,14      | 53,280                         | +0,270     |                    | 23 49 12,64    | 11,596                      | -0,428     |                    | 4                 |
| 28            | 7            | 43 17,17      | 62,980                         | +0,262     | -0,003             | 23 55 25,93    | 11,583                      | -0,426     | -0,061             | 6                 |
| 29            | 8            | 44 45,04      | 53,296                         | +0,269     | +0,021             | 23 50 53,36    | 11,576                      | -0,429     |                    | P. III. 153       |
| 26 s. ....    | 7.8          | 51 48,27      | 53,140                         | +0,265     | +0,002             | 23 21 43,53    | 11,543                      | -0,428     |                    | 25                |
| 27 f Atlas... | 4.5          | 54 53,68      | 53,212                         | +0,266     | +0,013             | 23 33 30,41    | 11,528                      | -0,429     | -0,077             | 25                |
| 28 h Plejone  | 5.6          | 55 10,82      | 53,241                         | +0,267     | +0,007             | 23 38 30,60    | 11,527                      | -0,429     | -0,085             | P. III. 161       |
| Anonyma 30    | 8.9          | 55 39,24      | 53,156                         | +0,265     |                    | 23 23 31,50    | 11,524                      | -0,429     |                    | 6                 |
| 31            | 8            | 56 20,32      | 53,331                         | +0,269     |                    | 23 54 4,70     | 11,521                      | -0,430     |                    | 6                 |
| 32            | 8            | 57 35,11      | 53,328                         | +0,269     |                    | 23 53 11,52    | 11,515                      | -0,430     |                    | 6                 |
| 33            | 8.9          | 58 45,54      | 53,284                         | +0,268     |                    | 23 45 12,36    | 11,509                      | -0,430     |                    | 6                 |
| 34            | 7.8 55       | 3 36,72       | 53,109                         | +0,263     |                    | 23 13 7,69     | 11,486                      | -0,429     |                    | P. III. 163       |
| 35            | 9            | 3 47,46       | 53,290                         | +0,267     |                    | 23 45 2,15     | 11,485                      | -0,430     |                    | 6                 |
| 36            | 9            | 5 59,14       | 53,285                         | +0,267     |                    | 23 43 26,57    | 11,475                      | -0,430     |                    | 6                 |
| 37            | 8            | 6 17,63       | 53,331                         | +0,268     |                    | 23 51 22,51    | 11,473                      | -0,431     |                    | P. III. 164       |
| 38            | 8            | 7 6,69        | 53,161                         | +0,264     |                    | 23 21 22,86    | 11,469                      | -0,430     |                    | 4                 |
| 39            | 8            | 18 58,00      | 53,393                         | +0,269     |                    | 24 0 13,63     | 11,436                      | -0,432     |                    | 6                 |
| 40            | 7.8          | 20 31,97      | 53,220                         | +0,264     |                    | 23 28 18,94    | 11,405                      | -0,431     |                    | 6                 |

Bessel.

Original-Beobachtungen des Halleyschen Cometen auf der Altonaer Sternwarte 1835.

Von Herrn Observator und Ritter Petersen.

Die Beobachtungen sind mit einem *Frauhoferschen* Fernrohr von 54 Pariser Zoll Brennweite und 43 Linien Oeffnung an einem gleichfalls *Frauhoferschen* Kreislicrometer gemacht. Die Halbmesser des innern und äussern Randes des freischwebenden Stahlringes wurden mit dem Meridiankreise gemessen, und betragen 808"33 und 759"68 ohne Refractions-Constante. Der Chronometer accelerirte täglich gegen Sternzeit ungefähr 8 Sekunden.

|         | 1835 August 24.             |           |                           |           | Vom Mit-<br>telpunkt. |
|---------|-----------------------------|-----------|---------------------------|-----------|-----------------------|
| Stern.  | Äusserer Ring.<br>Eintritt. | Austritt. | Innere Ring.<br>Eintritt. | Austritt. |                       |
| Stern a | 0h 1' 44"                   | 3' 48"    | 1' 55"                    | 3' 38"    |                       |
| Comet   | —                           | —         | 2 3                       | 3 42      |                       |
| Stern a | 6 21                        | —         | 8 13                      | —         |                       |
| Comet   | 6 28                        | —         | 8 19                      | —         |                       |
| Stern a | 8 47                        | 11 30     | —                         | 11 14     |                       |
| Comet   | 8 54                        | 11 37     | —                         | 11 20     |                       |

| Stern.  | Äußerer Ring.           |           | Innerer Ring. |           | Vom Mit-<br>telpunkt. |
|---------|-------------------------|-----------|---------------|-----------|-----------------------|
|         | Eintritt.               | Austritt. | Eintritt.     | Austritt. |                       |
| Stern a | 0 <sup>h</sup> 13' 28'' | —         | 15' 28''      | —         |                       |
| Comet   | 13 34                   | —         | 15 35         | —         |                       |
| Stern a | 25 59                   | —         | 27 31         | —         |                       |
| Comet   | 26 5                    | —         | 27 38         | —         |                       |
| Stern a | 29 12                   | —         | 30 58         | —         |                       |
| Comet   | 29 17                   | —         | 31 5          | —         |                       |
| Comet   | 40 47                   | 42 27     | 41 3          | 42 10     | Süd.                  |
| Stern b | 43 12,5                 | 45 5      | 43 22         | 44 55,5   | Nord.                 |
| Stern a | 46 24                   | 48 7      | —             | —         | Süd.                  |
| Comet   | 46 31                   | 48 17     | —             | —         | Süd.                  |
| Stern b | 49 2                    | 50 51     | 49 12         | 50 41     | Nord.                 |
| Stern a | 53 1                    | 55 1      | 53 12         | —         | Süd.                  |
| Comet   | 53 7                    | 55 10     | 53 20         | —         | Süd.                  |
| Stern b | 55 59,5                 | 57 23,5   | 56 12         | 57 9,5    | Nord.                 |
| Stern a | 1 0 8                   | 2 19      | —             | —         |                       |
| Comet   | 0 16                    | 2 28      | —             | —         |                       |
| Stern a | —                       | —         | 9 21          | 10 43     | Süd.                  |
| Comet   | —                       | —         | 9 30          | 10 55     | Süd.                  |
| Stern a | 12 34                   | 14 52     | —             | —         | Süd.                  |
| Comet   | 12 38                   | 15 2      | —             | —         | Süd.                  |
| Stern a | 16 42                   | 17 40     | —             | —         | Nord.                 |
| Comet   | 16 53                   | 17 47     | —             | —         | Nord.                 |
| Stern a | 19 44                   | 21 54     | —             | —         |                       |
| Comet   | 19 52                   | 22 2      | —             | —         |                       |
| Stern a | —                       | 23 22     | 24 37         | —         | Nord.                 |
| Comet   | —                       | 23 38     | 24 41         | —         | Nord.                 |
| Stern a | —                       | 29 7      | 30 17         | —         | Nord.                 |
| Comet   | —                       | 29 20     | 30 19         | —         | Nord.                 |
| Stern a | 31 36                   | 33 46     | —             | —         |                       |
| Comet   | 31 44                   | 33 56     | —             | —         |                       |
| Stern a | 34 54                   | 35 4      | —             | —         |                       |
| Comet   | 37 2,5                  | 37 13     | —             | —         |                       |

Arnold Nr. 97.  $2^h 7' dU = -20' 1'' 0$

Stündlicher Gang =  $-0^s 33$ .

Der Comet war, besonders Anfangs, so sehr schwach und schwer zu sehen, daß der kleine Stern a, etwa 9 bis 10<sup>e</sup> Gr., ihn völlig verschwinden machte und ich mich damit begnügen mußte nur Eintritte zu beobachten, wo der vorangehende Stern beim Eintritt des Cometen hinter dem dunkeln Ringe stand. Da Comet und Stern a bis auf wenige Secunden auf demselben Parallel standen, und ich sie überdies so viel wie möglich durch die Mitte der Ringe gehen liefs, so glaube ich, daß diese Beobachtungen zur Rectascensions-Bestimmung vollkommen brauchbar sind.

Scheinbare Oerter der Sterne.

a =  $5^h 44' 10^s + 23^s 55^s$

b =  $5^h 46' 50,82 + 24^h 13^s 30$ . *Bessels Zone 348, Hist. cel. p. 315 und 196.*

1835 August 26.

| Stern.  | Äußerer Ring.            |           | Innerer Ring. |           | Vom Mit-<br>telpunkt. |
|---------|--------------------------|-----------|---------------|-----------|-----------------------|
|         | Eintritt.                | Austritt. | Eintritt.     | Austritt. |                       |
| Comet   | 23 <sup>h</sup> 16' 37'' | 18' 43''  | 16' 45''      | 18' 35''  |                       |
| Stern b | 17 29,5                  | 19 40     | 17 39,5       | 19 30     |                       |

| Stern.  | Äußerer Ring.      |           | Innerer Ring. |           | Vom Mit-<br>telpunkt. |
|---------|--------------------|-----------|---------------|-----------|-----------------------|
|         | Eintritt.          | Austritt. | Eintritt.     | Austritt. |                       |
| Comet   | 21' 19''           | 22' 54''  | 21' 38''      | 22' 31''  | Süd.                  |
| Stern b | 22 5               | 23 57,5   | 22 18         | 23 45,5   | Süd.                  |
| Comet   | 25 23              | 27 0      | 26 47         | 26 34     | Nord.                 |
| Stern b | 26 43              | 27 31     | —             | —         | Nord.                 |
| Comet   | 30 50              | 33 4      | 31 6          | 32 53     |                       |
| Stern b | 31 47              | 33 58,5   | 31 57,5       | 33 48     |                       |
| Comet   | 44 8               | 46 23     | 44 22         | —         |                       |
| Stern b | 45 4               | 47 15,5   | 45 14,5       | 47 5      |                       |
| Comet   | 48 19              | 49 43     | 48 38         | 49 10     | Süd.                  |
| Stern b | 49 3               | 50 47,5   | 49 16         | 50 34     | Süd.                  |
| Comet   | 51 42              | 53 15     | 52 11         | 52 54     | Nord.                 |
| Stern b | 53 10              | 53 35     | —             | —         | Nord.                 |
| Comet   | 55 22              | 57 32     | 55 36         | 57 22     |                       |
| Stern b | 56 20              | 58 18,5   | 56 31,5       | 58 7      |                       |
| Comet   | 0 3 30             | 5 41      | 8 40          | 5 31      |                       |
| Stern b | 4 25               | 6 30,7    | 4 35,5        | 6 20      |                       |
| Comet   | 7 50               | 9 18      | 8 11          | 8 51      | Süd.                  |
| Stern b | 8 31               | 10 18,5   | 8 44          | 10 5      | Süd.                  |
| Comet   | 11 52              | 13 33     | 12 18         | 13 12     | Nord.                 |
| Stern b | 13 5               | 14 5      | —             | —         | Nord.                 |
| Comet   | 19 18              | 21 29     | 19 29         | 21 18     |                       |
| Stern b | 20 10              | 22 21     | 20 20         | 22 11     |                       |
| Comet   | 29 40              | 31 5      | —             | —         | Süd.                  |
| Stern b | 30 26              | 32 8      | 30 39         | 31 54     | Süd.                  |
| Comet   | 33 35              | 35 0      | 34 8          | 34 34     | Nord.                 |
| Stern b | berührte den Rand. |           |               |           | Nord.                 |
| Comet   | 36 51              | 38 58     | 37 4          | 38 46     |                       |
| Stern b | 37 39              | 39 50     | 37 49,5       | 39 40     |                       |
| Comet   | 40 56              | 43 0      | 41 8          | 42 47     |                       |
| Stern b | 41 44              | 43 53,5   | 41 54         | 43 44     |                       |
| Comet   | 45 55              | 47 48     | 46 12         | —         | Nord.                 |
| Stern b | 46 58              | 47 27,5   | 47 16         | 48 11     | Nord.                 |
| Comet   | 49 52              | 51 20     | 50 16         | 50 50     | Süd.                  |
| Stern b | 50 82              | 52 19     | 50 46         | 52 6      | Süd.                  |
| Comet   | 53 35              | 55 16     | 53 56         | 54 56     | Süd.                  |
| Stern b | 54 20              | 56 13     | 54 33         | 56 1      | Süd.                  |
| Comet   | 57 0               | 59 6      | 57 16         | 58 52     | Nord.                 |
| Stern b | 57 57              | 59 49     | 58 9,5        | 59 36     | Nord.                 |
| Comet   | 1 1 6              | 3 2       | 1 24          | 2 46      | Süd.                  |
| Stern b | 1 52               | 3 55      | 2 3           | 3 45      | Süd.                  |

Stündlicher Gang =  $-0^s 31$

Barometer 29,79 Engl. Zoll.

Thermometer am Barometer =  $66^{\circ}$  Fahrenh.

Freies Thermometer =  $51,2$  —

Der scheinbare Ort des Sterns b list:

AR. =  $5^h 46' 50^s 88$  } *Bessels Zone 348, Hist. cel. p. 315*  
Decl. =  $+24^{\circ} 13' 5,37$  } und 195.

1835 August 28.

| Stern.  | Äußerer Ring.           |            | Innerer Ring. |           | Vom Mit-<br>telpunkt. |
|---------|-------------------------|------------|---------------|-----------|-----------------------|
|         | Eintritt.               | Austritt.  | Eintritt.     | Austritt. |                       |
| Stern b | 23 <sup>h</sup> 29' 1'' | 30' 44'' 5 | 29' 15''      | 30' 31''  |                       |
| Comet   | —                       | —          | 25 50         | 31 36     |                       |
| Stern b | 34 19                   | 35 50,5    | 34 35,5       | 35 34     |                       |
| Comet   | 34 48                   | 37 1       | 35 0          | 36 49     |                       |
| Stern b | 39 16                   | 40 56      | 39 31         | 40 42     |                       |
| Comet   | 39 51                   | 42 4       | 40 4          | 41 49     |                       |
| Stern b | 44 5,5                  | 45 55      | 44 18         | 45 42,5   |                       |

| Stern.  | Äußerer Ring.           |           | Innerer Ring. |           | Vom Mit-<br>teipunkt. |
|---------|-------------------------|-----------|---------------|-----------|-----------------------|
|         | Eintritt.               | Austritt. | Eintritt.     | Austritt. |                       |
| Comet   | 23 <sup>h</sup> 44' 45" | 46' 55"   | 44' 59"       | 46' 42"   |                       |
| Stern c | 59 15                   | 61 2      | 59 30         | 60 4,5    | Süd.                  |
| Comet   | 0 0 14                  | 2 16      | 0 28          | 2 1       | Süd.                  |
| Stern c | 4 24                    | 6 81      | 4 35          | 6 20      | Nord.                 |
| Comet   | 5 33                    | 7 34      | 5 47          | 7 22      | Nord.                 |
| Stern c | 9 13,5                  | 10 35     | 9 35,5        | 10 13     | Süd.                  |
| Comet   | 10 8                    | 11 53     | 10 27         | 11 32     | Süd.                  |
| Stern c | 12 40                   | 14 4      | 13 0          | 13 45     | Nord.                 |
| Comet   | 14 0                    | 14 57     | —             | —         | Nord.                 |
| Stern c | 16 51                   | 18 53     | 17 4          | 18 41,3   | Nord.                 |
| Stern c | 18 1                    | 19 56     | 18 19         | 19 40     | Nord.                 |
| Stern c | 20 58                   | 22 15     | 21 23,5       | 21 50     | Süd.                  |
| Comet   | 21 51                   | 23 35     | 22 12         | 23 17     | Süd.                  |
| Stern c | 25 26                   | 27 38,5   | 25 37         | 27 28     |                       |
| Stern b | —                       | —         | 26 18,5       | 27 18,5   |                       |
| Comet   | 26 33                   | 28 48     | 26 47         | 28 33     |                       |
| Stern c | 30 38                   | 32 50     | 30 48,3       | —         |                       |
| Stern b | 31 13                   | 32 45     | 31 29,7       | 32 29,5   |                       |
| Comet   | 31 43                   | 33 58     | 31 57         | 33 45     |                       |
| Stern c | 35 45,5                 | 37 57,5   | 35 56         | —         |                       |
| Stern b | 36 18,7                 | 37 56     | 36 33         | 37 42,5   |                       |
| Comet   | —                       | —         | 37 6          | 38 54     |                       |
| Stern c | 39 57                   | 42 8      | 40 8          | 41 58     |                       |
| Stern b | 40 24,8                 | 42 0,5    | 40 37         | 42 12     |                       |
| Comet   | 41 6                    | 43 15     | 41 18         | 43 3      |                       |
| Stern c | 45 13,5                 | 46 53     | 45 30         | 46 38     | Nord.                 |
| Comet   | 46 35                   | 47 52     | —             | —         | Nord.                 |
| Stern c | 49 15                   | 50 58,5   | 49 29         | 50 44     | Süd.                  |
| Comet   | 50 14                   | 52 14     | 50 29         | 51 58     | Süd.                  |

Arnold Nr. 97.  $1^h 15^m$  d.U. =  $-20^{\circ} 31' 18''$   
Stündl. Gang =  $-0,34$ .

Barometer 30<sup>99</sup> } Therm. im Freien 48<sup>3</sup>.  
Th. am Bar. 63,3 }

Scheinbare Oerter der Sterne.

$$b = 5^h 46^m 50^s + 24^{\circ} 13' 54''$$

$$c = 5^h 46^m 35^s + 24^{\circ} 23'$$

1835 August 29.

|         |                         |         |         |          |       |
|---------|-------------------------|---------|---------|----------|-------|
| Stern d | 23 <sup>h</sup> 52' 20" | 54' 19" | 52' 33" | 54' 8" 5 | Süd   |
| Stern e | 52 43,5                 | 54 44   | 52 55   | 54 32,5  | Süd.  |
| Comet   | 53 25                   | 55 19   | 53 45   | 55 4     | Süd.  |
| Stern d | 57 35                   | 58 35   | —       | —        | Nord. |
| Stern e | 58 1                    | 58 54,5 | —       | —        | Nord. |
| Comet   | 58 21                   | 59 52   | 58 54   | 59 20    | Nord. |
| Stern d | 0 1 24,5                | 3 5,5   | 1 38,5  | 2 51     | Nord. |
| Stern e | 1 49                    | 3 28    | 2 5     | 3 12,5   | Nord. |
| Comet   | 2 21                    | 4 15    | 2 36    | 4 0      | Nord. |
| Stern d | 5 45                    | 7 49    | 5 56,3  | 7 38,4   | Süd.  |
| Stern e | 6 7,7                   | 8 12,7  | 6 19,0  | 8 2      | Süd.  |
| Comet   | 6 49                    | 8 50    | 7 6     | 8 36     | Süd.  |
| Stern d | 9 40,2                  | 11 29,7 | 9 53    | 11 17,5  | Nord. |
| Stern e | 10 4,5                  | 11 52,3 | 10 17,5 | 11 38,5  | Nord. |
| Comet   | 10 38                   | 12 40,5 | 10 55   | 12 24    | Nord. |
| Stern d | 13 53                   | 15 57   | 14 4,3  | 15 45,8  | Süd.  |
| Stern e | 14 15,3                 | 16 21   | 14 27   | 16 10,2  | Süd.  |
| Comet   | 14 59                   | 17 0    | 15 3    | 16 43,5  | Süd.  |
| Stern d | 18 35,5                 | 18 47,2 | 18 46   | 18 37,4  |       |
| Stern e | 18 59,3                 | 21 10,6 | 19 9,8  | 21 0,5   |       |
| Comet   | 19 38                   | 21 51   | 19 48   | 21 40,5  |       |

| Stern.  | Äußerer Ring.            |           | Innerer Ring. |           | Vom Mit-<br>teipunkt. |
|---------|--------------------------|-----------|---------------|-----------|-----------------------|
|         | Eintritt.                | Austritt. | Eintritt.     | Austritt. |                       |
| Stern d | 0 <sup>h</sup> 22' 49" 5 | 25' 0"    | 22' 59' 2     | 24 50     |                       |
| Stern e | 23 12,7                  | 25 23,4   | 23 23         | 25 12,5   |                       |
| Comet   | 23 51                    | 26 5      | 24 5          | 25 55     |                       |
| Stern d | 27 42                    | 29 53     | 27 52,5       | 29 43,3   |                       |
| Stern e | 28 5                     | 30 16,5   | 28 16         | 30 6,5    |                       |
| Comet   | 28 44                    | 30 59     | 28 57         | 30 46     |                       |
| Stern d | 31 42                    | 33 51     | 31 52,5       | 33 41     |                       |
| Stern e | 32 6,2                   | 34 4,4    | 32 16,3       | 34 3,5    |                       |
| Comet   | 32 42                    | 34 57     | 32 56         | 34 45     |                       |
| Stern d | 38 4,5                   | 39 46,5   | 38 18         | 39 33     |                       |
| Stern e | 38 29                    | 40 8,5    | 38 44         | —         |                       |
| Comet   | 39 5                     | 40 58     | 39 21         | 40 42,5   | Nord.                 |
| Stern d | 42 3,5                   | 44 1      | 42 15,5       | 43 49,2   | Nord.                 |
| Stern e | 42 25,5                  | 44 25,2   | 42 38         | 44 13,7   | Süd.                  |
| Comet   | 43 10,5                  | 45 3      | 43 28         | 44 48     | Süd.                  |
| Stern d | 46 22                    | 48 27     | 46 33         | 48 16"    |                       |
| Stern e | 46 46                    | 48 49,2   | 46 57         | 48 38,8   |                       |
| Comet   | 47 23,5                  | 49 35     | 47 37         | 49 20     |                       |
| Stern d | 50 31,8                  | 52 42     | 50 42         | 52 32,1   |                       |
| Stern e | 50 55                    | 53 6,2    | 51 54         | 52 55,5   |                       |
| Comet   | 51 37                    | 53 48     | 51 48         | 53 36     |                       |

Arnold Nr. 97.  $1^h 14^m$  d.U. =  $-20^{\circ} 40' 5''$

Stündlicher Gang =  $-0,36$

Barometer 29<sup>97</sup>, Therm. am Barom. 63<sup>0</sup>

Freier Thermometer 49<sup>92</sup>.

Scheinbare Oerter der Sterne

$$d = 5^h 47^m 30^s + 24^{\circ} 35' 16''$$

$$e = 5^h 47^m 53^s + 24^{\circ} 35' 21''$$

Bessels Zone 348.

1835 August 31.

|         |                        |        |         |         |       |
|---------|------------------------|--------|---------|---------|-------|
| Comet   | 23 <sup>h</sup> 49' 5" | 51' 4" | 49' 20" | 50' 51" | Süd.  |
| Stern g | 49 30                  | 50 55  | 49 51   | 50 36,5 | Süd.  |
| Stern g | 53 9                   | 55 6,5 | 53 21   | 54 55   | Nord. |
| Comet   | 53 16                  | 54 44  | 53 41   | 54 15   | Nord. |
| Comet   | 57 2                   | 59 15  | 57 14   | 59 5    |       |
| Stern g | 57 14                  | 59 20  | 57 27   | 59 8,5  |       |
| Comet   | 0 2 28                 | 4 32   | 2 41    | 4 18,5  | Süd.  |
| Stern g | 2 51                   | 4 25   | 3 8,5   | 4 8,5   | Süd.  |
| Stern g | 6 4                    | 7 41   | 6 19    | 7 25,5  | Nord. |
| Comet   | 6 18                   | 6 56   | —       | —       | Nord. |
| Stern g | 9 8,5                  | 11 9,5 | 9 19    | 10 58,5 | Süd.  |
| Stern g | 9 30                   | 11 3   | 9 47,5  | 10 46   | Süd.  |
| Comet   | 12 48                  | 14 59  | 13 0    | 14 46,5 |       |
| Stern g | 12 55,5                | 15 6,5 | 13 6    | 14 54   |       |
| Stern f | 15 58                  | 18 10  | 16 8    | 18 0    |       |
| Stern f | 17 50,5                | 20 0   | 18 3    | 19 46,5 |       |
| Stern f | 25 0,7                 | 26 51  | 25 14   | 26 38,8 | Nord. |
| Comet   | 27 6                   | 28 25  | —       | —       | Nord. |

Die letzte Vergleichung durch Wolken und schlecht.

|         |       |       |         |       |       |
|---------|-------|-------|---------|-------|-------|
| Stern g | 30 10 | 32 12 | 30 22,5 | 32 0  | Nord. |
| Comet   | 30 16 | 31 49 | 30 40   | 31 29 | Nord. |

Hierauf bezog der Himmel.

Arnold Nr. 97.  $0^h 47^m$  d.U. =  $-20^{\circ} 57' 6''$

Stündlicher Gang =  $-0,36$

Barometer 30<sup>06</sup>, Therm. am Bar. 61<sup>0</sup>

Thermometer im Freien 45<sup>96</sup>.

Scheinbarer Ort des Sterns g ist:

$$AR. = 5^h 50^m 26^s$$

$$Decl. = +24^{\circ} 46'$$



1835 September 1.

| Stern.  | Aeusserer Ring. |           | Innerer Ring. |           | Vom Mit-<br>telpunkt. |
|---------|-----------------|-----------|---------------|-----------|-----------------------|
|         | Eintritt.       | Austritt. | Eintritt.     | Austritt. |                       |
| Stern h | 23 55' 42" 5    | 57 52'    | 55 54'        | 57 40' 5  |                       |
| Comet   | 56 54           | 58 54     | 57 10         | 58 38,5   |                       |
| Stern h | 0 0. 41,3       | 2 34      | 0 54,5        | 2 21,5    |                       |
| Comet   | 1 39            | 8 49      | 1 52,5        | 3 36,5    |                       |
| Stern h | 7 12,5          | 8 7       | —             | —         | Süd.                  |
| Comet   | 7 56            | 9 20      | 8 14          | 9 37      | Süd.                  |
| Stern h | 11 26           | 13 30,2   | 11 38         | 13 19,2   | Nord.                 |
| Comet   | 12 40           | 14 31     | 12 57         | 14 15     | Nord.                 |
| Stern h | 22 26,5         | 23 68     | 22 43         | 23 42     | Nord.                 |
| Comet   | 23 59           | 24 42     | —             | —         | Nord.                 |
| Stern h | 26 27,5         | 28 23     | 26 40,5       | 28 10,5   |                       |
| Comet   | 27 28,5         | 29 38,5   | 27 40,5       | 29 26     |                       |
| Stern h | 31 21,7         | 33 33,5   | 31 32,3       | 33 23,4   |                       |
| Comet   | 32 31           | 34 40     | 32 44         | 34 28,5   |                       |
| Stern h | 36 7,7          | 38 19     | 36 17,9       | 38 9      |                       |
| Comet   | 37 15,5         | 39 28,5   | 37 27         | 39 16     |                       |
| Stern h | 42 48           | 44 23,3   | 43 4          | 44 6,5    | Süd.                  |
| Comet   | 43 45           | 45 45     | 43 59         | 45 32     | Süd.                  |
| Stern h | 47 15,5         | 48 51     | 47 32,5       | 48 36     | Nord.                 |
| Comet   | 48 50           | 49 37     | —             | —         | Nord.                 |
| Stern h | 51 51,7         | 53 41     | 52 5          | 53 28,2   | Nord.                 |
| Comet   | 53 16,5         | 54 35,5   | 53 46,5       | 54 6,5    | Nord.                 |
| Stern h | 56 45,5         | 58 18     | 57 1,8        | 58 1,4    | Süd.                  |
| Comet   | 57 41           | 59 40,5   | 57 54         | 59 28     | Süd.                  |

| Stern.  | Aeusserer Ring.       |           | Innerer Ring. |           | Vom Mit-<br>telpunkt. |
|---------|-----------------------|-----------|---------------|-----------|-----------------------|
|         | Eintritt.             | Austritt. | Eintritt.     | Austritt. |                       |
| Stern d | 1 <sup>h</sup> 1' 50" | 3' 19"    | 2' 7" 5       | —         | Süd.                  |
| Stern e | 2 11,5                | 3 43,5    | 2 28,5        | 3' 27" 5  | Süd.                  |
| Stern g | 4 25                  | 6 37      | 4 35          | 6 26,5    | Mitte.                |
| Stern h | 4 18                  | 6 0       | 4 33          | 5 45      | Nord.                 |
| Comet   | 5 46                  | 6 49      | —             | —         | Nord.                 |
| Stern d | 10 24,3               | 11 48     | 10 44         | 11 29,8   | Süd.                  |
| Stern e | 10 46                 | 12 13,5   | 11 5          | 11 55,5   | Süd.                  |
| Stern g | —                     | 15 9      | 13 7          | 14 58     | Mitte.                |
| Stern h | 12 49                 | 14 34     | 13 3          | 14 19     | Nord.                 |
| Comet   | 14 17                 | 15 24     | —             | —         | Nord.                 |
| Stern h | 32 6                  | 34 12     | 32 17         | 34 1,5    | Mitte.                |
| Comet   | 33 12,5               | 35 26     | 33 25         | 35 15     | Mitte.                |

Arnold Nr. 97. 2<sup>h</sup> 4' dU. = -21' 7" 8

Stündl. Gang = -0,4

Barometer 30°18; Therm. am Barom. 61°2

Thermometer im Freien 47°4.

Scheinbare Oerter der Sterne:

|   | AR.                         | Decl.           |                 |
|---|-----------------------------|-----------------|-----------------|
| d | = 5 <sup>h</sup> 47' 30" 23 | + 24° 35' 1" 75 | Bessel Zone 348 |
| e | = 5 47 58,36                | + 24 35 21,26   |                 |
| g | = 5 50 26                   | + 24 46         |                 |
| h | = 5 50 4,7                  | + 24 56         |                 |

Petersen

Schreiben des Herrn Hofraths Müller, Directors der Sternwarte in Dorpat, an den Herausgeber.

Dorpat 1841. Juni 9.

Die diesjährige Opposition des Mars gehörte zwar nicht zu den günstigen, da sowohl die Entfernung noch immer ziemlich bedeutend war (0,588 oder fast  $\frac{1}{2}$  der möglichst kleinsten) als auch die südliche Deklination die Beobachtungen für einen so nördlichen Ort wie Dorpat sehr erschwerte. Nur kurze Zeit vor und nach dem Meridiandurchgange waren Beobachtungen möglich. Am 24<sup>ten</sup> und 31<sup>ten</sup> Januar machte ich die ersten Versuche, worauf sie fast 8 Wochen lang wegen des zu tiefen Standes ausgesetzt wurden. Mit Ende März nahm ich sie wieder auf und habe sie bis zum 2<sup>ten</sup> Juni fortgesetzt, überhaupt in 22 Beobachtungsnächten 36 Zeichnungen erhalten und eine Reihe von Messungen sowohl des Äquatorial- und Polardurchmessers, als des Polar- und einiger andern Flecke ausgeführt. Die ersten sind nicht zahlreich genug, um über die Grösse oder Abplattung jetzt schon etwas abzuleiten, und ich werde künftige Oppositionen abwarten müssen, allein schon jetzt zeigt sich deutlich, daß der Durchmesser für die Entfernung 1 erheblich grösser als 9<sup>e</sup> herauskommt und daß eine etwaige Abplattung jedenfalls gering, vielleicht auch gar nicht wahrnehmbar ist. Die Messungen des Nordpolarflecks, der seit dem 25<sup>ten</sup> März fortwährend, und meist sehr deutlich, ge-

sehen werden konnte, geben keine Veränderung seiner Lage mit Sicherheit zu erkennen, denn wenn ich auch sehr häufig und fast gewöhnlich Abweichungen von 2—3 Grade vom Mittel erhalte, so befolgen diese doch kein bestimmtes Gesetz und sind auch wohl durch die Schwierigkeit der Beobachtung hervorgerufen. Ich werde später diese Messungen vollständig mittheilen. Versuche mit einigen andern eben so bestimmten Flecken haben auch ähnliche Abweichungen gegeben. In der Gegend des Südpols zeigte sich eine übliche Helle, allein ihr fehlte die scharfe Begrenzung und sie veränderte auch ihren Ort auf der Marascheibe sehr merklich; auch sonst am Rande herum waren mehrmals hellgelbe, weißliche und bläuliche Stellen sichtbar. Rote Regionen bemerkte ich häufiger und mit grösserer Bestimmtheit als bei den früheren Oppositionen: die Mittelgegend der Scheibe war fast immer roth und auch zwischen den dunkeln Flecken, welche die nördliche Polarzone umlagerten, sah man deutlich das Roth hindurchschimmern. Wie viel die optische Kraft des Fernrohrs Antheil an dieser grössern Mannichfaltigkeit und Bestimmtheit der Farben habe, wage ich noch nicht zu entscheiden. Eben so habe ich allerdings einige Flecke wahrgenommen, die in meinen früheren

Beobachtungen seit 1830 nicht vorkommen; und andre in jenen wahrgenommene konnte ich diesmal nicht oder doch nicht sicher wiederfinden, allein es ist schwer, hieraus für oder gegen die Beständigkeit der Flecke etwas zu schliessen, da, wie bereits erwähnt, in jeder Nacht nur kurze Zeit (selbst in den günstigsten kaum 2 Stunden) beobachtet werden konnte. Mehrere früher beobachtete sind mit völliger Bestimmtheit diesmal eben so wieder erschienen.

Die erhaltenen Zeichnungen behalte ich mir vor, später in einem Steindrucke mitzutheilen. Die beiden nächsten Oppositionen im Sommer 1843 und 1845 ereignen sich bei so tiefem Stande des Mars, dafs für Dorpat keine Aussicht ist ihn mit Erfolg zu beobachten, wenn nicht vielleicht eine oder die andere Nacht durch eine ungewöhnliche Heiterkeit begünstigt wird. Erst 1847 stellen sich die Verhältnisse wieder günstiger.

Die meisten heitern Nächte, die mir bis jetzt hier zu Theil wurden, waren Mondscheinächte, und deshalb bin ich auch mit meinen fortgesetzten Beobachtungen der Mondoberfläche verhältnismäfsig am weitesten vorgerückt. Die Anzahl von etwa 90 Rillen, welche die Mappa Selenographica enthält, ist jetzt schon auf mehr als 150 angewachsen und leicht dürfte die Zahl 1000 für die durch das Dorpater Fernrohr sichtbaren Mondrillen nicht zu groß sein. Auch erscheinen mir mehrere, die mir früher von durchaus parallelen Rindern begränzt zu sein schienen, bei Anwendung starker Vergrößerungen sehr ungleich; einige bestehen fast ganz aus einer zusammenhängenden Kette in einander mündender rundlicher Oeffnungen, wie z. B. der grösste Theil der Higinusrille. Im Sinus Aestuum, den die Selenographie als craterfrei bezeichnet, habe ich bereits mehrere Crater entdeckt und so dürfte noch Manches in jenem Werke Erwähnte durch meine hiesigen Beobachtungen eine nähere Bestimmung und theilweise Modification erfahren.

Noch setze ich einige Doppelsternebeobachtungen her.

#### γ Leonis.

|                 |                            |                        |                    |
|-----------------|----------------------------|------------------------|--------------------|
| 1840 Oct. 28.   | 14 <sup>h</sup> 10' St. Z. | 2 <sup>h</sup> 89' (3) | 105° 19' 8" (3)    |
| 1841 April 6.   | 6 58                       | 2,888                  | (3) 105 22,5 (4)   |
| — 13.           | 8 32                       | 2,899                  | (5) 104 25,7 (5)   |
| — 15.           | 9 8                        | —                      | 103 1,1 (5)        |
| — 20.           | 8 25                       | 2,886                  | (3) 105 10,9 (5)   |
| — 26.           | 8 46                       | 2,700                  | (3) 104 43,5 (3)   |
| — 30.           | 7 21                       | 2,642                  | (2) 104 57,8 (4)   |
| Mai 7.          | 7 30                       | 2,741                  | (2) 105 6,8 (3)    |
| Mittel 1841,26. |                            | 2,785 (21 B.)          | 105° 4' 8" (34 B.) |

#### ξ Ursae majoris.

|                 |                           |                        |                  |
|-----------------|---------------------------|------------------------|------------------|
| 1840 Nov. 1.    | 10 <sup>h</sup> 0' St. Z. | 2 <sup>h</sup> 57' (3) | 152° 54' 0" (5)  |
| 1841 April 14.  | 8 15                      | 2,089                  | (5) 149 25,7 (5) |
| — 20.           | 10 30                     | —                      | 149 13,2 (3)     |
| — 16.           | 9 2                       | 2,419                  | (3) 148 44,1 (5) |
| Mai 22.         | 14 4                      | 2,906                  | (3) 149 25,0 (4) |
| Mittel 1841,31. |                           | 2,384 (11)             | 149 11,1 (17)    |

#### ζ Orionis.

|               |   |                   |
|---------------|---|-------------------|
| 1841 März 25. | 6 <sup>h</sup> 5' 2 <sup>h</sup> 547' (5) | 149° 32' 7" (5)   |
| April 6.      | 4 18 2,239 (8)                            | 149 47,1 (5)      |
| 1841,25.....  | 2,431 (8)                                 | 149° 39' 9" (10). |

#### ζ Cancri. A. B.

|               |                             |                 |
|---------------|-----------------------------|-----------------|
| 1841 April 5. | 8 <sup>h</sup> 2' 0,942 (2) | 359° 43' 2" (5) |
| — 6.          | 8 0 1,080 (3)               | 359 32,1 (5)    |
| — 25.         | 11 5                        | 1 53,5 (1)      |
| — 28.         | 9 59 1,040 (2)              | 1 19,5 (5)      |
| Mai 8.        | 11 22 1,139 (2)             | 2 2,5 (4)       |
| — 13.         | 9 4                         | 1 25,5 (5)      |
| 1841,31.....  | 1,053 (9)                   | 0° 46,2 (25).   |

#### 42 Cume Berenices.

|                |   |                 |
|----------------|---|-----------------|
| 1841 April 14. | 9 <sup>h</sup> 50' 0 <sup>h</sup> 25 (Sch.) | 6° 13' 3" (4)   |
| Mai 9.         | 11 28 0,25 (Sch.)                           | 0 45,4 (5)      |
| — 11.          | 11 40 0,3 (Sch.)                            | 3 39,8 (4)      |
| — 12.          | 11 50 0,4 (Sch.)                            | 0 34,3 (2)      |
| — 18.          | 12 30                                       | 359 22,5 (2)    |
| — 24.          | 12 50 0,42 (Sch.)                           | 5 38,9 (5)      |
| — 25.          | 13 8  | 0 54,9 (5)      |
| Jun. 3.        | 13 20                                       | 9 59,3 (4)      |
| 1841,37.....   | 0,324 (5)                                   | 3° 44' 4" (31). |

#### γ Corcae.

|                |   |                 |
|----------------|---|-----------------|
| 1841 April 14. | 18 <sup>h</sup> 12' 0 <sup>h</sup> 4 (S.) | 150° 40' 5" (4) |
| Jan. 3.        | 15 22 0,5 (S.)                            | 146 33,5 (2)    |
| 1841,35.....   | 0 <sup>h</sup> 45 (2)                     | 149 18,2 (6)    |

#### ε Bootis.

|                |   |                 |
|----------------|---|-----------------|
| 1841 April 18. | 9 <sup>h</sup> 50' 3 <sup>h</sup> 318 (3) | 323° 12' 5" (3) |
| Mai 22.        | 12 45 2,555 (3)                           | 322 42,8 (3)    |
| Jun. 3.        | 15 5 2,70 (1)                             | 322 51,2 (3)    |
| 1841,37.....   | 2 <sup>h</sup> 902 (7)                    | 322 52,2 (9)    |

#### ρ Ophiuchi.

|                |                              |                   |
|----------------|------------------------------|-------------------|
| 1841 April 18. | 15 <sup>h</sup> 36' —        | 124° 28' 8" (6)   |
| — 27.          | 18 52 6 <sup>h</sup> 428 (2) | 125 14,8 (3)      |
| Mai 8.         | 18 23 5,729 (3)              | 126 2,3 (5)       |
| — 9.           | 18 8 6,618 (3)               | 125 32,8 (3)      |
| — 12.          | 19 5 6,426 (3)               | 125 24,5 (5)      |
| 1841,34.....   | 6 <sup>h</sup> 561 (11)      | 125° 17' 8" (20). |

#### ω Leonis.

|             |                                 |                   |
|-------------|---------------------------------|-------------------|
| 1841 Mai 8. | 12 <sup>h</sup> 5' 203° 40' (3) | 0° 3" (Schätzung) |
|-------------|---------------------------------|-------------------|

#### Castor.

|                     |  |                 |
|---------------------|--|-----------------|
| 1840 Oct. 29.       | 12 <sup>h</sup> 10' 5 <sup>h</sup> 140 (5) | 252° 35' 0" (5) |
| — 30.               | 12 10 4,834 (5)                            | 252 46,6 (5)    |
| 1841 April 5.       | 5 1 4,936 (5)                              | 253 12,5 (5)    |
| — 14.               | 4 28 5,550 (5)                             | 252 59,7 (4)    |
| Mai 8.              | 10 37 4,866 (3)                            | 252 37,8 (5)    |
| Mittel 1841,11..... | 4,886 (23)                                 | 252 49,1 (24).  |

#### γ Herculis.

|               |  |                 |
|---------------|--|-----------------|
| 1841 April 3. | 19 <sup>h</sup> 40' 1 <sup>h</sup> 156 (4) | 155° 17' 5" (4) |
| Mai 9.        | 19 10 0,770 (2 Schätz.)                    | 152 80,0 (4)    |
| — 22.         | 19 27 0,813 (2 Sch.)                       | 169 5,1 (6)     |
| 1841,34.....  | 0 <sup>h</sup> 974 (8)                     | 156 53,5 (19).  |

## ζ Herculis.

|                     |                     |       |          |          |     |
|---------------------|---------------------|-------|----------|----------|-----|
| 1841 April 3.       | 19 <sup>h</sup> 20' | 1°296 | (5)      | 149°16'3 | (5) |
| — 14.               | 19 0                | 1,061 | (2)      | 148 49,1 | (5) |
| Mai 9.              | 18 51               | 0,963 | (8)      | 147 18,5 | (4) |
| — 12.               | 19 25               | 0,919 | (2)      | 147 53,2 | (3) |
| — 22.               | 19 18               | 1,018 | (3)      | 150 13,9 | (5) |
| — 24.               | 19 27               | —     | —        | 149 15,5 | (2) |
| Mittel 1841,35..... | 1,092               | (15)  | 148 52,5 | (24).    |     |

## ι Leonis.

|                     |                    |       |         |         |     |
|---------------------|--------------------|-------|---------|---------|-----|
| 1841 April 14.      | 8 <sup>h</sup> 36' | 1°893 | (5)     | 86°41'9 | (5) |
| — 20.               | 11 5               | 2,385 | (2)     | 85 37,5 | (5) |
| — 26.               | 9 16               | 3,430 | (3)     | 86 26,0 | (3) |
| Mai 4.              | 11 5               | 2,213 | (3)     | 87 50,8 | (4) |
| — 22.               | 13 53              | 2,532 | (2)     | 86 57,2 | (3) |
| Mittel 1841,32..... | 2,215              | (15)  | 86 39,5 | (20).   |     |

## γ Virginis.

|                     |                     |       |         |         |  |
|---------------------|---------------------|-------|---------|---------|--|
| 1841 April 20.      | 12 <sup>h</sup> 36' | 2°156 | (3)     | 20°41'2 |  |
| — 25.               | 12 40               | 1,999 | (2)     | 20 0,3  |  |
| — 26.               | 10 10               | 1,747 | (4)     | 19 54,3 |  |
| — 29.               | 12 37               | 1,902 | (3)     | 19 42,2 |  |
| Mai 1.              | 9 35                | 1,674 | (3)     | 20 5,2  |  |
| — 8.                | 11 30               | 2,114 | (1)     | 20 47,5 |  |
| — 9.                | 11 6                | 1,633 | (3)     | 20 51,5 |  |
| — 11.               | 11 20               | 1,668 | (3)     | 20 41,7 |  |
| — 12.               | 11 37               | 1,463 | (2)     | 20 15,2 |  |
| — 18.               | 12 20               | 1,819 | (3)     | 19 31,1 |  |
| — 24.               | 12 38               | 1,487 | (4)     | 19 40,9 |  |
| Mittel 1841,35..... | 1,728               | (31)  | 20°10'7 | (46).   |  |

## 2 1 7 5.

|                     |                     |       |          |          |     |
|---------------------|---------------------|-------|----------|----------|-----|
| 1841 April 27.      | 18 <sup>h</sup> 20' | 0°864 | (1)      | 169°24'3 | (4) |
| Mai 4.              | 18 13               | —     | —        | 174 22,0 | (4) |
| — 8.                | 18 2                | 0,5   | (S.)     | 176 37,3 | (4) |
| — 9.                | 18 38               | 0,303 | (1)      | 169 29,8 | (4) |
| — 12.               | 18 29               | 0,651 | (2)      | 174 49,8 | (4) |
| Mittel 1841,35..... | 0°634               | (5)   | 172°56'7 | (20).    |     |

## ρ Ophiuchi.

|                |                     |      |                    |   |    |
|----------------|---------------------|------|--------------------|---|----|
| 1841 April 27. | 18 <sup>h</sup> 40' | 0,86 | (1) länglicht.     | — | *) |
| Mai 4.         | 18 44               | 0,7  | (1) länglicht.     | — |    |
| — 8.           | 18 10               | —    | scheint länglicht. | — |    |

\*) Dieser Doppelstern kann bei der geringen Höhe, die er hier erreicht, nur nach der Position nach bestimmt werden, wenn man jeden der beiden Sterne einzeln erblickt. An den ersten Abenden erhielt ich die vertikale Richtung; die Vergleichung mit den späteren Beobachtungen zeigte deutlich, dass hier nur eine prismatische Verlangsamung wahrgenommen wurde.

|                     |                     |       |                     |         |     |
|---------------------|---------------------|-------|---------------------|---------|-----|
| 1841 Mai 9.         | 18 <sup>h</sup> 25' | 0°773 | (2) best. getrennt. | 37°18'9 | (5) |
| — 12.               | 18 40               | 0,651 | (1) getrennt.       | 34 47,5 | (3) |
| — 24.               | 18 28               | —     | Berührung.          | 36 0,5  | (4) |
| Mittel 1841,37..... | 0°751               | (5)   | 36°14'9             | (12).   |     |

## 1 7 3 4.

|                     |                     |       |         |          |     |
|---------------------|---------------------|-------|---------|----------|-----|
| 1841 Mai 9.         | 11 <sup>h</sup> 41' | 1°041 | (1)     | 196°40'5 | (3) |
| — 11.               | 11 50               | 1,064 | (4)     | 198 7,8  | (4) |
| — 24.               | 13 33               | 1,049 | (3)     | 202 36,0 | (4) |
| — 25.               | 13 21               | 1,184 | (3)     | 197 59,7 | (4) |
| Mittel 1841,38..... | 1°100               | (8)   | 199°2'4 | (15).    |     |

## 1 7 5 7.

|                     |                     |       |        |         |     |
|---------------------|---------------------|-------|--------|---------|-----|
| 1841 Mai 9.         | 11 <sup>h</sup> 55' | 1°872 | (2)    | 36°47'3 | (4) |
| — 11.               | 12 5                | 1,837 | (3)    | 36 12,9 | (5) |
| — 24.               | 13 47               | —     | —      | 35 49,5 | (3) |
| — 25.               | 13 37               | 1,574 | (3)    | 35 15,2 | (4) |
| Mittel 1841,38..... | 1°747               | (8)   | 36°2'7 | (16).   |     |

## ζ Bootis.

|                     |                     |       |         |          |     |
|---------------------|---------------------|-------|---------|----------|-----|
| 1841 Mai 9.         | 12 <sup>h</sup> 35' | 1°386 | (2)     | 308°33'5 | (4) |
| — 12.               | 14 10               | 1,287 | (2)     | 310 18,2 | (3) |
| Jun. 2.             | 14 25               | 1,392 | (1)     | 310 38,8 | (4) |
| — 3.                | 14 35               | 1,150 | (Sch.)  | 310 45,2 | (4) |
| Mittel 1841,39..... | 1°315               | (6)   | 310°2'9 | (15).    |     |

## α Herculis.

|                     |                     |       |          |          |     |
|---------------------|---------------------|-------|----------|----------|-----|
| 1841 Mai 9.         | 19 <sup>h</sup> 32' | 4°237 | (3)      | 118°47'3 | (5) |
| — 12.               | 19 50               | 4,446 | (2)      | 118 30,5 | (5) |
| Mittel 1841,36..... | 4°320               | (5)   | 118°38'8 | (10).    |     |

## γ Coronae.

|                     |                     |                           |            |          |     |
|---------------------|---------------------|---------------------------|------------|----------|-----|
| 1841 April 14.      | einfach.            | (γ Coronae in Berührung.) |            |          |     |
| Mai 22.             | 18 <sup>h</sup> 25' | 0°18*                     | keilförmig | 328°51'5 | (3) |
| Jun. 3.             | 15 40               | —                         | keilförmig | 327 30,5 | (2) |
| Mittel 1841,41..... | 0°18                | —                         | 328°15'6   | (5).     |     |

\*) Geschätzt aus dem Verhältnis der Axen. Da die Sterne aber wahrscheinlich ungleiche Durchmesser haben, so ist diese Distanz wohl zu klein, und dürfte 0°26 bis 0°30 gesetzt werden müssen.

## 73 Ophiuchi.

|                     |                     |       |          |          |     |
|---------------------|---------------------|-------|----------|----------|-----|
| 1841 Mai 24.        | 18 <sup>h</sup> 40' | 1°507 | (4)      | 257°16'6 | (5) |
| Jun. 3.             | 18 46               | 1,30  | (1)      | 256 24,5 | (4) |
| Mittel 1841,41..... | 1°456               | (5)   | 256°53'8 | (9).     |     |

## ξ Bootis.

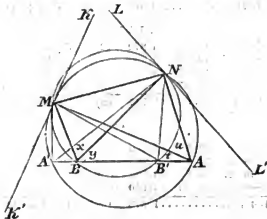
|                     |                     |       |          |          |     |
|---------------------|---------------------|-------|----------|----------|-----|
| 1841 Mai 22.        | 12 <sup>h</sup> 28' | 6°548 | (3)      | 325°20'3 | (5) |
| Jun. 3.             | 15 12               | 7,300 | (1)      | 328 20,3 | (3) |
| Mittel 1841,41..... | 6°961               | (4)   | 324°29'5 | (8)      |     |

Mädler.

Geometrische Auflösung der *Hansenschen* Aufgabe: „Aus der Lage zweier bekannten Punkte die Lage zweier unbekannten Punkte zu finden.“

Von Herrn *Thomas Clausen*.

Die äußerst schöne und einfache geometrische Auflösung der *Pothenschen* Aufgabe von *Bessel* und *Kulenkamp* veranlaßte mich für diese eine ähnliche einfache Auflösung zu suchen, die ich so glücklich war, sogleich zu finden.



Es seien *M* und *N* die beiden gegebenen Punkte; *A* und *B* die gesuchten. Man kann also unmittelbar die Winkel

$MBN = \alpha$ ,  $NBA = \gamma$ ,  $BAM = \delta$  und  $MAN = \beta$  messen. Man mache den Winkel  $MNL = \alpha$ ;  $L'NB = NMB = \gamma$ ;  $KMN = \delta$ ;  $KMA = MNA = \beta$ ; so liegt der Durchschnitt von  $NB$  und  $MB'$  auf der Linie  $AB$ , und eben so der Durchschnitt von  $MA$  und  $NA$ . Durch diese beiden Punkte ist also das Meßbrett orientirt, und die Bestimmung der Punkte *A* und *B* keiner weiteren Schwierigkeit unterworfen.

**Beweis.** Die vier Punkte  $BMB'N$  liegen in einem Kreise. Die Gerade  $LN$  tangirt diesen Kreis, da der Winkel zwischen ihr und der Chorde  $MN$  so groß ist, als der Winkel  $MBN$  an der Peripherie, der auf derselben Chorde steht. Daher wird, wenn der Winkel  $ABN = \gamma$  ist, auch  $LNB' = NMB' = \gamma$  seyn, da die zwei an der Peripherie auf einer Chorde stehen, und der dritte von derselben Chorde, und der Tangente an dem einen Ende derselben gebildet wird. Der Beweis gilt eben so für den Punkt  $A'$  in dem Kreise  $ANMA'$ .

Altona März 24. 1841.

*Thomas Clausen.*

S t e r n b e d e c k u n g .

Herr Hofrath *Gauss* hat am 23<sup>ten</sup> Mai in Göttingen, da das ungunstige Wetter die Beobachtung des Eintritts verhinderte, den Austritt von 42<sup>er</sup> Gemin. um 9<sup>h</sup> 32' 10<sup>se</sup> m. Z. beobachtet. Herr Dr. *Goldschmidt* beobachtete diesen Austritt 0<sup>er</sup> 3 früher.

V e r b e s s e r u n g .

In Nr. 413 pag. 74 Zeile 10 von oben lese man April 19 statt 17.

I n h a l t .

- (zu Nr. 429.) Schreiben des Herrn *Bianchi* an den Herausgeber. p. 337.  
 Ueber die Bestimmung der Länge durch Höhen des Mondes, insbesondere durch correspondirende oder überhaupt gleiche Mondshöhen Von Herrn Professor Dr. *Grunert* in Greifswald. p. 343.  
 (zu Nr. 430.) Verzeichniß von 53 Sternen der Plejaden, aus Beobachtungen mit dem Königsberger Heliometer abgeleitet. Von Herrn Geh. Rath und Ritter *Bessel*. p. 353.  
 Original-Beobachtungen des *Halleyschen* Cometen auf der Altonaer Sternwarte 1835. Von Herrn Observator und Ritter *Petersen*. p. 357.  
 Schreiben des Herrn Hofraths *Mädler*, Directors der Sternwarte in Dorpat, an den Herausgeber. p. 361.  
 Geometrische Auflösung der *Hansenschen* Aufgabe: „Aus der Lage zweier bekannten Punkte, die Lage zweier unbekannten Punkte zu finden.“ Von Herrn *Thomas Clausen*. p. 367.  
 Sternbedeckung. p. 367.  
 Verbesserung. pag. 367.

Altona 1841. August 5.

# ASTRONOMISCHE NACHRICHTEN.

N<sup>o</sup>. 431.

Scheinbare Positionen des *Enckeschen* Cometen bei seiner Wiederkehr im Jahre 1838 beobachtet auf der Hamburger Sternwarte.

Von Herrn Ch. Rümker.

| Datum<br>1838   | Mittl. Zeit in<br>Hamburg. | Scheinbare AR.<br>des Cometen. | Scheinb. Decl.<br>des Cometen. | Zahl<br>der<br>Beob. | Scheinb. Oerter der verglichenen Sterne<br>zur Vergleichungszeit. |                |
|---|----------------------------|--------------------------------|--------------------------------|----------------------|---|----------------|
| Octbr. 14   | 7 <sup>h</sup> 37' 30" 2   | 1 <sup>h</sup> 57' 34" 527     | 49° 43' 38" 0                  | 1                    | AR.   | Decl.          |
|   |                            |                                |                                |                      | 1 <sup>h</sup> 53' 28" 018  | 49° 43' 25" 91 |
|   |                            |                                |                                |                      | 1 53 53,833   | 49 43 43,42    |
|   |                            |                                |                                |                      | 1 55 2,979  | 49 52 12,85    |
| 17  | 7 23 53,67                 | 1 42 41,991                    | 52 47 49,64                    | 8                    | 1 45 44,259   | 52 48 57,398   |
|   |                            |                                |                                |                      | 1 46 10,358   | 52 30 47,74    |
| 19  | 7 36 39,26                 | 1 28 38,939                    | 55 3 2,64                      | 4                    | 1 29 22,832   | 54 57 49,17    |
|   |                            |                                |                                |                      | 1 29 36,103   | 54 49 6,40     |
|   |                            |                                |                                |                      | 1 31 41,272   | 55 15 31,66    |
| 20  | 7 31 9,88                  | 1 20 33,972                    | 56 13 53,37                    | 6                    | 1 21 50,679   | 56 7 0,97      |
|   |                            |                                |                                |                      | 1 23 28,038   | 55 59 1,22     |
|   |                            |                                |                                |                      | 1 26 30,312   | 56 12 46,52    |
|   |                            |                                |                                |                      | 1 29 4,720  | 56 20 22,38    |
| 23  | 7 23 4,67                  | 0 47 40,356                    | 59 54 49,09                    | 6                    | 0 47 3,169  | 59 50 44,33    |
|   |                            |                                |                                |                      | γ Cassiopee   |                |
| 27  | 7 38 55,34                 | 23 34 26,394                   | 64 27 10,12                    | 10                   | 23 30 38,382  | 64 32 45,08    |
|   |                            |                                |                                |                      | 23 33 41,799  | 64 13 39,35    |
| 29  | 6 32 38,86                 | 22 41 48,773                   | 65 41 43,00                    | 1                    | 22 35 23,672  | 65 40 9,09     |
|   | 12 11 53,91                | 22 34 58,678                   | 65 49 41,75                    | 5                    | 22 43 53,895  | 65 42 21,13    |
|   |                            |                                |                                |                      | 22 45 3,902   | 65 53 19,90    |
| 30  | 11 28 17,35                | 22 4 38,563                    | 65 54 47,83                    | 2                    | 22 0 58,580   | 65 59 43,20    |
|   |                            |                                |                                |                      | 22 1 41,152   | 65 55 0,32     |
|   |                            |                                |                                |                      | 22 2 15,927   | 66 10 17,69    |
|   |                            |                                |                                |                      | 22 8 6,377  | 66 8 58,22     |
|   |                            |                                |                                |                      | 22 9 37,008   | 66 8 12,26     |
| Novbr. 3  | 8 34 50,57                 | 20 0 47,251                    | 61 58 57,86                    | 7                    | 19 52 56,251  | 62 10 22,150   |
|   |                            |                                |                                |                      | 19 58 50,037  | 61 56 46,605   |
| An diesem Abende bedeckte der Comet den Stern α demnach         |                            |                                |                                |                      | (a) 19 58 57,032  | 61 50 11,23    |
|   | 10 11 24,05                | 19 58 57,032                   | 61 50 11,23                    |                      | 19 59 23,605  | 62 11 34,30    |
|   |                            |                                |                                |                      | 20 0 15,263   | 61 57 28,62    |
|   |                            |                                |                                |                      | 20 3 52,816   | 62 16 22,55    |
| Novbr. 4  | 8 25 17,02                 | 19 33 34,112                   | 59 45 56,61                    | 1                    | 19 30 26,845  | 59 49 3,24     |
|   |                            |                                |                                |                      | 19 30 36,642  | 59 48 39,33    |
|   |                            |                                |                                |                      | dup. 19 31 25,099   | 59 55 29,95    |
| 5   | 5 53 3,73                  | 19 11 51,401                   | 57 36 5,19                     | 3                    | 19 8 0,882  | 57 29 44,34    |
|   | 7 45 24,79                 | 19 10 9,055                    | 57 23 48,12                    | 8                    | 19 9 12,723   | 57 23 1,70     |
|   |                            |                                |                                |                      | 19 10 8,146   | 57 50 6,34     |
|   |                            |                                |                                |                      | 19 11 0,837   | 57 25 54,18    |
| 9   | 7 46 48,29                 | 17 59 34,826                   | 45 3 8,94                      | 4                    | 17 56 28,528  | 45 21 19,06    |
| Der Stern β ward am selbigen Abende vom Cometen bedeckt, wonach |                            |                                |                                |                      | 17 58 1,676   | 45 7 44,82     |
|   | 8 32 3,9                   | 17 59 9,796                    | 44 57 27,57                    |                      | (b) 17 59 9,796   | 44 57 27,57    |

| Datum.<br>1838.  | Mittl Zeit in<br>Hamburg.             | Scheinbare AR.<br>des Cometen. | Scheinb. Decl.<br>des Cometen. | Zahl<br>der<br>Beobh. | Scheinb. Oerter der verglichenen Sterne<br>zur Vergleichungszeit.<br>AR.                                   | Decl.   |
|--|---------------------------------------|--------------------------------|--------------------------------|-----------------------|--|---|
| Novbr. 10.   | 6 <sup>h</sup> 47' 29 <sup>s</sup> 84 | 17° 47' 43 <sup>s</sup> 646    | 41° 52' 19 <sup>s</sup> 98     | 1                     | 17° 46' 5 <sup>s</sup> 846   | 41° 48' 19 <sup>s</sup> 50  |
|  | 9 8 1,58                              | 17 46 33,577                   | 41 33 8,08                     | 2                     | (c) 17 47 39,396   | 41 51 14,53   |
| An diesem Abende bedeckte, wie auch A. N. Nr. 371 von Herrn Professor Nicolai bemerkt, der<br>Comet den Stern c, woraus folgt: |                                       |                                |                                |                       |  |   |
|  | 6 56 24,38                            | 17 47 39,396                   | 41 51 14,53                    |                       |  |   |
| Nov. 11  | 8 3 56,27                             | 17 36 15,719                   | 38 24 6,87                     | 11                    | 17 35 33,840<br>17 35 48,941<br>17 36 24,371<br>17 36 46,318<br>17 37 6,465<br>17 39 25,131                | 38 18 50,71<br>38 20 57,62<br>38 21 52,98<br>38 8 47,04<br>38 8 33,04<br>38 23 33,68                |
| 12   | 6 15 3,32                             | 17 27 24,141                   | 35 25 10,92                    | 13                    | 17 23 40,985<br>17 26 14,599<br>17 26 58,071<br>17 27 26,033   | 35 4 9,01<br>35 18 89,89<br>35 18 51,88<br>35 26 52,76  |
| 13   | 6 7 51,45                             | 17 18 51,554                   | 32 16 21,71                    | 15                    | 17 16 1 434<br>17 17 44,579<br>17 18 33,681<br>17 18 36,918  | 32 8 40,87<br>32 7 47,32<br>32 24 1,98<br>32 26 18,37   |
| 19   | 5 38 29,57                            | 16 42 34,899                   | 16 0 20,41                     | 8                     | 16 42 38,060<br>16 43 53,957<br>16 45 29,873<br>16 46 1 640<br>16 46 51,685                                | 15 39 36,43<br>16 4 21,45<br>15 53 3,98<br>15 40 40,72<br>15 53 27,62                               |
| 20   | 5 38 4,96                             | 16 38 12,844                   | 13 45 11,30                    | 8                     | 16 37 6,924<br>16 37 36,544<br>16 39 59,502<br>16 40 42,053  | 13 54 49,65<br>13 55 6,09<br>13 57 24,95<br>13 52 51,36   |
| 21   | 6 1 49,57                             | 16 34 6,342                    | 11 35 14,21                    | 9                     | 16 32 10,606<br>16 32 47,024<br>16 34 8,975<br>16 34 37,241<br>16 35 21,062<br>16 35 46,715<br>16 36 8,067 | 11 58 28,73<br>11 47 7,75<br>11 49 36,25<br>11 21 50,98<br>11 15 5,74<br>11 37 39,65<br>11 46 24,31 |
| 23   | 5 44 43,29                            | 16 26 55,991                   | 7 41 43,33                     | 6                     | 16 25 57,180<br>16 27 7,876  | 7 54 51,02<br>7 44 17,20  |
| 24   | 5 34 37,70                            | 16 23 42,494                   | 5 54 9,59                      | 8                     | 16 23 41,904<br>16 24 38,867   | 5 47 5,81<br>5 52 4,96  |
| 25   | 5 29 39,18                            | 16 20 41,863                   | 4 12 13,46                     | 5                     | 16 20 47,763<br>16 22 31,908   | 4 23 47,47<br>4 35 38,57  |

Die Reductionen der Cometenbeobachtungen hat Herr Funk besorgt.

An den Abenden, wo ich den Cometen nur ein- oder zweimal habe beobachten können, war die Witterung ungünstig, und die Beobachtungen sind dann weniger scharf gewesen.

Die Bedeckung eines Fixsternes von einem lichtschwachen Cometen ist schwer zu beobachten, weil das Licht des Cometen in der Nähe eines auch nur kleinen Fixsternes unscheinlich wird, jedoch glaube ich, daß die hier angegebenen sehr nahe central waren.

C. Rümker.

## Schreiben des Herrn Regierungs-Registrators Paschen an den Herausgeber.

Schwerin 1841. Juli 5.

Ich habe am 26<sup>ten</sup> März d. J. eine Bedeckung der Venns vom Monde beobachtet, welche im Berliner Jahrbuche nicht angezeigt worden ist. Die Anzeige ist dort wahrscheinlich unterblieben, weil die für die Conjunction beider Gestirne p. 217. angegebene Declination des Mondes durch ein Versehen um 30' zu groß angesetzt ist. Wenn gleich die beobachteten Momente der Bedeckung, als zu ungenau, keinen Werth haben können, so lasse ich sie doch zur nähern Beglaubigung meiner Angabe hier folgen:

Mittl. Schweriner  
Zeit.

- |                                     |                                       |
|-------------------------------------|---------------------------------------|
| 1) Erste Berührung der Ränder       | 8 <sup>h</sup> 45' 49" (wohl etwas zu |
| 2) Gänzl. Verschwinden des Südhorns | 48 5 spät?)                           |
| 3) Austritt des ersten Randes       | verfehlt.                             |
| 4) ——— des Nordhorns                | 4 26 58                               |

Das angewandte Fernrohr war ein Fraunhofer von 43<sup>l</sup> Oeffnung. Den Stand der Uhr konnte ich erst zwei Stunden später durch Höhen der Venus mit einem kleinen Breithaupt'schen Theodolithen bestimmen, weil das Instrument nicht früher zu meiner Disposition stand. Habe ich zwar Ursache anzunehmen, daß die Zeitbestimmung an sich um weniger als 2" unrichtig ist, so kann ich doch dem Gange der zur Beobachtung angewandten gewöhnlichen Taschenuhr nicht trauen, da dieser sich

häufig, selbst in kurzen Zwischenräumen als sehr ungleich ausgewiesen hat. Die Momente der Bedeckung werden also beträchtlich ungenauer seyn.

Um einigermaßen über die Zuverlässigkeit der Beobachtung urtheilen zu können, habe ich den scheinbaren Abstand beider Himmelskörper für die Zeiten der ersten und letzten Ränderberührungen aus den Angaben des Berliner Jahrbuchs, mit Berücksichtigung der Aberration für die Venus, abgeleitet und dabei die Abplattung  $\frac{3}{88}$  und die Breite von  $53^{\circ} 37' 20''$  zum Grunde gelegt, für die Länge Schwerins aber den wohl nicht erheblich unrichtigen Werth  $8^{\circ} 17'$  in Zeit westlich von Berlin angenommen. Ich finde den scheinbaren Abstand für die Zeit der ersten Ränderberührung

$$= 16^{\circ} 31' 3'',$$

während die Beobachtung denselben zu

$$16^{\circ} 24' 8''$$

ergiebt, wenn man den Durchmesser der Venus aus den Angaben von Beer und Mädler berechnet. Der für die Zeit der letzten Ränderberührung berechnete Abstand differirt beträchtlich mehr von dem beobachteten, er ist nämlich um 30' 1" größer als dieser. Es scheint daher, besonders die Zeit des Austritts sehr fehlerhaft zu seyn.

F. Paschen.

## Auszug aus einem Schreiben des Herrn C. v. Littrow, Directors der Wiener Sternwarte.

Wien 1841. Juli 29.

Erlauben Sie, daß ich Ihnen eine Kleinigkeit mittheile, zu der mich vor einigen Tagen die Lecture der Pariser Comptes rendus Nr. 22 veranlaßte. Herr Ed. Biot führt dort mehrere sehr alte Sternschuppen-Erscheinungen aus chinesischen Geschichtsbüchern an, und sagt unter andern, daß man viermal sehr reichen Sternschuppen-Fall in den Jahren 820 bis 841 nach Chr. und immer zwischen dem 20<sup>ten</sup> und 25<sup>ten</sup> Juli a. St., oder dem 24<sup>ten</sup> und 29<sup>ten</sup> Juli neuen Styles verzeichnet findet, und daß der 27<sup>te</sup> Juli a. St. oder 5<sup>te</sup> August n. St. 1451 ebenfalls durch eine außerordentliche Menge solcher Phänomene ausgezeichnet war. Ich glaubte hierin nach Boguslawsky's Vorgänge ältere Erscheinungen desselben Phänomens vermuten zu dürfen, das man gegenwärtig um den 10<sup>ten</sup> August zu bemerken pflegt, und kam im weiteren Verfolge auf Umstände, welche die Wahrscheinlichkeit jener Muthmaßung wenigstens nicht umzustossen scheinen. Combinirt man nämlich die Erscheinungen 820 — 841 nach Chr. mit der Erschei-

scheinung 1451, so erhält man beiläufig eine synodische Umlaufzeit des Phänomens von 365 Tagen 6 Stunden 12 Minuten; aus der Verbindung aber der Erscheinung 1451 mit der des Jahres 1839, wo der Culminationspunkt des Phänomens mit seltener Entschiedenheit am 10<sup>ten</sup> August gegen 3 Uhr Morgens von uns wahrgenommen wurde, ergiebt sich jene Umlaufzeit gleich 365 Tagen 6 Stunden 8 Minuten, eine in diesem Falle gewiß hinreichende Uebereinstimmung. Rechnet man mit dieser Umlaufzeit auf das Jahr 1838 zurück, so findet man die Zeit der Haupt-Erscheinung am 10<sup>ten</sup> August gegen 9<sup>h</sup> Abends, und in der That beobachtete man an diesem Abende hier von 9<sup>h</sup> bis 10<sup>h</sup> gegen 7<sup>h</sup>, von 10<sup>h</sup> bis 11<sup>h</sup> gegen 50 solcher Erscheinungen trotz trübem Himmels und Mondes, während die vorübergehenden sowohl als folgenden Tage das Phänomen offenbar viel schwächer war. Zur Verification dieser Vermuthung setze ich die Zeiten der nächsten Erscheinungen her, wie sich dieselben aus der zuletzt bestimmten, als der

weit sichereren Umlaufzeit ergeben. Das Phänomen soll seinen größten Glanz erreichen im Jahre

1841 Aug. 10 um 3<sup>h</sup> 16' Abends, am Tage des letzten Viertels.  
 1842 — 10 9 24 „ vier Tage nach dem Neumonde.  
 1843 — 11 3 32 Morgens, einen Tag nach dem Vollmonde.

Da der Moond die heurige Erscheinung nicht eben ganz unsichtbar macht, so ist schon in diesem, noch mehr aber im künftigen Jahre eine Prüfung jener Hypothese möglich.

C. L. v. Littrow.

Auszug aus einem Schreiben des Herrn Professors *Santini* R. v. D., Directors der Sternwarte in Padua.

Abbiamo osservato il piccolissimo Eclisse Solare del 18 Luglio. La parte del Sole oscurata fu qui circa 1' d'Arco. Jo Le accludo gli instanti osservati del principio e fine, che potranno trovar luogo nelle Sue A. N. fra le osservazioni degli altri Collegli.

principio 11<sup>h</sup> 37' 16" 4 } Tempo sider. 3<sup>h</sup> 52' 18" 7 } Tempoin Padova  
 fine 12 4 15,9 } 4 19 11,8 del 18Lugl. 1841.

*Santini.*

Ueber die Bestimmung der Längen durch Azimuthe des Monds, insbesondere auch durch Mondsculminationen.

Von Herrn Professor Dr. *Grunert* zu Greifswald.

### §. 1.

Die schöne Methode der Bestimmung der Längen aus beobachteten Mondsculminationen ist offenbar nur ein besonderer Fall der allgemeineren Methode der Bestimmung der Längen aus Azimuthe des Monds. Die Entwicklung dieser letzteren allgemeineren Methode ist der nächste Zweck des vorliegenden Aufsatzes, woran wir aber auch einige der Aufmerksamkeit der Astronomen vielleicht nicht ganz unwerthe Bemerkungen über eine von der jetzt gewöhnlichen einigermaßen abweichende Methode zur Berechnung der Längendifferenzen aus beobachteten Mondsculminationen anschließen werden.

### §. 2.

Der Beobachtungsort sey *A*, der Ort, für welchen die Ephemeriden berechnet sind, sey *E*. Alle Zeiten seyen Sternzeiten und in Stunden ausgedrückt. Die *A*Zeit der Beobachtung, d. h. die *A*Zeit des Moments; wo der eine Mondrand den Mittelfaden eines unter einem beliebigen, aber bekannten Azimuth aufgestellten Passagen-Instruments oder eines andern zu diesen Beobachtungen geeigneten Werkzeuges berührt, sey *T*. Die Länge des Orts *A* in Zeit in Bezug auf den Ort *E* als Anfang der Längen sey *t*, wobei wir bemerken, daß die Länge des Orts *A* von *E* an nach derselben Richtung hin, nach welcher sich die Erde um ihre Axe bewegt, von 0 bis 360° gezählt werden soll. Dies vorausgesetzt, ist offenbar *T*—*t* oder 24 + *T*—*t*, jenachdem *T*—*t* positiv oder negativ ist, die *E*Zeit der Beobachtung. Setzen wir also

$$T - t = \tau \quad \text{oder} \quad 24 + T - t = \tau,$$

jenachdem *T*—*t* positiv oder negativ ist, so ist in allen Fällen die *E*Zeit der Beobachtung.

### §. 3.

Man nehme nun im Moment der Beobachtung den Mittelpunkt der Erde als den Anfang eines rechtwinkligen Coordinatensystems der *xyz* an; der positive Theil der Axe der *x* sey vom Mittelpunkt der Erde nach dem Frühlingspunkte gerichtet und die Ebene der *xy* sey die Ebene des Aequators; der positive Theil der Axe der *y* habe eine solche Lage, daß man sich, um von dem positiven Theile der Axe der *x* durch den rechten Winkel (*xy*) hindurch zu dem positiven Theile der Axe der *y* zu gelangen, nach derselben Richtung bewegen muß, nach welcher von dem positiven Theile der Axe der *x* an die Rectascensionen gezählt werden; der positive Theil der Axe der *z* sey vom Mittelpunkt der Erde nach dem Nord-pole derselben hin gerichtet.

Die Entfernung des Mittelpunkts des Monds vom Mittelpunkt der Erde, seine Rectascension, Declination und sein aus dem Mittelpunkt der Erde gesehener scheinbarer Halbmesser zur *E*Zeit *τ* seyen respective *p*, *α*, *δ*, *Δ*; so sind offenbar

$$p \cos \alpha \cos \delta, \quad p \sin \alpha \cos \delta, \quad p \sin \delta$$

die Coordinaten des Mittelpunkts des Monds im Moment der Beobachtung, d. h. zur *E*Zeit *τ*, in Bezug auf das angenommen System der *xyz*.

Bezeichnet *r* den nach dem Beobachtungsorte *A* gezogenen Halbmesser der Erde und *φ* die geocentrische Breite von *A*, welche 90° nicht übersteigt, aber als positiv oder als negativ betrachtet wird, jenachdem *A* in der nördlichen oder südlichen Hälfte der Erdoberfläche liegt; so sind, weil offenbar 15 *T* die sogenannte Rectascension der Mitte des



Himmels für den Beobachtungsort  $A$  im Moment der Beobachtung ist,

$$r \cos \varphi \cos 15 T, \quad r \cos \varphi \sin 15 T, \quad r \sin \varphi$$

die Coordinaten des Beobachtungsortes  $A$  in Bezug auf das angenommene System der  $xys$  im Moment der Beobachtung.

Wir wollen nun ein zweites dem Systeme der  $xys$  paralleles rechtwinkliges Coordinatensystem der  $x_1 y_1 z_1$  annehmen, dessen Anfangspunkt der Beobachtungsort  $A$  ist; so haben wir nach den Principien der analytischen Geometrie zwischen den Coordinaten der Systeme der  $xys$  und  $x_1 y_1 z_1$  die folgenden ganz allgemein gültigen Gleichungen:

$$(1) \dots \dots \dots \begin{cases} x = r_1 \cos \varphi \cos 15 T + x_1, \\ y = r \cos \varphi \sin 15 T + y_1, \\ z = r \sin \varphi + z_1. \end{cases}$$

Ferner nehmen wir ein drittes rechtwinkliges Coordinatensystem der  $x_2 y_2 z_2$  an, dessen Anfangspunkt ebenfalls der Beobachtungsort  $A$  ist. Die Ebene der  $x_2 z_2$  sey die Ebene des Meridians von  $A$ ; der positive Theil der Axe der  $z_2$  falle mit dem positiven Theile der Axe der  $z_1$  zusammen; der positive Theil der Axe der  $x_2$  liege über dem Horizonte von  $A$ , und folglich immer in der Hälfte des astronomischen Meridians von  $A$ , von welcher an die Stundenwinkel im entgegengesetzten Sinne der Bewegung der Erde um ihre Axe von 0 bis  $360^\circ$  gezählt werden; der positive Theil der Axe der  $y_2$  werde so angenommen, daß man sich, von dem positiven Theile der Axe der  $x_2$  durch den rechten Winkel ( $x_2 y_2$ ) hindurch zu dem positiven Theile der Axe der  $y_2$  zu gelangen, ganz nach derselben Richtung hin bewegen muß, nach welcher man sich bewegen muß, wenn man von dem positiven Theile der Axe der  $x_1$  durch den rechten Winkel ( $x_1 y_1$ ) hindurch zu dem positiven Theile der Axe der  $y_1$  gelangen will. Dies vorausgesetzt, ist nach den aus der analytischen Geometrie bekannten allgemeinen Formeln für die Verwandlung der Coordinaten in der Ebene offenbar

$$(2) \dots \dots \dots \begin{cases} x_1 = x_2 \cos 15 T - y_2 \sin 15 T, \\ y_1 = x_2 \sin 15 T + y_2 \cos 15 T, \\ z_1 = z_2. \end{cases}$$

Führen wir in diese Gleichungen für  $x, y, z$  die oben gefundenen Coordinaten des Mittelpunkts des Mondes im Moment der Beobachtung ein, und bezeichnen die Coordinaten

$$\begin{cases} \xi = -r \sin(w - \varphi) - \rho \{ \cos w \sin \delta - \sin w \cos(\alpha - 15 T) \cos \delta \}, \\ \eta = \rho \sin(\alpha - 15 T) \cos \delta, \\ \zeta = -r \cos(w - \varphi) + \rho \{ \sin w \sin \delta + \cos w \cos(\alpha - 15 T) \cos \delta \}. \end{cases} \dots \dots \dots (9)$$

Durch den Beobachtungsort  $A$  als Anfang legen wir nun endlich noch ein viertes rechtwinkliges Coordinatensystem der  $x_3 y_3 z_3$ . Die Ebene der  $x_3 y_3$  sey die Ebene des Horizonts, und die Ebene der  $x_3 z_3$  sey die Ebene des Meridians von  $A$ . Der positive Theil der Axe der  $x_3$  werde so angenommen, daß er mit dem positiven Theile der Axe der  $x_2$  einen spitzen Winkel einschließt; der positive Theil der Axe der  $y_3$  falle mit dem positiven Theile der Axe der  $y_2$  zusammen; der positive Theil der Axe der  $z_3$  sey von dem Punkte  $A$  nach dessen Scheitelpunkte oder Fokuspunkte gerichtet, je nachdem  $A$  in der nördlichen oder südlichen Hälfte der Erdoberfläche liegt. Bezeichnet nun  $\omega$  die Polhöhe des Punktes  $A$  oder deren Ergänzung zu  $180^\circ$ , je nachdem  $A$  in der nördlichen oder südlichen Hälfte der Erdoberfläche liegt; so ist nach der Lehre von der Verwandlung der Coordinaten, wie man leicht findet, in völliger Allgemeinheit

$$\begin{cases} x_3 = x_2 \sin \omega + z_2 \cos \omega, \\ y_3 = y_2, \\ z_3 = -x_2 \cos \omega + z_2 \sin \omega. \end{cases} \dots \dots \dots (3)$$

Aus diesen Gleichungen erhält man leicht

$$\begin{cases} x_2 = x_3 \sin \omega - z_3 \cos \omega, \\ y_2 = y_3, \\ z_2 = x_3 \cos \omega + z_3 \sin \omega. \end{cases} \dots \dots \dots (4)$$

und aus (2) ergibt sich auf ähnliche Art

$$\begin{cases} x_2 = x_1 \cos 15 T + y_1 \sin 15 T, \\ y_2 = -x_1 \sin 15 T + y_1 \cos 15 T, \\ z_2 = z_1. \end{cases} \dots \dots \dots (5)$$

Also ist

$$\begin{cases} x_1 = x_3 \sin \omega \cos 15 T + y_3 \sin \omega \sin 15 T - z_3 \cos \omega, \\ y_1 = -x_3 \sin 15 T + y_3 \cos 15 T, \\ z_1 = x_3 \cos \omega \cos 15 T + y_3 \cos \omega \sin 15 T + z_3 \sin \omega. \end{cases} \dots \dots (6)$$

weil nun ferner nach (1)

$$\begin{cases} x_1 = -r \cos \varphi \cos 15 T + x_1, \\ y_1 = -r \cos \varphi \sin 15 T + y_1, \\ z_1 = -r \sin \varphi + z_1. \end{cases} \dots \dots \dots (7)$$

ist; so ist, wie man leicht findet,

$$\begin{cases} x_3 = -r \sin(w - \varphi) + x \sin w \cos 15 T + y \sin w \sin 15 T - z \cos w, \\ y_3 = -x \sin 15 T + y \cos 15 T, \\ z_3 = -r \cos(w - \varphi) + x \cos w \cos 15 T + y \cos w \sin 15 T + z \sin w. \end{cases} \dots \dots \dots (8)$$

des Mittelpunkts des Mondes im Moment der Beobachtung im Systeme der  $x_3 y_3 z_3$  durch  $\xi, \eta, \zeta$ ; so finden wir nach einigen leichten Reductionen

Bezeichnen wir den, dem Beobachtungsorte  $A$  entsprechenden scheinbaren Halbmesser des Monds im Moment der Beobachtung durch  $\Delta$ ; so haben wir offenbar die Gleichung

$$(10) \dots \rho \sin \Delta = \sin \Delta_1 \cdot \sqrt{(\xi^2 + \eta^2 + \zeta^2)},$$

$$\xi^2 + \eta^2 + \zeta^2 = r^2 + \rho^2 - 2r\rho \{ \sin \phi \sin \delta + \cos \phi \cos (\alpha - 15^\circ T) \cos \delta \};$$

also nach (11)

$$(12) \dots \left\{ \begin{aligned} \sin \Delta_1 &= \frac{\rho \sin \Delta}{\sqrt{r^2 + \rho^2 - 2r\rho \{ \sin \phi \sin \delta + \cos \phi \cos (\alpha - 15^\circ T) \cos \delta \}}} \\ \cos \Delta_1 &= \frac{\sqrt{r^2 + \rho^2 \cos \Delta^2 - 2r\rho \{ \sin \phi \sin \delta + \cos \phi \cos (\alpha - 15^\circ T) \cos \delta \}}}{\sqrt{r^2 + \rho^2 - 2r\rho \{ \sin \phi \sin \delta + \cos \phi \cos (\alpha - 15^\circ T) \cos \delta \}}} \end{aligned} \right.$$

Bezeichnen wir nun das Azimuth des Passagen-Instruments durch  $\Omega$ ; so ist, wenn wir die Azimuthe in demselben Sinne wie die Stundenwinkel und von derselben Hälfte des Meridians wie diese an von 0 bis  $360^\circ$  zählen, die Gleichung der Verticalebene, welche die optische Axe des Passagen-Instruments beschreibt, unter den im Obigen gemachten Voraussetzungen in Bezug auf das vierte Coordinatensystem der  $x_3, y_3, z_3$  offenbar

$$(13) \dots x_3 \tan \Omega + y_3 = 0.$$

und die Gleichungen der im Moment der Beobachtung von dem Beobachtungsorte  $A$  nach dem Mittelpunkt des Monds gezogen geraden Linie in Bezug auf dasselbe Coordinatensystem sind

$$(14) \dots x_3 = \frac{\xi}{\zeta} z_3, \quad y_3 = \frac{\eta}{\zeta} z_3.$$

Das Quadrat des Sinus des Neigungswinkels dieser geraden Linie gegen die von der optischen Axe des Passagen-Instruments beschriebene Verticalebene ist nach den bekannten Formeln der analytischen Geometrie, wie man leicht findet,

$$\frac{(\xi \sin \Omega + \eta \cos \Omega)^2}{\xi^2 + \eta^2 + \zeta^2},$$

$$(16) \dots 0 = r \sin \Omega \sin (\omega - \phi) + \rho \left\{ \begin{aligned} &+ \sin \Delta + \cos \omega \sin \Omega \sin \delta \\ &- \cos \delta [\cos \Omega \sin (\alpha - 15^\circ T) + \sin \omega \sin \Omega \cos (\alpha - 15^\circ T)] \end{aligned} \right.$$

das obere oder untere Zeichen genommen, je nachdem die GröÙe

$$r \sin \Omega \sin (\omega - \phi) + \rho \{ \cos \omega \sin \Omega \sin \delta - \cos \delta [\cos \Omega \sin (\alpha - 15^\circ T) + \sin \omega \sin \Omega \cos (\alpha - 15^\circ T)] \}$$

negativ oder positiv ist.

Für  $\Omega = 0$ , d. h. wenn die optische Axe des Passagen-Instruments genau die Ebene des Meridians beschreibt, haben wir nach dem Obigen die Gleichung

$$(17) \dots \sin \Delta = \pm \sin (\alpha - 15^\circ T) \cos \delta,$$

und in dieser Gleichung muß das obere oder untere Zeichen genommen werden, je nachdem  $\sin (\alpha - 15^\circ T) \cos \delta$ , d. i. weil  $\cos \delta$  immer positiv ist, je nachdem  $\sin (\alpha - 15^\circ T)$  positiv oder negativ ist.

Die GröÙen  $\alpha, \delta, \rho, \Delta$  sind sämtlich Functionen der Zeit  $\tau$  der Beobachtung, so daß also  $\alpha = F(\tau)$ ,  $\delta = f(\tau)$ ,

und folglich

$$\sin \Delta_1 = \frac{\rho \sin \Delta}{\sqrt{(\xi^2 + \eta^2 + \zeta^2)}} \dots (11)$$

Aus dem Obigen erhält man aber leicht

$$\rho \sin \Delta = \sin \Delta_1 \cdot \sqrt{(\xi^2 + \eta^2 + \zeta^2)};$$

und folglich nach (10) offenbar

$$\frac{(\xi \sin \Omega + \eta \cos \Omega)^2 \sin \Delta_1^2}{\rho^2 \sin \Delta^2}.$$

Weil aber im Moment der Beobachtung die von der optischen Axe des Passagen-Instruments beschriebene Verticalebene offenbar von der Mondkugel berührt wird; so ist, wie sogleich in die Augen fällt, der in Rede stehende Neigungswinkel dem aus dem Beobachtungsorte  $A$  im Moment der Beobachtung gesehenen scheinbaren Halbmesser  $\Delta$  des Monds gleich, woraus sich in Verbindung mit dem Vorhergehenden auf der Stelle die Gleichung

$$\rho^2 \sin \Delta^2 = (\xi \sin \Omega + \eta \cos \Omega)^2,$$

oder, wenn man auf beiden Seiten die Quadratwurzel auszieht, die Gleichung

$$\pm \rho \sin \Delta = \xi \sin \Omega + \eta \cos \Omega \dots (15)$$

ergibt, mit der Bedingung, daß man in dieser Gleichung, weil nämlich die GröÙe  $\rho \sin \Delta$  offenbar immer positiv ist, das obere oder untere Zeichen nimmt, je nachdem die GröÙe  $\xi \sin \Omega + \eta \cos \Omega$  positiv oder negativ ist.

Führen wir nun in die vorstehende Gleichung die oben gefundenen Werthe von  $\xi$  und  $\eta$  ein, so erhalten wir die folgende Gleichung:

$\rho = \psi(\tau)$ ,  $\Delta = \chi(\tau)$  gesetzt werden kann. Mittelst der bekannten Interpolationsmethoden kann man diese Functionen immer wenigstens mit einem großen Grade der Annäherung finden, und unter verschiedenen Formen, namentlich aber immer unter der Form

$$\alpha = F(\tau) = A + B\tau + C\tau^2 + D\tau^3 + \dots,$$

$$\delta = f(\tau) = A_1 + B_1\tau + C_1\tau^2 + D_1\tau^3 + \dots,$$

$$\rho = \psi(\tau) = A_2 + B_2\tau + C_2\tau^2 + D_2\tau^3 + \dots,$$

$$\Delta = \chi(\tau) = A_3 + B_3\tau + C_3\tau^2 + D_3\tau^3 + \dots,$$

wo die Coefficienten aller Glieder bekannte GröÙen sind, dar-

stellen. Diese Ausdrücke von  $\alpha$ ,  $\delta$ ,  $\rho$ ,  $\Delta$  müßte man nun in die Gleichung (16) oder (17) für diese Größen einführen, wodurch man eine bloß die eine unbekannte Größe  $\tau$  enthaltende Gleichung erhalten würde, aus welcher diese unbekannte Größe  $\tau$  zu bestimmen wäre. Hat man aber  $\tau$ , so hat man, wie sich sogleich aus §. 2. ergibt, auch die gesuchte Länge  $t$  des Orts  $A$  in Bezug auf den Ort  $E$  als Anfang der Längen, oder die Längendifferenz zwischen  $A$  und  $E$ .

Dafs die Aufgabe, in dieser Allgemeinheit gefasset, nach dem gegenwärtigen Zustande der Analysis unaufsöhrlich ist, fällt auf der Stelle in die Augen, und wir sind daher genöthigt, zu Näherungen unsere Zuflucht zu nehmen. Daher wollen wir jetzt annehmen, dafs  $t$  ein Näherungswerth der in Zeit ausgedrückten Länge des Orts  $A$  in Bezug auf den Ort  $E$  als Anfang der Längen, und folglich auch  $\tau = T - t$  oder  $\tau = 24 + T - t$ , jenachdem  $T - t$  positiv oder negativ ist, ein Näherungswerth der  $E$ Zeit der Beobachtung sey; so sind auch

$$\begin{aligned}\alpha &= A + B\tau + C\tau^2 + D\tau^3 + \dots, \\ \delta &= A_1 + B_1\tau + C_1\tau^2 + D_1\tau^3 + \dots, \\ \rho &= A_2 + B_2\tau + C_2\tau^2 + D_2\tau^3 + \dots, \\ \Delta &= A_3 + B_3\tau + C_3\tau^2 + D_3\tau^3 + \dots\end{aligned}$$

$$0 = r \sin \Omega \sin(\omega - \varphi) + (\rho + d\rho) \left\{ \begin{aligned} &+ \sin(\Delta + d\Delta) + \cos \omega \sin \Omega \sin(\delta + d\delta) \\ &- \cos(\delta + d\delta) [\cos \Omega \sin(\alpha - 15T + d\alpha) + \sin \omega \sin \Omega \cos(\alpha - 15T + d\alpha)] \end{aligned} \right\} \dots \dots \dots (18)$$

das obere oder untere Zeichen genommen, jenachdem die Gröfse

$$r \sin \Omega \sin(\omega - \varphi) + \rho \{ \cos \omega \sin \Omega \sin \delta - \cos \delta [\cos \Omega \sin(\alpha - 15T) + \sin \omega \sin \Omega \cos(\alpha - 15T)] \}$$

negativ oder positiv ist, wobei immer angenommen wird, dafs der absolute Werth von  $dt$  sehr klein ist, und also auch  $d\alpha$ ,  $d\delta$ ,  $d\rho$ ,  $d\Delta$  der Null sehr nahe kommende Gröfsen sind.

Es ist aber

$$\alpha + d\alpha = \alpha + \frac{d\alpha}{d\tau} d\tau,$$

$$\delta + d\delta = \delta + \frac{d\delta}{d\tau} d\tau,$$

$$\rho + d\rho = \rho + \frac{d\rho}{d\tau} d\tau,$$

$$\Delta + d\Delta = \Delta + \frac{d\Delta}{d\tau} d\tau;$$

oder, weil nach dem Obigen offenbar  $d\tau = -dt$  ist,

$$\alpha + d\alpha = \alpha - \frac{d\alpha}{d\tau} dt,$$

$$\delta + d\delta = \delta - \frac{d\delta}{d\tau} dt,$$

$$0 = r \sin \Omega \sin(\omega - \varphi) + (\rho - x dt) \left\{ \begin{aligned} &+ \sin(\Delta - \theta dt) + \cos \omega \sin \Omega \sin(\delta - \mu dt) \\ &- \cos(\delta - \mu dt) [\cos \Omega \sin(\alpha - 15T - \lambda dt) + \sin \omega \sin \Omega \cos(\alpha - 15T - \lambda dt)] \end{aligned} \right\} \dots \dots \dots (19)$$

das obere oder untere Zeichen genommen, jenachdem die Gröfse

$$r \sin \Omega \sin(\omega - \varphi) + \rho \{ \cos \omega \sin \Omega \sin \delta - \cos \delta [\cos \Omega \sin(\alpha - 15T) + \sin \omega \sin \Omega \cos(\alpha - 15T)] \}$$

negativ oder positiv ist. Entwickelt man die Gleichung (19) bis auf Gröfsen der ersten Ordnung genau, so wird dieselbe

Näherungswerthe der Rectascension, Declination des Mittelpunkts des Mondes, der Entfernung des Mittelpunkts des Mondes vom Mittelpunkte der Erde, und des dem Mittelpunkte der Erde entsprechenden oder aus demselben gesehenen scheinbaren Halbmessers des Mondes im Moment der Beobachtung.

Bezeichnen wir nun den Fehler in der Länge des Orts  $A$  in Bezug auf den Ort  $E$  als Anfang der Längen durch  $dt$ , und die entsprechenden Fehler der  $E$ Zeit der Beobachtung, der Rectascension, der Declination, Entfernung vom Mittelpunkte der Erde, und des scheinbaren Halbmessers des Mondes im Moment der Beobachtung durch  $d\tau$ ,  $d\alpha$ ,  $d\delta$ ,  $d\rho$ ,  $d\Delta$ ; so sind

$$t + dt, \tau + d\tau, \alpha + d\alpha, \delta + d\delta, \rho + d\rho, \Delta + d\Delta$$

die wahre Länge des Orts  $A$  in Bezug auf  $E$  als Anfang der Längen, die wahre  $E$ Zeit der Beobachtung, und die wahre Rectascension, Declination, Entfernung vom Mittelpunkte der Erde und der wahre scheinbare Halbmesser des Mondes im Moment der Beobachtung, und man hat also nach (16) die folgende Gleichung:

$$\rho + d\rho = \rho - \frac{d\rho}{d\tau} dt,$$

$$\Delta + d\Delta = \Delta - \frac{d\Delta}{d\tau} dt$$

oder, wenn wir der Kürze wegen

$$\lambda = \frac{d\alpha}{d\tau} = B + 2C\tau + 3D\tau^2 + 4E\tau^3 + \dots,$$

$$\mu = \frac{d\delta}{d\tau} = B_1 + 2C_1\tau + 3D_1\tau^2 + 4E_1\tau^3 + \dots,$$

$$x = \frac{d\rho}{d\tau} = B_2 + 2C_2\tau + 3D_2\tau^2 + 4E_2\tau^3 + \dots,$$

$$\theta = \frac{d\Delta}{d\tau} = B_3 + 2C_3\tau + 3D_3\tau^2 + 4E_3\tau^3 + \dots,$$

setzen,

$$\alpha + d\alpha = \alpha - \lambda dt,$$

$$\delta + d\delta = \delta - \mu dt,$$

$$\rho + d\rho = \rho - x dt,$$

$$\Delta + d\Delta = \Delta - \theta dt;$$

und folglich nach (18)

$$\begin{aligned}
 (20) \dots 0 &= r \sin \Omega \sin (w - \varphi) \\
 &+ \rho \{ \cos w \sin \Omega \sin \delta - [\cos \Omega \sin (\alpha - 15T) + \sin w \sin \Omega \cos (\alpha - 15T)] \cos \delta \pm \sin \Delta \} \\
 &- \pi \{ \cos w \sin \Omega \sin \delta - [\cos \Omega \sin (\alpha - 15T) + \sin w \sin \Omega \cos (\alpha - 15T)] \cos \delta \pm \sin \Delta \} dt \\
 &+ \lambda \rho \{ \cos \Omega \cos (\alpha - 15T) - \sin w \sin \Omega \sin (\alpha - 15T) \} \cos \delta dt \\
 &- \mu \rho \{ \cos w \sin \Omega \cos \delta + [\cos \Omega \sin (\alpha - 15T) + \sin w \sin \Omega \cos (\alpha - 15T)] \sin \delta \} dt \\
 &\pm \delta \rho \cos \delta dt
 \end{aligned}$$

die obere oder untere Zeichen genommen, je nachdem die GröÙe

$$r \sin \Omega \sin (w - \varphi) + \rho \{ \cos w \sin \Omega \sin \delta - \cos \delta [\cos \Omega \sin (\alpha - 15T) + \sin w \sin \Omega \cos (\alpha - 15T)] \}$$

negativ oder positiv ist. Setzt man

$$\begin{aligned}
 (21) \dots \dots \dots \begin{cases} \cos M = \cos \Omega \sin (\alpha - 15T) + \sin w \sin \Omega \cos (\alpha - 15T) \\ \cos N = \cos \Omega \cos (\alpha - 15T) - \sin w \sin \Omega \sin (\alpha - 15T) \end{cases}
 \end{aligned}$$

so wird unsere obige Gleichung

$$\begin{aligned}
 (22) \dots 0 &= r \sin \Omega \sin (w - \varphi) \\
 &+ \rho (\cos w \sin \Omega \sin \delta - \cos \delta \cos M \pm \sin \Delta) \\
 &- \pi (\cos w \sin \Omega \sin \delta - \cos \delta \cos M \pm \sin \Delta) dt \\
 &+ \lambda \rho \cos \delta \cos N dt \\
 &- \mu \rho (\cos w \sin \Omega \cos \delta + \sin \delta \cos M) dt \\
 &\pm \delta \rho \cos \delta dt,
 \end{aligned}$$

und in dieser Gleichung müssen die obere oder untere Zeichen genommen werden, je nachdem die GröÙe

$$r \sin \Omega \sin (w - \varphi) + \rho (\cos w \sin \Omega \sin \delta - \cos \delta \cos M)$$

negativ oder positiv ist. Setzt man

$$A = \sin (w - \varphi) \sin \Omega$$

$$B = \cos w \sin \Omega$$

$$(23) \dots \dots \dots Ar + (C - E \pm H) \rho = \{ \pi (C - E \pm H) - \lambda G \rho + \mu (D + F) \rho \pm \delta I \rho \} dt,$$

also

$$(24) \dots dt = \frac{Ar + (C - E \pm H) \rho}{\pi (C - E \pm H) - \lambda G \rho + \mu (D + F) \rho \pm \delta I \rho}$$

und in dieser Formel müssen die obere oder untere Zeichen genommen werden, je nachdem die GröÙe  $Ar + (C - E) \rho$  negativ oder positiv ist.

Setzt man, wenn  $a$  den Halbmesser des Aequators der Erde bezeichnet,

$$(25) \dots \dots \dots \sin \pi = \frac{a}{\rho},$$

so ist  $\rho = a \sin \pi^{-1}$ , und folglich, wenn man nach  $\tau$  differenziiert,

$$\frac{d\rho}{d\tau} = -a \sin \pi^{-1} \cos \pi \frac{d\pi}{d\tau},$$

$$C = B \sin \delta$$

$$D = B \cos \delta$$

$$\tan V = \sin w \tan \Omega$$

$$\cos M = \frac{\cos \Omega \sin (\alpha - 15T + V)}{\cos V}$$

$$\cos N = \frac{\cos \Omega \cos (\alpha - 15T + V)}{\cos V}$$

$$E = \cos \delta \cos M$$

$$F = \sin \delta \cos M$$

$$G = \cos \delta \cos N$$

$$H = \sin \Delta$$

$$I = \cos \Delta;$$

so wird die Gleichung (22)

also, wenn der Kürze wegen

$$s = \frac{d\pi}{d\tau} \dots \dots \dots (26)$$

gesetzt wird,

$$\pi = -\frac{as \cos \pi}{\sin \pi^{-1}} = -as \cos \pi \cos \pi = -s \cos \pi \dots (27)$$

so daÙ also  $\rho$  und  $\pi$  aus  $\tau$  und  $s$  immer leicht gefunden werden können. Auch ist

$$\frac{\pi}{\rho} = -s \cot \pi,$$

und nach dem Vorhergehenden

$$\frac{r}{\rho} = \frac{r}{a} \cdot \frac{a}{\rho} = \frac{r}{a} \sin \pi.$$

(Der Beschluss folgt.)

Scheinbare Positionen des Enckeschen Cometen bei seiner Wiederkehr im Jahre 1838 beobachtet auf der Hamburger Sternwarte. Von Herrn CA. Rümker. p. 369.

Schreiben des Herrn Registrators Paschen an den Herausgeber. p. 373.

Auszug aus einem Schreiben des Herrn C. v. Littrow, Directors der Wiener Sternwarte. p. 373.

Auszug aus einem Schreiben des Herrn Professors Santini, Ritters v. D., Directors der Sternwarte in Padua. p. 375.

Ueber die Bestimmung der Längen durch Azimuthe des Mondes, insbesondere auch durch Mondculminationen. Von Herrn Prof. Dr. Grunert zu Greifswald. p. 375.

Ueber die Bestimmung der Längen durch Azimuthe des Monds, insbesondere auch durch Mondsculminationen.

Von Herrn Professor Dr. *Gramert* in Greifswald.

(Beschluß.)

Wird nun der Ausdruck (24) von  $dt$  im Zähler und im Nenner durch  $\rho$  dividirt, so wird derselbe

$$(28) \dots dt = - \frac{C - E \pm H + \frac{r}{a} A \sin \pi}{\lambda G - \mu (D + F) \mp \theta I + s (C - E \pm H) \cos \pi},$$

die obere oder untere Zeichen genommen, jenachdem die Gröſſe  $C - E \pm \frac{r}{a} A \sin \pi$  negativ oder positiv ist.

$$\sin \Delta \mp \sin (\alpha - 15T) \cos \delta = \mp \{ \lambda \cos (\alpha - 15T) \cos \delta - \mu \sin (\alpha - 15T) \sin \delta \mp \theta \cos \delta \}$$

und folglich

$$(30) \dots dt = \mp \frac{\sin \Delta \mp \sin (\alpha - 15T) \cos \delta}{\lambda \cos (\alpha - 15T) \cos \delta - \mu \sin (\alpha - 15T) \sin \delta \mp \theta \cos \delta},$$

die obere oder untere Zeichen genommen, jenachdem  $\sin (\alpha - 15T)$  positiv oder negativ ist.

$$dt = \mp \frac{\sin \Delta \mp \sin \{ \alpha - \alpha' - 15(T - T') \} \cos \delta}{\lambda \cos \{ \alpha - \alpha' - 15(T - T') \} \cos \delta - \mu \sin \{ \alpha - \alpha' - 15(T - T') \} \sin \delta \mp \theta \cos \delta} \dots \dots \dots (31)$$

bringen, welche Formel nun blofs den Zeitunterschied  $T - T'$  enthält. In dieser Formel sind die obere oder untere Zeichen zu nehmen, jenachdem  $\sin \{ \alpha - \alpha' - 15(T - T') \}$  positiv oder negativ ist.

Dafs man im Vorhergehenden überhaupt das Azimuthe  $\Omega$  berechnen kann, wenn man die Zeit des Durchganges eines Fixsterns von bekannter Rectascension und Declination durch die Vertikalebene, welche die optische Axe des Paasagen-Instruments beschreibt, beobachtet hat, bedarf hier wohl kaum noch einer besondern Bemerkung.

### §. 4.

Wir nehmen jetzt immer an, dafs das Instrument im Meridian des Beobachtungsorts  $A$  aufgestellt sey, und lassen allen bisher gebrauchten Symbolen ihre ihnen im Vorhergehenden beigelegte Bedeutung.

Der dem Mittelpunkt der Erde entsprechende oder aus demselben gesehene scheinbare Halbmesser des Monds im Moment der Beobachtung ist  $\Delta - \delta dt$ , und  $\delta - \mu dt$  ist die Declination des Monds im Moment der Beobachtung. Ist nun  $\Delta'$  der auf den Aequator reducirte scheinbare Halbmesser  $\Delta - \delta dt$ ,

Für  $\Omega = 0$  haben wir nach dem Obigen die Gleichung

$$\sin (\Delta - \delta dt) = \pm \sin (\alpha - 15T - \lambda dt) \cos (\delta - \mu dt) \dots (29)$$

das obere oder untere Zeichen genommen, jenachdem  $\sin (\alpha - 15T)$  positiv oder negativ ist. Entwickelt man diese Gleichung nach den positiven ganzen Potenzen von  $dt$  und bleibt bei den,  $dt$  blofs in der ersten Potenz enthaltenden Gliedern stehen, so erhält man

Ist  $T'$  die *AZeit*, wo ein Fixstern, dessen Rectascension  $\alpha'$  ist und als bekannt angenommen wird, durch den Meridian von  $A$  geht, so ist  $\alpha' = 15T'$ , und man kann also den obigen Ausdruck von  $dt$  auch auf die Form

so ist nach den bekannten Formeln der sphärischen Trigonometrie

$$\tan g \Delta' = \frac{\tan g (\Delta - \delta dt)}{\cos (\delta - \mu dt)} \dots \dots \dots (32)$$

oder näherungsweise

$$\Delta' = \frac{\Delta - \delta dt}{\cos (\delta - \mu dt)} \dots \dots \dots (33)$$

Die *AZeit* des Durchganges des Mittelpunkts des Monds durch den Meridian von  $A$  sey  $T + dT$ , wo  $dT$  positiv oder negativ ist, jenachdem der westliche oder erste, oder der östliche oder zweite Mondrand beobachtet worden ist. Bezieht man nun immer die obere Zeichen auf Beobachtungen des westlichen oder ersten, die unteren Zeichen auf Beobachtungen des östlichen oder zweiten Mondrands, so gehen in der Zeit  $\pm dT$  offenbar  $\Delta' \pm \lambda dT$  Grade des Aequators durch den Meridian, wenn alle Bogen in Graden ausgedrückt angenommen werden, und wir haben also die Proportion

$$\Delta' \pm \lambda dT : 360 = \pm dT : 24,$$

woraus sich  $\pm 15 dT = \Delta' \pm \lambda dT$ , und folglich

$$dT = \frac{\Delta'}{15 - \lambda} \dots \dots \dots (34)$$

ergiebt. Also ist

$$T \pm \frac{\Delta'}{15-\lambda}$$

die  $\mathcal{A}$ Zeit des Durchgangs des Mittelpunkts des Monds durch den Meridian von  $\mathcal{A}$ .

Für einen andern Ort  $\mathcal{A}$ , habe man auf ganz ähnliche Weise

$$(35) \dots \dots \dots \tan \Delta' = \frac{\tan(\Delta - \theta, dt)}{\cos(\delta, -\mu, dt)}$$

oder näherungsweise

$$(36) \dots \dots \dots \Delta' = \frac{\Delta - \theta, dt}{\cos(\delta, -\mu, dt)},$$

und

$$T_i \pm \frac{\Delta'}{15-\lambda_i}$$

sey die  $\mathcal{A}$ Zeit des Durchgangs des Mittelpunkts des Monds durch den Meridian von  $\mathcal{A}_i$ .

Sey nun  $\mathcal{A}$ , der Ort, welcher die größte Länge hat, so ist  $t_i + dt_i - (t + dt) = t_i - t + dt_i - dt$  die Länge des Orts  $\mathcal{A}_i$  in Bezug auf den Ort  $\mathcal{A}$  als Anfang der Längen. Folglich ist

$$T_i - (t_i - t) - (dt_i - dt) \pm \frac{\Delta'}{15-\lambda_i},$$

oder

$$24 + T_i - (t_i - t) - (dt_i - dt) \pm \frac{\Delta'}{15-\lambda_i},$$

jenachdem die Größe

$$T_i - (t_i - t) - (dt_i - dt) \pm \frac{\Delta'}{15-\lambda_i}$$

positiv oder negativ ist, die  $\mathcal{A}$ Zeit des Durchgangs des Mittelpunkts des Monds durch den Meridian von  $\mathcal{A}_i$ . Weil nun der Mond früher durch den Meridian von  $\mathcal{A}$ , als durch den Meridian von  $\mathcal{A}_i$  geht, so ist

$$T - T_i + (t_i - t) + (dt_i - dt) \pm \frac{\Delta'}{15-\lambda} \mp \frac{\Delta'}{15-\lambda_i},$$

oder

$$T - T_i - 24 + (t_i - t) + (dt_i - dt) \pm \frac{\Delta'}{15-\lambda} \mp \frac{\Delta'}{15-\lambda_i},$$

jenachdem die Größe

$$T_i - (t_i - t) - (dt_i - dt) \pm \frac{\Delta'}{15-\lambda_i}$$

positiv oder negativ ist, die Zwischenzeit zwischen den Durchgängen des Mittelpunkts des Monds durch die Meridiane von  $\mathcal{A}$  und  $\mathcal{A}_i$ .

Setzen wir die Längendifferenz

$$t_i + dt_i - (t + dt) = (t_i - t) + (dt_i - dt) = x,$$

so ist

$$T - T_i + x \pm \frac{\Delta'}{15-\lambda} \mp \frac{\Delta'}{15-\lambda_i},$$

oder

$$T - T_i - 24 + x \pm \frac{\Delta'}{15-\lambda} \mp \frac{\Delta'}{15-\lambda_i},$$

jenachdem die Größe

$$T_i - (t_i - t) - (dt_i - dt) \pm \frac{\Delta'}{15-\lambda_i}$$

positiv oder negativ ist, die Zwischenzeit zwischen den Durchgängen des Mittelpunkts des Monds durch die Meridiane von  $\mathcal{A}$  und von  $\mathcal{A}_i$ .

Man theile nun die Zwischenzeit

$$T - T_i + (t_i - t) + (dt_i - dt) \pm \frac{\Delta'}{15-\lambda} \mp \frac{\Delta'}{15-\lambda_i},$$

oder

$$T - T_i - 24 + (t_i - t) + (dt_i - dt) \pm \frac{\Delta'}{15-\lambda} \mp \frac{\Delta'}{15-\lambda_i},$$

jenachdem die Größe

$$T_i - (t_i - t) - (dt_i - dt) \pm \frac{\Delta'}{15-\lambda_i}$$

positiv oder negativ ist, in eine gewisse Anzahl gleicher Intervalle, z. B. in  $n$  gleiche Intervalle, und bezeichne sowohl für den Anfang, als auch für das Ende eines jeden dieser Intervalle die stündliche Aenderung der Rectascension des Monds. Die Summe der den Anfängen der Intervalle entsprechenden stündlichen Aenderungen der Rectascension sey  $\Sigma$ , und  $\Sigma'$  sey die Summe der den Enden der Intervalle entsprechenden stündlichen Aenderungen der Rectascension. Setzt man nun

$$L = \frac{1}{2} \left( \frac{\Sigma}{n} + \frac{\Sigma'}{n} \right) = \frac{\Sigma + \Sigma'}{2n} \dots \dots \dots (37)$$

so ist offenbar

$$15x + L \left( T - T_i + x \pm \frac{\Delta'}{15-\lambda} \mp \frac{\Delta'}{15-\lambda_i} \right)$$

oder

$$15x + L \left( T - T_i - 24 + x \pm \frac{\Delta'}{15-\lambda} \mp \frac{\Delta'}{15-\lambda_i} \right),$$

jenachdem die Größe

$$T_i - (t_i - t) - (dt_i - dt) \pm \frac{\Delta'}{15-\lambda_i}$$

positiv oder negativ ist, der Bogen des Aequators, welcher in der Zwischenzeit zwischen den Durchgängen des Mittelpunkts des Monds durch die Meridiane von  $\mathcal{A}$  und  $\mathcal{A}_i$ , durch den Meridian von  $\mathcal{A}$  geht. Also ist

$$15x + L \left( T - T_i + x \pm \frac{\Delta'}{15-\lambda} \mp \frac{\Delta'}{15-\lambda_i} \right) : 15$$

$$= T - T_i + x \pm \frac{\Delta'}{15-\lambda} \mp \frac{\Delta'}{15-\lambda_i} : 1$$

oder

$$15x + L \left( T - T_i - 24 + x \pm \frac{\Delta'}{15-\lambda} \mp \frac{\Delta'}{15-\lambda_i} \right) : 15$$

$$= T - T_i - 24 + x \pm \frac{\Delta'}{15-\lambda} \mp \frac{\Delta'}{15-\lambda_i} : 1;$$

d. i.

$$L \left( T - T_i \pm \frac{\Delta'}{15-\lambda} \mp \frac{\Delta'}{15-\lambda_i} \right) + Lx$$

$$= 15 \left( T - T_i \pm \frac{\Delta'}{15-\lambda} \mp \frac{\Delta'}{15-\lambda_i} \right)$$

oder

$$L \left( T - T_r - 24 \pm \frac{\Delta'}{15 - \lambda} \mp \frac{\Delta'_r}{15 - \lambda_r} \right) + Lx \\ = 15 \left( T - T_r - 24 \pm \frac{\Delta'}{15 - \lambda} \mp \frac{\Delta'_r}{15 - \lambda_r} \right);$$

d. i.

$$(38) \dots x = \left( \frac{15}{L} - 1 \right) \left( T - T_r \pm \frac{\Delta'}{15 - \lambda} \mp \frac{\Delta'_r}{15 - \lambda_r} \right)$$

oder

$$(39) \dots x = \left( \frac{15}{L} - 1 \right) \left( T - T_r - 24 \pm \frac{\Delta'}{15 - \lambda} \mp \frac{\Delta'_r}{15 - \lambda_r} \right),$$

jenachdem die GröÙe

$$T_r - (t_r - t) - (dt_r - dt) \pm \frac{\Delta'_r}{15 - \lambda_r}$$

positiv oder negativ ist.

Es sey nun  $T'$  die Zeit des Durchgangs eines Fixsterns durch den Meridian von  $A$ , und  $Z$  sey der Zeitunterschied zwischen dem Durchgange dieses Sterns und des beobachteten Mondrandes durch den Meridian von  $A$ . Eben so sey  $T'$  die Zeit des Durchgangs dieses Fixsterns durch den Meridian von  $A$ , und  $Z_r$  sey der Zeitunterschied zwischen dem Durchgange dieses Sterns und des beobachteten Mondrandes durch den Meridian von  $A_r$ .

Ist nun  $T' > T$ ,  $T' > T_r$ ; so ist  $T' - T = Z$ ,  $T' - T_r = Z_r$ , und folglich  $T - T_r = -(Z - Z_r)$ . Ist aber  $T' < T$ ,  $T' < T_r$ ; so ist  $T - T' = Z$ ,  $T_r - T' = Z_r$ , und folglich  $T - T_r = Z - Z_r$ . Also ist  $T - T_r = \pm (Z - Z_r)$ , oder  $T - T_r = \pm Z - (\pm Z_r)$ , die obere oder untere Zeichen genommen, je nachdem der Stern früher oder später durch den Meridian geht als der Mond. Nehmen wir daher die Zeitunterschiede  $Z$  und  $Z_r$  als positiv oder negativ an, je nachdem der Stern früher oder später als der Mond durch den Meridian geht; so ist immer  $T - T_r = Z - Z_r$ , und folglich nach dem Obigen

$$x = \left( \frac{15}{L} - 1 \right) \left( Z - Z_r \pm \frac{\Delta'}{15 - \lambda} \mp \frac{\Delta'_r}{15 - \lambda_r} \right) \dots (40)$$

oder

$$x = \left( \frac{15}{L} - 1 \right) \left( Z - Z_r - 24 \pm \frac{\Delta'}{15 - \lambda} \mp \frac{\Delta'_r}{15 - \lambda_r} \right) \dots (41)$$

jenachdem die GröÙe

$$T_r - (t_r - t) - (dt_r - dt) \pm \frac{\Delta'_r}{15 - \lambda_r}$$

positiv oder negativ ist.

Wir können nicht unterlassen hier ausdrücklich darauf hinzuweisen, daß der ganzen vorhergehenden Entwicklung die Voraussetzung zum Grunde liegt, daß die GröÙen  $dt$  und  $dt_r$ , durch die in §. 3. gelehrt Methode berechnet worden sind, so daß also, wo im Vorhergehenden diese GröÙen als bekannt vorausgesetzt werden, immer die durch die in Rede stehende Methode gefundenen Werthe derselben in die Rechnung einzuführen sind. Ist es nicht verstatet, die Voraussetzung, daß die GröÙen  $dt$  und  $dt_r$ , durch die in §. 3. gelehrt Methode schon gefunden sind, als erfüllt zu betrachten; so muß man im Vorhergehenden diese GröÙen da, wo dieselben als bekannt nothwendig vorausgesetzt werden, als verschwindend annehmen, welches zu der gewöhnlichen Methode der Berechnung der Längendifferenzen aus Moonculmationen führen würde. Jedenfalls scheint aber die im Obigen gelehrt Methode, nach welcher man zuerst  $dt$  und  $dt_r$  mittelst der in §. 3. entwickelten Formeln berechnet, und dann mit Hilfe dieser gefundenen Werthe von  $dt$  und  $dt_r$  zu der Berechnung der Längendifferenz nach den vorher entwickelten Formeln übergeht, die richtigere zu seyn und zur größern Genauigkeit der gesuchten Resultate wesentlich beizutragen.

Grunert.

## Sternbedeckungen beobachtet auf der Sternwarte in Leiden.

Von Herrn F. Kaiser.

Professor der Astronomie und Director der Sternwarte daselbst.

Ich hatte gewünscht, die diesmaligen Plejaden-Bedeckungen so vollkommen als möglich zu beobachten, und berechne dazu jede Bedeckung im voraus, immer meine Berechnungen über alle Sterne der Plejaden ausbreitend, welche von *Bezel*, *Lalande* und *Jaurat* beobachtet sind. Niemals genoß ich aber die Freude meine Mühe belohnt zu sehen, denn bei keiner der diesmaligen Plejaden-Bedeckungen war die Luft ganz günstig, ausgenommen am 13<sup>ten</sup> Octbr. 1840, als eine heftige Krankheit mich allen Geschäften entzog. Meine Beobachtungen der Plejaden-Bedeckungen bis zum Ende des Jahres 1839 sind schon in Nr. 391 der Astr. Nachr. angeführt, die spä-

teren sind größtentheils mißlungen. Am 7<sup>ten</sup> Decbr. 1840 und am 31<sup>sten</sup> Januar 1841 blieb die Luft gänzlich bezogen, und bei den übrigen Plejaden-Bedeckungen war der Mond nur bisweilen, und dann meistens nur durch Wolken, zu erblicken.

Plejaden-Bedeckung am 14<sup>ten</sup> Januar 1840.

An diesem Tage war die Luft günstig gewesen, aber kurz vor der Bedeckung, nachdem eine gute Zeit-Bestimmung erlangt war, breitete sich plötzlich ein Nebel über den Himmel aus, der sich bald wieder auflöste, aber auch bald aufs neue erschien und die meisten Beobachtungen vereitelte. Mir sind nur folgende Beobachtungen gelungen:

|  |   |                           |
|--|---|---------------------------|
| Eintritt * 9 <sup>r</sup> Gr. B. Z. 395. unt. 3 39' 55" 04 | um 3 43' 59" 77 Stz. = 8 10' 35" 28 m. Z. | auf 0°5 ungewiß.          |
| Eintritt * 8.9 <sup>r</sup> Gr. H. C. p. 195. unt. 3 31 26 | — 3 54 11,37 — 8 20 45,16 —               | auf 0°2 ungewiß.          |
| Eintritt * 9 <sup>r</sup> Gr. B. Z. 395. unt. 3 34 38,00   | — 4 8 58,15 — 8 35 29,52 —                | auf 0°2 ungewiß.          |
| Eintritt e Plejad. (Taygeta)                               | — 4 31 33,04 — 8 58 0,71 —                | auf 0°2 ung. Durch Nebel. |
| Austritt e Plejad. (Taygeta)                               | — 5 32 18,28 — 9 58 36,00 —               | auf 1° ung. Durch Wolken. |

### Plejaden-Bedeckung am 27<sup>ten</sup> Febr. 1841.

Obschon die Luft kurz vor den Bedeckungen zu einer guten Zeit-Bestimmung Gelegenheit gab, ward sie bald darge-

stellt bezogen, daß es unmöglich war, mehr als die drei folgenden Beobachtungen zu erhalten.

|  |  |                            |
|--|--|----------------------------|
| Eintritt * 8.9 <sup>r</sup> Gr. H. C. p. 195. unt. 3 31' 26" | um 9 15' 35" 24 Stz. = 10 45' 17" 27 m. Z. | auf 0°2 uns. Unter Wolken. |
| Eintritt * 9 <sup>r</sup> Gr. B. Z. 395. unt. 3 34 38,00     | — 9 28 47,92 — 10 58 27,79 —               | auf 0°5 uns. Unter Wolken. |
| Eintritt e Plejad. (Taygeta)                                 | — 9 45 22,89 — 11 15 0,04 —                | auf 0°2 uns. Unter Wolken. |

Seit dem Anfang dieses Jahres hatte ich beabsichtigt, an den ersten Abenden nach jedem Vollmond die sich ereignenden Bedeckungen kleinerer Sterne zu beobachten. Die Witterung hat mir aber auch in dieser Beziehung keine reiche Ernte gegönnt. Ich habe nur folgende Beobachtungen solcher Sterne-

bedeckungen mitzuthellen, bei welchen ich, zur leichteren Auffindung, die genährten Declinationen der Sterne, wie diese sich aus der Einstellung in der Mitte des Feldes und der verbesserten Ablesung des Declinationskreises unsers Refractors ergeben, hinzufüge.

|   |   |                  |
|---|---|------------------|
| 1841 März 29. Eintr. * 9 <sup>r</sup> Gr. Decl. = + 26° 17' 2 | um 8 39' 32" 82 Stz. = 8 11' 23" 53 m. Z. | Sicher auf 0°1.  |
| — * 10 <sup>r</sup> Gr. — = + 26 23,6 —                       | 9 15 14,55 — 8 46 59,41 —                 | Sicher auf 0°2.  |
| — * 11 <sup>r</sup> Gr. — = + 26 12,9 —                       | 9 50 24,72 — 9 22 3,82 —                  | Sicher auf 0°1.  |
| — 30. — * 9 <sup>r</sup> Gr. — = + 23 40,5 —                  | 8 57 41,25 — 8 25 33,08 —                 | Sicher auf 0°1.  |
| — — * 12 <sup>r</sup> Gr. — = + 23 51,3 —                     | 8 58 46,74 — 8 26 38,39 —                 | Auf 0°5 ungewiß. |
| April 27. — * 8.9 <sup>r</sup> Gr. — = + 20 50,0 —            | 10 43 3,91 — 8 20 33,04 —                 | Sicher auf 0°1.  |
| — 28. — * 9 <sup>r</sup> Gr. — = + 15 39,8 —                  | 10 59 3,67 — 8 32 34,28 —                 | Sicher auf 0°1.  |
| — — * 8 <sup>r</sup> Gr. — = + 15 35,4 —                      | 11 5 45,81 — 8 39 15,32 —                 | Sicher auf 0°1.  |
| — — Austr. derselbe.  | 11 29 19,78 — 9 2 45,43 —                 | Auf 1° ungewiß.  |

Während der Mondfinsternis am 5—6<sup>ten</sup> Febr. 1841 war der Himmel ganz bezogen. Als der Mond total verfinstert war, heiterte es sich für einen Augenblick auf, und der Mond zeigte sich sehr schön, ringsum von vielen kleineren Sternen umgeben. Bevor die Bedeckung einer dieser Sterne beobachtet werden konnte, war die Luft aufs neue ganz bezogen.

Am Tage der Sonnen-Finsternis den 18<sup>ten</sup> Juli 1841 dauerte ein außerordentlich heftiger Regen vom Morgen bis zum Abend, so daß auch bei dieser Finsternis an keine Beobachtung zu denken war.

Leiden 1841. Juli 30.

F. Kaiser.

### Sternbedeckungen vom Monde, beobachtet auf der Altonaer Sternwarte.

|              | Namen der Sterne.        | Ein- oder Austritt. | Sternzeit.   | Mittl. Zeit. |                |
|--------------|--------------------------|---------------------|--------------|--------------|----------------|
| 1841 März 3. | 82 B Geminorum           | E. D.               | 5 54' 45" 15 | 7 9' 20" 03  | scharf.        |
| Mai 24.      | Anonyma 8.9 <sup>m</sup> | E. D.               | 13 34 5,06   | 9 25 0,18    | scharf.        |
| — 28.        | (126) Virginis           | E. D.               | 15 13 50,30  | 14 48 45,44  | scharf.        |
| Juli 30.     | 34 σ Sagittarii          | E. D.               | 18 29 13,87  | 9 55 54,52   | scharf.        |
|              |                          |                     | 18 29 13,78  | 9 55 54,43   | scharf.        |
|              |                          | A. H.               | 19 51 47,3   | 11 18 14,4   | zu spät.       |
| Aug. 10.     | c Plejadum.              | E. H.               | 21 5 17,11   | 11 48 17,18  | gut, Petersen. |
|              |                          |                     | 14,10        | 14,18        | unsicher, J.   |
|              | g                        | A. D.               | 21 19 45,47  | 12 2 43,16   | gut, P.        |
|              |                          |                     | 45,96        | 43,66        | gut, P.        |
|              | b                        | A. D.               | 21 22 54,98  | 12 5 52,16   | gut, P.        |
|              |                          |                     | 55,48        | 52,66        | gut, J.        |



|               | Namen der Sterne.      | Ein- oder Austritt. | Sternzeit.                | Mittl. Zeit.              |                  |   |
|---------------|------------------------|---------------------|---------------------------|---------------------------|------------------|---|
|               |                        |                     |                           |                           |                  |   |
| 1841 Aug. 10. | $\eta$ Plejadum        | E. H.               | 21 <sup>h</sup> 33' 9" 14 | 12 <sup>h</sup> 16' 4" 64 | gut, P.          | Der Stern verschwand an dem hellen Mondrande. |
| —             | 4 Anonyma              | A. D.               | 21 40 16,30               | 12 23 10,63               | gut, P.          |   |
| —             | 10 —                   | A. D.               | 22 2 27,4                 | 12 45 18,1                | gut, J.          | zu spät, etwa 2 Sekunden, P.                  |
| —             | 15 —                   | A. D.               | 22 13 23,17               | 12 56 12,08               | gut, P.          |   |
| —             | 24 p Plejadum          | A. D.               | 22 13 32,19               | 12 56 21,08               | gut, P.          | unsicher, P.                                  |
| —             | $\eta$ —               | A. D.               | 22 14 37,37               | 12 57 26,08               | gut, J.          |   |
| —             | (151) —                | A. D.               | 22 27 36,68               | 13 10 23,26               | gut, P.          | gut, J.                                       |
| —             | h —                    | A. D.               | 22 39 28,21               | 13 22 12,85               | sehr gut, P.     |   |
| Aug. 13.      | 42 a' Geminorum        | E. H.               | 23 34 20,1                | 14 5 8,0                  | gut, P.          | Der Stern verschwand an dem hellen Mondrande. |
| —             | —                      | A. D.               | 0 10 25,40                | 14 41 7,40                | sehr scharf, P.  |   |
| Aug. 29.      | 23 $\theta$ Capricorni | E. D.               | 18 34 38,23               | 8 3 20,70                 | gut. Schumacher. | gut, J.                                       |
| —             | —                      | —                   | 38,38                     | 20,85                     | gut, J.          |   |
| —             | —                      | —                   | 38,03                     | 20,50                     | gut, P.          |   |

Die mit J. bezeichneten Beobachtungen sind von Herrn G. U. F. Jürgensen aus Copenhagen, einem jungen talentvollen Manne, der sich der höheren Uhrmacherkunst gewidmet und auf der Altonaer Sternwarte in astronomischen Beobachtungen geübt hat.

### Schreiben des Herrn Rümker, Directors der Hamburger Sternwarte, an den Herausgeber.

Ich nehme mir die Freiheit Ihnen hiemit meine zuletzt beobachteten Sternbedeckungen mitzutheilen. Sämmtliche Beobachtungen sind nach Mittl. Hamb. Zeit.

| Datum.                               | Phase.               | Rümker.                   | Funk.                      | Bessels                    |       | Rümker. | Feyer.                    | Funk.                    |
|--------------------------------------|----------------------|---------------------------|----------------------------|----------------------------|-------|---------|---------------------------|--------------------------|
|                                      |                      |                           |                            | Bezeichnung.               | 7     |         |                           |                          |
| 1841 März 2.                         | 37 Gemin.            | E                         | 11 <sup>h</sup> 54' 43" 47 | 11 <sup>h</sup> 54' 42" 90 | 4     | A       | 12 <sup>h</sup> 22' 4" 53 | 12 22 17,04              |
| 3.                                   | 82 —                 | E                         | 7 9 29,82                  | 7 9 30,10                  | c     | A       | 12 23 18,83               |                          |
| 28.                                  | 145 Tauri.           | E                         | 12 10 53,82                |                            | 8     | A       | 12 27 4,59                | 12 <sup>h</sup> 27' 5" 4 |
| April 24.                            | Anonyma.             | E                         | 8 58 8,68                  | 8 58 8,90                  | 9     | A       | 12 38 47,75               | 12 38 48,0               |
| 27.                                  | Anonyma.             | E                         | 9 12 48,31                 | 9 12 48,14                 | 10    | A       | 12 39 19,90               | 12 39 19,0               |
| 27.                                  | Anonyma.             | E                         | 9 54 0,71                  | 9 53 59,74                 | 12    | A       | 12 39 26,64               |                          |
| 28.                                  | $\pi^2$ Cancri.      | {                         | 8 54 4,5                   |                            | p     | A       | 12 45 23,66               | 12 45 23,0               |
| —                                    | —                    | {                         | 9 35 5,0                   |                            | —     | A       | 12 46 45,43               | 12 46 43,5               |
| Mai 9.                               | $\sigma$ Sagittarii. | E                         | 14 26 31,07                | 14 26 30,3                 | —     | A       | 12 56 27,4                | 12 56 28,5               |
| —                                    | —                    | A                         | 15 26 39,09                |                            | —     | A       | 12 56 50,77               |                          |
| 24.                                  | Anonyma.             | E                         | 9 25 7,7                   |                            | 18    | A       | 12 57 34,65               | 12 57 34,48              |
| Juli 30.                             | $\sigma$ Sagittarii. | {                         | 9 56 4,44                  | 9 56 4,57                  | 24    | A       | 12 58 12,55               |                          |
| —                                    | —                    | {                         | 11 18 19,45                | 11 18 17,15                | —     | A       | 13 10 31,51               | 13 10 32,1               |
| Plejaden-Bedeckung August 10 (1841). |                      |                           |                            |                            |       |         |                           |                          |
| Bezeichnung.                         | Rümker.              |                           | Feyer.                     |                            | Funk. |         |                           |                          |
| c                                    | E                    | 11 <sup>h</sup> 57' 23" 1 | 11 57 24,8                 | 11 57 24,08                | 27    | A       | 13 22 17,26               | 13 22 17,43              |
| d                                    | A                    | 12 2 50,71                | 12 2 51,8                  | 12 2 51,07                 | 29    | A       | 13 28 48,98               | 13 28 47,72              |
| g                                    | A                    | 12 6 0,68                 | 12 6 0,9                   | 12 6 1,06                  | 33    | A       | 13 36 16,25               | 13 36 15,9               |
| h                                    | A                    | 12 14 11,82               |                            |                            | 33    | A       | 13 48 24,26               | 13 48 23,9               |
| i                                    | A                    | 12 15 42,57               |                            |                            | 31    | A       | 13 56 47,89               | 13 56 47,4               |
| d                                    | E                    | 12 16 12,99               | 12 16 13,1                 | 12 16 13,55                | 32    | A       | 13 57 59,69               | 13 57 59,5               |
| —                                    | A                    |                           | 12 16 52,0                 |                            | 37    | A       | 14 8 43,67                | 14 8 44,6                |
| Aug. 13.                             | $\alpha'$ Gemin.     | {                         | 14 <sup>h</sup> 5' 17" 66  | 14 <sup>h</sup> 5' 15" 7   | 39    | A       | 14 29 46,21               | 14 29 46,2               |
| —                                    | Anonym.              | {                         | 14 41 14,76                | 14 41 15,3                 | —     | A       | 14 5' 16" 72              | 14 5' 16" 72             |
| Aug. 29.                             | $\theta$ Capr.       | {                         | 14 37 50,32                |                            | —     | A       | 14 41 13,42               | 14 41 13,42              |
| —                                    | —                    | {                         | 8 3 32,15                  |                            | —     | A       | 14 37 40,9                | 14 37 40,9               |
| —                                    | —                    | {                         | 9 21 13,9                  |                            | —     | A       | 31,6                      | 31,6                     |
| —                                    | —                    | {                         |                            |                            | —     | A       | 14,0                      | 14,0                     |

## Verzeichniß der Plejaden.

Von Herrn Ch. Rünker, Director der Hamb. Sternwarte

Ich erlaube mir nun noch das folgende von mir, aus den mit dem *Repsoldens* Meridiankreise gemachten Beobachtungen abgeleitete Verzeichniß beizufügen, in so fern es umfassender ist, als das Feld des Helimeters, und es interessant seyn möchte, unter sich unabhängige Bestimmungen mit den in an-

derer Hinsicht wichtigeren relativen zu vergleichen. In AR. bemerkt man bald eine constante Differenz von etwa  $14''$  in Bogen von den Bestimmungen des Herrn Geheimraths *Bessel*. Die Constanten der Aberration und Declination sind wie die correspondirenden im Nautical Almanac geordnet.

|    | Mittl. AR. in Zeit<br>1836 Jan. 1. | Zahl d.<br>Beobh. | Jährl.<br>Präcess. | Mittl. Decl.<br>1836 Jan. 1. | Zahl d.<br>Beobh. | Jährl.<br>Präcess. | Constanten für Rectascension und Declination. |        |        |        |        |        |        |         |
|----|------------------------------------|-------------------|--------------------|------------------------------|-------------------|--------------------|---|--------|--------|--------|--------|--------|--------|---------|
|    |                                    |                   |                    |                              |                   |                    | a   | b      | c      | d      | a'     | b'     | c'     | d'      |
|    | 3°30'59".367                       | 4                 | 3,560              | 24°47'33".90                 | 4                 | 12,13              | 8,6479  | 8,7668 | 0,5514 | 8,2704 | 8,7799 | 9,3405 | 1,0839 | -9,9009 |
|    | 3 31 42,513                        | 2                 | 3,519              | 22 57 15,29                  | 2                 | 12,08              | 8,6399  | 8,7617 | 0,5464 | 8,2310 | 8,9467 | 9,3712 | 1,0821 | -9,9020 |
|    | 3 31 48,505                        | 1                 | 3,527              | 23 16 6,6                    | 1                 | 12,07              | 8,6406  | 8,7628 | 0,5474 | 8,2372 | 8,9217 | 9,3765 | 1,0818 | -9,9021 |
|    | 3 32 26,399                        | 1                 | 3,507              | 22 19 38,49                  | 1                 | 12,03              | 8,6360  | 8,7607 | 0,5449 | 8,2157 | 8,9899 | 9,3579 | 1,0802 | -9,9030 |
|    | 3 32 37,629                        | 2                 | 3,506              | 22 16 29,30                  | 1                 | 12,01              | 8,6354  | 8,7609 | 0,5448 | 8,2140 | 8,9922 | 9,3564 | 1,0797 | -9,9033 |
|    | 3 32 38,155                        | 1                 | 3,505              | 22 15 28,46                  | 1                 | 12,01              | 8,6353  | 8,7607 | 0,5447 | 8,2135 | 8,9943 | 9,3560 | 1,0797 | -9,9032 |
|    | 3 33 10,911                        | 2                 | 3,544              | 22 57 52,01                  | 2                 | 11,98              | 8,6396  | 8,7671 | 0,5495 | 8,2483 | 8,8508 | 9,3852 | 1,0784 | -9,9040 |
|    | 3 33 51,054                        | 1                 | 3,506              | 22 12 35,85                  | 1                 | 11,93              | 8,6322  | 8,7624 | 0,5448 | 8,2097 | 8,9917 | 9,3522 | 1,0767 | -9,9050 |
|    | 3 33 51,860                        | 1                 | 3,537              | 23 36 29,30                  | 1                 | 11,93              | 8,6368  | 8,7668 | 0,5487 | 8,2393 | 8,8802 | 9,3774 | 1,0768 | -9,9049 |
|    | 3 33 58,915                        | 1                 | 3,542              | 23 50 57,73                  | 1                 | 11,92              | 8,6371  | 8,7678 | 0,5493 | 8,2438 | 8,8573 | 9,3811 | 1,0763 | -9,9051 |
|    | 3 34 0,058                         | 4                 | 3,527              | 23 7 25,41                   | 4                 | 11,92              | 8,6347  | 8,7655 | 0,5474 | 8,2286 | 8,9217 | 9,3684 | 1,0763 | -9,9052 |
|    | 3 34 1,168                         | 1                 | 3,526              | 23 4 11,56                   | 1                 | 11,92              | 8,6345  | 8,7653 | 0,5472 | 8,2276 | 8,9256 | 9,3675 | 1,0763 | -9,9054 |
|    | 3 34 15,281                        | 2                 | 3,547              | 24 1 54,93                   | 2                 | 11,91              | 8,6372  | 8,7687 | 0,5499 | 8,2471 | 8,8380 | 9,3838 | 1,0758 | -9,9054 |
|    | 3 34 16,250                        | 1                 | 3,532              | 23 21 27,40                  | 1                 | 11,90              | 8,6347  | 8,7665 | 0,5480 | 8,2328 | 8,9009 | 9,3718 | 1,0756 | -9,9055 |
|    | 3 34 39,956                        | 2                 | 3,537              | 23 36 37,71                  | 2                 | 11,87              | 8,6345  | 8,7679 | 0,5488 | 8,2370 | 8,8762 | 9,3751 | 1,0746 | -9,9061 |
|    | 3 35 4,022                         | 3                 | 3,542              | 23 46 1,29                   | 3                 | 11,84              | 8,6340  | 8,7691 | 0,5493 | 8,2392 | 8,8585 | 9,3768 | 1,0735 | -9,9067 |
| b  | 3 35 5,927                         | 14                | 3,539              | 23 35 29,61                  | 8                 | 11,84              | 8,6333  | 8,7686 | 0,5488 | 8,2356 | 8,8739 | 9,3738 | 1,0734 | -9,9068 |
|    | 3 35 22,423                        | 1                 | 3,542              | 23 44 34,89                  | 1                 | 11,83              | 8,6332  | 8,7694 | 0,5493 | 8,2381 | 8,8585 | 9,3758 | 1,0729 | -9,9071 |
|    | 3 35 23,039                        | 1                 | 3,630              | 22 10 54,20                  | 1                 | 11,83              | 8,6314  | 8,7675 | 0,5478 | 8,2267 | 8,9084 | 9,3662 | 1,0729 | -9,9070 |
| e  | 3 35 27,293                        | 4                 | 3,649              | 23 56 46,35                  | 4                 | 11,82              | 8,6336  | 8,7702 | 0,5499 | 8,2419 | 8,8382 | 9,3789 | 1,0725 | -9,9072 |
| 1  | 3 35 42,711                        | 3                 | 3,537              | 23 30 53,28                  | 2                 | 11,80              | 8,6316  | 8,7692 | 0,5487 | 8,2325 | 8,8768 | 9,3710 | 1,0719 | -9,9076 |
|    | 3 35 42,936                        | 2                 | 3,519              | 22 41 4,02                   | 2                 | 11,80              | 8,6288  | 8,7665 | 0,5464 | 8,2149 | 8,9479 | 9,3561 | 1,0718 | -9,9076 |
| 2  | 3 35 49,135                        | 1                 | 3,547              | 23 56 37,40                  | 1                 | 11,79              | 8,6327  | 8,7707 | 0,5499 | 8,2410 | 8,8357 | 9,3780 | 1,0716 | -9,9077 |
| 4  | 3 35 53,334                        | 1                 | 3,545              | 23 49                        | 1                 | 11,79              | 8,6321  | 8,7703 | 0,5496 | 8,2333 | 8,8480 | 9,3757 | 1,0715 | -9,9078 |
|    | 3 36 1,377                         | 2                 | 3,509              | 22 10 30,87                  | 2                 | 11,78              | 8,6264  | 8,7653 | 0,5451 | 8,2032 | 8,9246 | 9,3460 | 1,0711 | -9,9080 |
| c  | 3 36 4,531                         | 3                 | 3,546              | 23 50 54,82                  | 2                 | 11,77              | 8,6317  | 8,7707 | 0,5497 | 8,2384 | 8,8439 | 9,3757 | 1,0709 | -9,9080 |
| 7  | 3 36 8,128                         | 5                 | 3,538              | 23 31 10,90                  | 3                 | 11,77              | 8,6305  | 8,7697 | 0,5488 | 8,2314 | 8,8751 | 9,3699 | 1,0708 | -9,9081 |
|    | 3 36 8,706                         | 2                 | 3,519              | 22 37 42,51                  | 2                 | 11,77              | 8,6276  | 8,7668 | 0,5464 | 8,2128 | 8,9504 | 9,3541 | 1,0708 | -9,9081 |
| k  | 3 36 9,086                         | 1                 | 3,550              | 24 2 9,30                    | 1                 | 11,77              | 8,6321  | 8,7715 | 0,5502 | 8,2420 | 8,8241 | 9,3787 | 1,0707 | -9,9082 |
| l  | 3 36 17,457                        | 3                 | 3,550              | 24 0 34,78                   | 3                 | 11,76              | 8,6316  | 8,7715 | 0,5502 | 8,2410 | 8,8267 | 9,3778 | 1,0703 | -9,9083 |
| 8  | 3 36 29,130                        | 3                 | 3,543              | 23 41                        | 1                 | 11,75              | 8,6301  | 8,7708 | 0,5494 | 8,2341 | 8,8563 | 9,3720 | 1,0699 | -9,9086 |
| 9  | 3 36 31,718                        | 1                 | 3,543              | 23 40                        | 1                 | 11,74              | 8,6299  | 8,7707 | 0,5493 | 8,2335 | 8,8585 | 9,3714 | 1,0698 | -9,9087 |
| 10 | 3 36 42,671                        | 1                 | 3,544              | 23 44 19,29                  | 1                 | 11,73              | 8,6297  | 8,7712 | 0,5495 | 8,2344 | 8,8513 | 9,3721 | 1,0695 | -9,9089 |
|    | 3 36 51,989                        | 2                 | 3,531              | 23 6 28,30                   | 3                 | 11,72              | 8,6272  | 8,7693 | 0,5479 | 8,2211 | 8,9080 | 9,3608 | 1,0689 | -9,9091 |
|    | 3 36 58,670                        | 1                 | 3,515              | 22 24 10,66                  | 1                 | 11,70              | 8,6246  | 8,7673 | 0,5459 | 8,2056 | 8,9638 | 9,3476 | 1,0685 | -9,9093 |
| 12 | 3 37 13,750                        | 1                 | 3,551              | 24 0 17,90                   | 1                 | 11,69              | 8,6292  | 8,7728 | 0,5504 | 8,2385 | 8,8209 | 9,3753 | 1,0679 | -9,9096 |
| 13 | 3 37 20,520                        | 2                 | 3,539              | 23 28                        | 1                 | 11,69              | 8,6271  | 8,7712 | 0,5489 | 8,2272 | 8,8726 | 9,3658 | 1,0677 | -9,9098 |
| 17 | 3 37 34,995                        | 1                 | 3,534              | 23 12 42,90                  | 1                 | 11,67              | 8,6256  | 8,7707 | 0,5483 | 8,2211 | 8,8943 | 9,3606 | 1,0669 | -9,9101 |
| p  | 3 37 36,797                        | 1                 | 3,543              | 23 36 8,21                   | 1                 | 11,67              | 8,6268  | 8,7720 | 0,5493 | 8,2293 | 8,8584 | 9,3674 | 1,0670 | -9,9101 |
|    | 3 37 37,700                        | 1                 | 3,536              | 23 17 21,74                  | 1                 | 11,66              | 8,6257  | 8,7710 | 0,5485 | 8,2227 | 8,8672 | 9,3619 | 1,0669 | -9,9102 |

|    | Mittl. AR. in Zeit<br>1836 Jan. 1. | Zahl d.<br>Beobh. | Jährl.<br>Precess. | Mittl. Decl.<br>1836 Jan. 1. | Zahl d.<br>Beobh. | Jährl.<br>Precess. | Constanten für Rectascension und Declination. |        |        |        |        |        |        |         |
|----|------------------------------------|-------------------|--------------------|------------------------------|-------------------|--------------------|---|--------|--------|--------|--------|--------|--------|---------|
|    |                                    |                   |                    |                              |                   |                    | a   | b      | c      | d      | a'     | b'     | c'     | d'      |
| 22 | 3 <sup>h</sup> 37' 40" 894         | 1                 | 3,537              | 23 <sup>o</sup> 24' 5" 43    | 1                 | 11,66              | 8,6260  | 8,7714 | 0,5487 | 8,2249 | 8,8768 | 9,3638 | 1,0667 | —9,9102 |
| 24 | 3 37 44,497                        | 4                 | 3,546              | 23 46 29,42                  | 4                 | 11,66              | 8,6271  | 8,7727 | 0,5498 | 8,2326 | 8,8407 | 9,3702 | 1,0666 | —9,9103 |
| 25 | 3 37 44,828                        | 18                | 3,545              | 23 35 30,29                  | 15                | 11,64              | 8,6259  | 8,7722 | 0,5494 | 8,2284 | 8,8573 | 9,3664 | 1,0660 | —9,9106 |
| 26 | 3 37 54,046                        | 2                 | 3,532              | 23 5 49,25                   | 2                 | 11,64              | 8,6244  | 8,7708 | 0,5480 | 8,2180 | 8,9025 | 9,3578 | 1,0661 | —9,9106 |
| 28 | 3 38 39,035                        | 1                 | 3,529              | 22 54 36,81                  | 1                 | 11,59              | 8,6218  | 8,7711 | 0,5476 | 8,2120 | 8,9154 | 9,3524 | 1,0641 | —9,9116 |
| 29 | 3 38 44,746                        | 3                 | 3,549              | 23 50 5,32                   | 2                 | 11,59              | 8,6254  | 8,7743 | 0,5501 | 8,2311 | 8,8274 | 9,3685 | 1,0639 | —9,9117 |
| f  | 3 39 25,375                        | 7                 | 3,544              | 23 32 44,37                  | 5                 | 11,53              | 8,6214  | 8,7743 | 0,5495 | 8,2230 | 8,8488 | 9,3614 | 1,0617 | —9,9127 |
| h  | 3 39 26,409                        | 1                 | 3,540              | 23 37 41,00                  | 1                 | 11,53              | 8,6220  | 8,7745 | 0,5497 | 8,2250 | 8,8445 | 9,3630 | 1,0620 | —9,9126 |
| 30 | 3 39 32,400                        | 1                 | 3,512              | 22 6 6,28                    | 1                 | 11,53              | 8,6168  | 8,7697 | 0,5455 | 8,1923 | 8,9754 | 9,3352 | 1,0617 | —9,9127 |
|    | 3 39 36,103                        | 4                 | 3,552              | 23 52 25,20                  | 3                 | 11,52              | 8,6225  | 8,7756 | 0,5505 | 8,2290 | 8,8176 | 9,3669 | 1,0616 | —9,9128 |
| 33 | 3 39 40,597                        | 2                 | 3,549              | 23 44 25,25                  | 1                 | 11,52              | 8,6217  | 8,7752 | 0,5501 | 8,2264 | 8,8325 | 9,3641 | 1,0613 | —9,9129 |
|    | 3 39 58,800                        | 1                 | 3,529              | 22 50 7,97                   | 1                 | 11,49              | 8,6179  | 8,7726 | 0,5476 | 8,2068 | 8,9149 | 9,3475 | 1,0605 | —9,9138 |
|    | 3 39 59,597                        | 1                 | 3,511              | 22 1 39,10                   | 1                 | 11,49              | 8,6154  | 8,7702 | 0,5454 | 8,1895 | 8,9777 | 9,3327 | 1,0605 | —9,9134 |
| 34 | 3 40 0,076                         | 3                 | 3,538              | 23 12 21,34                  | 3                 | 11,49              | 8,6192  | 8,7740 | 0,5487 | 8,2147 | 8,8808 | 9,3541 | 1,0605 | —9,9134 |
| 37 | 3 40 10,686                        | 1                 | 3,552              | 23 51                        | 1                 | 11,48              | 8,6207  | 8,7762 | 0,5505 | 8,2272 | 8,8182 | 9,3646 | 1,0600 | —9,9136 |
|    | 3 40 22,650                        | 1                 | 3,513              | 22 5 14,51                   | 1                 | 11,47              | 8,6146  | 8,7710 | 0,5456 | 8,1898 | 8,9730 | 9,3328 | 1,0595 | —9,9139 |
|    | 3 40 40,497                        | 1                 | 3,515              | 22 10 22,05                  | 1                 | 11,45              | 8,6140  | 8,7716 | 0,5459 | 8,1908 | 8,9636 | 9,3335 | 1,0586 | —9,9143 |
| 39 | 3 40 41,614                        | 2                 | 3,555              | 23 59 26,58                  | 2                 | 11,43              | 8,6198  | 8,7774 | 0,5509 | 8,2288 | 8,7983 | 9,3657 | 1,0586 | —9,9143 |
| 40 | 3 41 8,039                         | 4                 | 3,545              | 23 27 32,64                  | 2                 | 11,41              | 8,6169  | 8,7763 | 0,5496 | 8,2168 | 8,8500 | 9,3555 | 1,0574 | —9,9149 |
|    | 3 42 23,706                        |                   | 3,574              | 24 40 14,22                  |                   | 11,32              | 8,6175  | 8,7820 | 0,5531 | 8,2379 | 8,6990 | 9,3723 | 1,0539 | —9,9165 |

Endlich wollte ich Ihnen noch einige am 13<sup>ten</sup> August beobachtete Sternschnuppen mittheilen. Die voranstehenden Buchstaben bezeichnen die vorher erwähnten Beobachter.

#### M Hamb. Zeit.

|    |                        |                     |
|----|------------------------|---------------------|
| F. | 9 <sup>h</sup> 28' 23" | Cassiop. — Aries.   |
| R. | 9 34 15,2              | Leo minor.          |
| R. | 9 36 17,9              | Androm.             |
| F. | 9 36 25                | Urs. min. Urs. maj. |
| R. | 9 49 21,7              | Lyra.               |
| F. | 9 58 27                | Urs. maj. Bootes.   |
| R. | 9 59 25,4              | Urs. maj. Leo min.  |
| F. | 9 59 45,0              | Urs. maj. Bootes.   |
| R. | 10 7 56,6              | Cygnus. Aquil.      |
| R. | 10 9 20,4              | Auriga.             |
| R. | 10 11 54,0             | Ursae maj.          |
| F. | 10 13 15               | Anlinous.           |
| R. | 10 13 20,7             | Cygnus. Urs. min.   |
| R. | 10 18 43,9             | Cassiop.            |
| F. | 10 19 1,0              | Südlich vom Bootis. |
| R. | 10 19 41,7             | Ursae minor.        |
| R. | 10 23 23,1             | Lyrae Dracon.       |
| R. | 10 24 2,0              | Corona Bootes.      |
| R. | 10 26 51,5             | Caput Serpentis.    |
| W. | 10 34 36,9             | Andromeda.          |
| R. | 10 37 0,9              | Serpentis.          |
| W. | 10 37 37,4             | Cassiop.            |
| F. | 10 40 11,0             | Aquil. Antio.       |
| R. | 10 45 49,4             | Corona Bootis.      |
| R. | 10 49 39,0             | Aquil. Serpentis.   |

#### M Hamb. Zeit.

|    |                         |                       |
|----|-------------------------|-----------------------|
| F. | 10 <sup>h</sup> 56' 20" | Arietis.              |
| W. | 11 1 15,4               | infr. Cass. et And.   |
| W. | 11 6 31,0               | Cetus.                |
| F. | 11 8 48,0               | Cetus.                |
| W. | 11 21 2,1               | γ Androm.             |
| W. | 11 28 16,6              | infr. Pers. et Aries. |
| F. | 11 30 48,0              | Androm. Triang.       |
| W. | 11 33 30,1              | Cassiop.              |
| F. | 11 35 34                | Corona.               |
| W. | 11 38 39,2              | Aurige.               |
| W. | 11 42 14,2              | Aurige.               |
| F. | 11 47 43,5              | Hercules. Urs. maj.   |
| F. | 11 53 18                | Dracon. Urs. min.     |
| F. | 11 58 57                | Aquila Sagittar.      |
| W. | 12 2 55,8               | infr. Plej. et Aries. |
| W. | 12 5 16,3               | Perseus.              |
| F. | 12 6 46                 | Androm.               |
| F. | 12 19 19                | Arietis Pisces.       |
| W. | 12 28 59,4              | infr. Plej. et Aries. |
| W. | 12 31 59,4              | Auriga.               |
| W. | 12 41 17,9              | Plej. et Aries.       |
| F. | 12 53 69                | Cass. Ceph.           |
| F. | 13 12 18                | Cygnus Pegasus.       |
| F. | 13 15 17                | Corona Horizont.      |
| W. | 13 16 19                | Taurus.               |
| F. | 13 18 54                | Dracon. Ceph.         |
| W. | 13 23 22                | Plejades.             |
| F. | 13 24 39                | Dracon. Ursae maj.    |

Rümker.

## Bedeckung der Venus vom Monde in Altona beobachtet 1841 Sept. 11.

|                       |                           | Mittl. Zeit.              | Sternzeit.                |                       |
|-----------------------|---------------------------|---------------------------|---------------------------|-----------------------|
| Eintritt              | heller Rand, unteres Horn | 19 <sup>h</sup> 26' 43" 4 | = 6 <sup>h</sup> 51' 8" 4 | } nach Umständen gut. |
|                       | oberes —                  | 19 26 58,3                | = 6 51 23,4               |                       |
| Völliges Verschwinden |                           | 19 27 20,45               | = 6 51 45,55              | sehr scharf.          |
| Austritt              | dunkl. Rand, oberes Horn  | 20 29 15,0                | = 7 53 50,3               | zu spät.              |
|                       | erster Lichtpunkt         | 20 29 46 1                | = 7 54 21,4               | nach Umständen gut.   |

Schreiben des Herrn Directors *Rümker* an den Herausgeber.

Hamburg 1841. Sept 12.

Ich bin so frei Ihnen meine letzten Sternbedeckungen mitzutheilen.

|   |               | <i>Rümker.</i>   | <i>Weyer.</i>             | <i>Fink.</i>              | M. Z. |
|---|---------------|--|---------------------------|---------------------------|-------|
| Sept. 10.   | 179 Gemin.    | { E. 14 <sup>h</sup> 1' 47" 93<br>A. 14 54 10,83                       |                           | 14 <sup>h</sup> 54' 12" 0 |       |
|   | Anon.         | A.   |                           | 14 3 13,7                 |       |
|   | Anon.         | A.   |                           | 14 41 34,1                |       |
|   | Anon.         | A. 15 17 19,53   | 15 <sup>h</sup> 17' 10" 6 | 15 17 9,5                 |       |
| Bei dem letzten Austritte muß ich wohl 10 <sup>a</sup> verzählt haben. Die Beobachtung war übrigens scharf. |               |  |                           |                           |       |
| Sept. 11.   | Venus. Eintr. | { 1. Horn 19 26 48,31<br>2. Horn 19 27 8,28<br>Verschwind. 19 27 31,03 | 19 26 48,8                | 19 26 49,53               |       |
|   |               |  | 27 30,9                   | 27 31,53                  |       |
|   | Austr.        | { erste Erscheinung 20 29 36,03<br>vollend. Austritt 20 29 58,3        | 20 29 36,0<br>29 55,9     | 20 29 25,3<br>20 29 51,3  |       |

*Rümker.*

Berichtigung. S. 268. Anstatt Austritt ist zu lesen, Eintritt, und umgekehrt.

## A n z e i g e.

Es ist schon in den früheren Bänden dieser Nachrichten bemerkt, daß ohne ausdrückliche Bestellung und Vorausbezahlung keine Nummer eines neuen Bandes versandt wird. Die Herren Abonnenten, welche diese Blätter fortzusetzen wünschen, werden also, um Unterbrechungen zu vermeiden, ersucht baldmöglichst ihre Bestellungen einzinsenden.

Man pränumerirt mit 8  $\frac{1}{2}$  Hamburger GrobCourant, und von diesem Preise wird auch den Postämtern und Buchhandlungen kein Rabatt gegeben. Ueberhaupt sind alle in dieser Anzeige bemerkten Preise, Nettopreise.

Einzelne Nummern werden nur zur Completirung, wenn sie vorrätig sind, à 4 ggr. abgelassen.

Da sehr wenig Exemplare mehr gedruckt werden als bestellt sind, so kann ein Band, der schon geschlossen ist, nicht unter 12  $\frac{1}{2}$  Hamburger GrobCourant verkauft werden. Die einzige Ausnahme ist wenn alle schon geschlossenen Bände, vom 3ten (inclusive) an, auf einmal genommen werden, und wenn also, wie bei dem Verkaufe einzelner Bände, keines von den wenigen noch übrigen Exemplaren des ganzen Werks incomplet gemacht wird. In diesem Falle wird der Band auch nur zu 8  $\frac{1}{2}$  gerechnet. Der erste Band ist ganz vergriffen.

Die Anzeigen von Büchern, Instrumenten u. s. w. in den Intelligenzblättern, werden mit 2 ggr. die Zeile vergütet.

Ueber die Bestimmung der Längen durch Azimuthe des Monde, insbesondere durch Mondculminationen. Von Herrn Professor Dr. *Grunert* in Greifswald (Beschluß). p. 385. — Sternbedeckungen beobachtet auf der Sternwarte zu Leiden. Von Herrn *F. Kaiser*, Professor der Astronomie und Director der Sternwarte daselbst. p. 389. — Sternbedeckungen vom Monde, beobachtet auf der Altonaer Sternwarte. p. 391. — Schreiben des Herrn *Rümker*, Directors der Hamb. Sternwarte, an den Herausgeber. p. 393. — Verzeichniß der Plejaden von *Rümker*. p. 395. — Bedeckung der Venus vom Monde in Altona beobachtet 1841. Sept. 11. p. 399. — Schreiben des Herrn Directors *Rümker* an den Herausgeber. p. 399. — Berichtigung. p. 399. Anzeige. p. 399.

Altona 1841. September 30.

# R e g i s t e r.

## A.

- Aachen, Beobachtung einiger veränderlichen Sterne daselbst von *Heiss* 115.
- d'Abbadie, Antoine, Beobachtungen auf dessen Reisen in Abyssinien 107.
- Aberations - Constante von *Struve* aus Beobachtungen von *Ursae maj.* 159. Aus Beobachtungen von *Drac* 294.
- Abyssinien, Beobachtungen und Ortsbestimmungen daselbst von *d'Abbadie* 107.
- Adwa in Abyssinien, Beobachtungen von Sternbedeckungen daselbst von *d'Abbadie* 109. 111. Breite dieses Orts 112.
- Airy, Professor, Director der Sternwarte zu Greenwich; magnetische Beobachtungen daselbst, so wie Reductionen der Greenwicher Beobachtungen von 1750 bis 1830. 81.
- Alexander, S. Professor, Beobachtung von Sternbedeckungen in Princeton in Nord-Amerika 73.
- Algol, ( $\beta$  Persei) Beobachtungen und Bemerkungen diesen veränderlichen Stern betreffend von *Argelander* 113. 129.
- Altona, daselbst beobachtete Sternbedeckungen von *Schumacher*, *Petersen*, *Jürgensen* 32. 391.
- Jupiterstrabantenverfinsterungen beob. von *Petersen* 77.
- Plejadenbedeckungen beobachtet von *Petersen*, *Clausen*, *Nehus* 79.
- Sonnensflecke beobachtet von *Petersen* 151. 161.
- Original-Beobachtungen des *Halleyschen* Cometen 1835 von *Petersen* 355.
- Venus-Bedeckung beobachtet von *Petersen* 399.
- Längenunterschied mit Göttingen 161.
- Anzeige die Astr. Nachr. betreffend 399.
- von veränderlichen Instrumenten von *Schwabe* 67.
- Apenrade, daselbst beobachtete Sternbedeckungen und Feuerkugel von *Fischer* 63.
- Aquila  $\gamma$  oder Antiopei Beobachtung dieses veränderlichen Sterns von *Argelander* in Bonn und von *Heiss* in Aachen 117. von *Pigott* 119, von *Goodrich* 125.
- Argelander, Professor, Director der Sternwarte in Bonn, Beobachtungen der veränderlichen Sterne Mira Ceti 113,  $\gamma$  Aquila oder Antiopei 117.
- Algol ( $\beta$  Persei) 129.
- $\beta$  Lyrae 131.
- $\delta$  Cephei 133.
- Beobachtung von Sternbedeckungen und Jupiterstrabantenverfinsterungen 135.
- Positionen des Cometen von *Bremker* 139. 317.
- Mondfinsternis den 5ten Februar 1841 und Sternbedeckungen 317.

- Astronomische Oculare mit drei Linsen von *Santini* 295.
- Astronomische Nachrichten, Verbesserungen in selbigen 184. 191. 195. 317. 335. 367. 399.
- Aufgabe aus der practischen Geometrie und deren Auflösung von *Hansen* 165.
- Azimuth gemessen auf dem Schönberg in Mecklenburg von *Bertram* 181.

## B:

- Bache, Professor in Philadelphia, über magnetische Beobachtungen in Nordamerika 47.
- Ballo, Beobachtung von Sternbedeckungen in Breslau 61.
- Barfuss, Dr. in Weimar, über Fernröhre mit Glaspiegeln und deren Vorzüge 197.
- Barometer- und Thermometerbeobachtungen während drei Jahre in Christiania von *Hansteen* 83; im Jahre 1840 in Cracau von *Weyse* 325.
- Basle, gemessen in Holstein und bei München, Vergleichung derselben von *Gerling* 160.
- Bedeckung der Venus vom Monde 1841 den 16ten März beobachtet von *Paschen* 373.
- 1841 den 11ten September beobachtet von *Funk*, *Petersen*, *Rümker*, *Weyer* 399.
- Bemerkungen über trigonometrische Nivellements, insbesondere über die terrestrische Strahlenbrechung von *Cronst* 25.
- Beobachtungen siehe Comet, Doppelsterne, Feuerkugel, Jupiterstrabanten-Verfinsterungen, Magnetische, Mond, Planeten, Sternbedeckungen, Sonne, *Sonnensflecke*.
- Berge Saluda und Samayata in Abyssinien, Lage derselben gemessen in Adwa von *d'Abbadie* 112.
- Berichtigungen in den Astr. Nachr. 184. 191. 195. 317. 335. 367. 399.
- Bertram, Ingenieur-Geograph im Preussischen General-Stabe, Breiten und Azimuth-Bestimmungen auf dem Schönberg in Mecklenburg 181.
- Beschreibung eines neuen Micrometers von *Thomas Clausen* 95.
- Bessel, Geheimrath, Director der Königsberger Sternwarte, Ueber die Grundformeln der Dioptrik 97.
- Neue Untersuchung der Reductionselemente der Declinationen, und Bestimmung der Declinationen der Fundamentalsterne 219.
- Verzeichniß von 53 Plejadensternen aus Beobachtungen mit dem Königsberger Heliometer abgeleitet 353.
- Beweis der beiden ersten Haupttheoreme der Dioptrik von *Th. Clausen* 135.

Beweis des von *Jacobi* gefundenen Lehrsatzes, daß ein Flüssiges sich um die eine Axe drehendes Sphäroid von drei verschiedenen Axen in Gleichgewicht seyn könne von *Th. Clausen* 145.

Bianchi, Director der Sternwarte in Modena, Refraktionsbeobachtungen 89.

Ueber veränderliche Sterne 337.

Blickensderfer jun. J., Beobachtungen von Sternbedeckungen in Dover Ohio in Nord-Amerika 73.

Boguslawski, Professor in Breslau, Verzeichniß von Sternschnuppenbeobachtungen 49.

Beobachtungen von Sternbedeckungen in Breslau 51.

Bond, Wm. Cranch, Beobachtungen von Sternbedeckungen in Dorchester in Nord-Amerika 73.

Bonn, Beobachtung einiger veränderlicher Sterne daselbst von *Arglander* 113. 117. 129. 131. 133.

Von Sternbedeckungen und Jupiterstrahlanten-Verfinsterungen 135. 317.

Von *Bremiker* Cometen 139. 317.

Der Mondfinsternis am 2<sup>ten</sup> Febr. 1841. 317.

♄ Bootis, Doppelstern beobachtet von *Mädler* in Dorpat. 364.

♄ Bootis, Doppelstern, beobachtet von *Mädler* in Dorpat 366.

♄ Bootis, Doppelstern beobachtet von *Mädler* in Dorpat 366.

Boston, daselbst beobachtete Sternbedeckungen von *R. T. Paine* Esq. 73.

Bradley, Beobachtung von Sternbedeckungen in New-Haven in Nordamerika 73.

Braunsberg in Ostpreußen, Beobachtungen von Sternschnuppen daselbst von *Fiddi* und *Dittersdorf* 331.

Breite von *Noterts* Hause in Greifswald 31.

von Adwa in Abyssinien 112.

von Schöberg in Mecklenburg 181.

Bremiker in Berlin, Entdeckung eines Cometen am 26<sup>ten</sup> October 1840. 63.

Beobachtungen und Elemente desselben

von *Petersen* 63.

von *Rümker* 67. 193.

von *Encke* 69. 140.

von *Santini* und *Conti* 83.

von *Keller* 83. 184.

Positionen desselben aus Beobachtungen in Bonn von *Arglander* 139. 317.

Verzeichniß der in der Bahn desselben gelegenen Sterne

von *Rümker* 307.

Brooklyn in Nord-Amerika, daselbst beobachtete Sternbedeckungen von *J. Blickensderfer* jun. 73.

Busch, Dr., Observator in Königsberg, Vergleichung der neuen Königsberger Declinationsbestimmungen der Fundamental-n, einiger Circumpolarsterne mit andern Verzeichnissen 305.

## C.

Cairo, Beobachtungen von Sternbedeckungen daselbst von *d'Arbadié* 109.

Calcolo di un Orulare acromatico a tre lenti poi Cannocchiali astronomici, in cui sono distrutte o molte attenuate le aberrazioni secondarie di rifrangibilità e di sfericità, riprodotte dalla rifrazione per le lenti oculari pr. *Giovanni Santini* 295.

Cambridge Massachusetts, Nord-Amerika. magnetisches Observatorium 47.

♄ Cancri, Doppelstern beobachtet von *O. Struve* in Pulkowa 42. von *Mädler* in Dorpat 320. 364.

♄ Cancri, Doppelstern beobachtet von *Mädler* in Dorpat 363.

Castor, Doppelstern beobachtet von *Mädler* in Dorpat 79. 364.

♄ Cephei, veränderlicher Stern, Beobachtungen und Bemerkungen über denselben von *Arglander* in Bonn 133.

Ceres, beobachtet 1839 in Kremsmünster von *Reikuber* 189.

Ceti Min. Veränderlicher Stern, Beobachtungen desselben von *Arglander* in Bonn und von *Heis* in Aachen 140.

Christianian, Maximum, Minimum und Mitteltemperatur aus dreijährigen Beobachtungen des Barometers und Thermometers von *Hantzen* 83.

Chronometer 1314 Kessels, dessen Gang mitgetheilt von *Gering* 45.

♄ Hathi, für *Greig* verfertigt, einen Monat gehend, dessen Gang mitgetheilt von *H. intensity* 21.

Circumpolarsterne, Königsberger Declinationen derselben, verglichen mit andern Verzeichnissen von *Fuchs* 305.

Clausen, Thoms, Beobachtung von Plejadenbedeckungen 1840 Febr. 7. 79.

Beschreibung eines neuen Micrometers 89.

Beweis der beiden Haupttheoreme der Dioptrik 135.

Beweis des von *Jacobi* gefundenen Lehrsatzes, daß ein Flüssiges sich um seine Axe drehendes Sphäroid von drei verschiedenen Axen in Gleichgewicht seyn könne 145.

Dessen Zusammenstellung der periodischen Gleichungen in den Mondstufen findet sich in *Habbecks* Theorie of the Moon 3r Theil 159.

Geometrische Auflösung der *Hansen*schen Aufgabe: Aus der Lage zweier bekannten Punkte die Lage zweier unbekannten Punkte zu finden 367.

42 Comae Berenices, Doppelstern beobachtet von *Mädler* 364.

Comet, *Halleyscher*, Original-Beobachtungen desselben im Jahre 1835 auf der Altonaer Sternwarte von *Petersen* 355.

Encke'scher, Scheinbare Positionen desselben aus Beobachtungen im Jahre 1838 auf der Hamburger Sternwarte von *Rümker* 369.

Von *Galle* in Berlin entdeckt am 2<sup>ten</sup> December 1839.

Beobachtungen desselben

von *Rümker* in Hamburg 23.

von *Keller* in Kremsmünster 85.

Von *Galle* in Berlin entdeckt am 25<sup>ten</sup> Januar 1840. Beobachtungen desselben

von *Wuizer* in Leiden 16.

von *Keller* in Kremsmünster 86.

Von *Bremiker* in Berlin entdeckt am 26<sup>ten</sup> Octbr. 1840. 63.

Beobachtungen und Elemente desselben

von *Petersen* in Altona 83.

von *Rümker* in Hamburg 67. 193.

von *Encke* in Berlin 69. 140.

von *Santini* und *Conti* in Padua 83.

von *Reikuber* in Kremsmünster 83. 184.

Positionen aus Beobachtungen in Bonn von *Arglander* 139. 317.

Verzeichniß der in der Bahn desselben gelegenen Sterne von *Rümker* 307.

Constanten der Aberration und Nutation mitgetheilt von *Struve* 293. 294.

Der in der Bahn von *Bremikers* Cometen gelegenen Sterne berechnet von *Weyer* 307.

Conti, Dr. in Padua, Beobachtungen des Cometen von *Bremiker* und des 2<sup>ten</sup> Galleschen Cometen 83. 86.

γ Coronae, Doppelstern beobachtet am großen Refractor in Pulkowa von *O. Struve* 42; von *Mädler* in Dorpat 364.

γ Coronae, Doppelstern beobachtet von *Mädler* in Dorpat 366.

σ Coronae, Doppelstern beobachtet von *Mädler* in Dorpat 363.

Czascu, dasselbst gemachte Beobachtungen von Mondsternen. Sternbedeckungen, so wie meteorologische Beobachtungen von *Weyse* 325.

Länge bestimmt von *Steckowski* 329.

## D.

Davis, H. S., Major im 52<sup>ten</sup> Kagl. Regiment, Beobachtungen von Sonnenflecken 65.

Declinationen des Mondes für dessen Durchgang durch den Meridian von Altona 17. 55.

Declinationen der Fundamentalsterne, Bestimmung derselben und Untersuchung der Reductionselemente von *Bessel* 219.

Declinationsbestimmungen der Fundamental- und einiger Circumpolarsterne in Königsberg. Vergleichung derselben mit andern Verzeichnissen von *Busek* 305.

Deasau, dasselbst beobachtete Sonnenflecke von *Schwabe* 68. 150.

Dioptrik. Ueber die Grundformeln derselben von *Bessel* 97.  
Beweise der beiden Hauptsätze derselben von *Th. Clausen* 135.

Dittersdorf, Professor in Braunsberg, Beobachtungen von Sternschnuppen 331.

Doppelsterne, beobachtet am großen Refractor in Pulkowa von *O. Struve*, nemlich ζ Cancri, ξ Ursae maj., γ Virginis, γ Coronae 42. α Leonis, 2173 Str. 43.  
in Dorpat von *Mädler* γ Leonis, Castor, ξ Ursae maj. 79. α Geminorum, ζ Cancri, φ Cancri, γ Leonis, ζ Herculis, σ Coronae 320. γ Leonis, ξ Ursae maj. 363. ζ Orionis, ζ Cancri, 42 Comae Berenices, γ Coronae, α Bootis, φ Ophiuchi, α Leonis, Castor, γ Herculis 364. ζ Herculis, α Leonis, γ Virginis, 2173 Str., τ Ophiuchi 365. 1734 Str., 1757 Str., ζ Bootis, α Herculis, γ Coronae, 73 Ophiuchi, ζ Bootis 366.

Dorchester in Nord-Amerika, dasselbst beobachtete Sternbedeckungen von *Wm. Cranch Bond* 73.

Dorpat, *Mädlers* Beobachtungen der Doppelsterne dasselbst 79. 320. 364.

Dorpatser Beobachtungen, benutzt zur Ableitung der Nutations-Constanten von *Schidlowsky* 141.

Dover Ohio Nord-Amerika, dasselbst beobachtete Sternbedeckungen von *Blickensiefer jun.* 73.

Druckfehler in den Astron. Nachrichten 184. 191. 195. 317. 335. 367. 399.

Durchgangsinstrument von Gebrüder *Reppold* aufgestellt im ersten Vertical in Pulkowa 332.

Von *Ertel* aufgestellt im Meridian in Pulkowa 37.

## E.

Erste metingen met den Micrometer, volbragt op het Observatorium van Ryks Hogenschool te Leiden 16.

Elements des von *Bremiker* in Berlin entdeckten Cometen, berechnet von *Petersen* in Altona 63.

von *Rümker* in Hamburg 67.

von *Encke* 62. 140.

von *Santini* 85.

von *Koller* 87.

Des 2<sup>ten</sup> Galleschen Cometen von *Koller* in Kremsmünster 88.

Encke Elemente und Beobachtungen des *Bremikers* Cometen 69. 140.

Encke's Comet, sichtbare Positionen desselben aus Beobachtungen auf der Hamburger Sternwarte von *Rümker* 369.

Engelhardt, Advocat in Gera, Beobachtung von Sternbedeckungen 31.

Entdeckung eines Cometen am 26<sup>ten</sup> October 1840 von *Bremiker* in Berlin 63.

Ermann, Professor in Berlin, über Sternschnuppen 321.

Ertel in München, von demselben verfertigtes Durchgangsinstrument, für Pulkowa aufgestellt im Meridian 27. Verticalkreis von demselben ebendasselbst aufgestellt 38.

## F.

Feldt, Professor in Braunsberg in Ostpreussen, Beobachtungen von Sternschnuppen dasselbst 331.

Fernröhre mit Glasspiegel und deren Vorzüge von *Dr. Barfuss* 197.

Feuerkugel, beschrieben von *Fischer* in Apennin 53.

Fischer in Apennin, Beobachtung von Sternbedeckungen und Beschreibung einer Feuerkugel 53.

Fundamentalsterne, Bestimmung der Declination derselben und Untersuchung der Reductionselemente dieser Declinationen von *Bessel* 219.

Fundamentalsterne, Königsberger, Declinationen derselben verglichen mit andern Verzeichnissen von *Busek* 305.

Frank, Beobachtung einer Plejadenbedeckung 1840 Febr. 7 in Hamburg 80. 393. 399.

Positionen des Cometen von *Bremiker* 193.

Beobachtung einer Venusbedeckung 1841 Sept. 11. 399.

## G.

Galle 1<sup>ter</sup> Comet entdeckt am 2<sup>ten</sup> Decbr. 1839 beobachtet auf der Sternwarte in Hamburg von *Rümker* 23.

in Kremsmünster von *Koller* 85.

2<sup>ter</sup> Comet entdeckt am 25<sup>ten</sup> Januar 1840 beobachtet auf der Sternwarte in Leiden von *Kaiser* 15.

in Kremsmünster von *Koller* 85.

Gang des Chronometers Kessels 1314 mitgetheilt von *Gerting* 45. eines Hausischen Chronometers, dem Admiral *Grig* gehörig, mitgetheilt von *Winiarsky* 71.

Gauss, über den magnetischen Südpol 143.

Sternbedeckungen beobachtet in Göttingen 367.

$\alpha$  Geminorum, Doppelstern, beobachtet von *Mädler* 320.  
 Geometrische Auflösung der *Hansen'schen* Aufgabe: aus der Lage zweier bekannten Punkte die Lage zweier unbekannten Punkte zu finden 367.  
 Gera, Beobachtung von Sternbedeckungen daselbst von *Advocat Engelhard* 31.  
 Gerling über das Chronometer Kessels 1314. 45.  
 Vergleichung der bei München und in Holstein gemessenen Basis 160.  
 Längenunterschied zwischen Altona und Göttingen 160.  
 Gillies, S. M., Lieutenant in der Nord-Amerikanischen Marine, Beobachtung von Sternbedeckungen in Washington 73.  
 Giraud College in Philadelphia, magnetisches Observatorium 47.  
 Glasspiegel in Fernröhren, deren Vorzüge von *Docter Barfuss* 147.  
 Göttingen, Beobachtung der Mondfinsternis Febr. 5. 1841 von *Goldschmidt* 143.  
 Längenunterschied mit Altona 160.  
 Sternbedeckung 367.  
 Goldschmidt Beobachtung der Mondfinsternis Febr. 5. 1841 in Göttingen 143.  
 Beobachtung einer Sternbedeckung 367.  
 Goodrike über den veränderlichen Stern  $\eta$  Aquila 125.  
 Greenwich, magnetische Beobachtungen daselbst von *Airy* 81.  
 Astronomische Beobachtungen daselbst von 1750 bis 1830. Reductionen derselben 81.  
 Greifswald, Beobachtung einer Sternbedeckung daselbst, so wie Breite des Beobachtungsorts von *Nobert* 31.  
 Großer Refractor von *Mers* und *Makler* aufgestellt in Pulkowa 41.  
 Grundformeln der Dioptrik von *Bessel* 97.  
 Grunert, Professor in Greifswald, Bemerkungen über trigonometrische Nivellements und über terrestrische Strahlenbrechung 25.  
 Ueber die Bestimmung der Länge durch Höhen des Mondes, insbesondere durch correspondirende oder überhaupt gleiche Mondshöhen 343.  
 Ueber die Bestimmung der Länge durch Azimuthe des Mondes, insbesondere durch Mondculminationen 375. 385.  
 II.  
 Halley'scher Comet, Originalbeobachtungen im Jahre 1835 auf der Altonaer Sternwarte von *Petersen* 355.  
 Hamburger Sternwarte, Beobachtungen von *Rümker* da selbst des *com. Gallischen* Cometen 23.  
 des Cometen von *Bremker* 67. 193.  
 Sternbedeckungen von *Rümker* 68. 71. 80.  
 Sternbedeckungen von *Feyer* und *Pank* 80.  
 Der Mondfinsternis 1841 Febr. 5. 143.  
 Sternschuppenbeobachtungen von *Rümker* 397.  
 Der Venusbedeckung 1841 Sept. 11. von *Rümker* 399.

*Hansen*, Professor, Director der Sternwarte auf dem Seeberg; Eine Aufgabe aus der practischen Geometrie und deren Auflösung 165.  
 Ueber die Anwendung oscillirender Elemente als Grundlage der Berechnung der Störungen eines Planeten, und über die unabhängigen Elemente der Fundamenta nova 237.  
 Hautesse, Professor, Director der Sternwarte in Christiania, Ableitung des Maximums, Minimums, so wie der mittlern Temperatur daselbst aus 33jährigen Beobachtungen 83.  
 Hauth in St. Petersburg, von demselben verfertigte Pendeluhren aufgestellt in Pulkowa 38. 42.  
 Von demselben für Admiral *Greig* verfertigtes Chronometer Nr. 31; dessen Gang mitgetheilt von *Winiwsky* 71.  
 Heiss, Oberlehrer in Aachen, Beobachtungen der veränderlichen Sterne Mira Ceti und  $\eta$  Aquila 115.  
 Hellometer von *Mers* und *Makler* aufgestellt in Pulkowa 43.  
 Hellometer in Königsberg, Beobachtung der Plejaden mit selbigem, und daraus abgeleitetes Verzeichniß von 53 Sternen 353.  
 $\zeta$  Herculis, Doppelstern, beobachtet von *Mädler* in Dorpat 320. 365.  
 $\eta$  Herculis, Doppelstern, beobachtet von *Mädler* in Dorpat 364.  
 $\alpha$  Herculis, Doppelstern, beobachtet von *Mädler* in Dorpat 366.  
 Holcomb, A., Beobachtung von Sternbedeckungen in Southwick Mass in Nord-Amerika 73.  
 Holsteinsche und Münchner Basis, Vergleichung derselben von *Gerling* 160.  
 Horizontalparallaxe des Mondes etc. für dessen Durchgang durch den Altonaer Meridian 17. 55.  
 Hudson, Nord-Amerika, daselbst beobachtete Sternbedeckungen von *E. Loomis* 73.

## I.

Jacob's Lehrsatz: daß ein flügelges sich um die eine Ase drehendes Sphäroid von drei verschiedenen Azen im Gleichgewicht seyn könne, bewiesen von *Th. Clausen* 145.  
 Instrumente auf der Hauptsternwarte Pulkowa, beschrieben von *Schumacher* 33.  
 verkäufliche, angezeigt von *Schmole* 67.  
 Jürgensen, Urban, über höhere Uhrmacherkunst 195.  
 Jürgensen, U. J., Beobachtungen von Sternbedeckungen 391.  
 Jans, beobachtet 1839 in Kremmünster von *Reilhaber* 191.  
 Jupiter, beobachtet 1839 in Kremmünster von *Reilhaber* 189.  
 Jupiterstrabantenverfinsternngen, beobachtet auf der Altonaer Sternwarte von *Petersen* 77.  
 in Bonn von *Argelander*, *Eysner*, *Landahl* und *v. Riess* 136.



## K.

- Kaiser, F., Professor, Director der Sternwarte in Leiden, über die dortige Sternwarte und die daselbst ausgeführten ersten Micrometermessungen **1**.
- Beobachtungen von Sternbedeckungen 391.
- Kendall, E. O., Professor, Beobachtungen von Sternbedeckungen in Philadelphia 73.
- Kesels in Altona, dessen Pendeluhr aufgestellt in Pulkowa **44**.
- Gang des Chronometers 1314 mitgetheilt von *Gerling* **45**.
- Königsberger Declinationsbestimmungen der Fundamental- und einiger Circumpolarsterne verglichen mit andern Verzeichnissen von *Busch* 305.
- Heliometer, Beobachtungen der Plejaden mit demselben und daraus abgeleitetes Verzeichniß von **53** Sternen von *Bessel* 353.
- Koller, Professor, Director der Sternwarte in Kremsmünster, Beobachtungen und Elemente der Cometen von *Galle* und *Brünner* **85, 87** 183.
- Kremsmünster, Beobachtungen und Elemente der Cometen von *Galle* und *Brünner* **85, 87** 183.
- Meridianbeobachtungen der Planeten, des Monds und der Mondsterne von *Reislhuber* **187**.
- Kapfertafeln, vier über Sonnenflecke beobachtet und gezeichnet von Major *Davy* **65**.
- zu *Ta. Clausen* Beweis der beiden ersten Haupttheoreme der Dioptrik 135.
- Kysaens, Dr., Beobachtungen in Bonn von Sternbedeckungen und Jupiterstrabantenverfinsterungen 135.
- Beobachtungen des *Brünner* Cometen 139.
- Tafeln zur Reduction derjenigen Sterne auf den Anfang von 1790, welche in den Zonen Aug. **19** bis Aug. **26** 1789 in den Pariser Memoiren für 1789 vorkommen 177.

## L.

- Länge von Cracau, von *Steckowsky* 329.
- Längenbestimmung durch Höhen des Mondes insbesondere durch correspondirende oder überhaupt gleiche Mondhöhen von *Grunert* 343.
- durch Azimuthe des Mondes, insbesondere durch Mondculminationen von *Grunert* 375. 385.
- Längenunterschied zwischen Altona und Göttingen von *Gerling* 160.
- Leiden, Beschreibung der dortigen Sternwarte, so wie der ersten Micrometer-Messungen von *Kaiser* **1**.
- $\gamma$  Leonis, Doppelstern, beobachtet von *Mädler* in Dorpat 79. 320. 363.
- $\mu$  Leonis, Doppelstern, beobachtet von *Mädler* in Dorpat 365.
- $\omega$  Leonis, Doppelstern, beobachtet von *Mädler* in Dorpat 364.
- v. Littrow, C., Director der Wiener Sternwarte, über Sternschnuppen 376.
- Loomis, E. Professor, beobachtete Sternbedeckungen in Hudson Sternwarte in Nord-Amerika 73.

Labbeek, Theory of the Moon, enthält *Ta. Clausen* Zusammenstellung der periodischen Gleichungen in den Mondstafeln 159.

Laandahl, Dr., Beobachtungen von Sternbedeckungen und Jupiterstrabantenverfinsterungen in Bonn 135.

$\beta$  Lyrae, Beobachtungen und Bemerkungen, diesen veränderlichen Stern betreffend von *Argelander* 131.

## M.

- Mädler, Hofrath, Director der Sternwarte in Dorpat, Beobachtung von Doppelsternen daselbst 79.
- Verzeichniß der Sternbedeckungen durch Planeten bis 1842. 141.
- Beobachtung der Marsoberfläche, so wie der Doppelsterne  $\alpha$  Geminorum,  $\zeta$  Cancri,  $\phi^2$  Cancri,  $\gamma$  Leonis,  $\zeta$  Herculis,  $\alpha$  Coronae,  $\xi$  Urae maj.,  $\zeta$  Orionis, 42 Comae Berenices,  $\eta$  Coronae,  $\mu$  Bootis,  $\rho$  Ophiuchi,  $\alpha$  Leonis, Castor,  $\gamma$  Herculis,  $\mu$  Leonis,  $\gamma$  Virginis, 1734, 1757, 2173 Str.,  $\gamma$  Ophiuchi,  $\zeta$  Bootis,  $\alpha$  Herculis,  $\gamma$  Coronae,  $\gamma$  Ophiuchi,  $\zeta$  Bootis 317. 361.
- Magnetische Beobachtungen in Nord-Amerika von Prof. *Bache* **47**. in Greenwich von *Stir* 81.
- Magnetischer Südpol von *Gauss* 143.
- Mars, beobachtet in Kremsmünster von *Reislhuber* **187**.
- Mason, E. P., Beobachtungen von Sternbedeckungen in New-Haven und Philadelphia in Nord-Amerika 73.
- Massachusetts, Nord-Amerika, magnetisches Observatorium in Cambridge **47**.
- Maximum und Minimum der Temperatur aus 3jährigen Beobachtungen in Christiania von *Haustein* **83**.
- Aus 7jährigen Beobachtungen in Kremsmünster von *Koller* 184.
- Aus Beobachtungen des Jahres 1840 in Cracau von *Wiese* 325.
- Meridianbeobachtungen der Planeten des Mondes und der Mondsterne in Kremsmünster von *Reislhuber* **187**.
- Meridiandurchgangsinstrument von *Ertel* aufgestellt in Pulkowa **47**.
- Meridiankreis von *Gehrdter* *Repsold* aufgestellt in Pulkowa **46**.
- Mersz und Mabler in München, von denselben verfertigter großer Refractor aufgestellt in Pulkowa **41**.
- Von denselben verfertigtes Heliometer ebendasselbe aufgestellt **43**.
- Meteorologische Beobachtungen in Christiania von *Haustein* **83**. in Cracau von *Wiese* 325. in Kremsmünster von *Koller* 184.
- Micrometer-Messung von *Kaiser* in Leiden **1**.
- Micrometer, neues, von *Thomas Clausen* 95.
- Mira Ceti, Beobachtungen dieses veränderlichen Sterns in Bonn von *Argelander* und in Aachen von *Hris* 113. 115.
- Modena, Refraktionsbeobachtungen daselbst von *Bianchi* **89**.

Mond, Rectascension, Declination und Horizontal-Parallax für den Durchgang durch den Altonaer Meridian für 1841 mit den Logarithmen und Coefficienten für die Reduction auf andere Meridiane 17. 55.

Beobachtungen desselben im Meridian, von *Reisbächer* in Kresnmünster 187.

Mond bedeckt die Venus, am 26<sup>ten</sup> März 1841 beobachtet von *Fr. Paschen* 373.

am 11<sup>ten</sup> Sept. 1841 beobachtet von *Petersen* u. *Rümker* 399.

Mondfinsternisse am 5<sup>ten</sup> Februar 1841 beobachtet

in Göttingen von *Goldschmidt* 143.

in Hamburg von *Rümker* 143.

in Bonn von *Arydander* 317.

Mondsterne, beobachtet

in Craau von *Wesse* 327.

in Kresnmünster von *Reisbächer* 187.

Mondsasimuth, insbesondere Mondculminationen zu Längenbestimmungen von *Gruert* 375. 385.

Mondhöhen, correspondirende, zu Längenbestimmungen von *Gruert* 343.

Münchener und holsteinische Basis, Vergleichung derselben von *Gerling* 160.

Munton in London, Pendeluhr von demselben aufgestellt in Pulkowa 35.

## N.

Nachrichten über die Instrumente der Kaiserlichen Hauptsternwarte Pulkowa von *Schumacher* 33.

v. Nehus, Ingenieur-Capitaln, Beobachtung von Plejadenbedeckungen in Altona 1840 Febr. 1. 79.

Neue Untersuchung der Reductionselemente der Declinationen und Bestimmung der Declinationen der Fundamentalsterne von *Beuol* 217.

New Haven in Nord-Amerika, Beobachtungen von Sternbedeckungen daselbst von *Mason* und *Bradley* 73.

Nivellement, trigonometrisches, und terrestrische Strahlenbrechung von *Gruert* 25.

Nobert in Greifswald, Beobachtung von Sternbedeckungen und Breite des Beobachtungsorts 31.

Nord-Amerika, magnetische Observatorien daselbst 47.

Daselbst beobachtete Sternbedeckungen mitgetheilt von *Walter* 73.

Normalpendelrohr von *Kessels*, aufgestellt in Pulkowa 43.

Notizen, gesammelt während des Aufenthalts in Pulkowa von *Schumacher* 33.

Nutations-Constanten, abgeleitet aus Dorpater Beobachtungen von *Schidlofsky* 141. 293.

## O.

Observatorien, magnetische, in Nord-Amerika 47.

Ocular, achromatisches, von drei Linsen von *Santini* 295.

79 Ophiuchi, Doppelstern, beobachtet in Dorpat von *Mädler* 866.

h Ophiuchi, Doppelstern, beobachtet in Dorpat von *Mädler* 364.

79 Ophiuchi, Doppelstern, beobachtet in Dorpat von *Mädler* 365.

Original-Beobachtungen des *Halleyschen* Cometen auf der Altonaer Sternwarte in 1835 von *Petersen* 355.

5 Orionis, Doppelstern, beobachtet, von *Mädler* 364.

## P.

Padua, Beobachtungen daselbst und Elemente von *Brenkers* Cometen, von *Santini* und *Conti* 83.

Refractionbeobachtungen von *Santini* 293.

Sonnenfinsternis des 16<sup>ten</sup> Juli 1841 beobachtet von *Santini* 375.

Paine, R. T. Esq., beobachtete Sternbedeckungen in Boston und Philadelphia 73.

Pallas, beobachtet 1839 in Kresnmünster von *Reisbächer* 187.

Pariser Memoiren von 1789. Reductionstafeln von *Kyriacus* auf den Anfang von 1790 für die darin enthaltenen Zonen-Beobachtungen von Aug. 19 bis Aug. 26. 177.

Parallaxe, Horizontal, des Mondes für dessen Durchgang durch den Meridian von Altona von *Schumacher* 17. 55.

Paschen, Friedrich, Regierungs-Registrator in Schwerin, Beobachtung der Bedeckung der Venus vom Monde 1841 Mai 26. 373.

Pendeluhren in Pulkowa

von *Hauth* in St. Petersburg 38. 42.

von *Kessels* in Altona 44.

von *Munton* in London 35.

von *Tiede* in Berlin 36.

$\beta$  Persei oder Algol, Beobachtungen und Bemerkungen diejenen veränderlichen Stern betreffend von *Argelande* 129.

Peters, Dr., Observator in Pulkowa, beobachtet an *Erstels* Durchgangsinstrument im Meridian 32. Ferner an *Erstels* Verticalkreis 38.

Petersen, Observator an der Sternwarte in Altona, Beobachtungen von Sternbedeckungen 32. 391.

Jupiterstrahlenverfinsterungen 77.

Plejadenbedeckungen 79. 391.

Sonnenflecke 151. 161.

Venusbedeckungen 399.

Originalbeobachtungen des *Halleyschen* Cometen im Jahre 1835. 355.

Elemente des *Brenkerschen* Cometen 63.

Philadelphia, magnetisches Observatorium daselbst 47.

Beobachtete Sternbedeckungen von *Walter*, *Kendall*, *Riggs*, *Mason*, *Paine* Esq. 73.

Pigotti, Entdecker des Lichtwechsels von  $\gamma$  Aquila 119.

Planeten.

Venus bedeckt 1842 Aug. 8 den Stern  $\beta$  Virginis 141.

Venusbedeckung 1841 März 26 beobachtet von *Paschen* 373.

1841 Sept. 11 beobachten von *Petersen* und *Rümker* 399.

Mars, Juno, Pallas, Ceres, Jupiter, Saturn, Uranus beobachtet 1839 am Meridiankreise in Kresnmünster von *Reisbächer* 187.

## Plejadenbedeckungen beobachtet

1839 April 26 in Philadelphia von *Kendall, Mason, Riggs, Walker* 75.

in Washington von *Gillis* 75.  
in Southwick von *Holcomb* 73.  
in Boston von *Paine* 75.

1839 Juli 6 in Philadelphia von *Riggs* und *Walker* 74.

in Washington von *Gillis* 75.  
in Hudson Obs. von *Loomis* 76.

1839 Sept. 26 in Southwick von *Holcomb* 75.

in Boston von *Paine* 75.  
in Washington von *Gillis* 75.

1840 Jan. 13 in Bonn von *Argelander, Kyserus, v. Riess* 136.

in Leiden von *Kaiser* 390.

1840 Febr. 7 in Altona von *Petersen, Clausen, v. Nehus* 79.  
in Hamburg von *Funk, Rümker, Weyer* 80.

1841 Febr. 27 in Leiden von *Kaiser* 391.

Aug. 10 in Altona von *Jürgensen* und *Petersen* 391.  
in Hamburg von *Funk, Rümker, Weyer* 393.

Plejaden-Verzeichnisse aus Beobachtungen mit dem Königsberger Heliometer abgeleitet von *Bessel* 353.

aus Beobachtungen mit dem *Repolischen* Meridiankreise auf der Hamburger Sternwarte von *Rümker* 395.

Polhöhe von *Roberts* Hause in Greifswald 31.  
von *Adwa* in Abyssinien 112.

Positionen des Cometen von *Breniker* aus Beobachtungen in Bonn von *Argelander* und *Kyserus* 139.

des *Eusebian* Cometen aus Beobachtungen auf der Hamburger Sternwarte 1838 von *Rümker* 369.

Preise von verkäuflichen Instrumenten angezeigt von *Schwabe* 67.

Princeton in Nord-Amerika, daselbst beobachtete Sternbedeckungen von *Alexander* 73.

Pulkowa, Hauptsternwarte in Rußland, Nachrichten über die dortigen Instrumente von *Schumacher*, nemlich Durchgangsinstrument von *Gehr. Repold* in Hamburg, im ersten Vertical, Beobachter *Staatsrath v. Struve* 33.

Pendeluhr von *Magen* in London 35.

Meridiankreis von *Gehr. Repold* in Hamburg, Beobachter *Sabler* 36.

Pendeluhr von *Tiede* in Berlin 36.

Durchgangsinstrument von *Ertel* in München im Meridian, Beobachter *Peters* 87.

Pendeluhr von *Hautä* in Petersburg 32, 42.

Verticalkreis von *Ertel* in München, Beobachter *Peters* 38.  
Großer Refractor von *Mors* und *Makler* in München, Beobachter *O. Struve* 41.

Normalpendeluhr von *Kessel* 44.

Cometensucher, vierfüßiges Durchgangsinstrument von *Ertel* in München 44.

Beobachtungen der Doppelsterne  $\zeta$  Cncr,  $\xi$  Urs majoris,  $\gamma$  Virginis,  $\eta$  Coronae 42.  
w. *Loomis*, 2173 Str. 43.

## R.

Rectascensionen des Mondes für dessen Durchgang durch den Altonaer Meridian von *Schumacher* 17, 55.

Reduction der Astron. Beobachtungen in Greenwich von 1750 bis 1830 von *Airy* 81.

Reductionselemente der Declinationen, neue Untersuchung derselben und Bestimmung der Declinationen der Fundamentalerne von *Bessel* 219.

Reductionstafeln auf den Anfang von 1790 für diejenigen Sterne, welche in den Zonen Aug. 19 bis Aug. 26 1789 in den *Pariser Memoiren* vorkommen von *Kysenus* 177.

Refractiionsbeobachtungen

von *Binnich* in Modena 89.

von *Santini* in Padua 293.

Refractor, großer, von *Mors* und *Makler* in München, aufgestellt in Pulkowa 41.

Repsold Gebrüder in Hamburg, von ihnen verfertigtes Durchgangsinstrument aufgestellt in Pulkowa im ersten Vertical 33.

Meridiankreis aufgestellt ebendasselbe 36.

Reithuber in Krennmünster Beobachtungen und Elemente der Cometen von *Breniker* und *Galle* 85, 87.

Meridianbeobachtungen der Planeten, Mondsterne und des Mondes 187.

Riemann, Beobachtung von Sternbedeckungen in Breslau 53.

v. Riess, Prof. in Bonn, Beobachtungen von Sternbedeckungen und Jupiterstrabantenverfinsterungen 135.

Riggs, W. H. C., Beobachtung von Sternbedeckungen in Philadelphia 73.

Roscoe, Nord-Amerika, Beobachtung von Sternbedeckungen daselbst von *Blickenslefer*, Jun. 73.

Rümker, Charles, Director der Hamburger Sternwarte, Beobachtungen des 1ten *Galleischen* Cometen 23.

Beobachtungen und Elemente des *Brenikerschen* Cometen 67, 193.

Beobachtungen von Sternbedeckungen 68, 71, 79, 393.

Beobachtung der Mondfinsternisse 1841 Febr. 5, 143.

Beobachtung von Sternschnuppen 397.

Verzeichnisse der in der Bahn des *Brenikerschen* Cometen gelegenen Sterne 307.

Scheinbare Positionen des *Eusebian* Cometen aus Beobachtungen auf der Hamburger Sternwarte im Jahre 1838. 369.

## S.

Sabier beobachtet an *Repsold* Meridiankreis in Pulkowa 36.

Saïoda und Samayata, Berge in Abyssinien, Lage derselben gemessen in Adwa von *d'Abadie* 112.

Satura, beobachtet 1839 in Krennmünster von *Reithuber* 189.

Scheinbare Positionen des *Eusebian* Cometen bei seiner Wiederkehr im Jahre 1838 beobachtet auf der Hamburger Sternwarte von *Rümker* 369.

Schidlofsky Ableitung der Nutations-Constanten aus Doppler Beobachtungen 141. 293.

Schönberg in Mecklenburg, daselbst gemachte Breiten- und Azimuth-Bestimmungen von *Bertram* 181.

Schumacher, Conferenzrath, Director der Altonner Sternwarte, Nachrichten über die Instrumente der Pulkowar Sternwarte 33.

Beobachtungen von Sternbedeckungen 391.

Schwabe, Hofrath in Dessau, Anzeige von verkäuflichen Instrumenten 67.

Beobachtungen von Sonnenflecken 68. 150.

Sonnenfinsternisse Juli 18. 1841 beobachtet von *Santini* in Padua 375.

Sonnenflecke, Beobachtungen und Zeichnungen derselben von Major *Davis* 65.

Beobachtungen in Dessau von *Schwabe* 68. 150.

Beobachtungen in Altona von *Petersen* 151. 161.

Souays, daselbst beobachtete Sternbedeckungen Dec. 19. 1839 von *d'Abadie* 109.

Southwick, Mass, Nord-Amerika, Beobachtung von Sternbedeckungen daselbst von *A. Holcomb* 73.

Steczkowski, J. D. Dr., Länge von Cracau 329.

Sternbedeckungen von Planeten bis 1842, berechnet von *Mädler* 141.

Sternbedeckungen beobachtet

in Adwa von *d'Abadie* (1840 April 6. 7) 109, (Mai 4. 5. 6) 111.

in Altona von *Petersen* (1837 Jan. 10. 20. Dec. 14. 1838 März 10. Decbr. 22.

1839 Febr. 19. 1840 März 15) 32.

von *Petersen*, v. *Nehus* und *Clauens*

(1840 Febr. 7) 79

von *Schumacher*, *Petersen* und *Jürgensen*

(1841 März 3 Mai 24. 28 Juli 30

Aug. 10. 13. 29) 391.

in Apenrade von *Fischer* (1840 Jan. 14 März 15) 53.

in Bonn von *Argelander*, *Eyskens*, *Lundahl* und *v. Riese*

1838 Novbr. 23. Decbr. 21. 22.

Decbr. 11.

1839 April 17 Aug. 23 Octbr. 19.

1840 Jan. 13. 14 März 16 April 11

Dec. 13. 135.

1841 Febr. 5. 319.

in Boston von *Paine* (1839 April 19. 20. 26) 74.

in Breslau von *Boguslawski* (1839 Oct. 29 Dec. 11. 12.

1840 Jan. 11. 13. 14) 51, (Jan. 16

Febr. 14 März 15 April 7. 10. 11

Mai 3) 62.

in Cairo von *d'Abadie* (1839 Nov. 10. 22) 108.

in Cracau von *Wiese* (1840 Jan. 10. 13. 14 15 April 11

Sept. 3) 327.

in Dorchester von *Bond* (1838 April 19. 20. 26) 73.

in Dover Ohio von *Blickensderfer* (1838 Nov. 13) 73.

in Gera von *Engelhardt* (1840 Jan. 14) 31.

Sternbedeckungen beobachtet

in Göttingen von *Gauss* und *Goldschmidt* (1840 Mai 23.) 367.

in Greifswald von *Nobert* (1840 Jan. 14 März 15) 31.

in Hamburg von *Funk* (1840 Jan. 14) 71.

von *Rümker* (1840 April 11. 22 Mai 4

Junli 3 Aug. 24 Oct. 16) 68, (Nov.

15. 16) 71.

von *Rümker*, *Pfeyer*, *Funk* (1840 Febr. 7) 80.

(1841 März. 23. 28 April 24. 27. 28

Mai 9. 24. Juli 30 Aug. 19.

13. 29) 393.

(Sept. 10. 11) 399.

in Hudson (Nord-Amerika) von *Loomis* (1838 Novbr. 13.

1839 April 19. 20. Juni 6) 74.

in Leiden von *Kaiser* (1841 Jan. 14 Febr. 27) 389.

in New Haven (Nord-Amerika) von *Bradley* (1839 Oct. 17

Dec. 12) 74.

in Philadelphia von *Falkner*, *Paine*, *Riggs* und *Kendall* (1839

Januar 21 April 19. 20. 25. 26.

Juni 23. 30 Juli 6. 14 Septbr. 13

Oct. 1 Dec. 12) 73.

in Princeton (Nord-Amerika) von *Alexander* (1839 April 19) 73.

in Roscoe (Nord-Amerika) von *Blickensderfer* (1839 Oct. 14) 75.

in Souays (am rothen Meer) von *d'Abadie* (1839 Dec. 19)

109.

in Souhtwick (in Nord-Amerika) von *Holcomb* (1839 Jan.

19. 21 Apr. 19. 26 Jun. 20 Sept. 25) 75.

in Washington von *Gillis* (1839 April 26 Jun. 20. 23.

Juli 6 Sept. 26 Oct. 17. 28) 75.

Sternbedeckungen

1837 (Jan. 10. 20 Dec. 14) 32.

1838 (März 10 Dec. 22) 32. (Novbr. 13) 73. (Novbr. 25

Decbr. 21. 22) 135.

1839 (Jan. 10. 21) 73. (Febr. 19) 32. (April 17) 135.

(April 19) 73. 74. (April 20) 74. 75. (April 26) 74.

(April 26) 75. (Jun. 20. 32) 74. (Juli 6) 74. 76.

(Juli 14) 74. (Aug. 25) 135. (Septbr. 14) 74.

(Sept. 26 Oct. 14) 75. (Oct. 17) 75. 76. (Oct. 19) 135.

(Octbr. 25) 76. (Octbr. 29) 51. (Novbr. 10) 109.

(Novbr. 22) 108. (Dec. 17) 51. 135. Dec. 12) 51.

(Dec. 19) 109.

1840 (Jan. 11) 51. (Jan. 13) 51. 136. 327. (Jan. 14) 51. 327.

(Jan. 16) 53. 327. (Febr. 7) 79. (Febr. 14) 53.

(März 15) 53. (März 16) 136. (April 6) 109.

(April 7) 53. 11. (April 10) 53. (April 11) 53. 68. 327.

(April 22) 68. (Mai 3) 51. (Mai 4) 68. 110.

(Mai 5) 110. (Mai 6) 111. (Juni 2 Aug. 24) 68.

(Sept. 3) 327. (Octbr. 16) 68. (Novbr. 13. 16) 71.

(Dec. 13) 136.

1841 (Jan. 14) 391. (Febr. 5) 318. (Febr. 27) 391.

(März 2) 397. (März 3) 391. 397. (März 28) 397.

(April 24. 27. 28 Mai 9) 397. (Mai 23) 367.

(Mai 24) 391. 397. (Mai 28) 391. (Juli 30 Aug. 10.

13. 29) 391. 397. (Sept. 10. 11) 399.

Sterne, veränderliche, beobachtet in Bonn von *Argelander* und in Aachen von *Heiss* 115. 129. von *Bianchi* in Modena 337.

Sternschnuppen-Erscheinungen in den Jahren 855, 1366, 1799, 1832, 1833, 1834, 1836, 1838, 1839, 1840, 1841, 1842 aufgeführt von *Bogusawski* 49.  
von *Ermann* 821.

Beobachtungen von *Fidel* in Braunberg 331.  
von *Littrow* in Wien 373.  
von *Rümker* in Hamburg 397.

Sternwarte in Leiden, über deren Einrichtung und die ersten dort vorgenommenen Micrometer-Messungen von *Kaiser* 1.

in Pulkowa, Instrumente daselbst, beschrieben von *Schumacher* 33.

Strahlenbrechung, terrestrische, und trigonometrisches Nivellement von *Grunert* 26.

Struve, Staatsrath Excellenz, beobachtet in Pulkowa an *Repsold's* Durchgangsinstrument im ersten Vertical 33.

Abrerrations-Constante aus  $\nu$  Ursae maj. 159.  
aus  $\gamma$  Draconis 294.

Nutations-Constante von *Schidlofsky* gerechnet 293.

Struve, Otto, beobachtet in Pulkowa am großen Refractor von *März* und *Mädlar* 41.

Struve 1734. 1757 Doppelsterne, beobachtet in Dorpat von *Mädlar* 365.

Struve 2173 Doppelsterne beobachtet  
in Pulkowa von *Otto Struve* 43.  
in Dorpat von *Mädlar* 365.

Südpol, magnetischer, von *Gauss* 143.

## T.

Tafeln zur Reduction derjenigen Sterne auf den Anfang des Jahres 1790, welche in den Zonen Aug. 19 bis Aug. 26, 1789 der Pariser Memoiren für 1789 vorkommen von *Kysenus* 177.

Temperatur, mittlere, von *Christiania* aus dreijährigen Beobachtungen von *Hannsten* 83.  
von *Kremsmünster* aus siebenjährigen Beobachtungen von *Koller* 184.

von *Cracau* aus Beobachtungen im Jahre 1840 von *W'eiss* 325.

The Moon's Right-Ascension, Declination and Horizontal-Parallax for the time of her transit over the Meridian of Altona for the year 1841 with the logarithms of coefficients for facilitating the reduction to other Meridians 17.

Tiede in Berlin, von demselben verfertigte Pendeluhr für Pulkowa 36.

Trigonometr. Nivellement, und terrestr. Strahlenbrechung von *Grunert* 26.

## U.

Ueber die Sternwarte von Leiden und die ersten daselbst angestellten Micrometer-Messungen von *Kaiser* 1.

Ueber die Grundformeln der Dioptrik von *Bessel* 97.

Ueber Fernröhre mit Glasspiegeln und deren Vorzüge von *Burfuss* 197.

Ueber die Anwendung osculirender Elemente als Grundlage der Berechnung der Störungen eines Planeten und über die unabhängigen Elemente der Fundamenta nova von *Hansen* 237.

Ueber die Bestimmung der Länge durch Höhen des Mondes insbesondere durch correspondirende oder überhaupt gleiche Mondhöhen von *Grunert* 343.

Ueber die Bestimmung der Länge durch Azimuthe des Mondes, insbesondere durch Mondculminationen von *Grunert* 375. 385.

Uhrmacherkunst, höhere, Werk über selbige von *U. Jürgenzen* 195.

Untersuchung der Reductionselemente der Declinationen und Bestimmung der Declinationen der Fundamentalsterne von *Bessel* 219.

Uranus, beobachtet 1839 in Kremsmünster von *Reichuber* 191.  
 $\nu$  Ursae maj. Beobachtung dieses Sterns zur Bestimmung der Aberrations-Constante von *Struve* 159.

$\xi$  Ursae maj., Doppelsterne, beobachtet am großen Refractor in Pulkowa von *O. Struve* 42.  
in Dorpat von *Mädlar* 363.

## V.

Venus bedeckt den Stern  $\beta$  Virginis 1842 Aug. 8 nach *Mädlars* Berechnung 141.

Venus-Bedeckung vom Monde beobachtet  
von *Friedr. Paschen* März 26, 1841. 373.  
von *Petersen, Rümker, Weyer, Funk* Sept. 11, 1841. 399.

Veränderliche Sterne: Mira Ceti,  $\gamma$  Aquilae oder Antinoti,  $\beta$  Persei oder Algol,  $\beta$  Lyrae,  $\delta$  Cephei beobachtet in Bonn von *Argelander* und zu Aachen von *Heiss* 113. 129.  
 $\alpha$  Ceti von *Bianchi* in Modena 337.

Verbesserungen in Astr. Nachr. 184. 191. 195. 317. 335. 367.  
Vergleichung der in Holstein und bei München gemessenen Basis von *Gerling* 160.

Vergleichung der neuen Königsberger Declinationsbestimmungen der Fundamental- und einiger Circumpolarsterne mit andern Verzeichnissen, von *Bessel* 305.

Verkünstliche Instrumente angelegt von *Schwabe* 67.

Vertical, erster, Durchgangsinstrument von *Gehr. Repsold*, aufgestellt in Pulkowa 33.

Verticalkreis von *Ertel*, aufgestellt in Pulkowa 38.

Verzeichniß der Sternbedeckungen durch Planeten bis 1842 von *Mädlar* 141.

Verzeichniß von 33 Sternen der Plejaden aus Beobachtungen mit dem Königsberger Heliometer abgeleitet von *Bessel* 353.

Von Plejaden-Sternen aus Beobachtungen am *Repsold'schen* Meridiankreisen auf der Hamburger Sternwarte von *Rümker* 395.

$\beta$  Virginis wird nach *Mädlar* am 8ten Aug. 1842 von der Venus bedeckt 141.

γ Virgais, Doppelstern, beobachtet am großen Refractor in  
Pulkowa von O. Struve 42.  
in Dorpat von Mädler 365.

# W.

Walker, S. G., Verzeichniß der in Nord-Amerika beobach-  
teten Sternbedeckungen 73.

dessen Beobachtungen von Sternbedeckungen in Philadel-  
phia 73.

Washington, Marine-Observatorium, daselbst beobachtete Stern-  
bedeckungen von Gillis 73.

Weisse, Prof., Director der Sternwarte in Cracau, Beobachtun-  
gen von Mondsternen, Sternbedeckungen, so wie des  
Barometers und Thermometers 325.

Westphal über den Lichtwechsel des veränderlichen Sterns  
γ Aquila 119.

Weyer, Georg, Beobachtung von Plejadenbedeckungen in Ham-  
burg 80.

Berechnung der Constanten zu Runkers Verzeichniß der  
Sterne in der Baha des Cometen von Bremker 307.

Beobachtung von Sternbedeckungen 393. 399.

Beobachtung der Venusbedeckung Sept. 11. 1841. 399.

Wiedemann, Beobachtung von Sternbedeckungen in Breslau 51.

v. Wisniewsky, mitgetheilte Gang des dem Admiral Greig  
gehörigen Hautäschen Chronometers Nr. 31 einen Monat  
gehend 71.

Wurm, über den Lichtwechsel des veränderlichen Sterns γ Aquila  
119.

# Z.

Zonen in den Pariser Memoiren für 1789 von Aug. 19 bis  
Aug. 26. Reductionstafeln, um dieselben auf den An-  
fang von 1790 zu bringen, von Kysenus 177.



Plate 1





and the change of brother

Expressed by the same

Large space as seen, the first, the first

the first, the first, the first



Solar Spots, seen at the observatory, through, with Dr Robinson's 61", International Solar Spectrograph



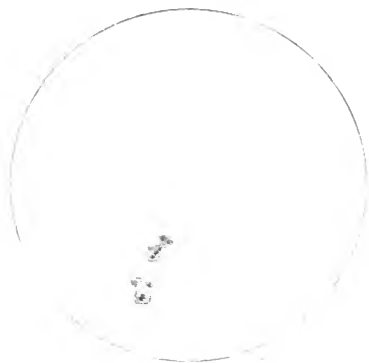
On the 3<sup>rd</sup> Sept.



On the 2<sup>nd</sup> Sept.

Showing change in form & position of a, *spe*, as seen on the 1<sup>st</sup> & 3<sup>rd</sup> of Sept 1880.

Engraved by W. H. Kearney.



Detail of Spots. Spot 3rd with 8 and 4th with 6. Aperture 7 inches, power 181.

Designed by W. H. Lawrence.

The same, slip, 4<sup>th</sup>, with 42 inch glass, aperture 3<sup>1</sup>/<sub>2</sub> inches, power 80.

By Geo. H. Davis.  
Lloyd's Library





